

IMAGERIE DU CORPS HUMAIN



ATLAS D'ANATOMIE

www.lemanip.com

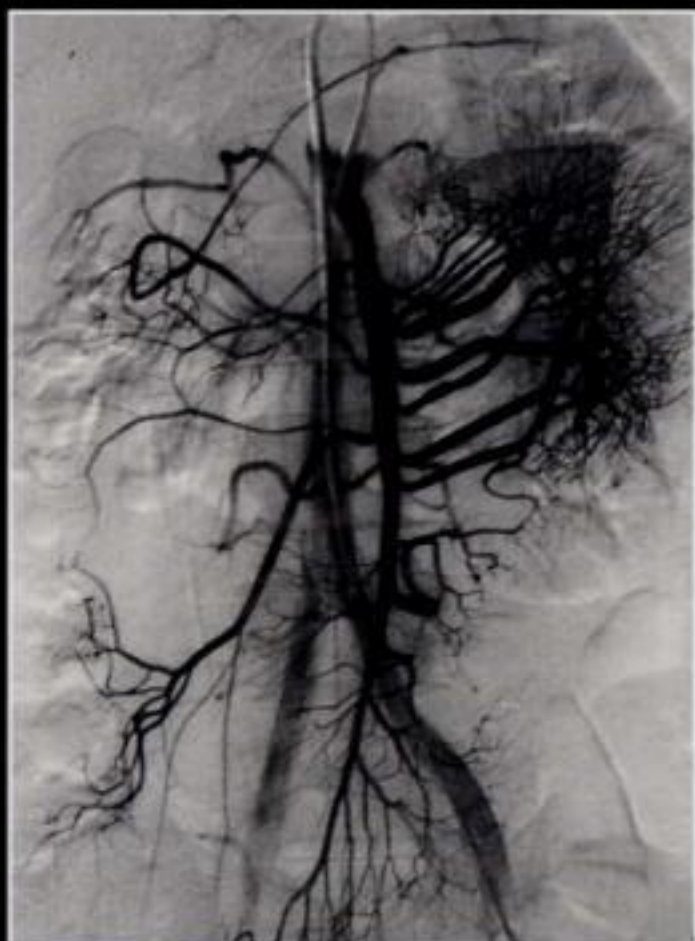
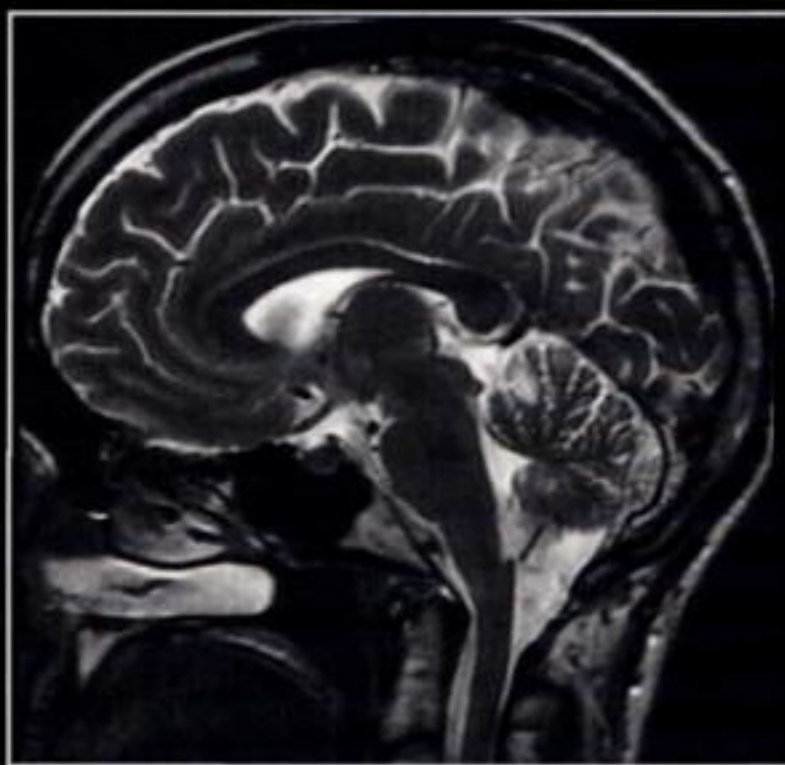


Table des matières

Dédicace	vi
Préface, Remerciements	vii
Préfaces des deuxième et première éditions	viii
Guide pour les tables d'ossification	ix
Introduction	x
Tête, cou et encéphale	1
Colonne vertébrale et moelle épinière	49
Membre supérieur	65
Thorax	87
Abdomen	119
Bassin	155
Membre inférieur	185
Index	213

*À nos étudiants,
passés, présents et à venir*

www.lemanip.com



Gratuittement

www.lemanip.com

Radiologie et imagerie medicale



Livres, memoires, rapport de stage, courses, radiologie conventionnelle, Scanner, TDM, IRM, Scintigraphie, Medecine nucleaire, Radiotherapie, Radiologie Interventionnelle, Oncologie, Clichees, Cas interpretes, exposes, medecine

<https://www.lemanip.com/>

www.lemanip.com

Guide pour les tables d'ossification

Les tables d'ossification, comme celle figurant ici à droite, sont dispersées dans ce livre.

Les clefs de ces tables sont les suivantes :

- (c) = cartilage (ossification endochondrale)
- (m) = membrane (ossification membraneuse)
- m i u = mois de vie intra-utérine
- s i u = semaines de vie intra-utérine
- m = mois
- a = années

Règle à retenir : les filles avant les garçons.

CLAVICLE (m)		
Lateral end	5 wiu	20+ yrs
Medial end	15 yrs	20+ yrs
SCAPULA (c)		
Body	8 wiu	15 yrs
Coracoid	<1 yr	20 yrs
Coracoid base	Puberty	15-20 yrs
Acromion	Puberty	15-20 yrs

Introduction

Angiographie

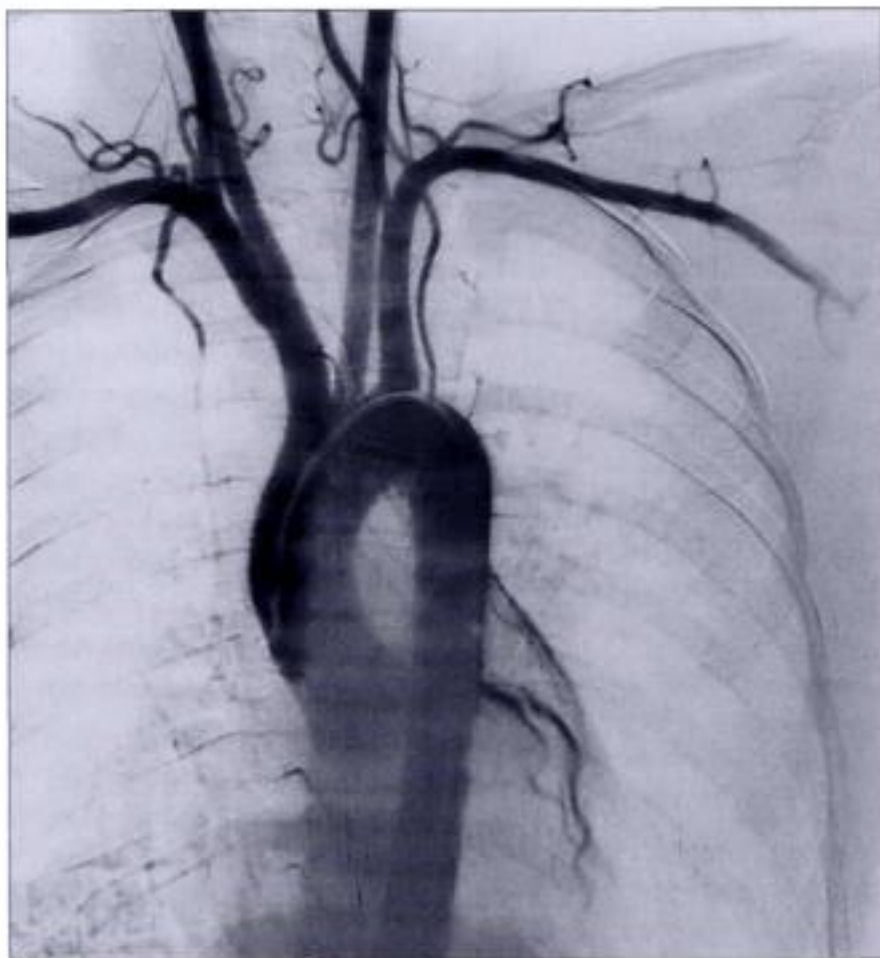
L'accès au système artériel, en vue d'obtenir une artériographie (angiographie), est généralement réalisé par ponction et cathétérisme de l'artère fémorale sous anesthésie locale. Le produit de contraste, radio-opaque, est ensuite injecté dans le vaisseau qui se distribue dans la région à examiner. Si, pour une raison quelconque, il n'est pas possible de recourir à l'artère fémorale (par ex., du fait de la présence d'une greffe ou par suite d'une maladie entraînant une obstruction iliaque), il peut être fait appel à d'autres sites, comme l'artère brachiale ou l'artère axillaire. L'aortographie translombaire, qui implique l'abord direct de l'aorte par ponction percutanée, est, aujourd'hui, de moins en moins utilisée parce qu'elle ne permet pas le cathétérisme sélectif des branches collatérales et qu'elle ne permet pas non plus de pratiquer des interventions sur les vaisseaux. Le développement d'une nouvelle technologie, l'angiographie numérisée, a rendu possible la mise en évidence de l'aorte et des principales artères des membres par injection intraveineuse du produit de contraste (dans la veine brachiale, la veine cave supérieure ou l'oreillette droite), évitant ainsi, chez certains patients, le recours à la ponction artérielle. Cette technique d'angiographie par soustraction numérique consiste à « soustraire » de l'image angiographique toutes les informations non désirées, ne laissant persister que les vaisseaux sanguins. Des artériographies numérisées peuvent donc être obtenues soit par injection directe du produit de contraste dans une artère (artériographie intra-artérielle), soit par administration dans une veine et enregistrement ultérieur du passage dans la grande circulation. Cependant, si cette méthode évite la ponction artérielle, elle fournit des images moins contrastées par suite de la dilution du produit de contraste.

Une soustraction photographique manuelle du fond de l'image peut également être obtenue à partir d'une artériographie conventionnelle

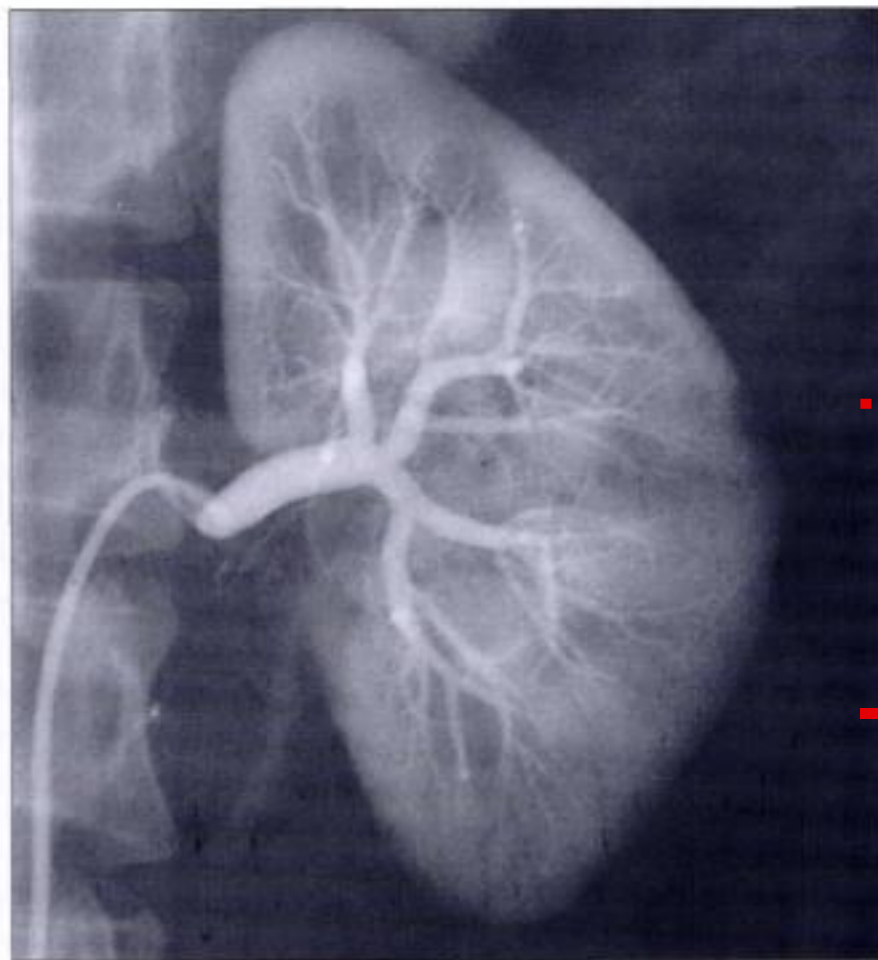
(non numérique). Qu'elle soit numérique ou photographique, la soustraction est employée dans les cas où il est nécessaire de saisir en détail les petits vaisseaux. Ceux-ci se reconnaissent aisément, en noir sur fond blanc, à l'opposé de ce qui se passe avec un film non traité. Différentes projections radiographiques sont parfois utilisées pour mieux voir la distribution des vaisseaux. Ainsi, dans le cas de la crosse de l'aorte, une projection antéro-postérieure peut ne pas montrer clairement les branches collatérales du fait qu'elles sont très proches les unes des autres et qu'elles peuvent se superposer. Une projection oblique antérieure gauche déroule la crosse de l'aorte et permet une meilleure mise en évidence du tronc brachio-céphalique, de l'artère carotide commune gauche et de l'artère subclavière gauche. Sauf indications contraires, les angiographies contenues dans ce livre sont des projections antéro-postérieures (AP).

Les veines peuvent être mises en évidence de la même manière que les artères, c'est-à-dire par ponction directe et cathétérisme (par la veine fémorale, dans la plupart des cas). Les veines des membres, supérieurs ou inférieurs, sont rendues visibles en injectant le produit de contraste, à l'aide d'une aiguille 18G ou 20G, dans une veine périphérique du dos du pied ou du dos de la main ou encore du pli du coude. Alternativement, si l'enregistrement d'images d'une injection artérielle se prolonge un certain temps, il devient alors possible de saisir, successivement, les phases artérielle, capillaire et veineuse et ainsi de mettre l'anatomie des veines en évidence. Ceci est particulièrement utile dans le cas de la veine porte, évitant de la sorte le recours à la ponction directe transhépatique ou trans-splénique.

Pour les techniques d'injection artérielle, de cathétérisme ou d'imagerie ainsi que pour les détails ayant trait au type d'équipement utilisé pour les angiographies, il y a lieu de consulter des ouvrages spécialisés.



Artériographie par soustraction (page 115, b).



Artériographie rénale (page 150, a).

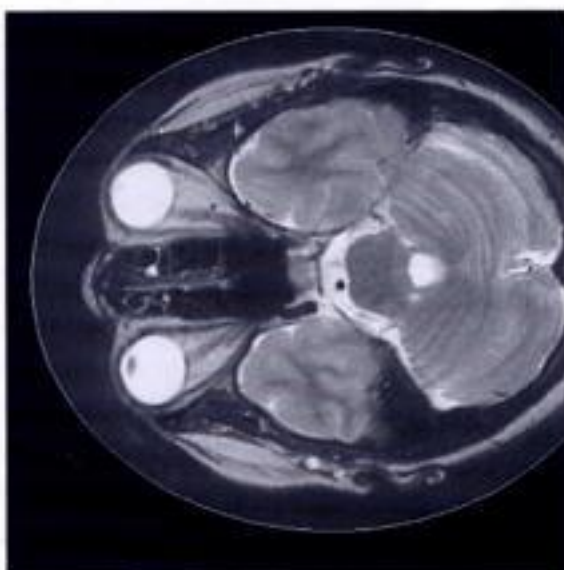
Imagerie par résonance magnétique (IRM)

L'imagerie par résonance magnétique (IRM) combine l'utilisation d'un champ magnétique puissant et d'ondes radiofréquences (RF) pour analyser la distribution et le comportement des protons contenus dans la graisse et l'eau.

Les protons ou noyaux d'hydrogène peuvent être assimilés à de petits aimants ou dipôles magnétiques comportant un pôle nord, un pôle sud et un axe gyromagnétique. En l'absence d'exposition à un champ magnétique externe, les moments magnétiques de tous les protons sont orientés de manière aléatoire. En revanche, lorsque le patient est placé dans un champ magnétique puissant, les moments magnétiques des protons s'orientent dans l'axe du champ magnétique externe, soit dans la même direction, soit dans la direction opposée. Comme un faible excédent de protons s'orientent en direction parallèle au champ magnétique externe, il en résulte un vecteur d'aimantation qui est mesurable.

Des ondes radiofréquences sont utilisées pour donner naissance à un second champ magnétique, perpendiculaire au champ statique principal de la machine. Ce second champ a pour effet de faire basculer l'axe gyromagnétique des protons en dehors de l'axe du champ magnétique principal. L'importance de cette bascule dépend de l'énergie radiofréquence absorbée par les tissus. Lorsque s'arrête l'émission de l'onde radiofréquence, les protons ne sont plus soumis qu'au champ magnétique externe et retournent vers leur position initiale. Au cours de ce retour à l'équilibre, appelé phase de « relaxation », les protons émettent un signal radiofréquence correspondant à l'énergie qu'ils ont absorbée. Ce signal, capté par l'antenne que comporte l'équipement IRM, est numérisé, amplifié et finalement traité par un ordinateur permettant de le localiser avec précision. Les images IRM ainsi acquises apparaissent au départ sur l'écran de télévision de la console de l'opérateur. Elles peuvent être imprimées sur des films, pour être examinées, ou stockées sur des bandes magnétiques ou des disques optiques.

Les équipements d'IRM sont classés en fonction de la puissance du champ magnétique qu'ils produisent. Les systèmes à haut champ sont ceux qui sont capables de produire des champs magnétiques dont la puissance est de l'ordre de 1 à 2 Tesla (T ; 10.000 - 20.000 Gauss). Les équipements à champ moyen ont un champ compris entre 0,35 et 0,5 T. Les systèmes à champ faible travaillent à des champs inférieurs à 0,2 T. Les équipements à champ moyen utilisent des aimants à supraconducteur dans lesquels les fils de cuivre sont maintenus en état de supraconduction en les refroidissant en permanence par immersion dans un bain d'hélium liquide (- 269°C). Les aimants résistifs, opérant à température normale et refroidis en permanence, ont une puissance limitée à 0,35 T. Les aimants permanents, sans alimentation électrique, fournissent un champ de l'ordre de 0,2 T.



IRM du cerveau
(page 34, b)

Les examens IRM n'entraînent aucun effet biologique connu. Les principales contre-indications concernent les patients porteurs d'un pacemaker ou d'un dispositif ferromagnétique, tels que les clips vasculaires intracrâniens posés pour traitement d'un anévrisme, certains types de valves cardiaques artificielles ou les corps étrangers métalliques intraoculaires. Les autres implants métalliques, tels que les prothèses orthopédiques et les clips vasculaires extracrâniens ne constituent pas une contre-indication mais sont responsables d'artefacts locaux. Les objets métalliques mobiles doivent être éliminés de la salle d'examen IRM.

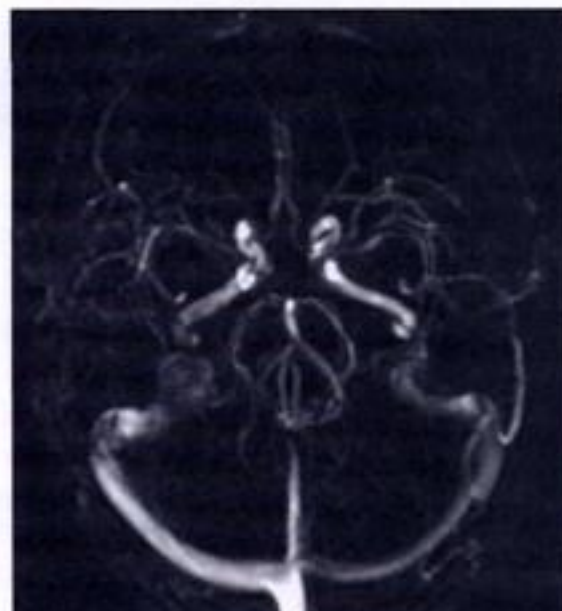
La préparation des patients pour un examen IRM est simple. Après avoir répondu à un questionnaire rigoureux visant à exclure une contre-indication, les patients revêtent une tenue dépourvue de toute structure métallique. Des agents antipéristaltiques (tels que la bromure de scopolamine ou le glucagon) sont souvent utilisés pour les examens abdominaux et pelviens. Divers procédés informatiques peuvent être utilisés pour limiter les effets dus aux mouvements respiratoires du thorax et de l'abdomen. Le « gating cardiaque », utilisé pour l'IRM du cœur, consiste à coupler l'acquisition des images avec l'ECG.

Les images IRM peuvent être obtenues dans n'importe quel plan de l'espace et suivant de nombreuses séquences d'impulsion, chacune d'elles fournissant un contraste tissulaire différent. Une injection intraveineuse d'un produit de contraste (complexes de gadolinium) peut améliorer la visualisation de tumeurs, d'un processus inflammatoire ou des anomalies vasculaires.

Angiographie par résonance magnétique

La mise en évidence et l'aspect des vaisseaux dépendent des séquences d'impulsion utilisées pour produire les images. En technique spin écho, le temps écoulé entre l'excitation des protons et la réception du signal en retour (temps d'écho) est tel que le sang excité a quitté la région. Ce volume de sang est remplacé par un autre, non excité et par conséquent non productif de signal, d'où une absence de signal lié au flux et un aspect noir des vaisseaux.

Les séquences d'écho de gradient utilisent des temps d'écho courts et des impulsions radiofréquences plus nombreuses. Ainsi, les protons situés dans les tissus immobiles n'ont pas le temps d'émettre un signal d'IRM. En revanche, les protons entrant dans la tranche produisent un signal intense de sorte que les vaisseaux apparaissent blancs sur un fond noir. Ces images tridimensionnelles des angiographies IRM peuvent être observées sous n'importe quel



Angiographie IRM des veines correspondant au cercle de Willis, projection axiale (page 33, b)

Une autre technique d'angiographie IRM est fondée sur l'emploi de champs magnétiques supplémentaires pour encoder la phase des protons en mouvement dans les vaisseaux sanguins. Une évaluation complète du flux nécessite trois acquisitions dans trois plans orthogonaux. Cette modalité d'acquisition produit ce qu'il est convenu d'appeler une angiographie IRM en « contraste de phase ». Cette méthode permet de quantifier la vitesse sanguine dans les vaisseaux.

Ultrasonographie ou échographie

Par opposition aux autres illustrations de cet atlas, les images ultrasonographiques ne font pas appel à des rayonnements électromagnétiques. Elles utilisent les propriétés des ultrasons (ondes longitudinales) et leurs interactions avec les tissus biologiques pour former des coupes échotomographiques.

Les ondes ultrasonores de fréquence appropriée (de 3,5 à 10 MHz pour le diagnostic) sont produites par effet piézoélectrique. La taille et la forme du cristal émetteur ainsi que la fréquence de résonance de celui-ci sont les principaux facteurs déterminant le parcours des ultrasons dans les tissus à examiner.

Lors du passage des ultrasons à travers les tissus, deux facteurs importants conditionnent la formation de l'image : l'atténuation et la réflexion. L'atténuation est causée par la perte d'énergie du système par suite de l'absorption, de la réflexion, de la réfraction et de la divergence du faisceau. Plus l'atténuation est forte et plus le signal de l'écho récupéré sera faible. C'est la réflexion des ondes ultrasonores en direction de la sonde émettrice-réceptrice qui produit l'image dont la texture ou « échostructure » traduit les différences d'impédance

acoustique des différents tissus examinés. Les équipements d'ultrasonographie sont en effet très sensibles aux très petites variations d'impédance acoustique des tissus mous.

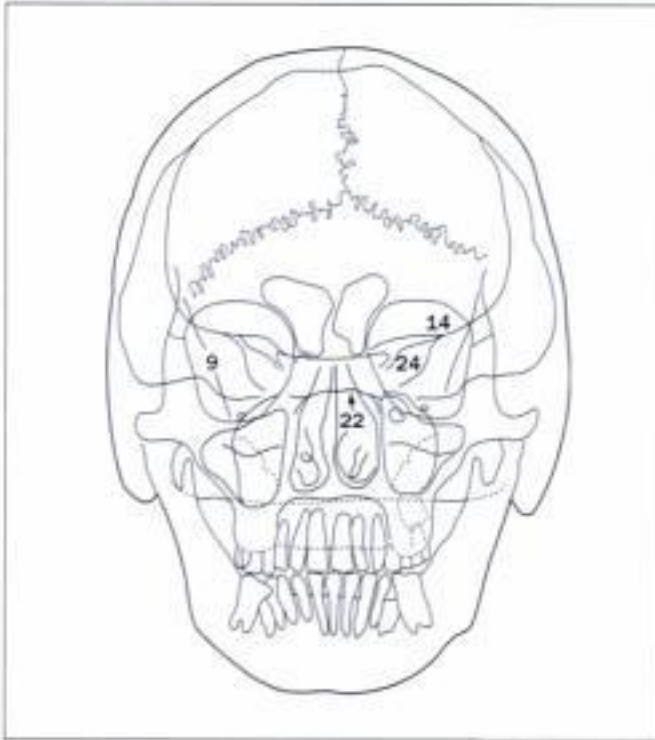
En appliquant ces principes de base, les équipements d'ultrasonographie modernes convertissent les échos émis par les différents tissus examinés en images bidimensionnelles, c'est-à-dire en coupes reflétant l'échostructure des tissus. En outre, l'application de l'effet Doppler à l'ultrasonographie permet d'analyser la direction et la vitesse du sang dans les vaisseaux.

Deux éléments essentiels dans l'interprétation d'une image ultrasonographique sont l'effet d'ombre ou de masque acoustique et le renforcement postérieur du faisceau ultrasonore. Les équipements sont conçus pour fournir d'un tissu d'atténuation uniforme une image d'échostructure homogène, de la profondeur vers la surface, en amplifiant les échos atténués issus des couches les plus profondes. Une ombre acoustique survient chaque fois qu'un tissu atténue le faisceau ultrasonore davantage que les structures avoisinantes ; dans ce cas, les échos des tissus plus profonds apparaissent avec une faible atténuation erronée (ombrés). Inversement, un tissu avec une atténuation plus faible que son environnement entraînera sur l'image un renforcement des échos provenant des tissus situés plus profondément. Le tissu fibreux, une calcification ou du gaz produisent des ombres acoustiques dans leur sillage alors que les cavités remplies de liquide entraînent souvent un renforcement postérieur.

En utilisant des sondes ultrasonographiques de fréquence, de taille et de focalisation appropriées, il est possible de visualiser une très large gamme de tissus, depuis le cerveau néonatal jusqu'aux tissus mous de la main. Seuls des exemples démonstratifs d'images ultrasonores ont été inclus dans cet atlas en vue d'illustrer un point précis ou une région particulière. L'interprétation de l'anatomie sur base de documents ultrasonographiques statique est plus délicate que celle des images obtenues suivant d'autres modalités car ils ne fournissent pas les données dynamiques de l'échotomographie en temps réel (ou échoscopie), sont très opérateur-dépendants et délivrent une information différente sur la structure des tissus examinés.

1

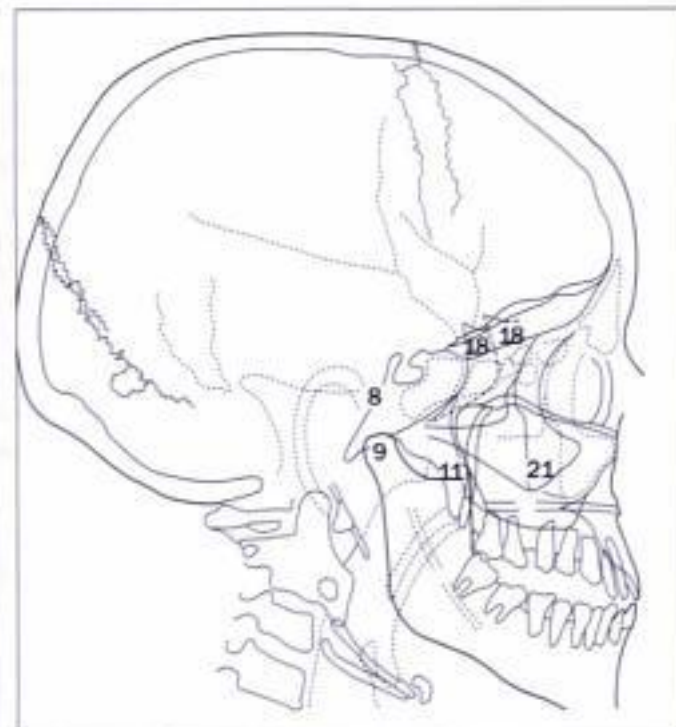
Tête, cou et encéphale



(a) Crâne, projection occipito-frontale.
(b) Crâne, montrant les foramina ronds, projection occipito-frontale.



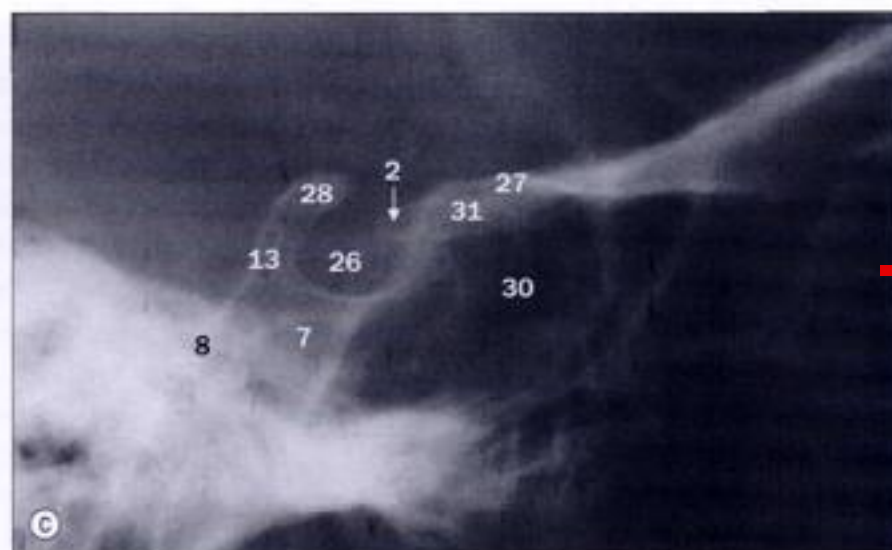
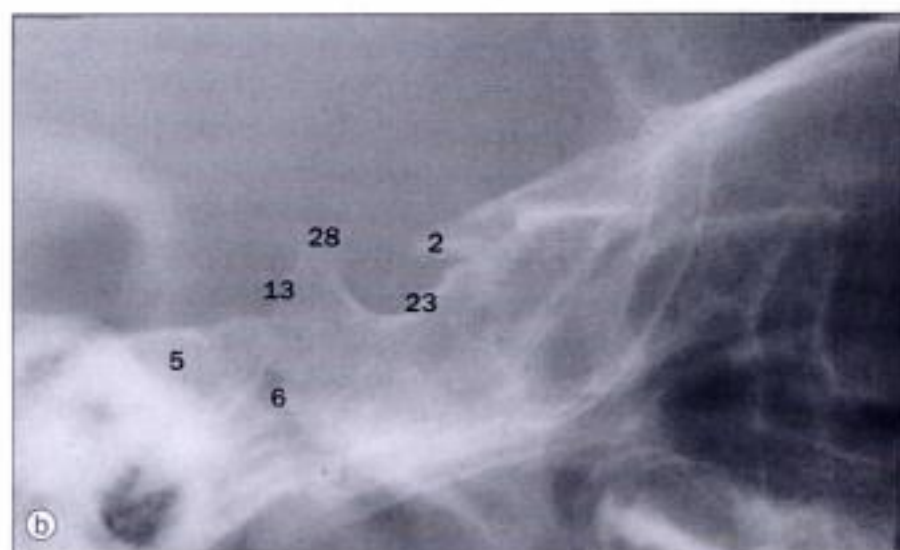
- 1 Basi-occipital
- 2 Corps de l'os sphénoïde
- 3 Crista galli
- 4 Cellules ethmoïdales
- 5 Plancher du sinus maxillaire (antre)
- 6 Plancher de la fosse pituitaire
- 7 Foramen rond
- 8 Sinus frontal
- 9 Grande aile de l'os sphénoïde
- 10 Cornet nasal inférieur
- 11 Méat acoustique interne
- 12 Suture lambdoïde
- 13 Masse latérale de l'atlas (première vertèbre cervicale)
- 14 Petite aile de l'os sphénoïde
- 15 Processus mastoïde
- 16 Cornet nasal moyen
- 17 Septum nasal
- 18 Processus odontoïde (dent) de l'axis (deuxième vertèbre cervicale)
- 19 Partie pétreuse de l'os temporal
- 20 Branche de la mandibule
- 21 Suture sagittale
- 22 Selle turcique
- 23 Sinus sphénoïdal
- 24 Fissure orbitaire supérieure
- 25 Face temporale de la grande aile de l'os sphénoïde

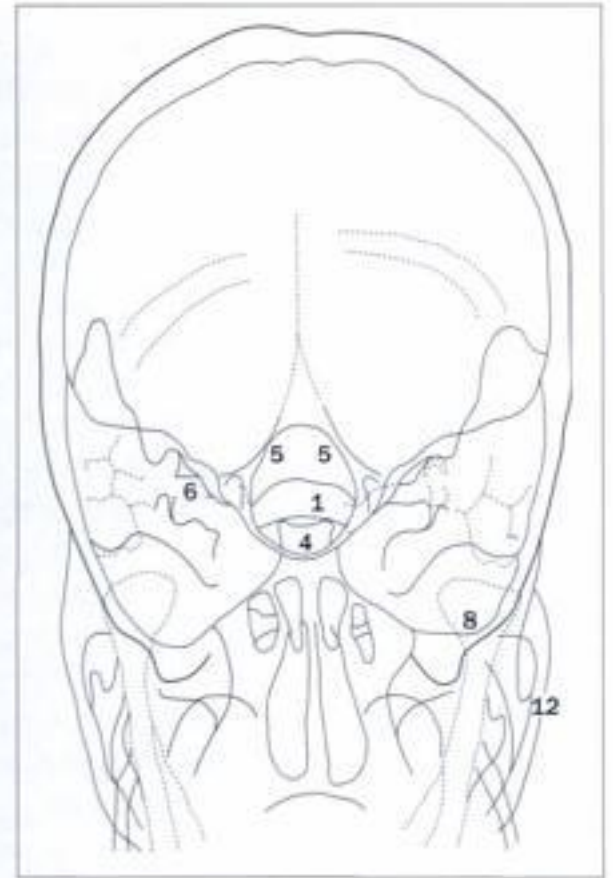
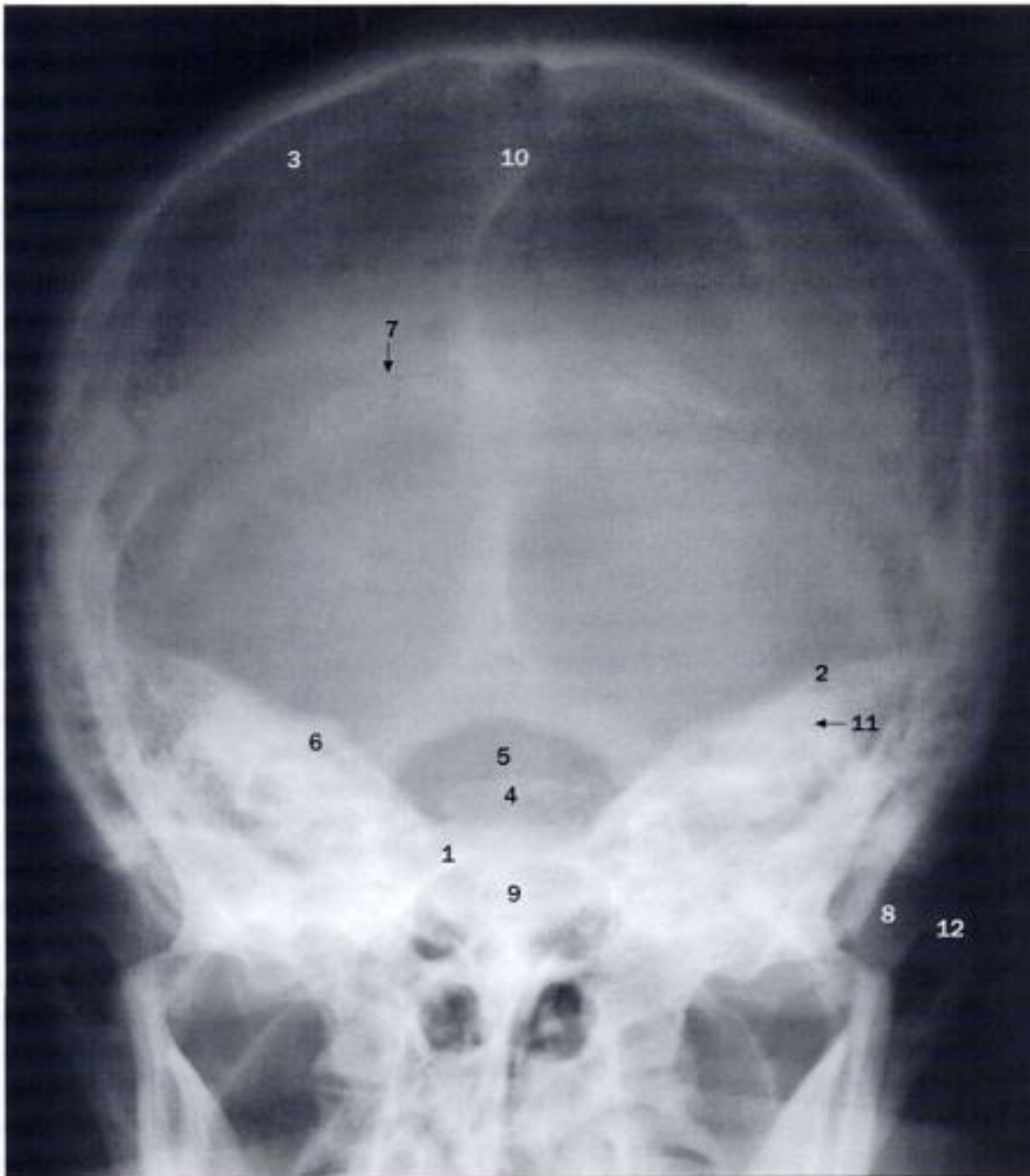


(a) Crâne, projection latérale.

Fosse pituitaire (selle turcique), (b) d'un enfant de 7 ans, (c) d'une femme de 23 ans, projections latérales.

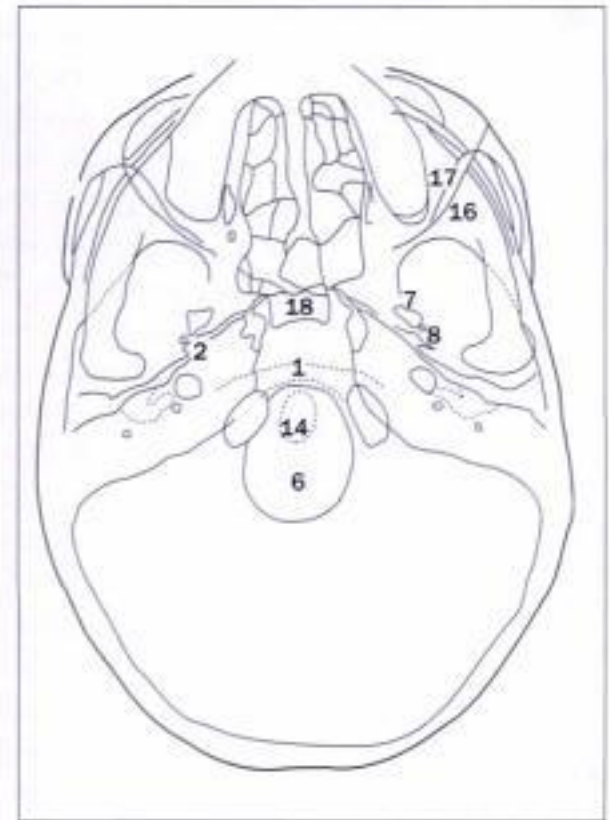
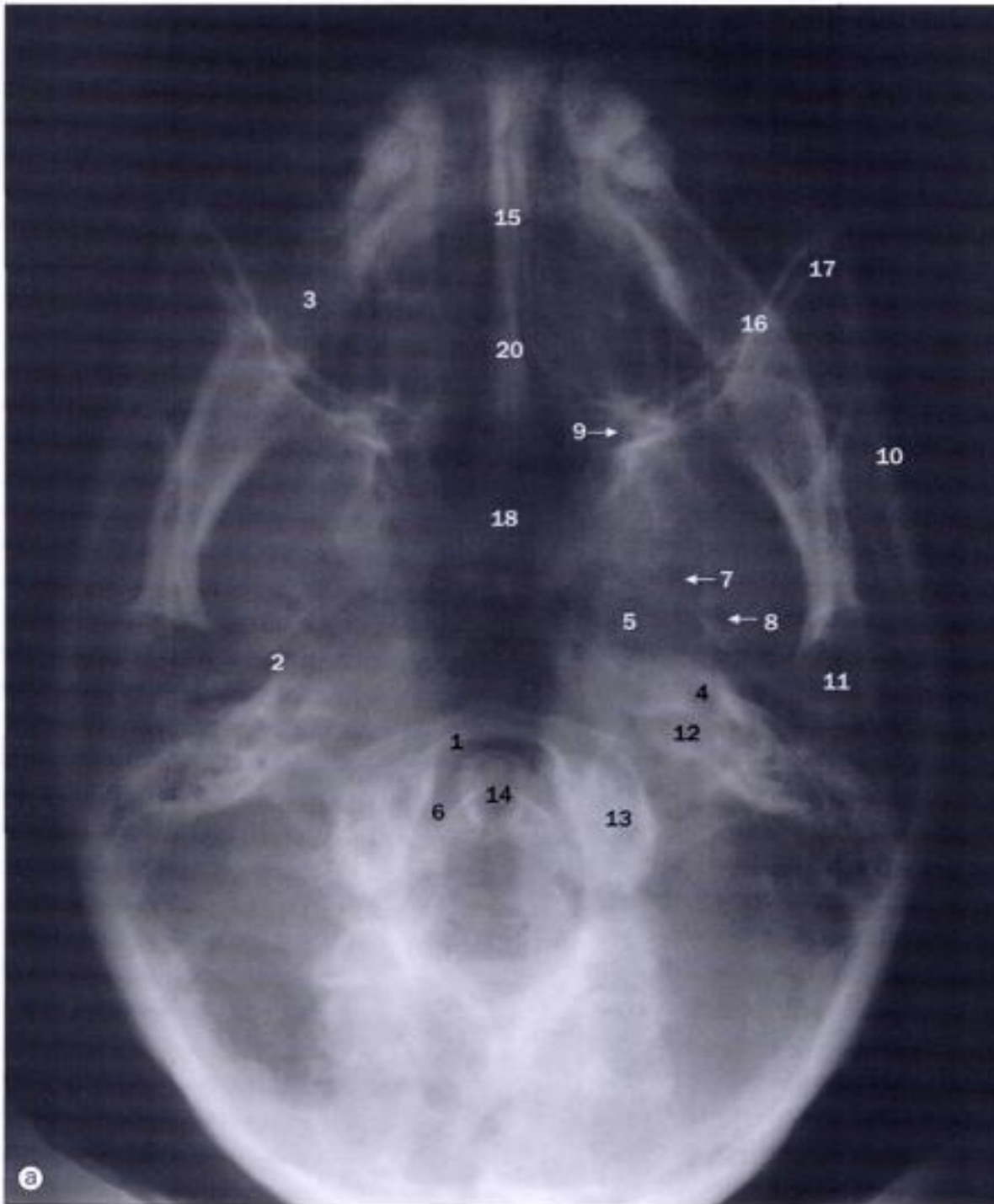
- | | | |
|--|--|---|
| 1 Arc antérieur de l'atlas (première vertèbre cervicale) | 10 Suture coronale | 22 Cellules mastoïdiennes |
| 2 Processus clinoïde antérieur | 11 Processus coronoïde de la mandibule | 23 Processus clinoïde moyen |
| 3 Arcade zygomatique | 12 Diploé | 24 Processus odontoïde (dent) de l'axis (deuxième vertèbre cervicale) |
| 4 Tubercule articulaire de l'articulation temporo-mandibulaire | 13 Dos de la selle turcique | 25 Processus palatin du maxillaire |
| 5 Partie basilaire de l'os occipital | 14 Cellules ethmoïdales | 26 Fosse pituitaire (selle turcique) |
| 6 Synchondrose basi-sphénoïde / basi-occipitale | 15 Méat acoustique externe | 27 Planum sphénoïdal |
| 7 Sillon carotidien | 16 Processus frontal de l'os zygomatique | 28 Processus clinoïde postérieur |
| 8 Clivus | 17 Sinus frontal | 29 Branche de la mandibule |
| 9 Condyle de la mandibule | 18 Grande aile de l'os sphénoïde | 30 Sinus sphénoïdal |
| | 19 Sillons des vaisseaux méningés moyens | 31 Tubercule de la selle turcique |
| | 20 Suture lambdoïde | |
| | 21 Processus zygomatique du maxillaire | |





Crâne, projection fronto-occipitale 30° (de Townes).

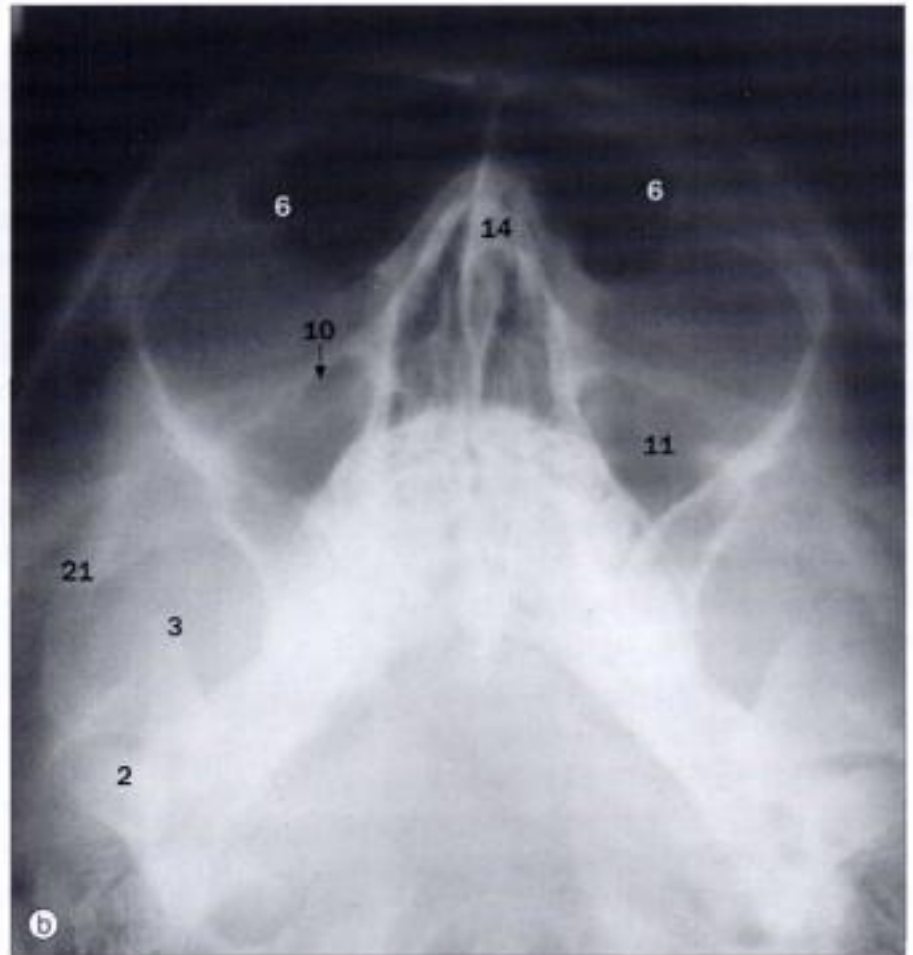
- 1 Arc antérieur de l'atlas (première vertèbre cervicale)
- 2 Éminence arquée de l'os temporal
- 3 Suture coronale
- 4 Dos de la selle turcique
- 5 Foramen magnum
- 6 Méat acoustique interne
- 7 Suture lambdoïde
- 8 Condyle de la mandibule
- 9 Processus odontoïde (dent) de l'axis (deuxième vertèbre cervicale)
- 10 Suture sagittale
- 11 Canal semi-circulaire supérieur
- 12 Arcade zygomatique



(a) Crâne, projection submento-verticale.
(b) Crâne, avec inclinaison supplémentaire pour les arcades zygomatiques, projection submento-verticale.

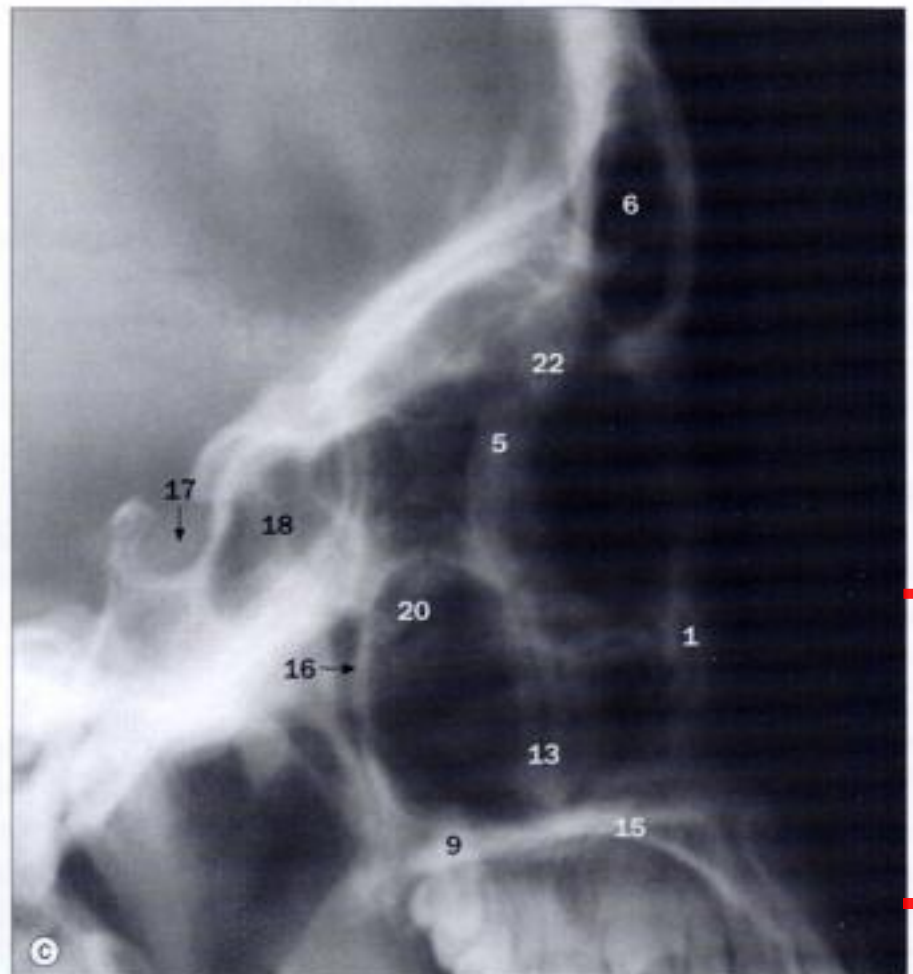


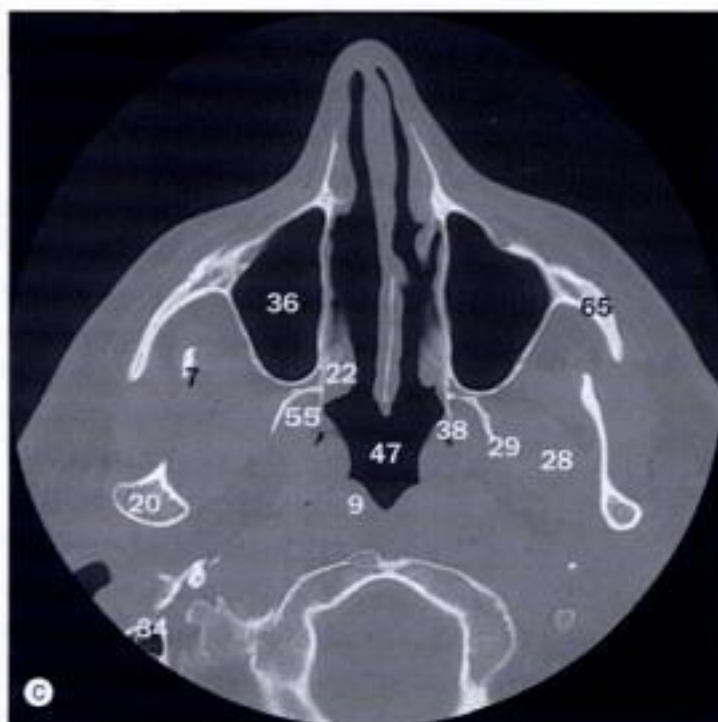
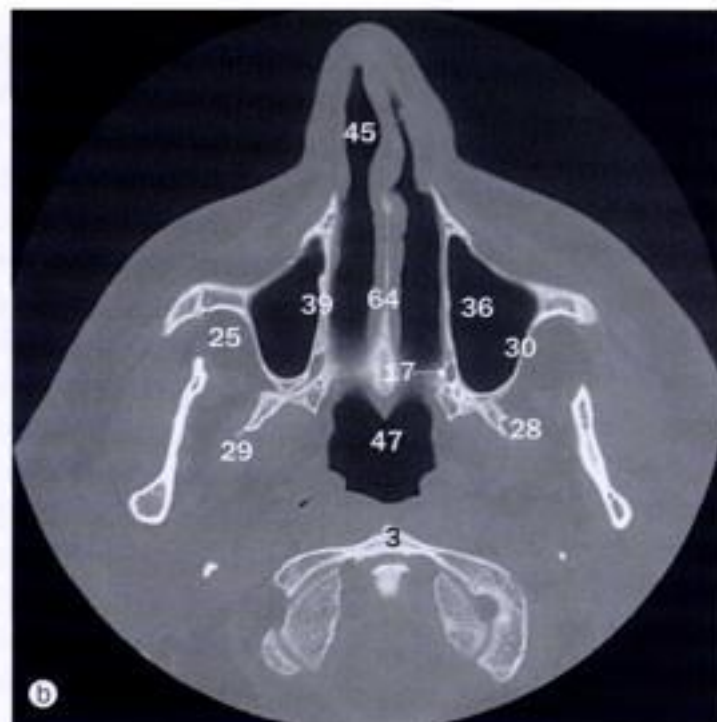
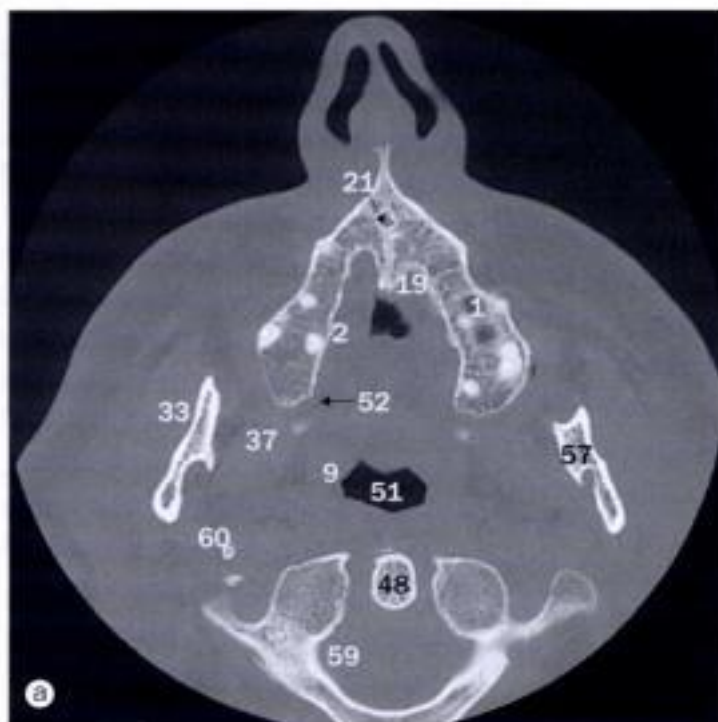
- 1 Arc antérieur de l'atlas (première vertèbre cervicale)
- 2 Trompe auditive (Eustache)
- 3 Corps de la mandibule
- 4 Canal carotidien
- 5 Foramen déchiré
- 6 Foramen magnum
- 7 Foramen ovale
- 8 Foramen épineux
- 9 Foramen grand palatin
- 10 Grande aile de l'os sphénoïde
- 11 Condyle de la mandibule
- 12 Foramen jugulaire
- 13 Condyle occipital
- 14 Processus odontoïde (dent) de l'axis (deuxième vertèbre cervicale)
- 15 Lamme perpendiculaire de l'ethmoïde
- 16 Bord postérieur de l'orbite
- 17 Paroi postérieure du sinus maxillaire (antre)
- 18 Sinus sphénoïdal
- 19 Processus temporal de l'os zygomatique
- 20 Vomer
- 21 Arcade zygomatique
- 22 Os zygomatique
- 23 Processus zygomatique de l'os temporal



Os de la face et sinus paranasaux, **(a)** projection occipito-frontale, **(b)** projection occipito-mentonnière, **(c)** projection latérale.

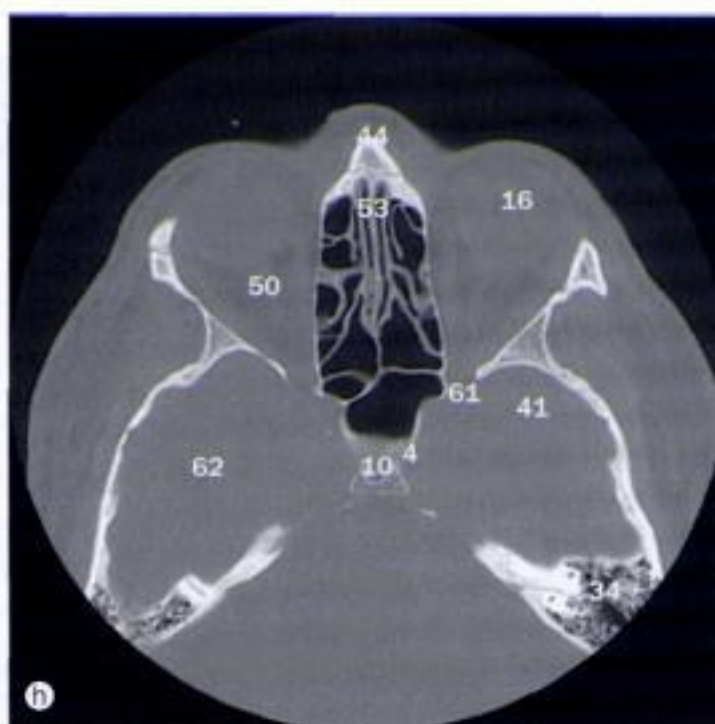
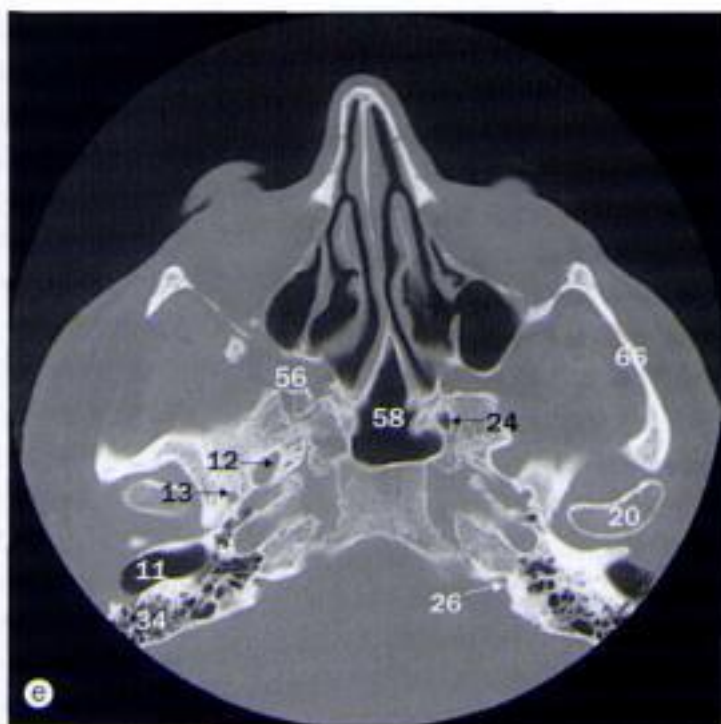
- 1 Paroi antérieure du sinus maxillaire (antre)
- 2 Condyle de la mandibule
- 3 Processus coronoïde de la mandibule
- 4 Cellules ethmoïdales
- 5 Processus frontal de l'os zygomatique
- 6 Sinus frontaux
- 7 Suture fronto-zygomatique
- 8 Grande aile de l'os sphénoïde
- 9 Lamelle horizontale de l'os palatin
- 10 Foramen infra-orbitaire
- 11 Sinus maxillaire gauche (antre)
- 12 Petite aile de l'os sphénoïde
- 13 Processus zygomatique du maxillaire
- 14 Septum nasal
- 15 Processus palatin du maxillaire
- 16 Paroi postérieure du sinus maxillaire (antre)
- 17 Selle turcique
- 18 Sinus sphénoïdal
- 19 Fissure orbitaire supérieure
- 20 Processus temporal de l'os zygomatique
- 21 Arcade zygomatique
- 22 Processus zygomatique de l'os frontal
- 23 Processus zygomatique de l'os temporal





TDM des os de la face et sinus paranasaux ; coupes axiales intéressant les différents niveaux suivants : (a) processus alvéolaire du maxillaire ; (b) sinus maxillaire ; (c) arc de l'atlas (C1) ; (d) arcade zygomatique ; (e) base du crâne ; (f) sinus sphénoïdal ; (g) cellules ethmoïdales ; (h) nerf optique.

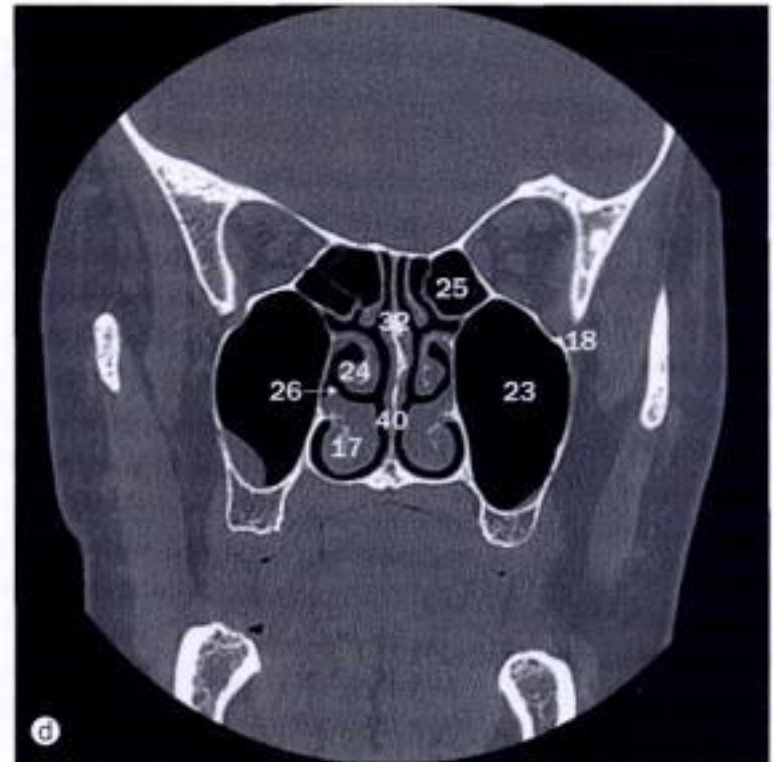
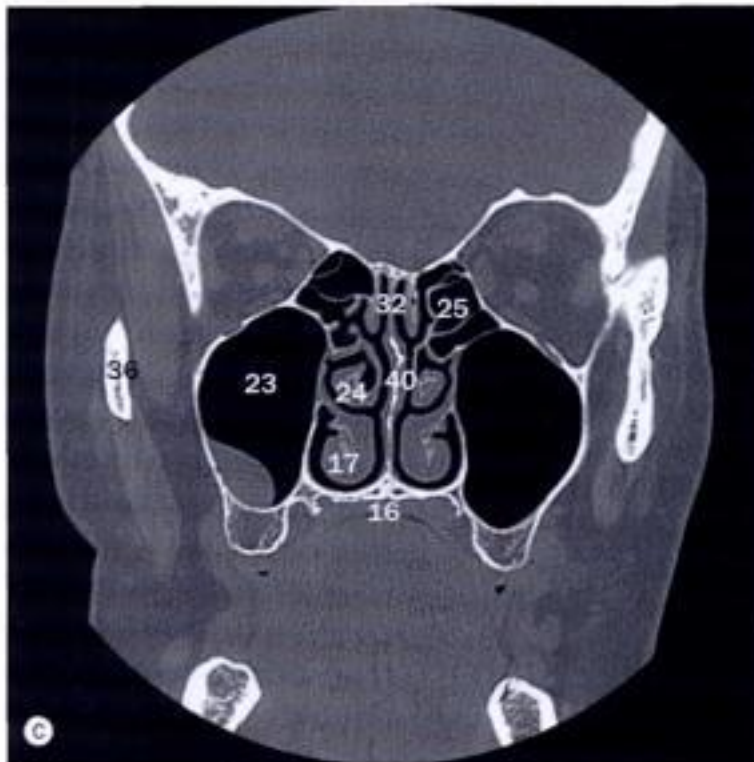
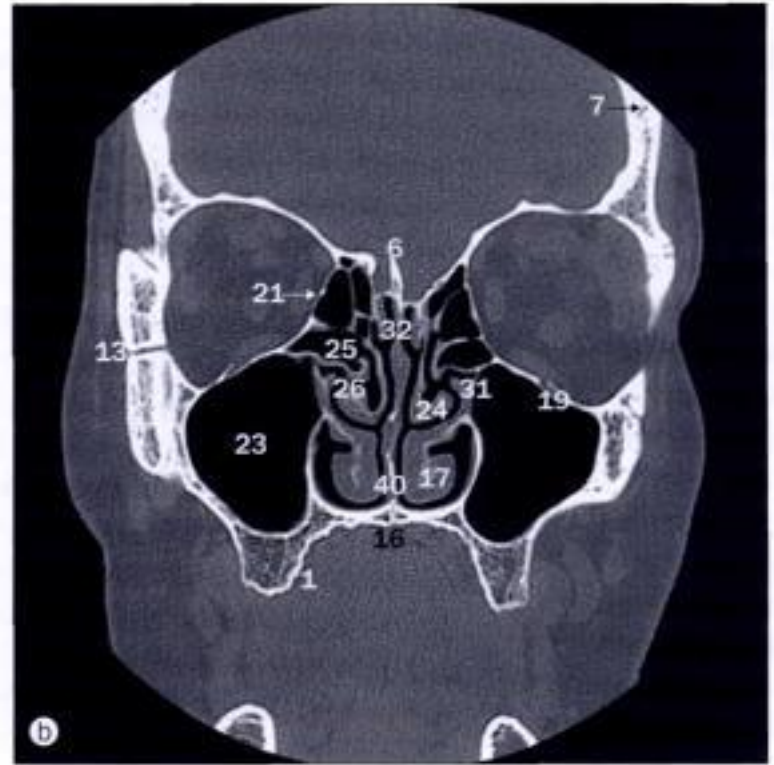
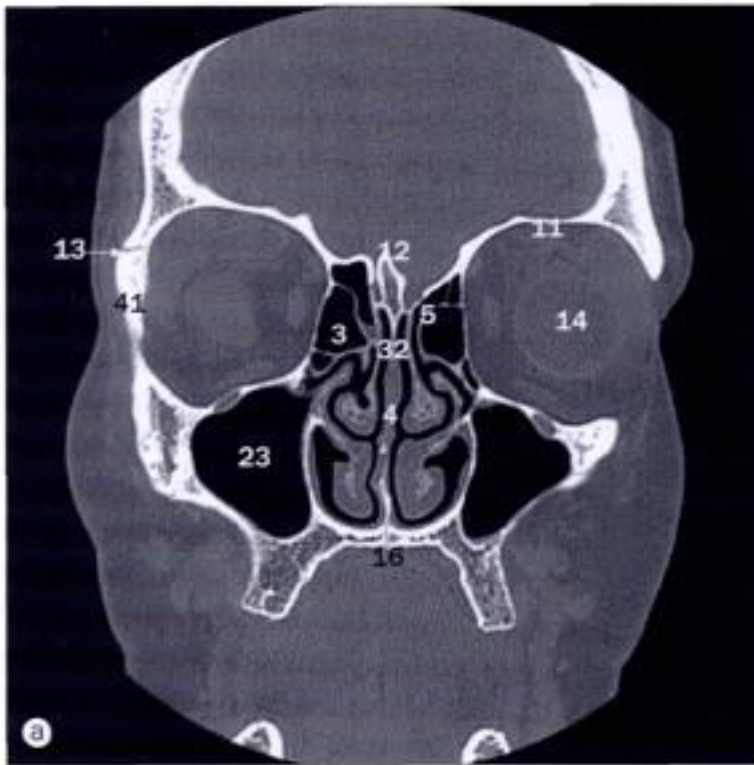
- | | | |
|---|-----------------------------------|---|
| 1. Récessus alvéolaire | 12. Foramen ovale | 24. Récessus inféro-latéral |
| 2. Rebord alvéolaire | 13. Foramen épineux | 25. Fosse infratemporale |
| 3. Arc antérieur de l'atlas (première vertèbre cervicale) | 14. Os frontal | 26. Méat acoustique interne |
| 4. Processus clinéoïde antérieur | 15. Sinus frontal | 27. Os lacrymal |
| 5. Cellules ethmoïdales antérieures | 16. Globe oculaire | 28. Muscle ptérygoïdien latéral |
| 6. Clivus | 17. Canal grand palatin | 29. Lame latérale du processus ptérygoïde |
| 7. Processus coronoïde de la mandibule | 18. Grande aile de l'os sphénoïde | 30. Paroi latérale du sinus maxillaire (antrum) |
| 8. Crista galli | 19. Palais dur | 31. Cristallin |
| 9. Muscles de la déglutition | 20. Tête de la mandibule | 32. Condyle de la mandibule |
| 10. Dos de la selle | 21. Canal incisif | 33. Muscle masséter |
| 11. Canal acoustique externe | 22. Cornet nasal inférieur | 34. Cellules mastoïdiennes |
| | 23. Fissure orbitaire inférieure | 35. Processus mastoïde |



36 Sinus maxillaire (antre)
 37 Muscle ptérygoïdien médial
 38 Lamé médiale du processus ptérygoïde
 39 Paroi médiale du sinus maxillaire (antre)
 40 Cornet nasal moyen
 41 Fosse crânienne moyenne
 42 Caisse du tympan
 43 Cellules ethmoïdales moyennes
 44 Os nasal
 45 Cavité nasale
 46 Conduit lacrymo-nasal

47 Nasopharynx
 48 Processus odontoïde (dent)
 49 Canal optique
 50 Nerf optique
 51 Oropharynx
 52 Espace pharyngien
 53 Lamé perpendiculaire de l'os ethmoïde
 54 Cellules ethmoïdales postérieures
 55 Fosse ptérygoïde
 56 Fissure ptérygo-maxillaire
 57 Branche de la mandibule

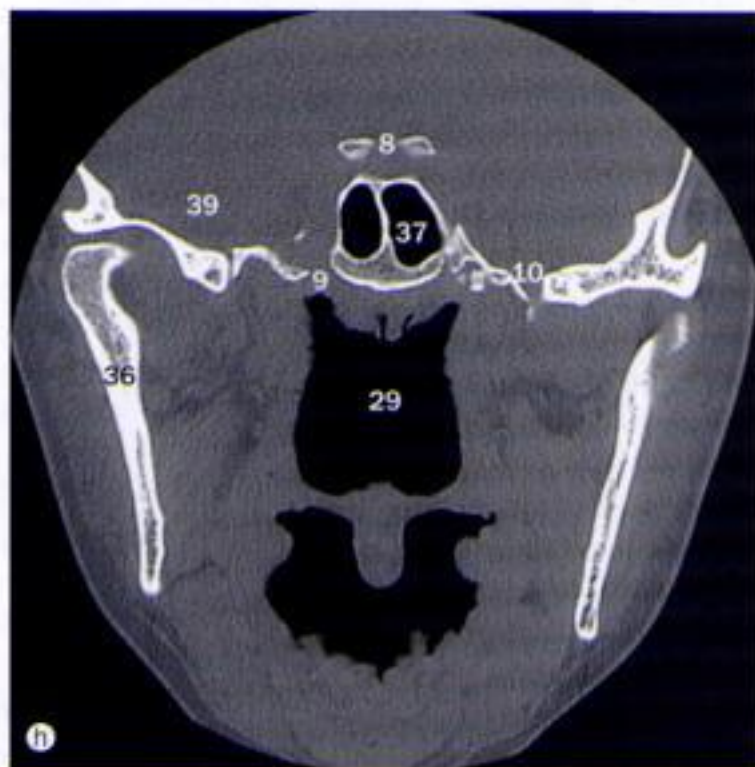
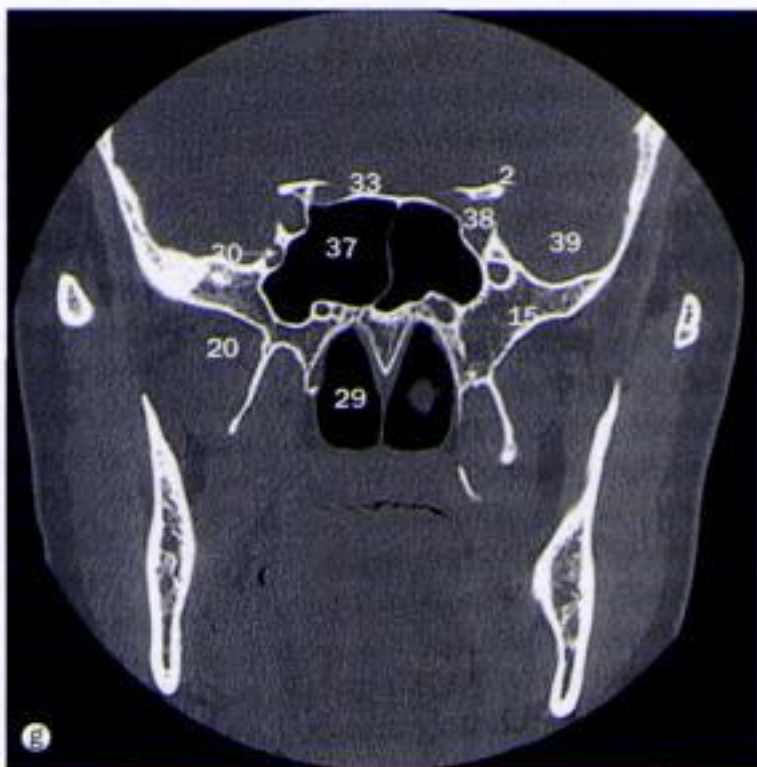
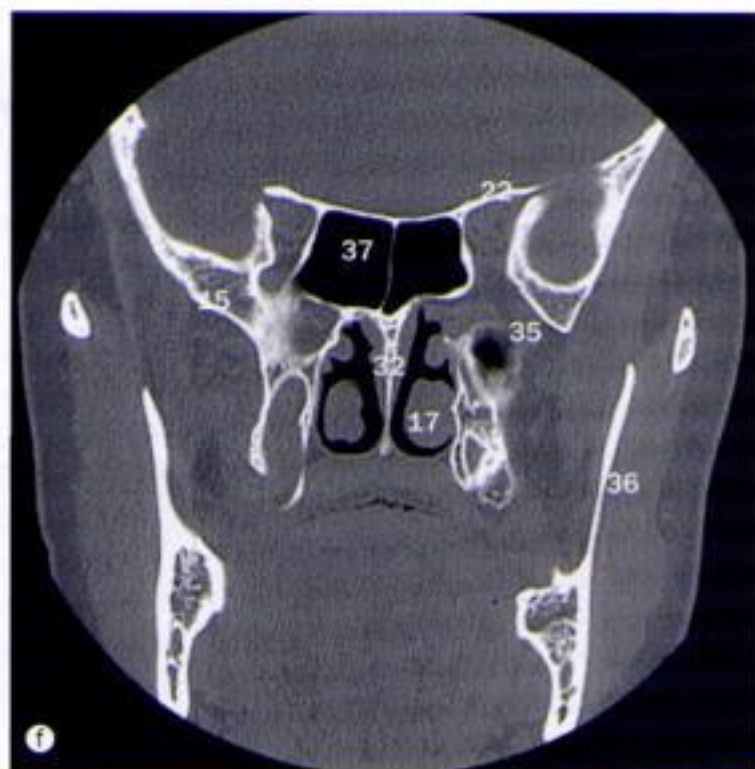
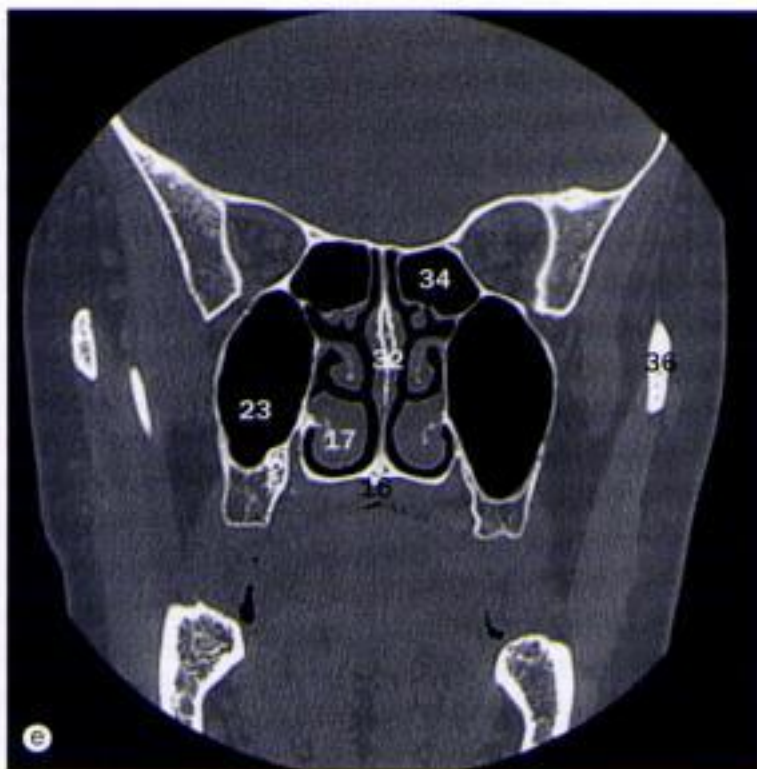
58 Sinus sphénoïdal
 59 Canal vertébral
 60 Processus styloïde
 61 Fissure orbitaire supérieure
 62 Lobe temporal
 63 Muscle temporal
 64 Vomer
 65 Os zygomatique
 66 Arcade zygomatique



TDM des os de la face et des sinus paranasaux. Les coupes frontales (coronales) intéressent les différents niveaux suivants : (a) cellules ethmoïdales antérieures ; (b) nerf optique ; (c) cellules ethmoïdales moyennes et sinus maxillaire ; (d) cellules ethmoïdales postérieures ; (e) partie postérieure du sinus maxillaire ; (f) partie antérieure du sinus sphénoïdal ; (g) partie moyenne du sinus sphénoïdal ; (h) partie postérieure du sinus sphénoïdal.

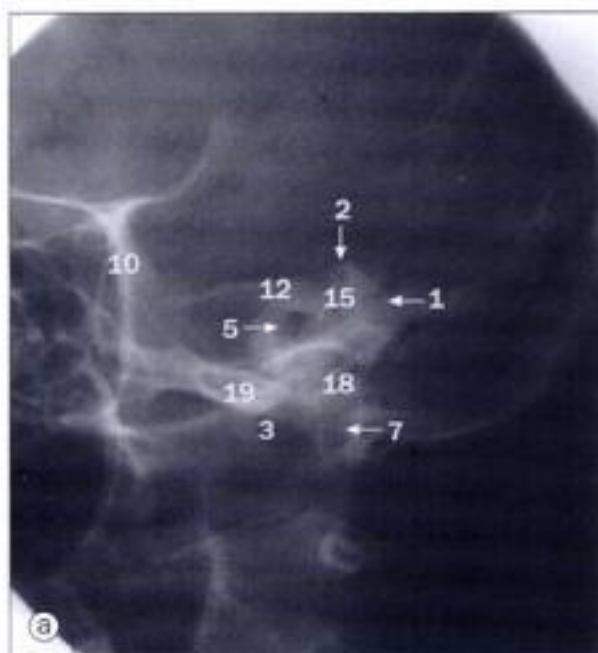
- 1 Rebord alvéolaire
- 2 Processus clinéoïde antérieur
- 3 Cellules ethmoïdales antérieures
- 4 Partie cartilagineuse du septum nasal
- 5 Lamelle criblée
- 6 Crista galli
- 7 Diploë
- 8 Dos de la selle
- 9 Foramen déchiré
- 10 Foramen ovale

- 11 Os frontal
- 12 Sinus frontal
- 13 Suture fronto-zygomatique
- 14 Globe oculaire
- 15 Grande aile de l'os sphénoïde
- 16 Palais dur
- 17 Cornet nasal inférieur
- 18 Fissure orbitaire inférieure
- 19 Canal infra-orbitaire
- 20 Fosse infratemporale



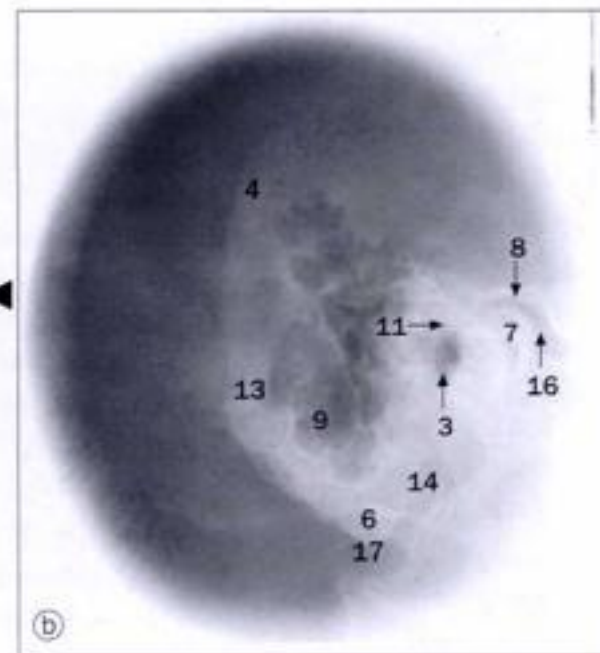
- 21 lame papyracée
- 22 Petite aile de l'os sphénoïde
- 23 Sinus maxillaire (antre)
- 24 Cornet nasal moyen
- 25 Cellules ethmoïdales moyennes
- 26 Méat nasal moyen
- 27 Os nasal
- 28 Conduit lacrymo-nasal
- 29 Nasopharynx
- 30 Canal optique
- 31 Ostium auxiliaire

- 32 lame perpendiculaire de l'os ethmoïde
- 33 Planum sphénoïdal
- 34 Cellules ethmoïdales postérieures
- 35 Fosse ptérygo-palatine
- 36 Branche de la mandibule
- 37 Sinus sphénoïdal
- 38 Fissure orbitaire supérieure
- 39 Lobe temporal
- 40 Vomer
- 41 Os zygomatique

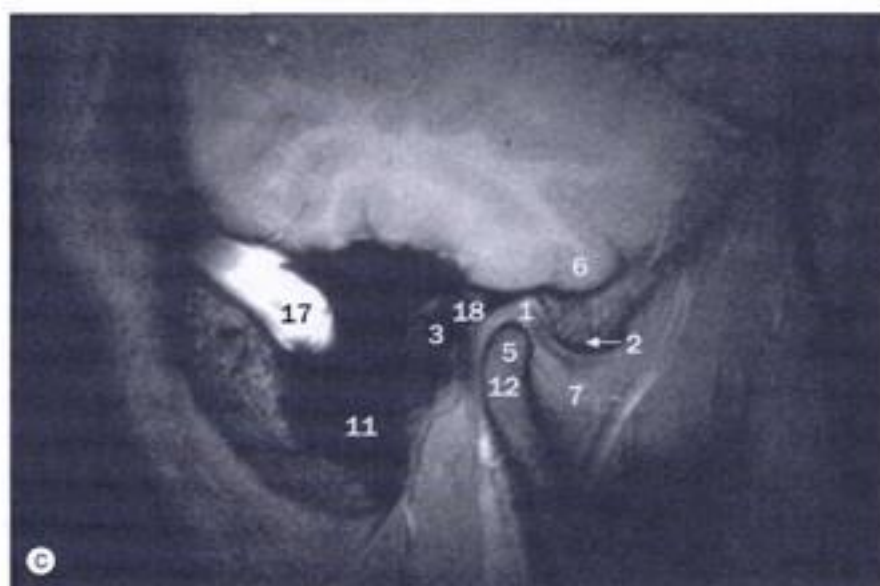


(a) Partie pétreuse de l'os temporal, projection antéro-postérieure oblique.

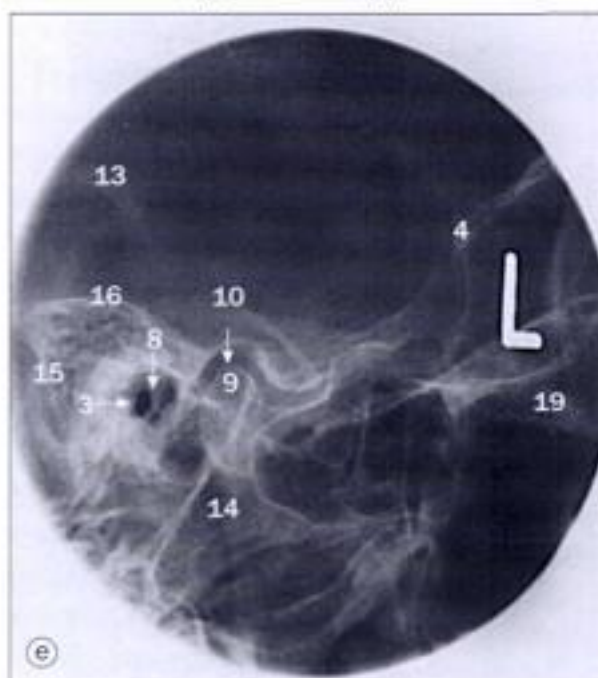
- 1 Aditus de l'antre mastoïdien
- 2 Éminence arquée de l'os temporal
- 3 Méat acoustique externe
- 4 Hélix du pavillon de l'oreille
- 5 Méat acoustique interne
- 6 Sinus latéral
- 7 Condyle de la mandibule
- 8 Fosse mandibulaire
- 9 Cellules mastoïdiennes
- 10 Rebord orbital
- 11 Osselets (marteau, enclume)
- 12 Partie pétreuse de l'os temporal
- 13 Pavillon de l'oreille
- 14 Processus styloïde
- 15 Canal semi-circulaire supérieur
- 16 Articulation temporo-mandibulaire
- 17 Apex du processus mastoïde
- 18 Partie vestibulaire de l'oreille interne
- 19 Arcade zygomatique



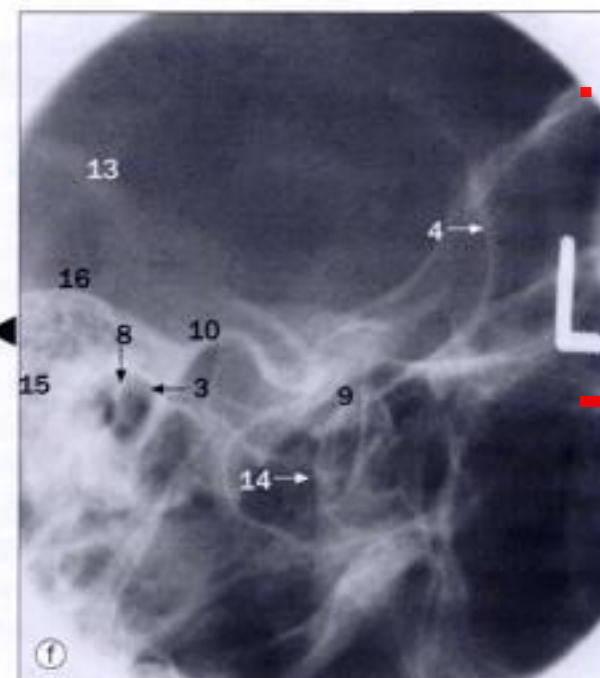
(b) Processus mastoïde, projection latérale oblique.

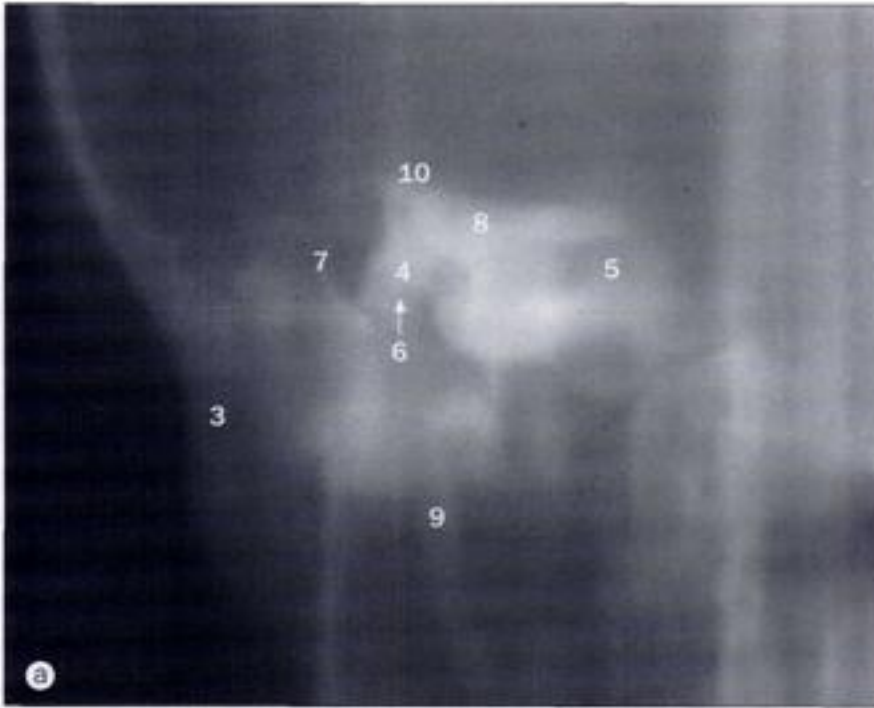


IRM de l'articulation temporo-mandibulaire, coupes sagittales, (c) fermée, (d) ouverte. Radiographies de l'articulation temporo-mandibulaire, (e) fermée, (f) ouverte.



- 1 Disque articulaire
- 2 Tubercule articulaire de l'os temporal
- 3 Méat acoustique externe
- 4 Grande aile de l'os sphénoïde
- 5 Condyle de la mandibule
- 6 Gyrus temporal inférieur
- 7 Muscle ptérygoïdien latéral
- 8 Marteau
- 9 Condyle de la mandibule
- 10 Fosse mandibulaire
- 11 Processus mastoïde de l'os temporal
- 12 Col de la mandibule
- 13 Pavillon de l'oreille
- 14 Bord postérieur de la branche de la mandibule
- 15 Paroi du sinus
- 16 Tegmen tympani
- 17 Sinus transverse
- 18 Partie tympanique de l'os temporal
- 19 Processus zygomatique de l'os temporal

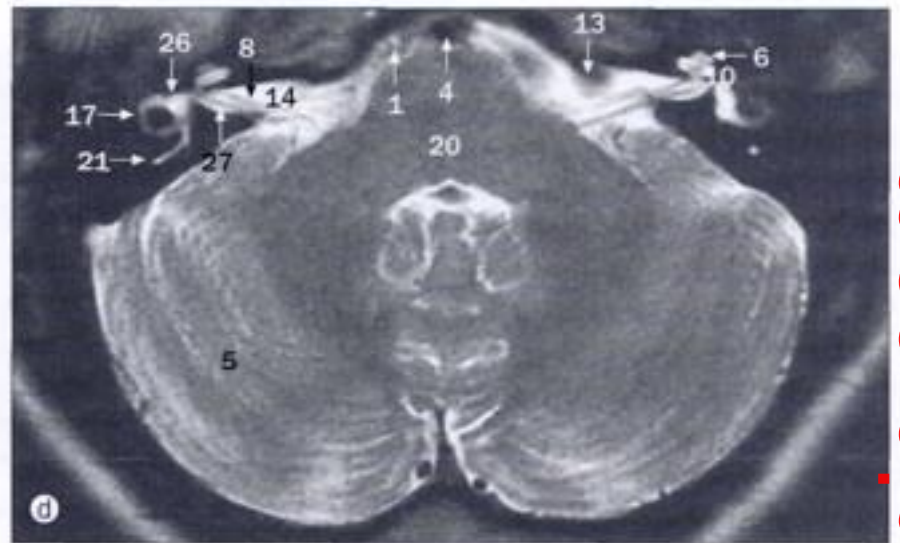
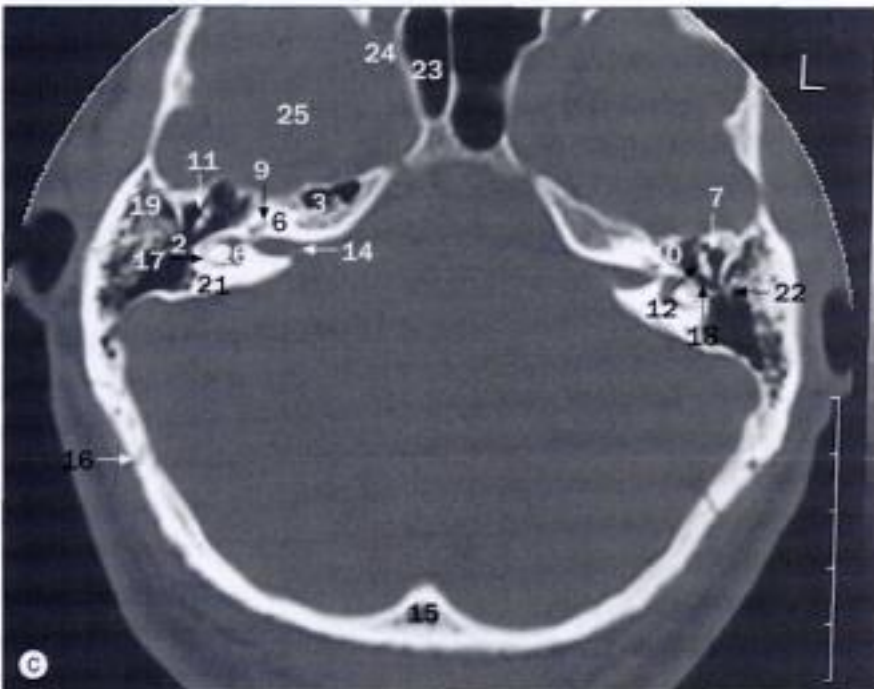




(a) Os temporal, tomographie à hauteur du méat acoustique interne.



(b) Os temporal, tomographie à hauteur de la cochlée (image prise plusieurs millimètres en avant de la coupe présentée en (a)).



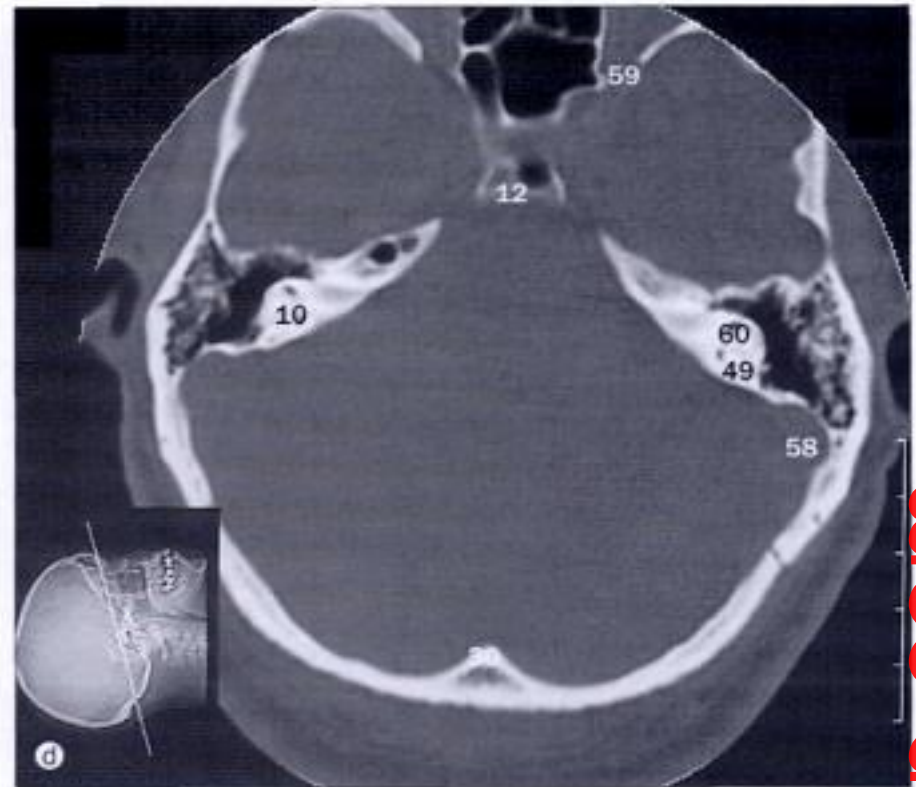
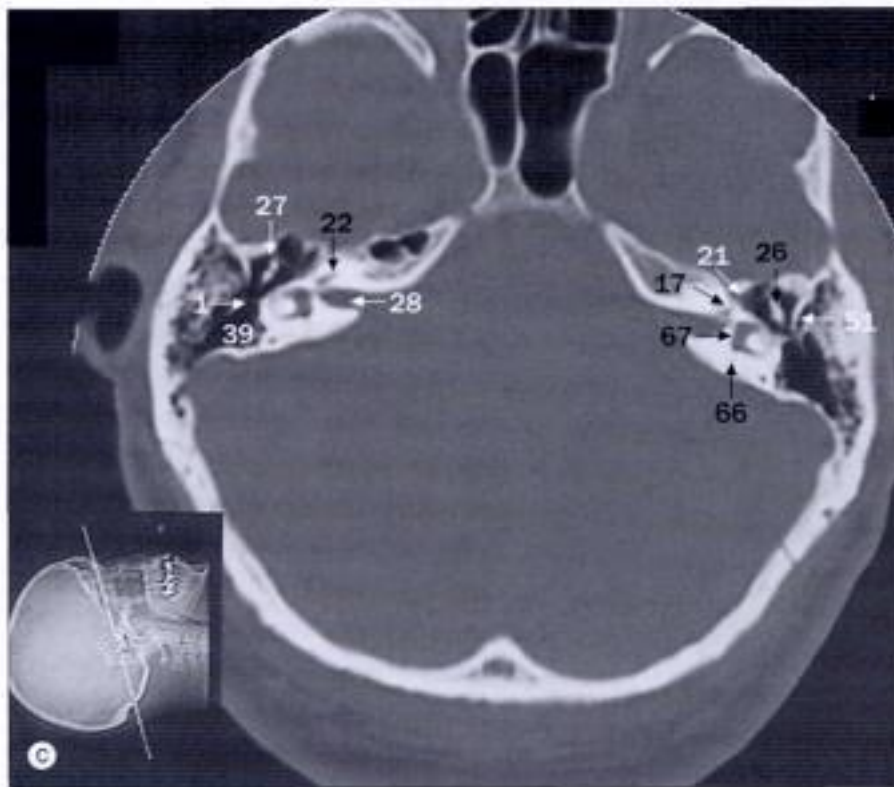
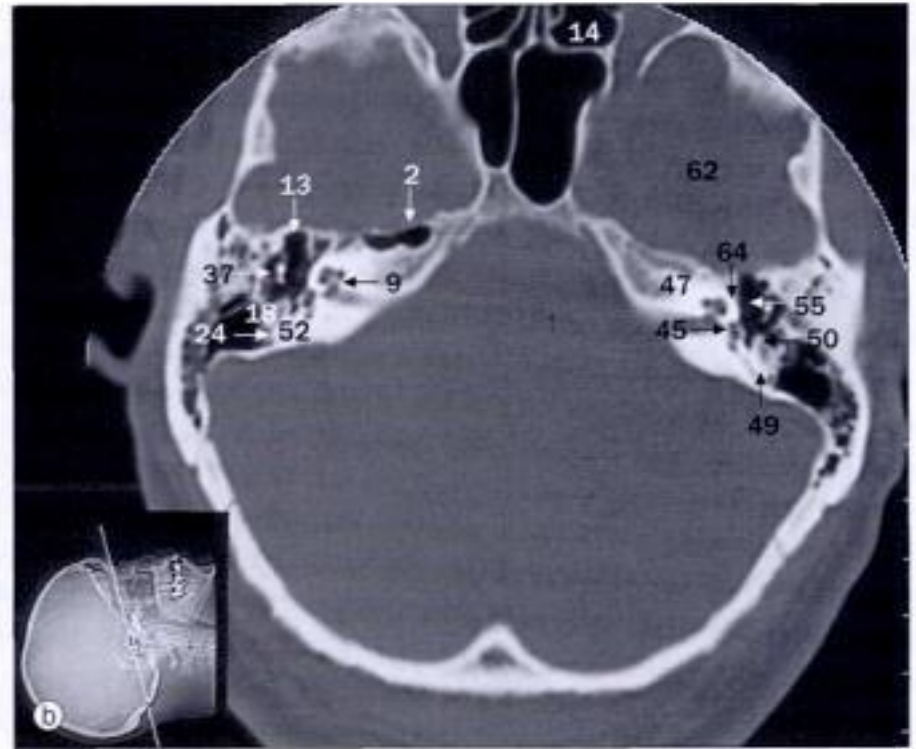
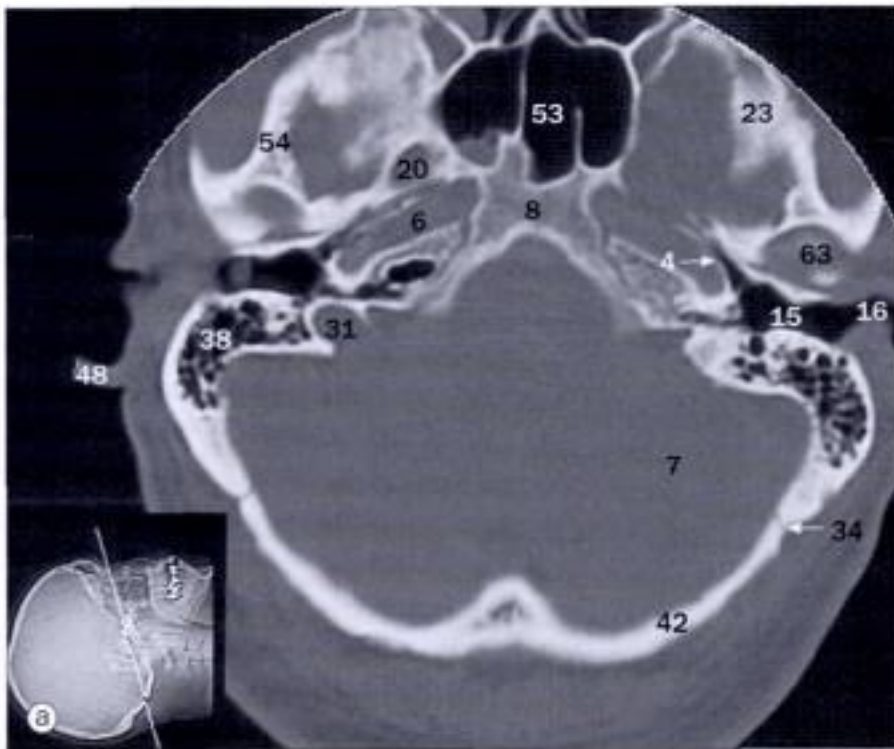
(c) TDM de l'os temporal.

(d) IRM de l'os temporal, coupe axiale à hauteur de l'angle ponto-cérébelleux.

- 1 Nerf abducens
- 2 Aditus de l'antre mastoïdien
- 3 Apex pneumatiqué de la partie pétreuse
- 4 Artère basilaire dans la citerne prépondique
- 5 Hémisphère cérébelleux
- 6 Cochlée
- 7 Recessus épitympanique
- 8 Nerf facial
- 9 Nerf facial (première partie)

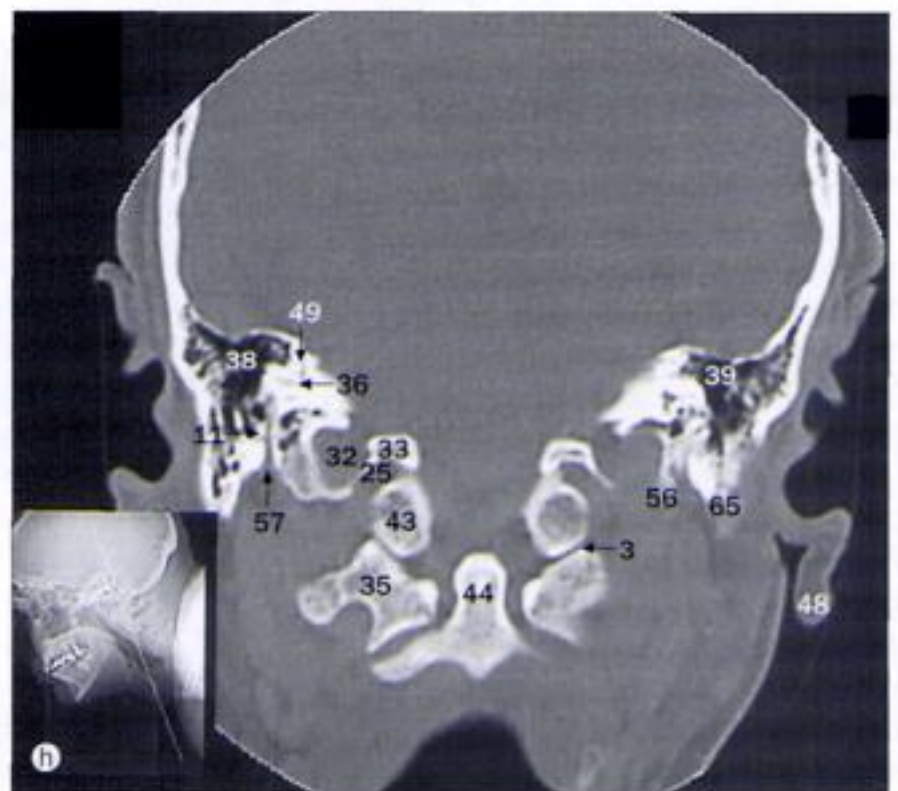
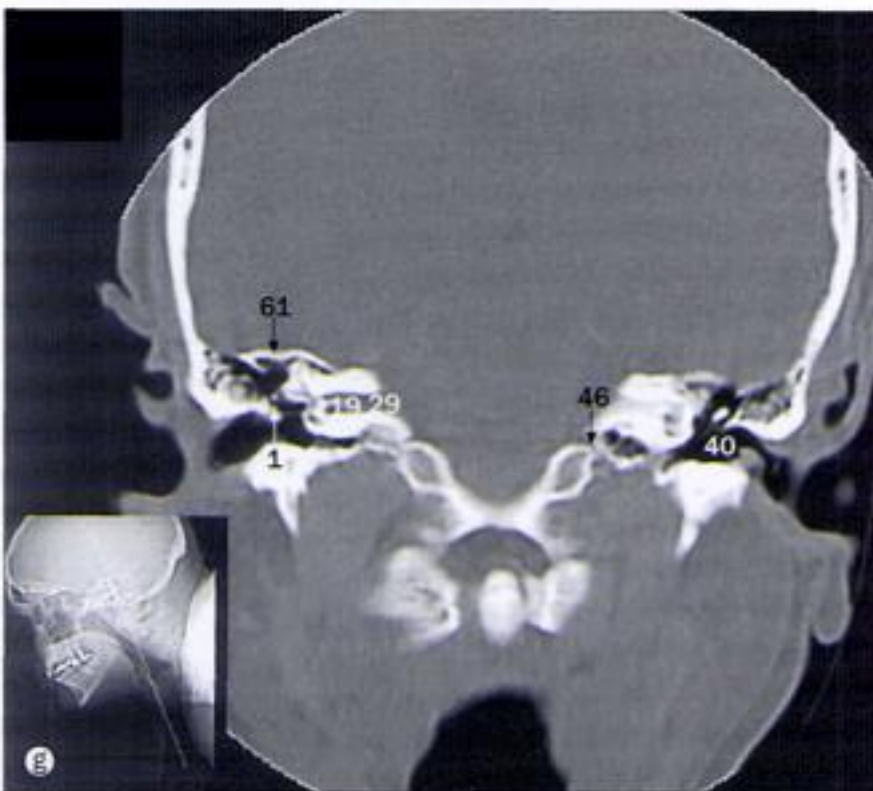
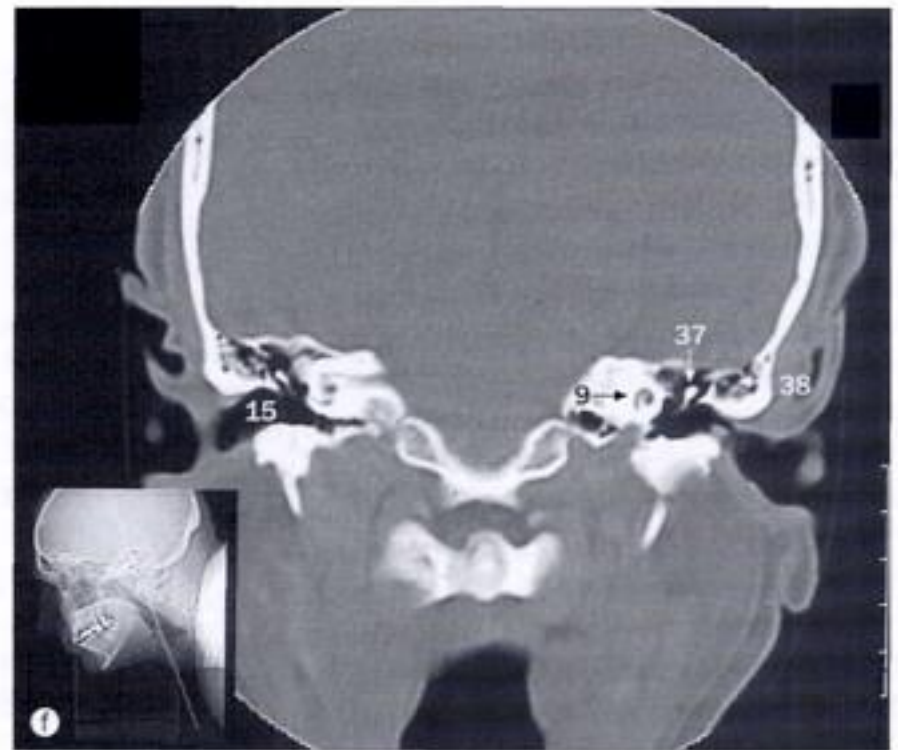
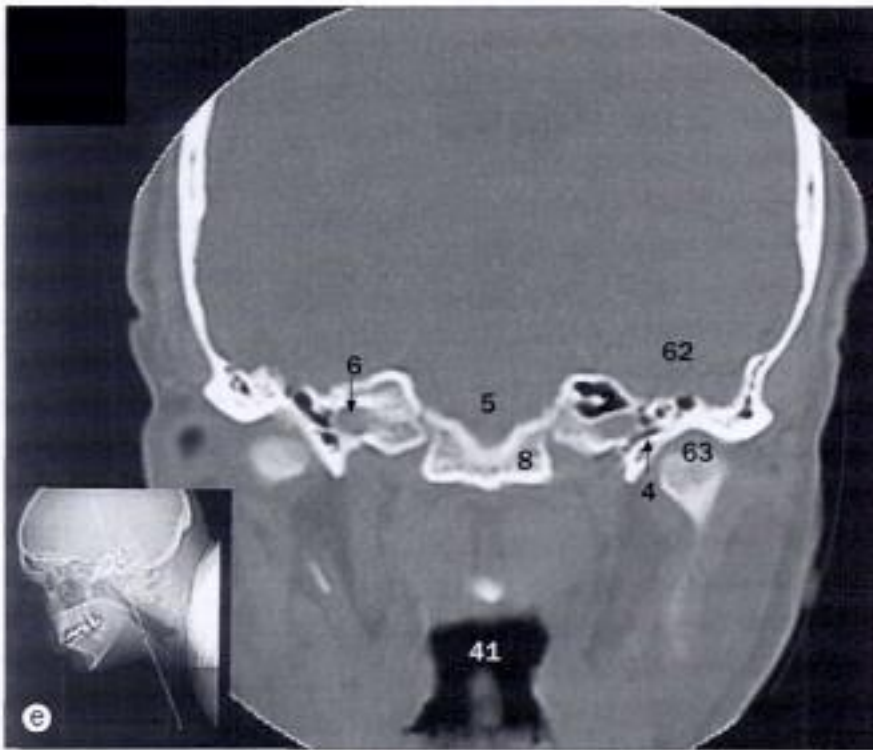
- 10 Ganglion géniculé
- 11 Articulation incudo-malléaire
- 12 Enclume
- 13 Sinus pétreux inférieur
- 14 Canal acoustique interne
- 15 Protubérance occipitale interne
- 16 Suture lambdoïde
- 17 Canal semi-circulaire latéral
- 18 Marteau

- 19 Cellules mastoïdiennes
- 20 Pont
- 21 Canal semi-circulaire postérieur
- 22 Scutum
- 23 Sinus sphénoïdal
- 24 Fissure orbitaire supérieure
- 25 Lobe temporal
- 26 Vestibule
- 27 Nerf vestibulo-cochléaire



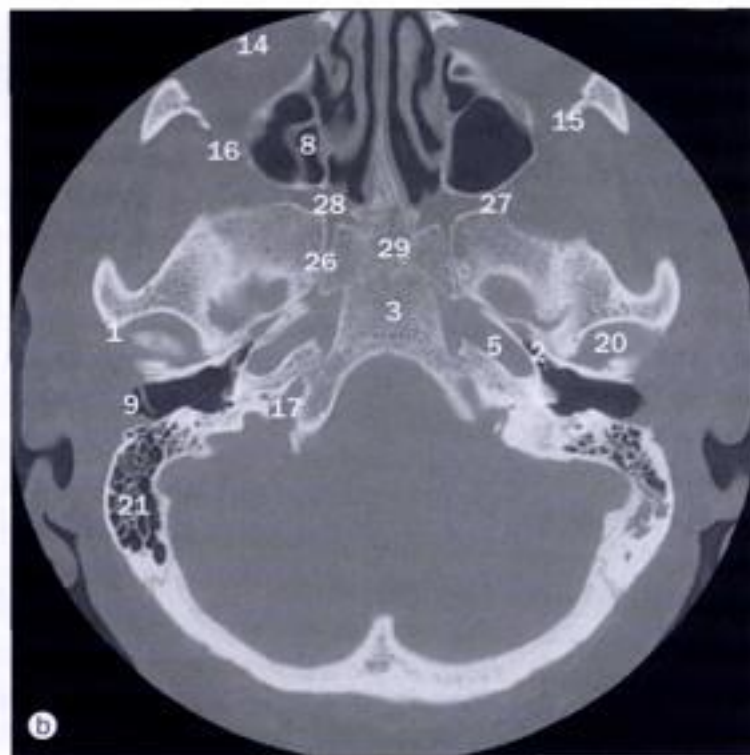
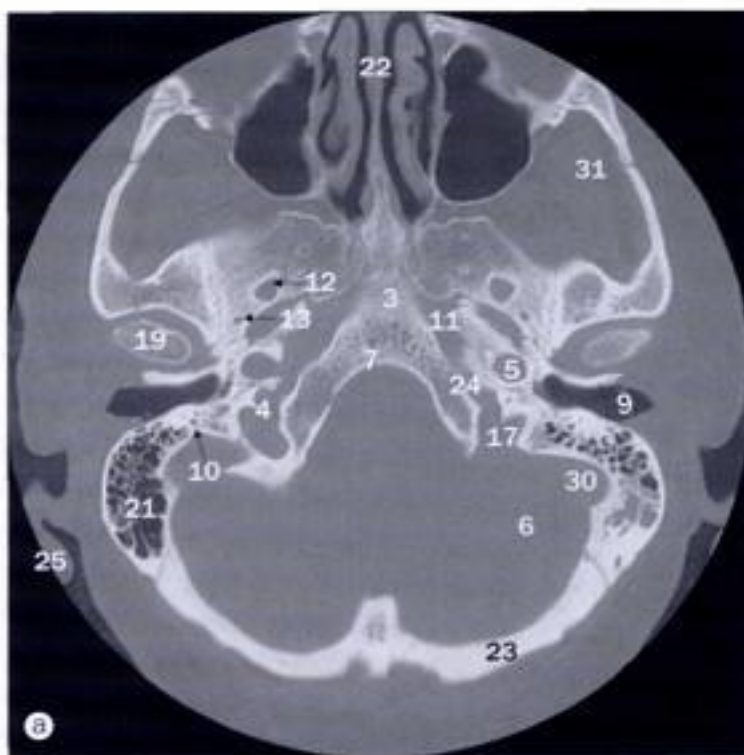
TDM des os temporaux. Coupes axiales intéressant les niveaux suivants : **(a)** canal acoustique externe ; **(b)** cochlée ; **(c)** canal acoustique interne et vestibule ; **(d)** partie supérieure de l'oreille moyenne et mastoïde.

- | | | |
|--|----------------------------------|---|
| 1 Aditus de l'antre mastoïdien | 12 Dos de la selle turcique | 23 Grande aile de l'os sphénoïde |
| 2 Apex pneumatiqué de la partie pétreuse | 13 Espace épitympanique | 24 Partie horizontale du canal du nerf facial |
| 3 Articulation atlanto-occipitale | 14 Cellules ethmoïdales | 25 Canal du nerf hypoglosse |
| 4 Trompe auditive (Eustache) | 15 Canal acoustique externe | 26 Articulation incudo-malléaire |
| 5 Tronc cérébral | 16 Méat acoustique externe | 27 Enclume |
| 6 Canal carotidien | 17 Nerf facial (première partie) | 28 Canal acoustique interne |
| 7 Cervelet | 18 Recessus facial | 29 Méat acoustique interne |
| 8 Clivus | 19 Crête falciforme | 30 Protubérance occipitale interne |
| 9 Cochlée | 20 Foramen ovale | 31 Foramen jugulaire |
| 10 Aqueduc de la cochlée | 21 Ganglion géniculé | 32 Fosse jugulaire |
| 11 Segment descendant du nerf facial | 22 Nerf grand pétueux | 33 Tubercule jugulaire |



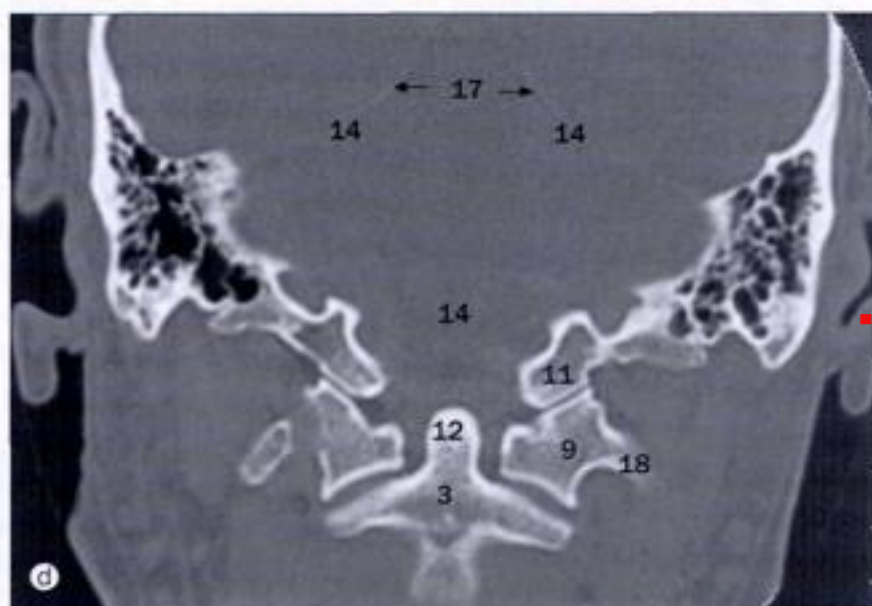
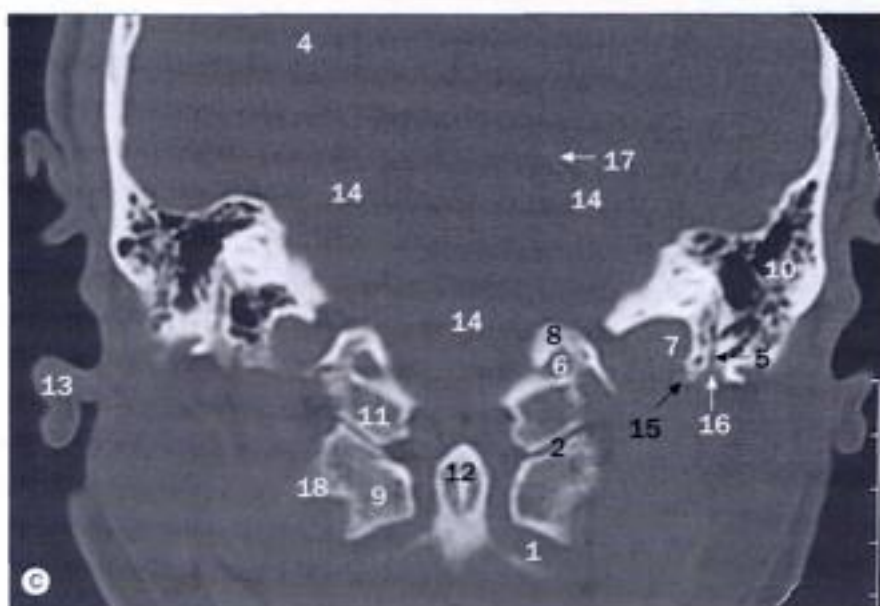
TDM des os temporaux. Coupes frontales (coronales) intéressant les niveaux suivants : **(e)** partie postérieure de l'articulation temporo-mandibulaire ; **(f)** méat acoustique externe et vestibule ; **(g)** méat acoustique interne ; **(h)** mastoïde.

- | | | |
|--|-------------------------------------|--------------------------------------|
| 34 Suture lambdoïde | 45 Fenêtre ovale | 57 Foramen stylo-mastoïdien |
| 35 Masse latérale de l'atlas (première vertèbre cervicale) | 46 Fissure pétro-occipitale | 58 Sillon du sinus veineux sigmoïde |
| 36 Canal semi-circulaire latéral | 47 Partie pétreuse de l'os temporal | 59 Fissure orbitaire supérieure |
| 37 Marteau | 48 Pavillon de l'oreille | 60 Canal semi-circulaire supérieur |
| 38 Cellules mastoïdiennes | 49 Canal semi-circulaire postérieur | 61 Tegmen tympani |
| 39 Antre mastoïdien | 50 Éminence pyramidale | 62 Lobe temporal |
| 40 Caisse du tympan | 51 Scutum | 63 Articulation temporo-mandibulaire |
| 41 Nasopharynx | 52 Sinus tympani | 64 Muscle tenseur du tympan |
| 42 Os occipital | 53 Sinus sphénoïdal | 65 Apex du processus mastoïde |
| 43 Condyle occipital | 54 Écaille de l'os temporal | 66 Aqueduc du vestibule |
| 44 Processus odontoïde (dent) | 55 Étrier | 67 Vestibule |
| | 56 Processus styloïde | |



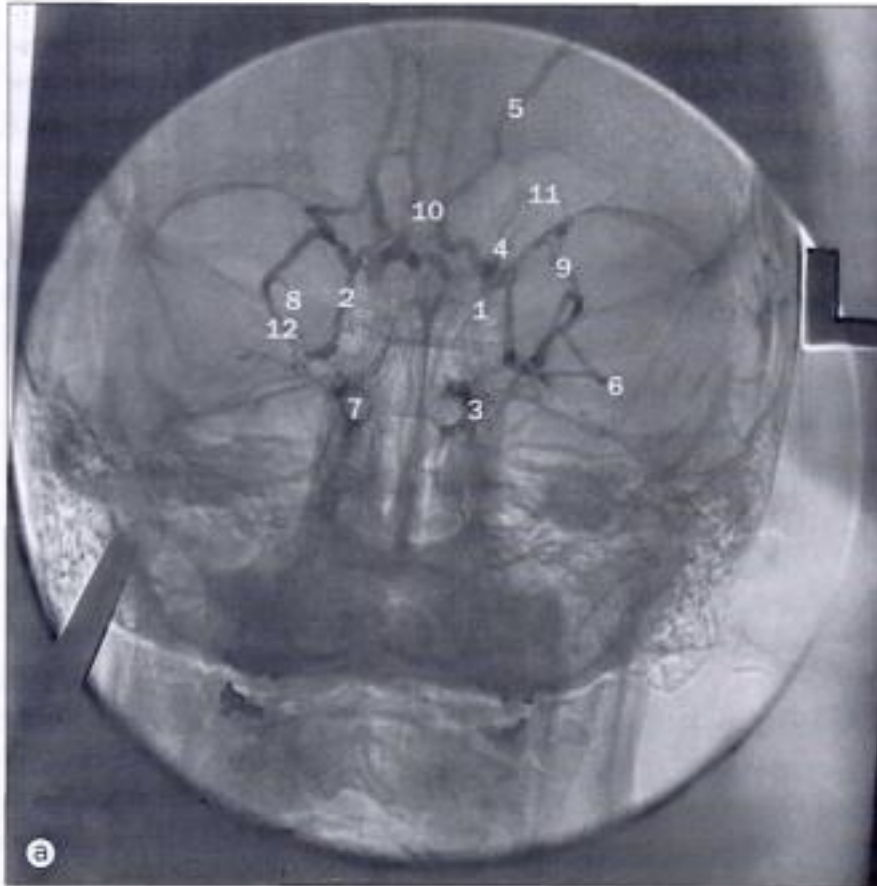
(a) et (b) TDM de la base du crâne, coupes axiales.

- | | | |
|------------------------------|----------------------------------|-------------------------------------|
| 1 Condyle articulaire | 12 Foramen ovale | 23 Os occipital |
| 2 Trompe auditive (Eustache) | 13 Foramen épineux | 24 Fissure pétro-occipitale |
| 3 Basisphénoïde | 14 Globe oculaire | 25 Pavillon de l'oreille |
| 4 Épine carotico-jugulaire | 15 Grande aile de l'os sphénoïde | 26 Canal ptérygoïdien (vidien) |
| 5 Canal carotidien | 16 Fissure orbitaire inférieure | 27 Fissure ptérygo-maxillaire |
| 6 Hémisphère cérébelleux | 17 Foramen jugulaire | 28 Fosse ptérygo-palatine |
| 7 Clivus | 18 Cristallin | 29 Sinus sphénoïdal |
| 8 Cellules ethmoïdales | 19 Condyle de la mandibule | 30 Sillon du sinus veineux sigmoïde |
| 9 Méat acoustique externe | 20 Fosse mandibulaire | 31 Muscle temporal |
| 10 Canal du nerf facial | 21 Cellules mastoïdiennes | |
| 11 Foramen déchiré | 22 Septum nasal | |



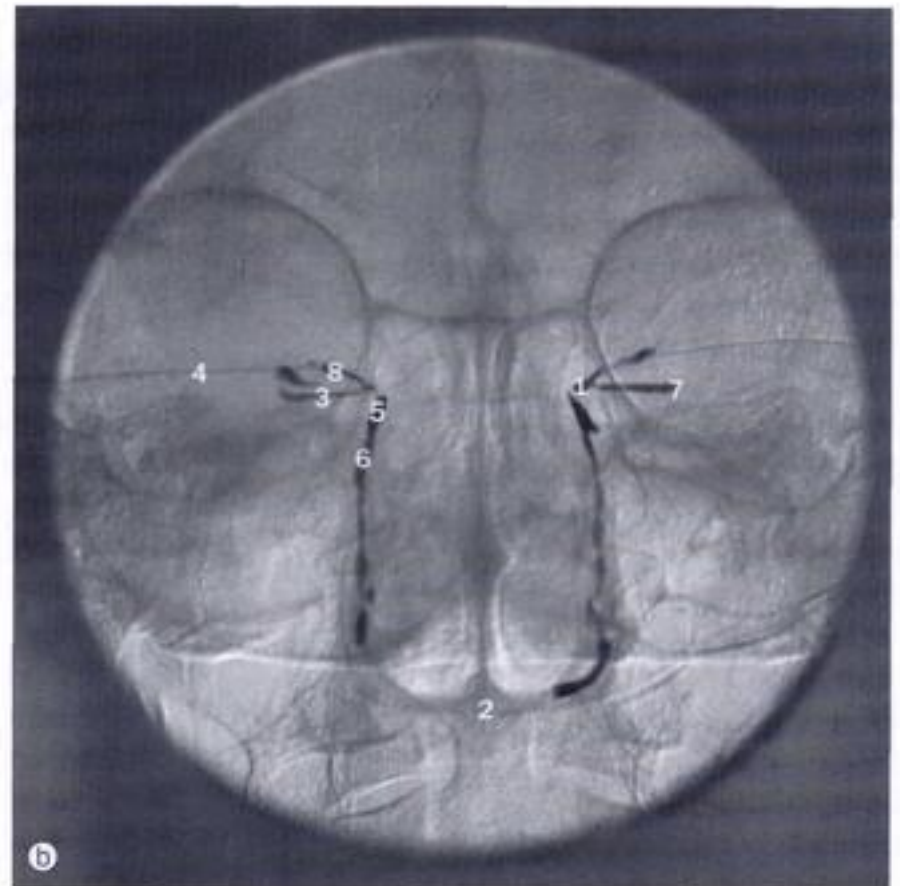
(c) et (d) TDM de la base du crâne, coupes frontales (coronales).

- | | | |
|--|---|------------------------------------|
| 1 Articulation atlanto-axoïdienne | 8 Tubercule jugulaire | 14 Fosse postérieure |
| 2 Articulation atlanto-occipitale | 9 Masse latérale de l'atlas (première vertèbre cervicale) | 15 Processus styloïde |
| 3 Axis (deuxième vertèbre cervicale) | 10 Cellules mastoïdiennes | 16 Foramen stylo-mastoïdien |
| 4 Hémisphère cérébral | 11 Condyle occipital | 17 Tente du cervelet |
| 5 Segment descendant du canal du nerf facial | 12 Processus odontoïde (dent) | 18 Processus transverse de l'atlas |
| 6 Canal du nerf hypoglosse | 13 Pavillon de l'oreille | |
| 7 Fosse jugulaire | | |



(a) Phlébographie orbitaire. ▲

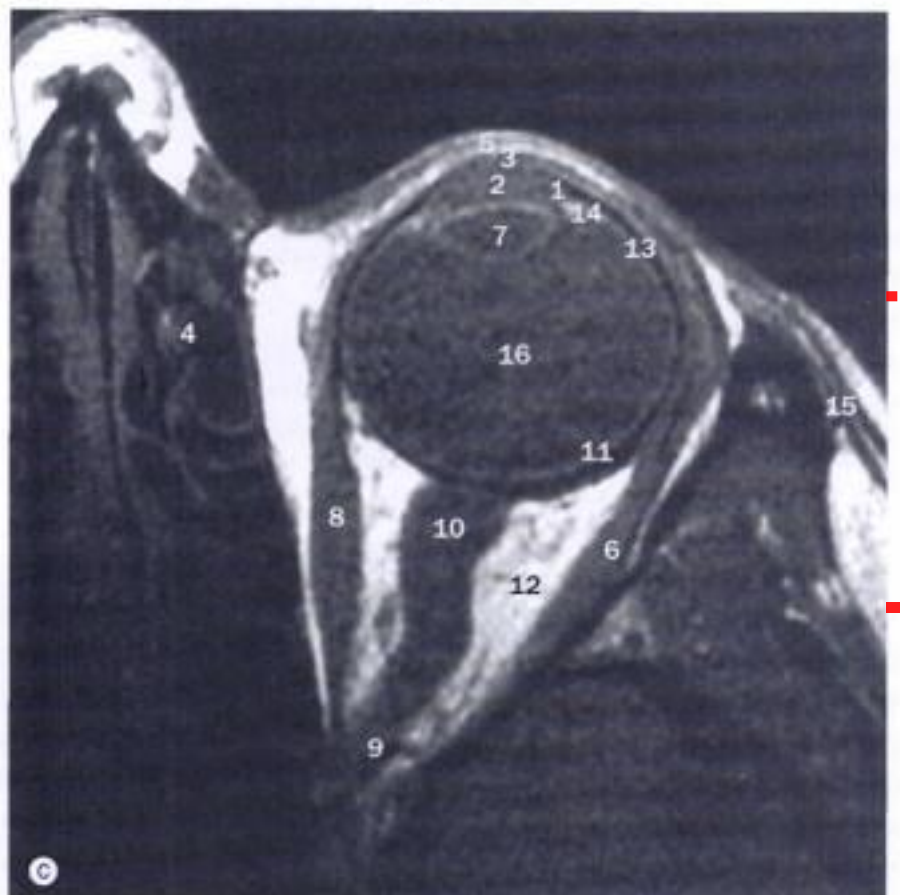
- 1 Veines angulaires
- 2 Veine collatérale antérieure
- 3 Sinus caveux
- 4 Première partie de la veine ophtalmique supérieure
- 5 Veines frontales
- 6 Veine ophtalmique inférieure
- 7 Artère carotide interne
- 8 Veine collatérale médiale
- 9 Deuxième partie de la veine ophtalmique supérieure
- 10 Veine anastomotique superficielle
- 11 Veine supra-orbitaire
- 12 Troisième partie de la veine ophtalmique supérieure



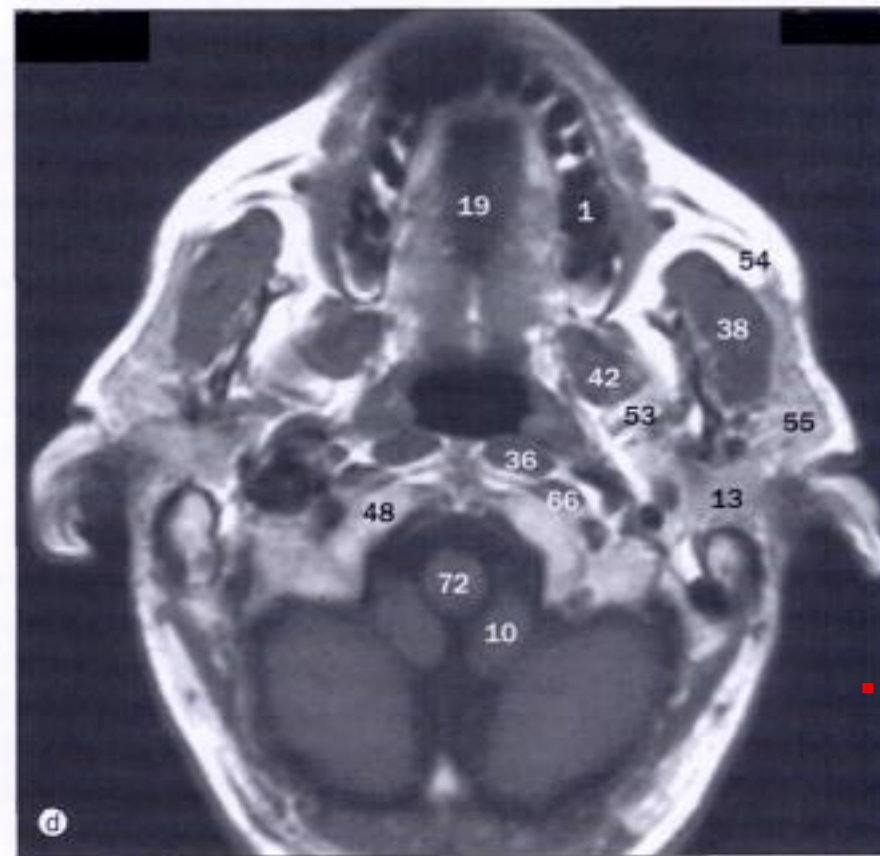
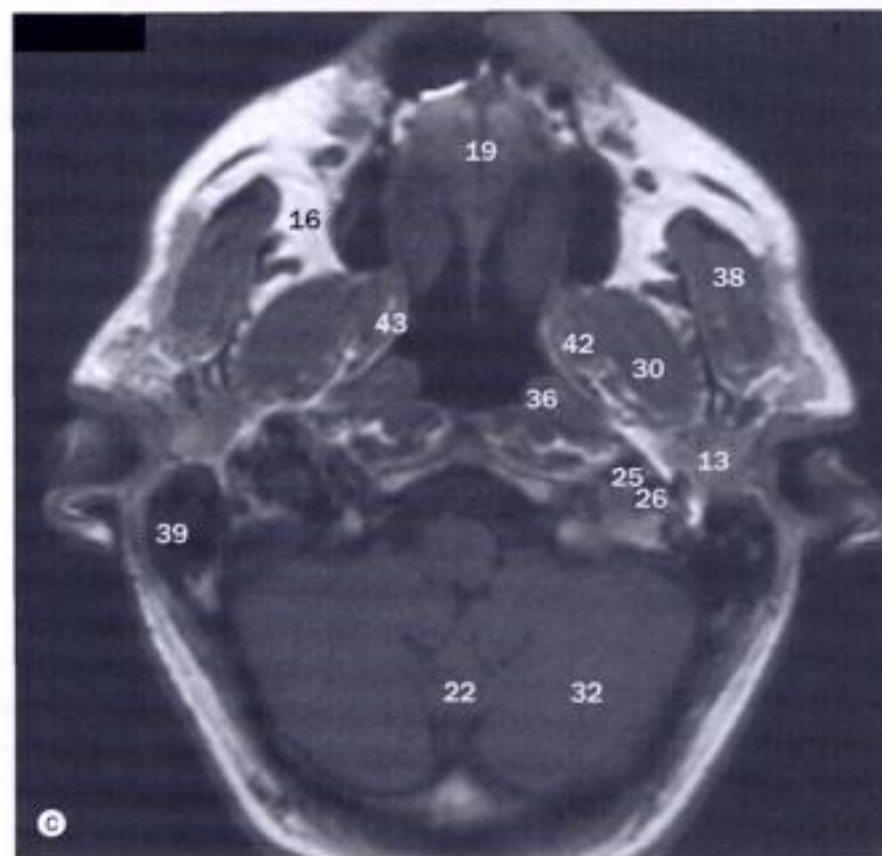
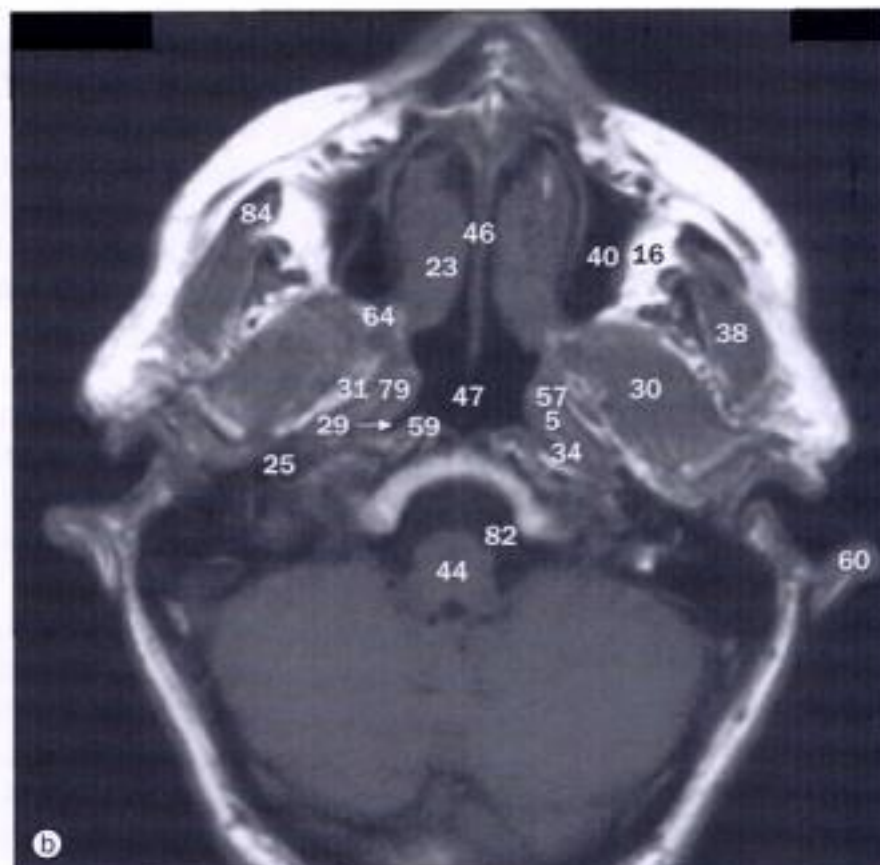
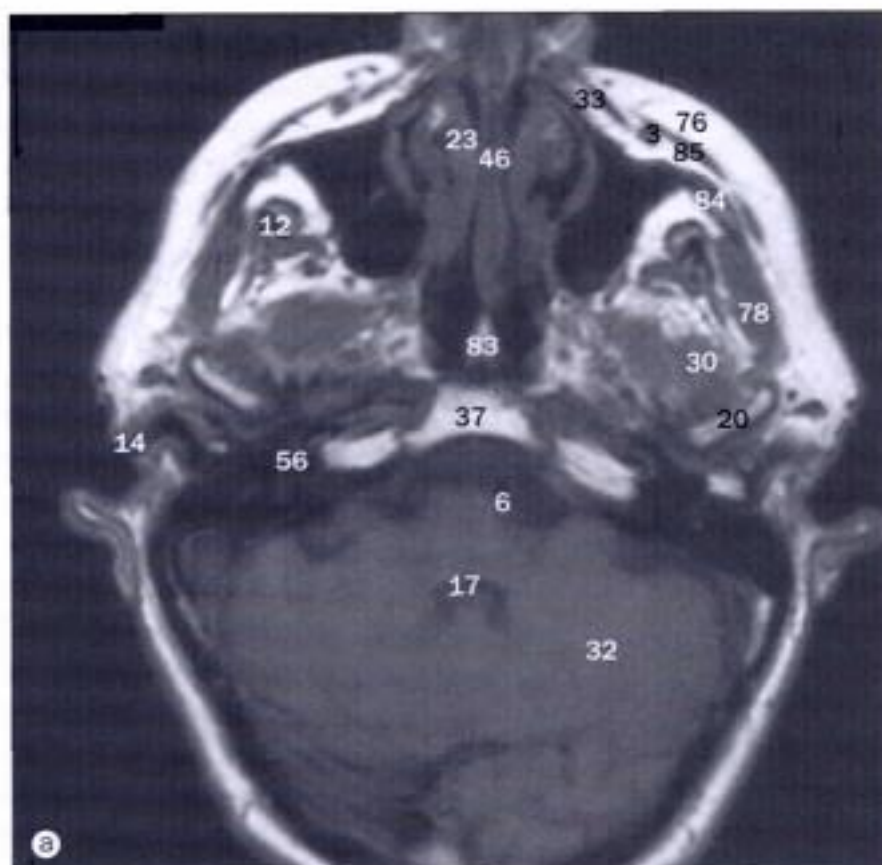
(b) Macro-dacryo-cystographie. ▲

- | | |
|------------------------|--------------------------|
| 1 Canalicule commun | 5 Sac lacrymal |
| 2 Palais dur | 6 Conduit lacrymo-nasal |
| 3 Canalicule inférieur | 7 Site du point lacrymal |
| 4 Cathéters lacrymaux | 8 Canalicule supérieur |

(c) IRM du globe oculaire, coupe axiale.

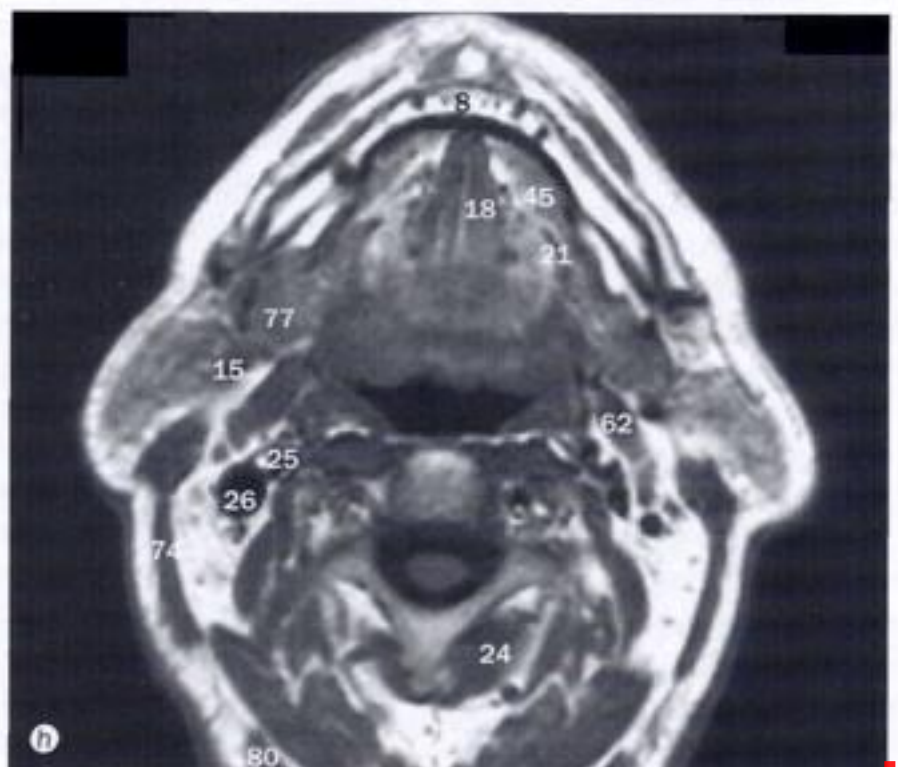
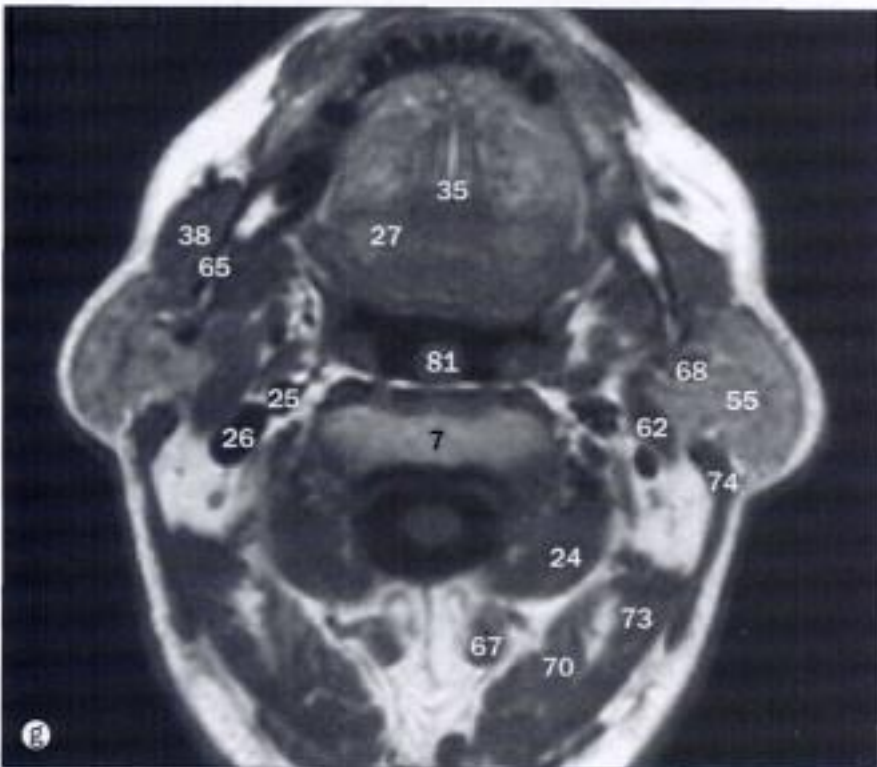
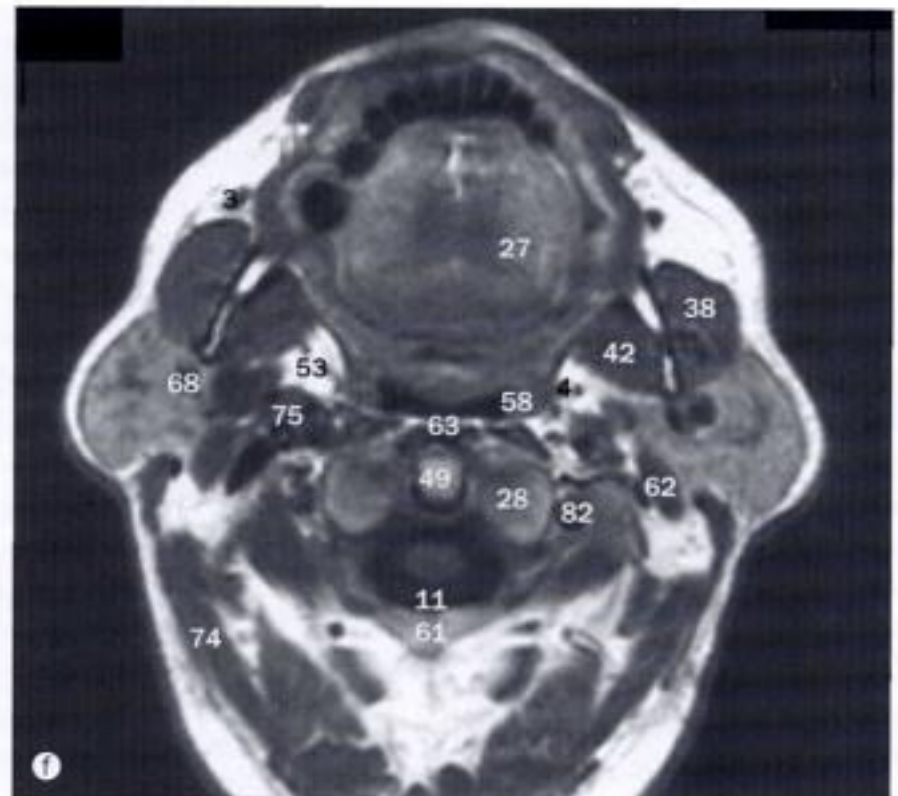
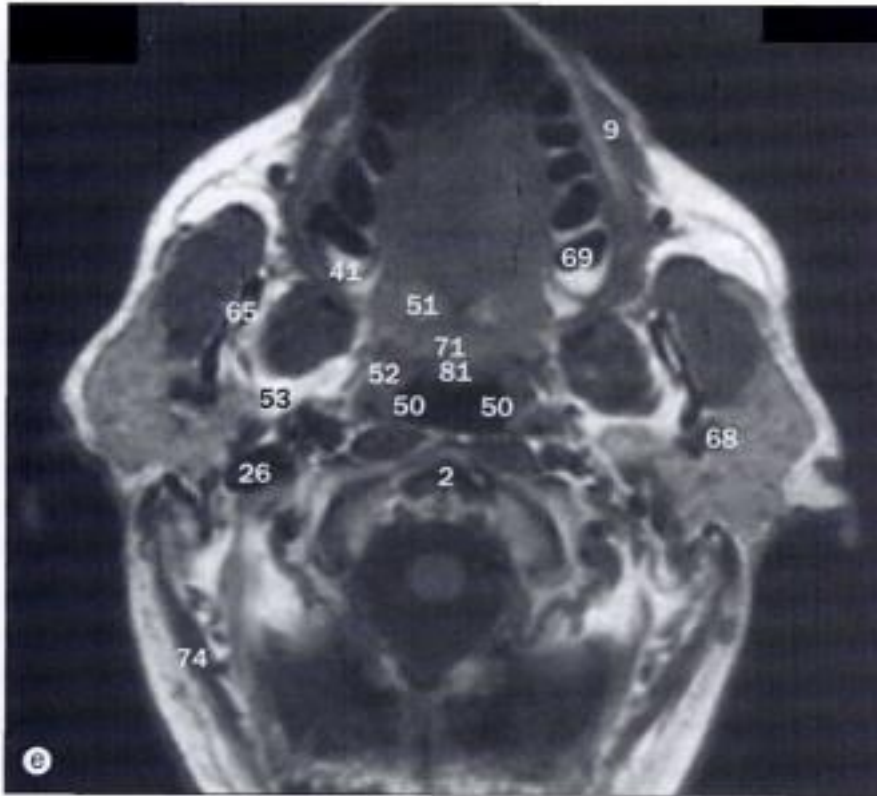


- | | |
|------------------------|--------------------------------------|
| 1 Chambre antérieure | 10 Nerf optique |
| 2 Humeur aqueuse | 11 Rétine et choroïde |
| 3 Cornée | 12 Graisse rétro-orbitaire |
| 4 Cellules ethmoïdales | 13 Sclérotique |
| 5 Paupière | 14 Ligament suspenseur du cristallin |
| 6 Muscle droit latéral | 15 Muscle temporal |
| 7 Cristallin | 16 Corps vitré |
| 8 Muscle droit médial | |
| 9 Artère ophtalmique | |

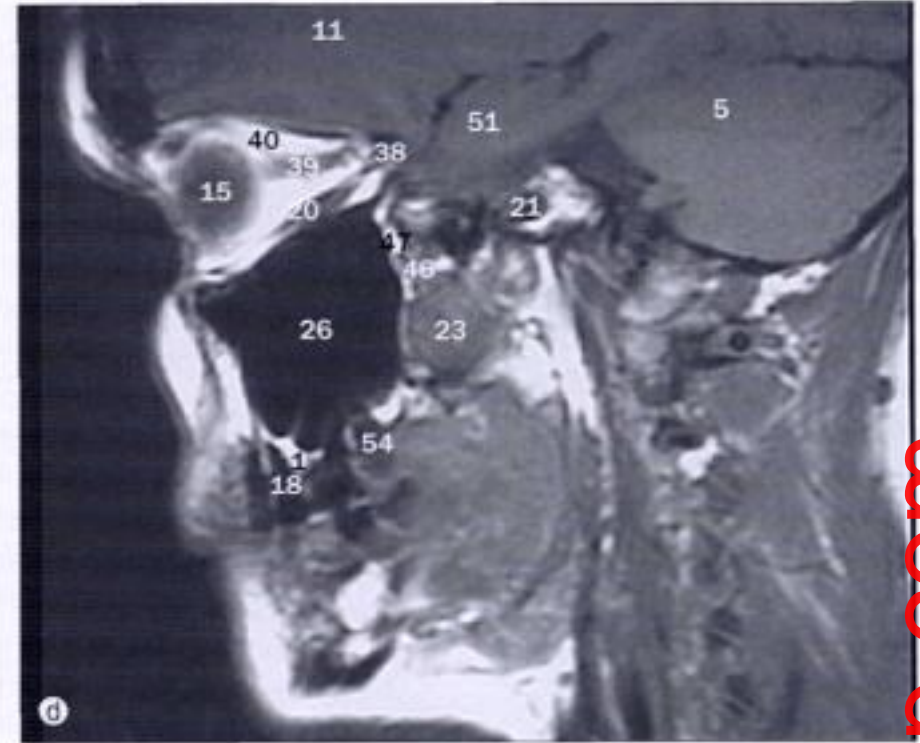
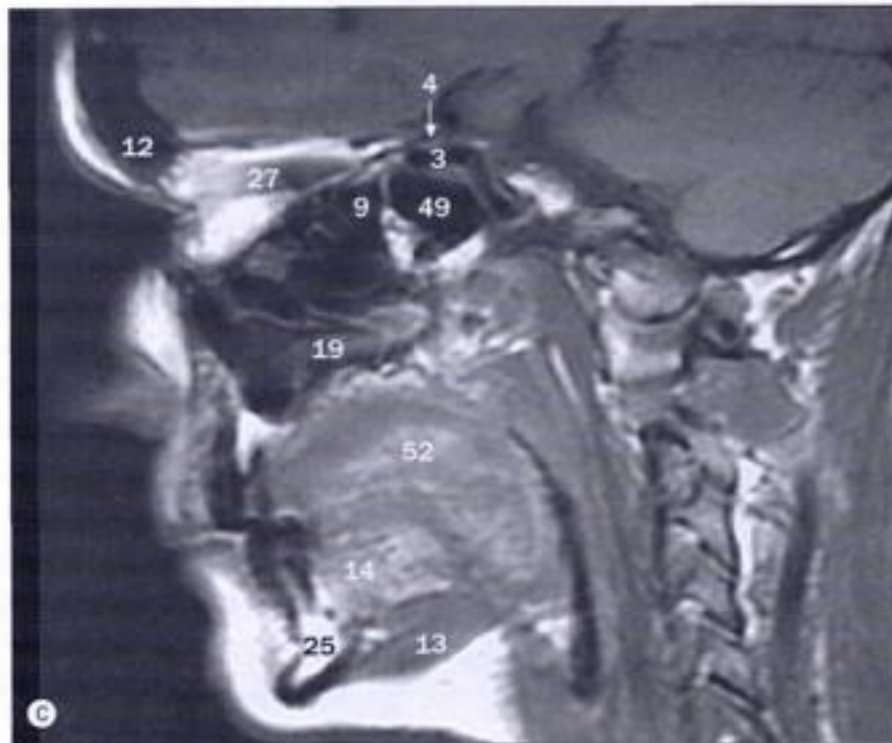
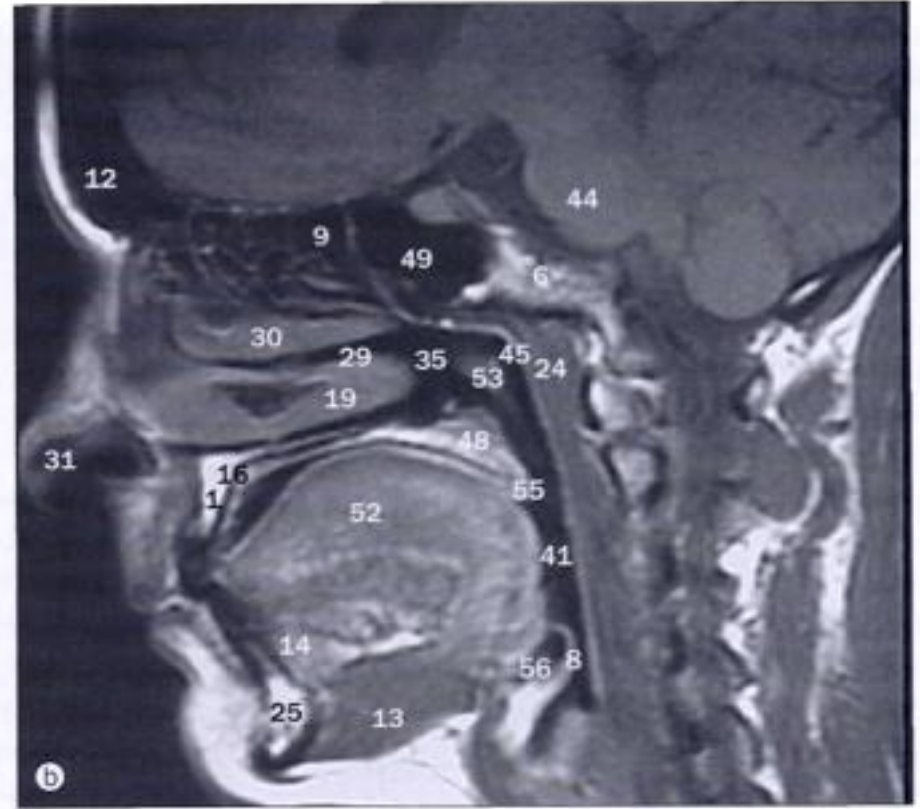
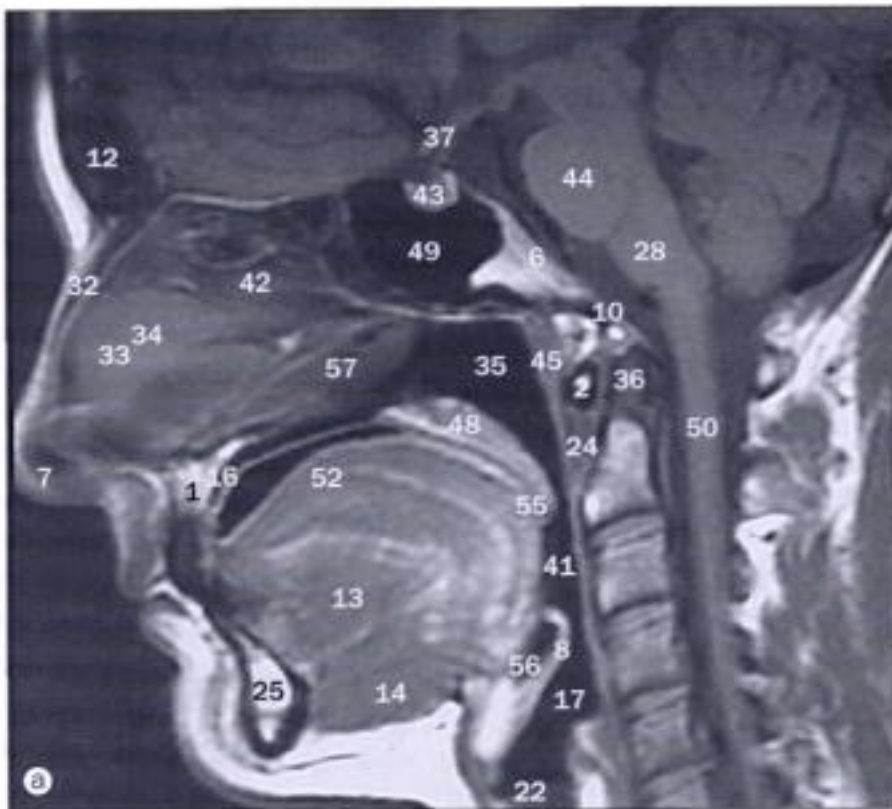


(a) - (h) IRM du nasopharynx et de l'oropharynx, coupes axiales.

- | | | | |
|--|---|---|--|
| 1 Processus alvéolaire du maxillaire | 9 Muscle buccinateur | 16 Graisse dans la fosse infratemporale | 25 Artère carotide interne |
| 2 Arc antérieur de l'atlas (première vertèbre cervicale) | 10 Tonsilles cérébelleuses | 17 Quatrième ventricule | 26 Veine jugulaire interne |
| 3 Veine faciale antérieure | 11 Liquide cérébro-spinal dans l'espace subarachnoïdien | 18 Muscle génio-glosse | 27 Muscles intrinsèques de la langue |
| 4 Artère pharyngienne ascendante | 12 Processus coronoïde de la mandibule | 19 Palais dur | 28 Masse latérale de l'atlas (première vertèbre cervicale) |
| 5 Trompe auditive (Eustache) | 13 Lobe profond de la glande parotide | 20 Condyle de la mandibule | 29 Récessus latéral du pharynx |
| 6 Artère basilaire | 14 Canal acoustique externe | 21 Muscle hyoglosse | 30 Muscle ptérygoïdien latéral |
| 7 Corps de l'axis (deuxième vertèbre cervicale) | 15 Artère carotide externe | 22 Vermis cérébelleux inférieur | 31 Lamelle latérale du processus ptérygoïde |
| 8 Corps de la mandibule | | 23 Cornet nasal inférieur | 32 Hémisphère cérébelleux gauche |
| | | 24 Muscle oblique inférieur | |

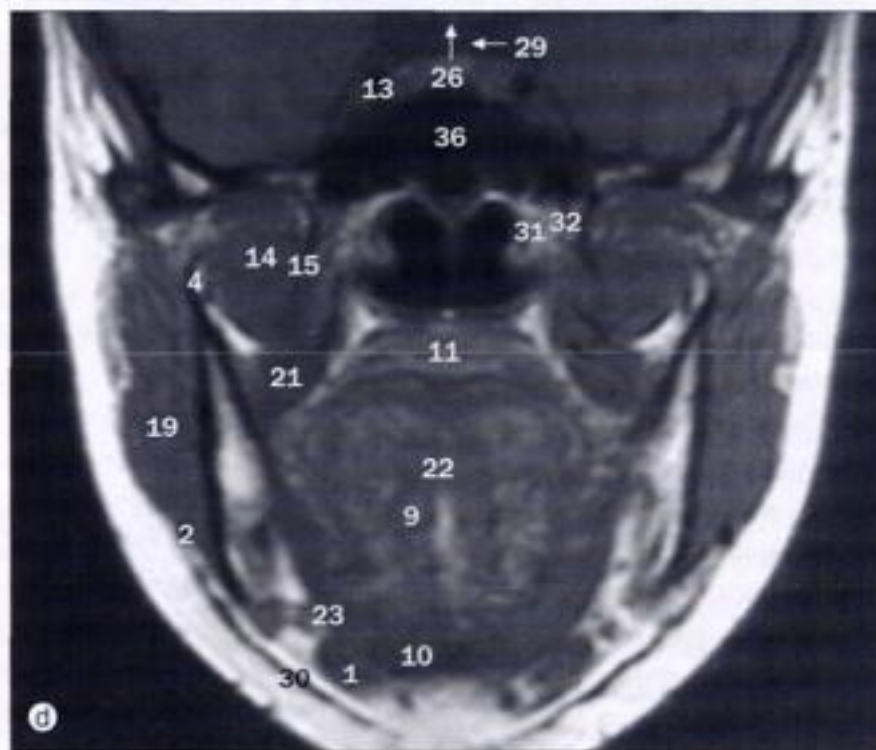
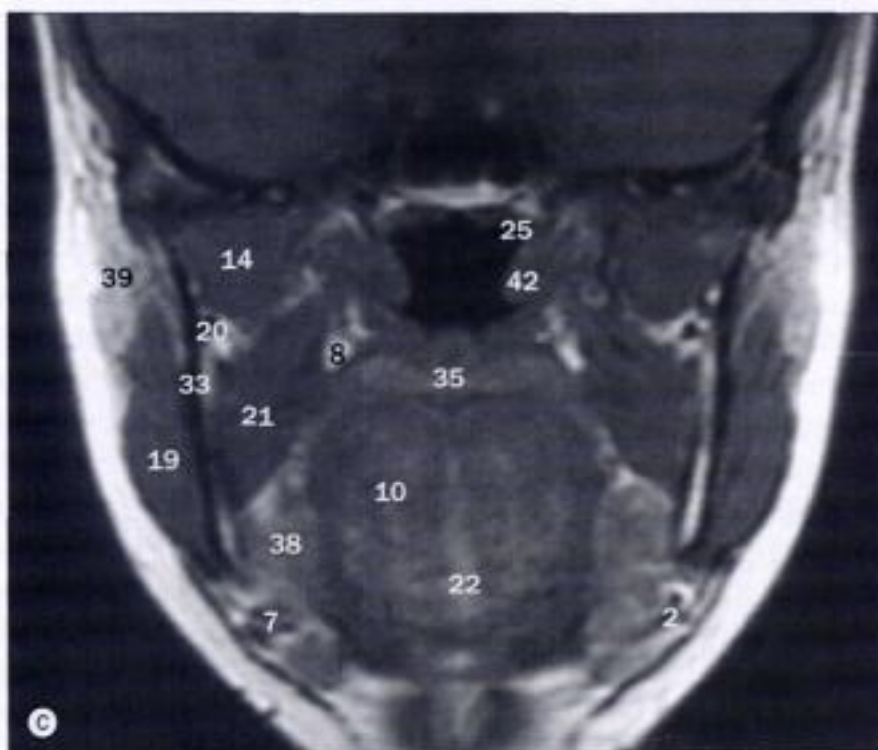
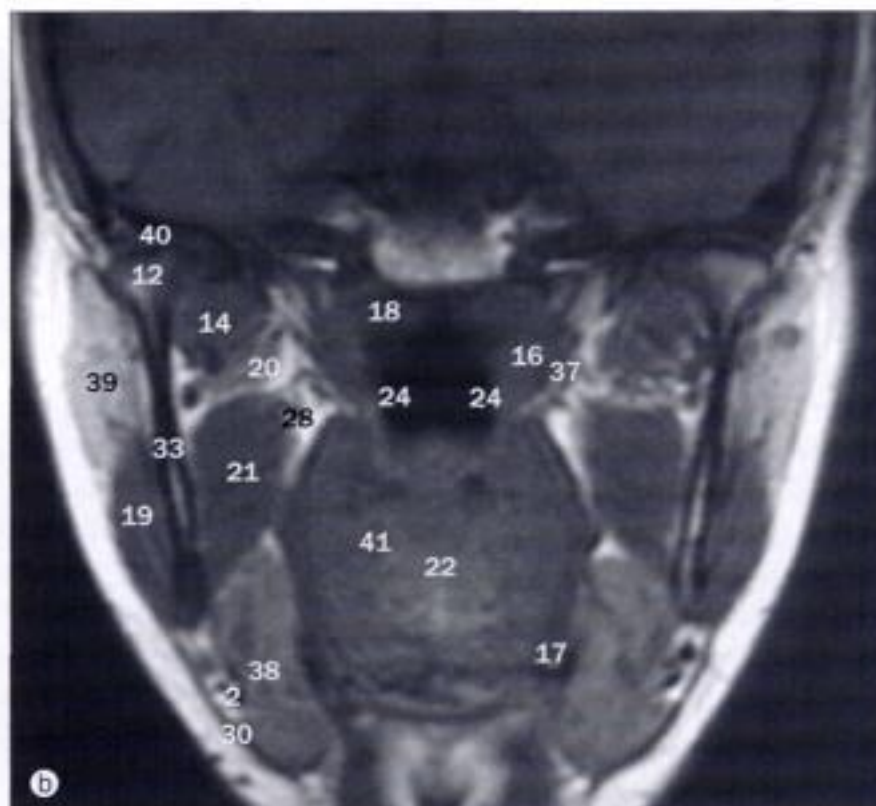
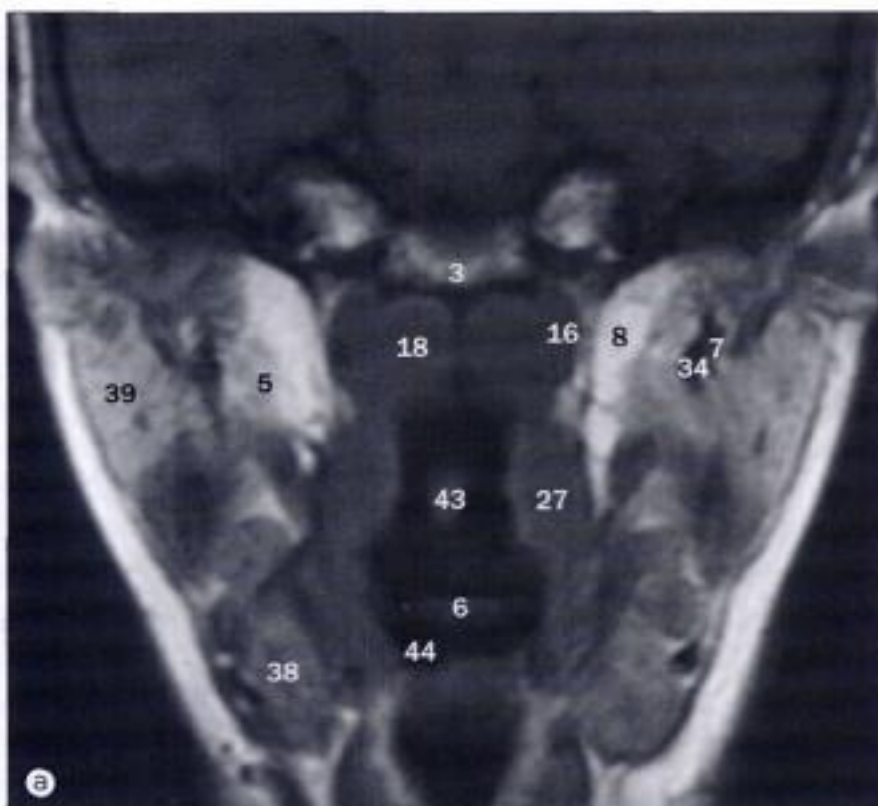


- | | | | |
|--|--|--|--------------------------------------|
| 33 Muscle releveur naso-labial | 47 Nasopharynx | 60 Pavillon de l'oreille | 74 Muscle sterno-cléido-mastoïdien |
| 34 Muscle élévateur du voile du palais | 48 Condyle occipital | 61 Arc postérieur de l'atlas | 75 Muscle stylo-pharyngien |
| 35 Septum lingual | 49 Processus odontoïde (dent) | 62 Ventre postérieur du muscle digastrique | 76 Tissu adipeux sous-cutané |
| 36 Muscle long de la tête | 50 Oropharynx | 63 Paroi postérieure du pharynx | 77 Glande submandibulaire |
| 37 Moelle osseuse dans le clivus | 51 Tonsilles palatines | 64 Fissure ptérygo-maxillaire | 78 Muscle temporal |
| 38 Muscle masséter | 52 Muscle palato-pharyngien | 65 Branche de la mandibule | 79 Muscle tenseur du voile du palais |
| 39 Processus mastoïde | 53 Espace parapharyngien | 66 Muscle droit antérieur de la tête | 80 Muscle trapèze |
| 40 Sinus maxillaire (antre) | 54 Conduit parotidien | 67 Muscle droit de la tête | 81 Uvule |
| 41 Tubérosité du maxillaire | 55 Glande parotide | 68 Veine rétromandibulaire | 82 Artère vertébrale |
| 42 Muscle ptérygoïdien médial | 56 Partie pétreuse de l'os temporal | 69 Racine d'une dent molaire supérieure | 83 Vomer |
| 43 Lamelle médiale du processus ptérygoïde | 57 Extrémité pharyngienne cartilagineuse de la trompe auditive (torus tubaire) | 70 Muscle semi-épineux de la tête | 84 Arcade zygomatique |
| 44 Moelle allongée | 58 Muscle constricteur du pharynx | 71 Palais mou | 85 Muscle zygomatique |
| 45 Muscle mylo-hyoïdien | 59 Fascia pharyngo-basilaire | 72 Moelle épinière | |
| 46 Septum nasal cartilagineux | | 73 Muscle splénus de la tête | |



(a) - (d) IRM du nasopharynx et de l'oropharynx, coupes sagittales.

- | | | | |
|--|--------------------------------|---|---------------------------------|
| 1 Processus alvéolaire du maxillaire | 14 Muscle génio-hyoïdien | 29 Méat nasal moyen | 43 Glande pituitaire |
| 2 Arc antérieur de l'atlas (première vertèbre cervicale) | 15 Globe oculaire | 30 Cornet nasal moyen | 44 Pont |
| 3 Portion caverneuse de l'artère carotide interne | 16 Palais dur | 31 Aile du nez | 45 Paroi postérieure du pharynx |
| 4 Sinus caverneux | 17 Hypopharynx | 32 Os nasal | 46 Fissure ptérygo-maxillaire |
| 5 Hémisphère cérébelleux | 18 Dent incisive | 33 Septum nasal cartilagineux | 47 Fosse ptérygo-palatine |
| 6 Clivus | 19 Cornet nasal inférieur | 34 Septum nasal | 48 Palais mou |
| 7 Columelle | 20 Muscle droit inférieur | 35 Nasopharynx | 49 Sinus sphénoïdal |
| 8 Épiglotté | 21 Artère carotide interne | 36 Processus odontoïde (dent) | 50 Moelle épinière |
| 9 Cellules ethmoïdales | 22 Larynx | 37 Chiasma optique | 51 Lobe temporal |
| 10 Foramen magnum | 23 Muscle ptérygoïdien latéral | 38 Canal optique | 52 Langue |
| 11 Lobe frontal | 24 Muscle long de la tête | 39 Nerf optique | 53 Torus tubaire |
| 12 Sinus frontal | 25 Mandibule | 40 Graisse orbitaire | 54 Dent molaire supérieure |
| 13 Muscle génio-glosse | 26 Sinus maxillaire (antre) | 41 Oropharynx | 55 Uvule |
| | 27 Muscle droit médial | 42 Lamelle perpendiculaire de l'os ethmoïde | 56 Vallécule |
| | 28 Moelle allongée | | 57 Vomer |



(a) - (d) IFIM du nasopharynx et de l'oropharynx, coupes frontales (coronales).

- 1 Ventre antérieur du muscle digastrique
- 2 Veine faciale antérieure
- 3 Clivus
- 4 Processus coronoïde de la mandibule
- 5 Lobe profond de la glande parotide
- 6 Épiglotte
- 7 Artère faciale
- 8 Graisse dans l'espace parapharyngien
- 9 Muscle génio-glosse
- 10 Muscle génio-hyoidien

- 11 Palais dur
- 12 Condyle de la mandibule
- 13 Artère carotide interne
- 14 Muscle ptérygoidien latéral
- 15 Lamelle latérale du processus ptérygoïde
- 16 Muscle élévateur du voile du palais et muscle tenseur du voile du palais
- 17 Artère linguale
- 18 Muscle long de la tête
- 19 Muscle masséter
- 20 Artère maxillaire
- 21 Muscle ptérygoidien médial

- 22 Raphé médian de la langue
- 23 Muscle mylo-hyoidien
- 24 Nasopharynx
- 25 Ostium de la trompe auditive (Eustache)
- 26 Chiasma optique
- 27 Muscles constricteurs du palais
- 28 Artère palatine
- 29 Tige pituitaire
- 30 Muscle platysma
- 31 Canal ptérygoidien (vidien)
- 32 Processus ptérygoïde de l'os sphénoïde
- 33 Branche de la mandibule

- 34 Veine rétro-mandibulaire
- 35 Palais mou
- 36 Sinus sphénoïdal
- 37 Muscle stylo-pharyngien
- 38 Glande submandibulaire
- 39 Lobe superficiel de la glande parotide
- 40 Articulation temporo-mandibulaire
- 41 Langue
- 42 Torus tubaire
- 43 Uvule
- 44 Vallécule



(a) Tissus mous du cou, projection latérale.

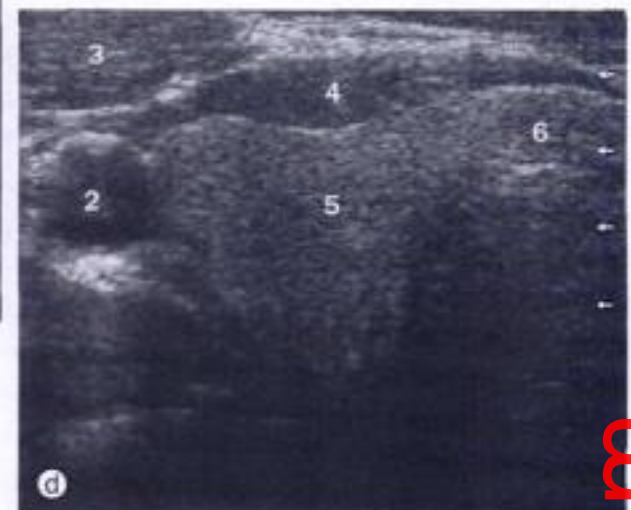
- 1 Air dans le nasopharynx
- 2 Cartilage aryténoïde
- 3 Corps de l'os hyoïde
- 4 Cartilage cricoïde
- 5 Cartilage cunéiforme
- 6 Épiglotte
- 7 Grande corne de l'os hyoïde
- 8 Face postérieure de la langue
- 9 Tissus mous rétropharyngiens

- 10 Sinus du larynx
- 11 Palais mou
- 12 Corne supérieure du cartilage thyroïde
- 13 Trachée
- 14 Vallécule
- 15 Pli vestibulaire
- 16 Pli vocal



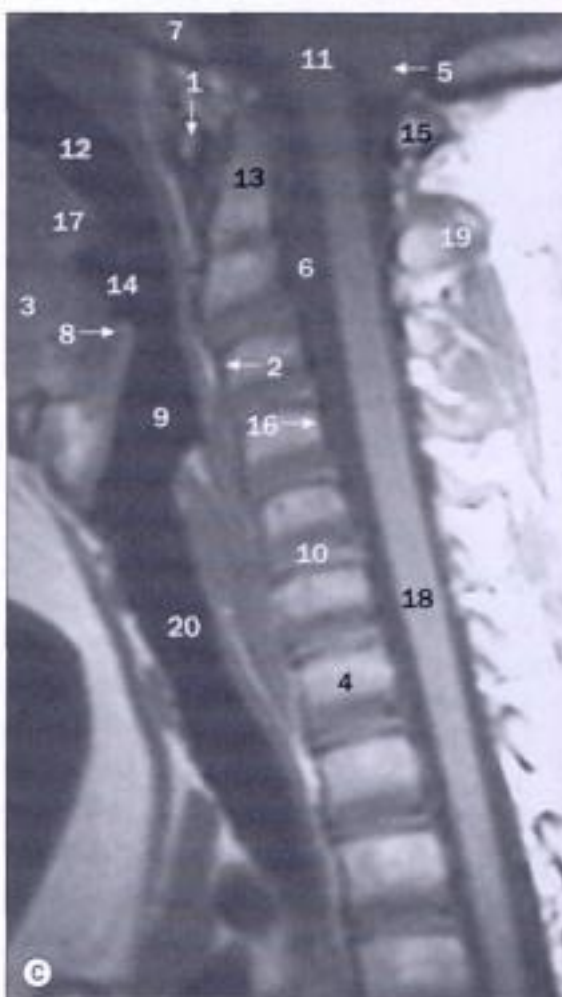
(b) IRM du baiser, coupe sagittale.

- 1 Insertion deltoïde du muscle releveur
- 2 Mandibule
- 3 Nez
- 4 Partie marginale du muscle orbiculaire de la bouche
- 5 Partie périphérique du muscle orbiculaire de la bouche
- 6 Langue



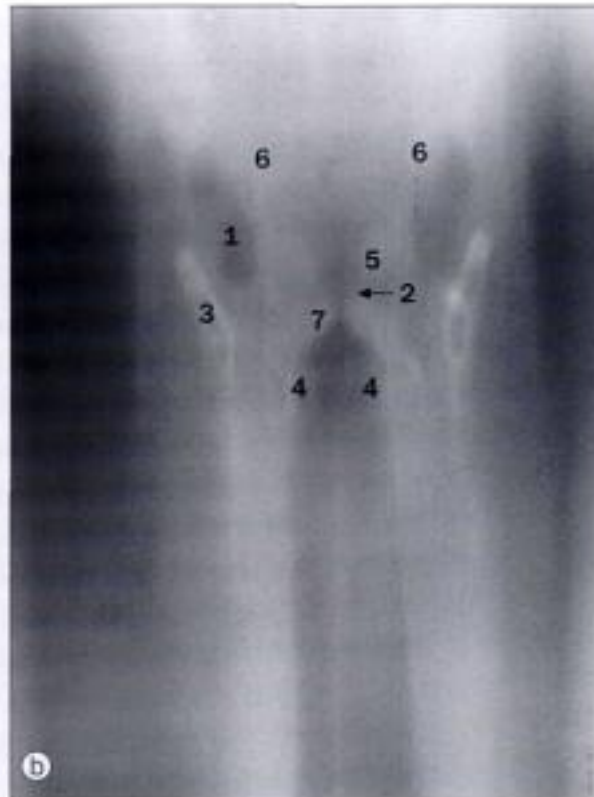
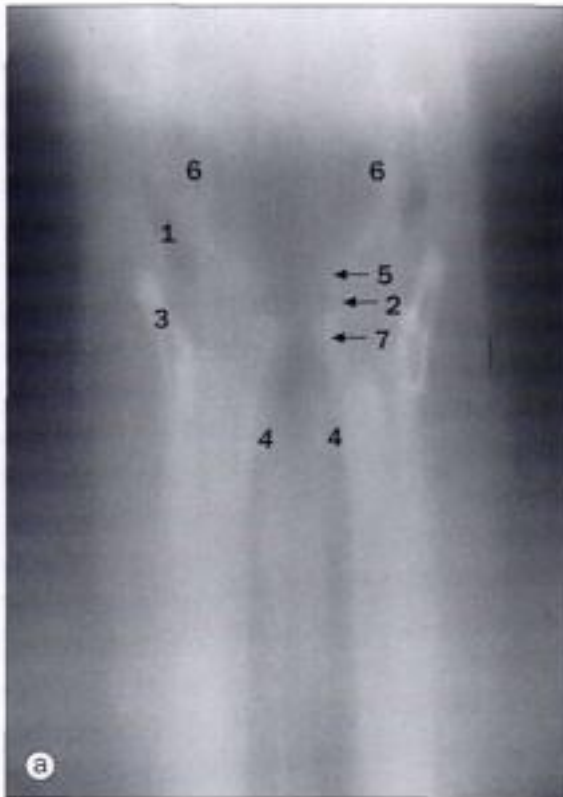
(d) et (e) Échographie de la glande thyroïde, projection axiale.

- 1 Fascia cervical profond
- 2 Veine jugulaire interne
- 3 Muscle sterno-cléido-mastoïdien
- 4 Muscles infra-hyoïdiens
- 5 Glande thyroïde
- 6 Isthme de la glande thyroïde



(c) IRM des tissus mous du cou, coupe sagittale.

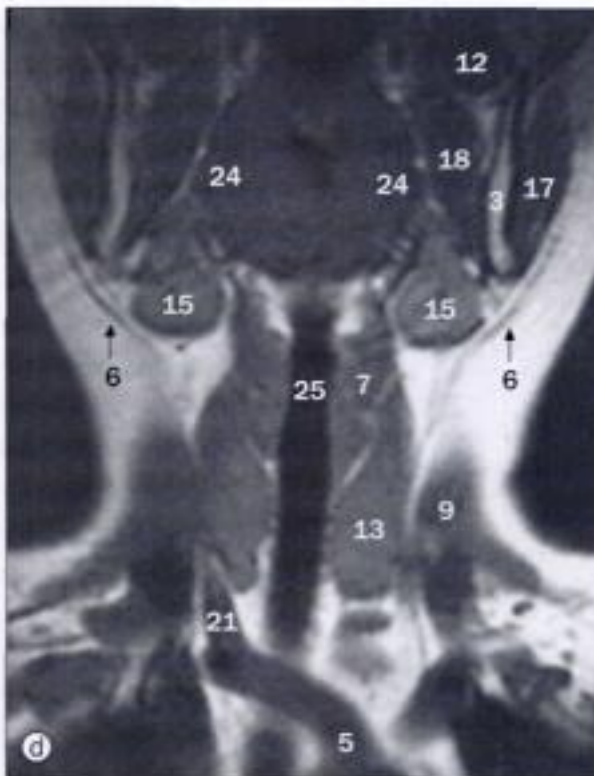
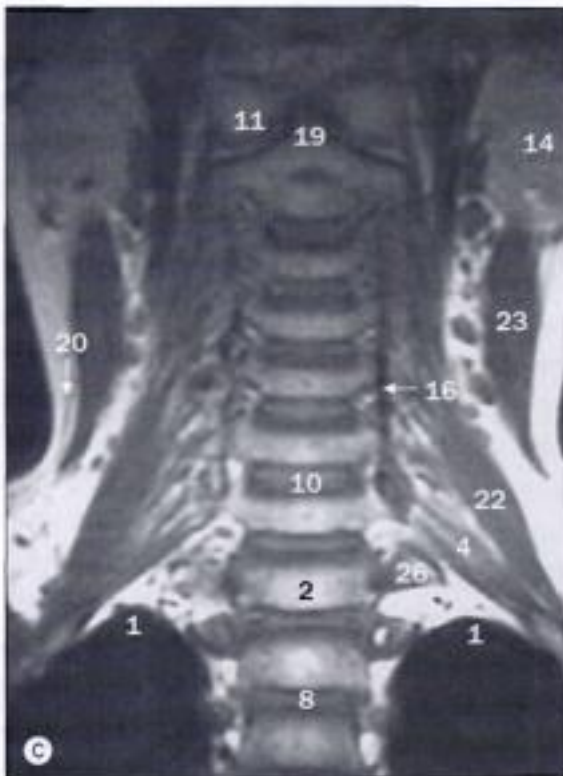
- 1 Arc antérieur de l'atlas (première vertèbre cervicale)
- 2 Ligament longitudinal antérieur
- 3 Base de la langue
- 4 Corps de la septième vertèbre cervicale
- 5 Tonsille cérébelleuse
- 6 Liquide cérébro-spinal
- 7 Clivus
- 8 Épiglotte
- 9 Hypopharynx
- 10 Disque intervertébral (entre la cinquième et la sixième vertèbre cervicale)
- 11 Moelle allongée
- 12 Nasopharynx
- 13 Processus odontoïde (dent)
- 14 Oropharynx
- 15 Arc postérieur de l'atlas (première vertèbre cervicale)
- 16 Ligament longitudinal postérieur
- 17 Palais mou
- 18 Moelle épinière
- 19 Processus épineux de l'axis (deuxième vertèbre cervicale)
- 20 Trachée



Tomographie du larynx, **(a)** au repos, **(b)** au cours de la phonation.

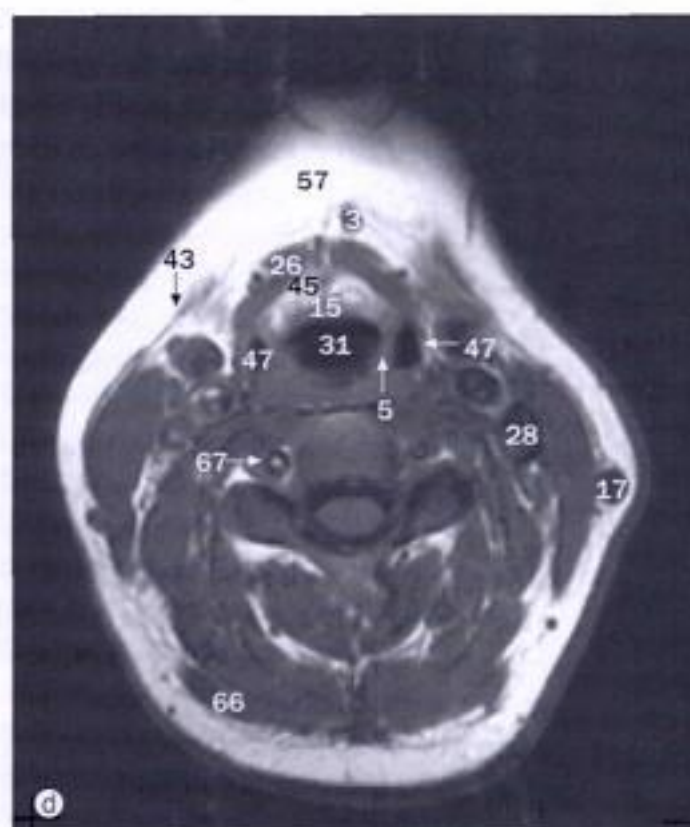
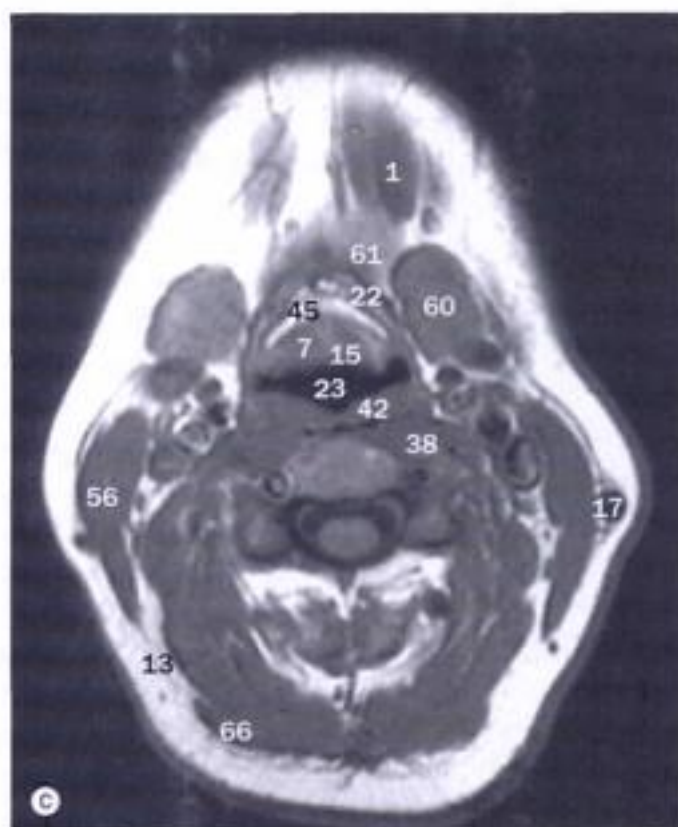
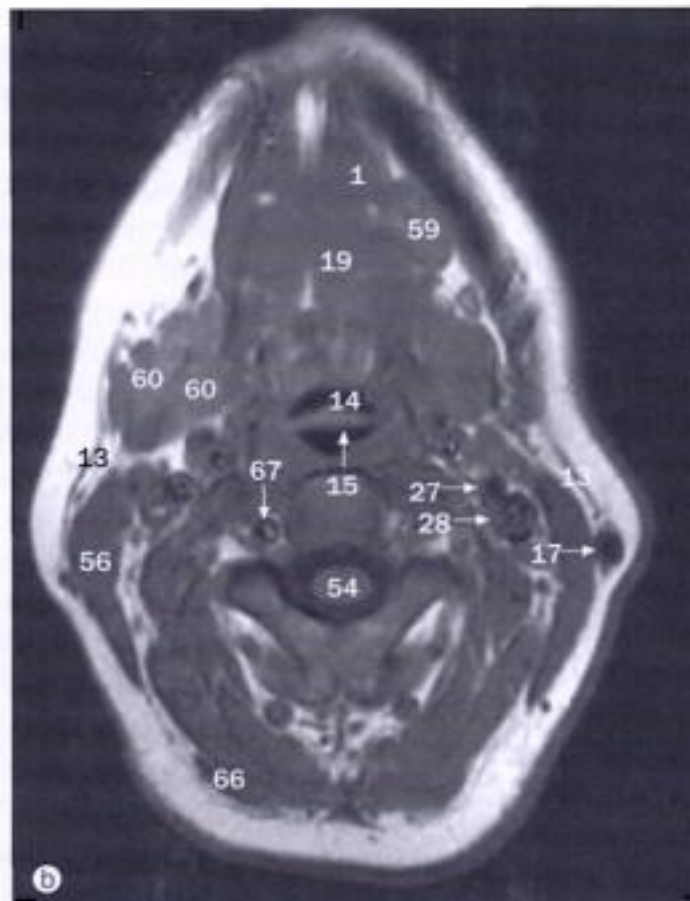
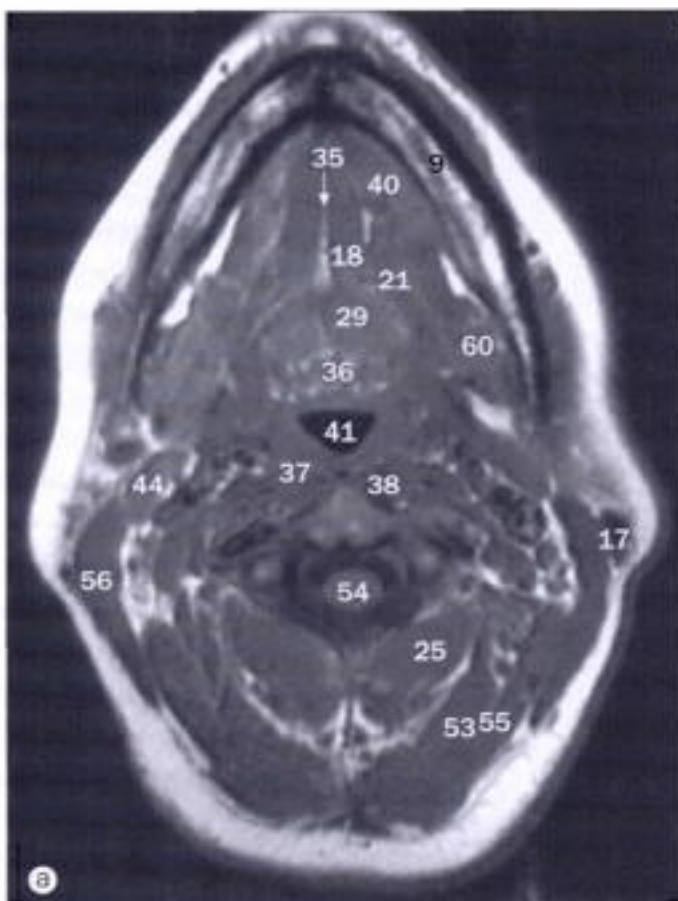
• Remarquez comment les plis vocaux (7) se rapprochent l'un de l'autre au cours de la phonation.

- 1 Récessus piriforme
- 2 Sinus du larynx
- 3 Cartilage thyroïde
- 4 Trachée
- 5 Pli vestibulaire
- 6 Vestibule
- 7 Pli vocal



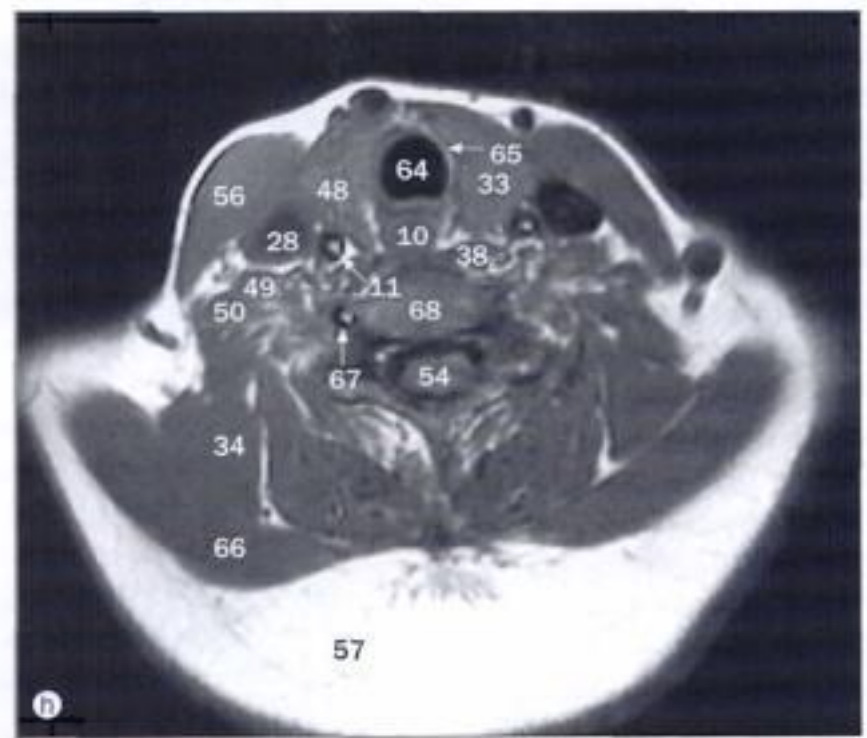
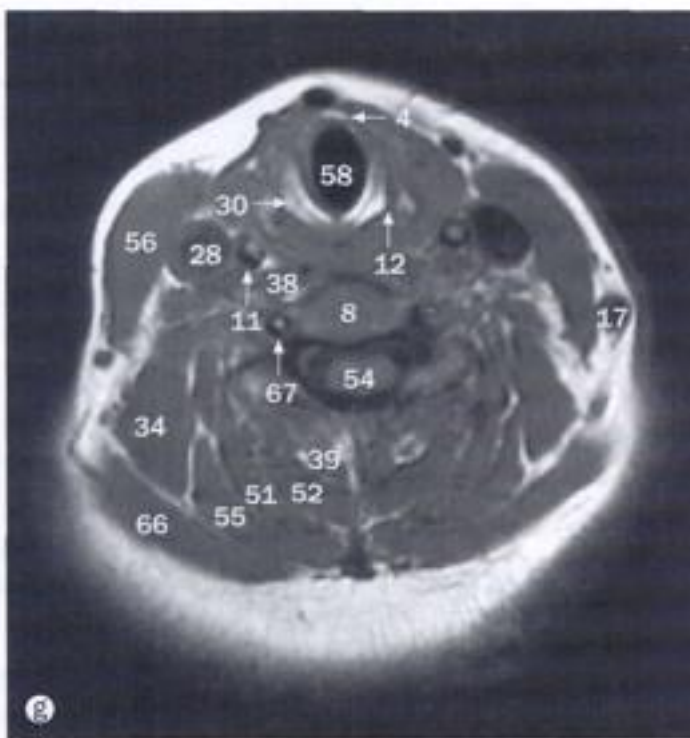
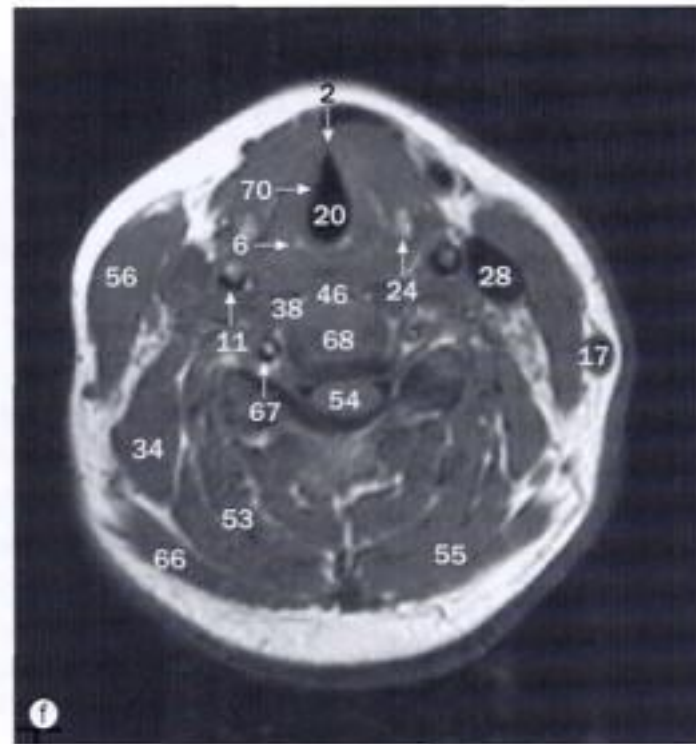
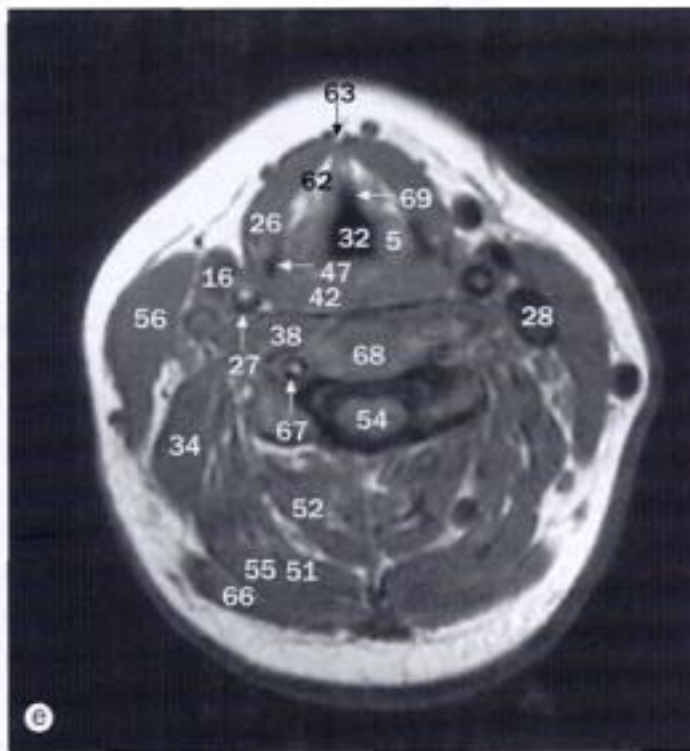
- 1 Apex du poulmon
- 2 Corps de la première vertèbre thoracique
- 3 Corps de la mandibule
- 4 Plexus brachial
- 5 Tronc brachio-céphalique
- 6 Fascia cervical profond
- 7 Muscle constricteur inférieur
- 8 Plateau inférieur de la deuxième vertèbre thoracique
- 9 Veine jugulaire interne
- 10 Disque intervertébral (entre la sixième et la septième vertèbre cervicale)
- 11 Masse latérale de l'atlas (première vertèbre cervicale)
- 12 Muscle ptérygoïdien latéral

- 13 Lobe gauche de la glande thyroïde
- 14 Glande parotide gauche
- 15 Glande submandibulaire gauche
- 16 Artère vertébrale gauche
- 17 Muscle masséter
- 18 Muscle ptérygoïdien médial
- 19 Processus odontoïde (dent)
- 20 Muscle platysma
- 21 Artère carotide commune droite
- 22 Muscle scalène moyen
- 23 Muscle sterno-cléido-mastoïdien
- 24 Langue
- 25 Trachée
- 26 Processus transverse de la première vertèbre thoracique



(a) - (h) IRM du larynx et de l'hypopharynx, coupes axiales.

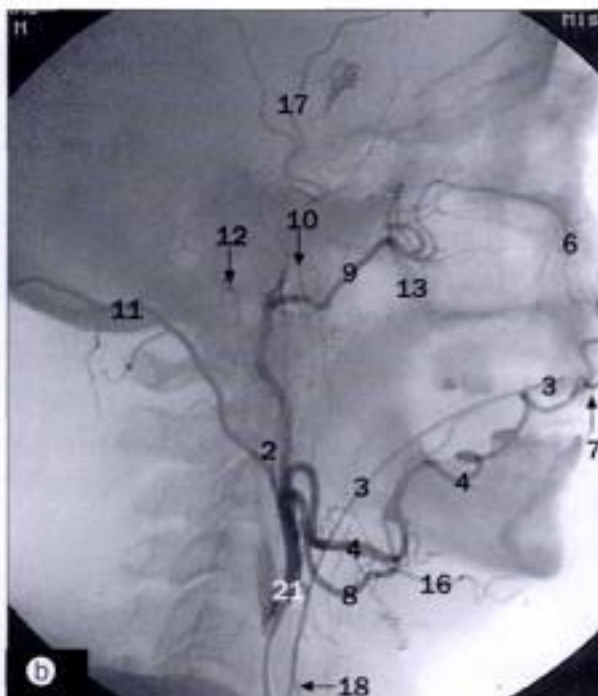
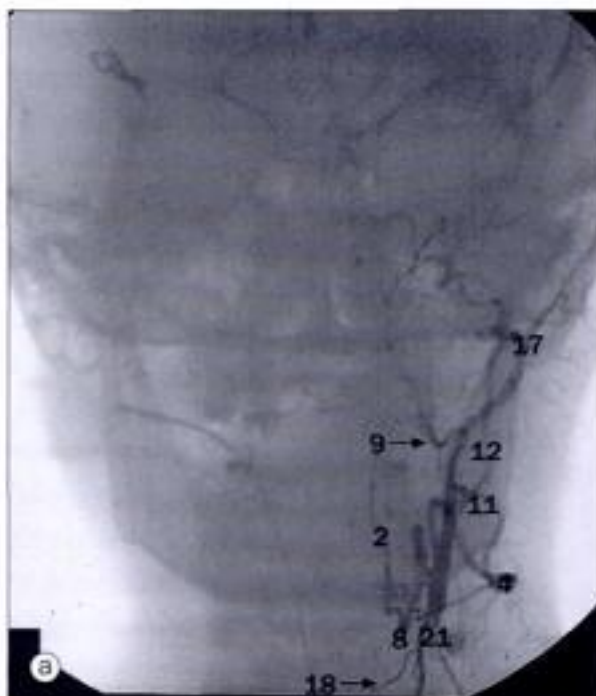
- | | | |
|--|------------------------------------|---|
| 1 Ventre antérieur du muscle digastrique | 9 Corps de la mandibule | 18 Muscle génio-glosse |
| 2 Commissure antérieure | 10 Œsophage cervical | 19 Muscle génio-hyoïdien |
| 3 Veine jugulaire antérieure | 11 Artère carotide commune | 20 Glotte |
| 4 Bord antérieur du cartilage cricoïde | 12 Articulation crico-thyroïdienne | 21 Muscle hyo-glosse |
| 5 Pli ary-épiglottique | 13 Fascia cervical profond | 22 Os hyoïde |
| 6 Cartilage aryénoïde | 14 Vallécule épiglottique | 23 Hypopharynx |
| 7 Base de la langue et épiglote | 15 Épiglotte | 24 Corne inférieure du cartilage thyroïde |
| 8 Corps de la cinquième vertèbre cervicale | 16 Artère carotide externe | |
| | 17 Veine jugulaire externe | |



25 Muscle oblique inférieur
 26 Muscle infra-hyoïdien
 27 Artère carotide interne
 28 Veine jugulaire interne
 29 Muscle intrinsèque de la langue
 30 Lamelle du cartilage cricoïde
 31 Entrée du larynx
 32 Vestibule du larynx
 33 Lobe gauche de la glande thyroïde
 34 Muscle élévateur de la scapula
 35 Septum lingual
 36 Tonsille linguale
 37 Muscle long de la tête
 38 Muscle long du cou
 39 Muscle multifide
 40 Muscle mylo-hyoïdien

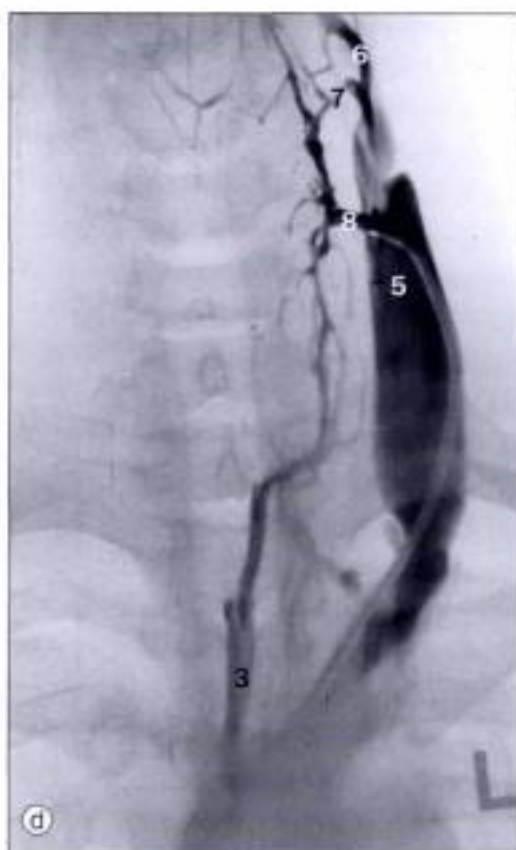
41 Oropharynx
 42 Constricteur du pharynx
 43 Muscle platysma
 44 Ventre postérieur du muscle digastrique
 45 Espace pré-épiglottique
 46 Espace prévertébral
 47 Récusssus piriforme
 48 Lobe droit de la glande thyroïde
 49 Muscle scalène antérieur
 50 Muscles scalènes moyen et postérieur
 51 Muscle semi-épineux de la tête
 52 Muscle semi-épineux du cou
 53 Muscle semi-épineux
 54 Moelle épinière

55 Muscle splénius de la tête
 56 Muscle sterno-cléido-mastoïdien
 57 Tissu adipeux sous-cutané
 58 Espace subglottique
 59 Glande sublinguale
 60 Glande submandibulaire
 61 Muscles supra-hyoïdiens
 62 Cartilage thyroïde
 63 Incisure thyroïdienne
 64 Trachée
 65 Anneau trachéal
 66 Muscle trapèze
 67 Artère vertébrale
 68 Corps vertébral
 69 Pli vestibulaire (fausse corde vocale)
 70 Corde vocale



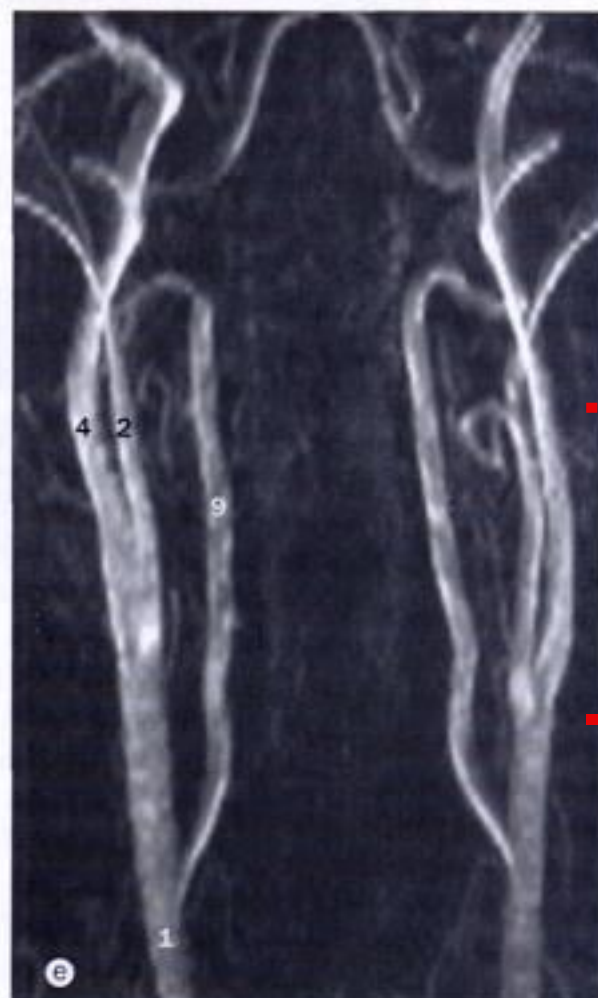
Artériographies par soustraction numérique de l'artère carotide externe, (a) projection antéro-postérieure, (b) projection latérale. (c) Artériographie thyroïdienne.

- | | | |
|---------------------------------------|--|---|
| 1 Artère cervicale ascendante | 10 Artère méningée moyenne | 18 Artère thyroïdienne supérieure |
| 2 Artère pharyngienne ascendante | 11 Artère occipitale | 19 Artère suprascapulaire |
| 3 Tube endotrachéal | 12 Artère auriculaire postérieure | 20 Branches thyroïdiennes de l'artère thyroïdienne inférieure |
| 4 Artère faciale | 13 Artère alvéolaire supérieure et postérieure | 21 Bout du cathéter dans l'artère carotide externe |
| 5 Artère thyroïdienne inférieure | 14 Reflux du produit de contraste dans l'artère vertébrale | 22 Bout du cathéter dans le tronc thyro-cervical |
| 6 Artère infra-orbitaire | 15 Artère subclavière | 23 Artère cervicale transverse |
| 7 Branche labiale de l'artère faciale | 16 Artère submentale | |
| 8 Artère linguale | 17 Artère temporale superficielle | |
| 9 Artère maxillaire | | |



(d) Phlébographie du cou, (e) IRM des vaisseaux du cou.

- | |
|---|
| 1 Artère carotide commune |
| 2 Artère carotide externe |
| 3 Veine thyroïdienne inférieure |
| 4 Artère carotide interne |
| 5 Veine jugulaire interne |
| 6 Veine linguale |
| 7 Veine thyroïdienne supérieure |
| 8 Bout du cathéter dans la veine thyroïdienne moyenne |
| 9 Artère vertébrale |

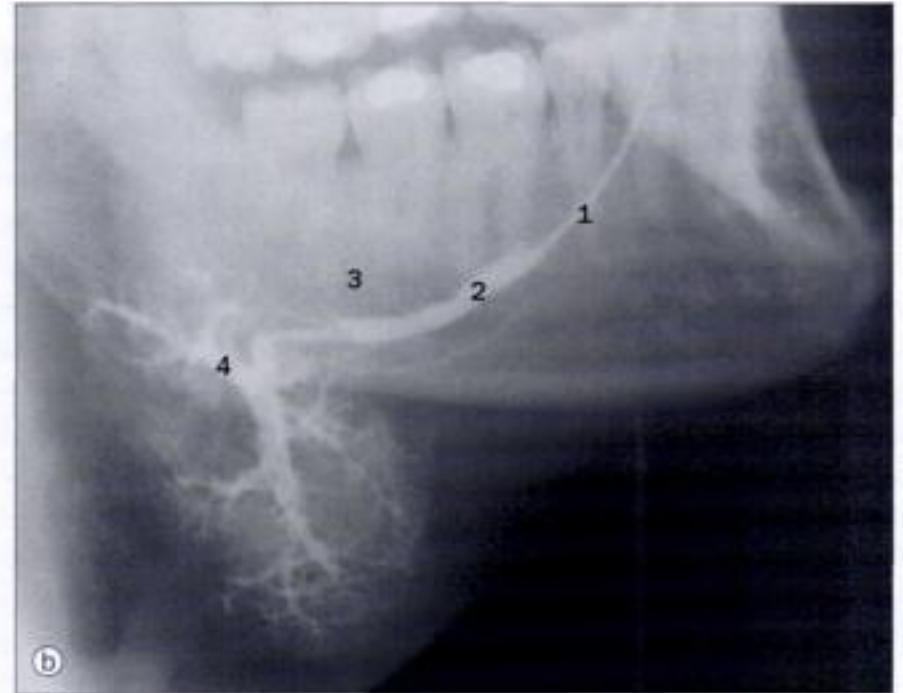
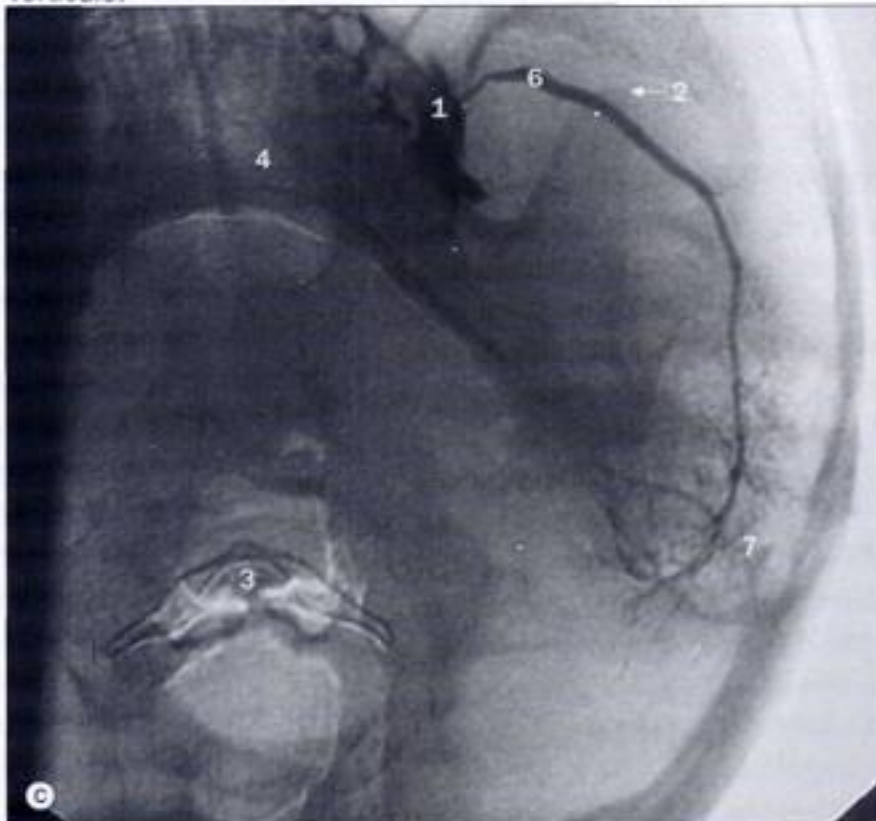




(a) Sialographie parotidienne.

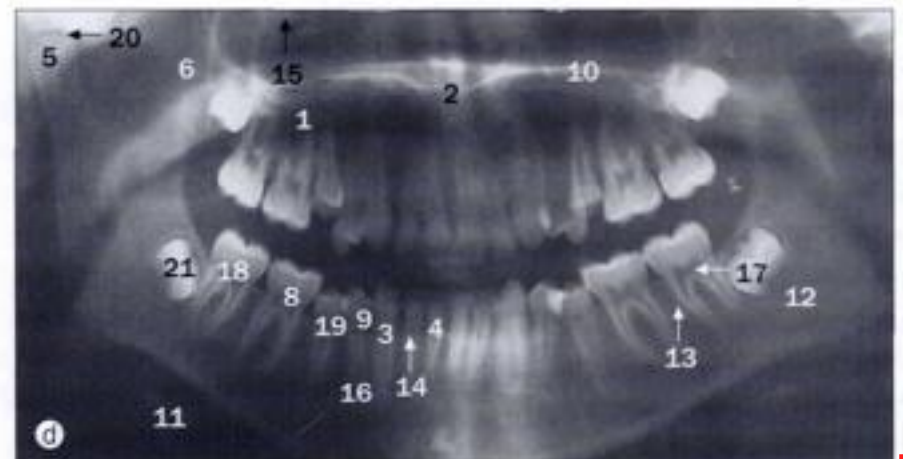
- | | |
|---------------------------------------|-------------------------------|
| 1 Cathéter | 4 Mandibule |
| 2 Processus coronoïde de la mandibule | 5 Processus mastoïde |
| 3 Os hyoïde | 6 Conduit parotidien (Sténon) |
| | 7 Canalicules secondaires |

(c) Sialographie parotidienne, projection submento-verticale.



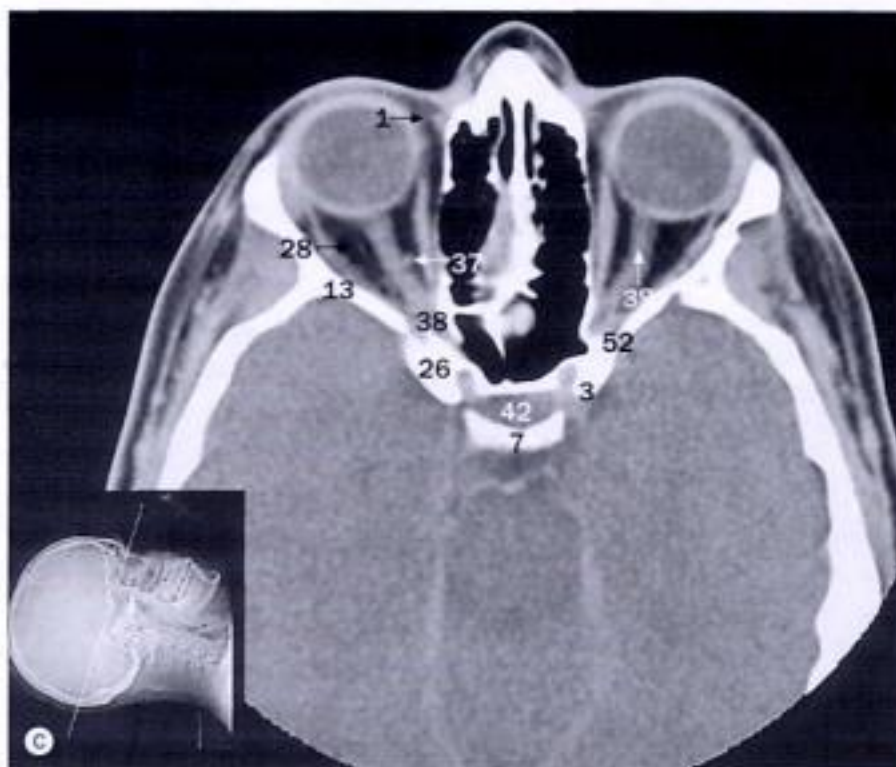
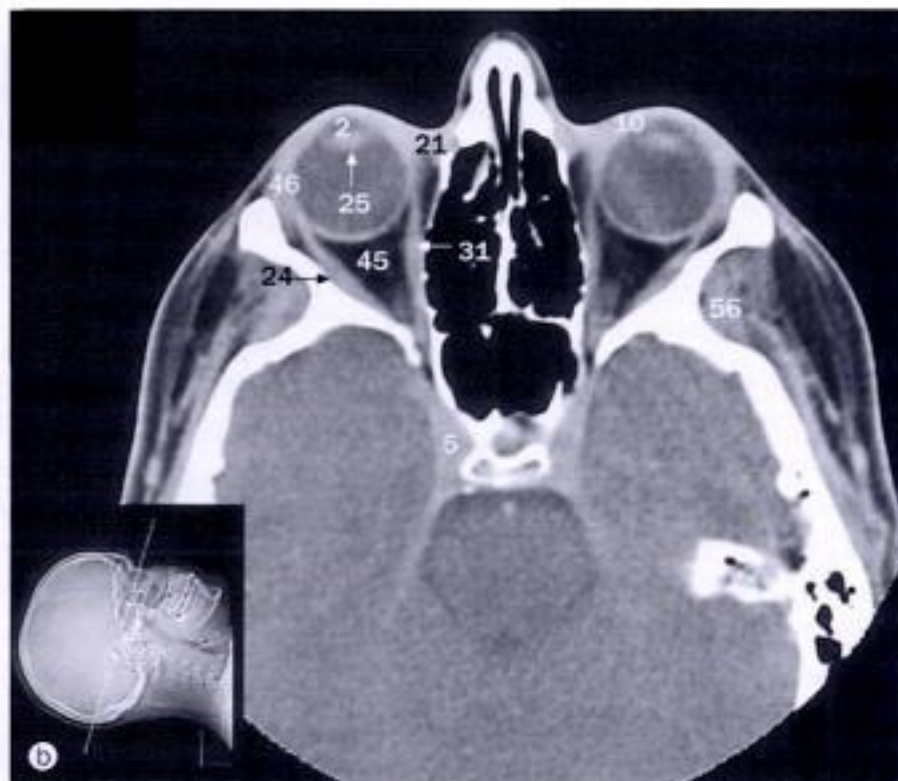
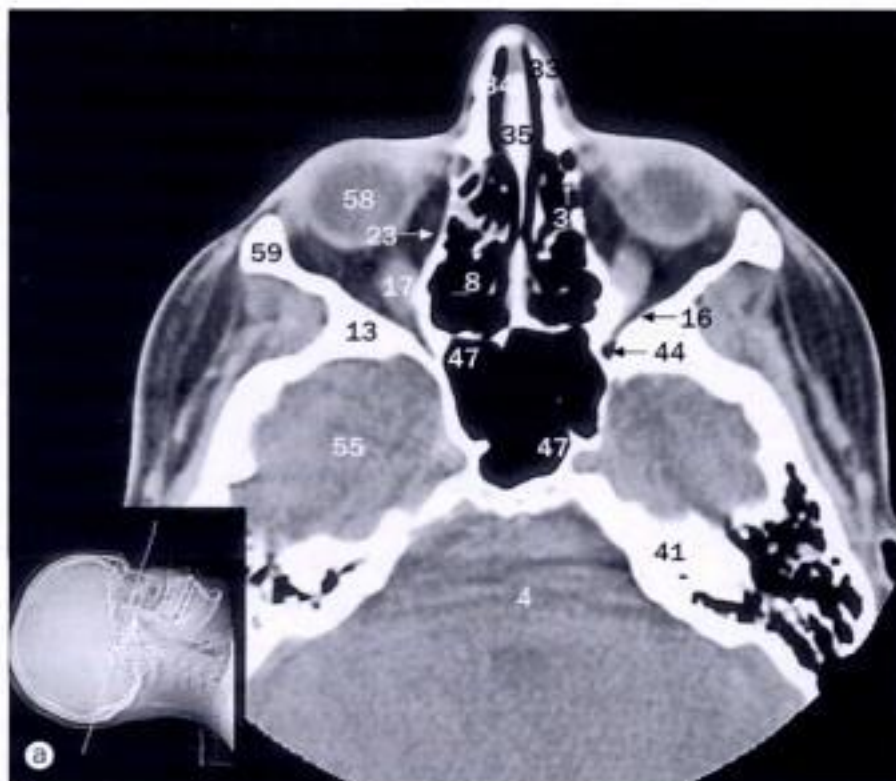
(b) Sialographie submandibulaire.

- | |
|---|
| 1 Cathéter |
| 2 Conduit submandibulaire principal (Wharton) |
| 3 Mandibule |
| 4 Canalicules secondaires |



(d) Orthopantomographie.

- | | |
|---------------------------------------|--------------------------------------|
| 1 Processus alvéolaire du maxillaire | 11 Os hyoïde |
| 2 Épine nasale antérieure | 12 Canal alvéolaire inférieur |
| 3 Canine | 13 Lamina propria |
| 4 Incisive centrale | 14 Incisive latérale |
| 5 Condyle de la mandibule | 15 Sinus maxillaire (antre) |
| 6 Processus coronoïde de la mandibule | 16 Foramen mentonnier |
| 7 Méat acoustique externe | 17 Chambre pulpaire |
| 8 Première molaire | 18 Seconde molaire |
| 9 Première prémolaire | 19 Seconde prémolaire |
| 10 Palais dur | 20 Articulation temporo-mandibulaire |
| | 21 Troisième molaire |

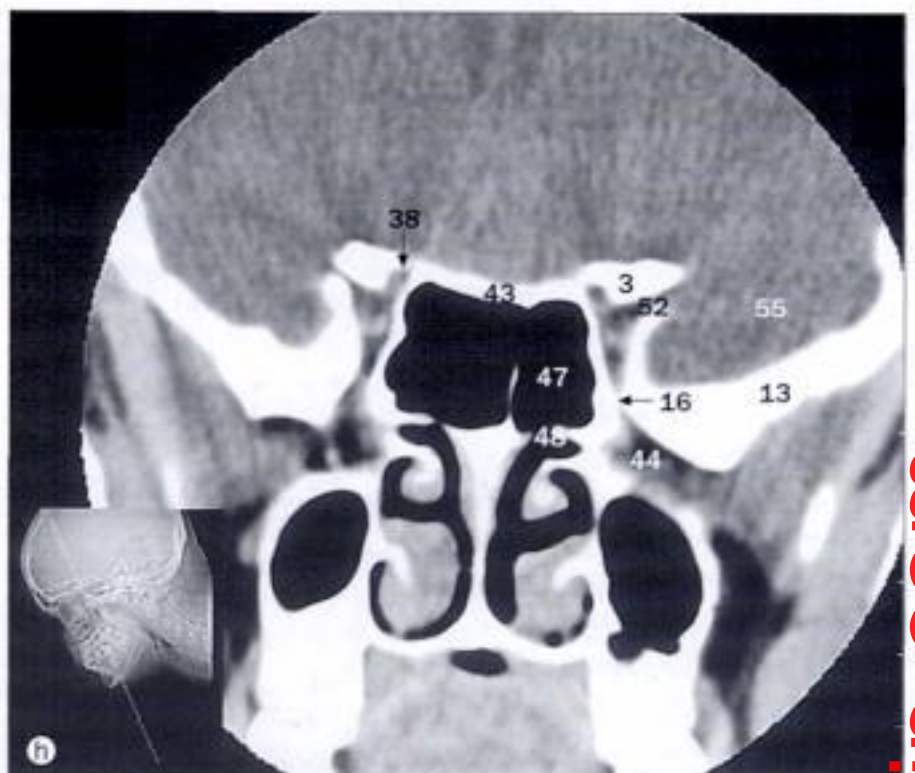
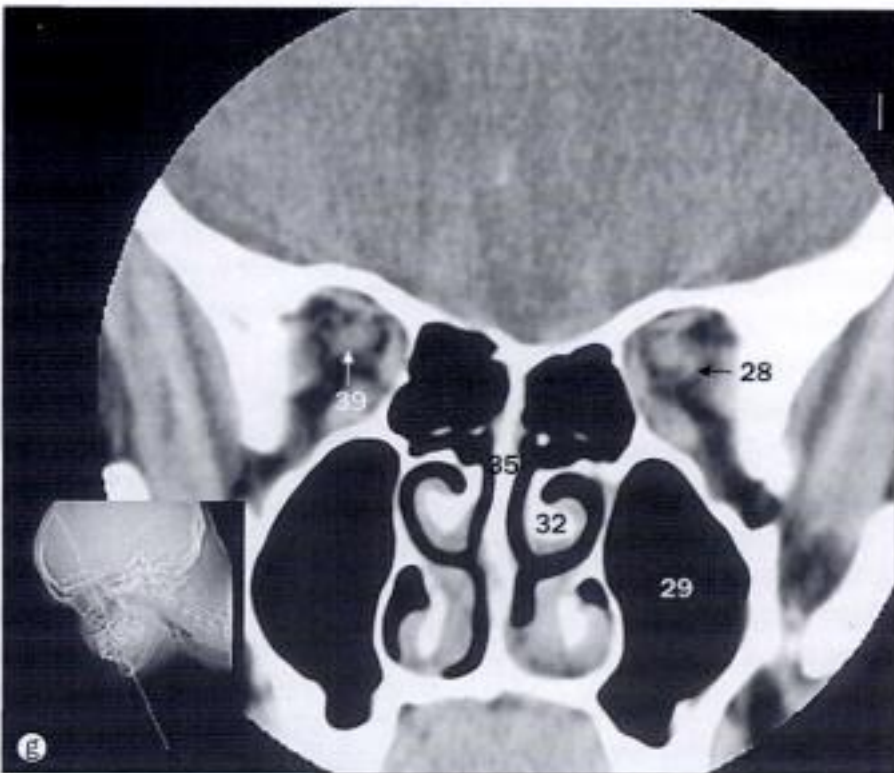
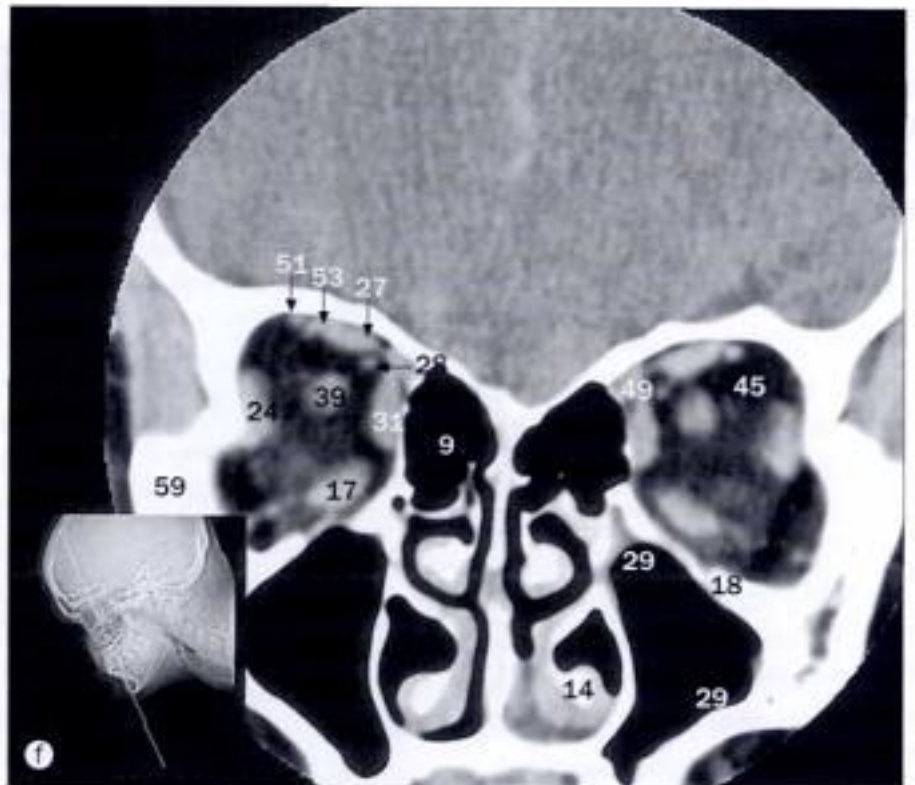


TDM des orbites. Coupes axiales aux différents niveaux suivants : **(a)** partie inférieure de l'orbite et globe oculaire ; **(b)** partie moyenne de l'orbite, en dessous du nerf optique ; **(c)** partie moyenne de l'orbite, au niveau du nerf optique ; **(d)** partie supérieure de l'orbite.

- 1 Veine angulaire
- 2 Chambre antérieure
- 3 Processus clinéoïde antérieur
- 4 Tronc cérébral
- 5 Sinus caveux
- 6 Crista galli
- 7 Dos de la selle turcique
- 8 Cellules ethmoïdales
- 9 Cellules ethmoïdales (postérieures)
- 10 Paupière

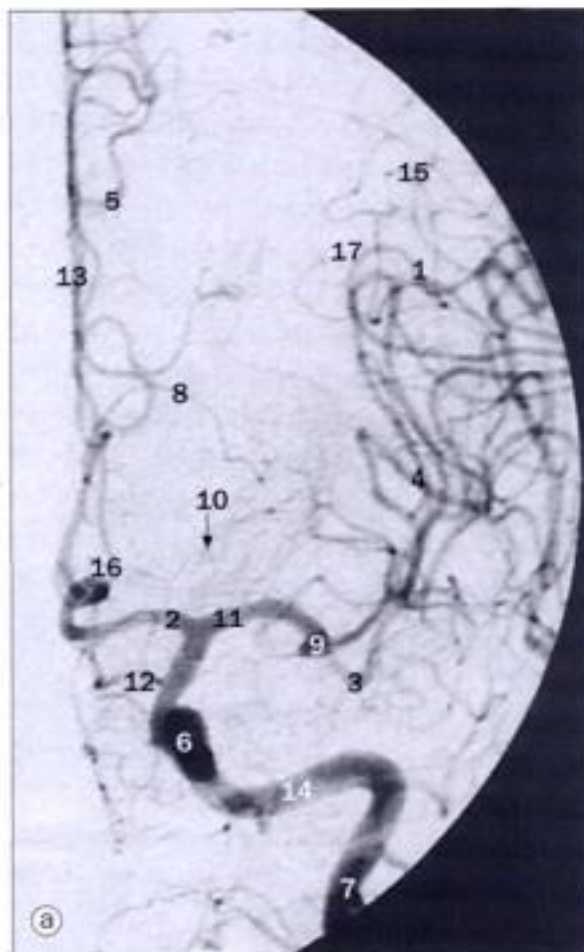
- 11 Os frontal
- 12 Sinus frontal
- 13 Grande aile de l'os sphénoïde
- 14 Cornet nasal inférieur
- 15 Muscle oblique inférieur
- 16 Fissure orbitaire inférieure
- 17 Muscle droit inférieur
- 18 Canal infra-orbitaire
- 19 Rebord infra-orbitaire
- 20 Glande lacrymale

- 21 Sac lacrymal
- 22 Veine lacrymale
- 23 Lame papyracée
- 24 Muscle droit latéral
- 25 Cristallin
- 26 Petite aile de l'os sphénoïde
- 27 Muscle releveur de la paupière supérieure
- 28 Artère ciliaire postérieure longue
- 29 Sinus maxillaire (antre)
- 30 Veine ophtalmique médiale



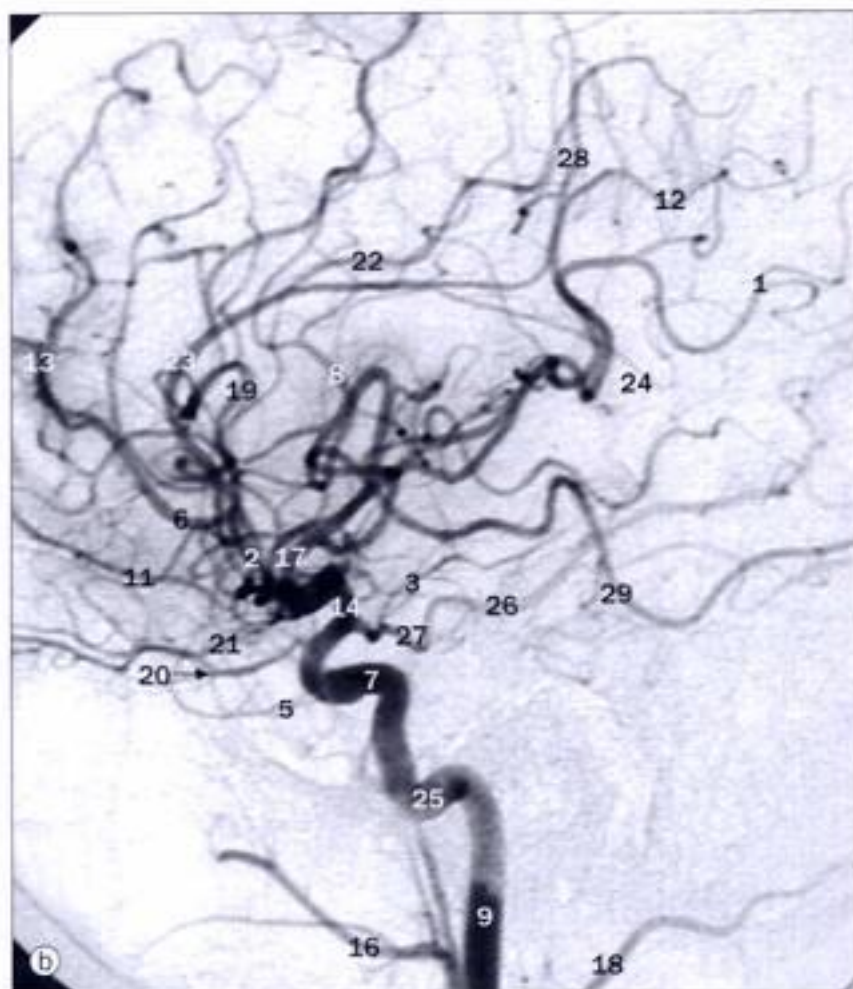
TDM des orbites. Coupes frontales (coronales) aux différents niveaux suivants : (e) globe oculaire ; (f) partie moyenne de l'orbite ; (g) partie postérieure de l'orbite ; (h) fissures orbitaires supérieure et inférieure.

- | | | |
|--------------------------|---------------------------------------|--|
| 31 Muscle droit médial | 41 Crête pétreuse | 51 Veine ophtalmique supérieure |
| 32 Cornet nasal moyen | 42 Glande pituitaire | 52 Fissure orbitaire supérieure |
| 33 Os nasal | 43 Planum sphénoïdale | 53 Muscle droit supérieur |
| 34 Cavité nasale | 44 Fosse ptérygo-palatine | 54 Rebord supra-orbitaire |
| 35 Septum nasal | 45 Tissu adipeux rétrobulbaire | 55 Lobe temporal |
| 36 Conduit lacrymo-nasal | 46 Sclérotique | 56 Muscle temporal |
| 37 Artère ophtalmique | 47 Sinus sphénoïdal | 57 Trochlée du muscle oblique supérieur |
| 38 Canal optique | 48 Cornet nasal supérieur | 58 Corps vitré |
| 39 Nerf optique | 49 Muscle oblique supérieur | 59 Os zygomatique |
| 40 Muscle orbiculaire | 50 Tendon du muscle oblique supérieur | 60 Processus zygomatique de l'os frontal |

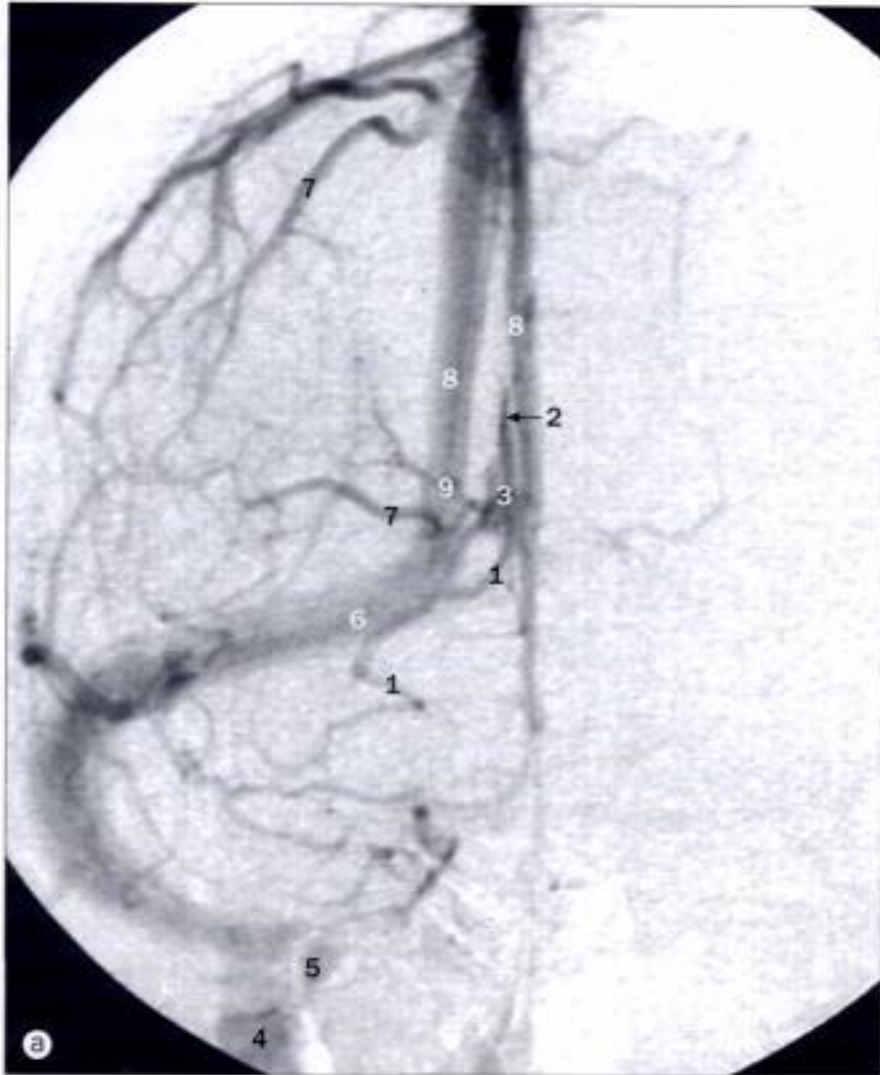


- 1 Branches angulaires de l'artère cérébrale moyenne
- 2 Artère cérébrale antérieure
- 3 Branches temporales antérieures de l'artère cérébrale moyenne
- 4 Branches (dans l'insula) de l'artère cérébrale moyenne
- 5 Artère callosomarginale
- 6 Portion caveuse de l'artère carotide interne
- 7 Portion cervicale de l'artère carotide interne
- 8 Artère fronto-polaire
- 9 Genou de l'artère cérébrale moyenne
- 10 Artères lenticulo-striées
- 11 Artère cérébrale moyenne
- 12 Branches orbito-frontale de l'artère péricalléuse
- 13 Artère péricalléuse
- 14 Portion pétreuse de l'artère carotide interne
- 15 Branches pariétales postérieures de l'artère cérébrale moyenne
- 16 Artère récurrente de Heubner
- 17 Point sylvien

Artériographies carotidiennes numérisées avec soustraction, phase artérielle, (a) projection antéro-postérieure, (b) projection latérale, (c) projection oblique.

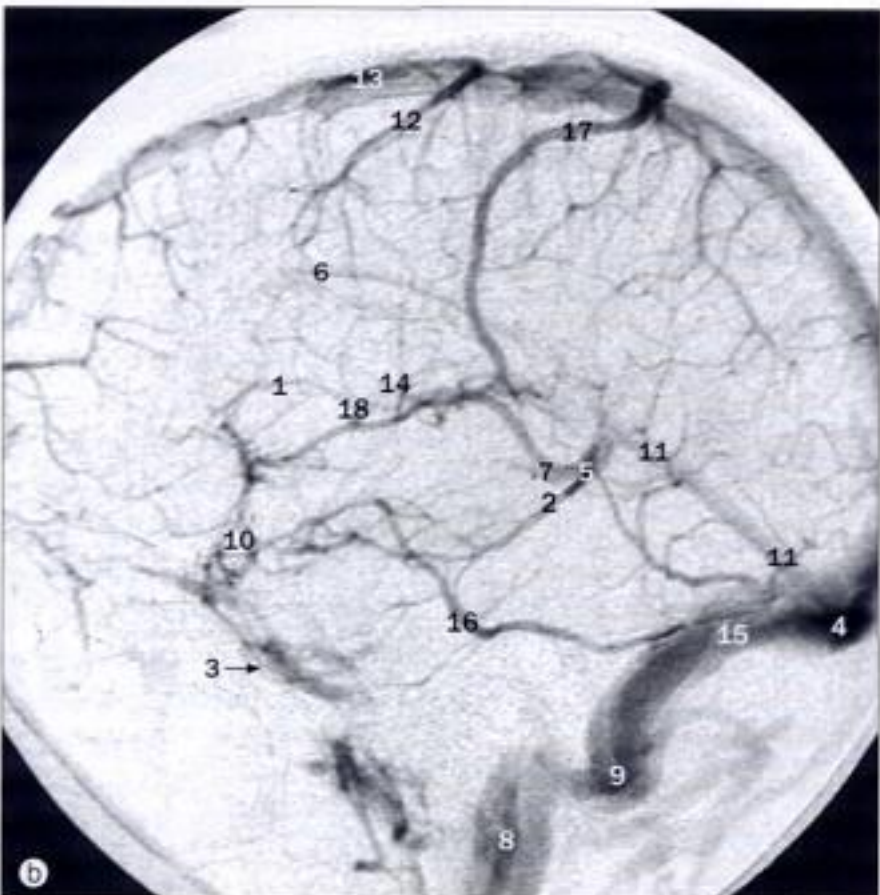


- | | |
|---|---|
| 1 Artère angulaire | 15 Artère lenticulo-striée |
| 2 Artère cérébrale antérieure | 16 Artère maxillaire |
| 3 Artère choroïdienne antérieure | 17 Artère cérébrale moyenne |
| 4 Artère communicante antérieure | 18 Artère occipitale |
| 5 Artère temporale antérieure | 19 Artère operculo-frontale |
| 6 Artère callosomarginale | 20 Artère ophtalmique |
| 7 Portion caveuse de l'artère carotide interne | 21 Artère orbito-frontale |
| 8 Artère du sillon central | 22 Artère paracentrale |
| 9 Portion cervicale de l'artère carotide interne | 23 Artère péricalléuse |
| 10 Branche ethmoïdale de l'artère ophtalmique | 24 Artère péricalléuse s'étendant autour du corps calleux |
| 11 Artère fronto-polaire | 25 Portion pétreuse de l'artère carotide interne |
| 12 Artère pariétale interne inférieure | 26 Artère cérébrale postérieure |
| 13 Branche frontale interne de l'artère cérébrale antérieure | 27 Artère communicante postérieure |
| 14 Portion intracrânienne (supra-clinoïde) de l'artère carotide interne | 28 Artère pariétale postérieure |
| | 29 Artère temporale postérieure |
| | 30 Artère récurrente de Heubner |



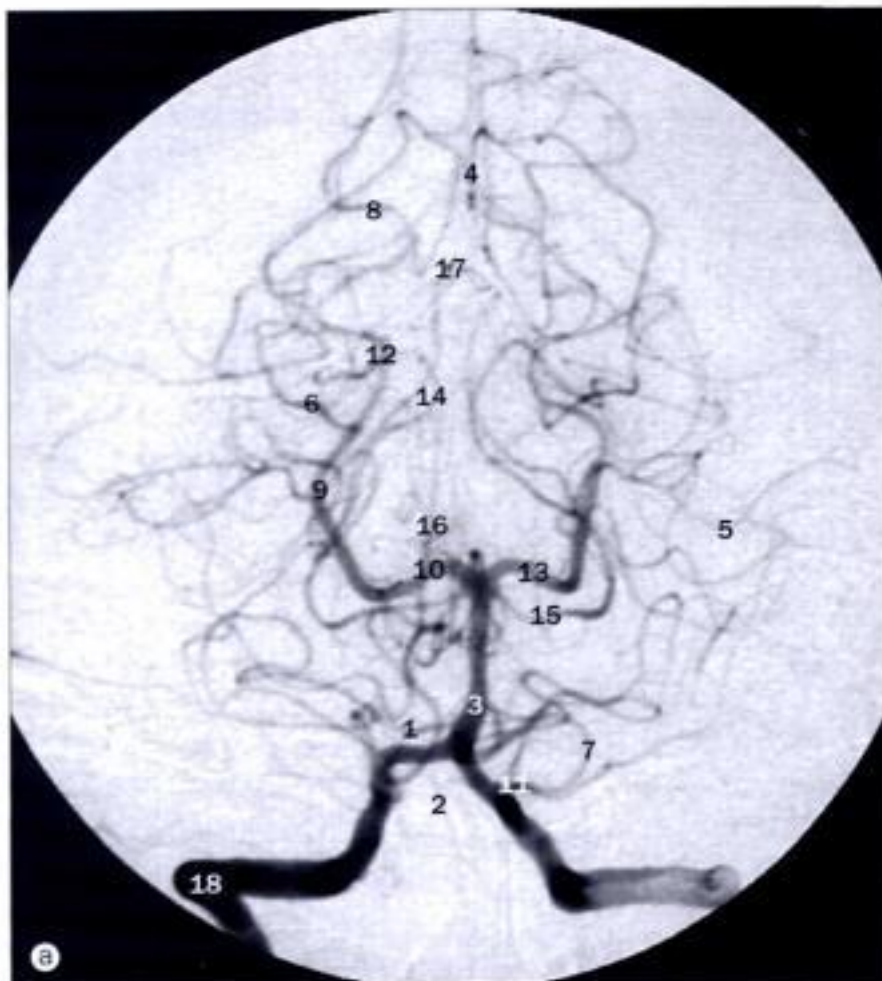
(a) Artériographie carotidienne numérisée avec soustraction, phase veineuse, projection antéro-postérieure.

- 1 Veine basale de Rosenthal
- 2 Sinus sagittal inférieur
- 3 Veine cérébrale interne
- 4 Veine jugulaire interne
- 5 Bulbe de la veine jugulaire
- 6 Sinus transverse droit
- 7 Veines corticales superficielles
- 8 Sinus sagittal supérieur
- 9 Veine thalamo-striée



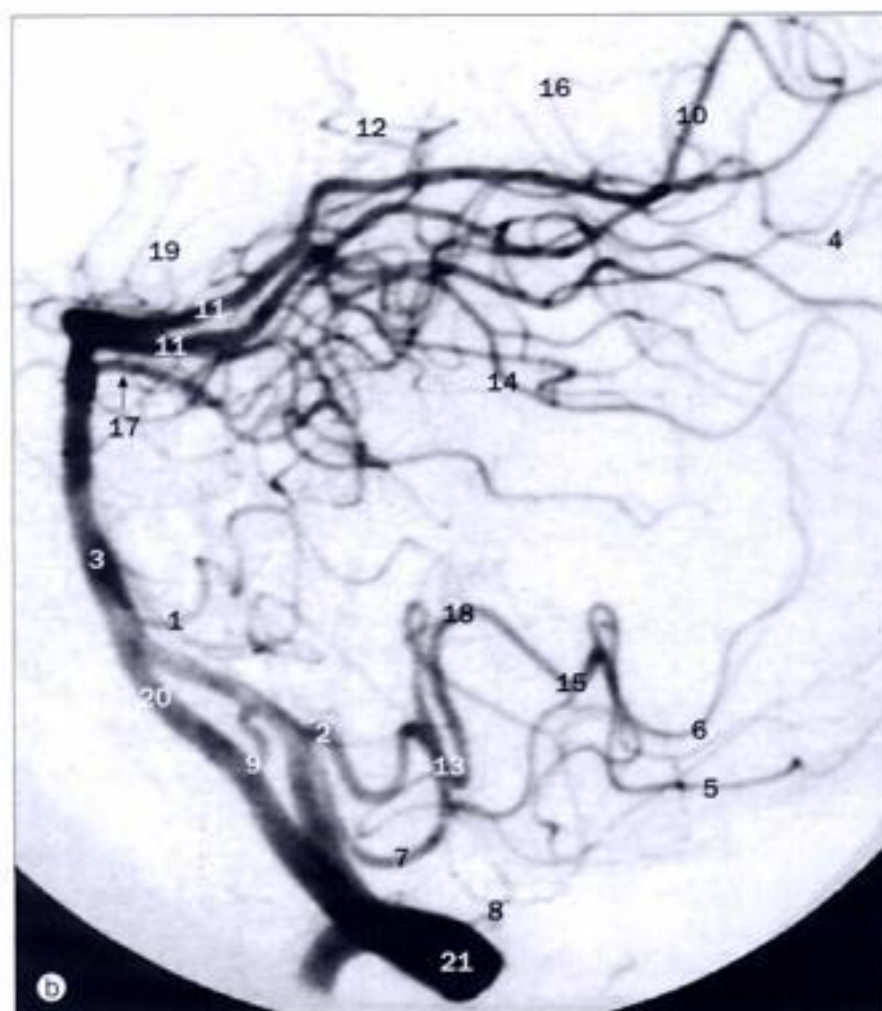
(b) Artériographie carotidienne numérisée avec soustraction, phase veineuse, projection latérale.

- 1 Veine antérieure du noyau caudé
- 2 Veine basale de Rosenthal
- 3 Sinus caverneux
- 4 Confluent des sinus veineux (torcular d'Hérophile)
- 5 Grande veine cérébrale de Galien
- 6 Sinus sagittal inférieur
- 7 Veine cérébrale interne
- 8 Veine jugulaire interne
- 9 Sinus sigmoïde
- 10 Sinus sphéno-pariétal
- 11 Sinus droit
- 12 Veines cérébrales superficielles
- 13 Sinus sagittal supérieur
- 14 Veine thalamo-striée
- 15 Sinus transverse
- 16 Veine de Labbé
- 17 Veine de Trolard
- 18 Angle veineux



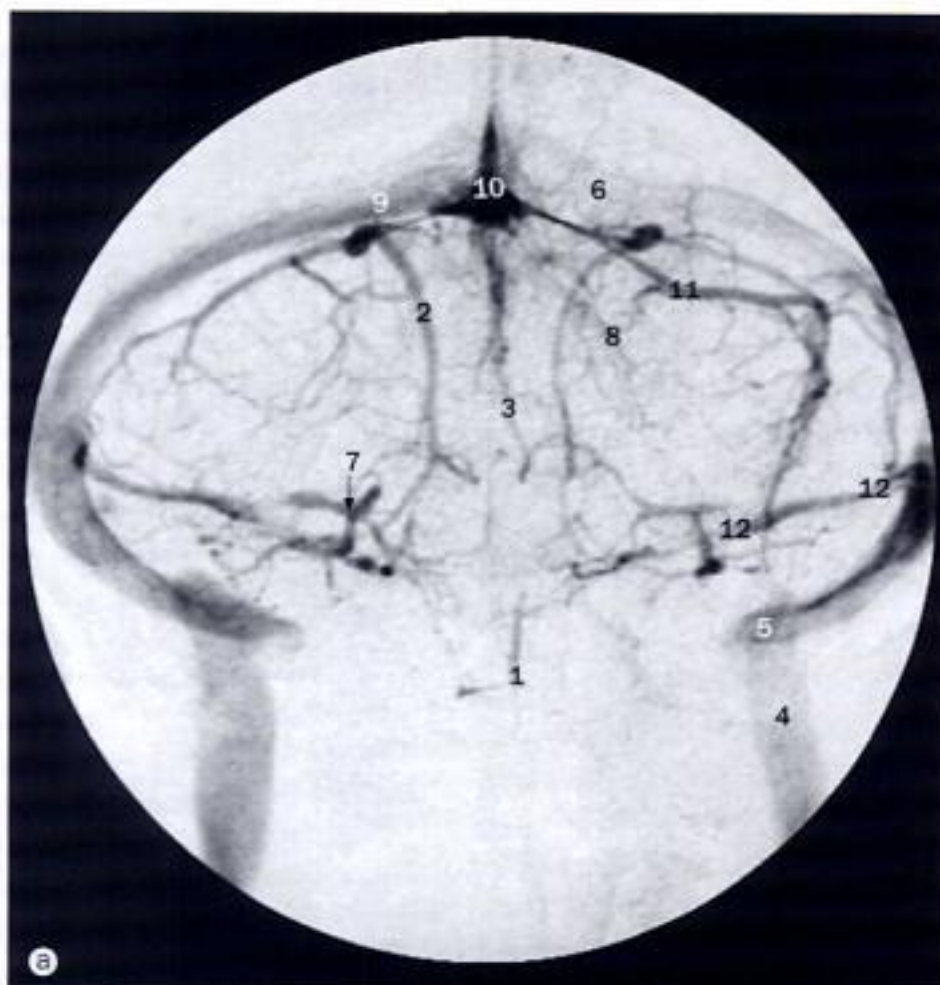
(a) Artériographie vertébrale numérisée avec soustraction, phase artérielle, projection antéro-postérieure.

- 1 Artère cérébelleuse antérieure et inférieure
- 2 Artère spinale antérieure
- 3 Artère basilaire
- 4 Artère calcarine
- 5 Branche hémisphérique de l'artère cérébelleuse supérieure
- 6 Artère temporale inférieure
- 7 Segment médullaire de l'artère cérébelleuse postérieure et inférieure
- 8 Artère pariéto-occipitale
- 9 Artère cérébrale postérieure dans la citerne ambiante
- 10 Artère cérébrale postérieure dans la citerne interpédonculaire
- 11 Artère cérébelleuse postérieure et inférieure
- 12 Portion quadrijumelle de l'artère cérébrale postérieure
- 13 Point de jonction avec l'artère communicante postérieure
- 14 Artères cérébelleuses supérieures derrière le tronc cérébral
- 15 Artère cérébelleuse supérieure
- 16 Branches thalamo-perforantes de l'artère cérébelleuse supérieure
- 17 Branche vermiennne de l'artère cérébelleuse supérieure
- 18 Artère vertébrale sortant du foramen transversaire de l'atlas (première vertèbre cervicale)



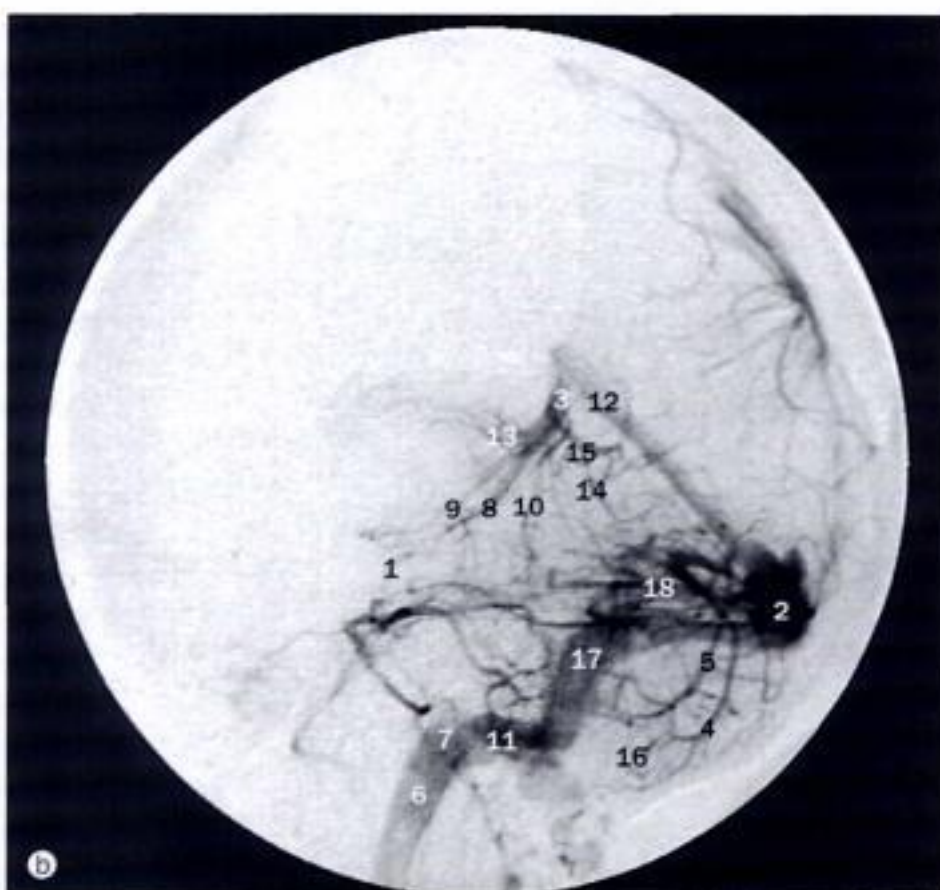
(b) Artériographie vertébrale numérisée avec soustraction, phase artérielle, projection latérale.

- 1 Artère cérébelleuse antérieure et inférieure
- 2 Segment médullaire antérieur de l'artère cérébelleuse postérieure et inférieure
- 3 Artère basilaire
- 4 Artère calcarine
- 5 Branches hémisphériques de l'artère cérébelleuse postérieure et inférieure
- 6 Segment vermien inférieur de l'artère cérébelleuse postérieure et inférieure
- 7 Segment médullaire latéral de l'artère cérébelleuse postérieure et inférieure
- 8 Branche méningée de l'artère vertébrale
- 9 Origine de l'artère cérébelleuse postérieure et inférieure
- 10 Artère pariéto-occipitale
- 11 Artère cérébrale postérieure
- 12 Branches choroïdiennes postérieures de l'artère cérébrale postérieure
- 13 Segment médullaire postérieur de l'artère cérébelleuse postérieure et inférieure
- 14 Artère temporale postérieure
- 15 Segment rétrotonsillaire de l'artère cérébelleuse postérieure et inférieure
- 16 Branches spléniales de l'artère cérébrale postérieure
- 17 Artère cérébelleuse supérieure
- 18 Segment supratonsillaire de l'artère cérébelleuse postérieure et inférieure
- 19 Branches thalamo-perforantes de l'artère cérébrale postérieure
- 20 Artère vertébrale
- 21 Artère vertébrale sortant du foramen transversaire de l'atlas (première vertèbre cervicale)



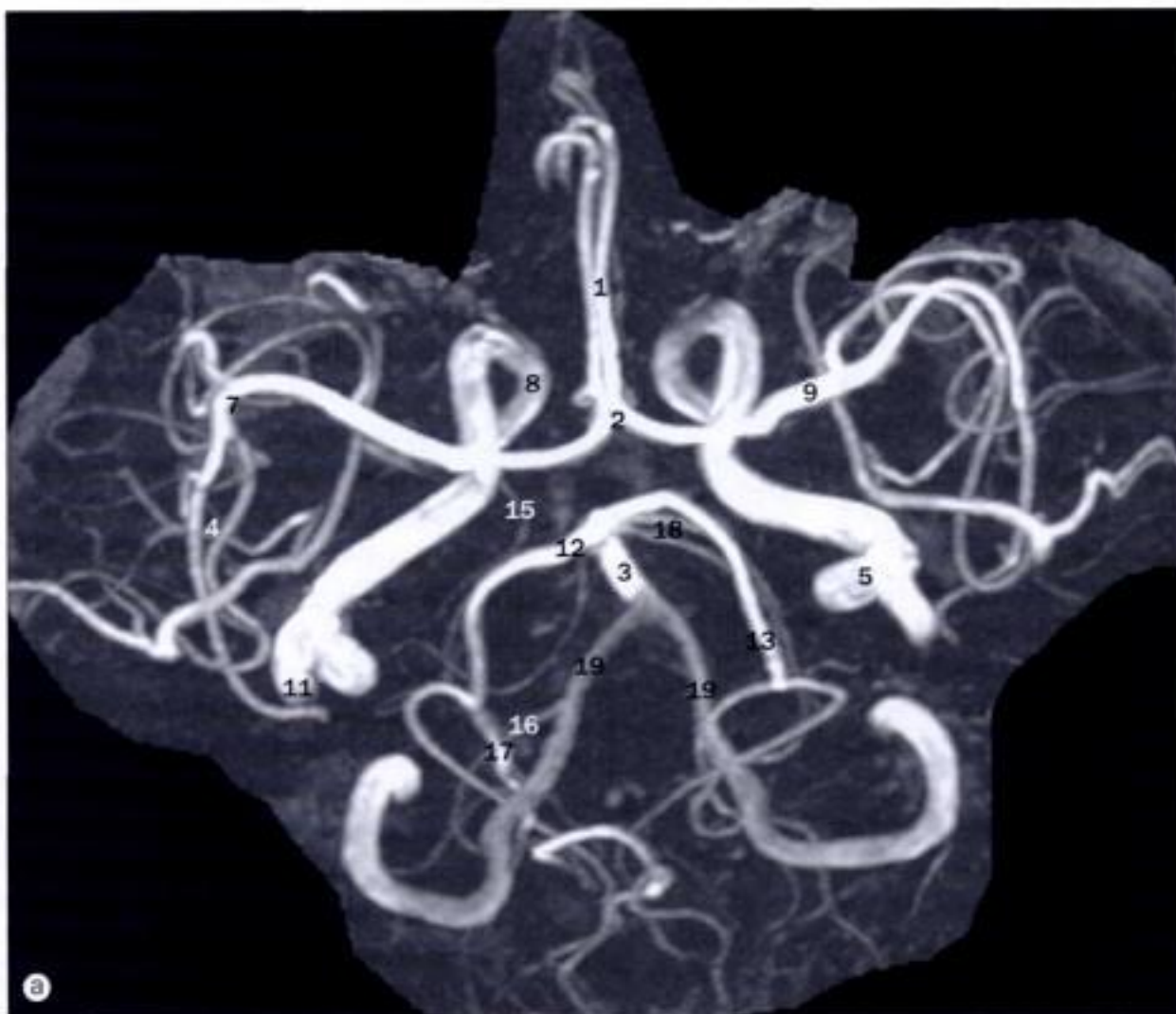
(a) Phase veineuse d'une artériographie vertébrale numérisée avec soustraction projection antéro-postérieure.

- 1 Veine ponto-mésencéphalique antérieure
- 2 Veine hémisphérique inférieure
- 3 Veine vermiennne inférieure
- 4 Veine jugulaire interne
- 5 Bulbe de la veine jugulaire
- 6 Sinus transverse gauche
- 7 Veine pétreuse
- 8 Veine mésencéphalique postérieure
- 9 Sinus transverse droit
- 10 Sinus droit
- 11 Veine hémisphérique supérieure
- 12 Sinus pétreux supérieur

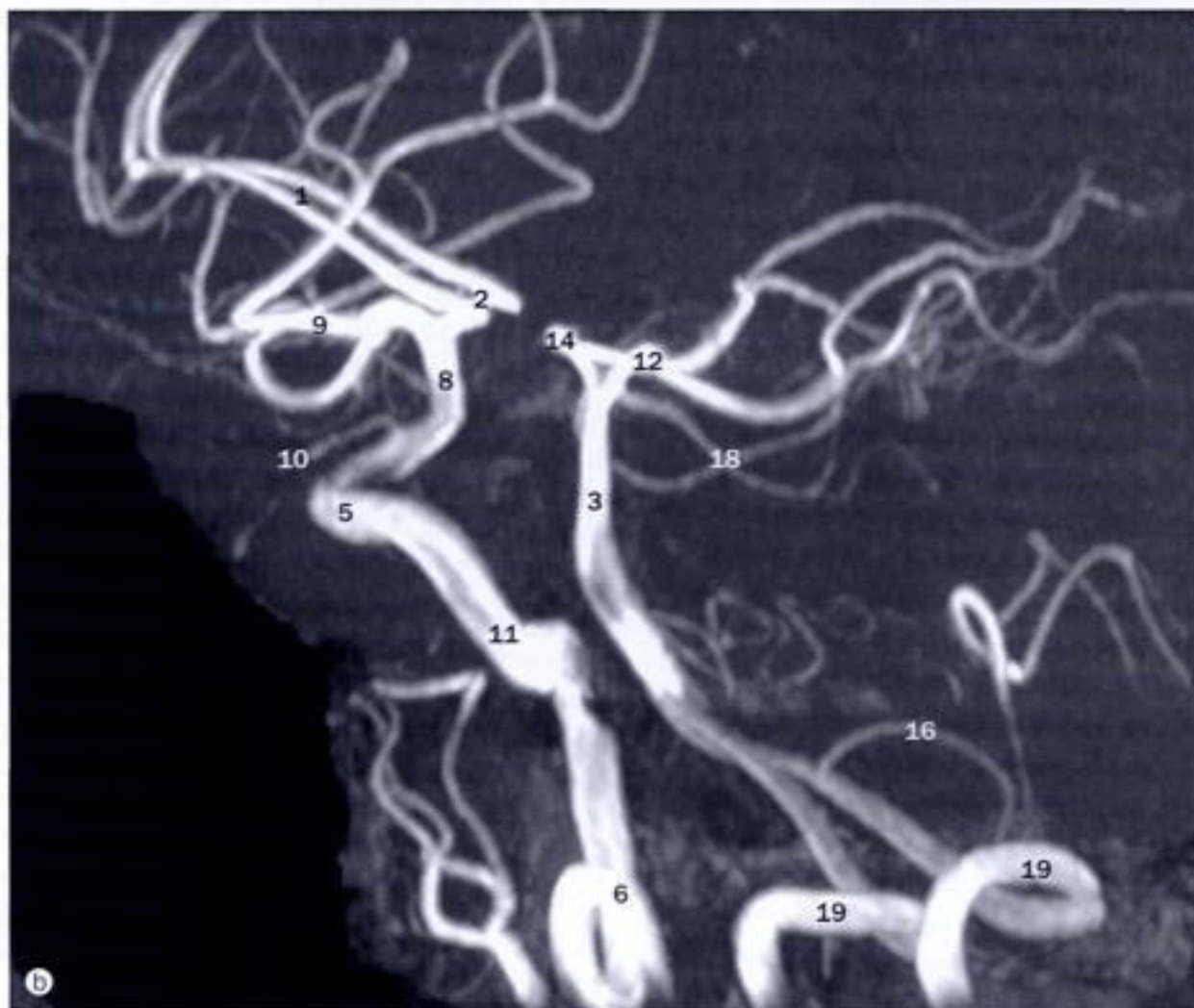


(b) Phase veineuse d'une artériographie vertébrale numérisée avec soustraction, projection latérale.

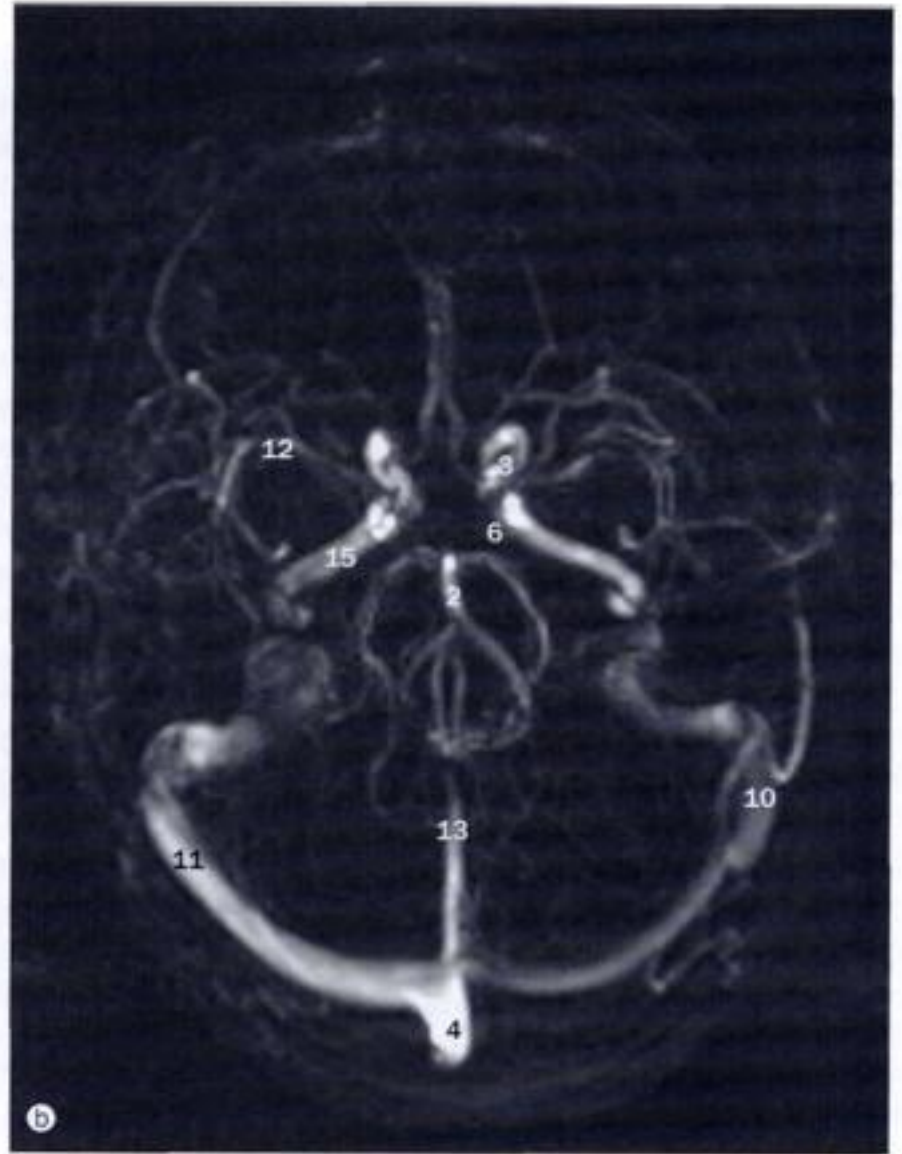
- 1 Veine ponto-mésencéphalique antérieure
- 2 Confluent des sinus veineux (torcular d'Hérophile)
- 3 Grande veine cérébrale de Galien
- 4 Veine hémisphérique inférieure
- 5 Veine vermiennne inférieure
- 6 Veine jugulaire interne
- 7 Bulbe de la veine jugulaire
- 8 Veine mésencéphalique latérale
- 9 Veine mésencéphalique postérieure
- 10 Veine cérébelleuse précentrale
- 11 Sinus sigmoïde
- 12 Sinus droit
- 13 Veine choroïdienne supérieure
- 14 Veine hémisphérique supérieure
- 15 Veine vermiennne supérieure
- 16 Veine tonsillaire
- 17 Sinus transverse
- 18 Veine de la grande fissure horizontale



- 1 Artère cérébrale antérieure
- 2 Artère communicante antérieure
- 3 Artère basilaire
- 4 Branches (dans l'insula) de l'artère cérébrale moyenne
- 5 Portion caveuse de l'artère carotide interne
- 6 Portion cervicale de l'artère carotide interne
- 7 Genou de l'artère cérébrale moyenne
- 8 Portion intracrânienne (supraclinoïde) de l'artère carotide interne
- 9 Artère cérébrale moyenne
- 10 Artère ophtalmique
- 11 Portion pétreuse de l'artère carotide interne
- 12 Artère cérébrale postérieure
- 13 Artère cérébrale postérieure dans la citerne ambiante
- 14 Artère cérébrale postérieure dans la citerne interpédonculaire
- 15 Artère communicante postérieure
- 16 Artère cérébelleuse postérieure et inférieure
- 17 Portion quadrijumelle de l'artère cérébrale postérieure
- 18 Artère cérébelleuse supérieure
- 19 Artère vertébrale



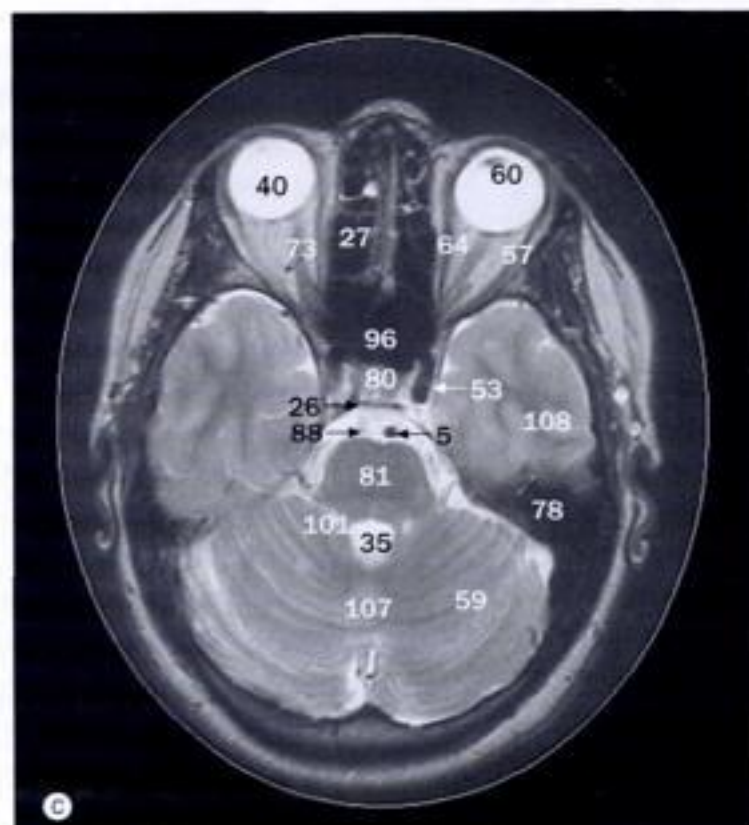
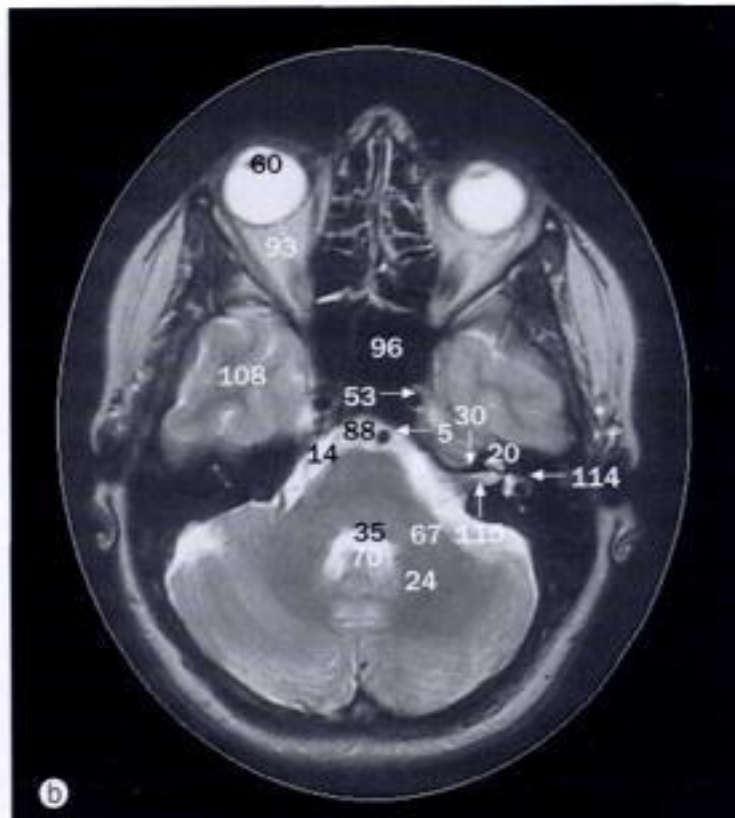
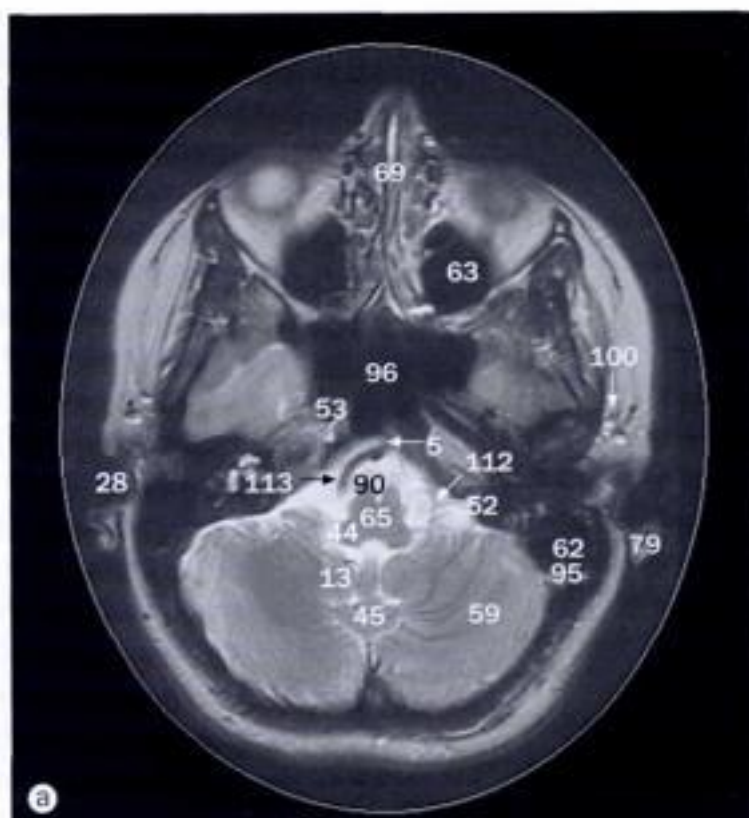
Cercle de Willis, artères du cerveau par angiographie IRM, (a) projection axiale et (b) projection latérale.



Cercle de Willis, veines du cerveau par angiographie IRM
(a) projection latérale, (b) projection axiale.

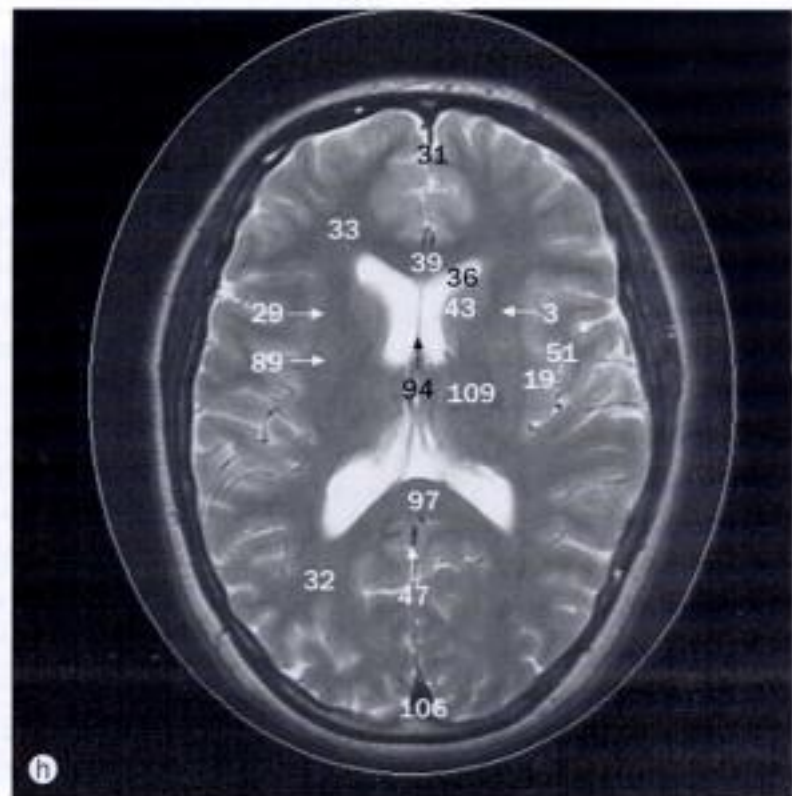
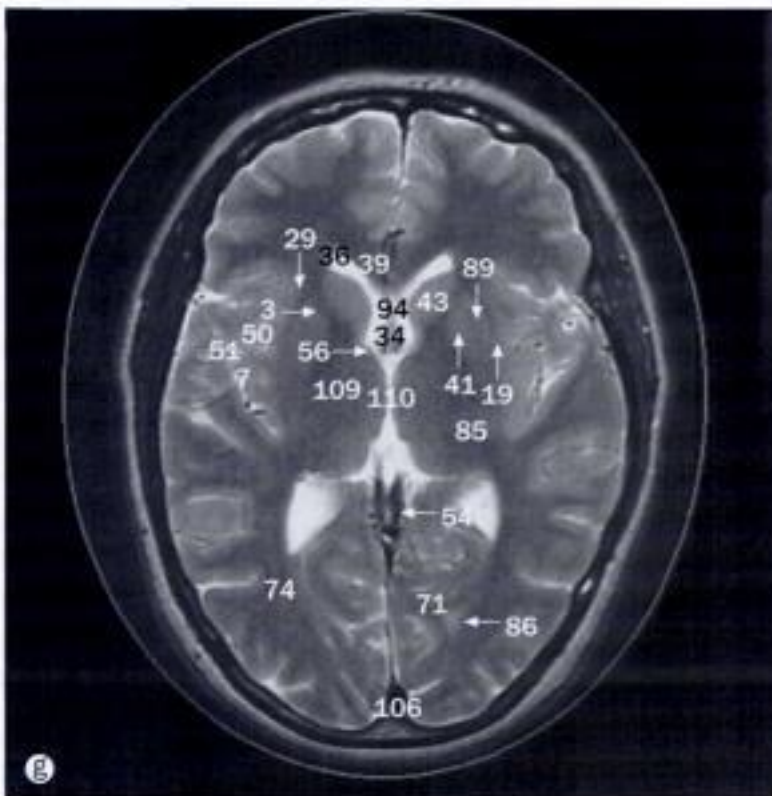
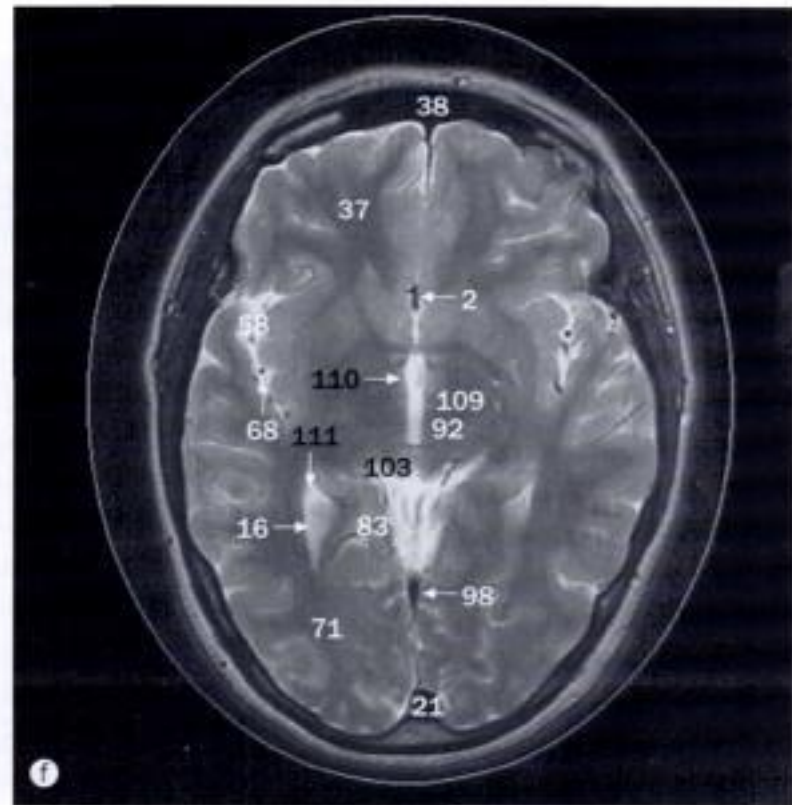
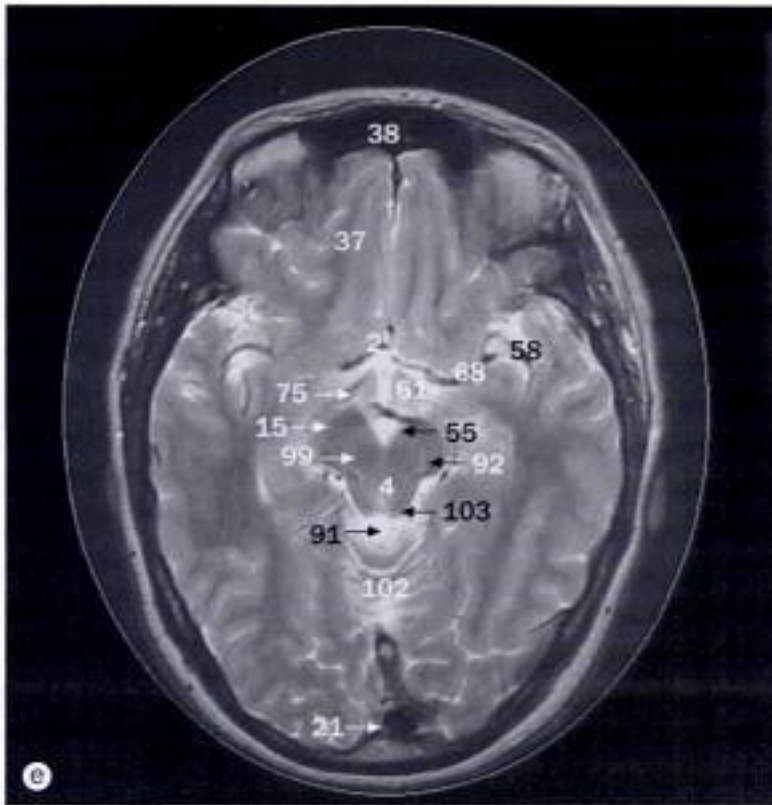
- 1 Veine basale de Rosenthal
- 2 Artère basilaire
- 3 Sinus caveux
- 4 Confluent des sinus veineux (torcular d'Hérophile)
- 5 Grande veine cérébrale de Galien
- 6 Sinus pétreux inférieur
- 7 Sinus sagittal inférieur
- 8 Artère carotide interne

- 9 Veine cérébrale interne
- 10 Sinus transverse gauche
- 11 Sinus transverse droit
- 12 Sinus sphéno-pariétal
- 13 Sinus droit
- 14 Veines cérébrales superficielles
- 15 Sinus pétreux supérieur
- 16 Sinus sagittal supérieur

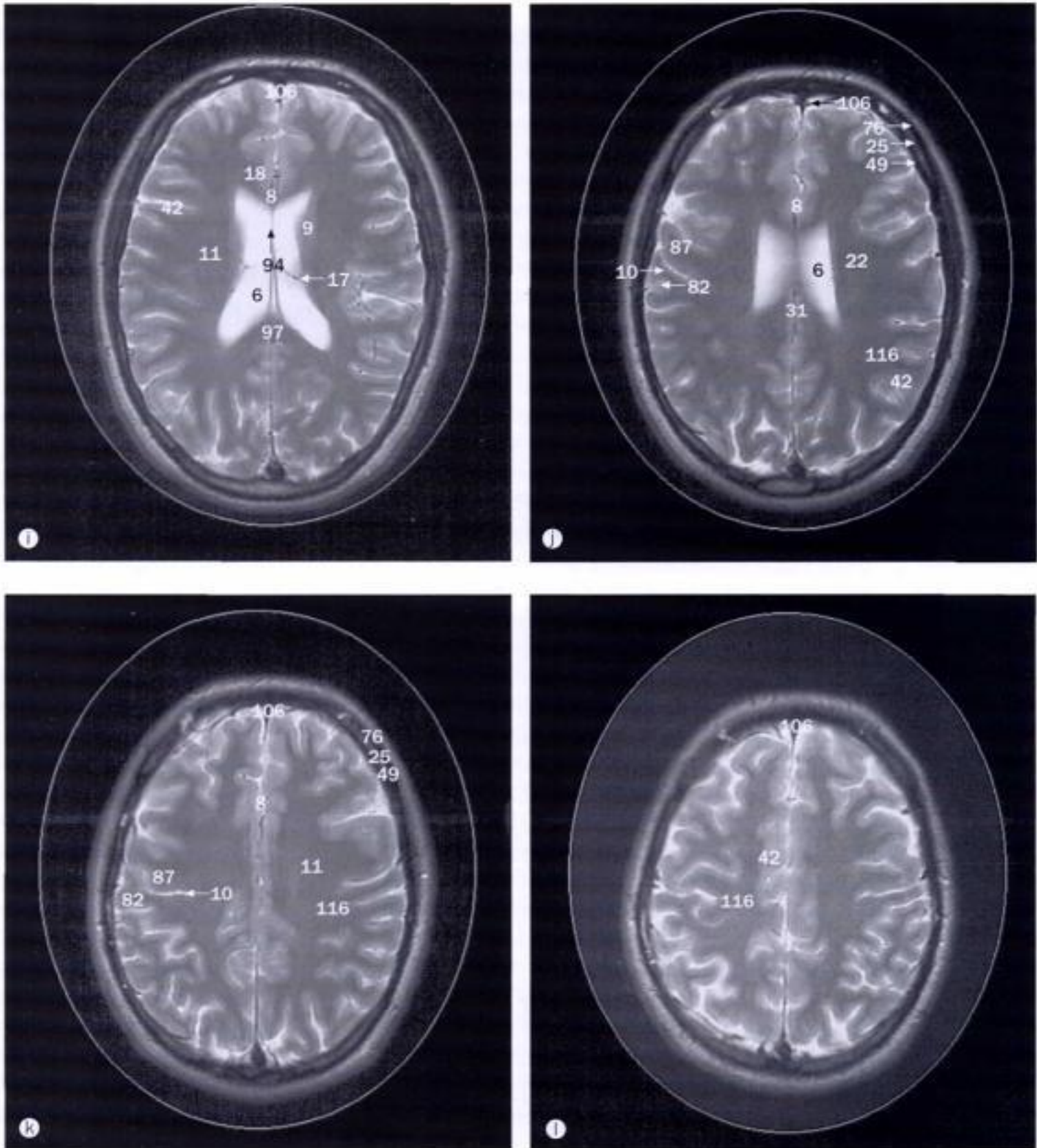


(a) - (p) IRM du cerveau, coupes axiales.

- | | | |
|--|--|---|
| 1 Cisterna ambiens | 11 Centre semi-ovale | 21 Confluent des sinus veineux (torcular d'Hérophile) |
| 2 Artère cérébrale antérieure | 12 Follicules cérébelleux | 22 Couronne rayonnante |
| 3 Bras antérieur de la capsule interne | 13 Tonsille cérébelleuse | 23 Veine corticale |
| 4 Aqueduc du mésencéphale (Sylvius) | 14 Cisterna ponto-cérébelleuse | 24 Noyau denté |
| 5 Artère basilaire | 15 Pédoncule cérébral | 25 Diploé |
| 6 Corps du ventricule latéral | 16 Plexus choroïde dans le trigone du ventricule latéral | 26 Dos de la selle turcique |
| 7 Branche de l'artère cérébrale moyenne dans le sillon latéral (scissure de Sylvius) | 17 Vaisseaux choroïdiens | 27 Cellules ethmoïdales |
| 8 Artère callosomarginale | 18 Gyrus du cingulum | 28 Méat acoustique externe |
| 9 Noyau caudé | 19 Claustrum | 29 Capsule externe |
| 10 Sillon central (Rolando) | 20 Cochlée | 30 Nerf facial dans le canal acoustique interne |

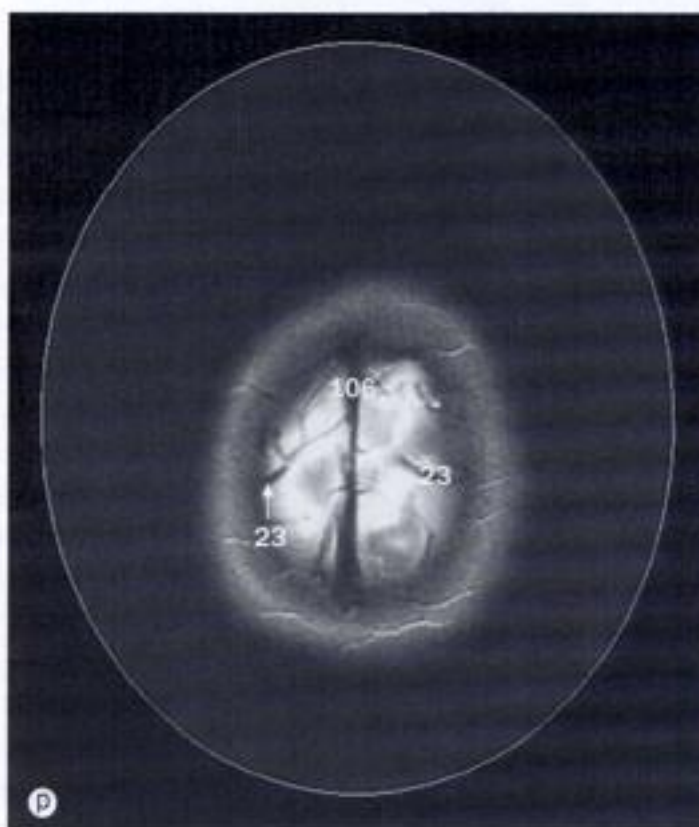
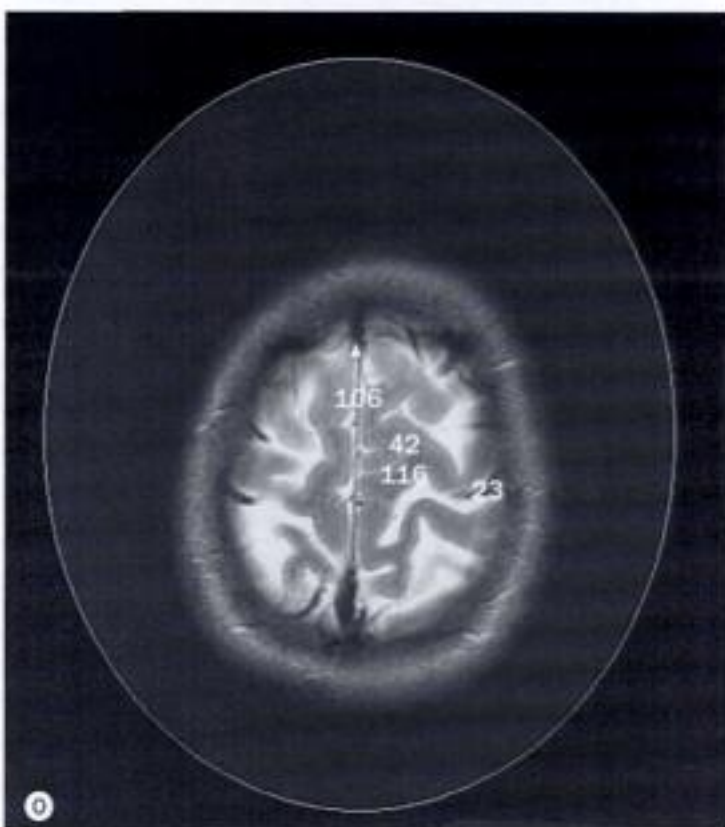
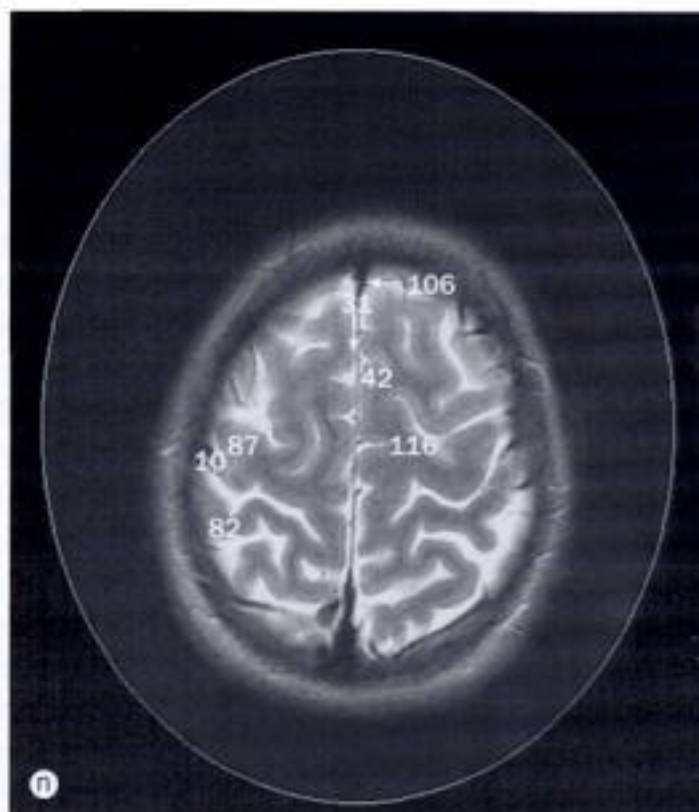
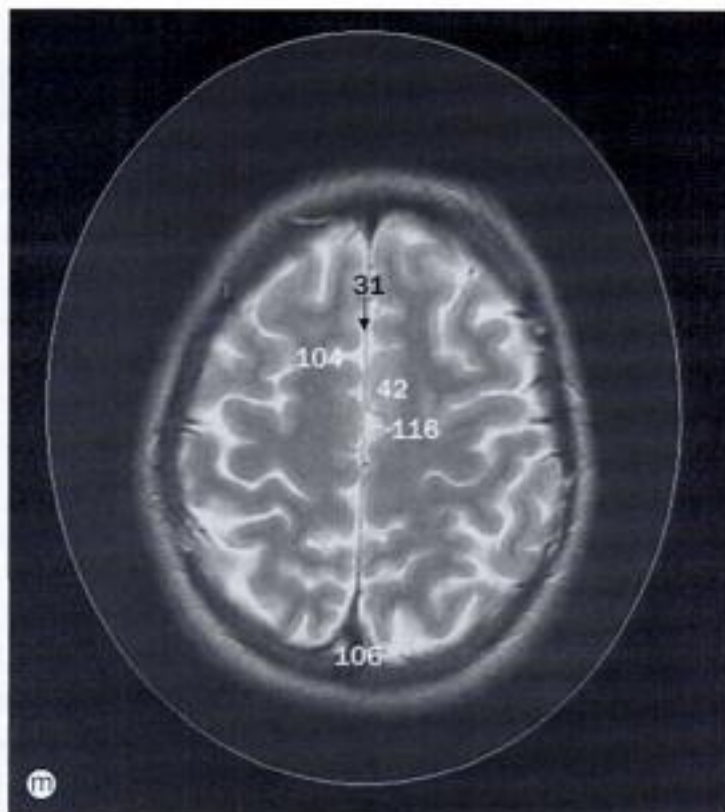


- | | | |
|---|---|---|
| 31 Faux du cerveau | 42 Substance grise | 51 Gyrus insulaires |
| 32 Forceps major | 43 Tête du noyau caudé | 52 Méat acoustique interne |
| 33 Forceps minor | 44 Pédoncule cérébelleux inférieur | 53 Artère carotide interne |
| 34 Fornix | 45 Vermis cérébelleux inférieur | 54 Veine cérébrale interne |
| 35 Quatrième ventricule | 46 Collicule inférieur | 55 Citerne interpédonculaire |
| 36 Corne frontale du ventricule latéral | 47 Sinus sagittal inférieur | 56 Foramen interventriculaire de Monro |
| 37 Lobe frontal | 48 Corne inférieure (temporale) du ventricule latéral | 57 Muscle droit latéral |
| 38 Sinus frontal | 49 Lamelle interne, dure-mère et liquide cérébro-spinal | 58 Sillon latéral (scissure de Sylvius) |
| 39 Genou du corps calleux | 50 Insula | 59 Hémisphère cérébelleux gauche |
| 40 Globe oculaire | | 60 Cristallin |
| 41 Globus pallidus | | |



(i) - (p) IRM du cerveau, coupes axiales.

- | | | |
|---|--|---|
| 61 Corps mamillaires dans la citerne chiasmatique | 73 Nerf optique | 85 Bras postérieur de la capsule interne |
| 62 Cellules mastoïdiennes | 74 Radiations optiques | 86 Corne postérieure (occipitale) du ventricule latéral |
| 63 Sinus maxillaire (antre) | 75 Tractus optique | 87 Gyrus précentral |
| 64 Muscle droit médial | 76 Lame externe | 88 Citerne prépontique |
| 65 Moelle allongée | 77 Gyrus parahippocampal | 89 Putamen |
| 66 Mésencéphale | 78 Partie pétreuse de l'os temporal | 90 Pyramide de la moelle allongée |
| 67 Pédoncule cérébelleux moyen | 79 Pavillon de l'oreille | 91 Citerne quadrigéminal |
| 68 Artère cérébrale moyenne | 80 Glande pituitaire | 92 Noyau rouge |
| 69 Septum nasal | 81 Pont | 93 Graisse rétro-orbitaire |
| 70 Nodule du cervelet | 82 Gyrus postcentral | 94 Septum pellucidum |
| 71 Lobe occipital | 83 Artère cérébrale postérieure | 95 Sinus sigmoïde |
| 72 Chiasma optique dans la citerne chiasmatique | 84 Artère cérébrale postérieure dans la citerne ambiante | |



96 Sinus sphénoïdal
97 Splénium du corps calleux
98 Sinus droit
99 Substance noire
100 Artère temporale superficielle
101 Pédoncule cérébelleux supérieur
102 Vermis cérébelleux supérieur
103 Collicule supérieur
104 Gyrus frontal supérieur
105 Veine ophtalmique supérieure
106 Sinus sagittal supérieur

107 Vermis supérieur
108 Lobe temporal
109 Thalamus
110 Troisième ventricule
111 Trigone du ventricule latéral
112 Nerf vague
113 Artère vertébrale
114 Partie vestibulaire de l'oreille interne
115 Nerf vestibulo-cochléaire dans le canal acoustique interne
116 Substance blanche

Gratuittement

www.lemanip.com

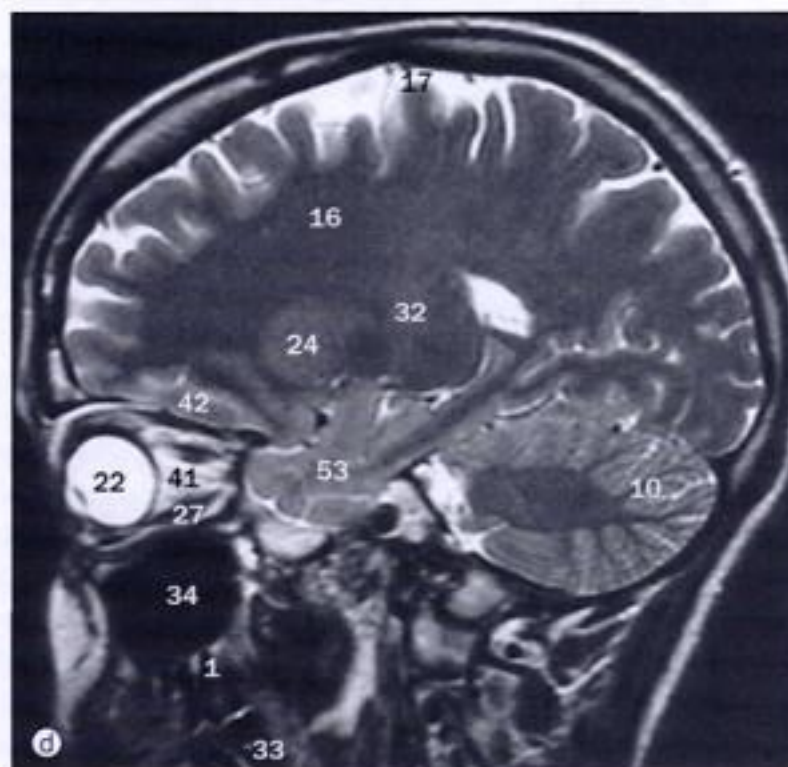
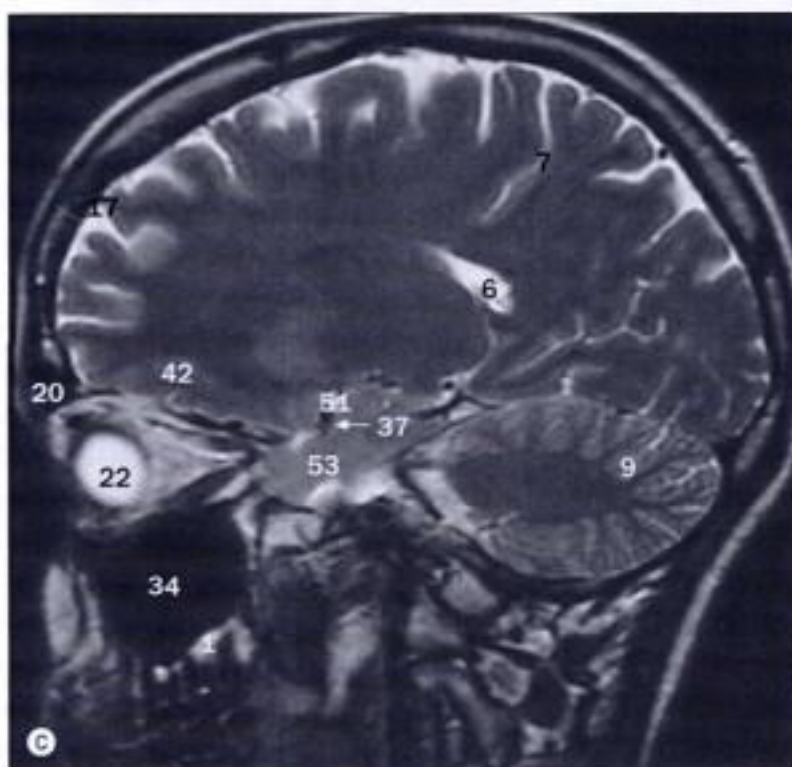
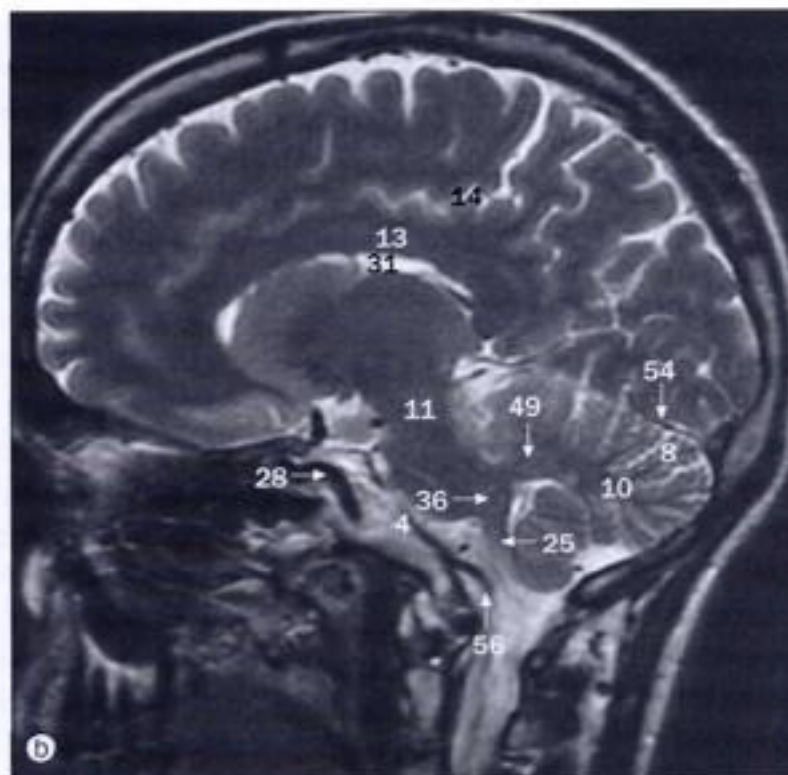
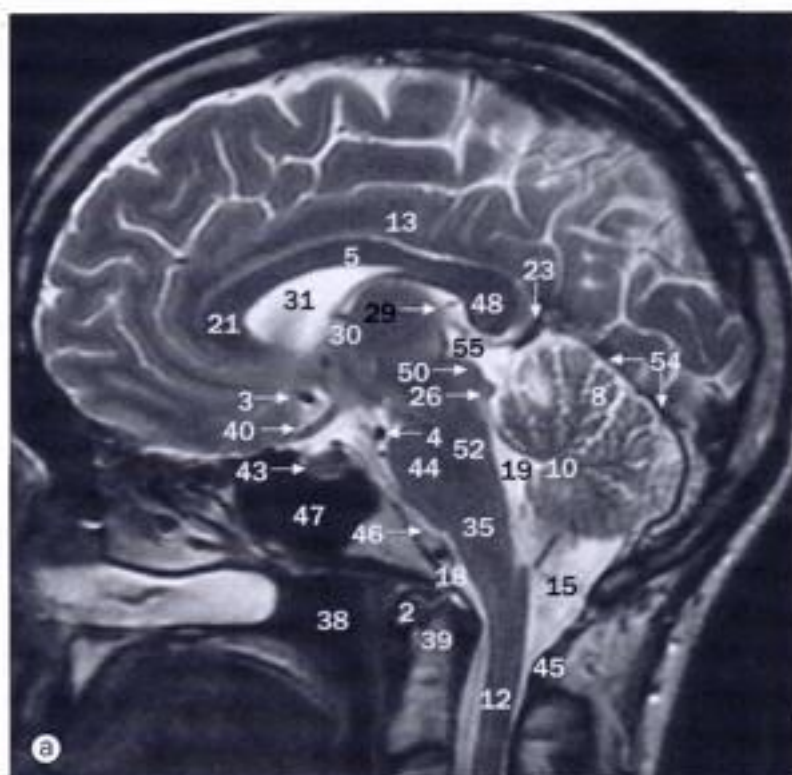
Radiologie et imagerie medicale



Livres, memoires, rapport de stage, courses, radiologie conventionnelle, Scanner, TDM, IRM, Scintigraphie, Medecine nucleaire, Radiotherapie, Radiologie Interventionnelle, Oncologie, Clichees, Cas interpretes, exposes, medecine

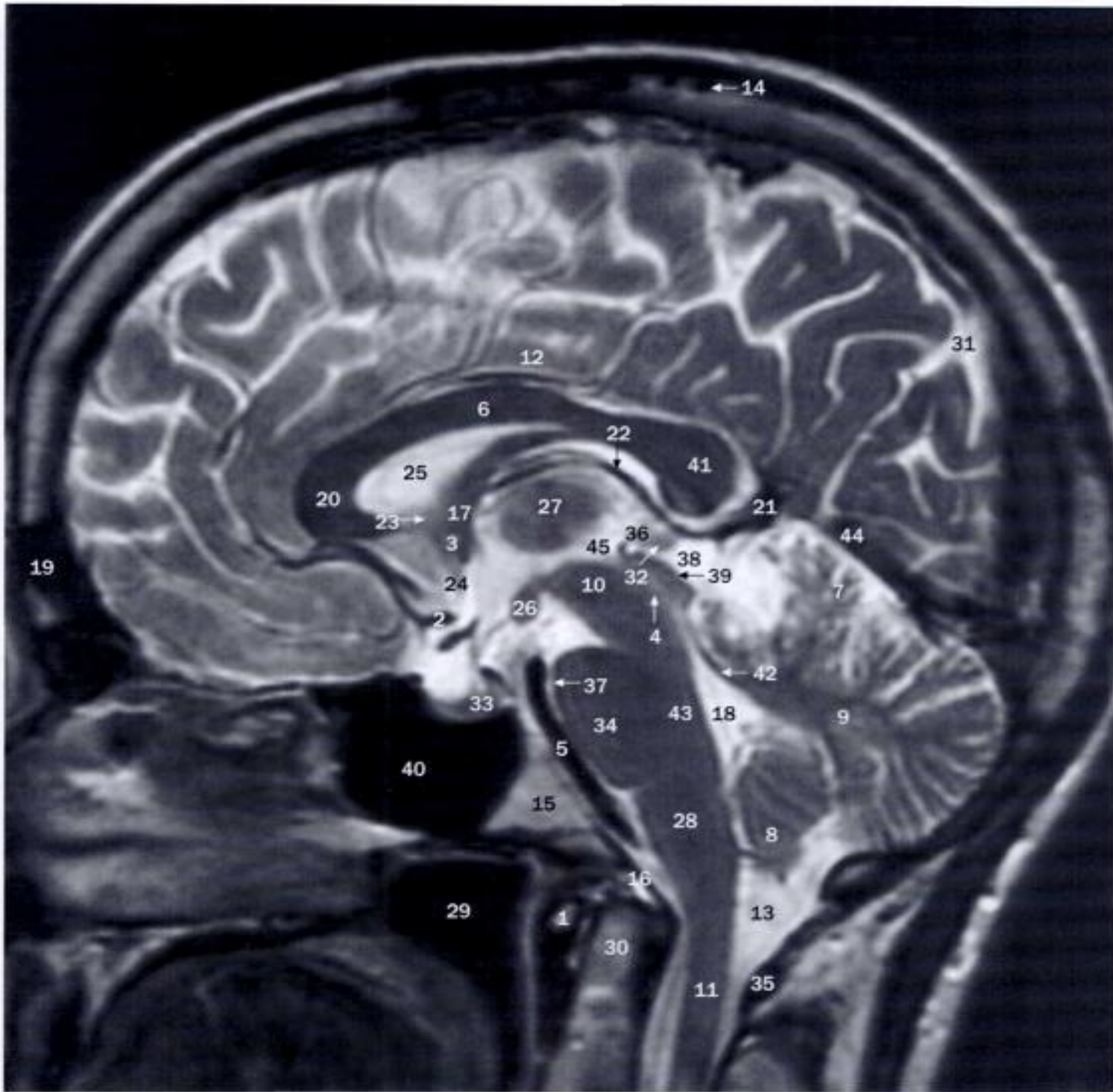
<https://www.lemanip.com/>

www.lemanip.com



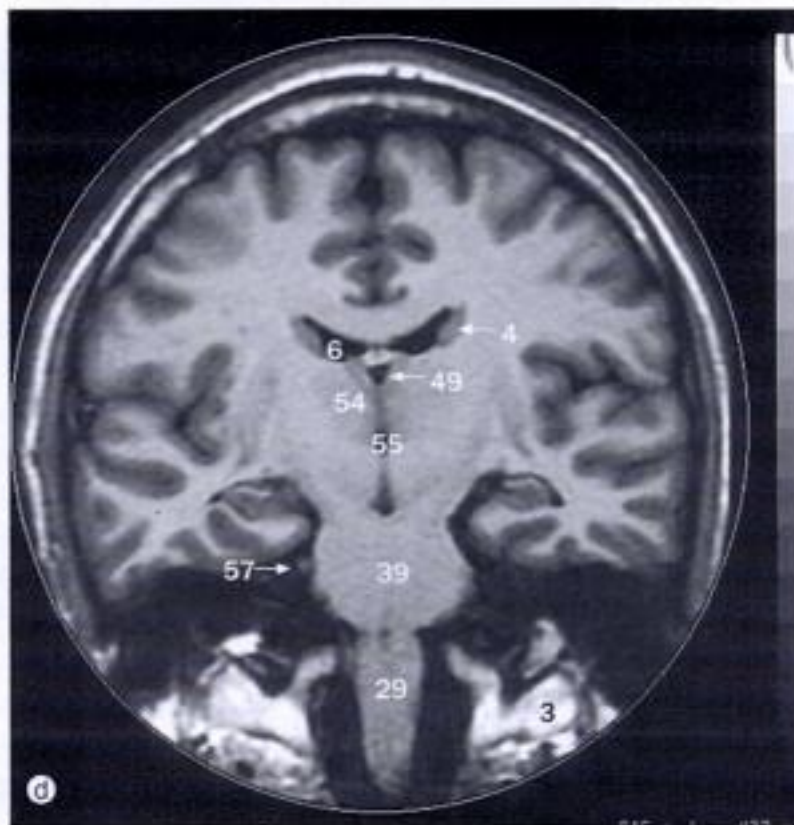
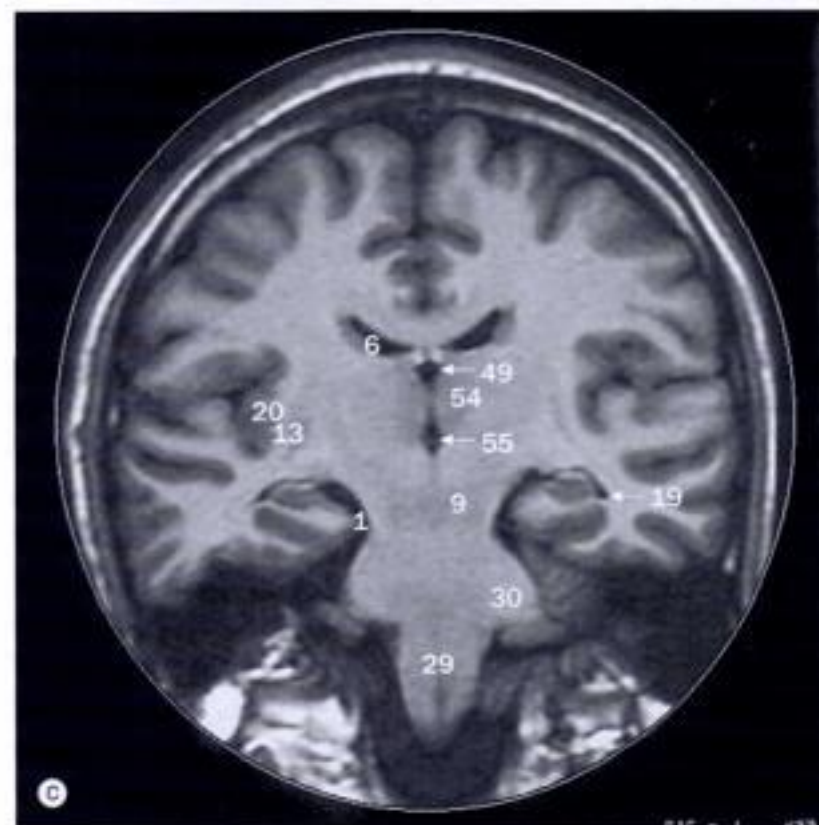
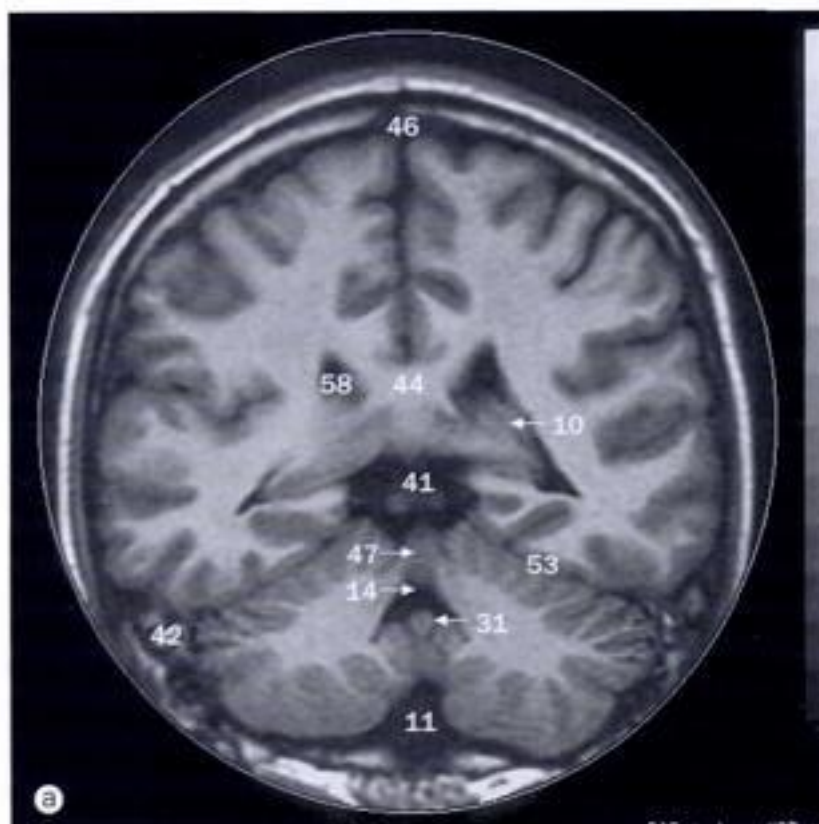
(a) - (d) RM du cerveau, coupes sagittales.

- | | | | |
|--|--|---|------------------------------------|
| 1 Rebord alvéolaire | 15 Grande citerne (citerne cérébello-médullaire) | 29 Veine cérébrale interne | 43 Glande pituitaire |
| 2 Arc antérieur de l'atlas (première vertèbre cervicale) | 16 Couronne rayonnante | 30 Foramen interventriculaire de Monro | 44 Pont |
| 3 Artère cérébrale antérieure | 17 Veine corticale | 31 Ventricule latéral | 45 Arc postérieur de l'atlas |
| 4 Artère basilaire | 18 Foramen magnum | 32 Noyau lenticulaire | 46 Citerne prépontique |
| 5 Corps du corps calleux | 19 Quatrième ventricule | 33 Mandibule | 47 Sinus sphénoïdal |
| 6 Corps du ventricule latéral | 20 Sinus frontal | 34 Sinus maxillaire (antre) | 48 Splénium du corps calleux |
| 7 Sillon central (Rolando) | 21 Genou du corps calleux | 35 Moelle allongée | 49 Pédoncule cérébelleux supérieur |
| 8 Follums cérébelleux | 22 Globe oculaire | 36 Pédoncule cérébelleux moyen | 50 Collicule supérieur |
| 9 Hémisphère cérébelleux | 23 Grande veine cérébrale de Gallien | 37 Artère cérébrale moyenne | 51 Scissure de Sylvius |
| 10 Cervelet | 24 Tête du noyau caudé | 38 Nasopharynx | 52 Tegmentum pontique |
| 11 Pédoncule cérébral | 25 Pédoncule cérébelleux inférieur | 39 Processus odontoïde (dent) | 53 Lobe temporal du cerveau |
| 12 Moelle épinière cervicale | 26 Collicule inférieur | 40 Chiasma optique dans la citerne chiasmatique | 54 Tente du cervelet |
| 13 Gyrus du cingulum | 27 Muscle droit inférieur | 41 Nerf optique | 55 Troisième ventricule |
| 14 Sillon du cingulum | 28 Artère carotide interne dans le sinus caveux | 42 Cortex orbitaire du lobe frontal | 56 Artère vertébrale |



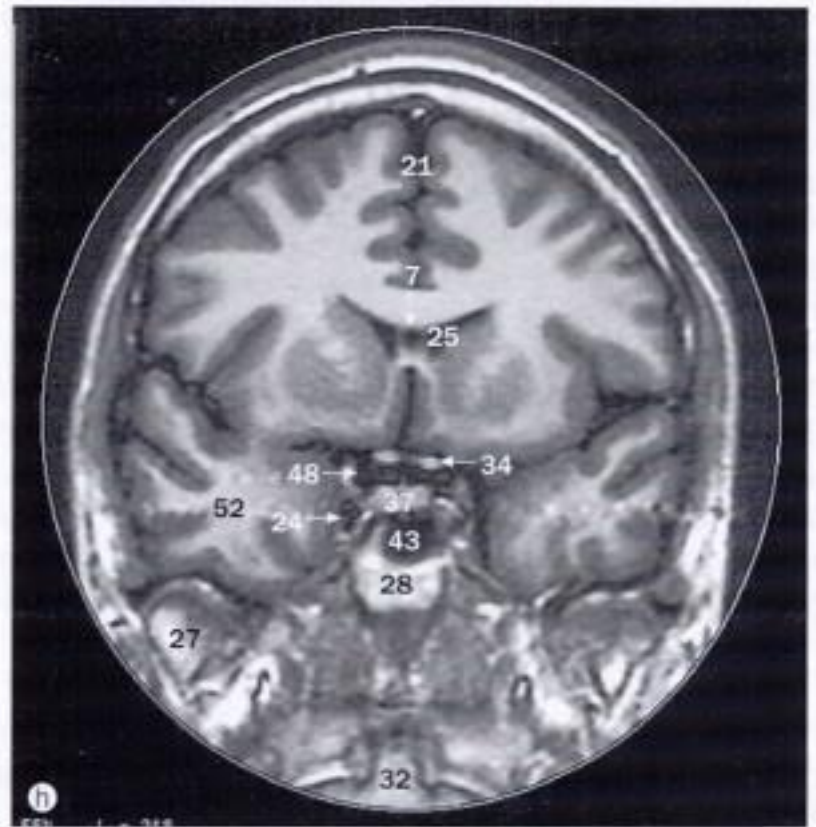
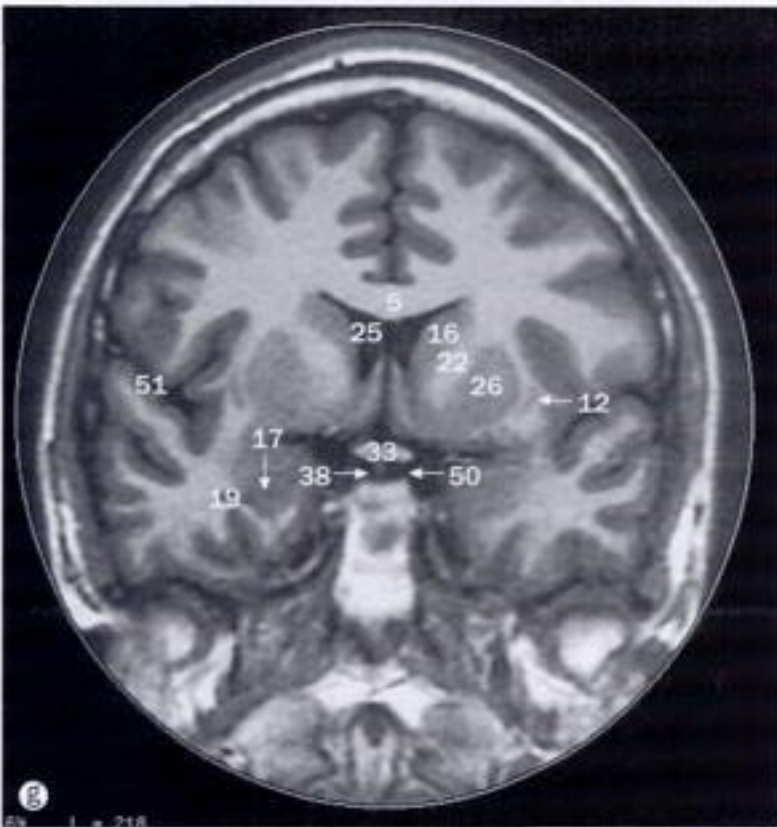
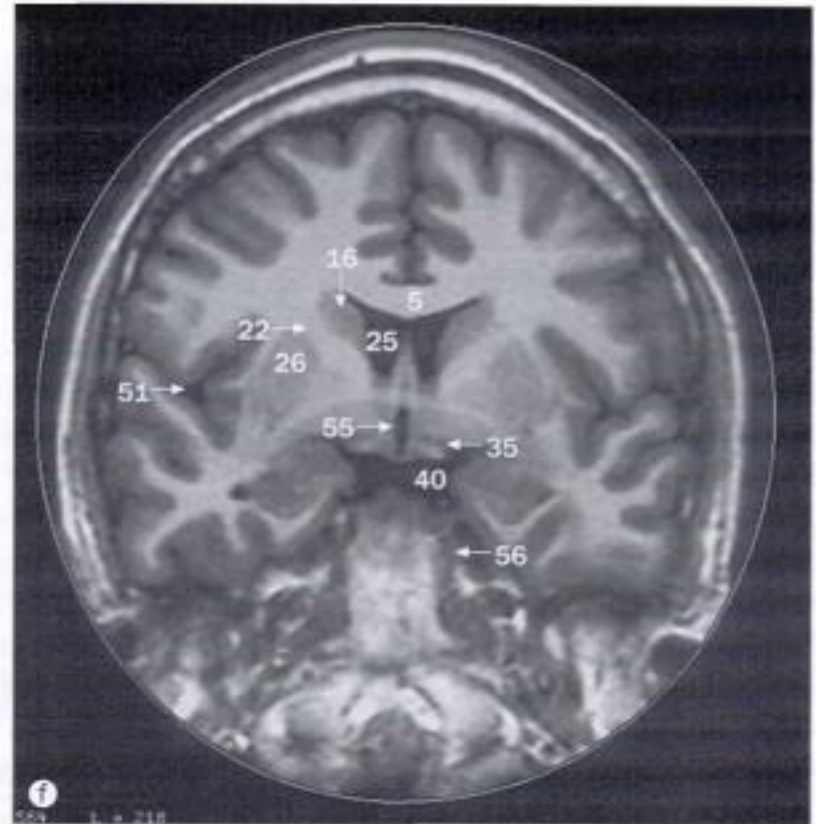
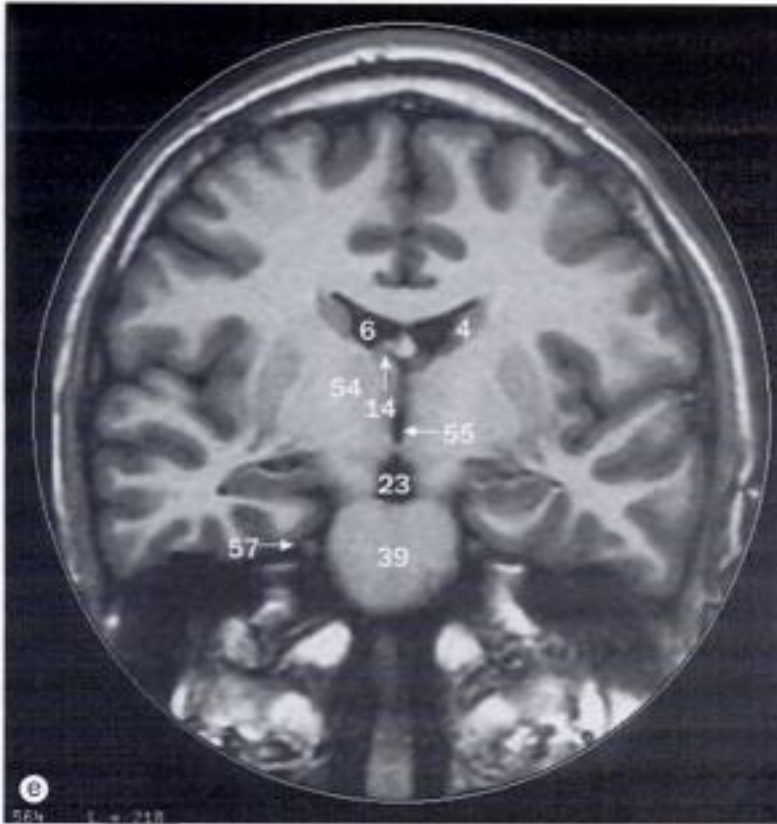
IRM du cerveau, coupe médio-sagittale.

- | | | |
|--|---|--------------------------------------|
| 1 Arc antérieur de l'atlas (première vertèbre cervicale) | 15 Graisse dans la moelle osseuse du clivus | 31 Fissure pariéto-occipitale |
| 2 Artère cérébrale antérieure | 16 Foramen magnum | 32 Corps pinéal |
| 3 Commissure antérieure | 17 Fornix | 33 Glande pituitaire |
| 4 Aqueduc du mésencéphale (Sylvius) | 18 Quatrième ventricule | 34 Pont |
| 5 Artère basilaire | 19 Sinus frontal | 35 Arc postérieur de l'atlas |
| 6 Corps du corps calleux | 20 Genou du corps calleux | 36 Commissure postérieure |
| 7 Foliums cérébelleux | 21 Grande veine cérébrale de Galien | 37 Citerne prépontique |
| 8 Tonsille cérébelleuse | 22 Veine cérébrale interne | 38 Citerne quadrigémale |
| 9 Cervelet | 23 Foramen interventriculaire de Monro | 39 Lame quadrigémale du mésencéphale |
| 10 Pédoncules cérébraux du mésencéphale | 24 Lame terminale | 40 Sinus sphénoïdal |
| 11 Moelle épinière cervicale | 25 Ventricule latéral | 41 Splénium du corps calleux |
| 12 Gyrus du cingulum | 26 Corps mamillaire | 42 Voile médullaire supérieur |
| 13 Grande citerne (citerne cérébello-médullaire) | 27 Masse intermédiaire | 43 Tegmentum pontique |
| 14 Veines diploïques | 28 Moelle allongée | 44 Tente du cervelet |
| | 29 Nasopharynx | 45 Troisième ventricule |
| | 30 Processus odontoïde (dent) | |

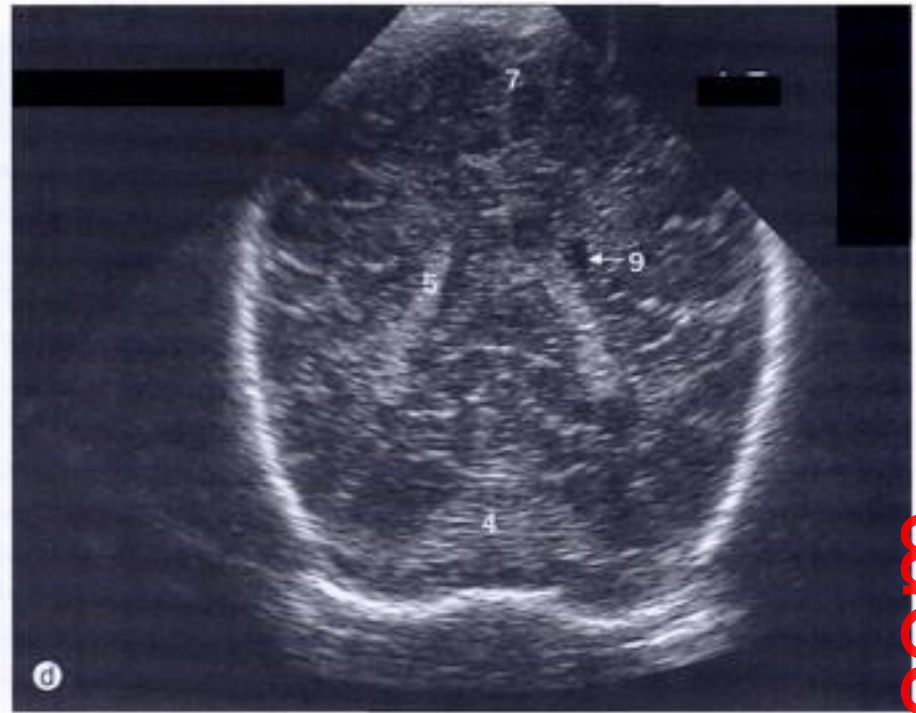
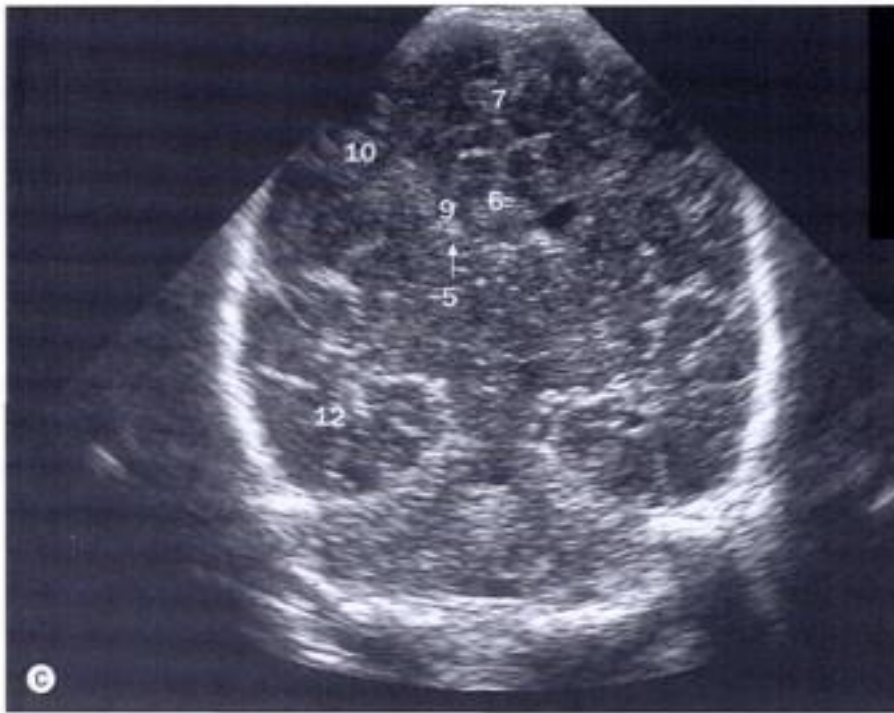
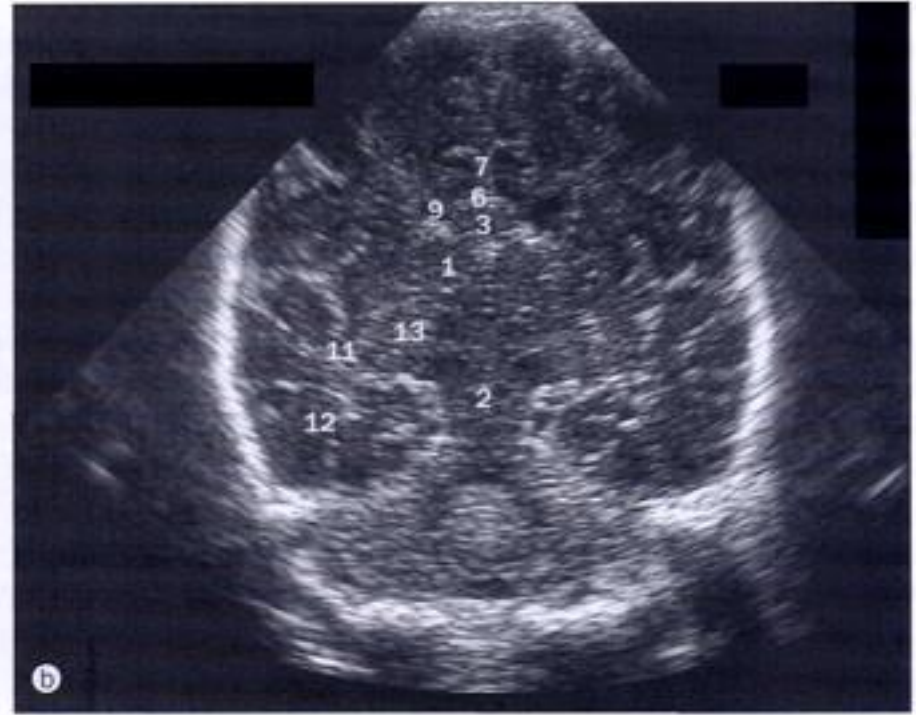
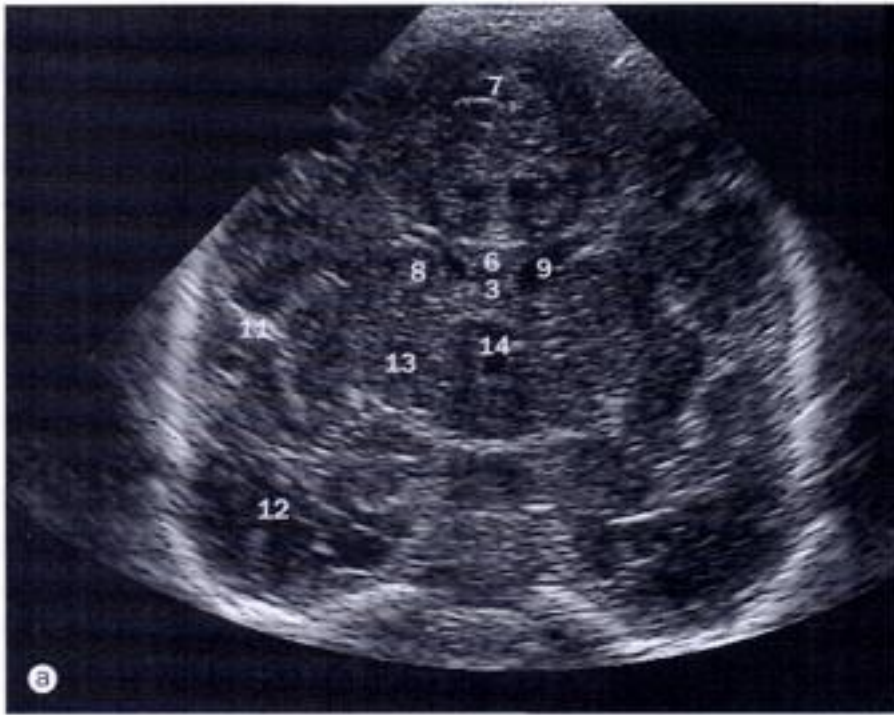


(a) - (h) IRM du cerveau, coupes frontales (coronales).

- | | | |
|--|---|--|
| 1 Citerne ambiante | 12 Claustrum et capsule externe | 22 Capsule interne |
| 2 Aqueduc du mésencéphale (Sylvius) | 13 Capsule externe | 23 Citerne interpédunculaire |
| 3 Atlas (première vertèbre cervicale) | 14 Fornix | 24 Partie intracaverneuse de l'artère carotide interne |
| 4 Corps du noyau caudé | 15 Quatrième ventricule | 25 Ventricule latéral |
| 5 Corps du corps calleux | 16 Tête du noyau caudé | 26 Noyau lenticulaire |
| 6 Corps du ventricule latéral | 17 Hippocampe | 27 Mandibule |
| 7 Cavité du septum pellucidum | 18 Collicule inférieur | 28 Moelle osseuse dans le basisphénoïde (clivus) |
| 8 Hémisphère cérébelleux | 19 Corne inférieure (temporale) du ventricule latéral | 29 Moelle allongée |
| 9 Pédoncule cérébral | 20 Insula | 30 Pédoncule cérébelleux moyen |
| 10 Plexus choroïde | 21 Citerne interhémisphérique | |
| 11 Grande citerne (citerne cérébello-médullaire) | | |

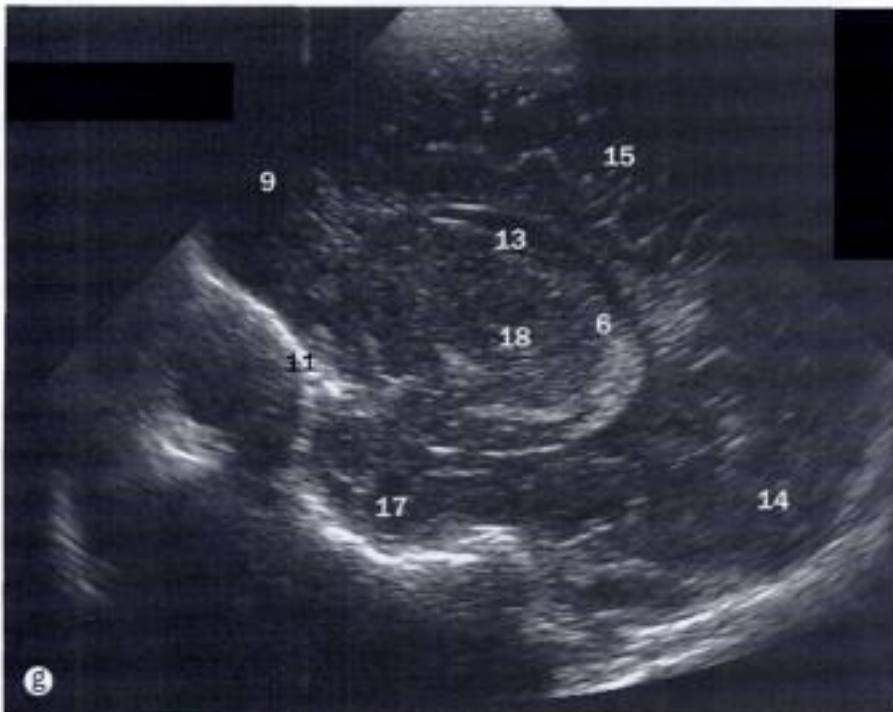


- | | | |
|---|--|---|
| 31 Nodule du cervelet | 41 Citerne quadrigéminal | 50 Citerne chiasmatique |
| 32 Processus odontoïde (dent) | 42 Sinus sigmoïde | 51 Scissure de Sylvius |
| 33 Chiasma optique dans la citerne chiasmatique | 43 Sinus sphénoïdal | 52 Lobe temporal |
| 34 Nerf optique | 44 Splénium du corps calleux | 53 Tente du cervelet |
| 35 Tractus optique | 45 Collicule supérieur | 54 Thalamus |
| 36 Corps pinéal | 46 Sinus sagittal supérieur | 55 Troisième ventricule |
| 37 Glande pituitaire | 47 Vermis supérieur | 56 Ganglion trigéminal (Gasser) dans le cavum de Meckel |
| 38 Tige pituitaire dans la citerne chiasmatique | 48 Partie supraclinoïde de l'artère carotide interne | 57 Nerf trijumeau |
| 39 Pont | 49 Récessus suprapinéal du troisième ventricule | 58 Trigone du ventricule latéral |
| 40 Citerne prépontique | | |



(a) - (d) Échotomographie du cerveau néonatal, coupes frontales (coronales).

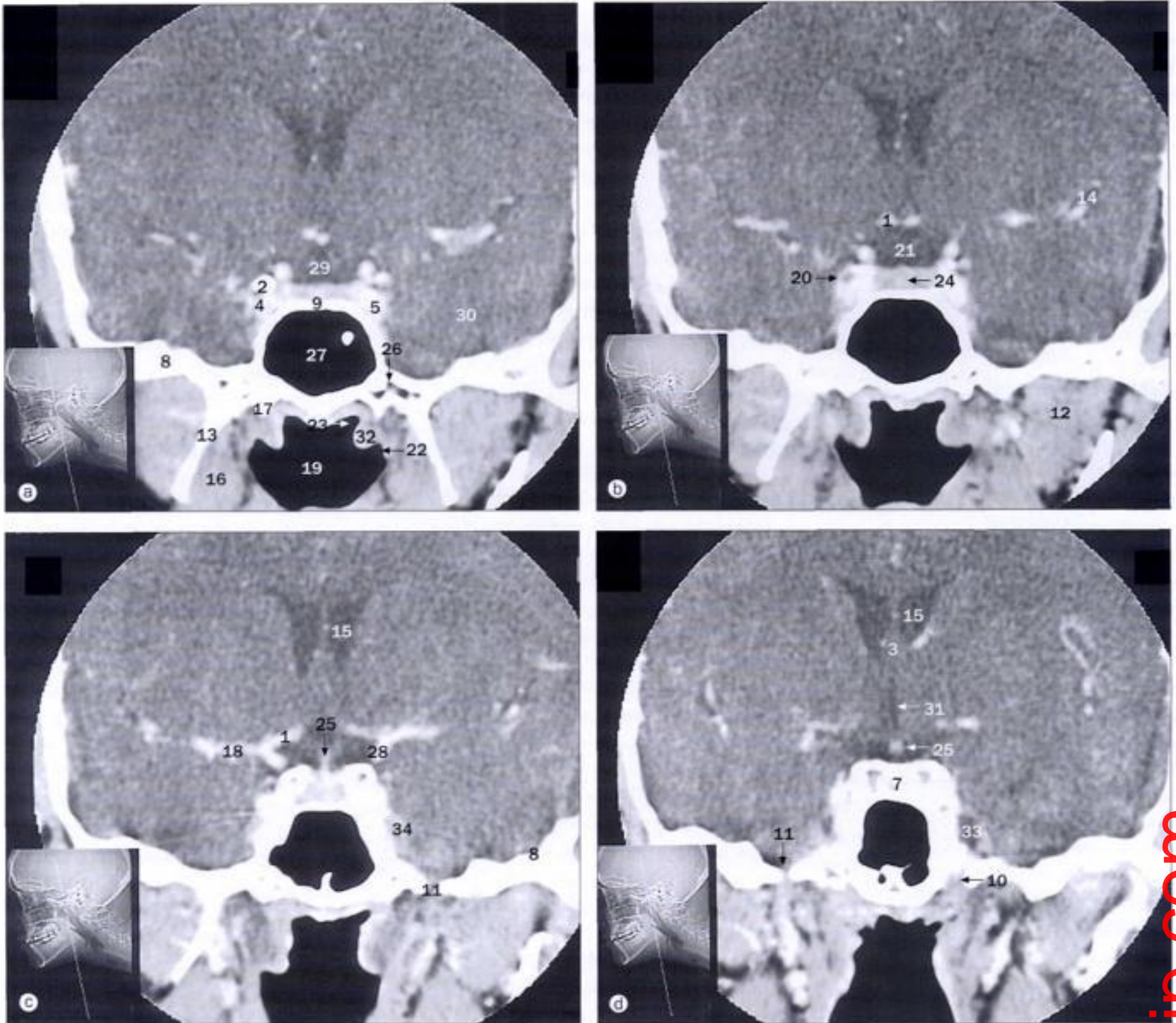
- 1 Corps du noyau caudé
- 2 Tronc cérébral
- 3 Cavité du septum pellucidum
- 4 Cervelet
- 5 Plexus choroïde
- 6 Corps calleux
- 7 Faux du cerveau
- 8 Tête du noyau caudé
- 9 Ventricule latéral
- 10 Lobe pariétal du cerveau
- 11 Scissure de Sylvius
- 12 Lobe temporal
- 13 Thalamus
- 14 Troisième ventricule



(e) - (h) Échotomographie du cerveau néonatal, coupes sagittales.

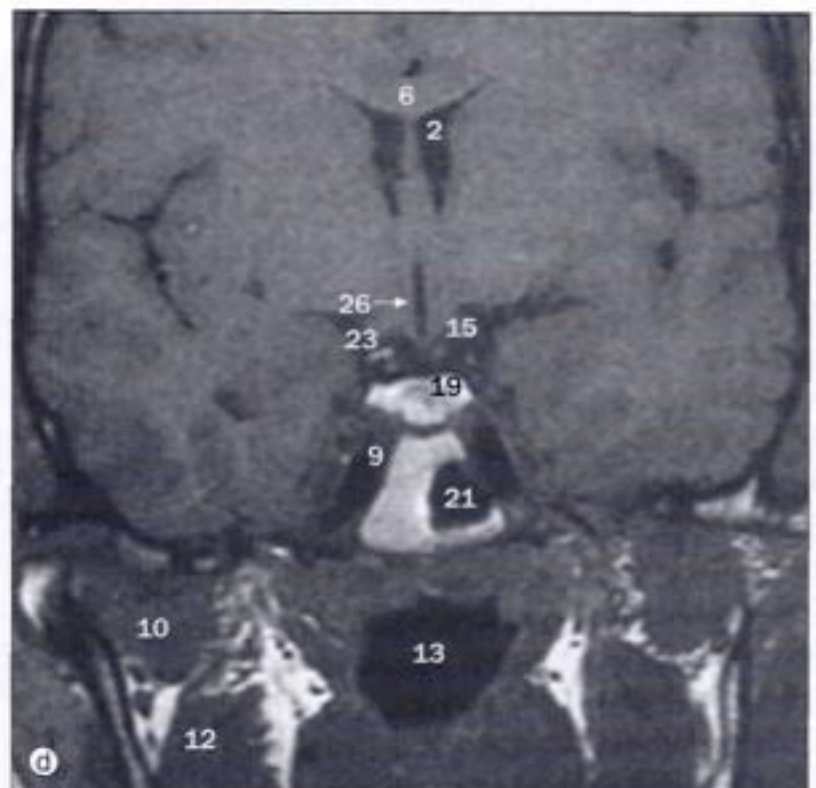
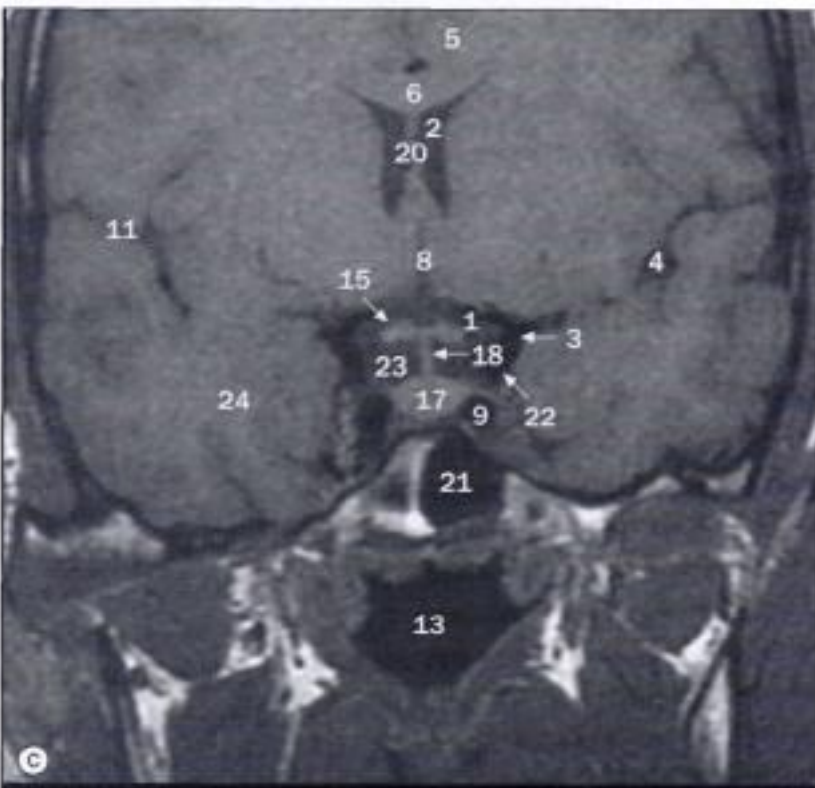
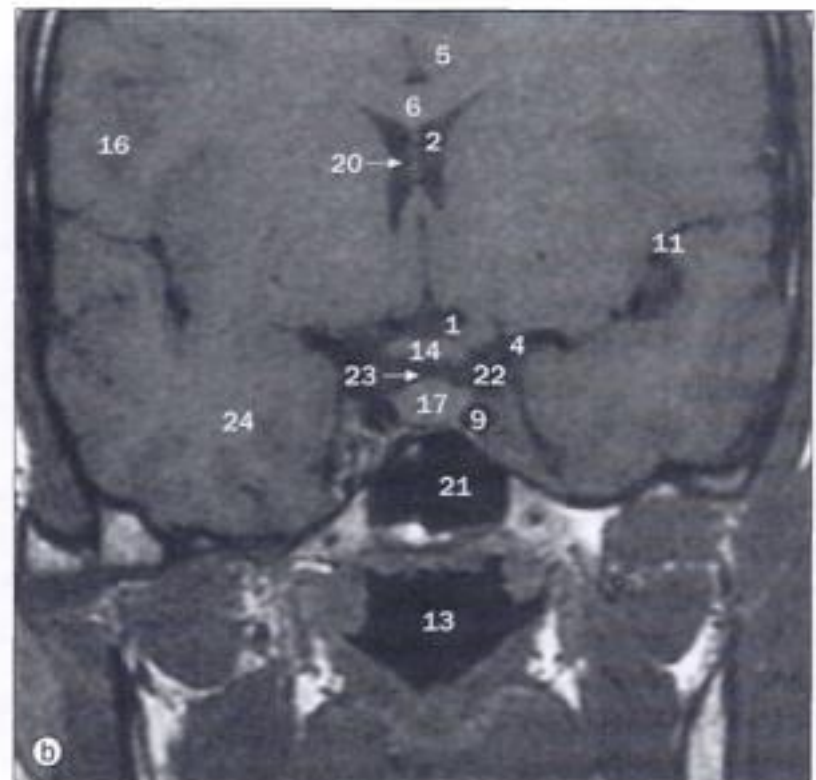
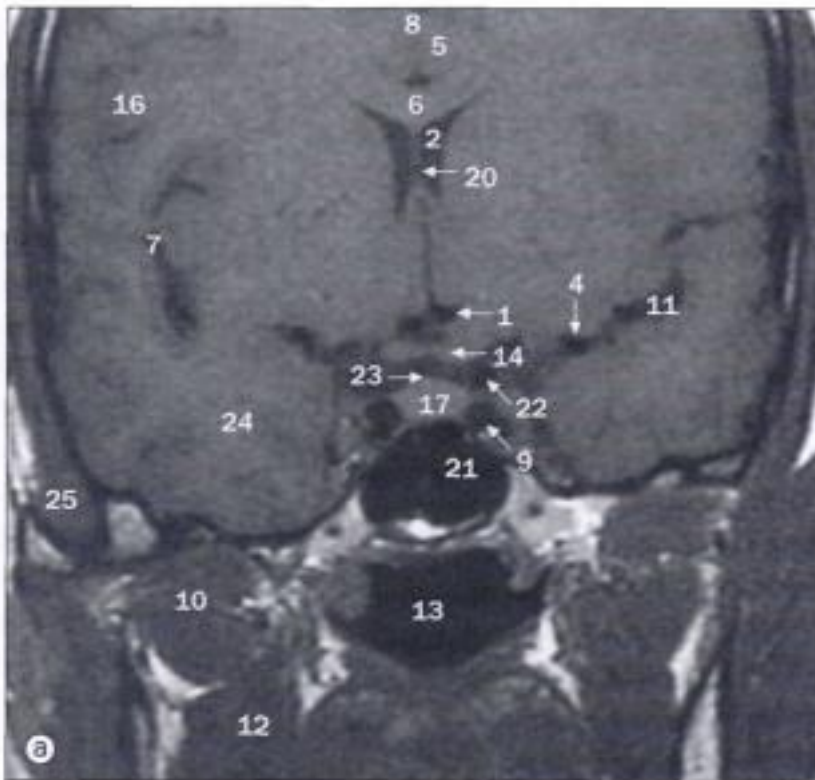
- 1 Corps du noyau caudé
- 2 Corps du corps calleux
- 3 Tronc cérébral
- 4 Cavité du septum pellucidum
- 5 Cervelet
- 6 Plexus choroïde
- 7 Clivus
- 8 Quatrième ventricule
- 9 Lobe frontal
- 10 Genou du corps calleux

- 11 Grande aile de l'os sphénoïde
- 12 Tête du noyau caudé
- 13 Ventricule latéral
- 14 Lobe occipital
- 15 Lobe pariétal du cerveau
- 16 Splénium du corps calleux
- 17 Lobe temporal
- 18 Thalamus
- 19 Troisième ventricule



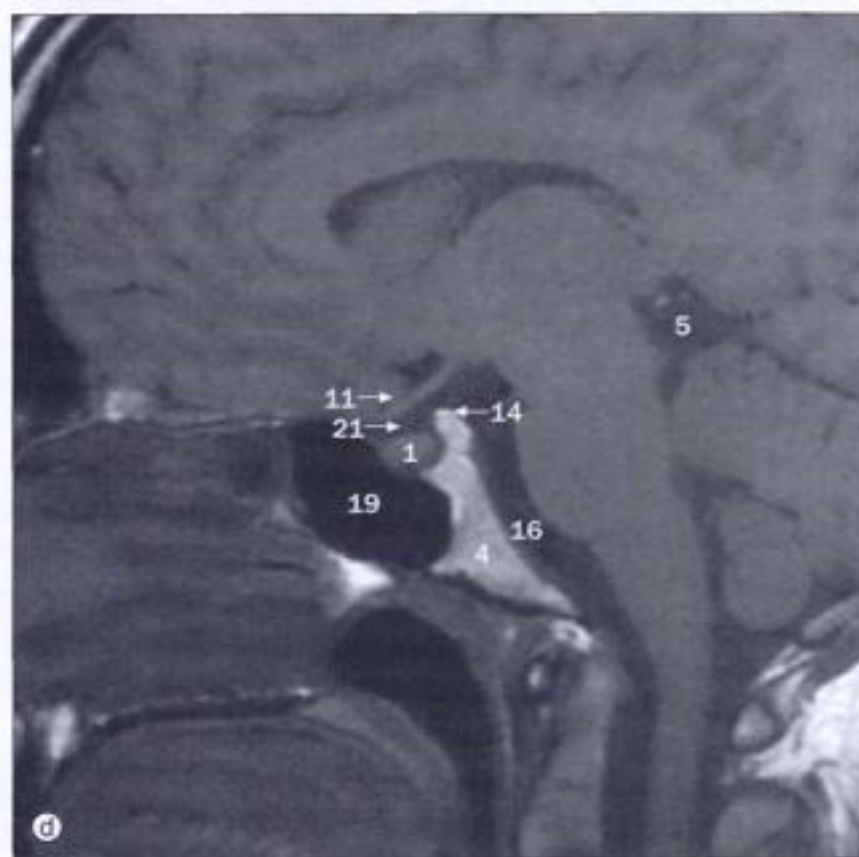
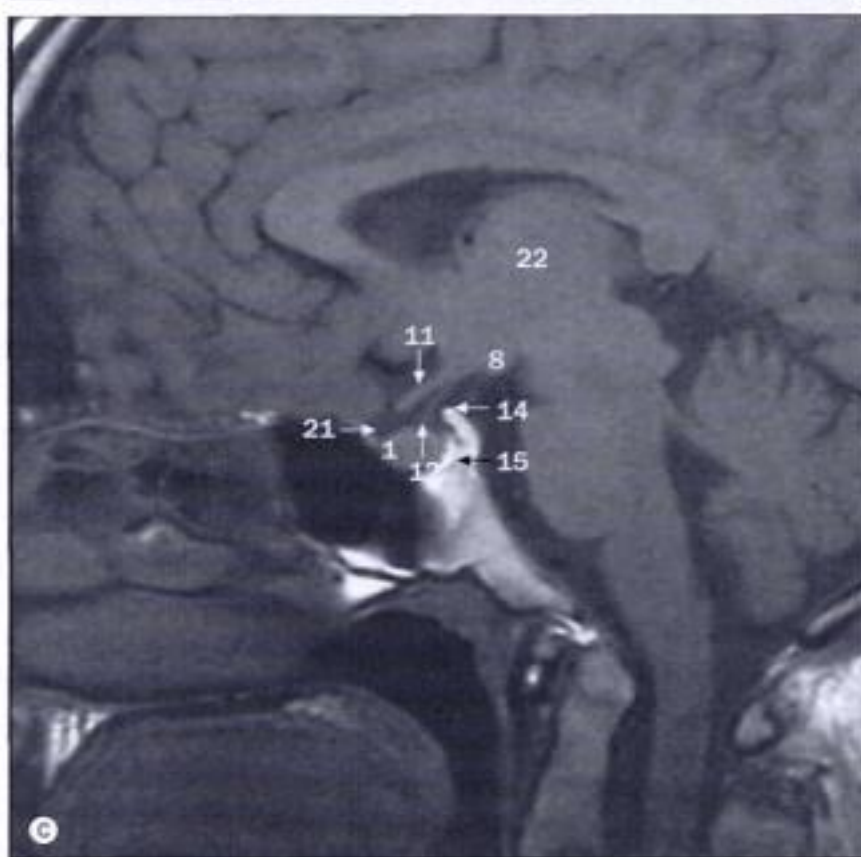
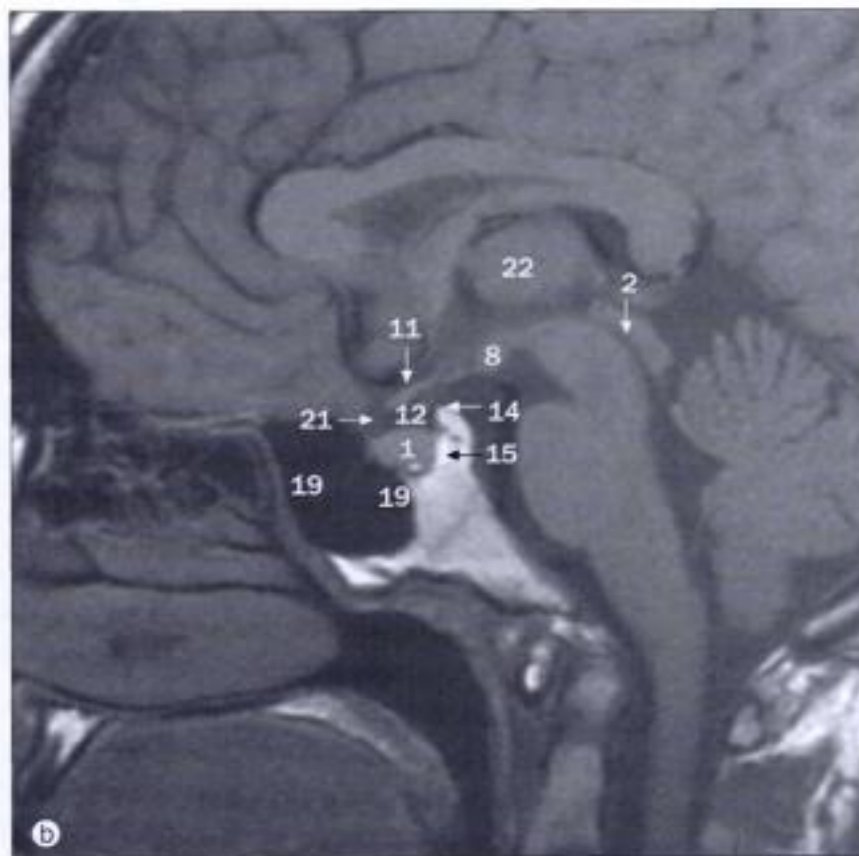
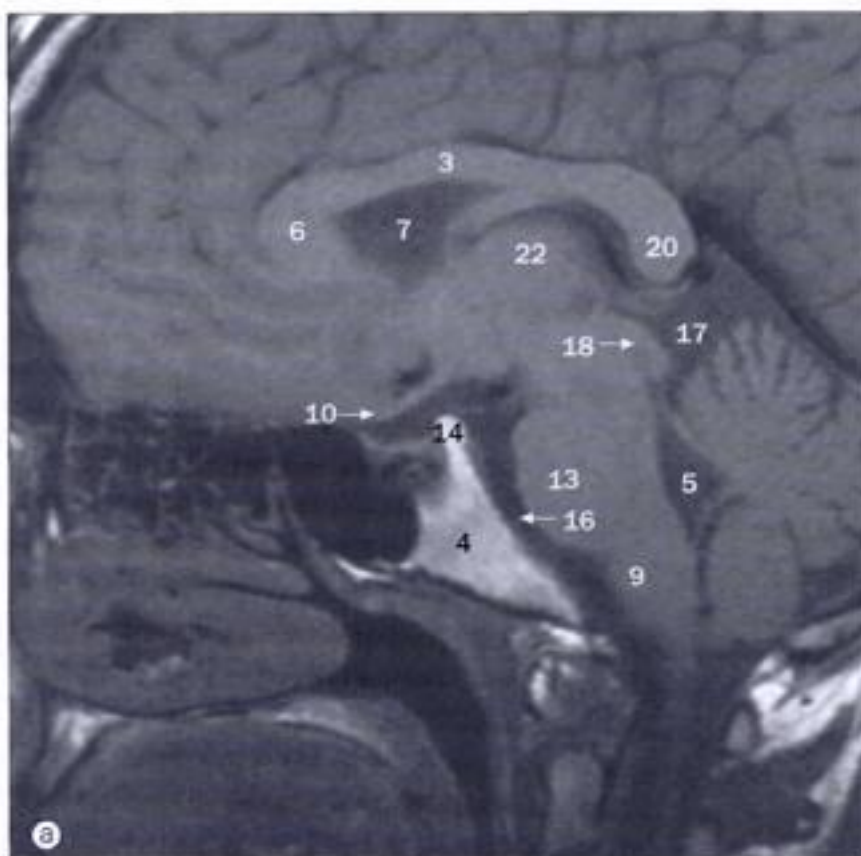
(a) - (d) TDM de la fosse pituitaire (selle turcique), coupes frontales (coronales).
Ces images montrent des tranches frontales (coronales), de 2 mm d'épaisseur, à travers la selle turcique (fosse pituitaire), d'avant (a) en arrière (d) au cours de la perfusion intraveineuse d'un produit de contraste hydrosoluble non ionisé.

- | | | |
|--|---|---|
| 1 Artère cérébrale antérieure | 13 Lame latérale du processus ptérygoïde | 24 Glande pituitaire |
| 2 Processus clinéoïde antérieur | 14 Sillon latéral (scissure de Sylvius) avec branches de l'artère cérébrale moyenne | 25 Tige pituitaire |
| 3 Corps du fornix | 15 Ventricule latéral | 26 Canal ptérygoïdien (vidien) |
| 4 Artère carotide interne dans le sinus caveux | 16 Muscle ptérygoïdien médial | 27 Sinus sphénoïdal |
| 5 Sinus caveux | 17 Lame médiale du processus ptérygoïde | 28 Partie supraclinéoïde de l'artère carotide interne |
| 6 Plexus choroïde | 18 Artère cérébrale moyenne | 29 Citerne chiasmatique |
| 7 Dos de la selle turcique | 19 Nasopharynx | 30 Lobe temporal du cerveau |
| 8 Plancher de la fosse crânienne moyenne | 20 Nerf oculo-moteur | 31 Troisième ventricule |
| 9 Plancher de la fosse pituitaire (selle turcique) | 21 Chiasma optique | 32 Torus tubaire |
| 10 Foramen déchiré | 22 Ostium de la trompe auditive (Eustache) | 33 Ganglion trigéminal (Casser) dans le cavum de Meckel |
| 11 Foramen ovale | 23 Flécessus pharyngien (fossette de Rosenmuller) | 34 Nerf trijumeau |
| 12 Muscle ptérygoïdien latéral | | |



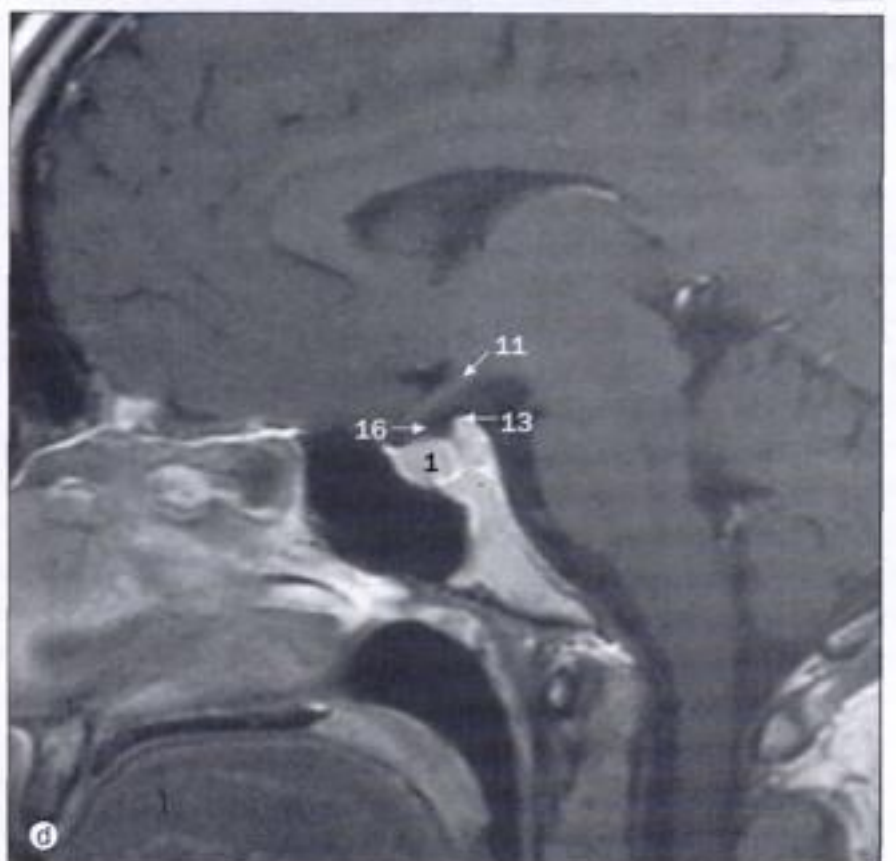
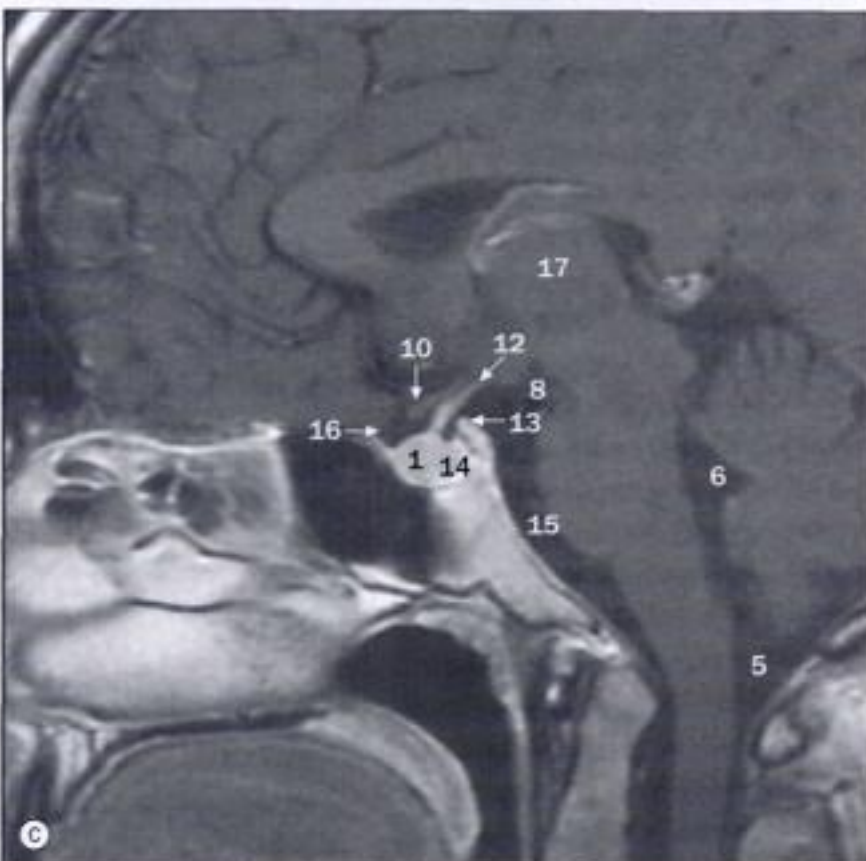
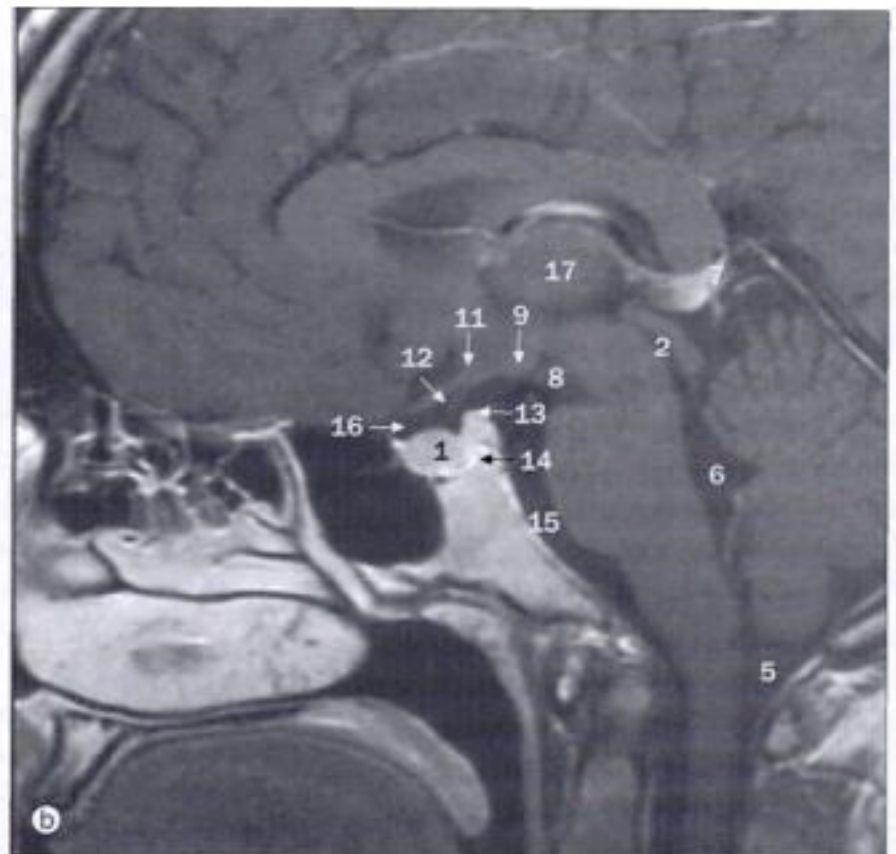
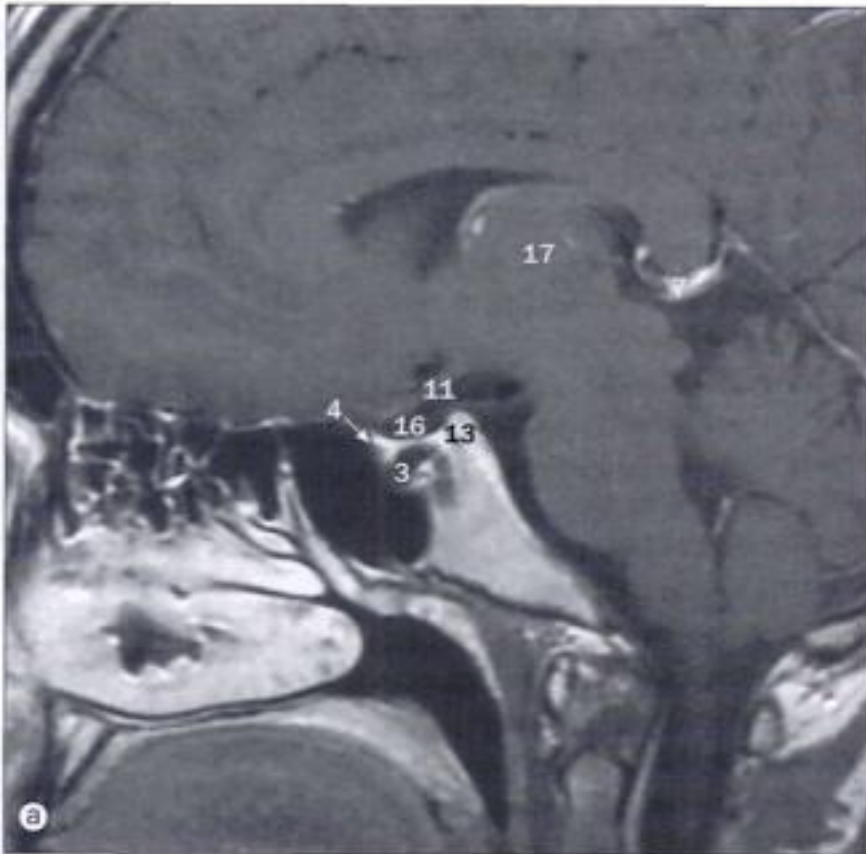
IRM de la fosse pituitaire (selle turcique), coupes frontales (coronales) à hauteur (a) du processus clinéoïde antérieur, (b) de la partie moyenne de la fosse, (c) de la tige pituitaire et (d) du dos de la selle turcique.

- | | | |
|--|--|---|
| 1 Artère cérébrale antérieure | 9 Artère carotide interne dans le sinus caveux | 18 Tige pituitaire |
| 2 Corne antérieure du ventricule latéral | 10 Muscle ptérygoïdien latéral | 19 Processus clinéoïde postérieur |
| 3 Bifurcation de l'artère carotide interne | 11 Sillon latéral (scissure de Sylvius) | 20 Septum pellucidum |
| 4 Branche de l'artère cérébrale moyenne dans le sillon latéral (scissure de Sylvius) | 12 Muscle ptérygoïdien médial | 21 Sinus sphénoïdal |
| 5 Gyrus du cingulum | 13 Nasopharynx | 22 Partie supraclinéoïde de l'artère carotide interne |
| 6 Corps calleux | 14 Chiasma optique | 23 Citerne chiasmatique |
| 7 Insula | 15 Tractus optique | 24 Lobe temporal du cerveau |
| 8 Fissure longitudinale du cerveau | 16 Lobe pariétal du cerveau | 25 Muscle temporal |
| | 17 Glande pituitaire | 26 Troisième ventricule |



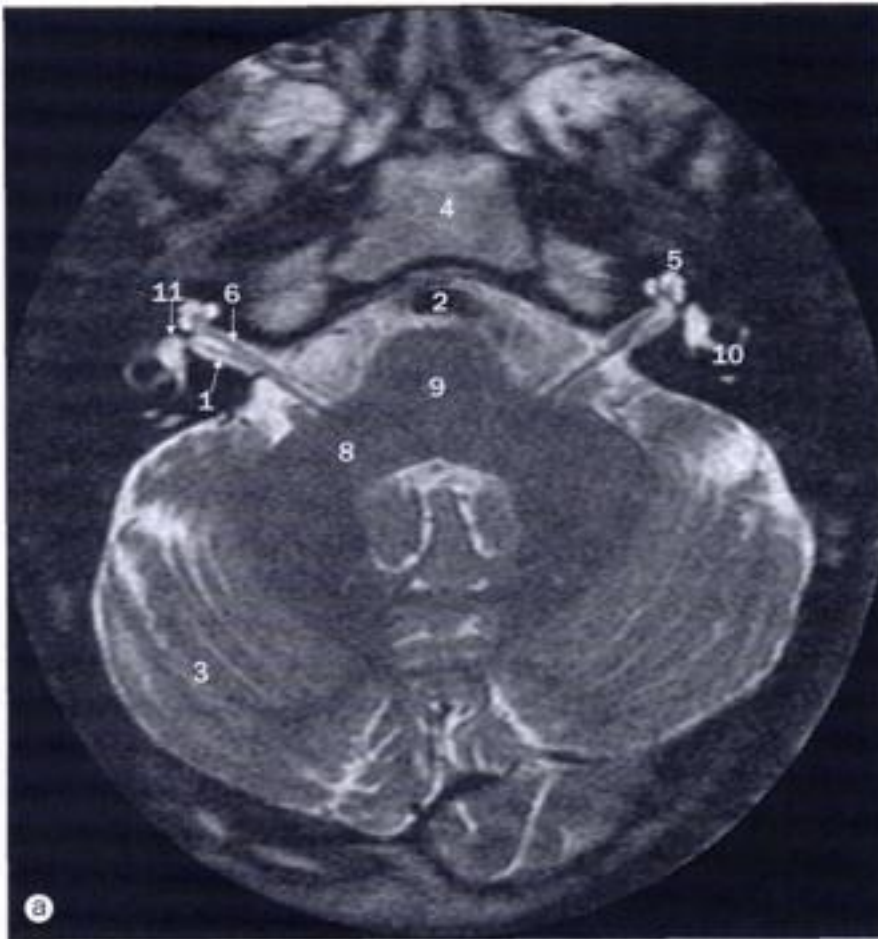
(a) - (d) IRM de la fosse pituitaire, coupes sagittales.

- | | | |
|--|---|---------------------------------------|
| 1 Glande pituitaire antérieure | 9 Moelle allongée | 16 Citerne prépontique |
| 2 Aqueduc du mésencéphale (Sylvius) | 10 Chiasma optique dans la citerne chiasmatique | 17 Citerne quadrigéminal |
| 3 Corps du corps calleux | 11 Tractus optique | 18 Lame quadrijumelle du mésencéphale |
| 4 Graisse dans la moelle osseuse du clivus | 12 Tige pituitaire | 19 Sinus sphénoïdal |
| 5 Quatrième ventricule | 13 Pont | 20 Splénium du corps calleux |
| 6 Genou du corps calleux | 14 Processus clinéoïde postérieur | 21 Citerne chiasmatique |
| 7 Ventricule latéral | 15 Glande pituitaire postérieure | 22 Thalamus |
| 8 Corps mamillaire | | |



(a) - (d) IRM de la fosse pituitaire, coupes sagittales, après gadolinium.

- | | |
|---|-----------------------------------|
| 1 Glande pituitaire antérieure | 10 Chiasma optique |
| 2 Aqueduc du mésencéphale (Sylvius) | 11 Tractus optique |
| 3 Partie de l'artère carotide interne dans le sinus caverneux | 12 Tige pituitaire |
| 4 Sinus caverneux | 13 Processus clinéoïde postérieur |
| 5 Grande citerne (citerne cérébellomédullaire) | 14 Glande pituitaire postérieure |
| 6 Quatrième ventricule | 15 Citerne prépontique |
| 7 Grande veine cérébrale de Galien | 16 Citerne chiasmatique |
| 8 Citerne interpedonculaire | 17 Thalamus |
| 9 Corps mamillaire | |



IRM, projection axiale.

- 1 Nerf auditif (huitième nerf crânien)
- 2 Artère basilaire
- 3 Hémisphère cérébelleux
- 4 Clivus
- 5 Cochlée
- 6 Nerf facial (septième nerf crânien)
- 7 Quatrième ventricule
- 8 Pédoncule cérébelleux moyen
- 9 Pont
- 10 Canaux semi-circulaires
- 11 Vestibule

2

Colonne vertébrale et moelle épinière

(a) Colonne cervicale, projection antéro-postérieure.

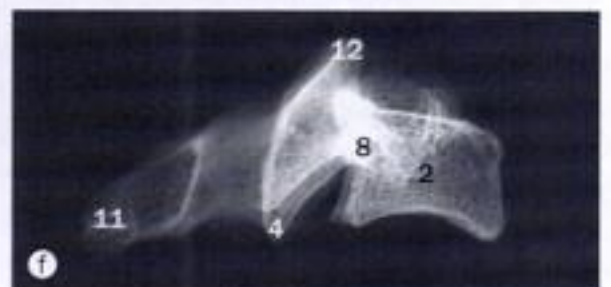
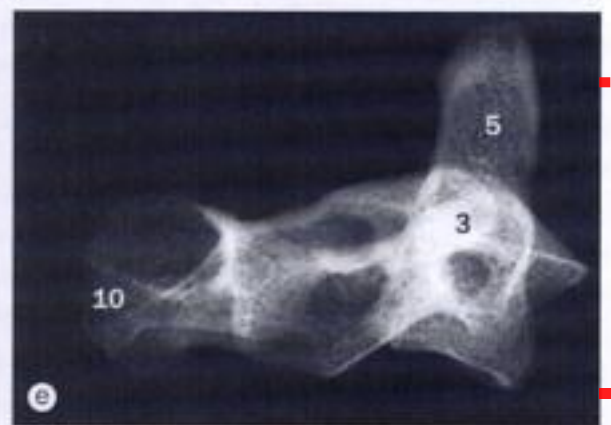
(b) Vertèbre cervicale à l'état sec, projection antéro-postérieure.

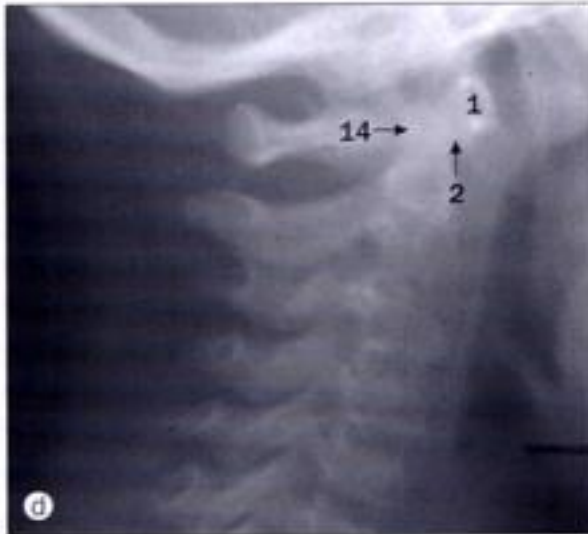
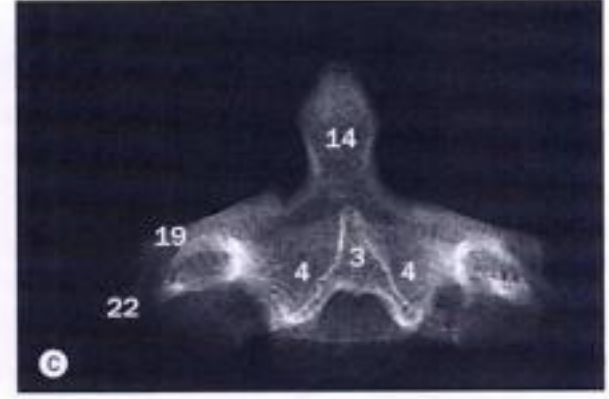
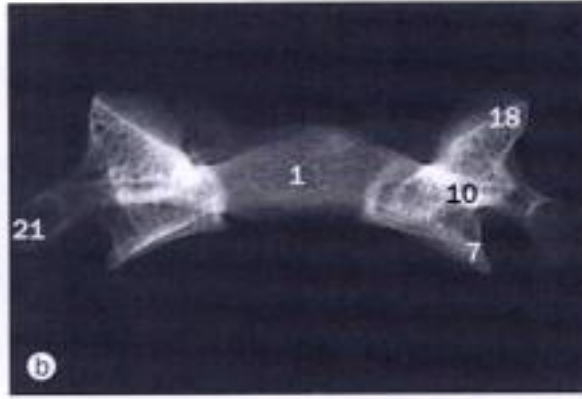
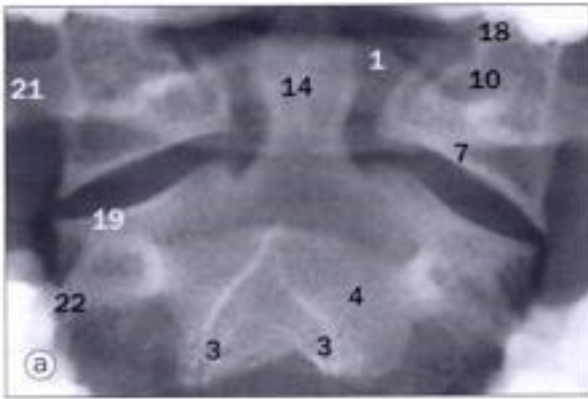
- 1 Corps vertébral
- 2 Processus articulaire inférieur (facette)
- 3 Lamelle intertuberculaire du processus transverse
- 4 Tubercule postérieur du processus transverse
- 5 Lèvre postéro-latérale (uncus)
- 6 Région des cordes vocales
- 7 Processus épineux
- 8 Processus articulaire supérieur (facette)
- 9 Trachée



(c) Colonne cervicale, projection latérale ;
(d) atlas (première vertèbre cervicale) à l'état sec, projection latérale ; (e) axis (deuxième vertèbre cervicale), projection latérale ; (f) quatrième vertèbre cervicale à l'état sec, projection latérale.

- 1 Arc antérieur de l'atlas (première vertèbre cervicale)
- 2 Tubercule antérieur du processus transverse de la quatrième vertèbre cervicale
- 3 Corps de l'axis (deuxième vertèbre cervicale)
- 4 Processus articulaire inférieur (facette) de la quatrième vertèbre cervicale
- 5 Processus odontoïde (dent) de l'axis (deuxième vertèbre cervicale)
- 6 Arc postérieur de l'atlas (première vertèbre cervicale)
- 7 Tubercule postérieur de l'atlas (première vertèbre cervicale)
- 8 Tubercule postérieur du processus transverse de la quatrième vertèbre cervicale.
- 9 Processus épineux de l'atlas (première vertèbre cervicale)
- 10 Processus épineux de l'axis (deuxième vertèbre cervicale)
- 11 Processus épineux de la quatrième vertèbre cervicale
- 12 Processus articulaire supérieur (facette) de la quatrième vertèbre cervicale





(a) Atlas (première vertèbre cervicale) et axis (deuxième vertèbre cervicale), « bouche ouverte », projection antéro-postérieure.

(b) Atlas (première vertèbre cervicale) à l'état sec, projection antéro-postérieure.

(c) Axis (deuxième vertèbre cervicale) à l'état sec, projection antéro-postérieure.

(d) Colonne cervicale d'un enfant de trois ans, projection latérale.

* L'élargissement apparent de l'articulation atlanto-axoïdienne (2) est normal à cet âge.

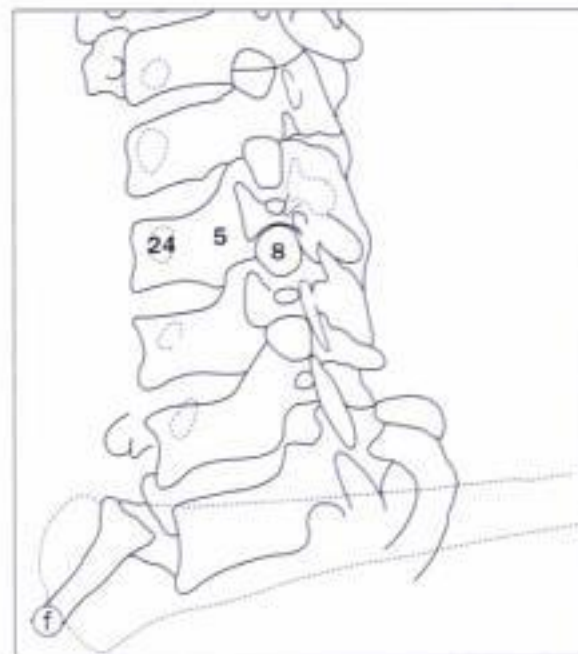
(e) Colonne cervicale, projection oblique.

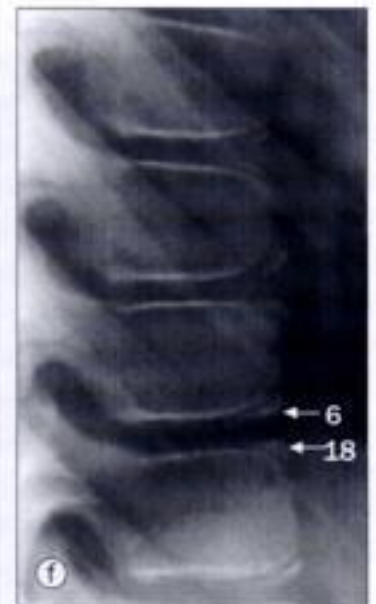
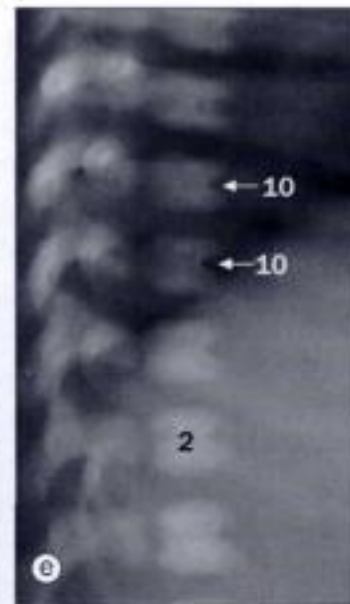
(f) Dessin au trait correspondant au décalque de (e).

- 1 Arc antérieur de l'atlas (première vertèbre cervicale)
- 2 Articulation atlanto-axoïdienne de l'axis (deuxième vertèbre cervicale)
- 3 Processus épineux bifide de l'axis (deuxième vertèbre cervicale)
- 4 Corps de l'axis (deuxième vertèbre cervicale)
- 5 Corps de la cinquième vertèbre cervicale
- 6 Os hyoïde
- 7 Processus articulaire inférieur (facette) de l'atlas (première vertèbre cervicale)
- 8 Foramen intervertébral
- 9 Lame de la cinquième vertèbre cervicale
- 10 Masse latérale de l'atlas (première vertèbre cervicale)

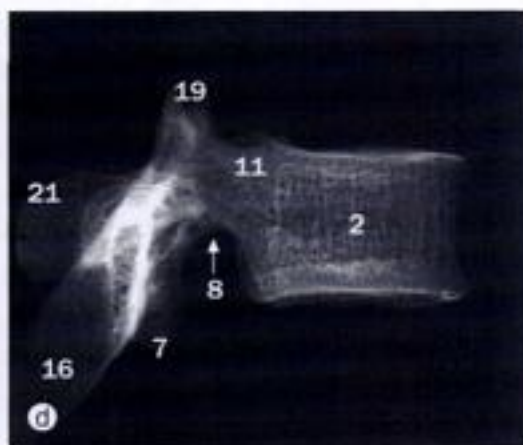
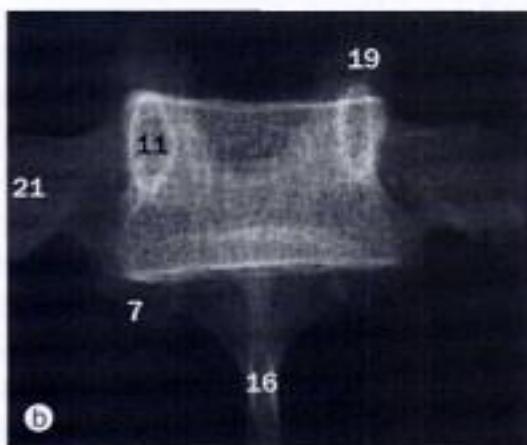


- 11 Première côte gauche
- 12 Mandibule
- 13 Os occipital
- 14 Processus odontoïde (dent) de l'axis (deuxième vertèbre cervicale)
- 15 Tubercule postérieur du processus transverse de la cinquième vertèbre cervicale
- 16 Lèvre postéro-latérale (uncus) de la cinquième vertèbre cervicale
- 17 Première côte droite
- 18 Processus épineux de la cinquième vertèbre cervicale
- 19 Processus articulaire supérieur (facette) de l'atlas (1^{re} vertèbre cervicale)
- 20 Processus articulaire supérieur (facette) de l'axis (2^{re} vertèbre cervicale)
- 21 Trachée
- 22 Processus transverse de l'atlas (première vertèbre cervicale)
- 23 Processus transverse de l'axis (deuxième vertèbre cervicale)
- 24 Processus transverse de la cinquième vertèbre cervicale





- 1 Corps de la sixième vertèbre thoracique
- 2 Corps vertébral
- 3 Clavicule
- 4 Première côte
- 5 Première vertèbre thoracique
- 6 Disque annulaire épiphysaire inférieur du corps vertébral
- 7 Processus articulaire inférieur (facette)
- 8 Incisure vertébrale inférieure
- 9 Bronche principale gauche
- 10 Encoche néonatale
- 11 Pédicule
- 12 Pédicule de la sixième vertèbre thoracique
- 13 Côtes
- 14 Bronche principale droite
- 15 Endroit du disque intervertébral
- 16 Processus épineux
- 17 Processus épineux de la sixième vertèbre thoracique
- 18 Disque annulaire épiphysaire supérieur du corps vertébral
- 19 Processus articulaire supérieur (facette)
- 20 Trachée
- 21 Processus transverse
- 22 Processus transverse de la sixième vertèbre thoracique



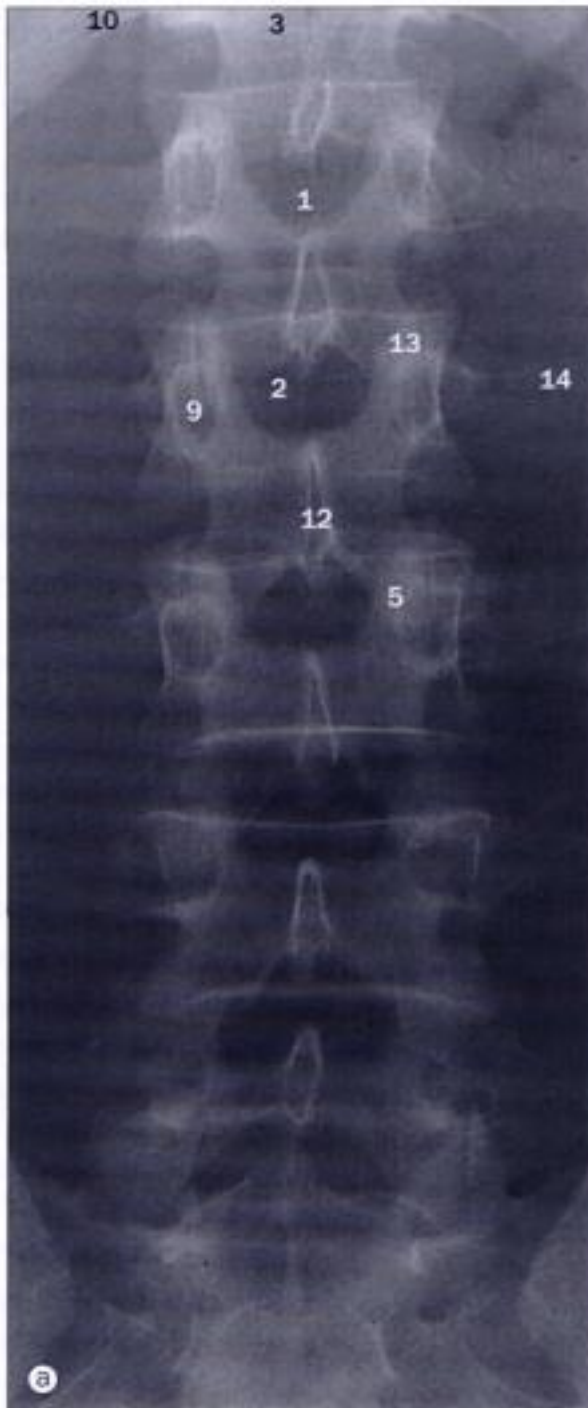
(a) Colonne thoracique, projection antéro-postérieure.

(b) Vertèbre thoracique à l'état sec, projection antéro-postérieure.

(c) Colonne thoracique, projection latérale.

(d) Sixième vertèbre thoracique à l'état sec, projection latérale.

Colonne thoracique, (e) d'un nouveau-né âgé de 7 jours, (f) d'un enfant âgé de 12 ans, projections latérales.



(a) Radiographie de la colonne lombaire, projection antéro-postérieure.

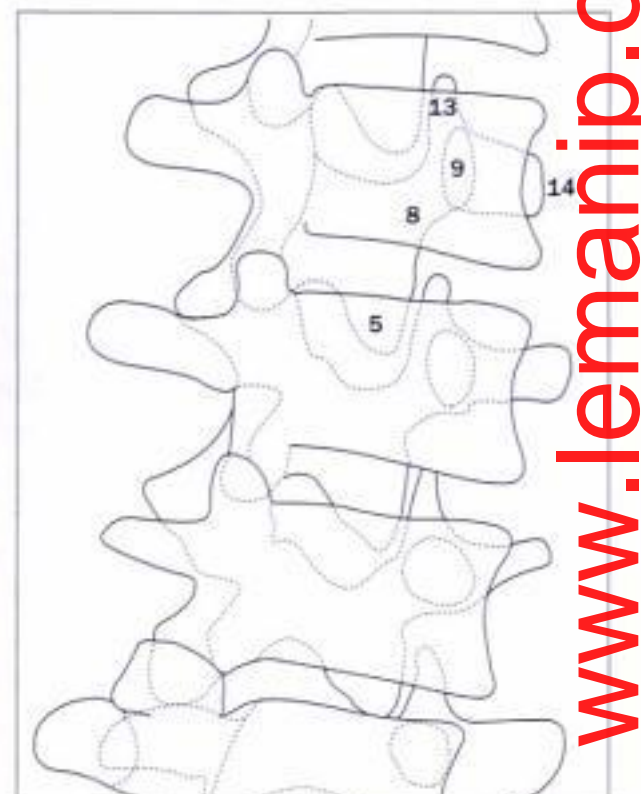
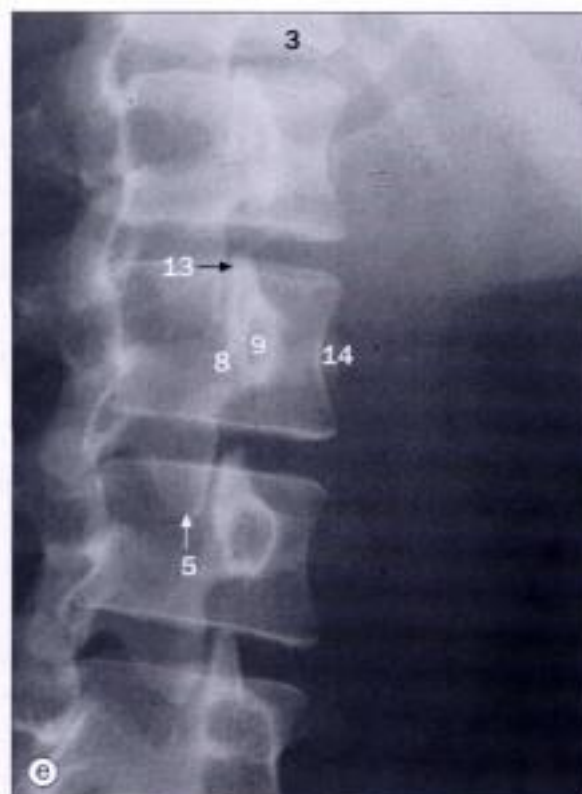
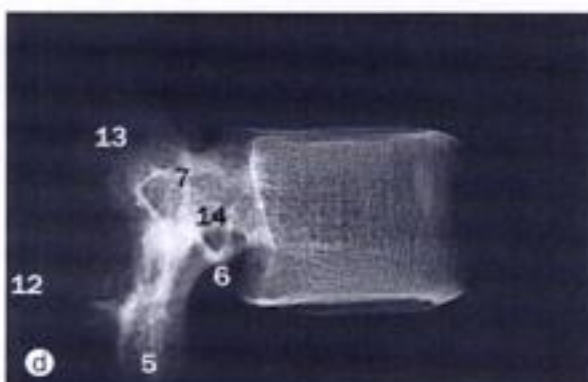
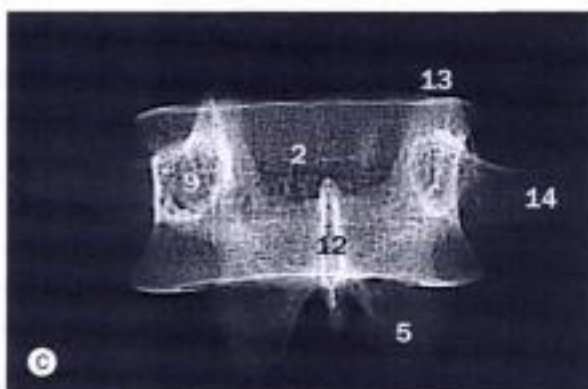
(b) Colonne lombaire, projection latérale.

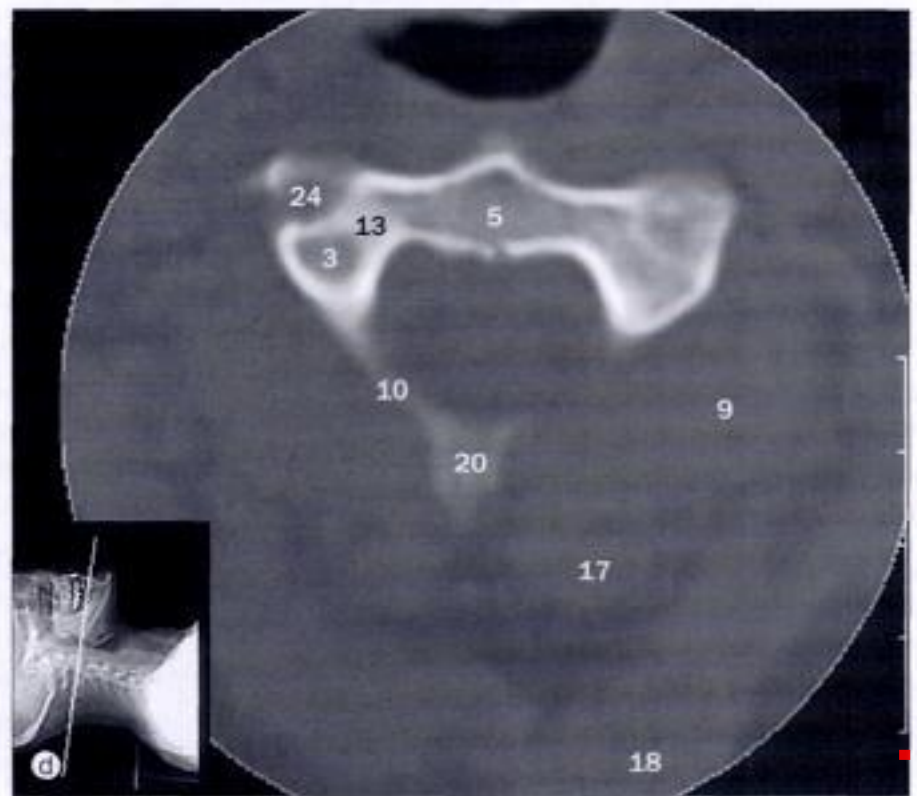
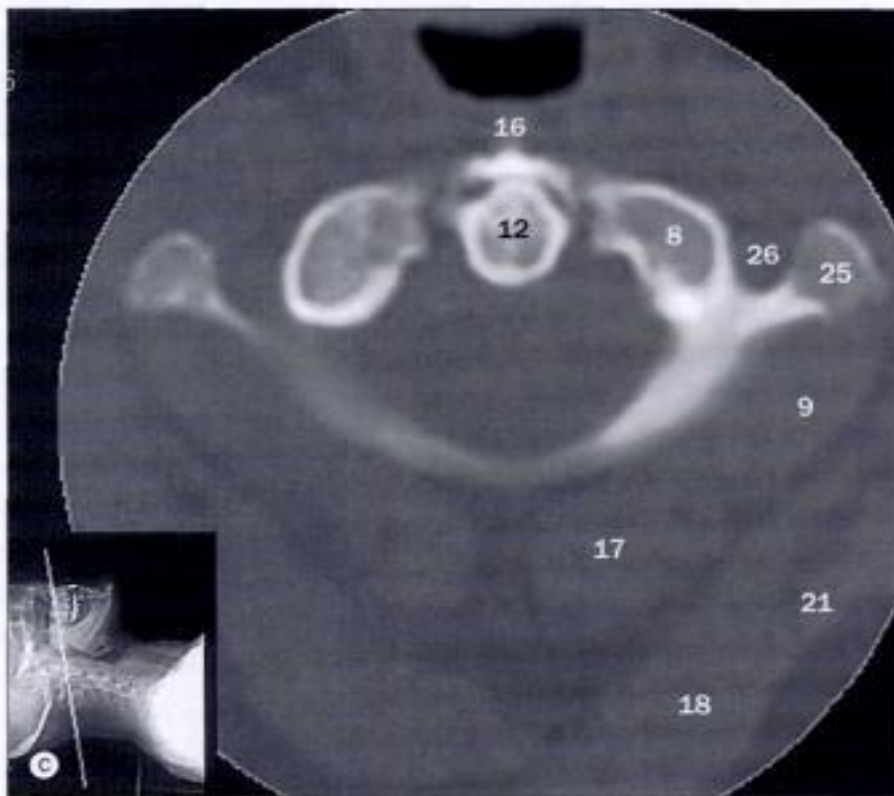
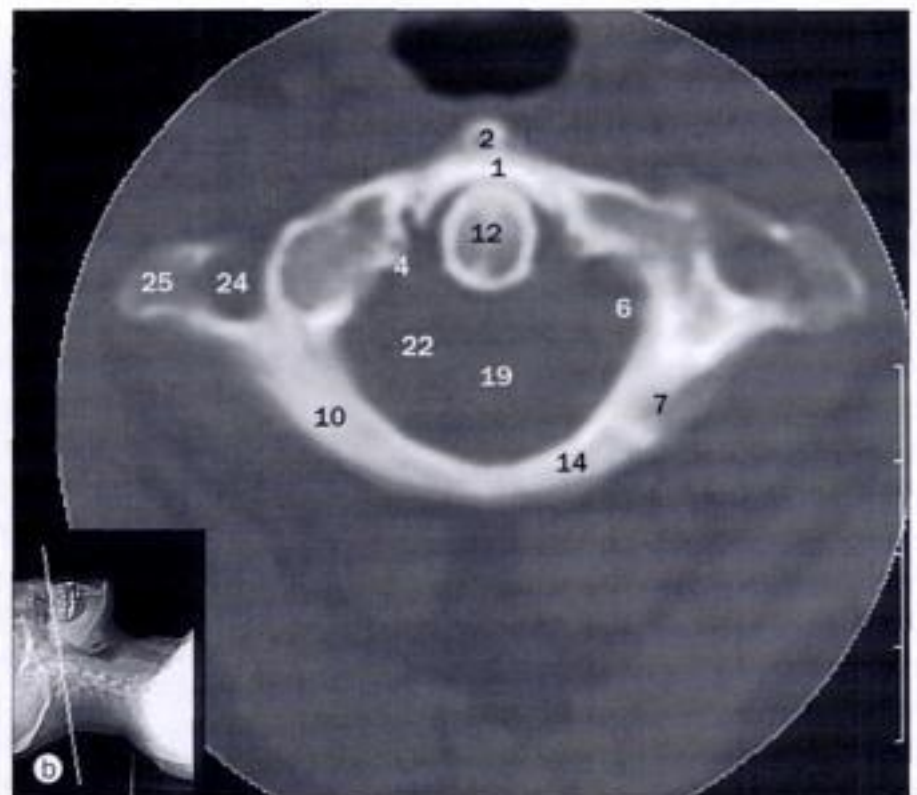
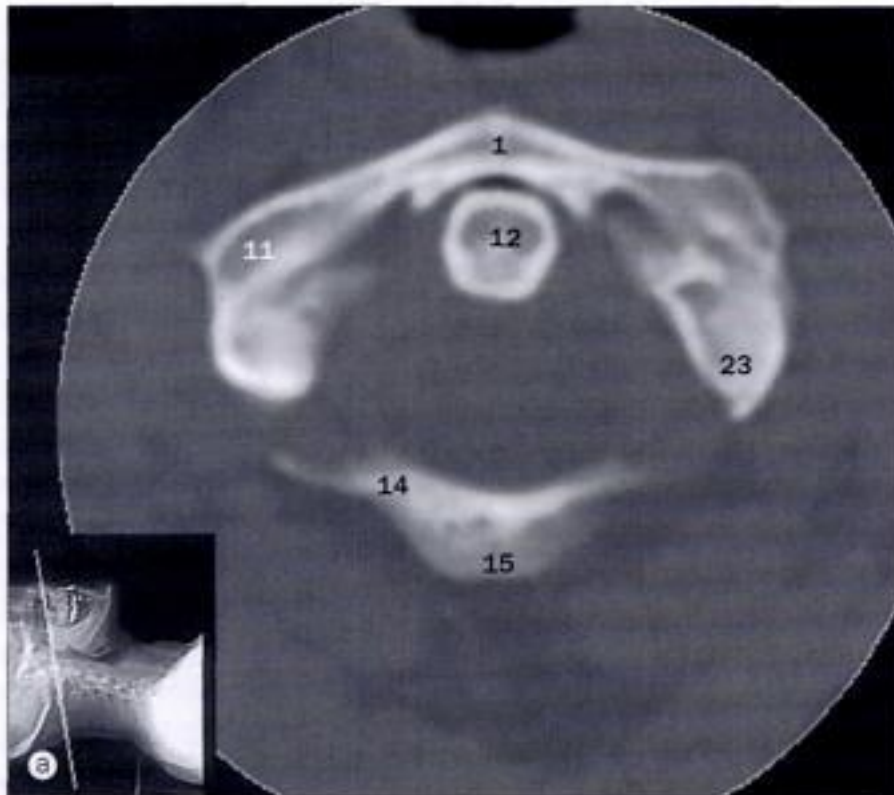
(c) Deuxième vertèbre lombaire à l'état sec, projection antéro-postérieure.

(d) Deuxième vertèbre lombaire à l'état sec, projection latérale.

(e) Colonne lombaire, projection oblique.

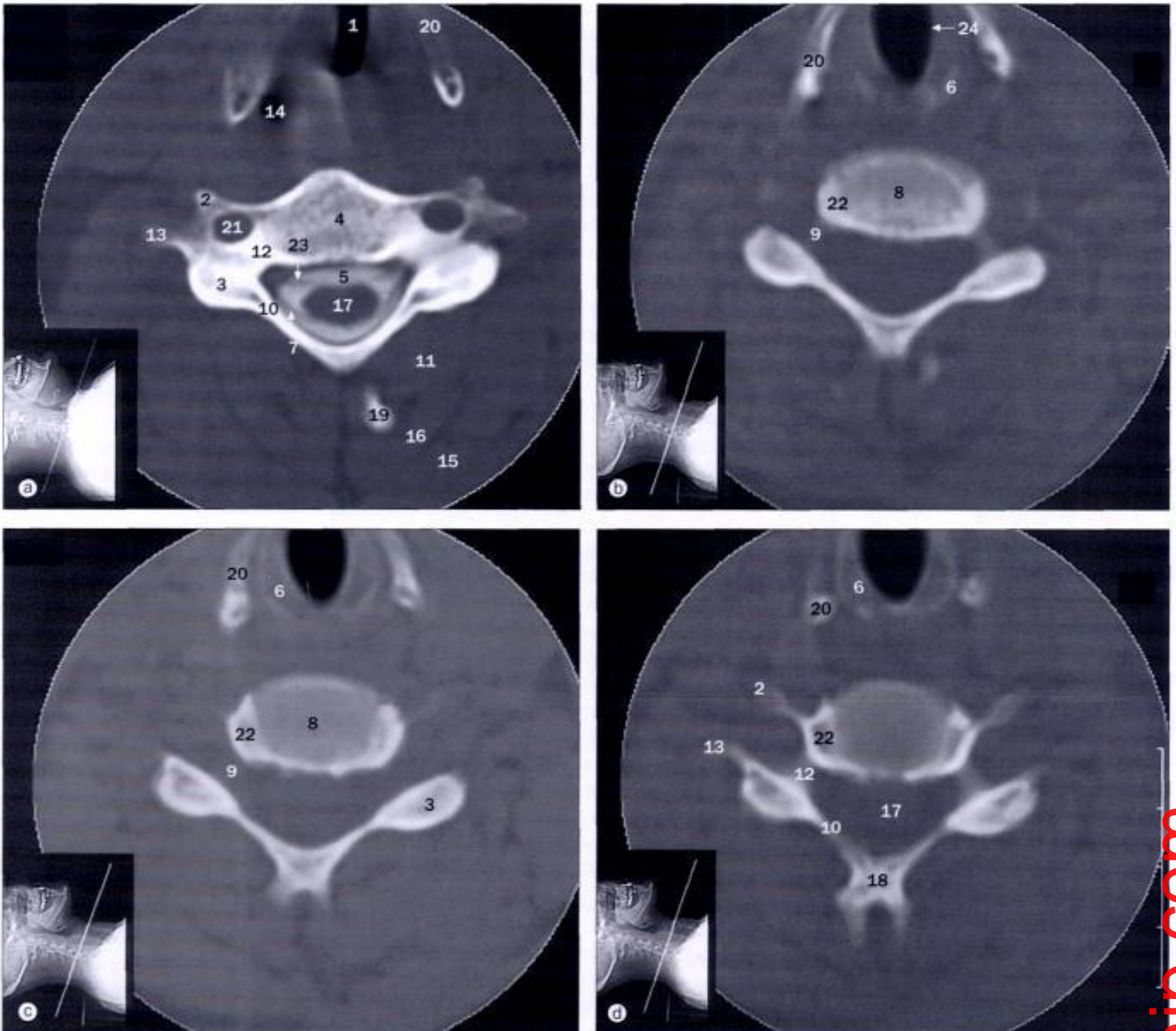
- 1 Corps de la première vertèbre lombaire
- 2 Corps de la deuxième vertèbre lombaire
- 3 Corps de la douzième vertèbre thoracique
- 4 Cinquième vertèbre lombaire
- 5 Processus articulaire inférieur (facette) de la deuxième vertèbre lombaire
- 6 Incisure vertébrale inférieure de la deuxième vertèbre lombaire
- 7 Processus mamillaire de la deuxième vertèbre lombaire
- 8 Partie interarticulaire
- 9 Pédicule de la deuxième vertèbre lombaire
- 10 Douzième côte droite
- 11 Promontoire du sacrum
- 12 Processus épineux de la deuxième vertèbre lombaire
- 13 Processus articulaire inférieur (facette) de la deuxième vertèbre lombaire
- 14 Processus transverse de la deuxième vertèbre lombaire





(a) - (d) TDM de la colonne cervicale, coupes axiales au niveau de l'atlas (première vertèbre cervicale).

- | | | |
|--|--|---|
| 1 Arc antérieur de l'atlas (première vertèbre cervicale) | 11 Masse latérale de l'atlas (première vertèbre cervicale) | 18 Muscle semi-épineux de la tête |
| 2 Tubercule antérieur de l'atlas | 12 Processus odontoïde (dent) de la deuxième vertèbre cervicale) | 19 Moelle épinière |
| 3 Colonne articulaire | 13 Pédicule | 20 Processus épineux de l'axis |
| 4 Insertion du ligament transverse | 14 Arc postérieur de l'atlas (première vertèbre cervicale) | 21 Muscle splénius de la tête |
| 5 Corps de l'axis (deuxième vertèbre cervicale) | 15 Tubercule postérieur de l'atlas (première vertèbre cervicale) | 22 Espace subarachnoïdien |
| 6 Espace épidual | 16 Tissu mou prévertébral | 23 Processus articulaire supérieur (facette) de l'atlas (première vertèbre cervicale) |
| 7 Sillon de l'artère vertébrale | 17 Muscle droit de la tête | 24 Foramen transversaire |
| 8 Processus articulaire inférieur (facette) | | 25 Processus transverse |
| 9 Muscle oblique intérieur | | 26 Artère vertébrale dans le foramen transversaire |
| 10 Lame | | |

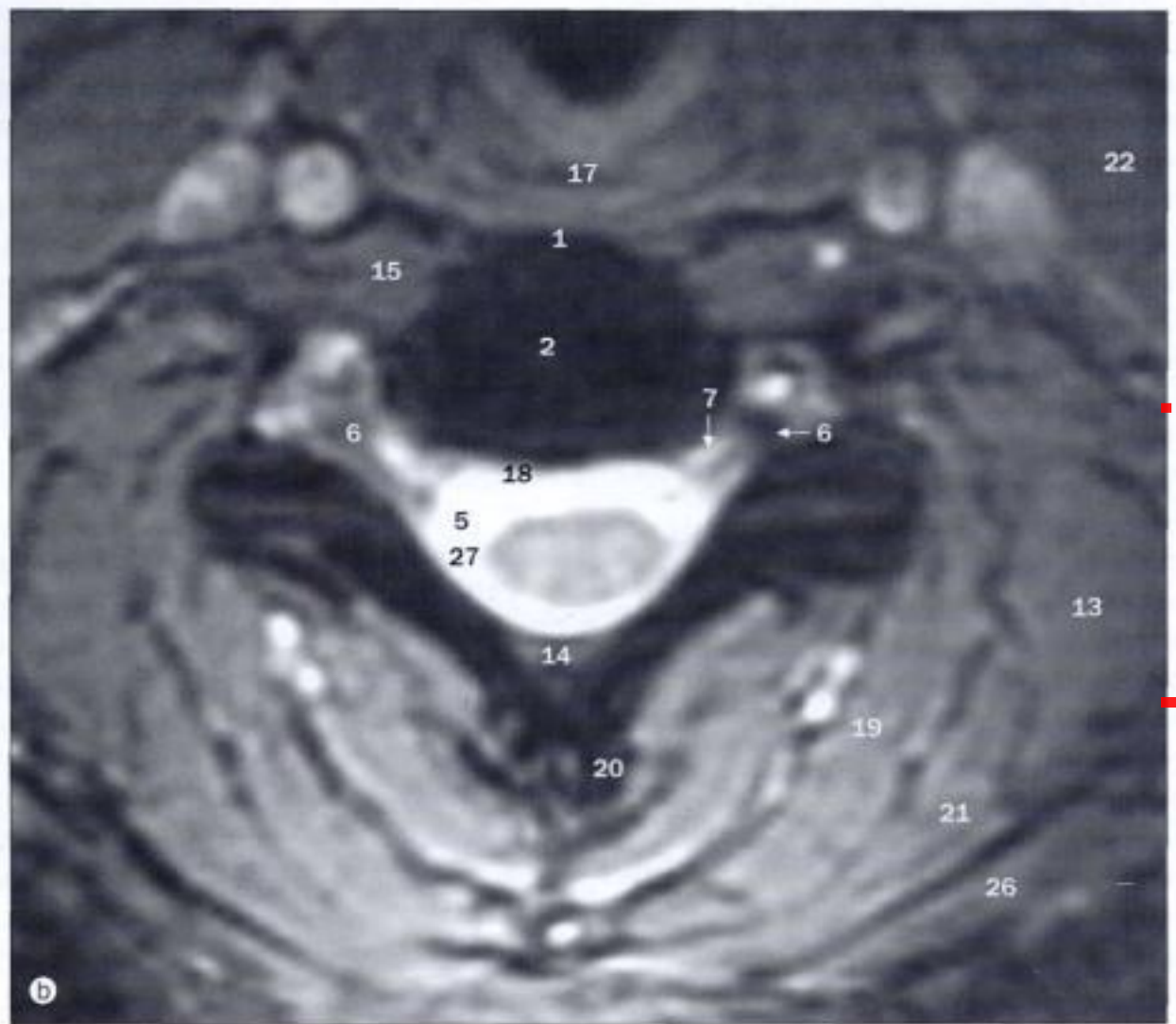
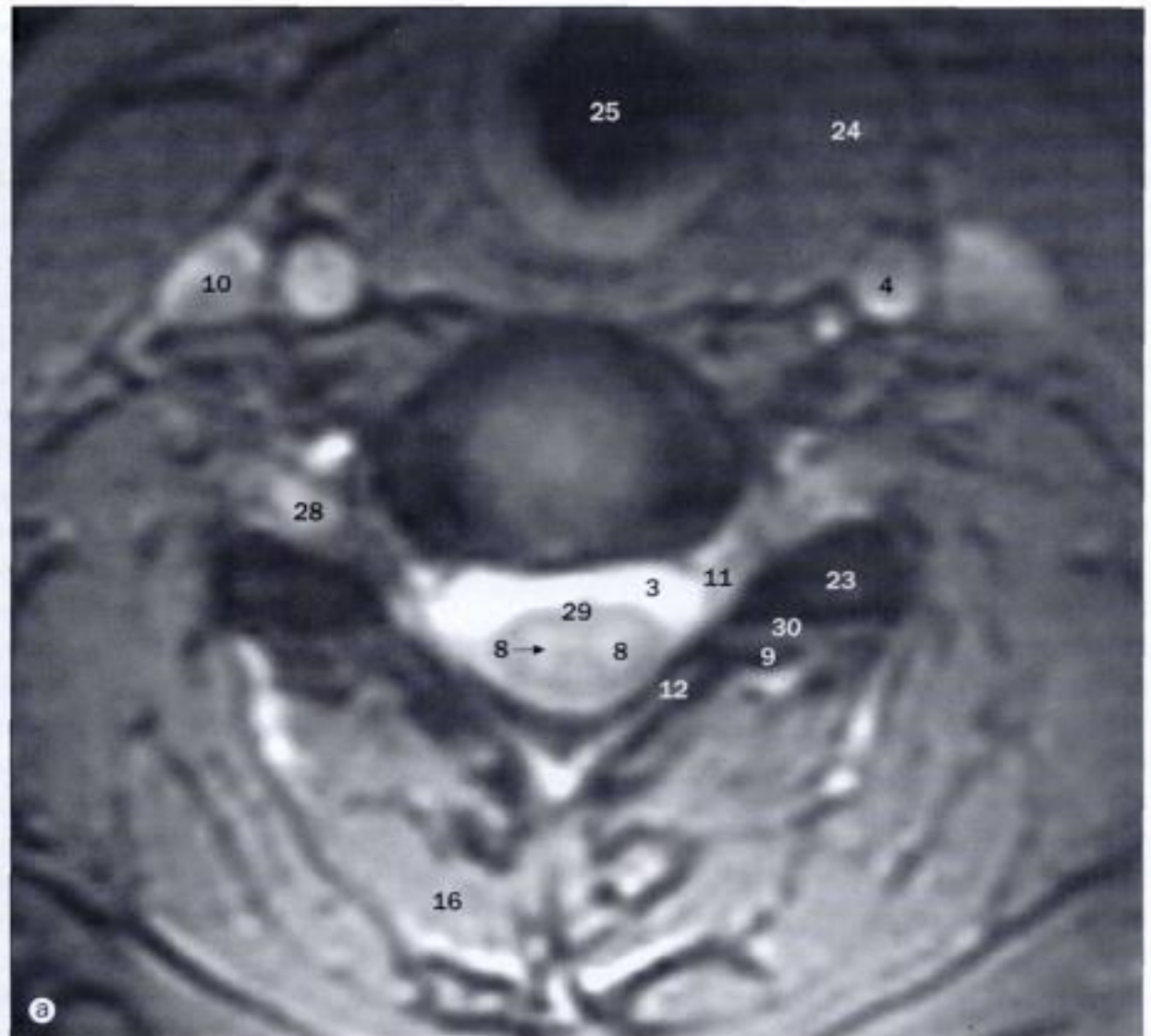


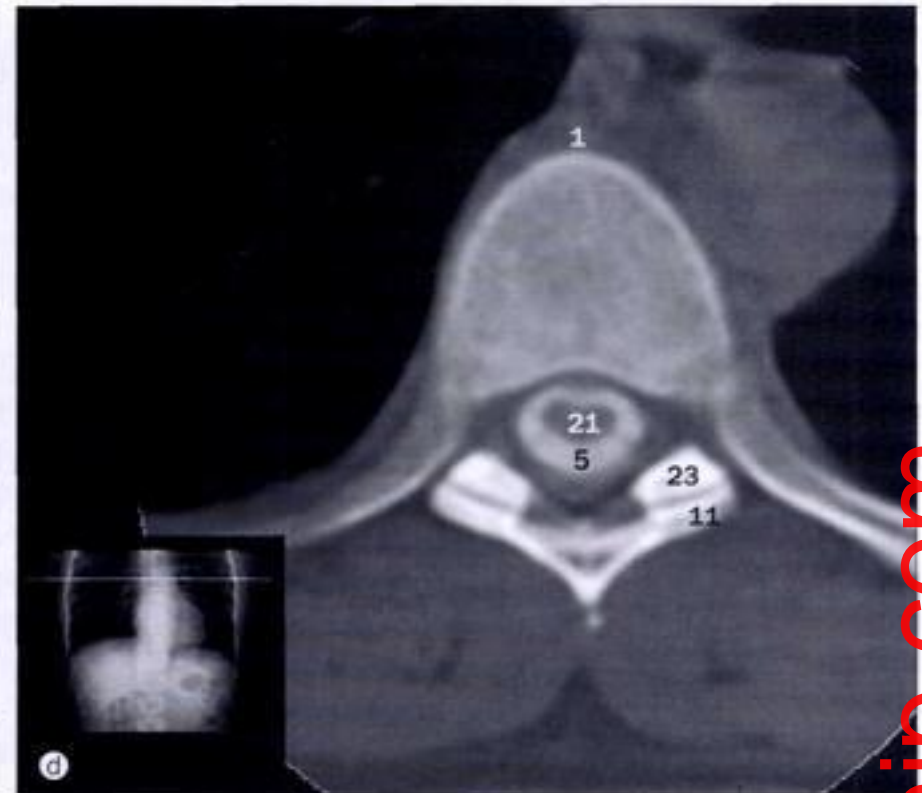
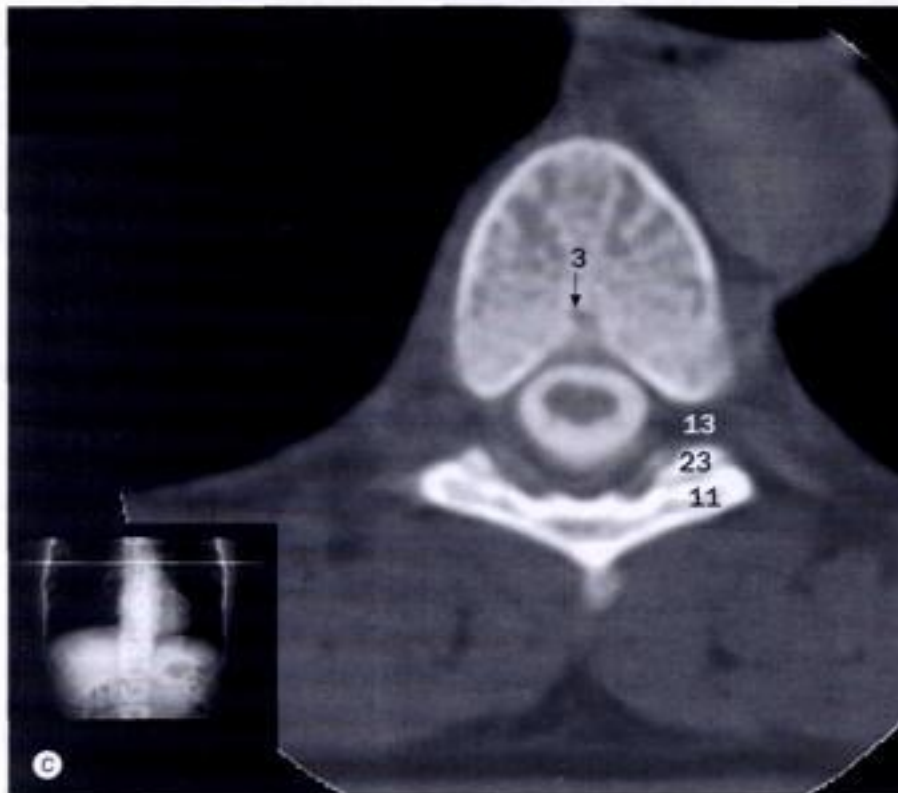
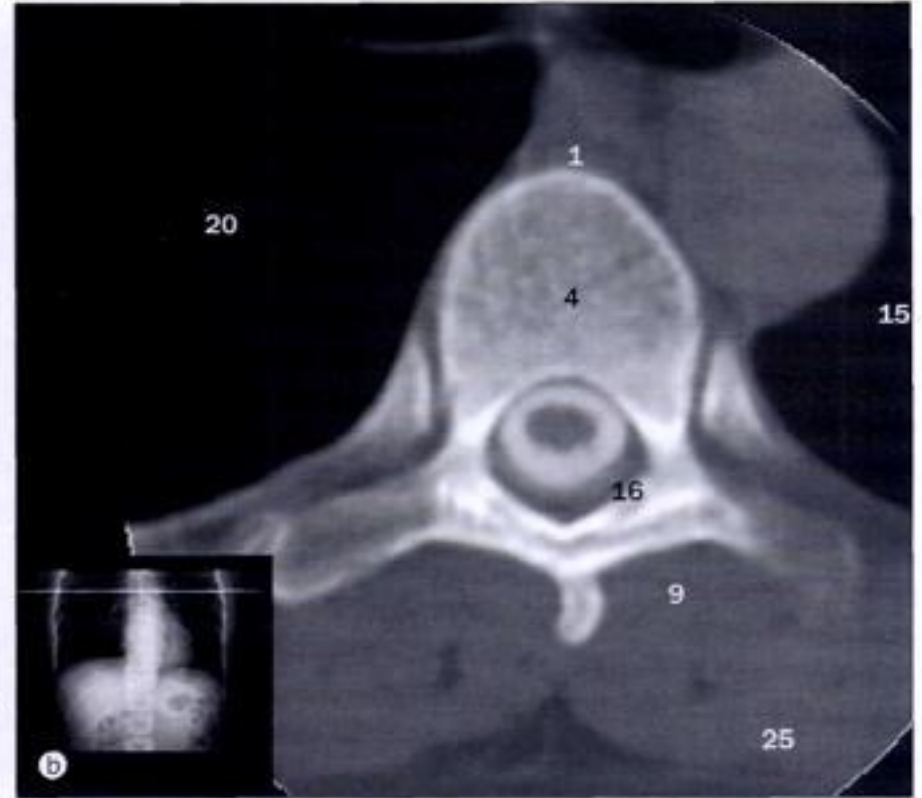
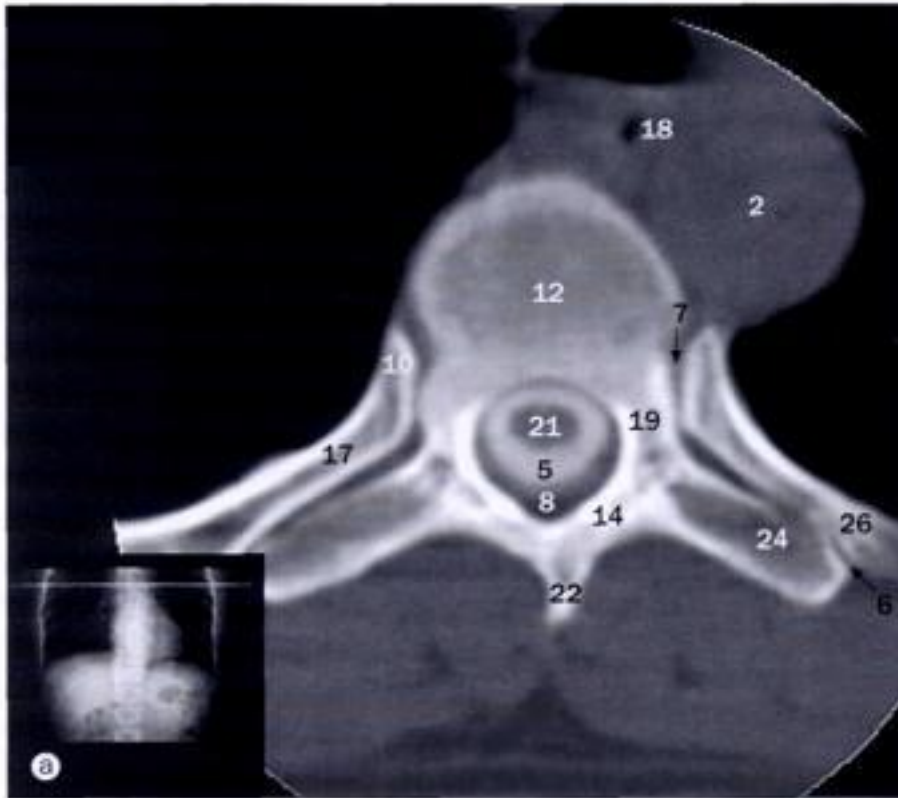
(a) - (d) TDM de la colonne cervicale, coupes axiales au niveau des cinquième et sixième vertèbres cervicales.

- | | | |
|---|---|---|
| 1 Air respiratoire au niveau des cordes vocales | 9 Foramen intervertébral (sixième vertèbre cervicale) | 17 Moelle épinière |
| 2 Tubercule antérieur | 10 Lame | 18 Processus épineux |
| 3 Colonne articulaire | 11 Muscle multifide | 19 Processus épineux de la quatrième vertèbre cervicale |
| 4 Corps de la cinquième vertèbre cervicale | 12 Pédicule | 20 Cartilage thyroïde |
| 5 Produit de contraste dans l'espace subarachnoïdien | 13 Tubercule postérieur | 21 Foramen transversaire |
| 6 Cartilage cricoïde | 14 Récessus piriforme | 22 Processus semi-lunaire |
| 7 Racine dorsale | 15 Muscle semi-épineux de la tête | 23 Racine ventrale |
| 8 Disque intervertébral (entre la cinquième et la sixième vertèbre cervicale) | 16 Muscle semi-épineux du cou | 24 Corde vocale |

(a) et (b) IRM de la colonne cervicale, coupes axiales.

- 1 Ligament longitudinal antérieur et os cortical
- 2 Corps vertébral
- 3 Liquide cérébro-spinal dans l'espace subarachnoïdien
- 4 Artère carotide commune
- 5 Racine dorsale
- 6 Ganglion de la racine dorsale
- 7 Tissu adipeux épidural
- 8 Substance grise de la moelle épinière cervicale
- 9 Processus artulaire inférieur (facette)
- 10 Veine jugulaire interne
- 11 Foramen intervertébral
- 12 Lame
- 13 Muscle élévateur de la scapula
- 14 Ligament jaune
- 15 Muscle long du cou
- 16 Muscle multifide
- 17 Œsophage
- 18 Ligament longitudinal postérieur et os cortical
- 19 Muscle semi-épineux de la tête
- 20 Processus épineux
- 21 Muscle splénius de la tête
- 22 Muscle sterno-cléido-mastoldien
- 23 Processus artulaire supérieur (facette)
- 24 Glande thyroïde
- 25 Trachée
- 26 Muscle trapèze
- 27 Racine ventrale
- 28 Artère vertébrale dans le foramen transversaire
- 29 Substance blanche de la moelle épinière cervicale
- 30 Articulation zygapophysaire (facette articulaire)



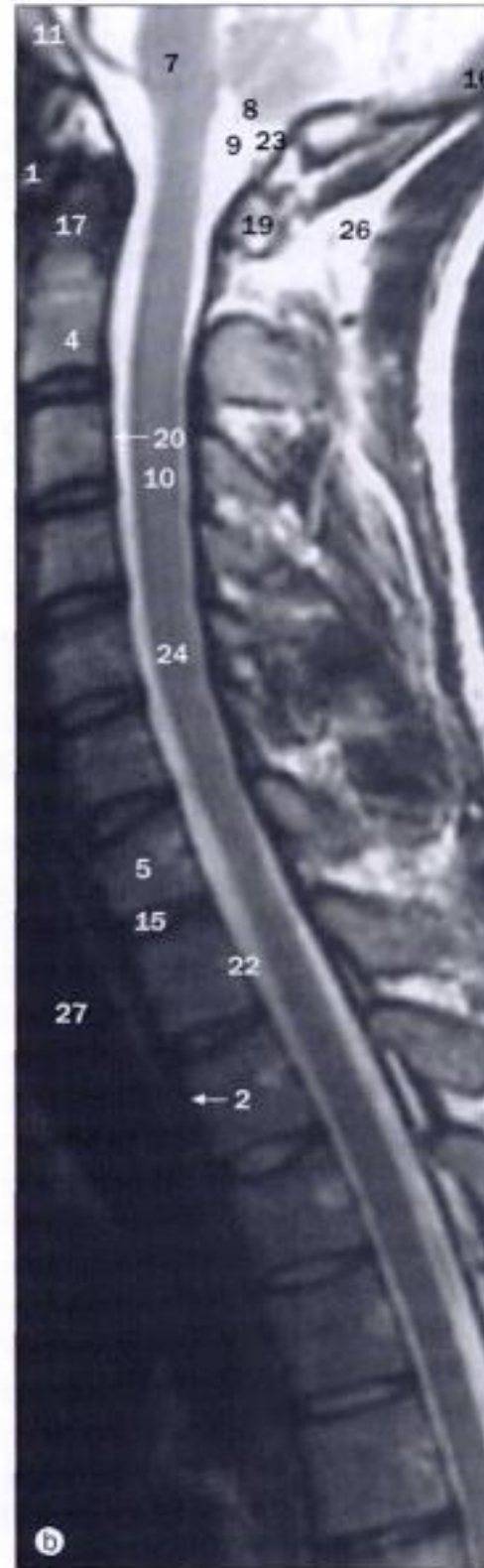


(a) - (d) TDM de la colonne thoracique, coupes axiales au niveau de la sixième vertèbre thoracique (avec un produit de contraste dans le sac dural).

- | | | |
|--|---|---|
| 1 Ligament longitudinal antérieur | 11 Processus articulaire inférieur (facette) de la sixième vertèbre thoracique | 20 Poumon droit |
| 2 Aorte | 12 Disque intervertébral (entre la cinquième et la sixième vertèbre thoracique) | 21 Moelle épinière |
| 3 Veines basivertébrales | 13 Foramen intervertébral | 22 Processus épineux |
| 4 Corps de la sixième vertèbre thoracique | 14 Lamé | 23 Processus articulaire supérieur (facette) de la septième vertèbre thoracique |
| 5 Produit de contraste dans l'espace subarachnoïdien | 15 Poumon gauche | 24 Processus transverse |
| 6 Articulation costo-transversaire | 16 Ligament jaune | 25 Muscle trapèze |
| 7 Articulation costo-vertébrale | 17 Col de la côte | 26 Tubercule de la côte |
| 8 Espace épidural | 18 Œsophage | |
| 9 Muscles érecteurs du rachis | 19 Pédicule | |
| 10 Tête de la côte | | |

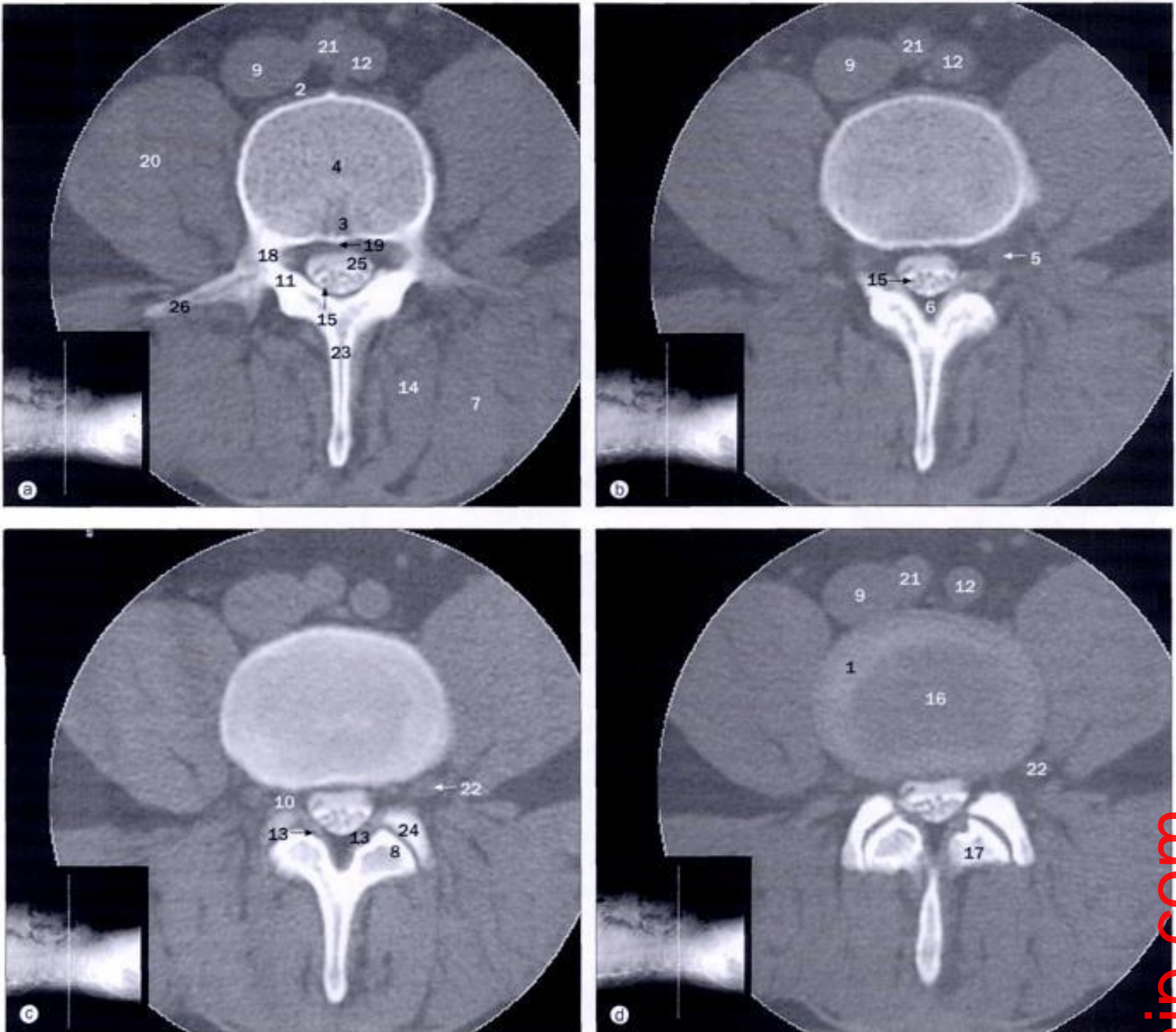


(a) et (b) IRM de la moelle épinière, coupes sagittales.



- 1 Arc antérieur de l'atlas (première vertèbre cervicale)
- 2 Ligament longitudinal antérieur et os cortical
- 3 Veine basivertébrale
- 4 Corps de l'axis (deuxième vertèbre cervicale)
- 5 Corps de la septième vertèbre cervicale
- 6 Corps de la septième vertèbre thoracique
- 7 Tronc cérébral
- 8 Tonsille cérébelleuse
- 9 Liquide cérébro-spinal dans l'espace subarachnoïdien
- 10 Renflement cervical
- 11 Clivus
- 12 Tissu adipeux épidural
- 13 Ligament jaune
- 14 Nucléus pulposus du disque intervertébral (entre la septième et la huitième vertèbre thoracique)

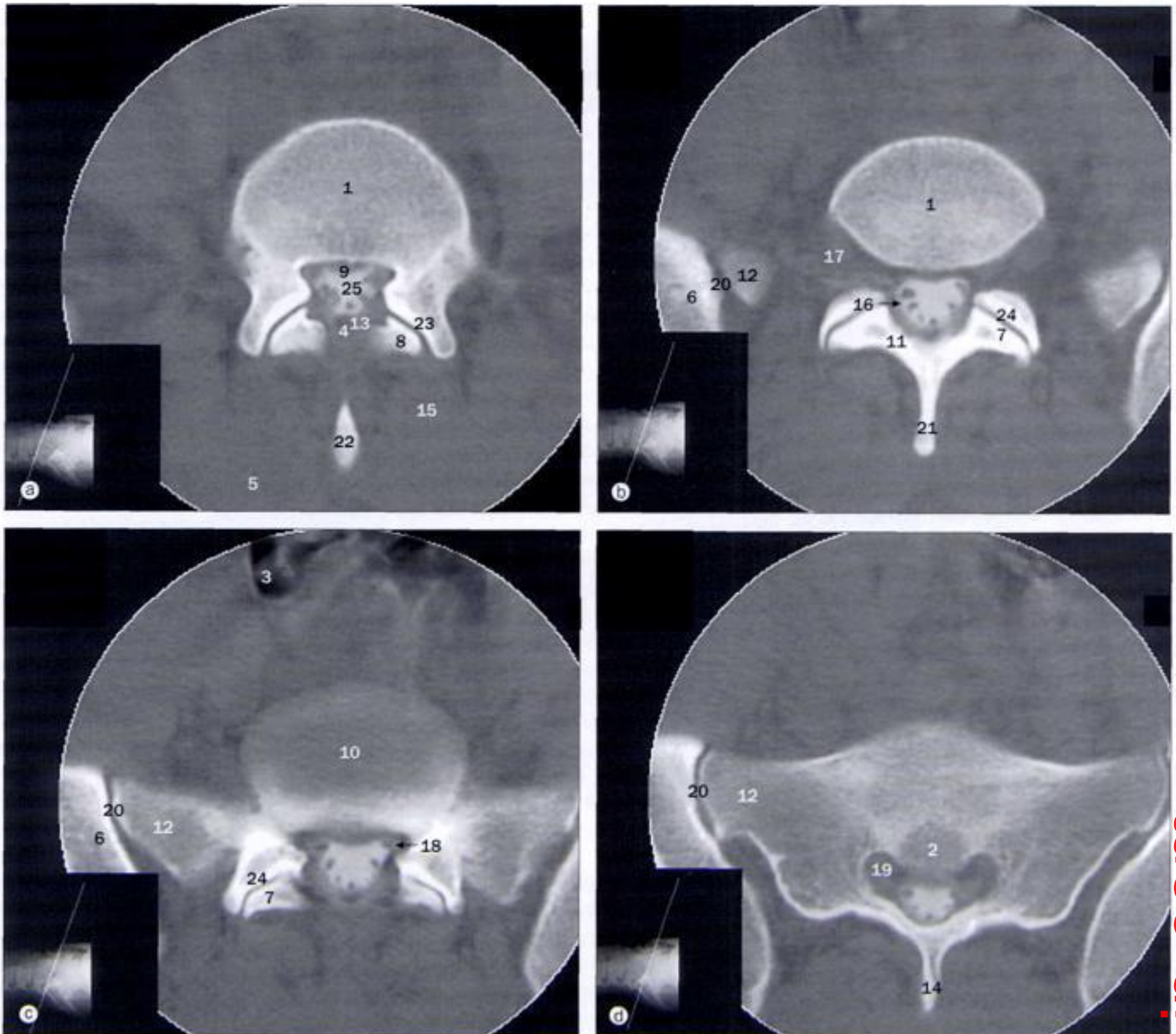
- 15 Nucléus pulposus du disque intervertébral (entre la septième vertèbre cervicale et la première vertèbre thoracique)
- 16 Os occipital
- 17 Processus odontoïde (dent)
- 18 Œsophage
- 19 Arc postérieur de l'atlas (première vertèbre cervicale)
- 20 Ligament longitudinal postérieur
- 21 Ligament longitudinal postérieur et anneau fibreux
- 22 Ligament longitudinal postérieur et os cortical
- 23 Bord postérieur du foramen magnum
- 24 Moelle épinière
- 25 Processus épineux
- 26 Tissu adipeux suboccipital
- 27 Trachée



(a) - (d) TDM de la colonne lombaire, coupes axiales au niveau des quatrième et cinquième vertèbres lombaires (avec produit de contraste dans le sac dural).

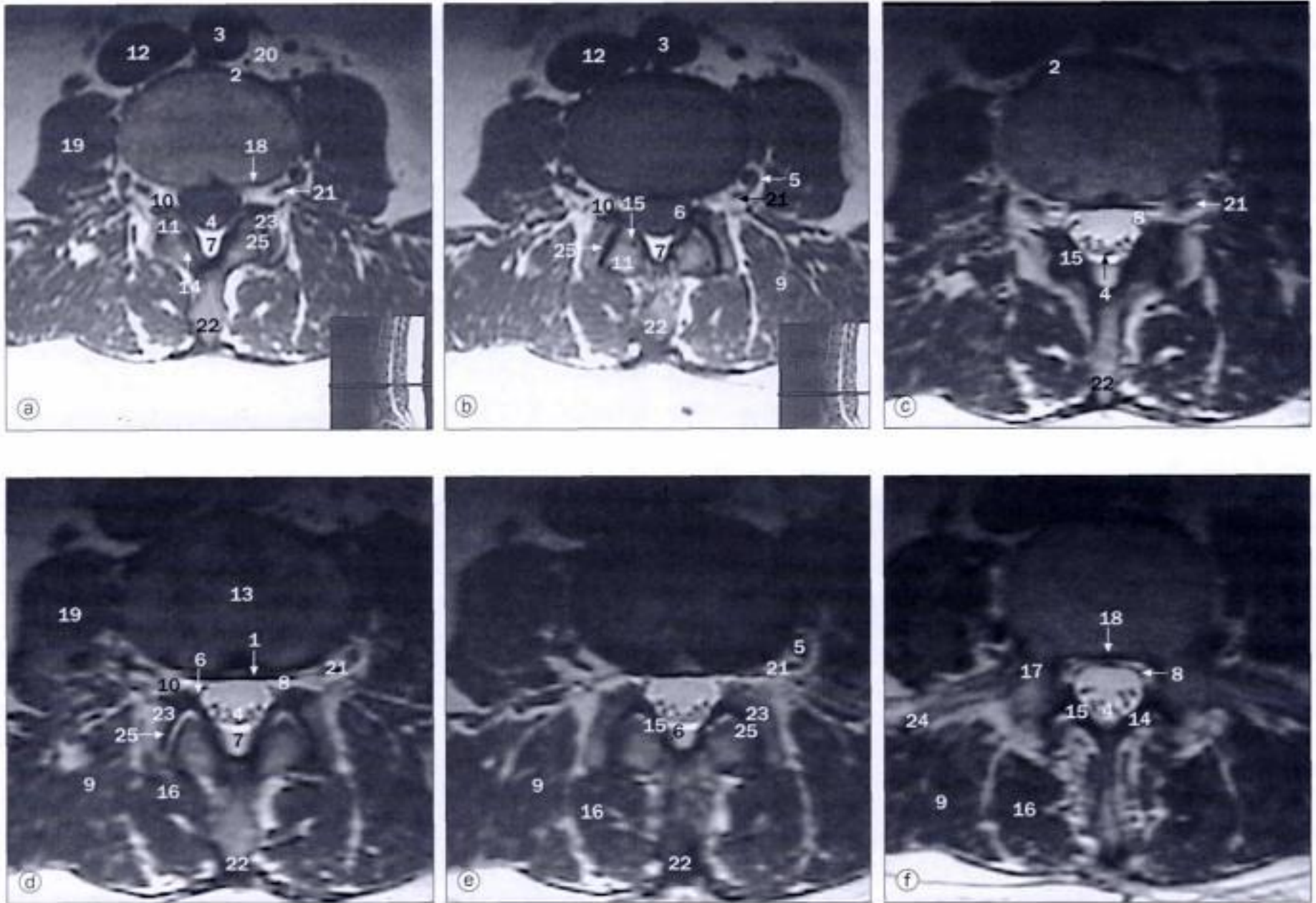
Plusieurs coupes fines (5 mm), parallèles à l'espace du disque, ont été enregistrées. Le tissu adipeux de l'espace épidural lombaire assure le contraste autour des enveloppes et des racines nerveuses ainsi qu'au niveau de la partie postérieure du disque.

- | | | |
|---|--|--|
| 1 Anneau fibreux du disque intervertébral | 10 Foramen intervertébral (entre la quatrième et la cinquième vertèbre lombaire) | 20 Muscle psoas |
| 2 Ligament longitudinal antérieur | 11 Lame | 21 Artère iliaque commune droite |
| 3 Veines basivertébrales | 12 Artère iliaque commune gauche | 22 Racine du quatrième nerf lombaire |
| 4 Corps de la quatrième vertèbre lombaire | 13 Ligament jaune | 23 Processus épineux de la quatrième vertèbre lombaire |
| 5 Ganglion de la racine dorsale du quatrième nerf lombaire | 14 Muscle multifide | 24 Processus articulaire supérieur (facette) de la cinquième vertèbre lombaire |
| 6 Tissu adipeux épidural | 15 Racines nerveuses de la queue de cheval | 25 Sac dural |
| 7 Muscle érecteur du rachis | 16 Nucléus pulposus du disque intervertébral | 26 Processus transverse |
| 8 Processus articulaire inférieur (facette) de la quatrième vertèbre lombaire | 17 Partie interarticulaire | |
| 9 Veine cave inférieure | 18 Pédicule | |
| | 19 Ligament longitudinal postérieur | |



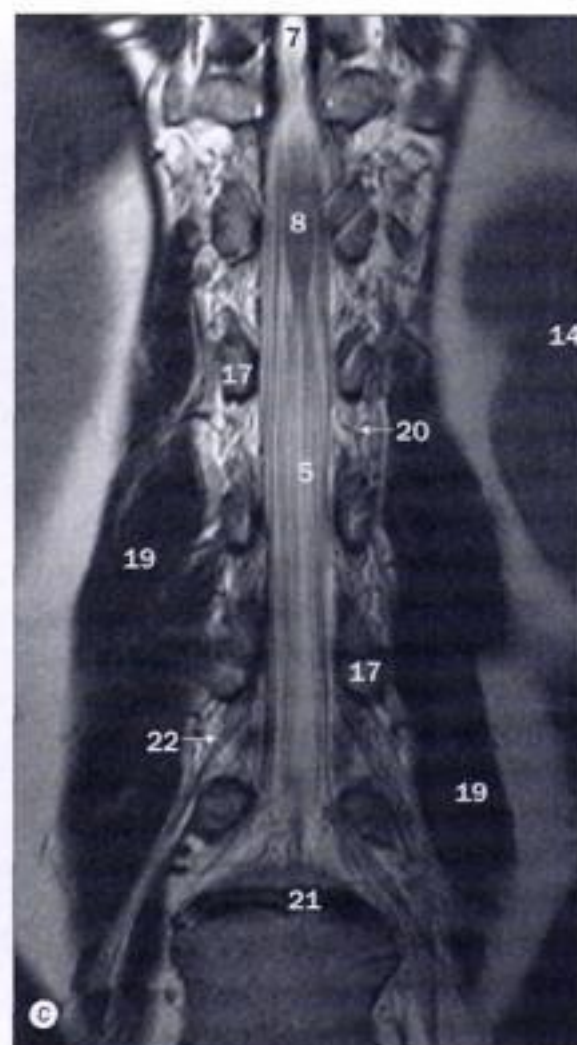
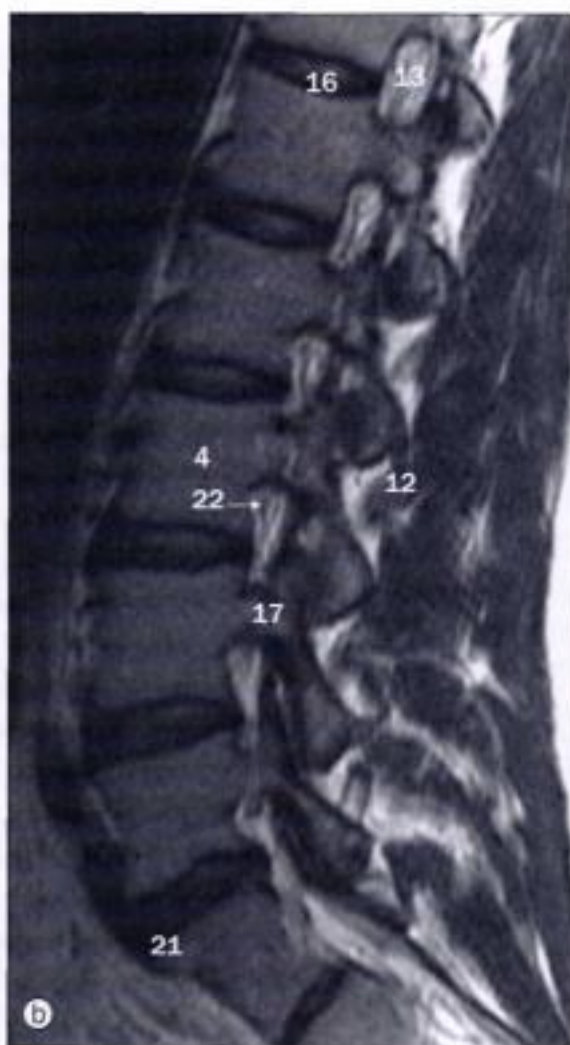
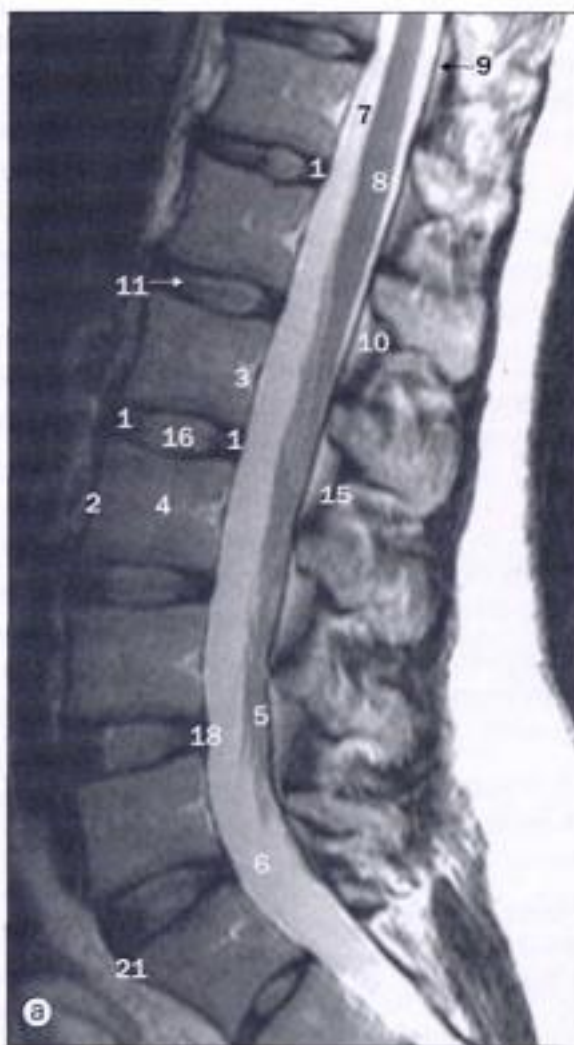
(a) - (d) TDM de la colonne lombaire, coupes axiales au niveau de la jonction lombo-sacrale (avec produit de contraste dans le sac dural).

- | | | |
|---|---|--|
| 1 Corps de la cinquième vertèbre lombaire | 10 Disque intervertébral (entre la cinquième vertèbre lombaire et la première vertèbre sacrale) | 19 Foramina sacraux |
| 2 Corps du sacrum | 11 Lame | 20 Articulation sacro-iliaque |
| 3 Gaz intestinal | 12 Partie latérale (aile) du sacrum | 21 Processus épineux de la cinquième vertèbre lombaire |
| 4 Tissu adipeux épidual | 13 Ligament jaune | 22 Processus épineux de la quatrième vertèbre lombaire |
| 5 Muscle érecteur du rachis | 14 Crête sacrale médiane | 23 Processus articulaire inférieur (facette) de la cinquième vertèbre lombaire |
| 6 Ilium | 15 Muscle multifide | 24 Processus articulaire supérieur (facette) de la première vertèbre sacrale |
| 7 Processus articulaire inférieur (facette) de la cinquième vertèbre lombaire | 16 Racines nerveuses de la queue de cheval | 25 Sac dural |
| 8 Processus articulaire inférieur (facette) de la quatrième vertèbre lombaire | 17 Racine du cinquième nerf lombaire | |
| 9 Veines vertébrales internes | 18 Racine du premier nerf sacral | |



(a) - (f) IRM de la colonne lombaire, coupes axiales.

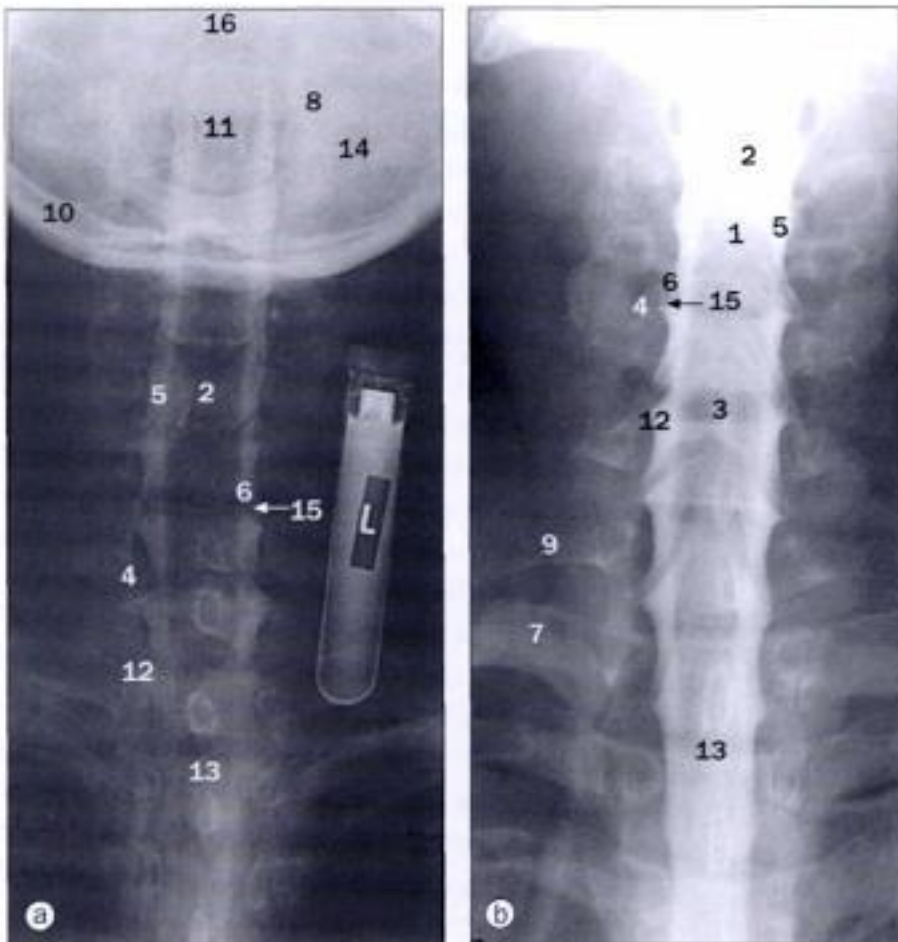
- | | |
|--|--|
| 1 Anneau fibreux et ligament longitudinal postérieur | 14 Lame |
| 2 Ligament longitudinal antérieur et os cortical | 15 Ligament jaune |
| 3 Aorte | 16 Muscle multifide |
| 4 Queue de cheval dans le sac dural lombaire | 17 Pédicule |
| 5 Ganglion de la racine dorsale | 18 Ligament longitudinal postérieur |
| 6 Dure-mère | 19 Muscle psoas |
| 7 Tissu adipeux épidural dans l'espace épidural | 20 Tissu adipeux rétropéritonéal |
| 8 Veines épidurales dans l'espace épidural | 21 Racine du nerf spinal |
| 9 Muscles érecteurs du rachis | 22 Processus épineux |
| 10 Tissu adipeux dans le foramen intervertébral | 23 Processus articulaire supérieur (facette) |
| 11 Processus articulaire inférieur (facette) | 24 Processus transverse |
| 12 Veine cave inférieure | 25 Articulation zygapophysaire (facette articulaire) |
| 13 Disque intervertébral | |



IRM de la colonne lombo-sacrée, (a) coupe sagittale, (b) coupe parasagittale, (c) coupe frontale (coronale).

- 1 Anneau fibreux
- 2 Ligament longitudinal antérieur
- 3 Veines basivertébrales
- 4 Corps de la troisième vertèbre lombaire
- 5 Queue de cheval
- 6 Sac dural lombaire
- 7 Liquide cérébro-spinal
- 8 Cône médullaire
- 9 Tissu adipeux épidural
- 10 Espace épidural (rempli de graisse)
- 11 Fissure dans le nucléus pulposus

- 12 Ligament interépineux et bourse
- 13 Foramen intervertébral
- 14 Rein
- 15 Ligament jaune
- 16 Nucléus pulposus
- 17 Pédicule
- 18 Ligament longitudinal postérieur et anneau fibreux
- 19 Muscle psoas
- 20 Vaisseaux radiculaires
- 21 Promontoire du sacrum
- 22 Racine du nerf spinal dans le foramen intervertébral



Myélographie cervicale, **(a)** avec le cou en extension, **(b)** avec le cou en légère flexion, projections antéro-postérieures.

Un produit de contraste hydrosoluble, non ionique, est introduit dans l'espace subarachnoïdien par une ponction lombaire. Le patient est en décubitus ventral, avec le cou en hyperextension, attaché sur une table inclinable. Le produit de contraste coule alors en direction de la colonne cervicale pour montrer la moelle épinière de ce niveau ainsi que les racines nerveuses qui s'en détachent. Il y a huit paires de racines nerveuses cervicales : la huitième franchit les foramina intervertébraux entre la septième vertèbre cervicale et la première vertèbre thoracique. Le renflement cervical normal (3) (pour le plexus brachial) s'étend de la troisième vertèbre cervicale à la deuxième vertèbre thoracique. Son développement est maximal à hauteur de la cinquième vertèbre cervicale et il ne devrait pas être considéré comme une lésion intramédullaire.

- 1 Artère spinale antérieure
- 2 Moelle cervicale
- 3 Renflement cervical de la moelle épinière
- 4 Nerf spinal cervical émergeant par le foramen intervertébral
- 5 Produit de contraste dans l'espace subarachnoïdien cervical
- 6 Racine dorsale du nerf spinal
- 7 Première côte
- 8 Masse latérale de l'atlas (première vertèbre cervicale)
- 9 Processus transverse, normalement grand, de la septième vertèbre cervicale
- 10 Occiput
- 11 Processus odontoïde (dent)
- 12 Racine du huitième nerf cervical
- 13 Moelle épinière thoracique
- 14 Foramen transversaire
- 15 Racine ventrale du nerf spinal
- 16 Artère vertébrale



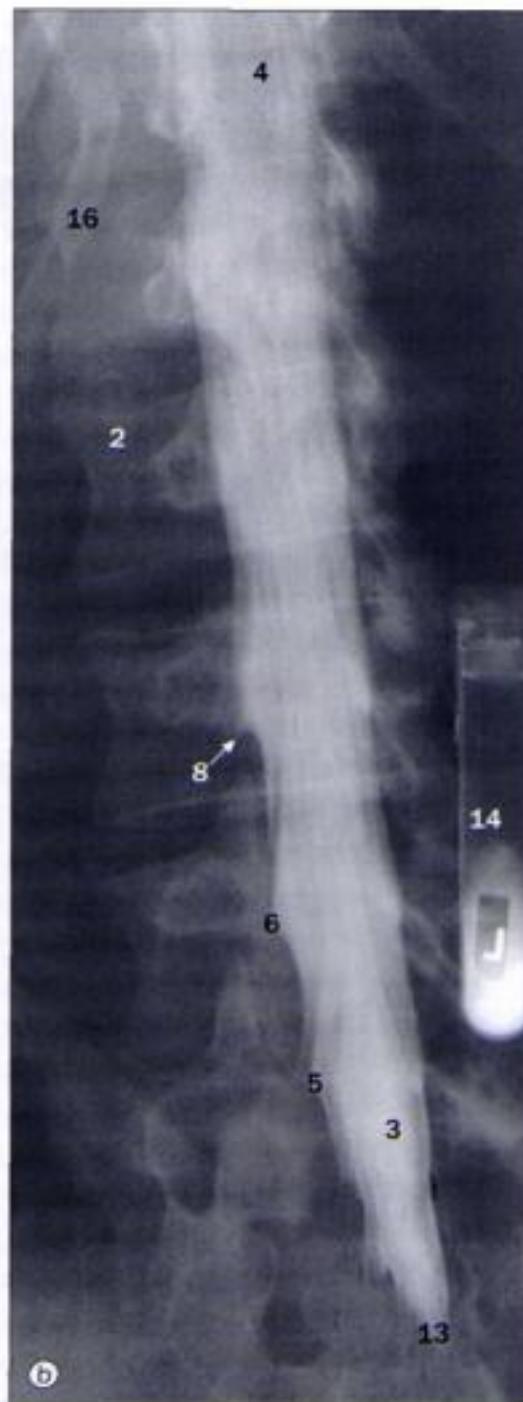
Myélographie cervicale, **(c)** patient en décubitus ventral, **(d)** patient en décubitus dorsal, projections latérales.



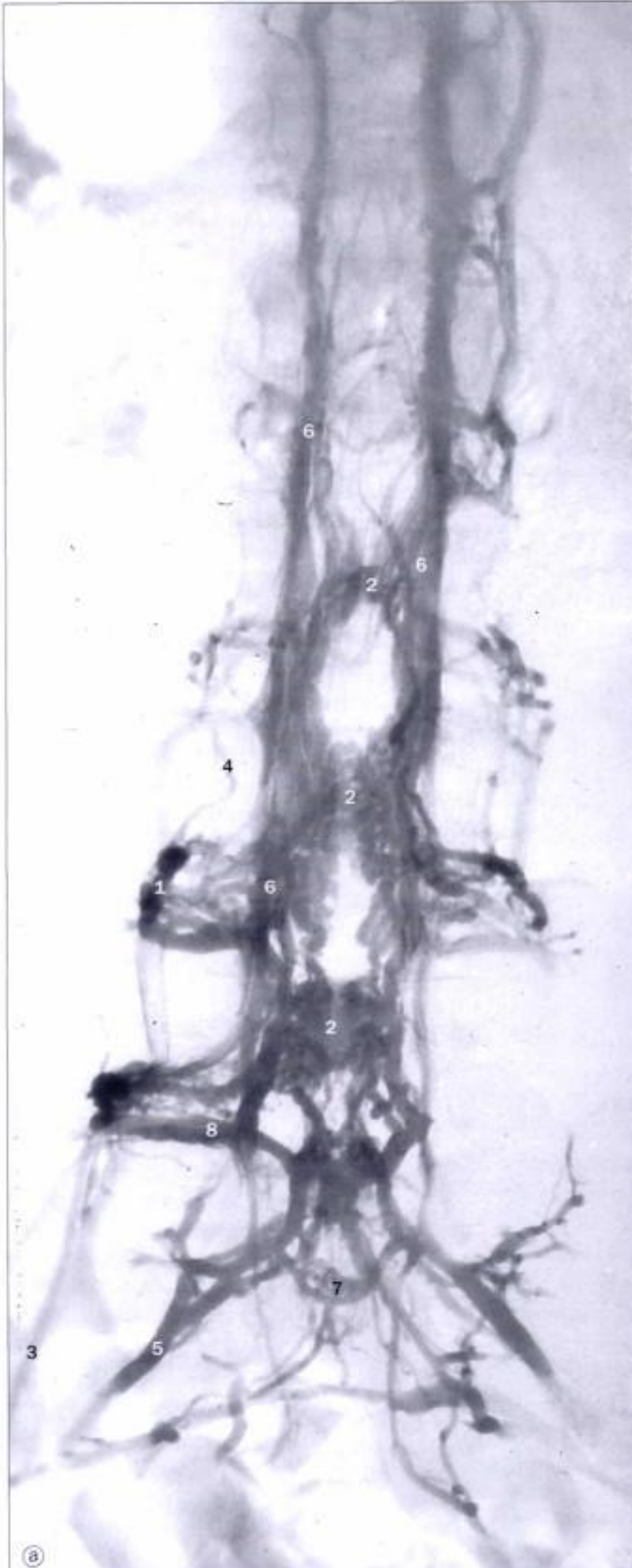
- 1 Arc antérieur de l'atlas (première vertèbre cervicale)
- 2 Bord antérieur du foramen magnum
- 3 Moelle épinière cervicale
- 4 Grande citerne (citerne cérébello-médullaire)
- 5 Cerveau
- 6 Produit de contraste dans l'espace subarachnoïdien cervical
- 7 Méat acoustique externe
- 8 Occiput
- 9 Processus odontoïde (dent)
- 10 Indentation postérieure du ligament jaune sur le sac dural
- 11 Artère cérébelleuse postérieure et inférieure
- 12 Bord postérieur du foramen magnum
- 13 Tubercule postérieur de l'atlas (première vertèbre cervicale)

Radiculographie lombaire, **(a)** en projection latérale, **(b)** en projection oblique, **(c)** en projection antéro-postérieure.

Un produit de contraste hydrosoluble, non ionique, est introduit dans l'espace subarachnoïdien par une ponction lombaire. Les racines nerveuses de la queue de cheval sont bien mises en évidence ainsi que leur passage par les foramina intervertébraux. Les racines nerveuses qui vont du cône terminal au fond du sac dural passent en dessous du pédicule de la vertèbre correspondante. Le sac dural se termine au niveau de la première ou de la seconde vertèbre sacrale. Le filum terminal peut être vu. En inclinant légèrement la table vers la tête du patient en décubitus ventral, le produit de contraste coule en direction crâniale et le cône terminal ainsi que les segments inférieurs de la moelle thoracique peuvent être rendus visibles. La moelle épinière a un diamètre uniforme depuis la deuxième vertèbre thoracique jusqu'à la dixième ; à ce niveau commence son second renflement (pour le plexus lombo-sacral) ; plus petit que le précédent, il s'étend jusqu'au niveau de la première vertèbre lombaire. Le cône médullaire se situe habituellement à hauteur de cette dernière ou de la vertèbre lombaire suivante mais il peut se voir plus haut ou plus bas encore, sans qu'il s'agisse d'une anomalie.



- | | |
|---|---|
| 1 Fissure médiane antérieure | vertèbre lombaire |
| 2 Corps de la deuxième vertèbre lombaire | 10 Promontoire du sacrum |
| 3 Produit de contraste dans l'espace subarachnoïdien | 11 Nerfs spinaux dans l'espace subarachnoïdien (queue de cheval) |
| 4 Cône médullaire | 12 Processus épineux de la troisième vertèbre lombaire |
| 5 Cinquième nerf spinal lombaire | 13 Sac dural terminal à hauteur de la première/deuxième vertèbre sacrale |
| 6 Quatrième nerf spinal lombaire | 14 Tube à essai contenant du produit de contraste pour indiquer le degré d'inclinaison du patient |
| 7 Indentations du disque intervertébral sur le bord dural antérieur | 15 Moelle épinière thoracique |
| 8 Expansion latérale de l'espace subarachnoïdien autour des racines nerveuses | 16 Douzième côte |
| 9 Aiguille de la ponction lombaire entre la troisième et la quatrième | |

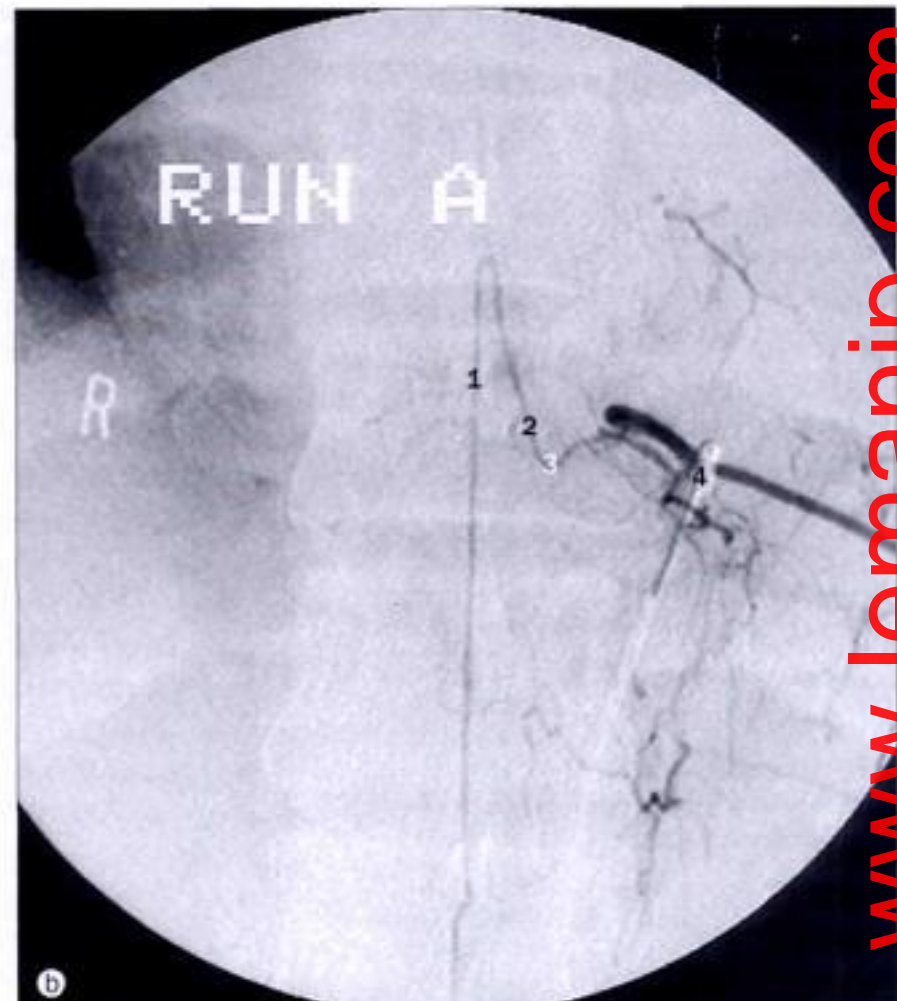
**(a) Phlébographie lombaire par soustraction.**

Depuis l'avènement des techniques d'imagerie par TDM ou IRM, la phlébographie lombaire n'est plus beaucoup pratiquée. Cependant, cette technique reste la meilleure pour mettre en évidence l'anatomie des veines vertébrales. Le drainage veineux de la moelle épinière a une disposition longitudinale, par l'intermédiaire de plexus qui s'anastomosent librement avec les plexus veineux vertébraux internes (6) et externes (1 et 4), également reliés entre eux (4 et 2). À remarquer comment les veines internes s'orientent latéralement, au niveau des disques intervertébraux, et médialement, au niveau des pédicules où elles rejoignent une veine communicante (2).

- 1 Veines lombaires ascendantes
- 2 Veines basivertébrales
- 3 Cathéter dans la veine iliaque commune
- 4 Veines intervertébrales
- 5 Veines sacrales latérales
- 6 Plexus veineux vertébraux longitudinaux
- 7 Plexus veineux sacral
- 8 Bout du cathéter dans une veine intravertébrale

(b) Artériographie spinale.

- 1 Artère spinale antérieure
- 2 Artère grande radulaire (Adamkiewicz)
- 3 Sténose transdurale normale de l'artère grande radulaire
- 4 Cathétérisme sélectif de la onzième artère intercostale gauche

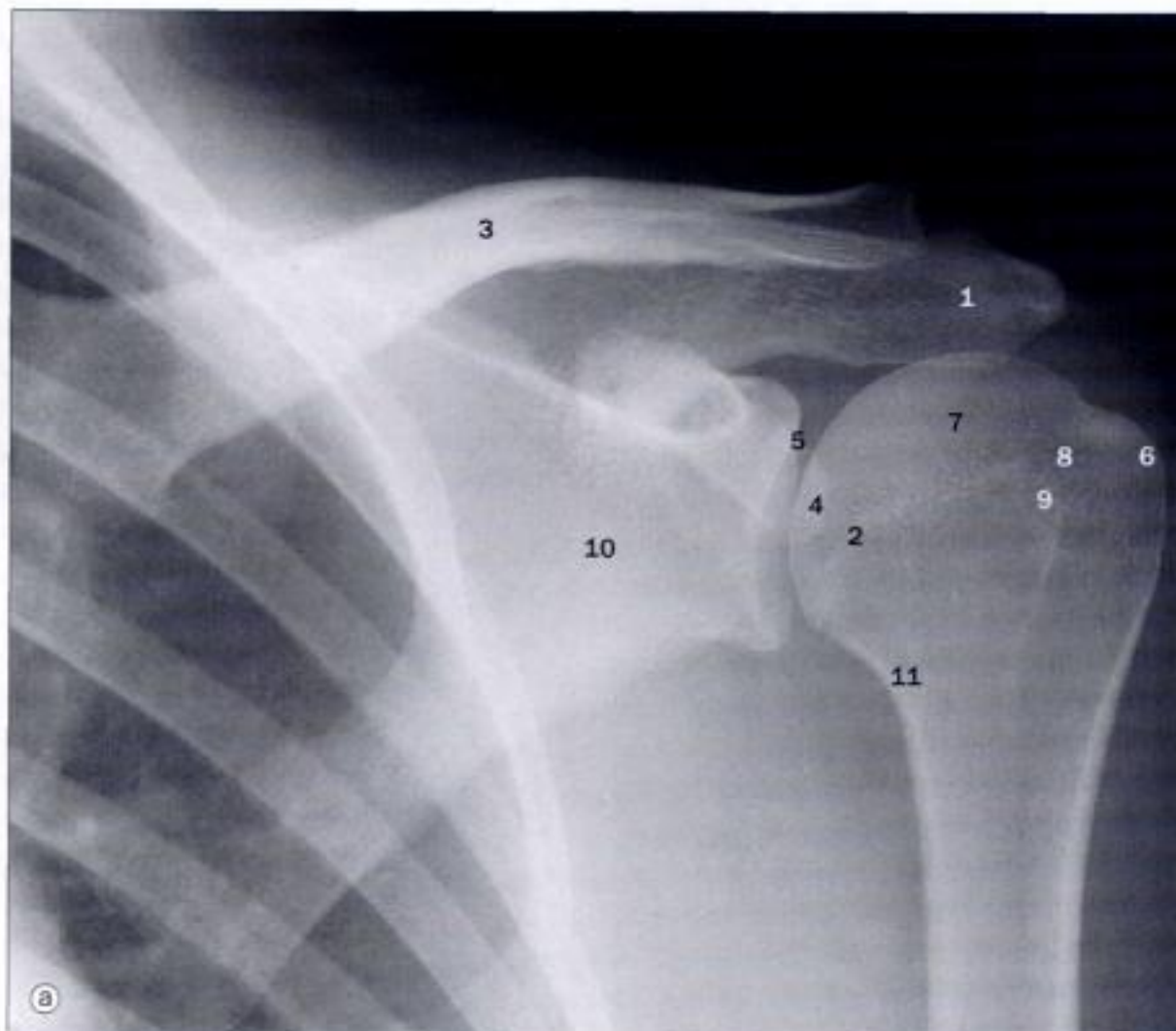


3

Membre supérieur

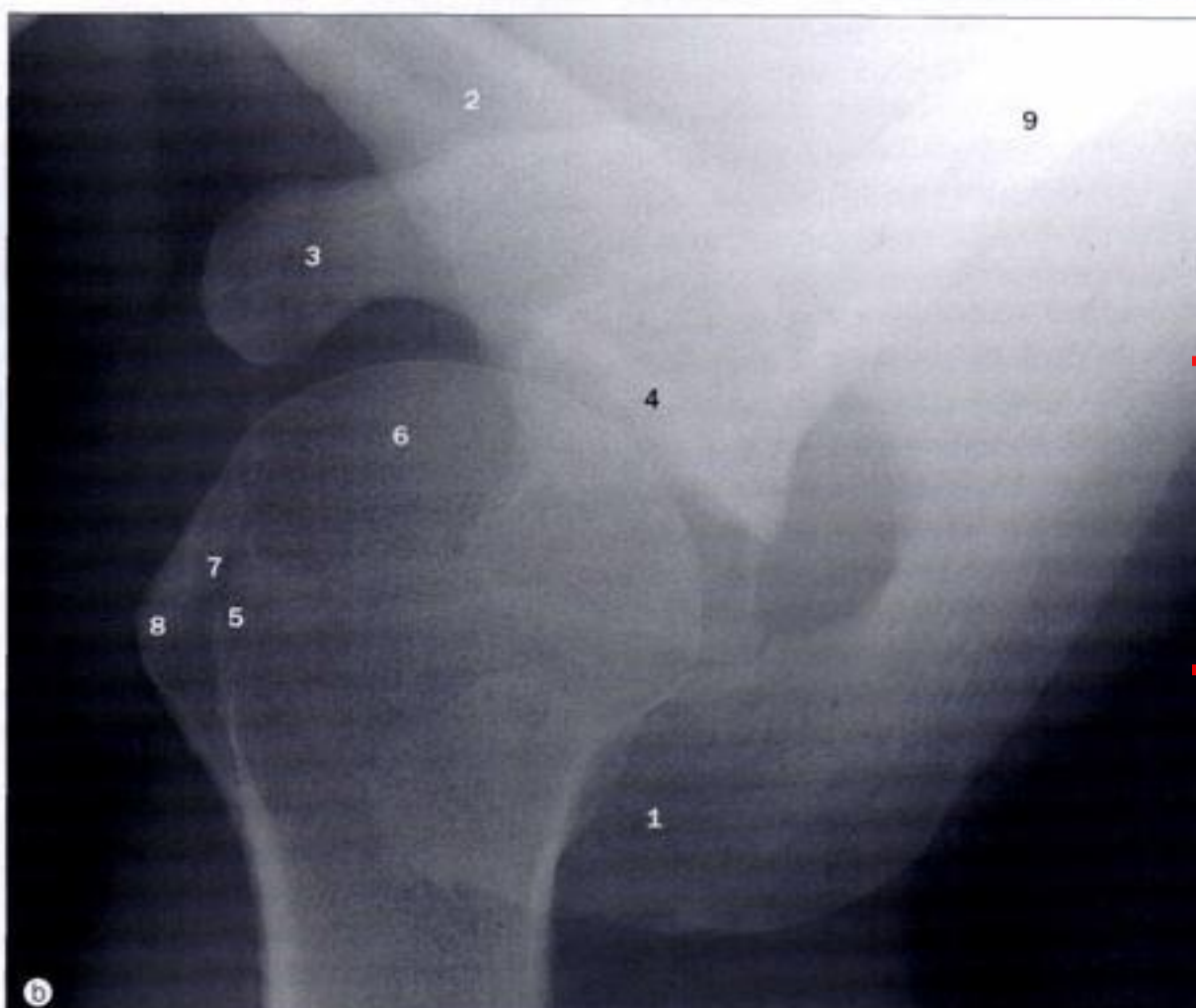
(a) Épaule, radiographie antéro-postérieure.

- 1 Acromion de la scapula
- 2 Col anatomique
- 3 Clavicule
- 4 Processus coracoïde de la scapula
- 5 Cavité glénoïdale de la scapula
- 6 Tubercule majeur de l'humérus
- 7 Tête de l'humérus
- 8 Sillon intertuberculaire de l'humérus
- 9 Tubercule mineur de l'humérus
- 10 Scapula
- 11 Col chirurgical



(b) Épaule, projection axiale (supéro-inférieure).

- 1 Acromion
- 2 Clavicule
- 3 Processus coracoïde
- 4 Ligne épiphysaire
- 5 Cavité glénoïdale
- 6 Tête de humérus
- 7 Humérus
- 8 Bord latéral de la scapula
- 9 Épine scapulaire





(a) Scapula d'un garçon de 14 ans, projection latérale.

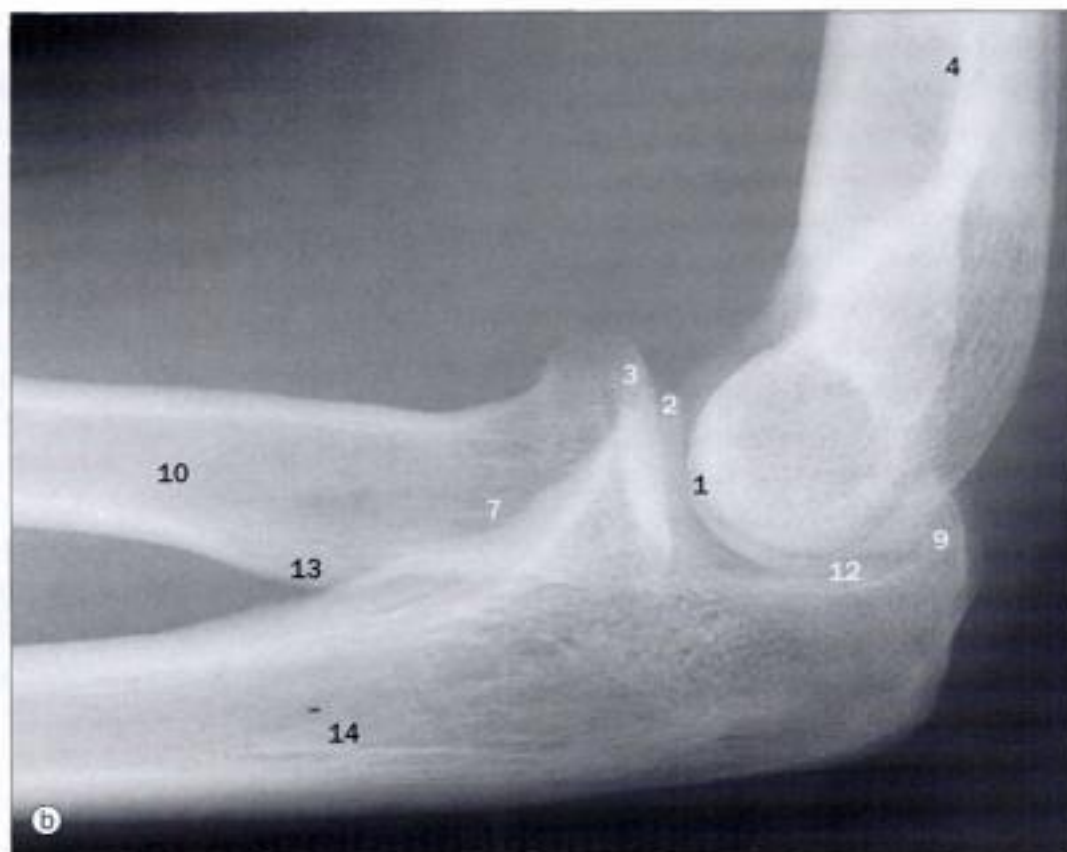
- 1 Acromion
- 2 Clavicule
- 3 Processus coracoïde
- 4 Ligne épiphysaire
- 5 Cavité glénoïdale
- 6 Tête de humérus
- 7 Humérus
- 8 Bord latéral de la scapula
- 9 Épine scapulaire



Radiographies de l'épaule (b) (antéro-postérieure) d'un enfant d'un an, (c) (antéro-postérieure) et (d) (axiale) d'un enfant de 6 ans, (e) (antéro-postérieure) et (f) (axiale) d'un enfant de 14 ans.

- 1 Acromion de la scapula
- 2 Centre pour le processus coracoïde
- 3 Centre pour le tubercule majeur de l'humérus
- 4 Centre pour la tête de humérus
- 5 Clavicule
- 6 Ligne épiphysaire
- 7 Gavité glénoïdale de la scapula

CLAVICLE (m)		
Lateral end	Appears 5 yrs	Fused 20+ yrs
Medial end	15 yrs	20+ yrs
SCAPULA (c)		
Body	8 yrs	15 yrs
Coracoid	<1 yr	20 yrs
Coracoid base	Puberty	15-20 yrs
Acromion	Puberty	15-20 yrs



Coude, (a) projection antéro-postérieure, (b) projection latérale, (c) projection axiale.

- 1 Capitulum de l'humérus
- 2 Processus coronoïde de l'ulna
- 3 Tête du radius
- 4 Humérus
- 5 Épicondyle latéral de l'humérus
- 6 Épicondyle médial de l'humérus
- 7 Col du radius
- 8 Fosse olécrânienne de l'humérus
- 9 Olécrâne de l'ulna
- 10 Radius
- 11 Trochlée de l'humérus
- 12 Incisure trochléaire de l'ulna
- 13 Tubérosité du radius
- 14 Ulna



HUMÉRUS (c)	APPARITION	FUSION
Diaphyse	8 s i u	15 - 20 a
Tête	1 - 6 m	15 - 20 a
Tubercule majeur	6 m - 1 a	15 - 20 a
Tubercule mineur	3 - 5 a	18 - 20 a
Capitulum	4 m - 1 a	13 - 16 a
Trochlée	10 a	13 - 16 a
Épicondyle médial	3 - 6 a	13 - 16 a
Épicondyle latéral	9 - 12 a	13 - 16 a

RADIUS (c)	APPARITION	FUSION
Diaphyse	8 s i u	
Extrémité proximale	4 - 6 a	13 - 16 a
Extrémité distale	1 a	16 - 18 a

ULNA (c)	APPARITION	FUSION
Diaphyse	8 s i u	
Extrémité proximale	8 - 10 a	13 - 15 a
Extrémité distale	5 - 7 a	16 - 18 a



Coude, (a) (antéro-postérieur) chez un enfant d'un an, (b) (latéral) et (c) (antéro-postérieur) chez un enfant de 3 ans, (d) (antéro-postérieur) chez un enfant de 6 ans, (e) (antéro-postérieur) chez un enfant de 9 ans, (f) (latéral) chez un enfant de 11 ans, (g) (latéral) et (h) (antéro-postérieur) chez un enfant de 14 ans, pour illustrer les centres d'ossification.

- 1 Centre pour le capitulum
- 2 Centre pour l'épicondyle latéral
- 3 Centre pour l'épicondyle médial
- 4 Centre pour l'olécrâne
- 5 Centre pour la tête du radius
- 6 Centre pour la trochlée
- 7 Ligne épiphysaire
- 8 Humérus
- 9 Radius
- 10 Ulna





(a) Os de la main, projection dorso-palmaire.

- 1 Base du cinquième métacarpien
- 2 Base de la phalange moyenne du médus
- 3 Base de la phalange proximale de l'annulaire
- 4 Capitulatum
- 5 Phalange distale de l'index
- 6 Phalange distale du pouce
- 7 Os crochu
- 8 Tête du cinquième métacarpien
- 9 Tête de la phalange moyenne du médus
- 10 Tête de l'ulna
- 11 Tête de la phalange proximale de l'annulaire
- 12 Crochet de l'os crochu
- 13 Lunatum
- 14 Phalange moyenne de l'index
- 15 Pisiforme
- 16 Phalange proximale de l'index
- 17 Phalange proximale du pouce
- 18 Radius
- 19 Scaphoïde
- 20 Second métacarpien
- 21 Os sésamoïde
- 22 Diaphyse du cinquième métacarpien
- 23 Diaphyse de la phalange moyenne du médus
- 24 Diaphyse de la phalange proximale de l'annulaire
- 25 Processus styloïde du radius
- 26 Processus styloïde de l'ulna
- 27 Trapèze
- 28 Trapézoïde
- 29 Triquetrum
- 30 Incisure ulnaire du radius

• Il y a souvent deux os sésamoïdes (21) dans les muscles court fléchisseur du pouce et adducteur du pouce.



(b) Os du poignet, projection latérale.



Os de la main (projection dorso-palmaire), (a) chez un garçon de 3 mois, (b) chez un garçon de 3 ans, (c) chez un garçon de 6 ans, (d) chez un garçon de 11 ans, pour illustrer les centres d'ossification.

CARPE (c)	APPARITION	FUSION
Capitulum	1 - 3 m	15 - 20 a
Os crochu	2 - 4 m	15 - 20 a
Triquetrum	2 - 3 a	15 - 20 a
Lunatum	2 - 4 a	18 - 20 a
Scaphoïde	4 - 6 a	13 - 16 a
Trapèze	4 - 6 a	13 - 16 a
Trapézoïde	4 - 6 a	13 - 16 a
Pisiforme (sésamoïde)	8 - 12 a	13 - 16 a
MÉTACRPIENS (c)		
Diaphyse	9 s i u	
Tête	1 - 2 a	14 - 19 a
PHALANGES (c)		
Diaphyse	8 - 12 s i u	
Base	1 - 3 a	14 - 18 a



- 1 Capitulum
- 2 Centre pour la phalange distale du médus
- 3 Centre pour l'extrémité distale du radius
- 4 Centre pour l'extrémité distale de l'ulna
- 5 Centre pour le premier métacarpien
- 6 Centre pour la phalange moyenne du médus
- 7 Centre pour la phalange proximale du médus
- 8 Centre pour le second métacarpien (valable pour les métacarpiens 2 à 5)
- 9 Ligne épiphysaire
- 10 Os crochu
- 11 Lunatum
- 12 Radius
- 13 Scaphoïde
- 14 Trapèze
- 15 Trapézoïde
- 16 Triquetrum
- 17 Ulna

Gratuittement

www.lemanip.com

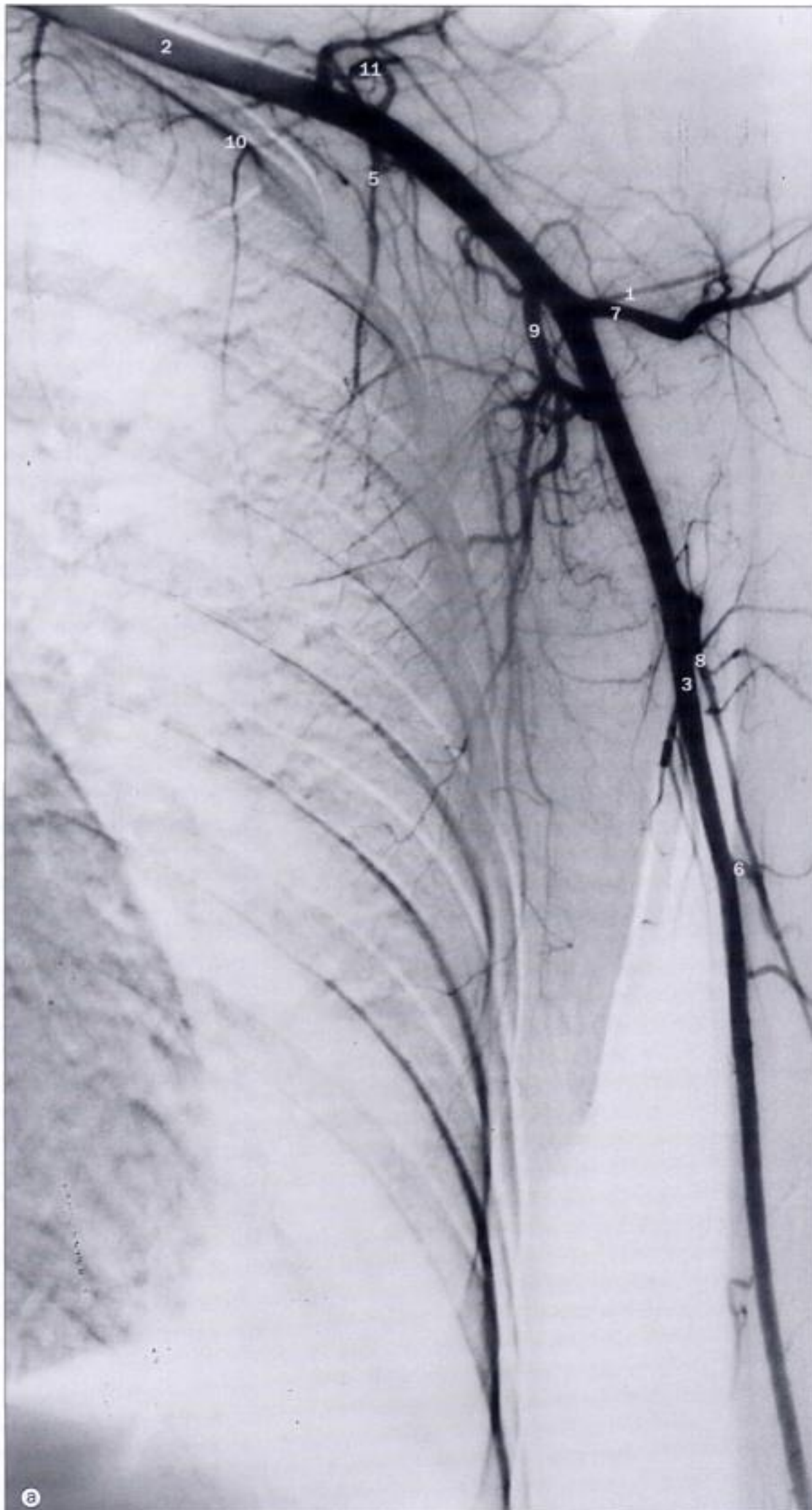
Radiologie et imagerie medicale



Livres, memoires, rapport de stage, courses, radiologie conventionnelle, Scanner, TDM, IRM, Scintigraphie, Medecine nucleaire, Radiotherapie, Radiologie Interventionnelle, Oncologie, Clichees, Cas interpretes, exposes, medecine

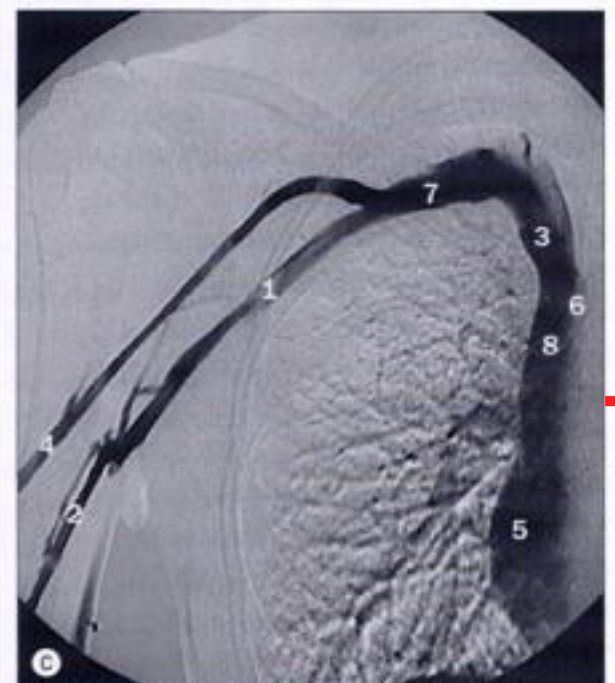
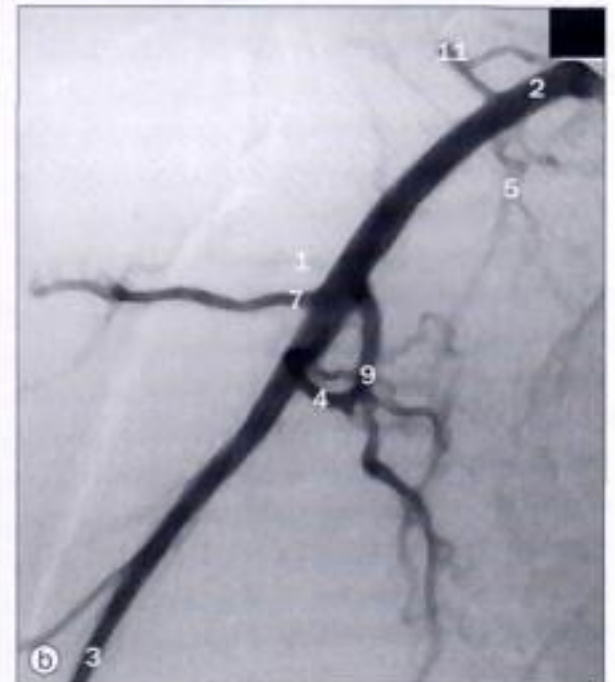
<https://www.lemanip.com/>

www.lemanip.com



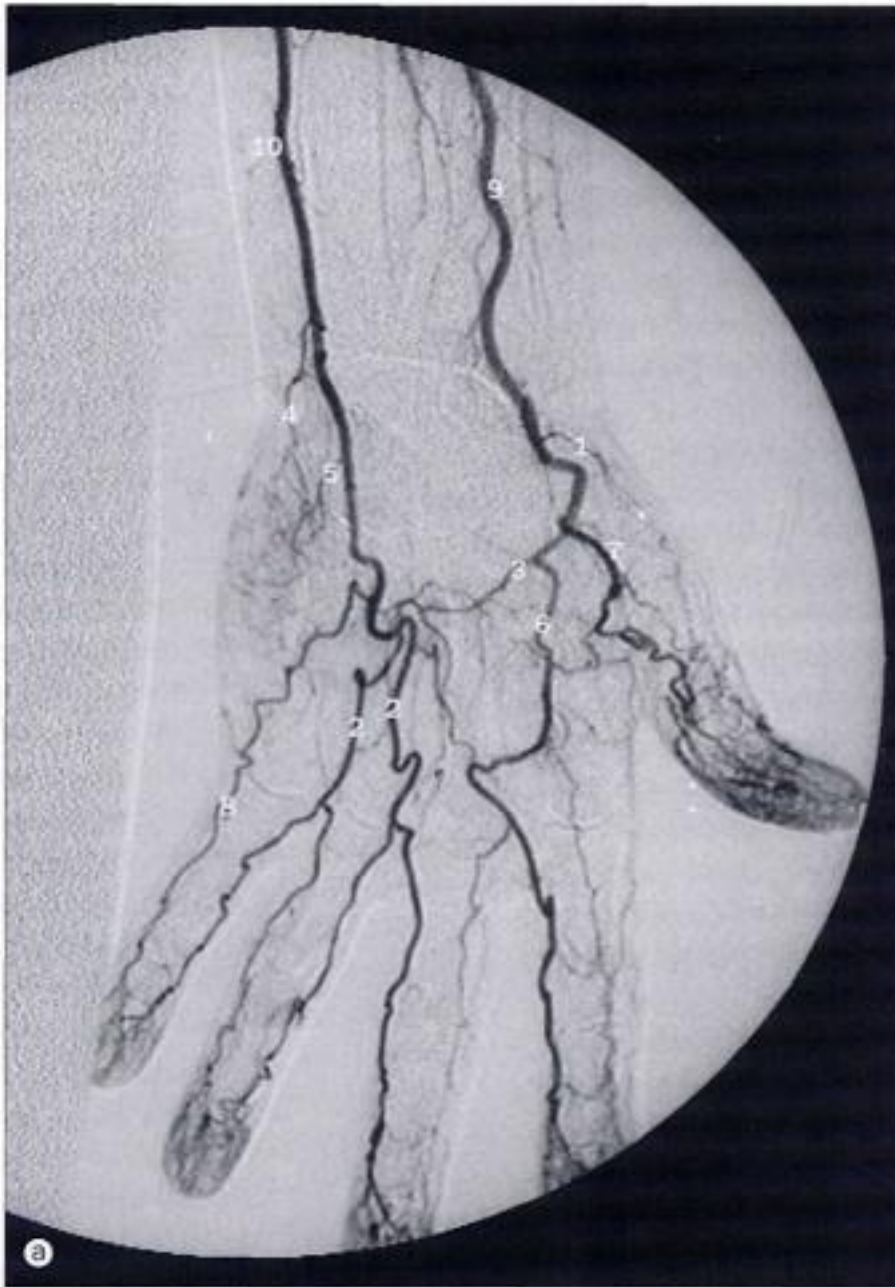
Arteriographies axillaires, (a) conventionnelle avec soustraction, (b) numérisée avec soustraction.

- 1 Artère circonflexe antérieure de l'humérus
- 2 Artère axillaire
- 3 Artère brachiale
- 4 Artère circonflexe de la scapula
- 5 Artère thoracique latérale
- 6 Branches musculaires de l'artère brachiale
- 7 Artère circonflexe postérieure de l'humérus
- 8 Artère profonde du bras
- 9 Artère subscapulaire
- 10 Artère thoracique supérieure
- 11 Artère thoraco-acromiale

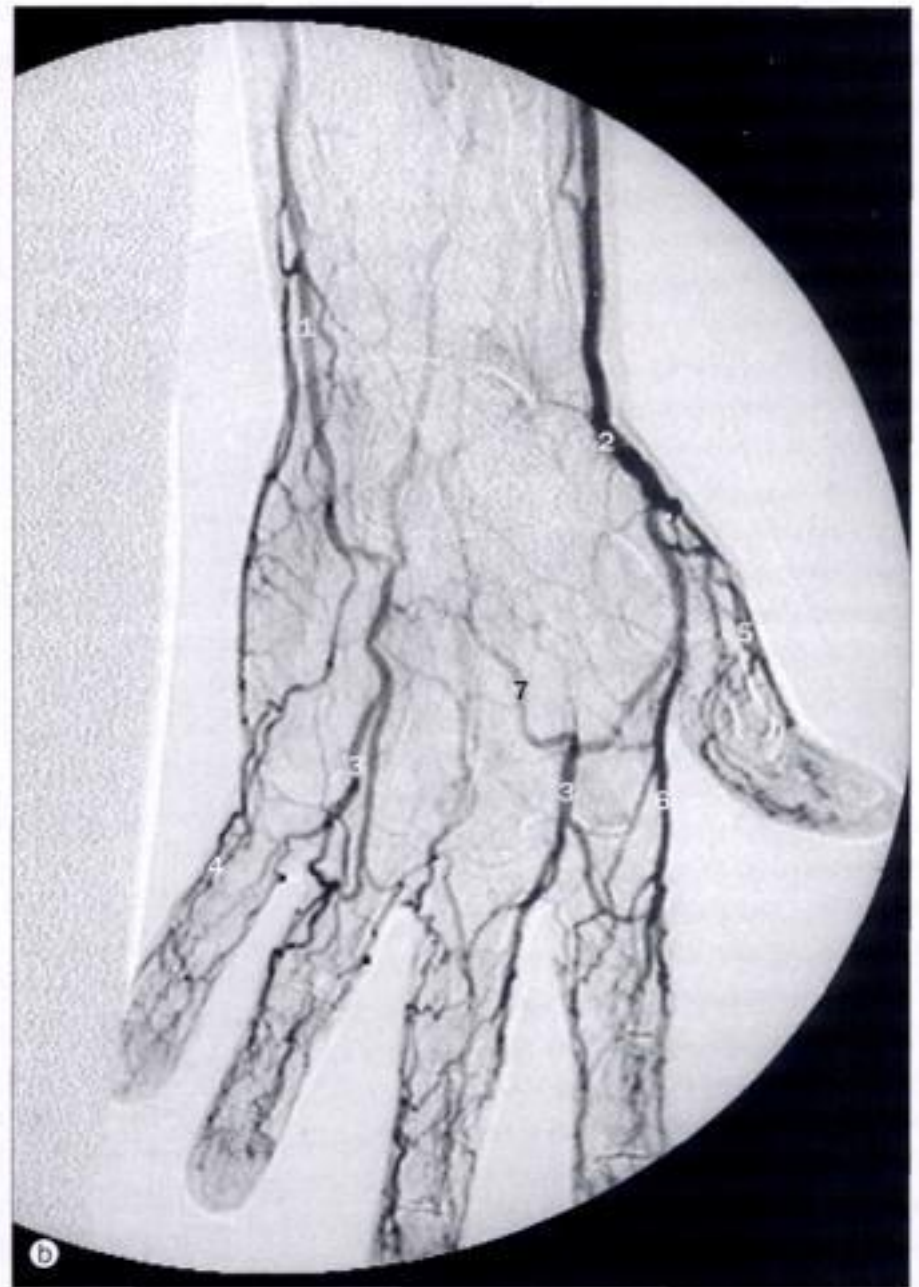


(c) Phlébographie de la veine cave supérieure, avec soustraction.

- 1 Veine axillaire
- 2 Veine basilique
- 3 Veine brachio-céphalique
- 4 Veine céphalique
- 5 Oreillette droite
- 6 Point d'aboutement de la veine brachio-céphalique gauche
- 7 Veine subclavière
- 8 Veine cave supérieure



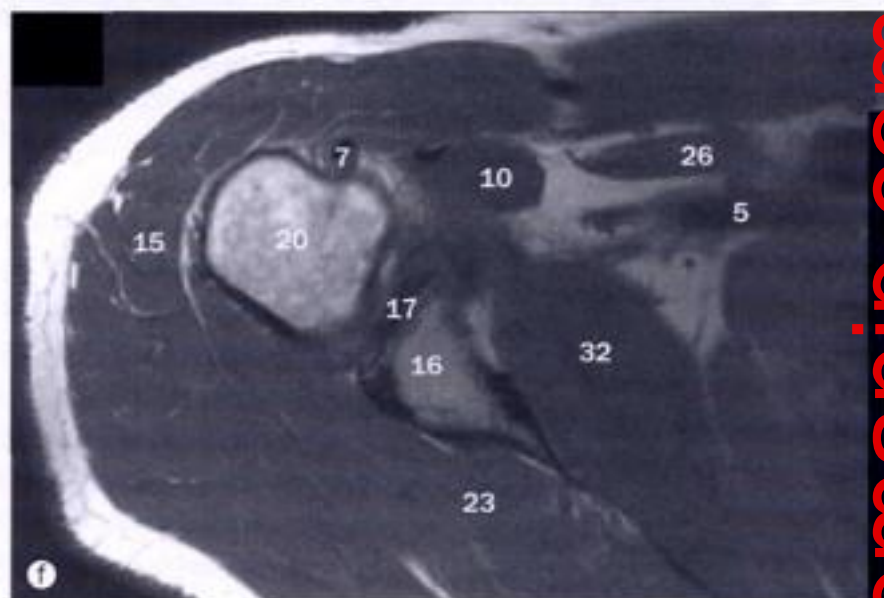
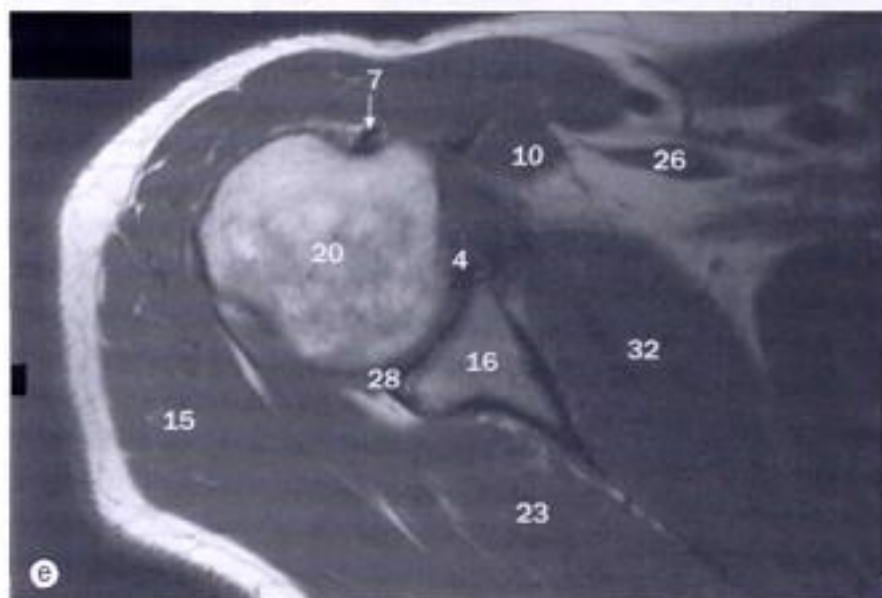
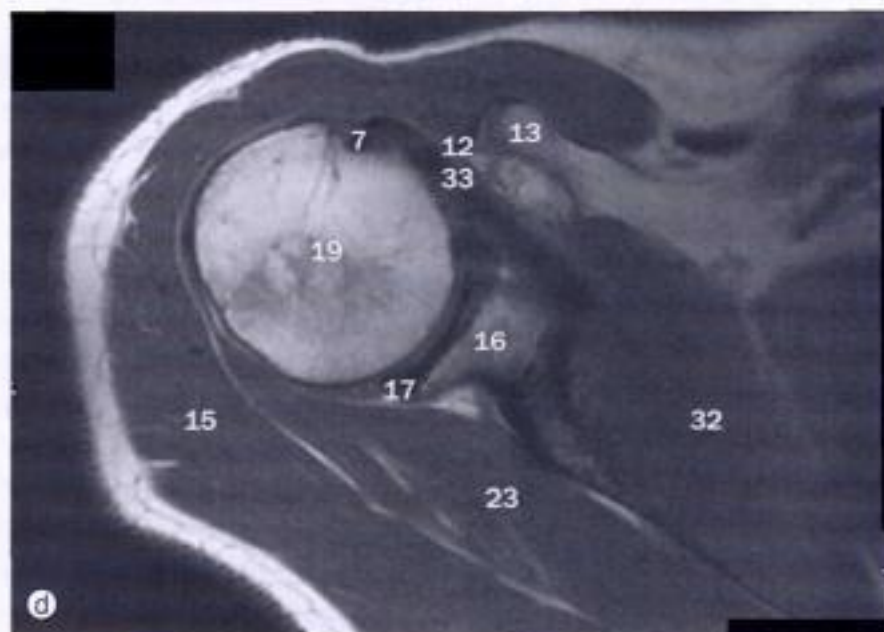
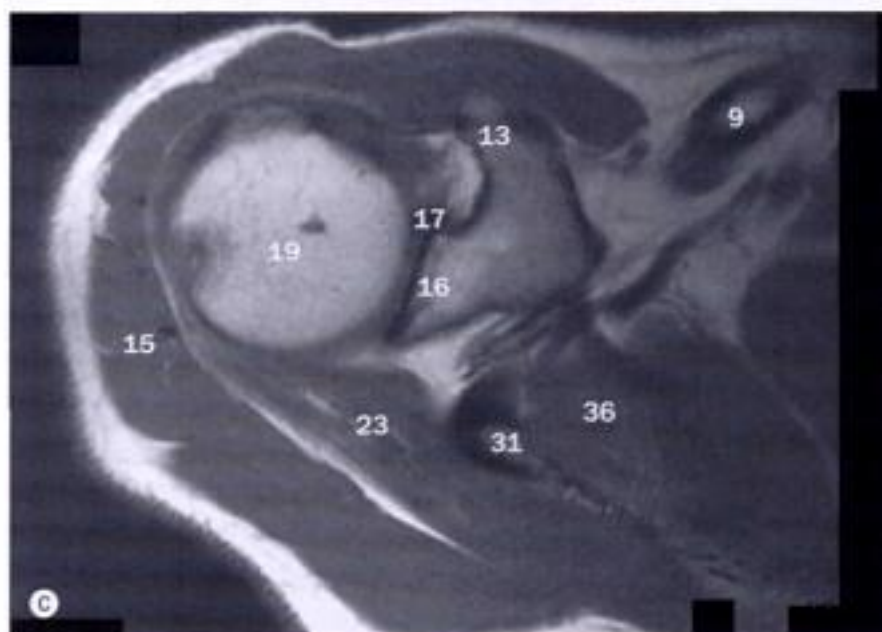
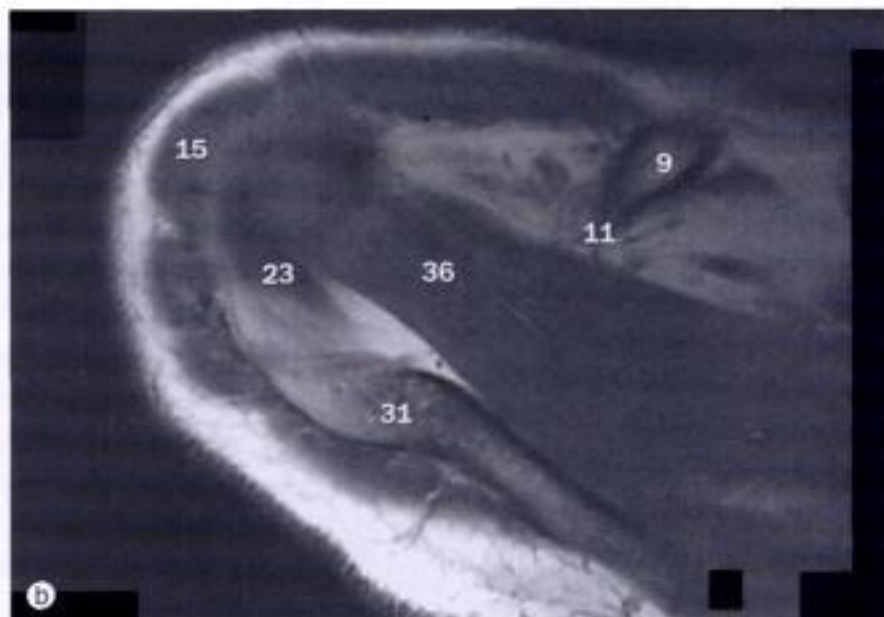
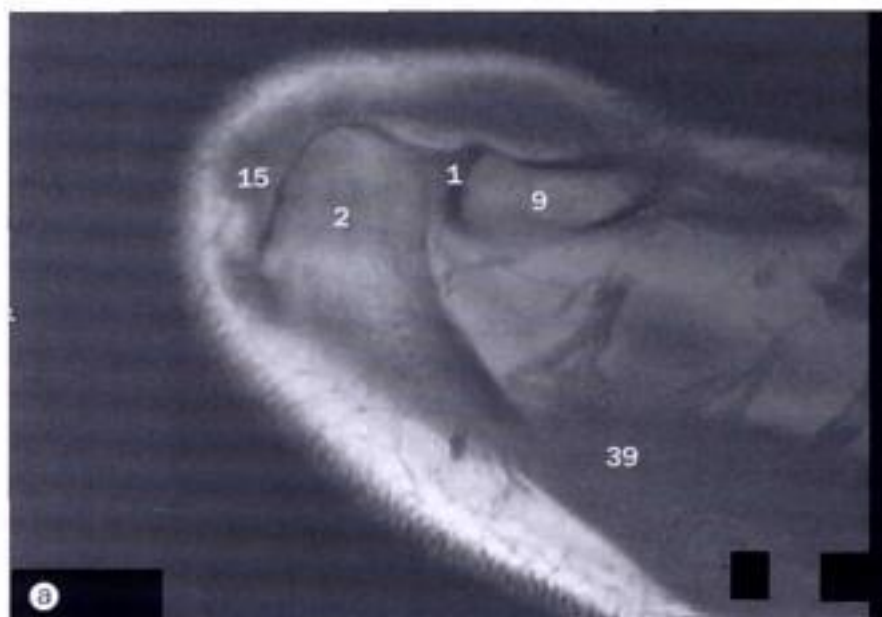
(a) Artériographie numérisée de la main, avec soustraction. Chez ce patient, l'arcade palmaire superficielle est incomplète.



(b) Phase veineuse de l'artériographie de la main.

- 1 Artère pour la face radiale du pouce
- 2 Artère digitale commune palmaire
- 3 Arcade palmaire profonde
- 4 Rameau palmaire profond de l'artère ulnaire
- 5 Rameau carpien palmaire de l'artère ulnaire
- 6 Artère métacarpienne palmaire
- 7 Artère principale du pouce
- 8 Artère digitale propre palmaire
- 9 Artère radiale
- 10 Artère ulnaire

- 1 Veine basilique
- 2 Veine céphalique
- 3 Veine digitale commune palmaire
- 4 Veine digitale palmaire
- 5 Veine principale du pouce
- 6 Veine radiale de l'index
- 7 Arcade veineuse palmaire superficielle



IRM de l'épaule, (a) - (f) coupes axiales, (g) - (l) coupes sagittales obliques.

1 Articulation acromio-claviculaire
2 Acromion
3 Capsule antérieure de l'articulation de l'épaule

4 Bourrelet glénoïdal antérieur

5 Artère axillaire et veine

6 Récessus axillaire

7 Tendon du muscle biceps brachial

8 Tendon du muscle biceps brachial - chef long

9 Clavicule

10 Muscle coraco-brachial

11 Ligament coraco-claviculaire

12 Ligament coraco-huméral

13 Processus coracoïde

14 Tendon du muscle deltoïde

15 Muscle deltoïde

16 Cavité glénoïdale

17 Bourrelet glénoïdal

18 Tubercule majeur

19 Tête de l'humérus

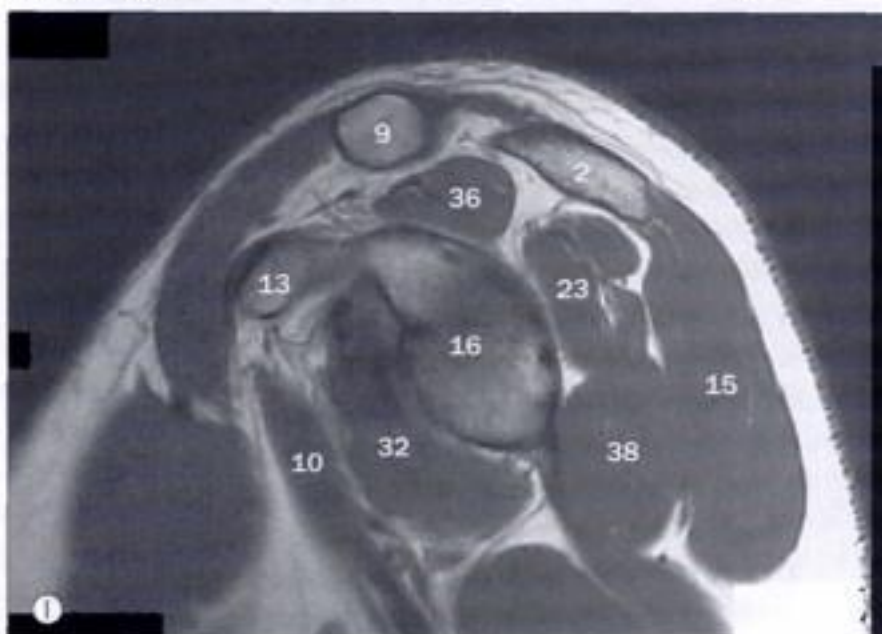
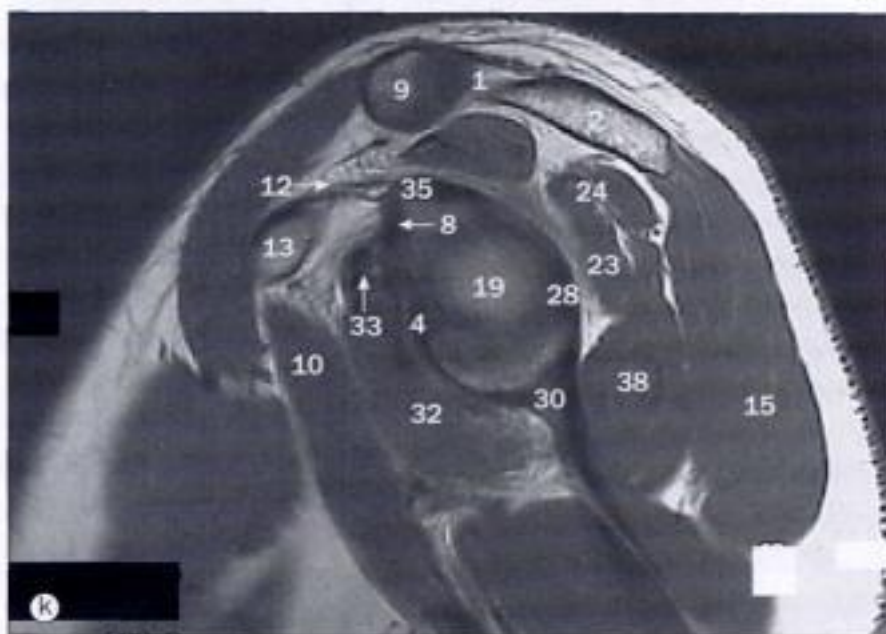
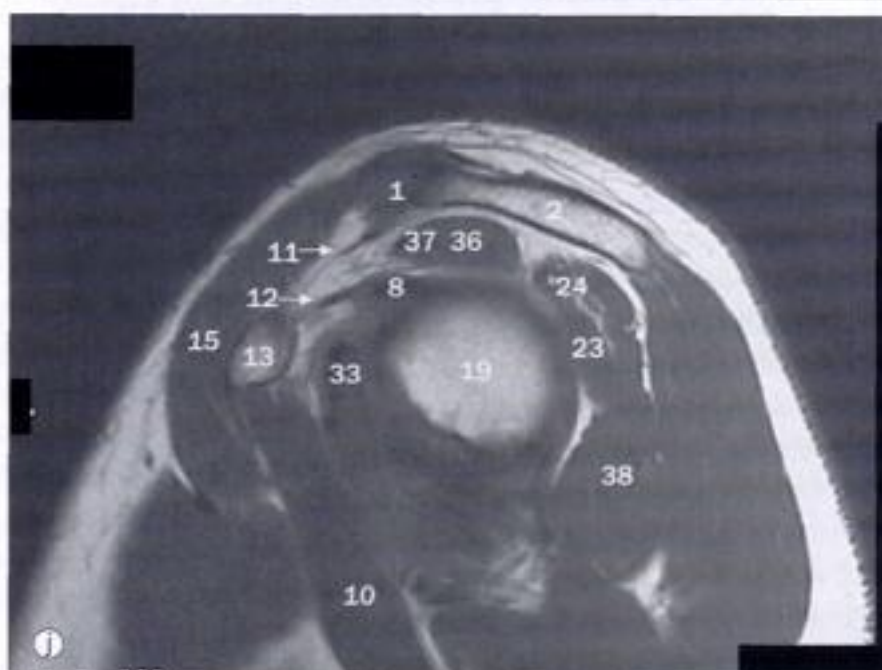
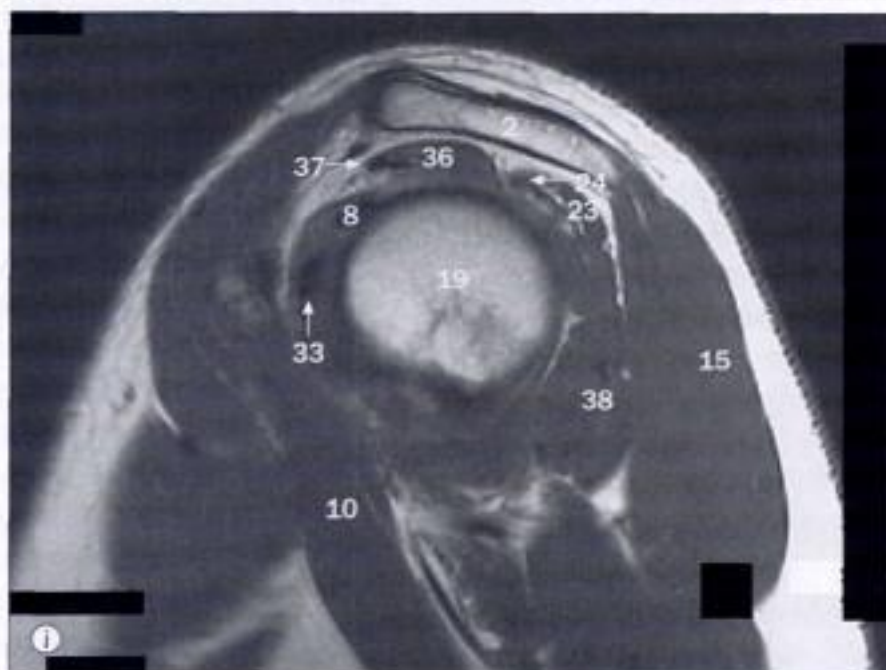
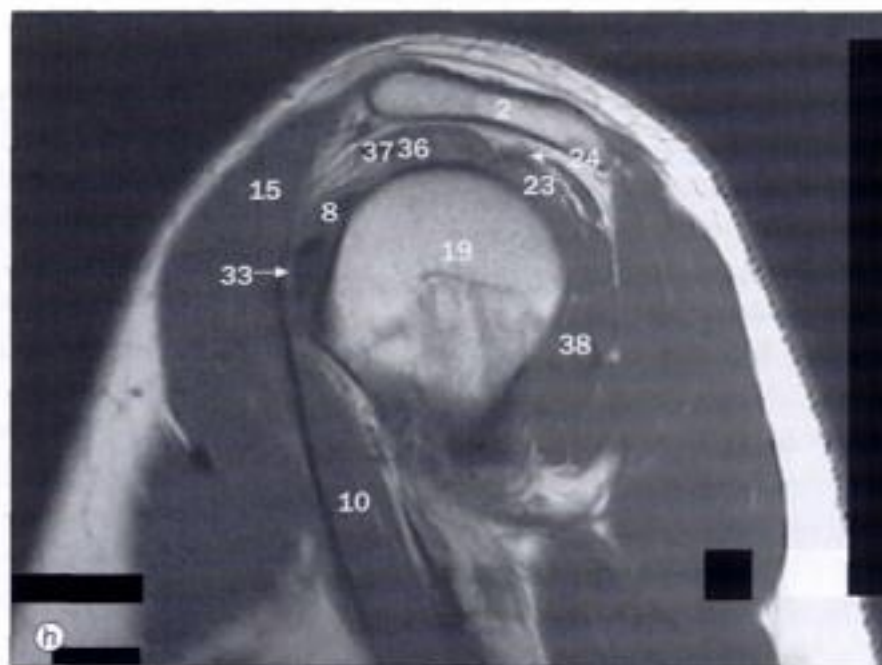
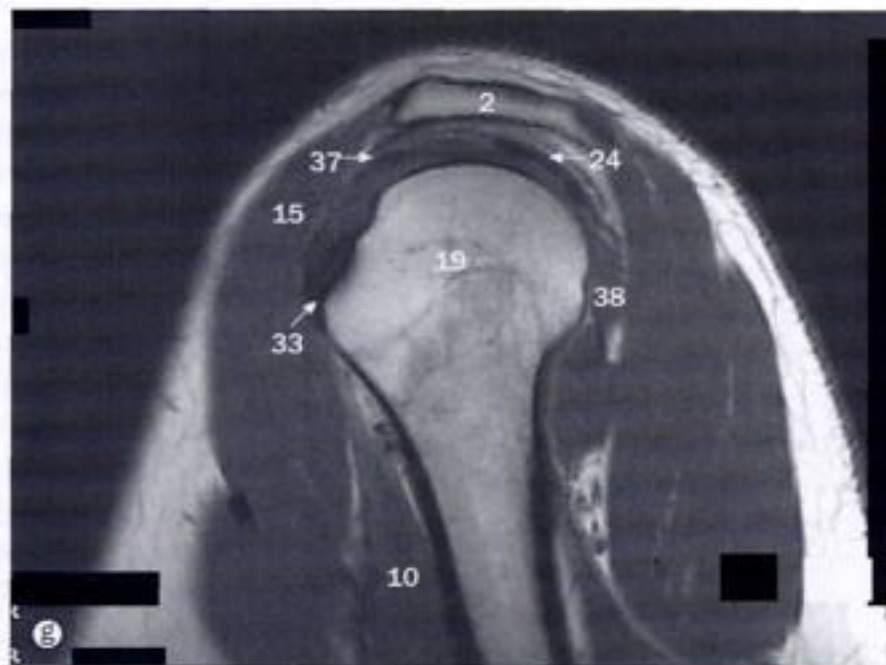
20 Humérus

21 Ligament gléno-huméral inférieur

22 Bourrelet glénoïdal inférieur

23 Muscle infra-épineux

24 Tendon du muscle infra-épineux



25 Ligament gléno-huméral moyen

26 Muscle petit pectoral

27 Capsule postérieure de l'articulation de l'épaule

28 Bourrelet glénoïdal postérieur

29 Coiffe des rotateurs

30 Scapula

31 Épine scapulaire

32 Muscle subscapulaire

33 Tendon du muscle subscapulaire

34 Ligament gléno-huméral supérieur

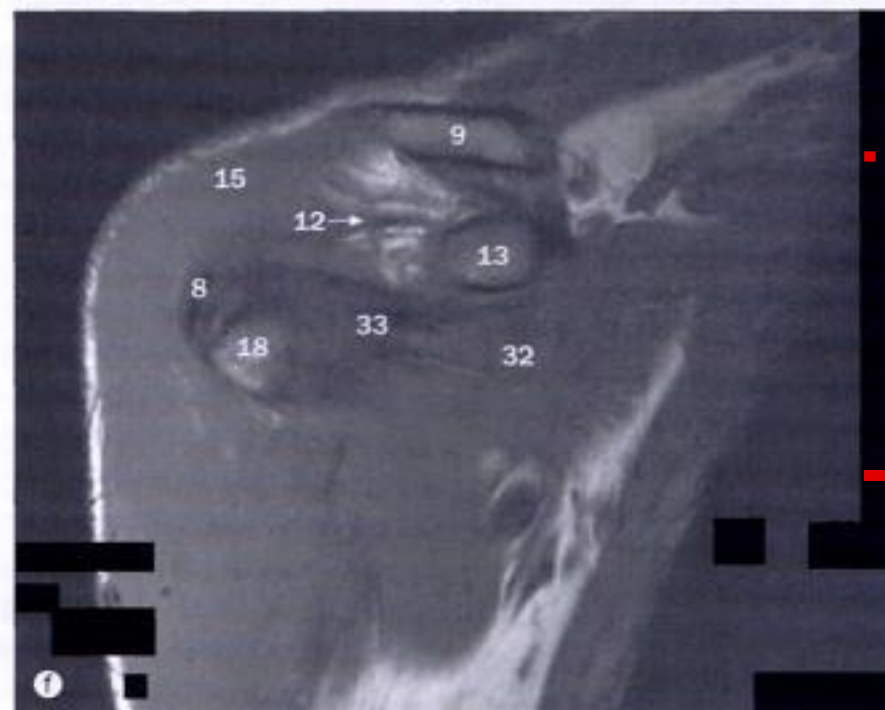
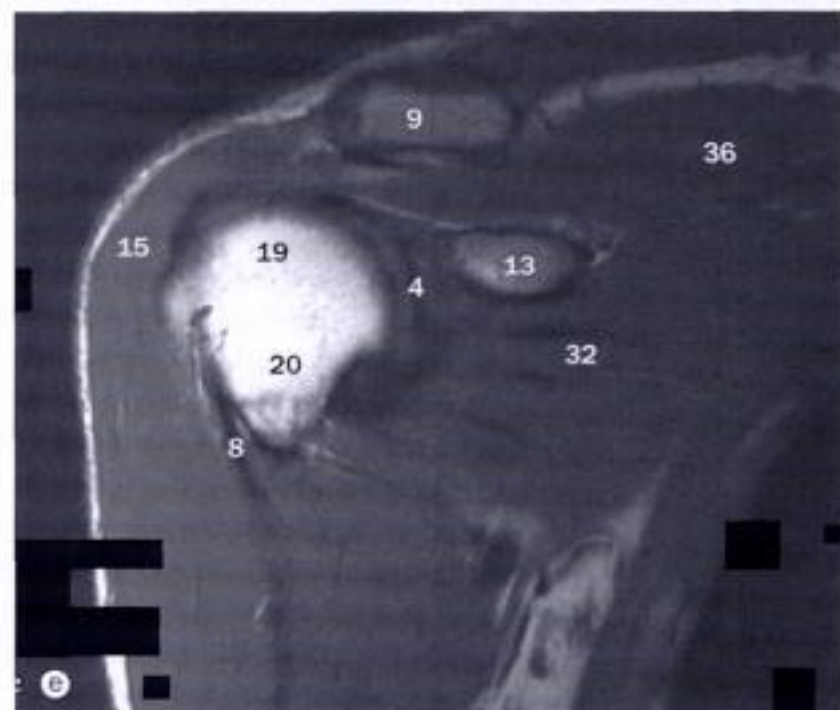
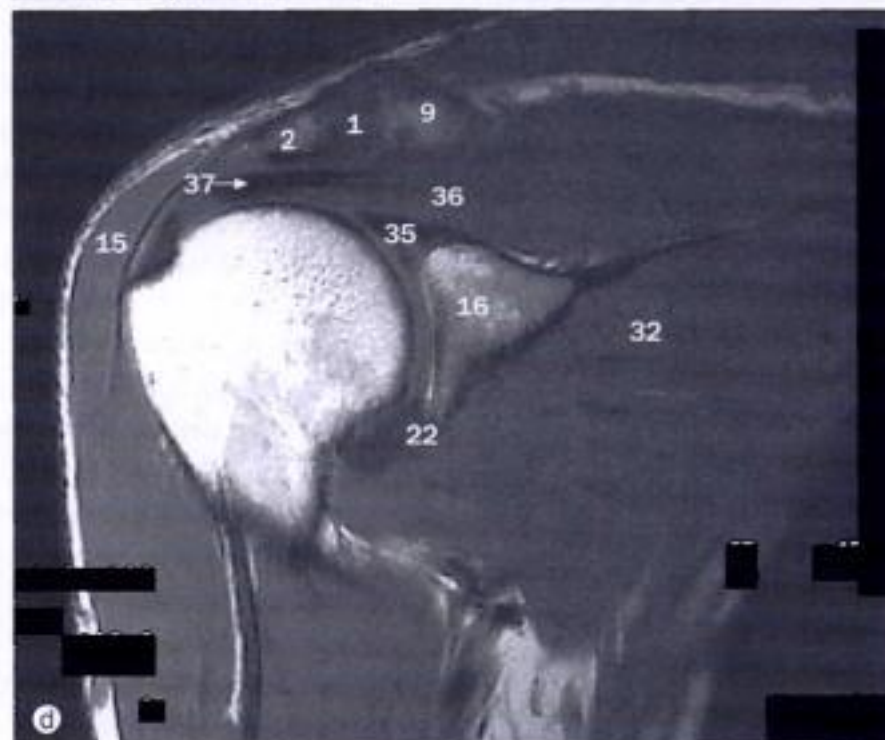
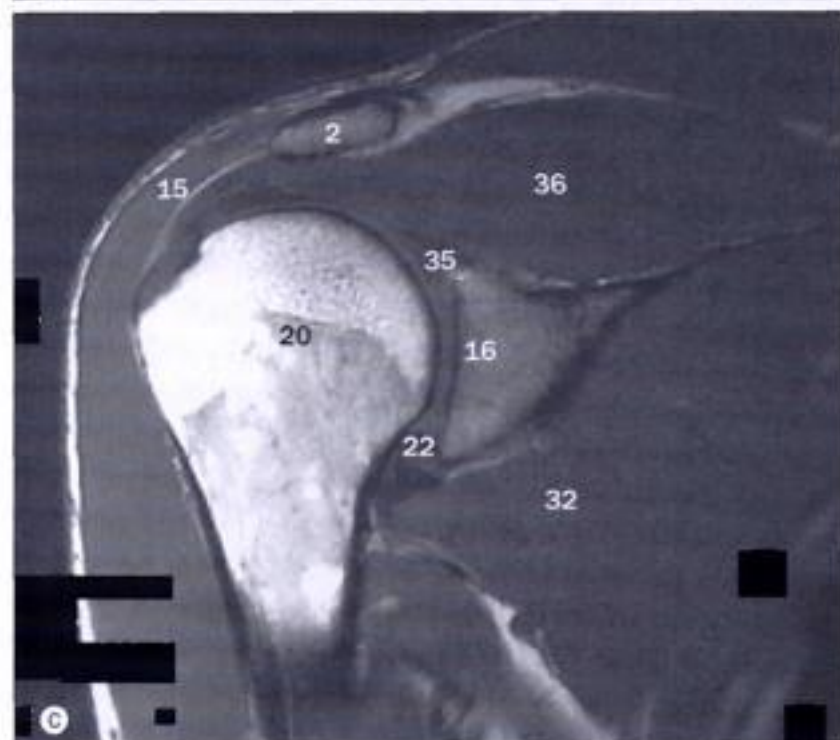
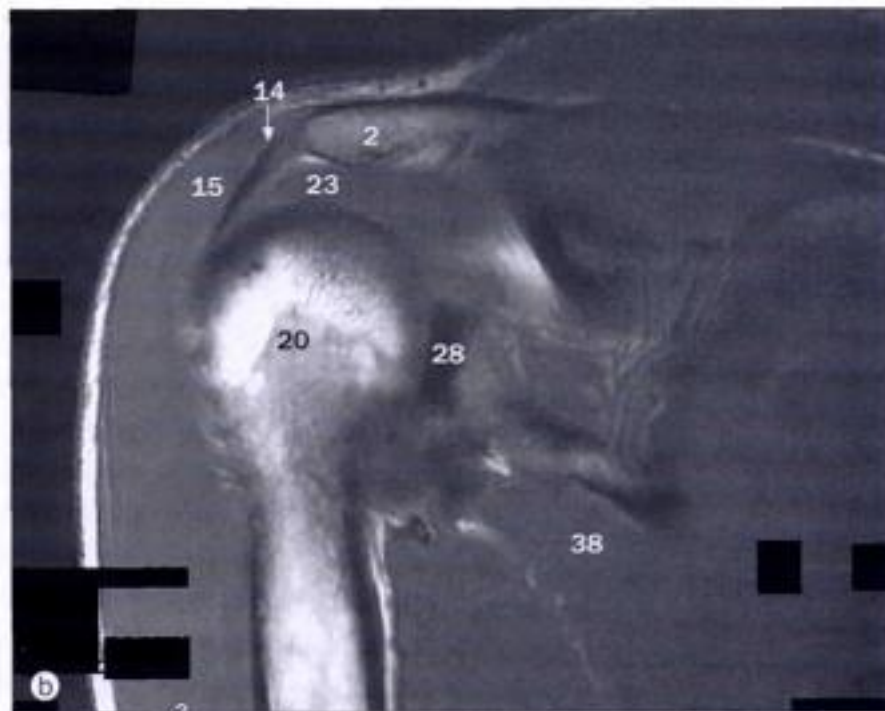
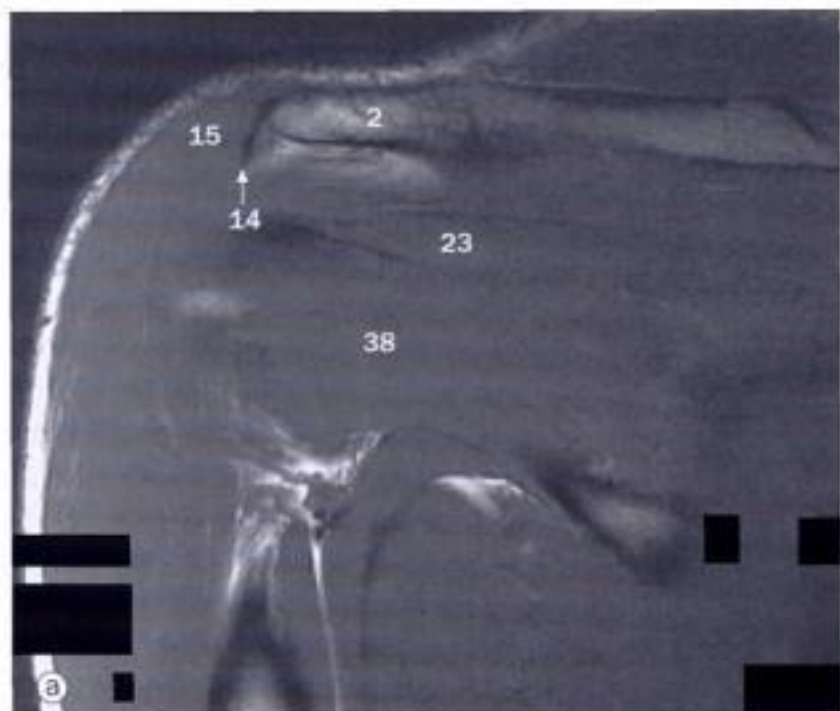
35 Bourrelet glénoïdal supérieur

36 Muscle supra-épineux

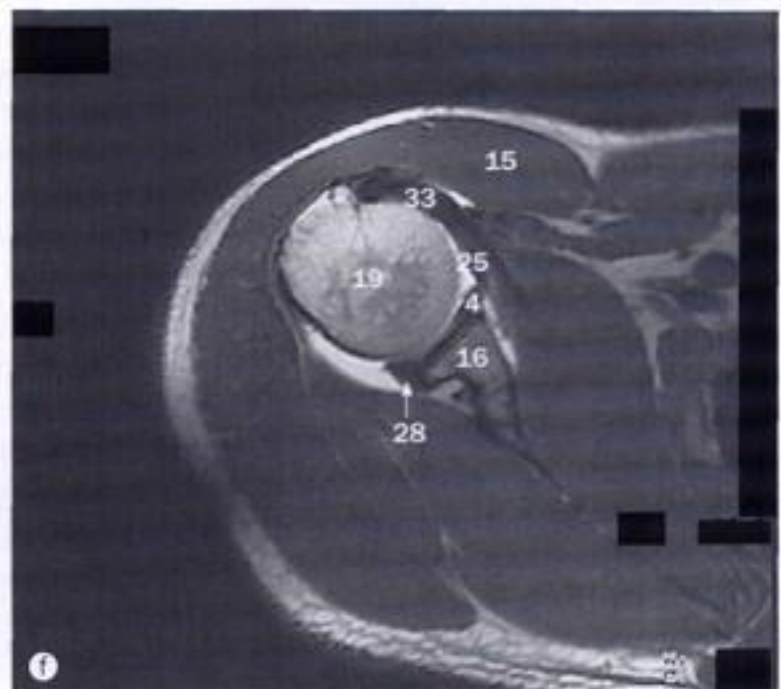
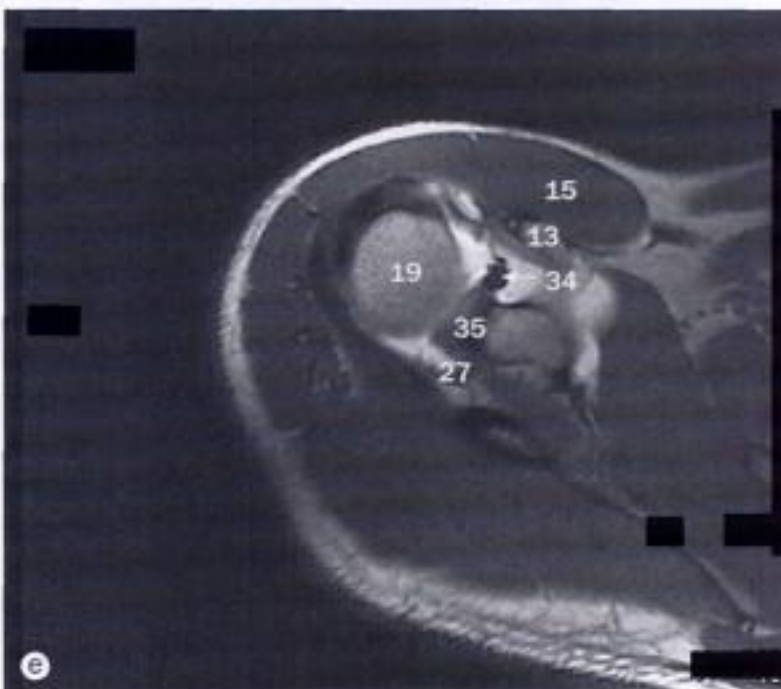
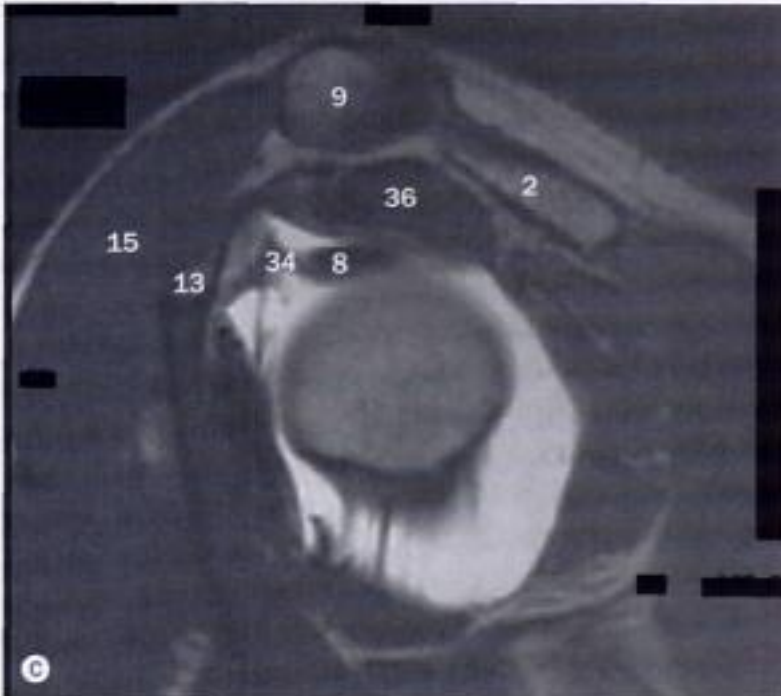
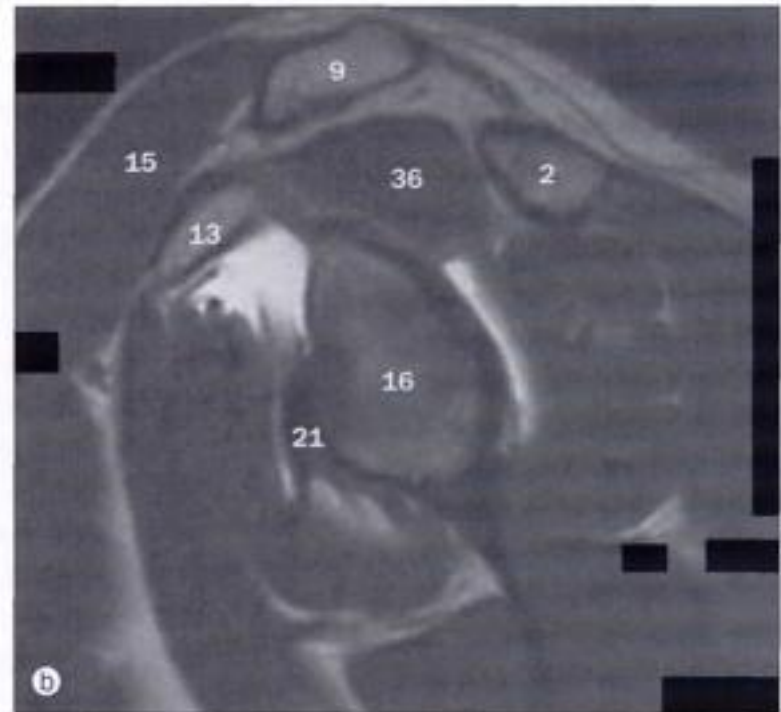
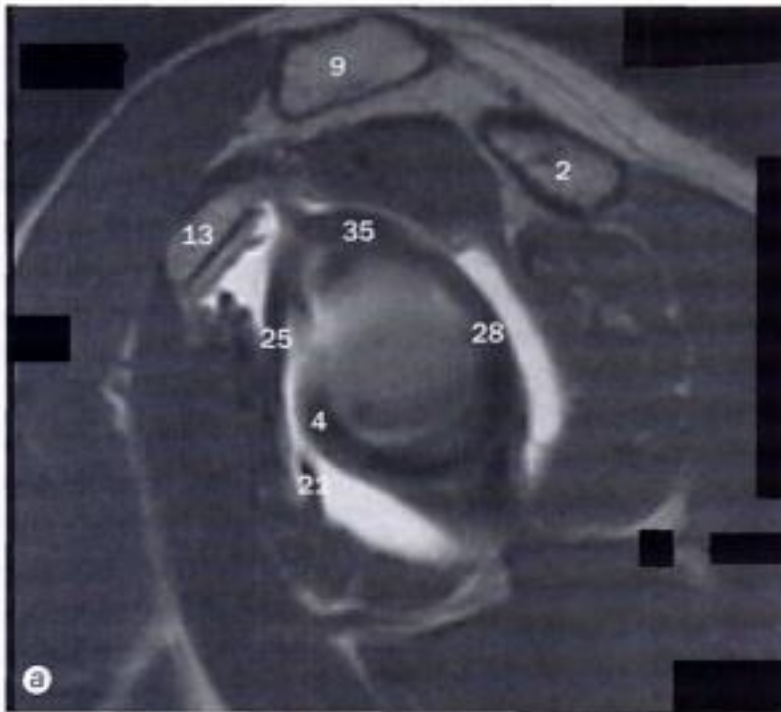
37 Tendon du muscle supra-épineux

38 Muscle petit rond

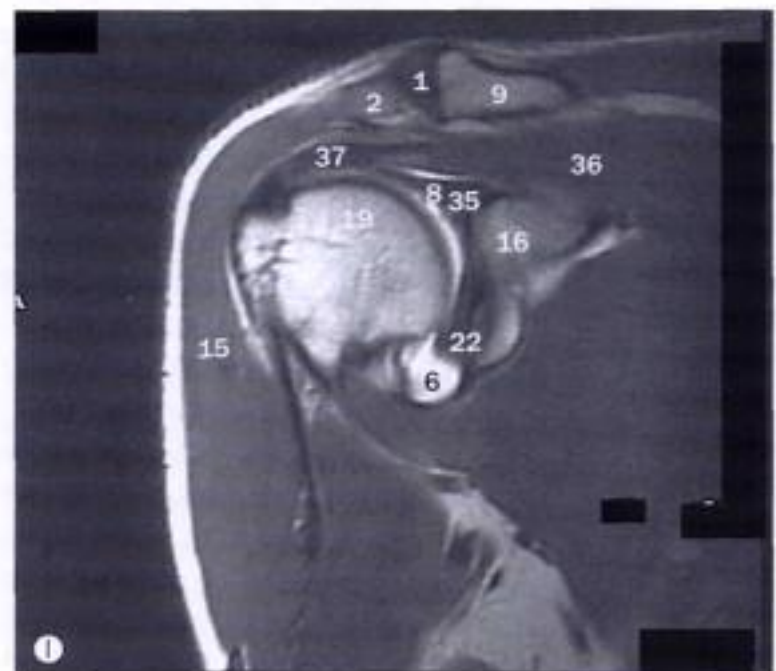
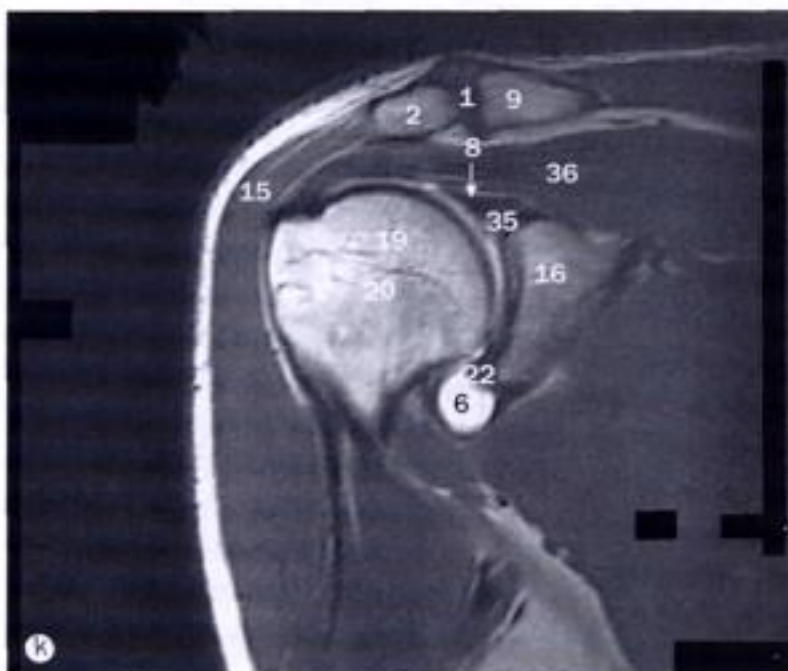
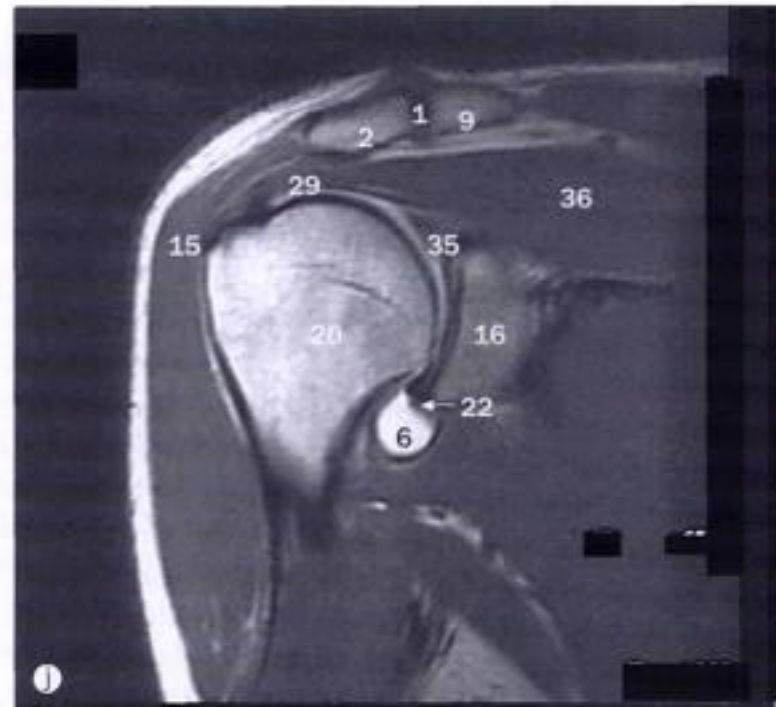
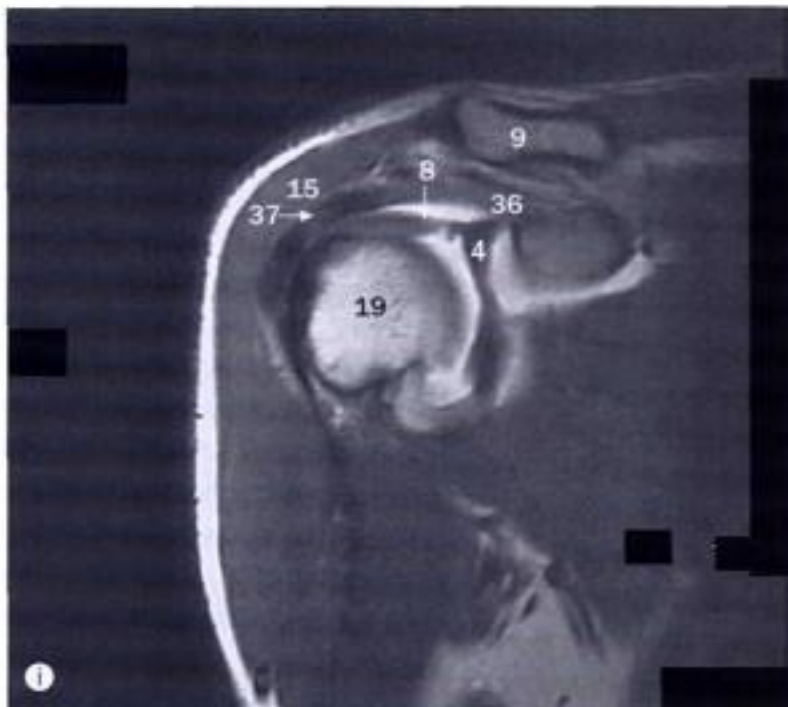
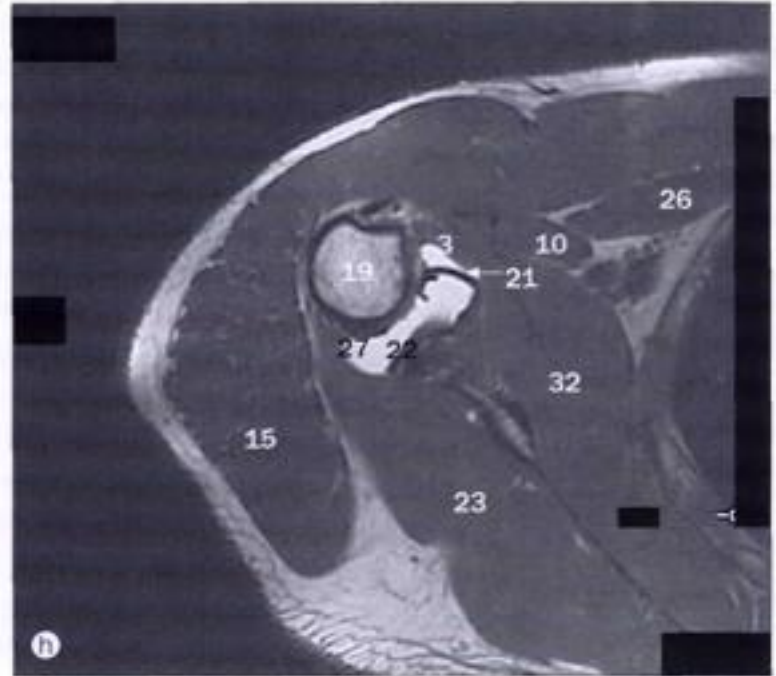
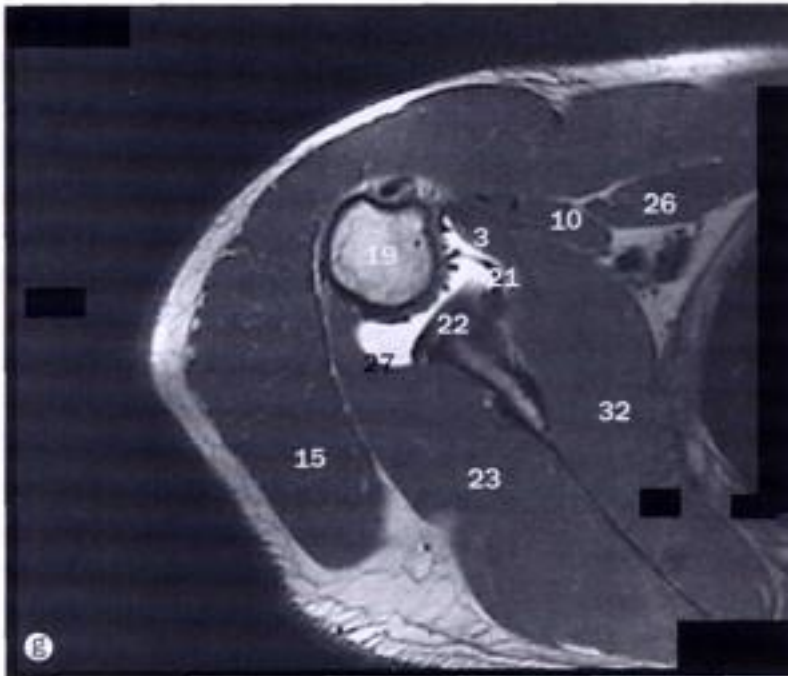
39 Muscle trapèze



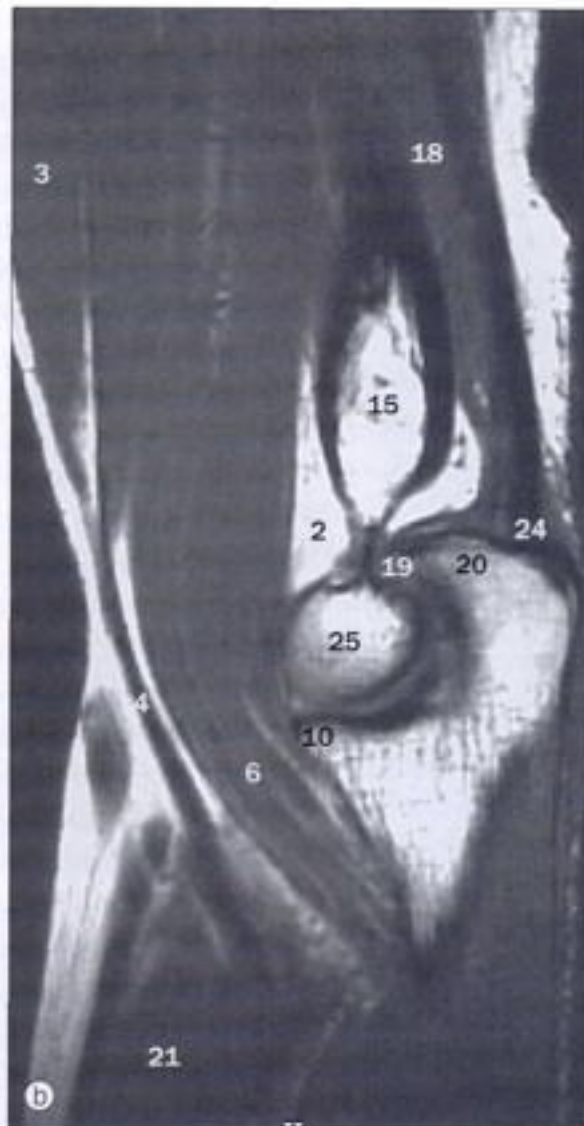
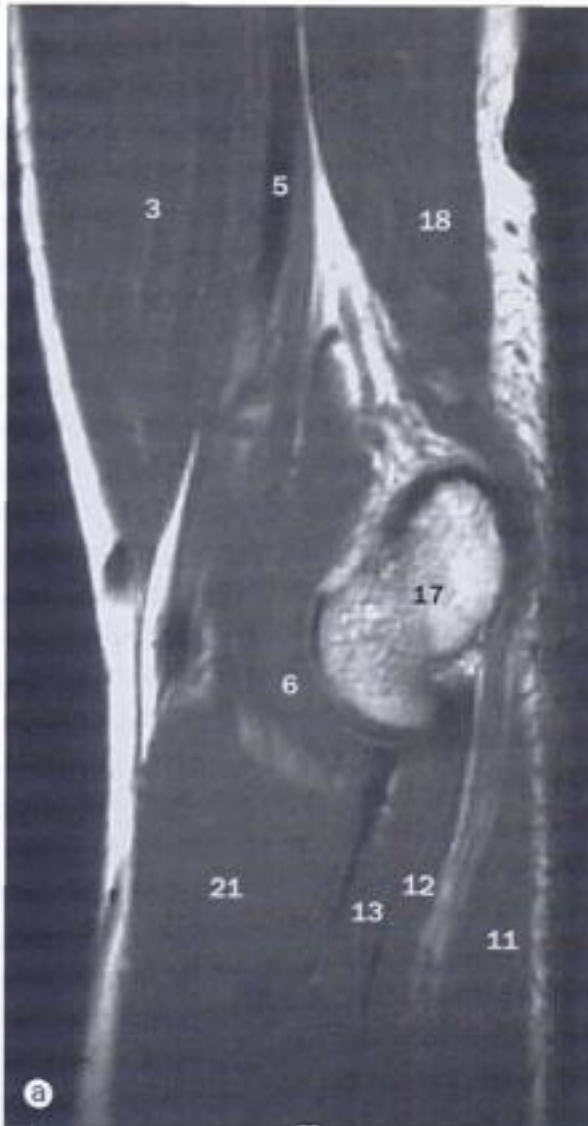
(a) - (f) IRM de l'épaule, coupes frontales (coronales) obliques. Voir pages 74 et 75 pour les légendes.



IRM de l'épaule, arthrographie après gadolinium, (a) - (d) coupes sagittales obliques, (e) - (h) coupes axiales, (i) - (l) coupes frontales (coronales) obliques. Voir pages 74 et 75 pour les légendes.

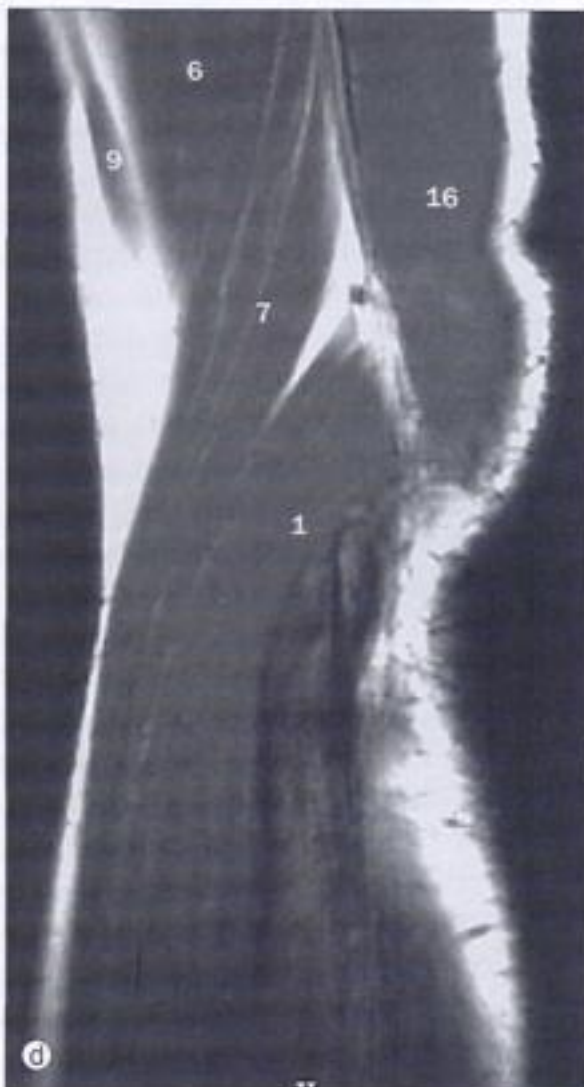
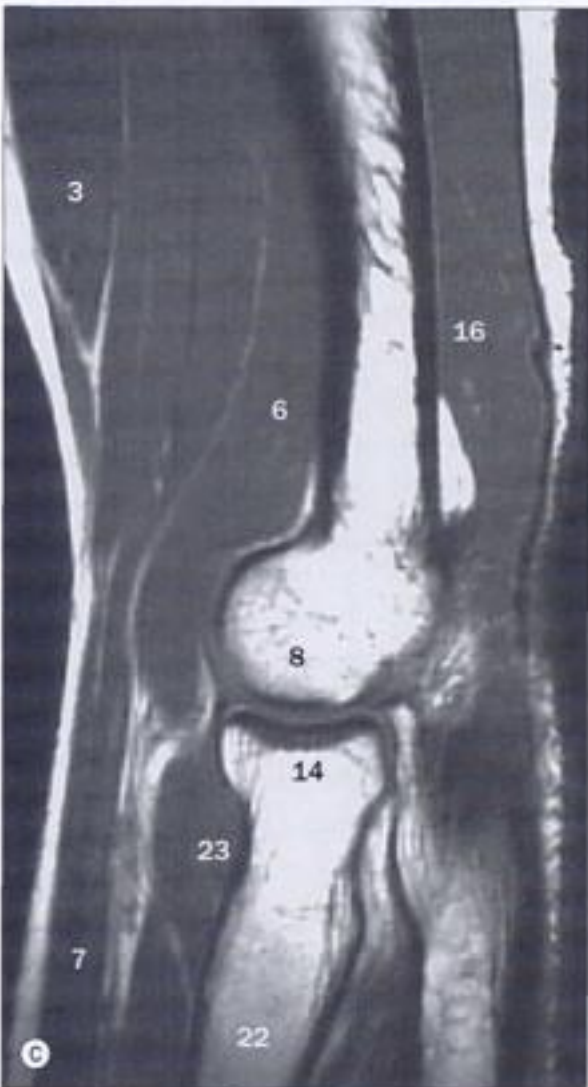


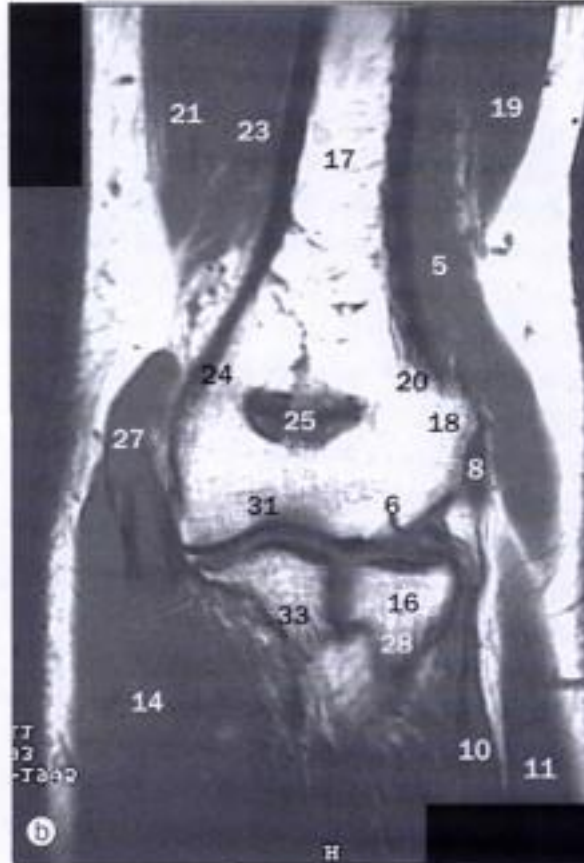
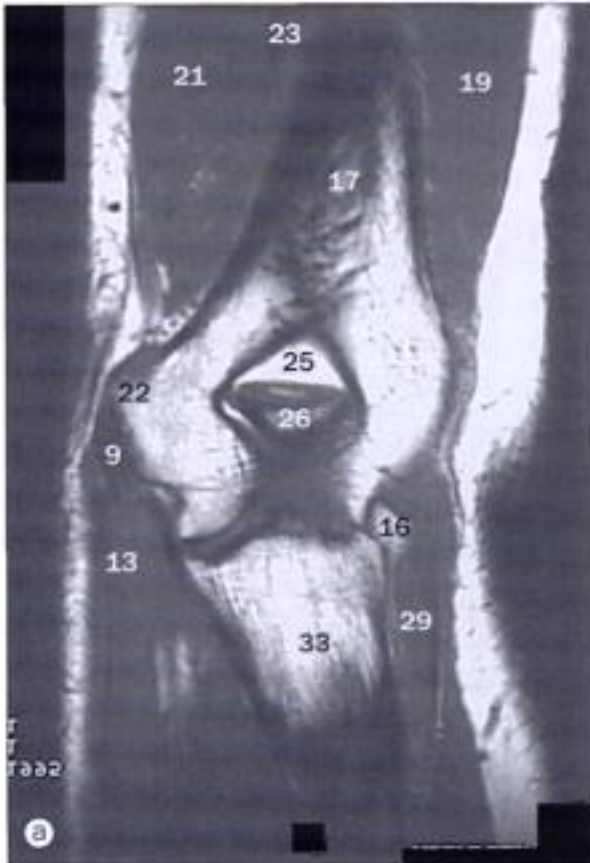
IRM de l'épaule, arthrographie après gadolinium, (g) et (h), coupes axiales, (i) - (l) coupes frontales (coronales) obliques. Voir pages 74 et 75 pour les légendes.



(a) - (d) IRM du coude, coupes sagittales.

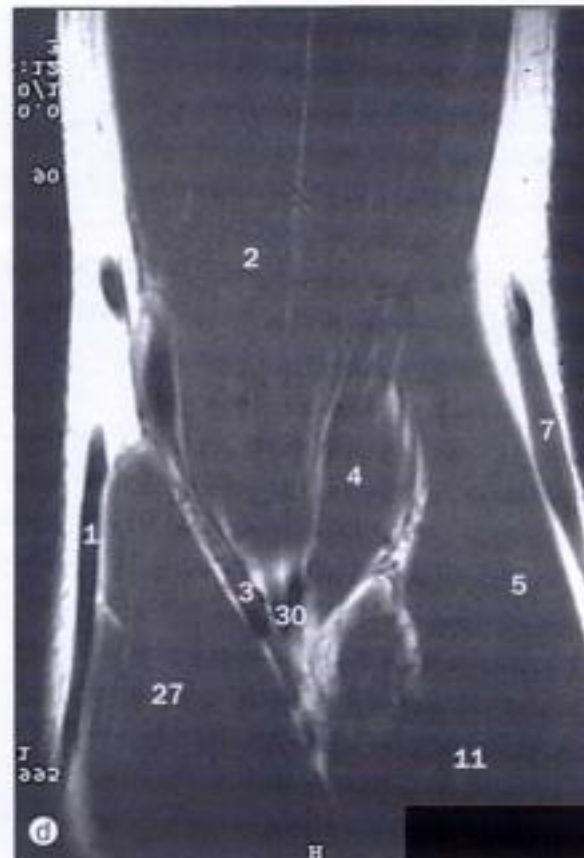
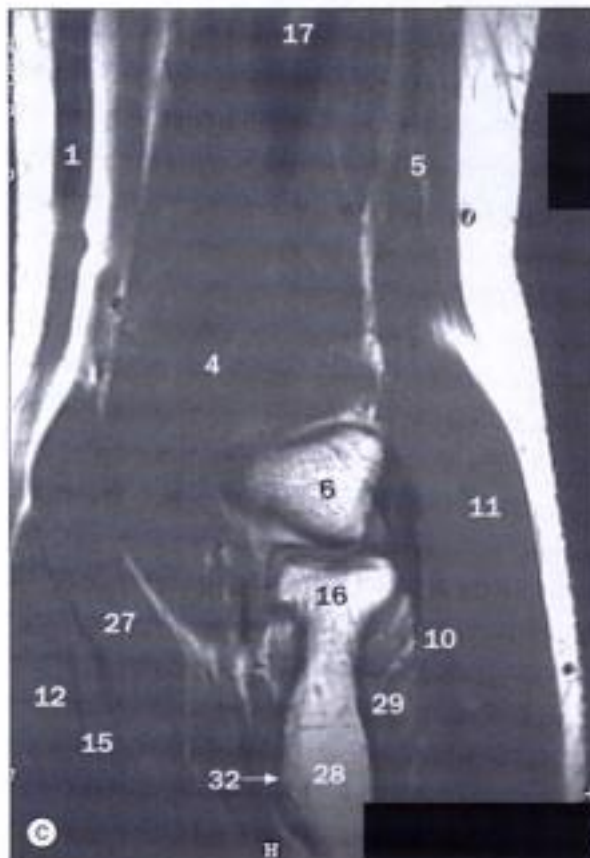
- 1 Muscle long abducteur du pouce
- 2 Paquet adipeux antérieur
- 3 Muscle biceps brachial
- 4 Tendon du muscle biceps brachial
- 5 Artère brachiale
- 6 Muscle brachial
- 7 Muscle brachio-radial
- 8 Capitulum de l'humérus
- 9 Veine céphalique
- 10 Processus coronoïde de l'ulna
- 11 Muscle fléchisseur ulnaire du carpe
- 12 Muscle fléchisseur profond des doigts
- 13 Muscle fléchisseur superficiel des doigts
- 14 Tête du radius
- 15 Humérus
- 16 Chef latéral du muscle triceps brachial
- 17 Épicondyle médial
- 18 Chef médial du muscle triceps brachial
- 19 Fosse olécrânienne de l'humérus
- 20 Olécrâne de l'ulna
- 21 Muscle rond pronateur
- 22 Radius
- 23 Muscle supinateur
- 24 Tendon du muscle triceps brachial
- 25 Trochlée de l'humérus

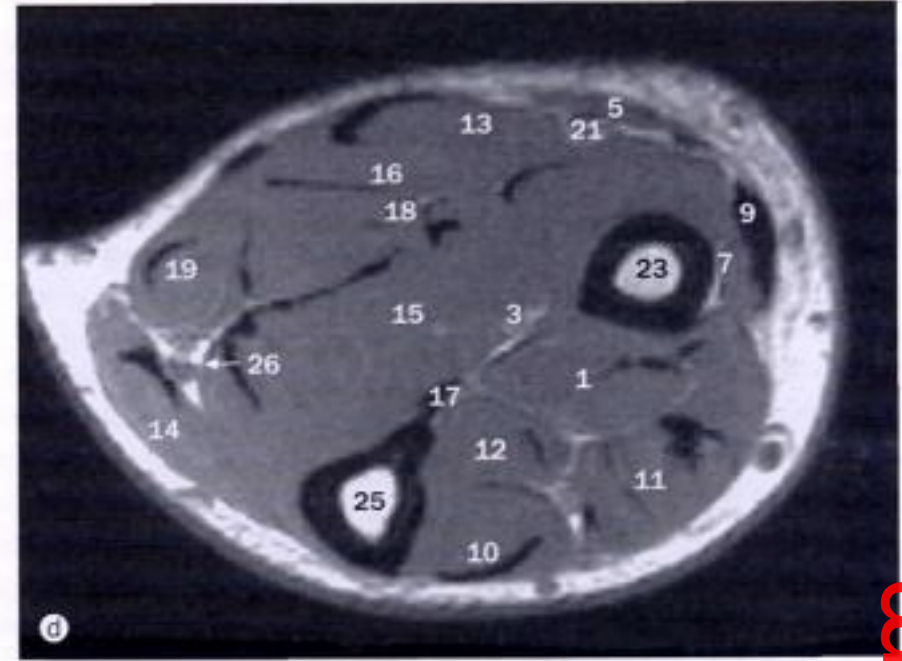
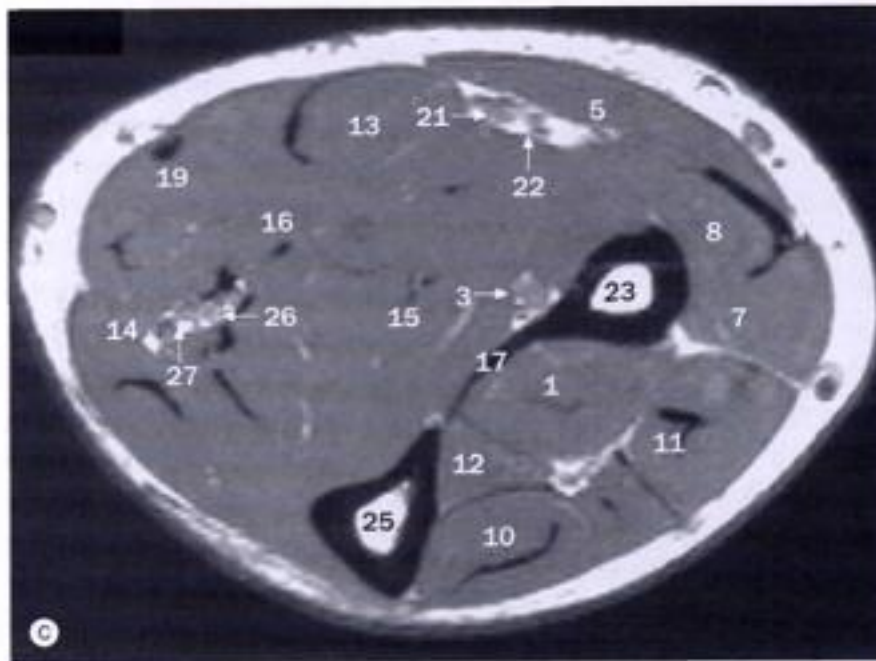
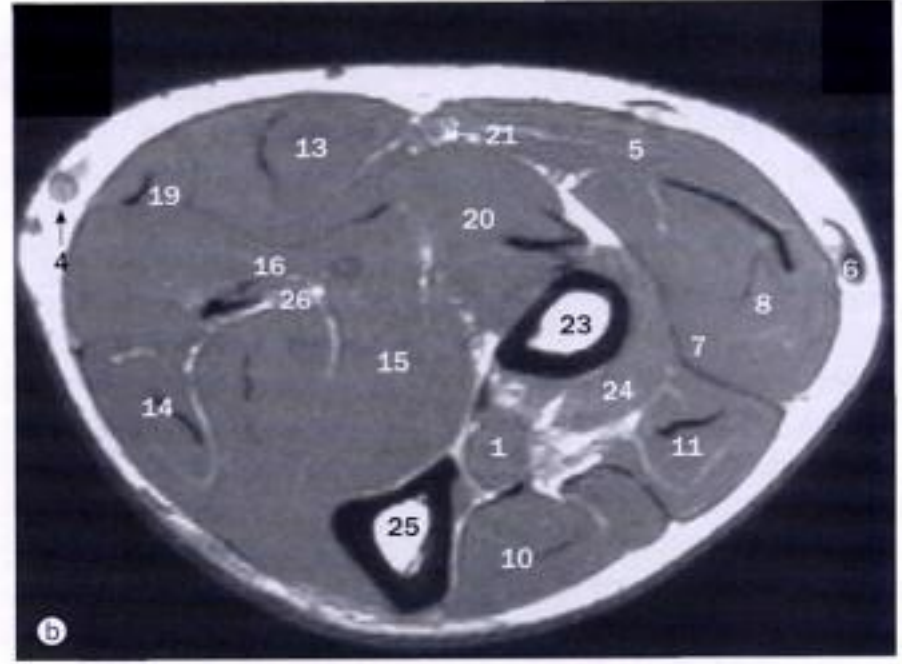
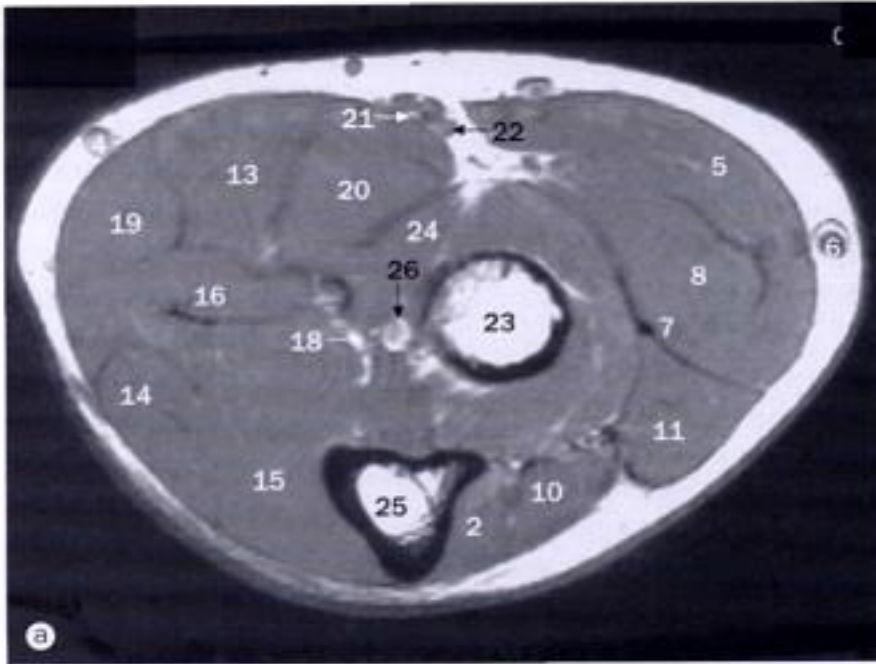




(a) - (d) IRM du coude, coupes frontales (coronales).

- 1 Veine basilique
- 2 Muscle biceps brachial
- 3 Artère brachiale
- 4 Muscle brachial
- 5 Muscle brachio-radial
- 6 Capitulum de l'humérus
- 7 Veine céphalique
- 8 Origine commune des extenseurs
- 9 Origine commune des fléchisseurs
- 10 Muscle court extenseur radial du carpe
- 11 Muscle long extenseur radial du carpe
- 12 Muscle fléchisseur radial du carpe
- 13 Muscle fléchisseur ulnaire du carpe
- 14 Muscle fléchisseur profond des doigts
- 15 Muscle fléchisseur superficiel des doigts
- 16 Tête du radius
- 17 Humérus
- 18 Épicondyle latéral
- 19 Chef latéral du muscle triceps brachial
- 20 Crête supracondylaire latérale
- 21 Chef long du muscle triceps brachial
- 22 Épicondyle médial
- 23 Chef médial du muscle triceps brachial
- 24 Crête supracondylaire médiale
- 25 Fosse olécrânienne de l'humérus
- 26 Olécrâne de l'ulna
- 27 Muscle rond pronateur
- 28 Radius
- 29 Muscle supinateur
- 30 Tendon du muscle biceps brachial
- 31 Trochlée de l'humérus
- 32 Tubérosité du radius
- 33 Ulna

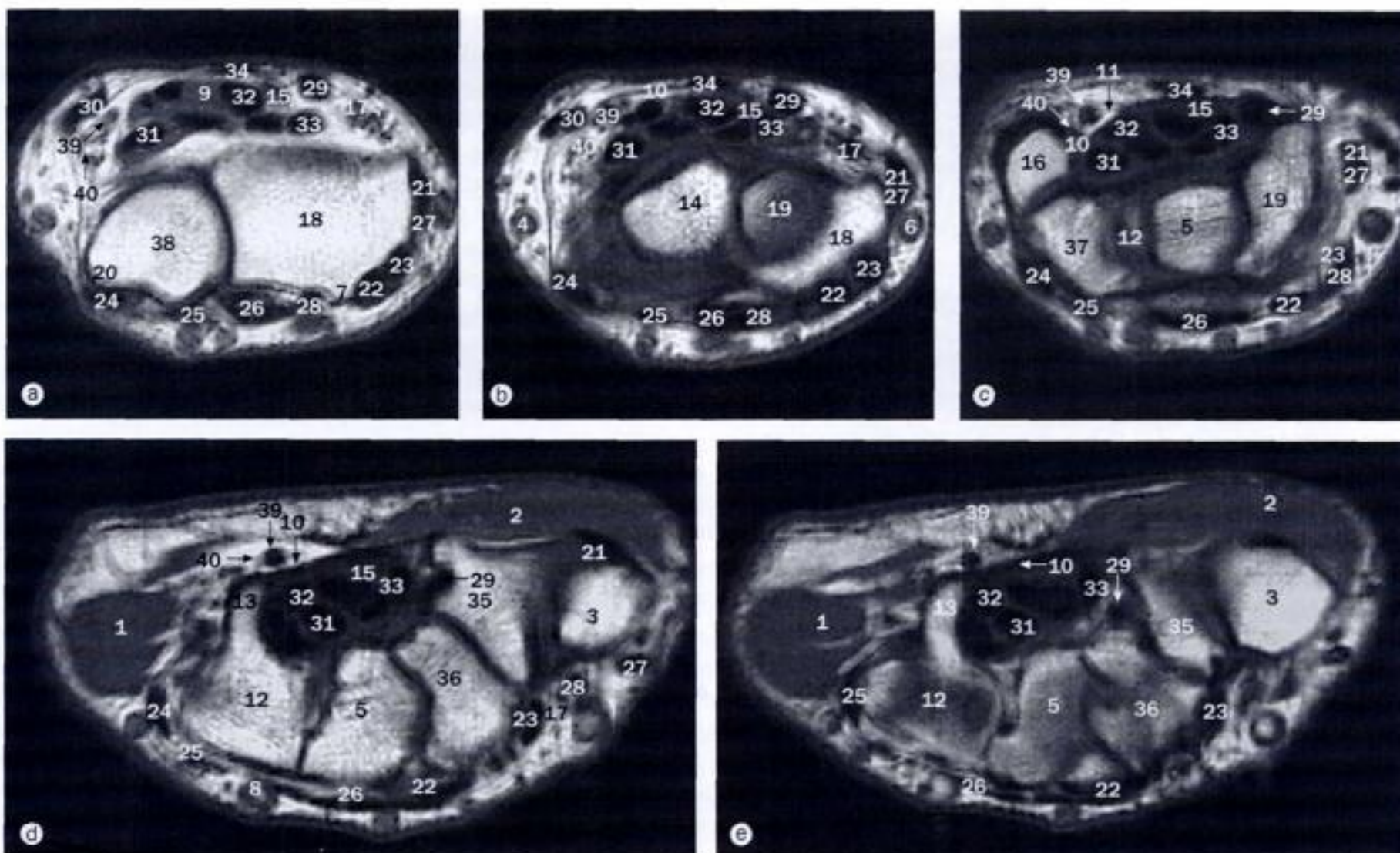




(a) - (d) IRM de l'avant-bras, coupes axiales.

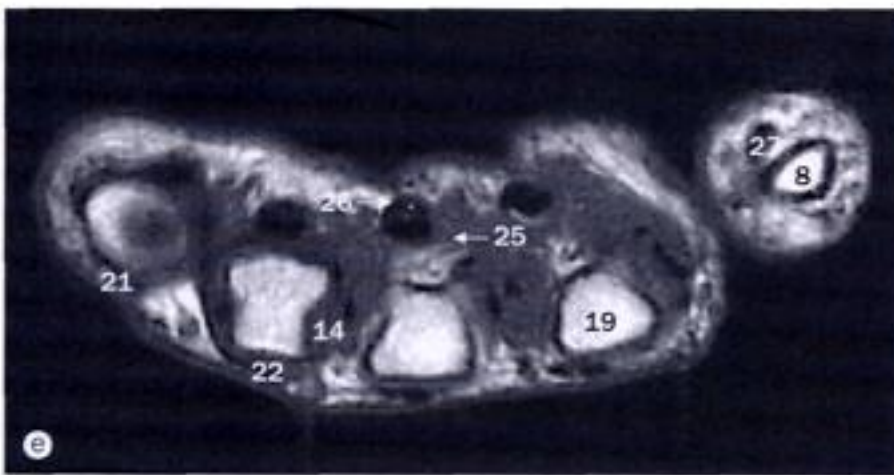
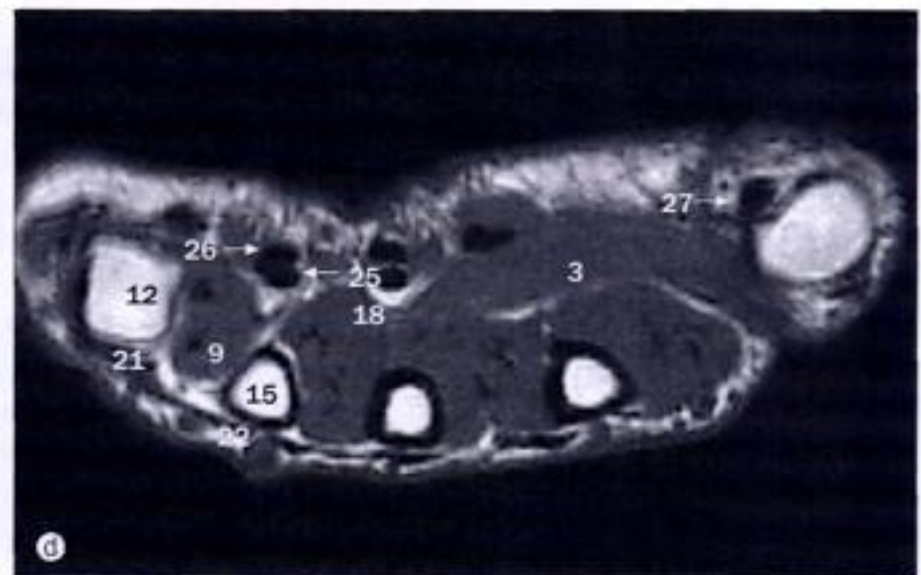
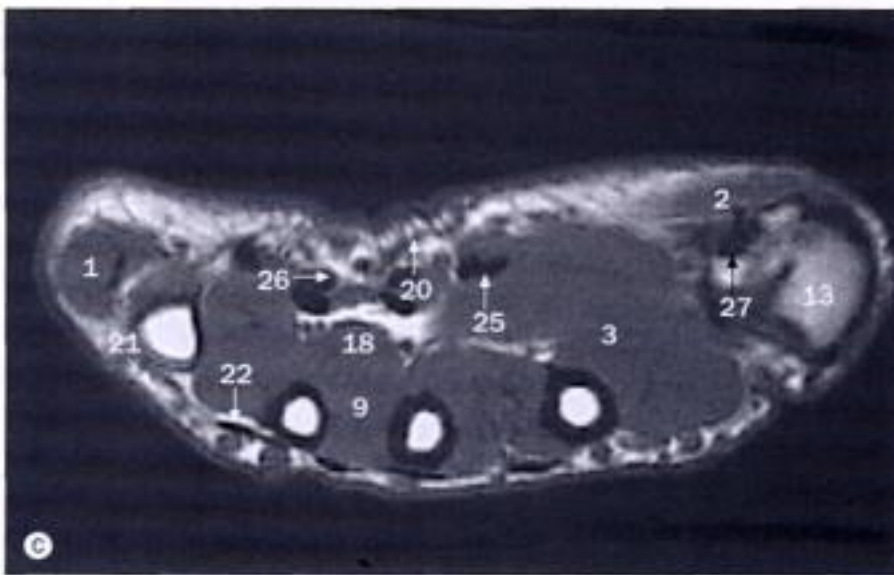
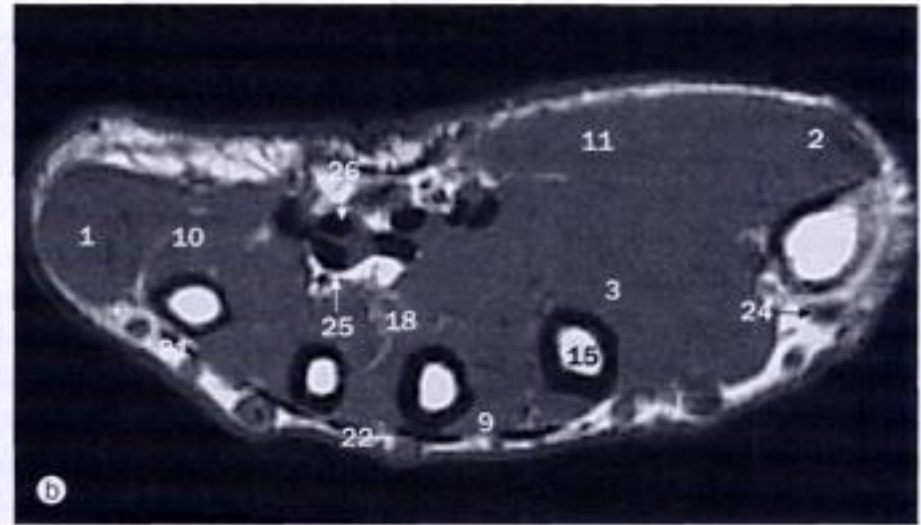
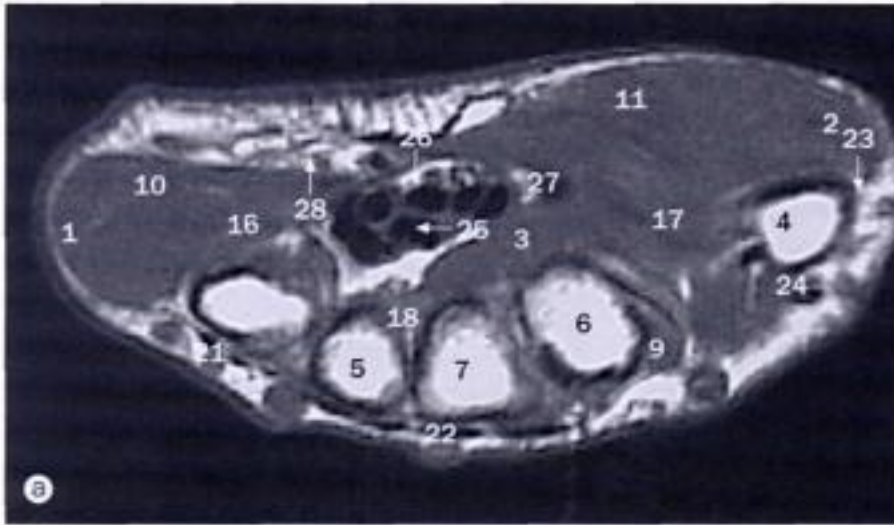
- 1 Muscle long abducteur du pouce
- 2 Muscle anconé
- 3 Artère interosseuse antérieure
- 4 Veine basilique
- 5 Muscle brachio-radial
- 6 Veine céphalique
- 7 Muscle court extenseur radial du carpe
- 8 Muscle long extenseur radial du carpe
- 9 Tendon du muscle long extenseur radial du carpe
- 10 Muscle extenseur ulnaire du carpe
- 11 Muscle extenseur des doigts
- 12 Muscle long extenseur du pouce
- 13 Muscle fléchisseur radial du carpe
- 14 Muscle fléchisseur ulnaire du carpe

- 15 Muscle fléchisseur profond des doigts
- 16 Muscle fléchisseur superficiel des doigts
- 17 Membrane interosseuse
- 18 Nerf médian
- 19 Muscle long palmaire
- 20 Muscle rond pronateur
- 21 Artère radiale
- 22 Nerf radial
- 23 Radius
- 24 Muscle supinateur
- 25 Ulna
- 26 Artère ulnaire
- 27 Nerf ulnaire



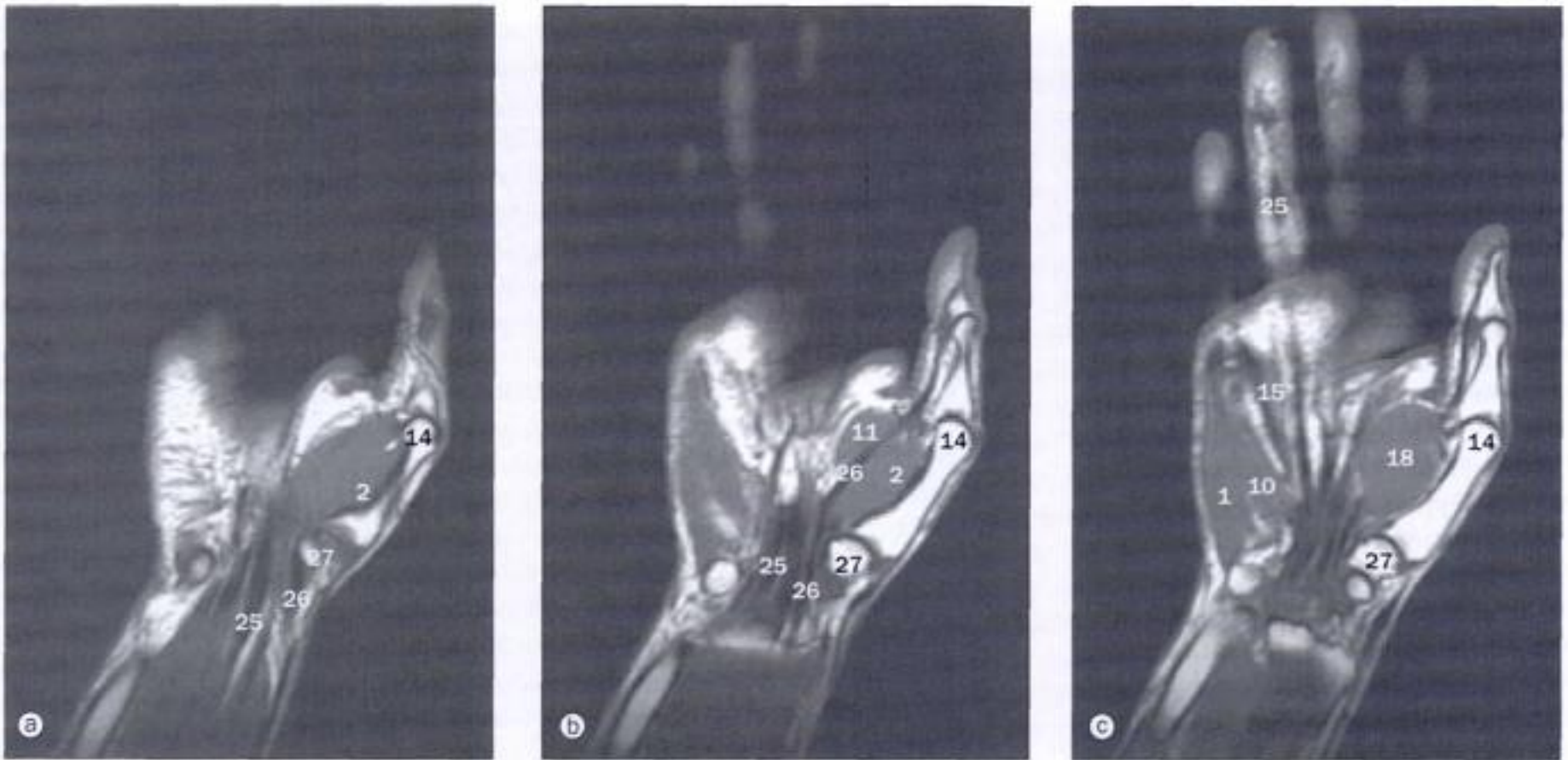
(a) - (e) IRM du poignet, coupes axiales.

- | | |
|---|--|
| 1 Muscle abducteur du petit doigt | 21 Tendon du muscle long abducteur du pouce |
| 2 Muscle court abducteur du pouce | 22 Tendon du muscle court extenseur radial du carpe |
| 3 Base du premier métacarpien | 23 Tendon du muscle long extenseur radial du carpe |
| 4 Veine basilique | 24 Tendon du muscle extenseur ulnaire du carpe |
| 5 Capitulatum | 25 Tendon du muscle extenseur du petit doigt |
| 6 Veine céphalique | 26 Tendon du muscle extenseur des doigts |
| 7 Tubercule dorsal du radius | 27 Tendon du muscle court extenseur du pouce |
| 8 Arcade veineuse dorsale | 28 Tendon du muscle long extenseur du pouce |
| 9 Muscle fléchisseur superficiel des doigts | 29 Tendon du muscle fléchisseur radial du carpe |
| 10 Rétinaculum des fléchisseurs | 30 Tendon du muscle fléchisseur ulnaire du carpe |
| 11 Canal de Guyon | 31 Tendon du muscle fléchisseur profond des doigts |
| 12 Os crochu | 32 Tendon du muscle fléchisseur superficiel des doigts |
| 13 Crochet de l'os crochu | 33 Tendon du muscle long fléchisseur du pouce |
| 14 Lunatum | 34 Tendon du muscle long palmaire |
| 15 Nerf médian | 35 Trapèze |
| 16 Pisiforme | 36 Trapézoïde |
| 17 Artère radiale | 37 Triquetrum |
| 18 Radius | 38 Ulna |
| 19 Scaphoïde | 39 Artère ulnaire |
| 20 Processus styloïde de l'ulna | 40 Nerf ulnaire |



(a) - (e) IRM de la main, coupes axiales.

- | | |
|--------------------------------------|--|
| 1 Muscle abducteur du petit doigt | 17 Muscle opposant du pouce |
| 2 Muscle court abducteur du pouce | 18 Muscles interosseux palmaires |
| 3 Muscle adducteur du pouce | 19 Phalange proximale de l'index |
| 4 Base du premier métacarpien | 20 Arcade palmaire superficielle |
| 5 Base du quatrième métacarpien | 21 Tendon du muscle extenseur du petit doigt |
| 6 Base du deuxième métacarpien | 22 Tendon du muscle extenseur des doigts |
| 7 Base du troisième métacarpien | 23 Tendon du muscle court extenseur du pouce |
| 8 Phalange distale du pouce | 24 Tendon du muscle long extenseur du pouce |
| 9 Muscles interosseux dorsaux | 25 Tendon du muscle fléchisseur profond des doigts |
| 10 Muscle fléchisseur du petit doigt | 26 Tendon du muscle fléchisseur superficiel des doigts |
| 11 Muscle court fléchisseur du pouce | 27 Tendon du muscle long fléchisseur du pouce |
| 12 Tête du cinquième métacarpien | 28 Artère ulnaire |
| 13 Tête du premier métacarpien | |
| 14 Muscle lombrical | |
| 15 Corps du métacarpien | |
| 16 Muscle opposant du petit doigt | |



(a) - (h) IRM de la main, coupes frontales (coronales).

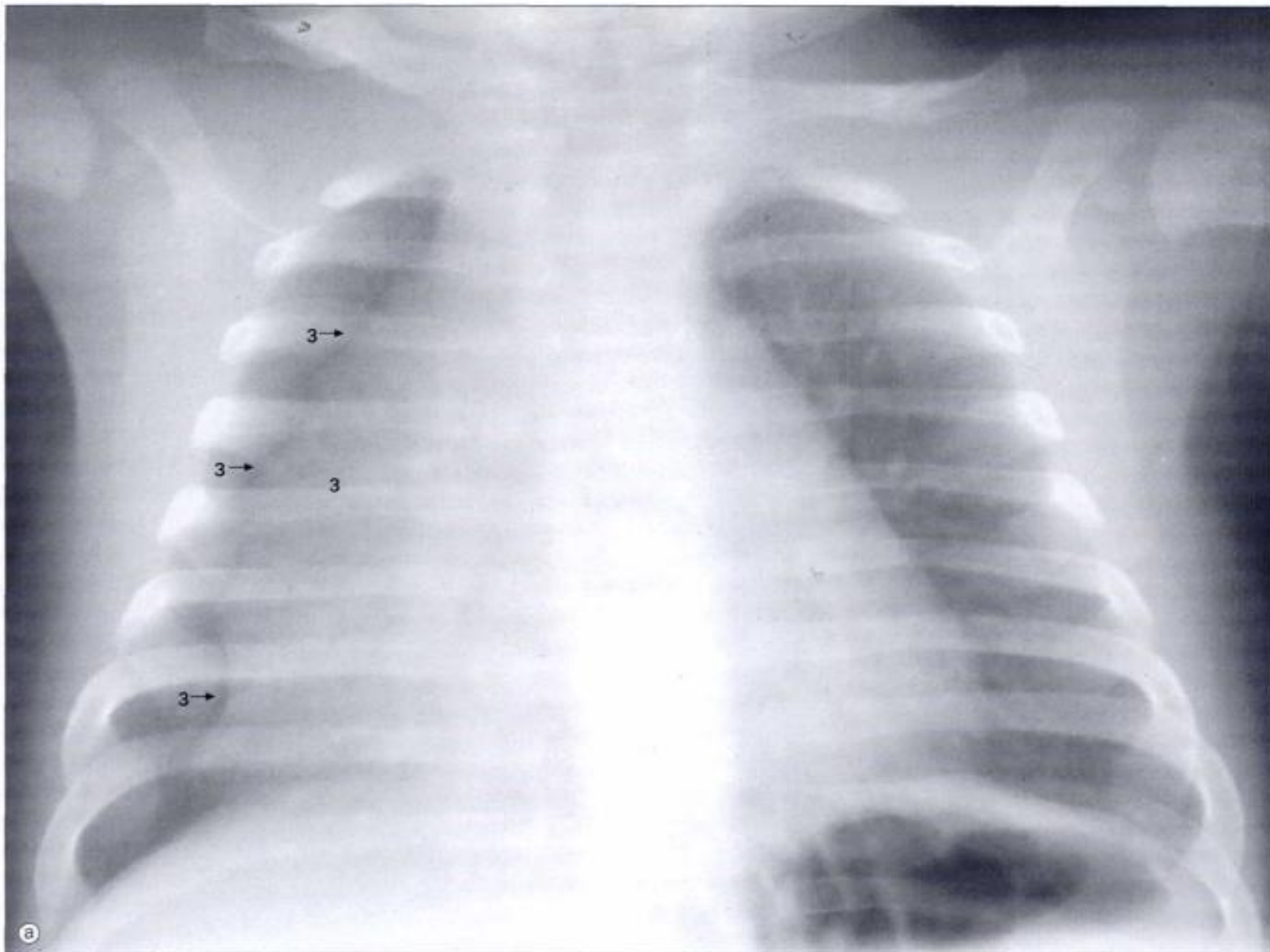
- | | |
|--------------------------------------|--|
| 1 Muscle abducteur du petit doigt | 15 Muscle lombrical |
| 2 Muscle court abducteur du pouce | 16 Phalange moyenne |
| 3 Muscle adducteur du pouce | 17 Muscle opposant du petit doigt |
| 4 Base de la phalange proximale | 18 Muscle opposant du pouce |
| 5 Capitulatum | 19 Muscles interosseux palmaires |
| 6 Artère digitale palmaire commune | 20 Artère digitale propre palmaire |
| 7 Arcade palmaire profonde | 21 Phalange proximale du pouce |
| 8 Phalange distale du pouce | 22 Corps de la phalange proximale |
| 9 Muscles Interosseux dorsaux | 23 Tendon du muscle long extenseur du pouce |
| 10 Muscle fléchisseur du petit doigt | 24 Tendon du muscle fléchisseur profond des doigts |
| 11 Muscle court fléchisseur du pouce | 25 Tendon du muscle fléchisseur superficiel des doigts |
| 12 Os crochu | 26 Tendon du muscle long fléchisseur du pouce |
| 13 Tête du cinquième métacarpien | 27 Trapèze |
| 14 Tête du premier métacarpien | 28 Trapézoïde |



(d) - (h) IRM de la main, coupes frontales (coronales). Voir page 85 pour les légendes.

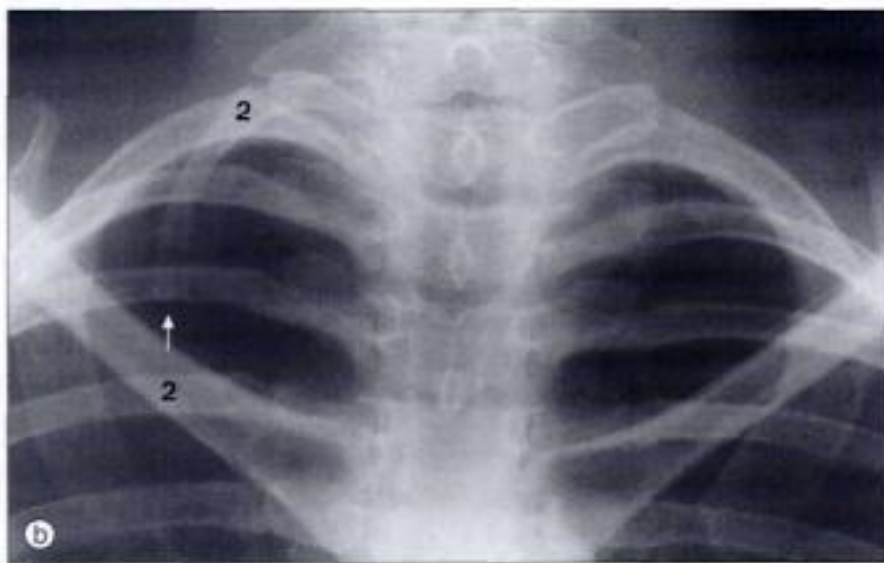
4

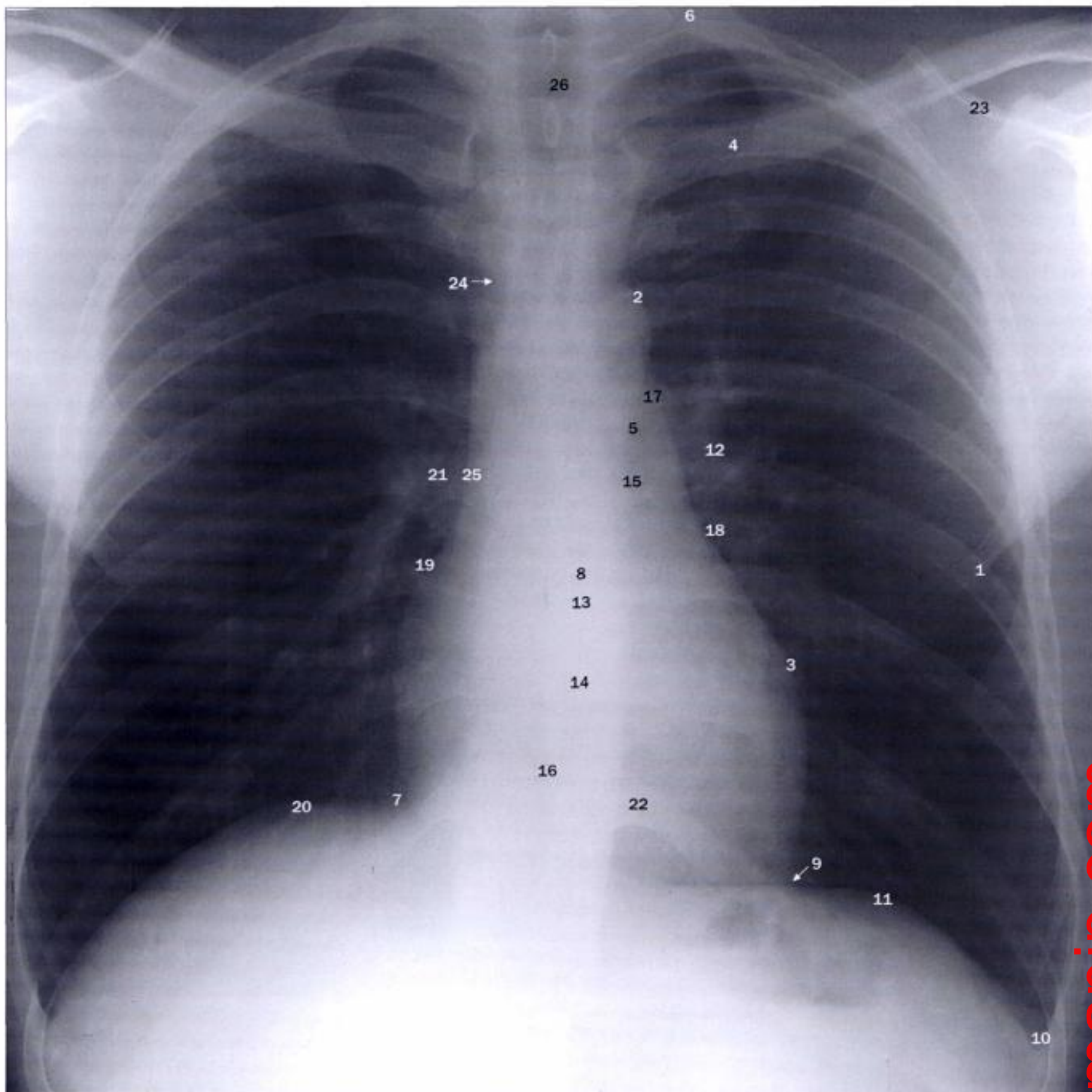
Thorax



(a) Radiographie du thorax d'un enfant de 4 mois, projection antéro-postérieure. **(b)** Côte cervicale chez un adulte, projection antéro-postérieure. **(c)** Scissure azygos chez un adulte, projection antéro-postérieure.

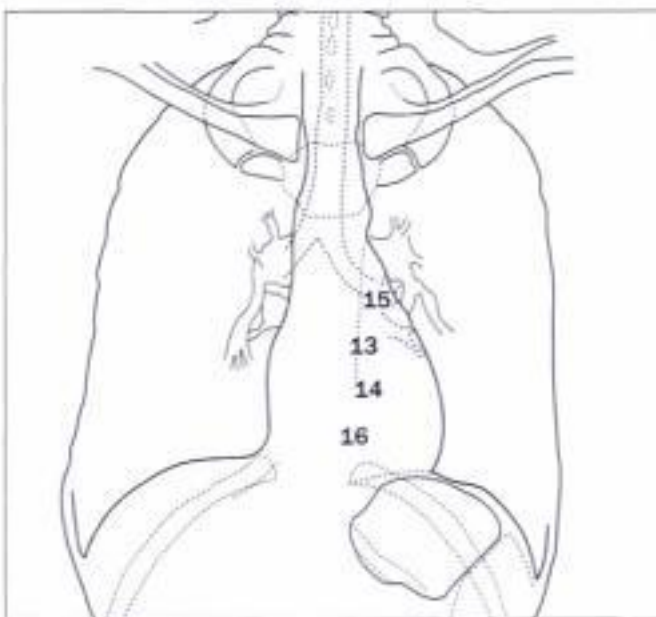
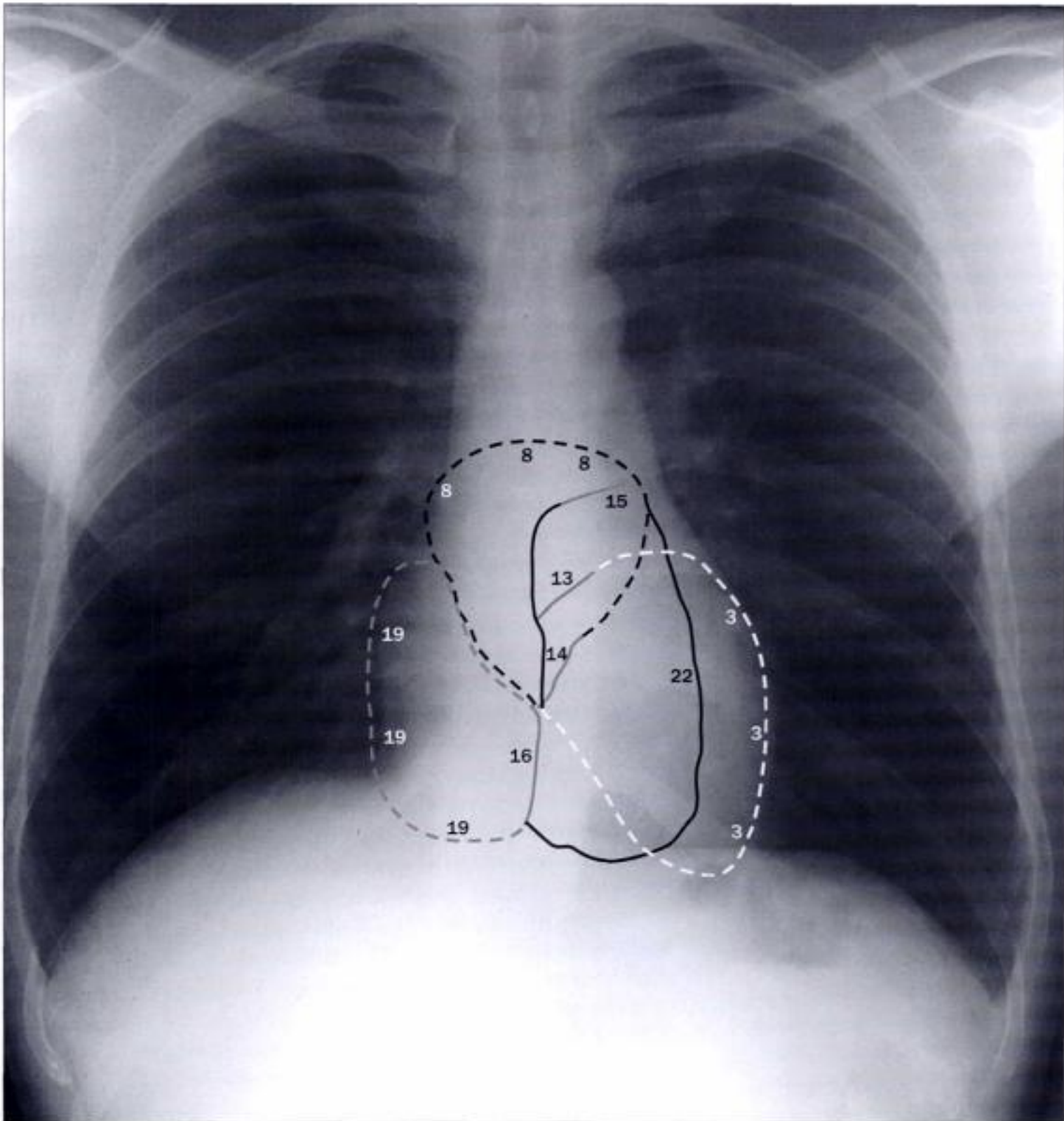
- 1 Scissure azygos
- 2 Côte cervicale
- 3 Thymus

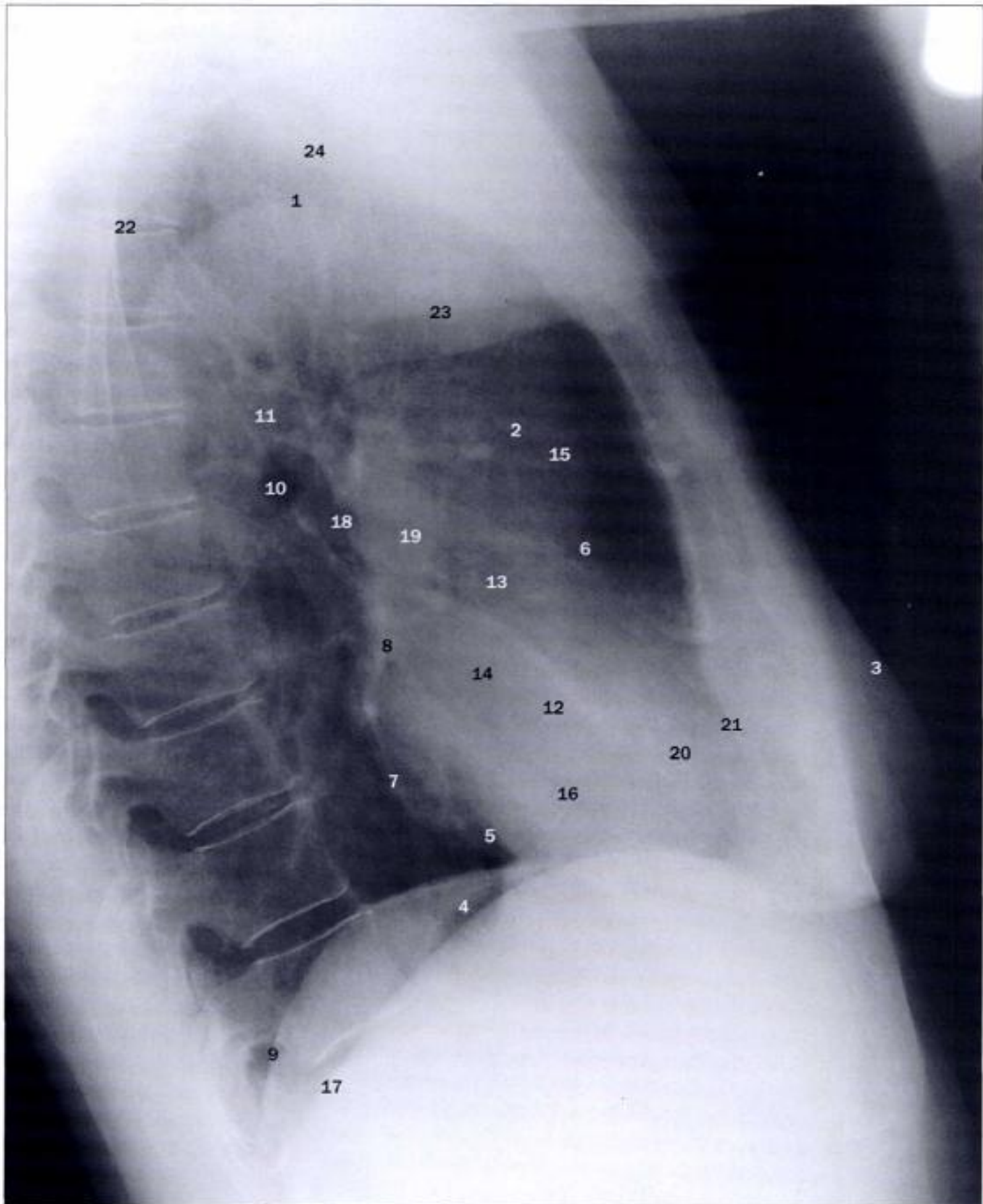




Radiographie du thorax d'un homme adulte, projection antéro-postérieure.

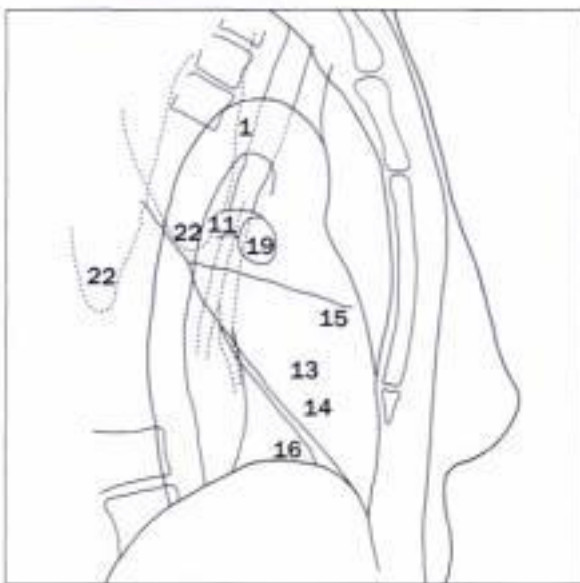
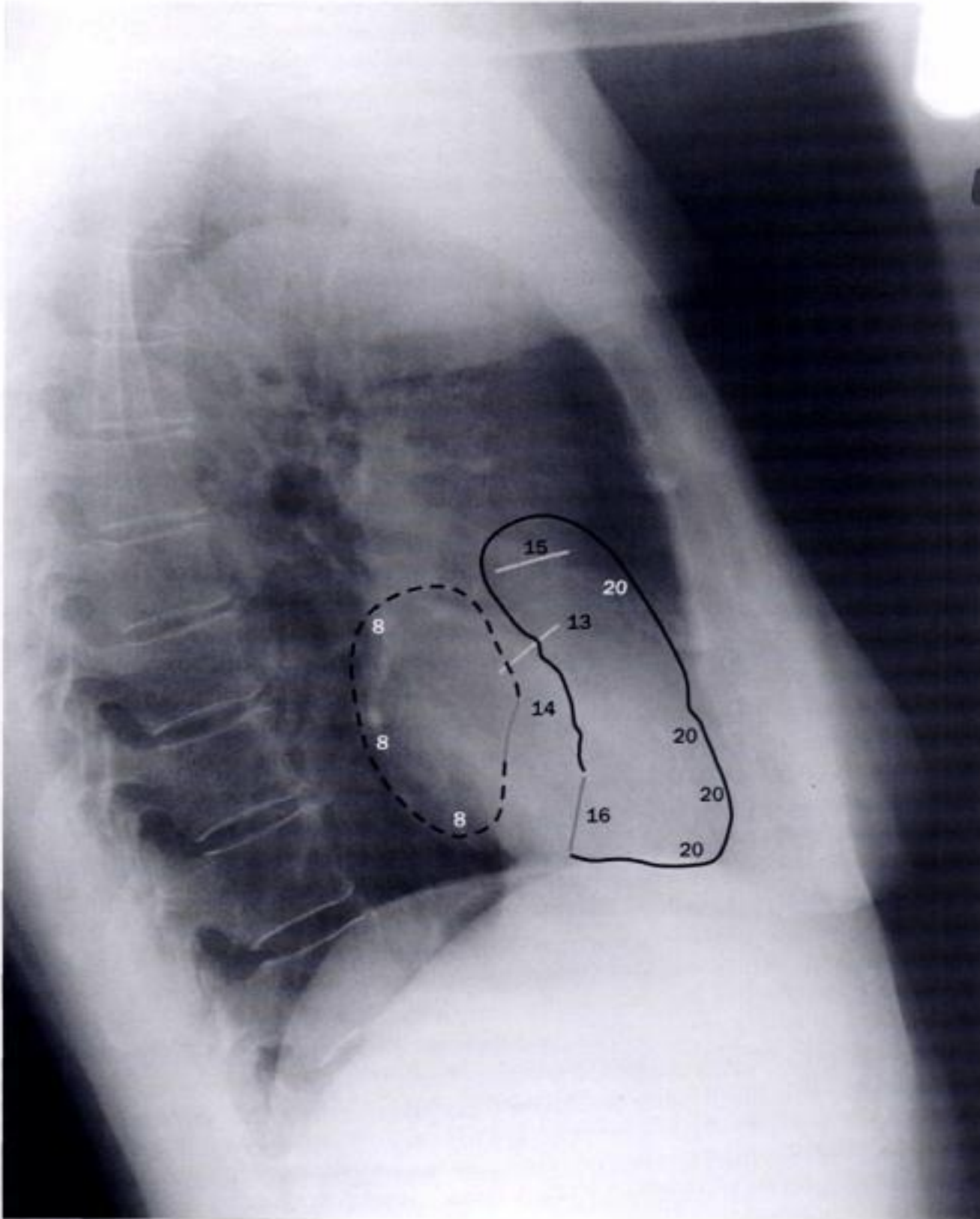
- | | | |
|---------------------------------------|---|---------------------------------|
| 1 Pli axillaire antérieur | 11 Coupole gauche du diaphragme | 20 Coupole droite du diaphragme |
| 2 Arc (crosse) de l'aorte | 12 Artère pulmonaire gauche | 21 Artère pulmonaire droite |
| 3 Bord du ventricule gauche | 13 Situation de la valve aortique | 22 Ventricule droit |
| 4 Clavicule | 14 Situation de la valve mitrale | 23 Épine scapulaire |
| 5 Aorte descendante | 15 Situation de la valve pulmonaire | 24 Sternum |
| 6 Première côte | 16 Situation de la valve tricuspide | 25 Veine cave supérieure |
| 7 Veine cave inférieure | 17 Tronc pulmonaire | 26 Trachée |
| 8 Oreillette gauche | 18 Région de la pointe de l'auricule de l'oreillette gauche | |
| 9 Angle cardio-phrénique gauche | 19 Bord atrial droit | |
| 10 Angle costo-diaphragmatique gauche | | |

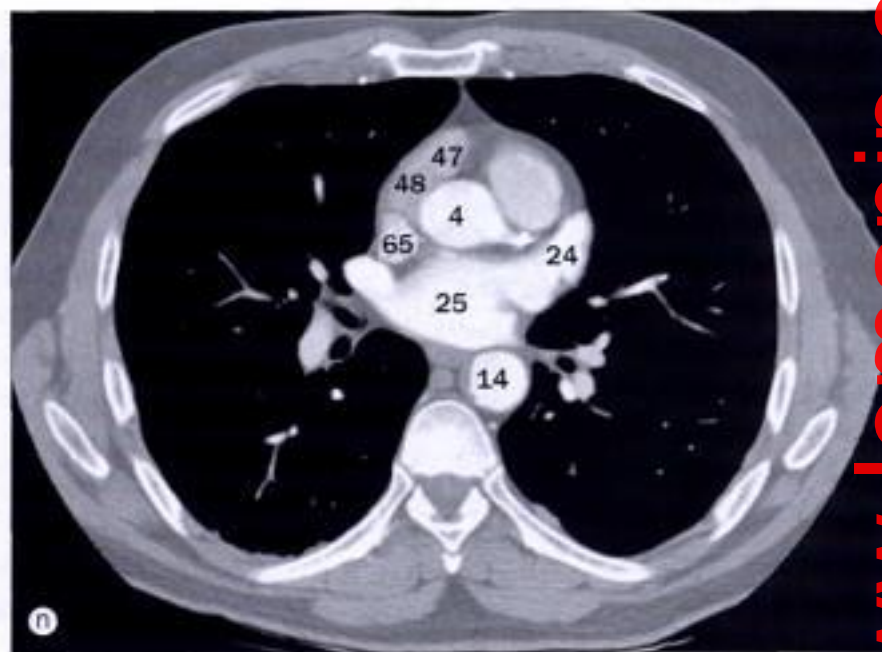
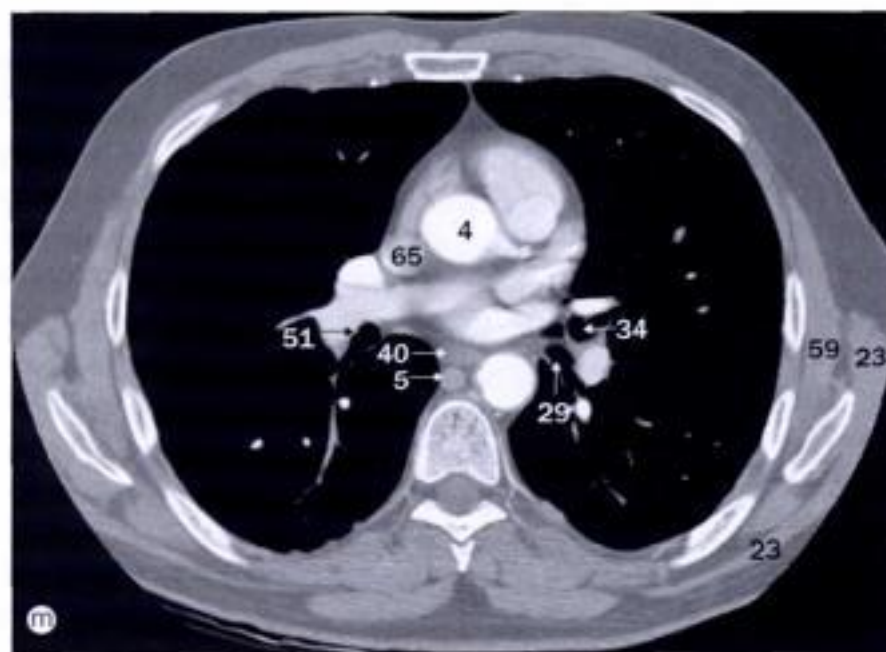
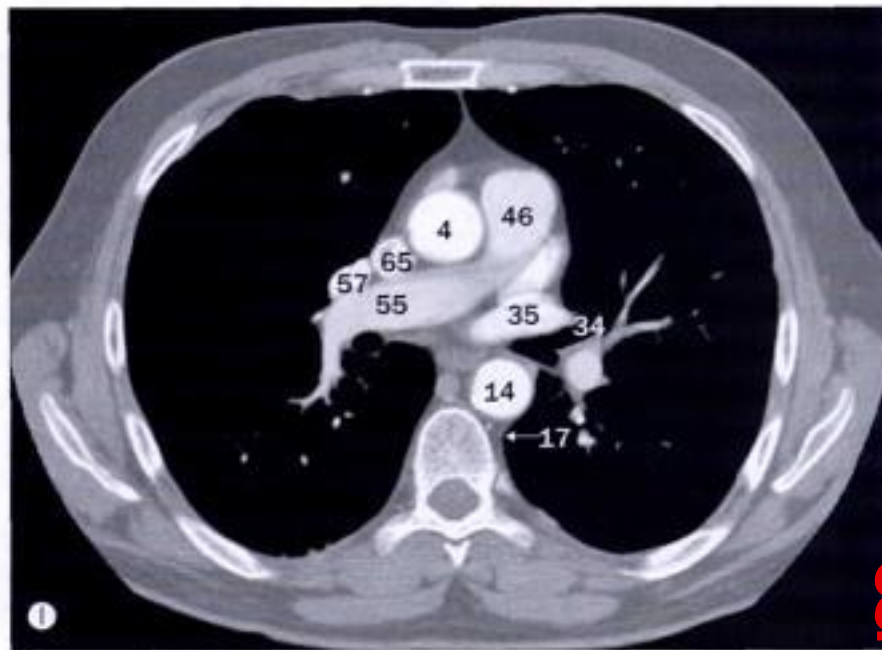
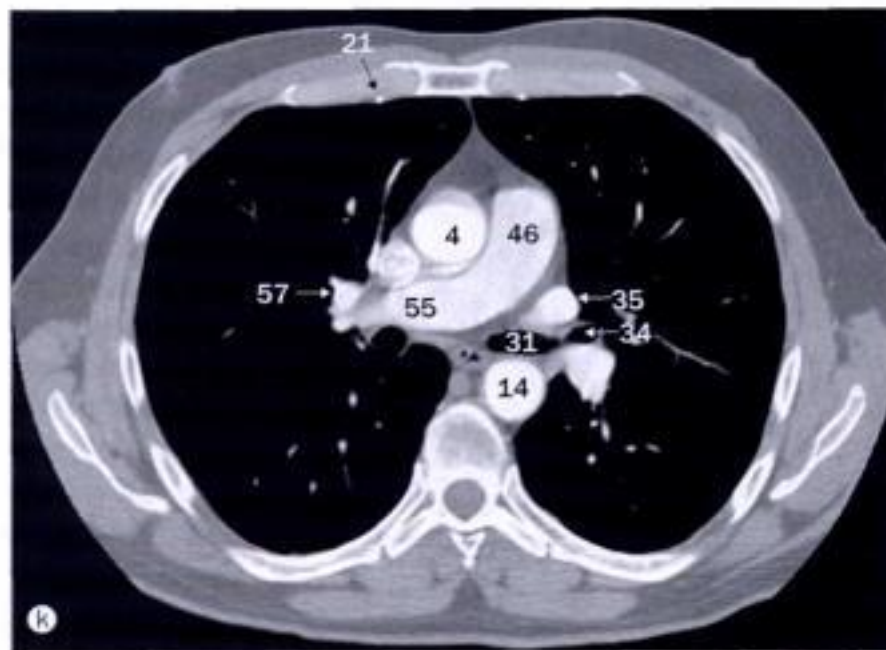
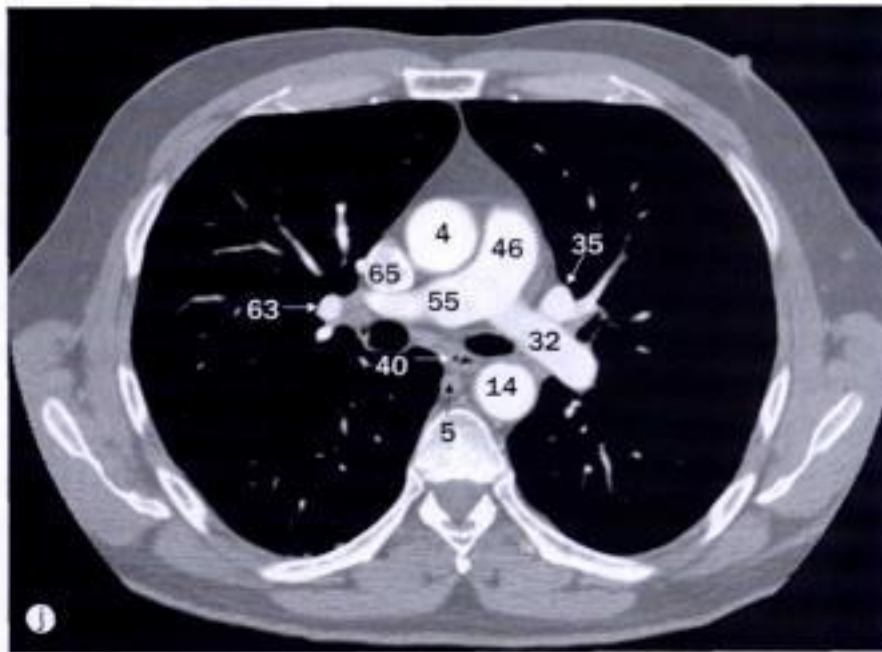
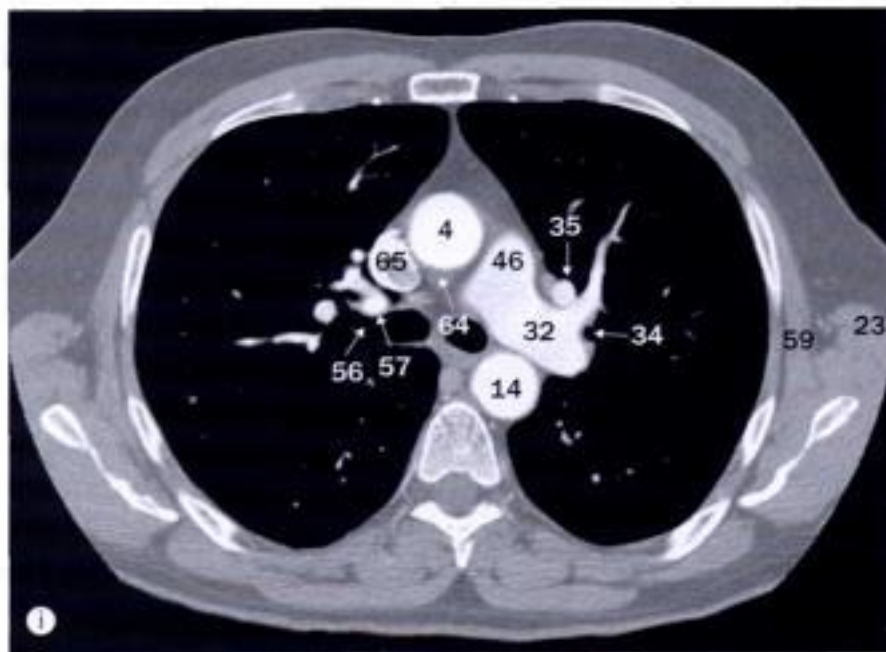




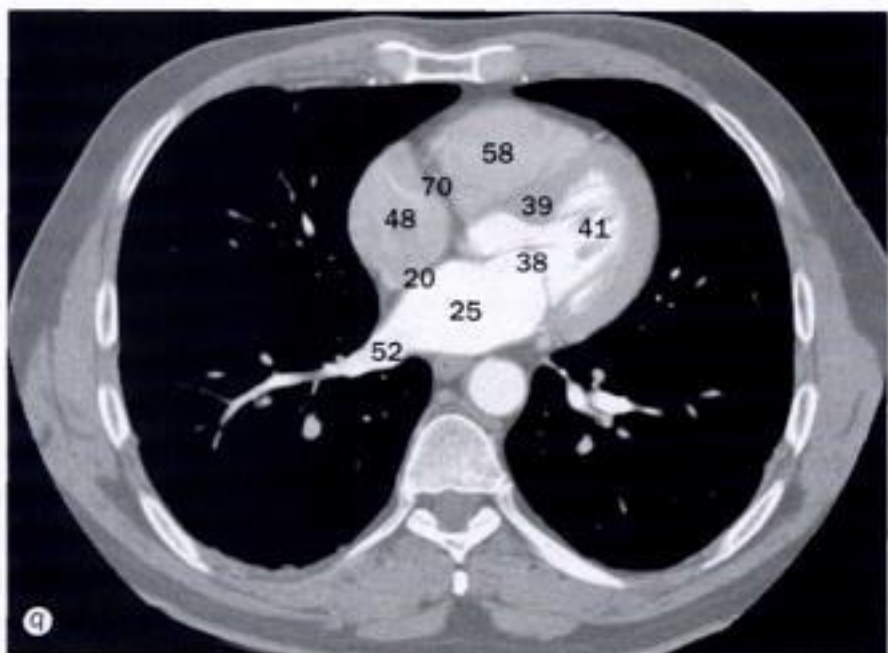
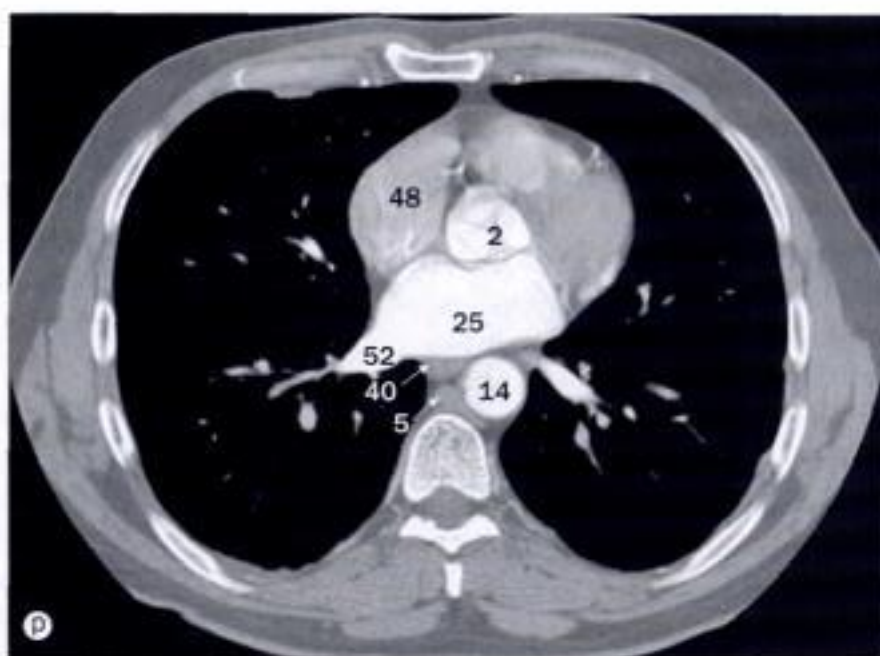
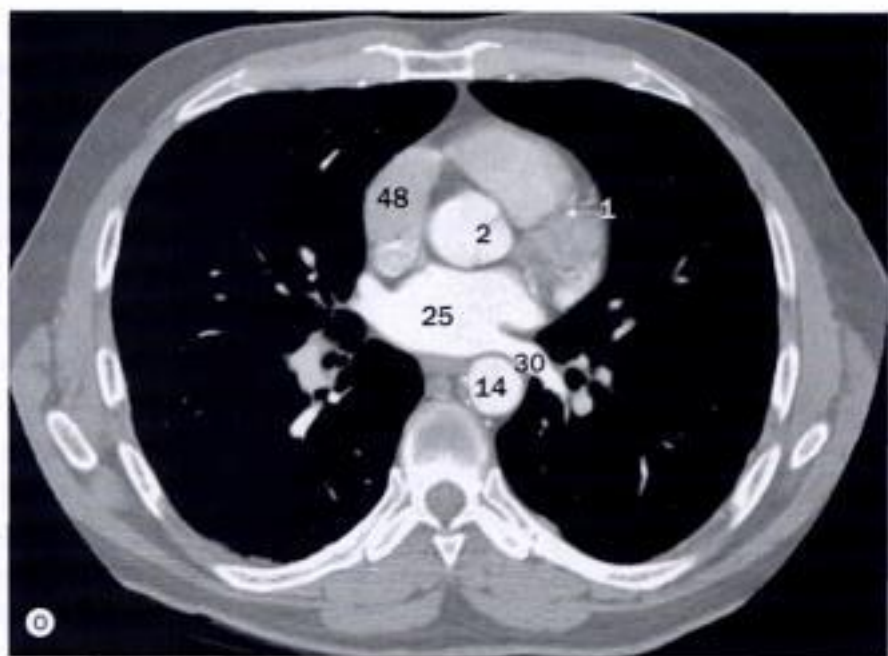
Radiographie du thorax d'une femme adulte, projection latérale.

- | | | |
|---|--------------------------------------|-------------------------------------|
| 1 Arc (crosse) de l'aorte | 9 Coupole gauche du diaphragme | 18 Bronche principale droite |
| 2 Aorte ascendante | 10 Bronche principale gauche | 19 Artère pulmonaire droite |
| 3 Sein | 11 Artère pulmonaire gauche | 20 Ventricule droit |
| 4 Gaz dans le fundus gastrique | 12 Scissure oblique du poumon gauche | 21 Bord ventriculaire droit du cœur |
| 5 Veine cave inférieure | 13 Situation de la valve aortique | 22 Scapula |
| 6 Infundibulum du ventricule droit (en bas) et tronc pulmonaire (en haut) | 14 Situation de la valve mitrale | 23 Tissus mous du membre supérieur |
| 7 Bord | 15 Situation de la valve pulmonaire | 24 Trachée |
| 8 Oreillette gauche | 16 Situation de la valve tricuspide | |
| | 17 Coupole droite du diaphragme | |

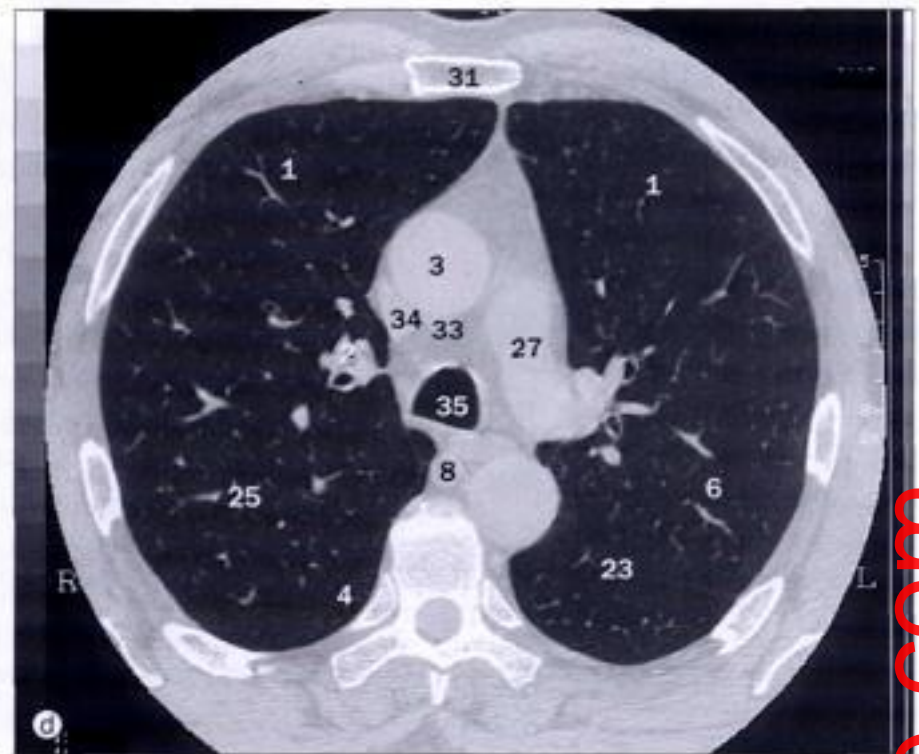
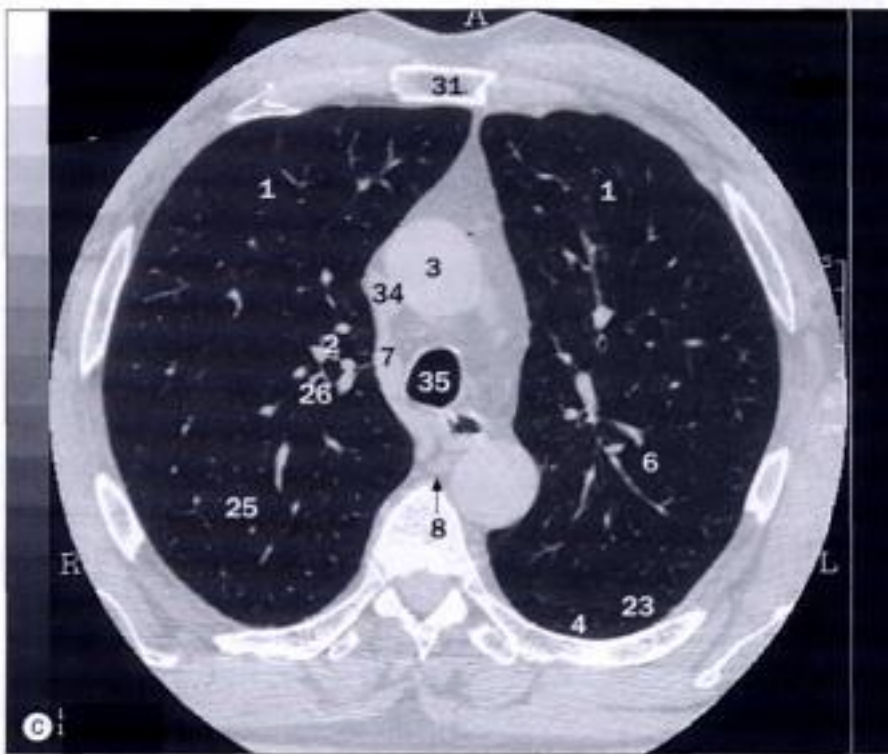
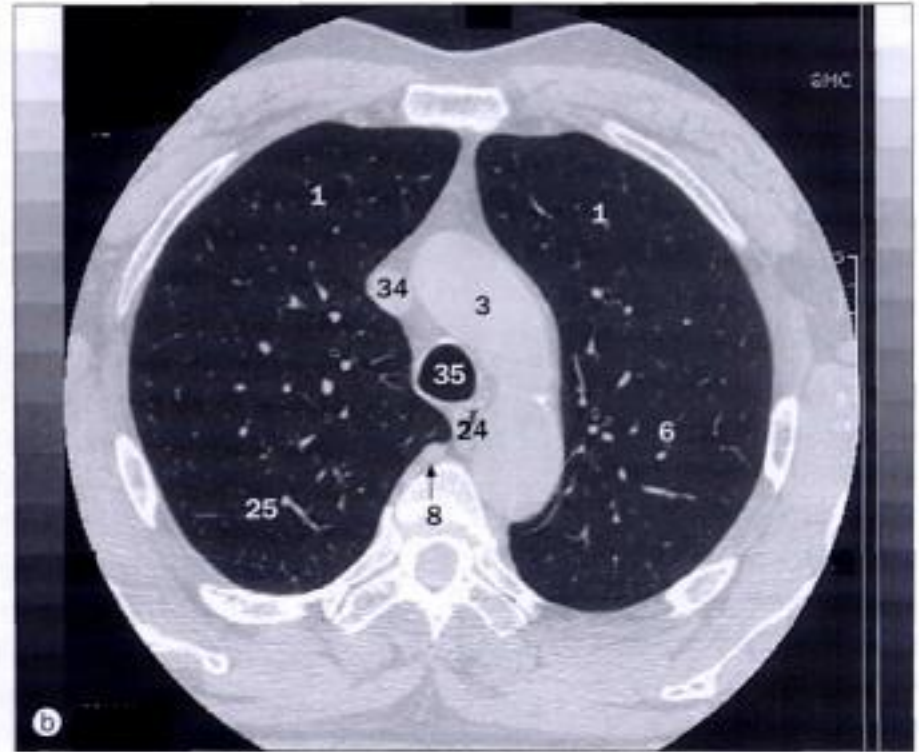
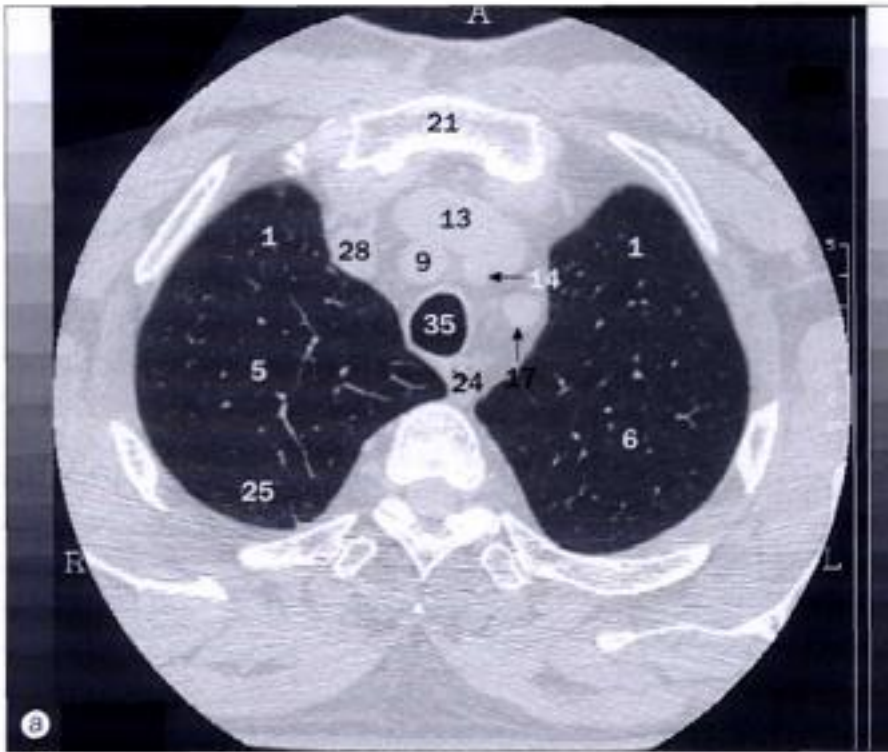




(j) - (n) TDM du thorax ; coupes axiales du médiastin. Voir pages 92 - 93 pour les légendes.



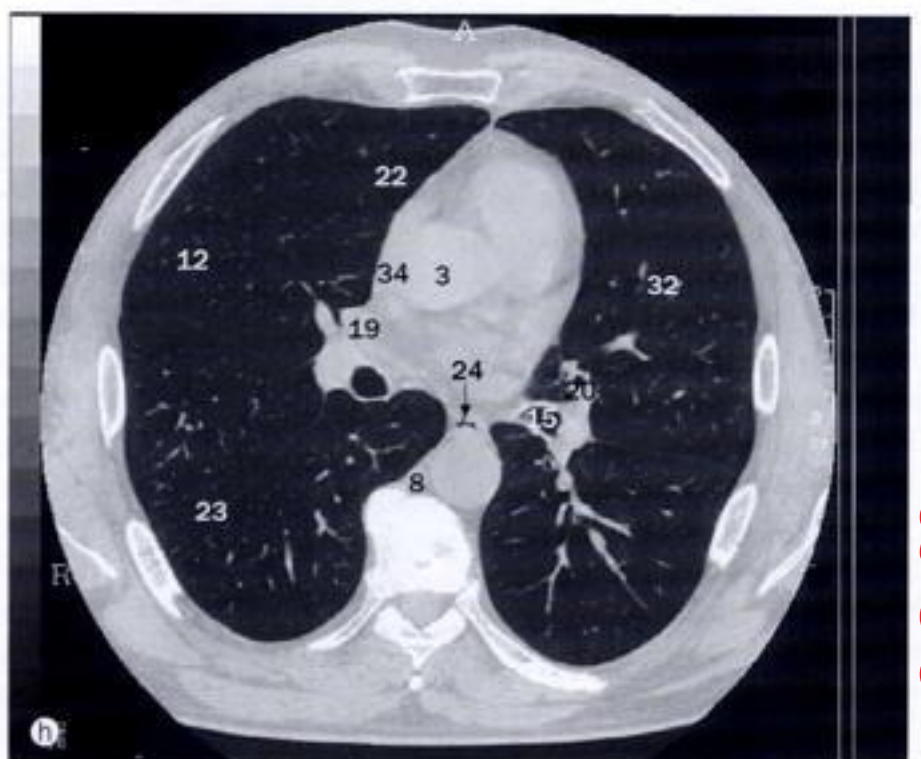
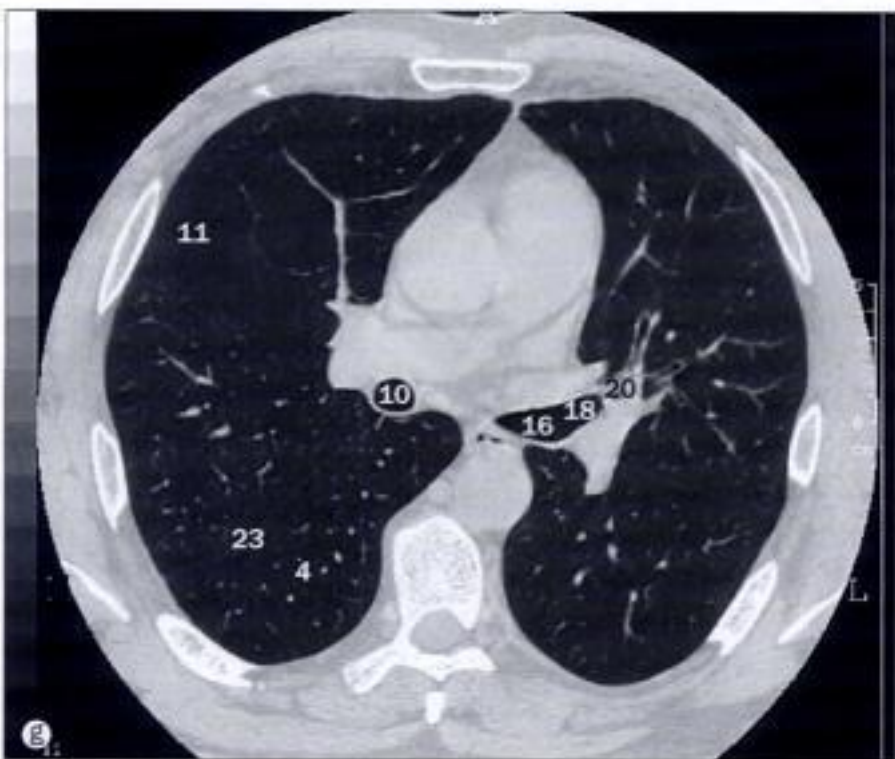
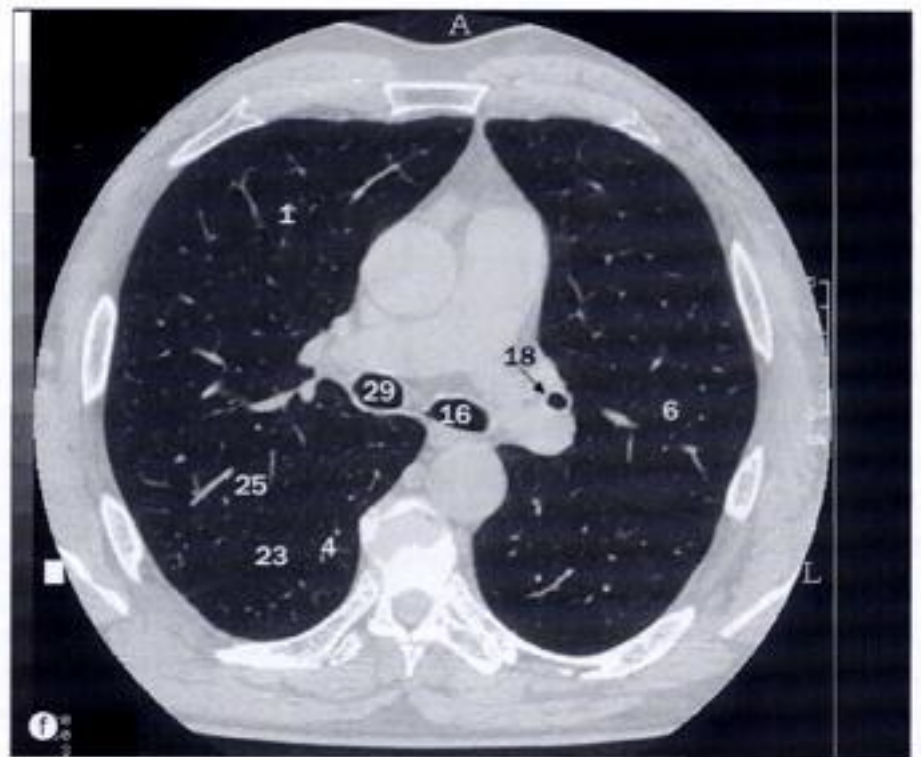
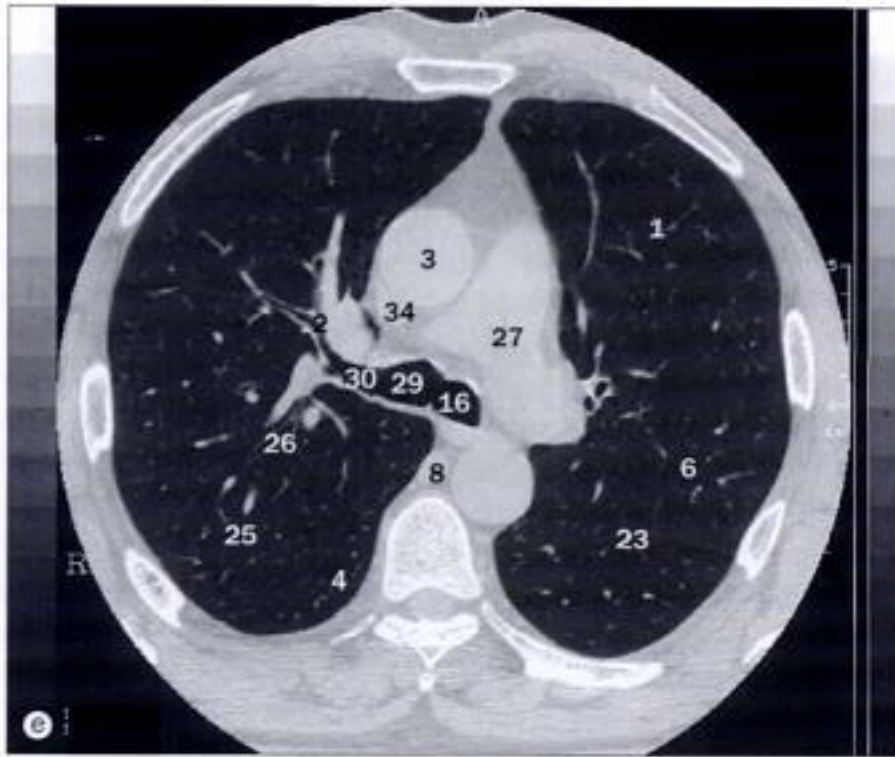
(o) - (t) TDM du thorax ; coupes axiales du médiastin.



(a) - (h) TDM des poumons, coupes axiales à haute résolution.

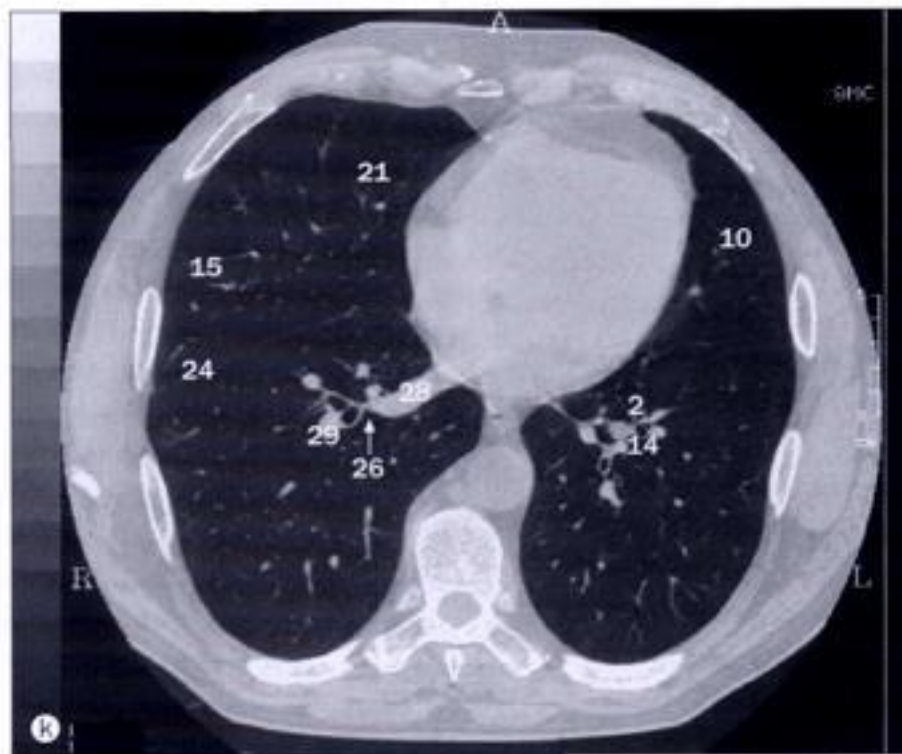
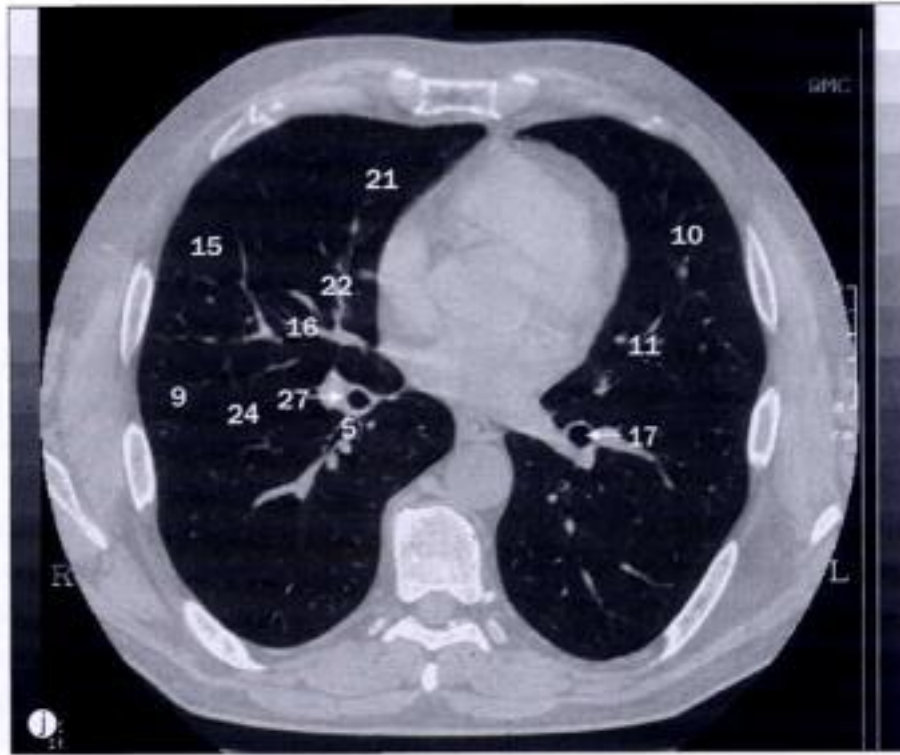
- 1 Segment antérieur du lobe supérieur
- 2 Bronche segmentaire antérieure
- 3 Aorte
- 4 Segment apical du lobe inférieur
- 5 Segment apical du lobe supérieur droit
- 6 Segment apico-postérieur du lobe supérieur gauche
- 7 Crosse de l'azygos
- 8 Veine azygos
- 9 Tronc brachio-céphalique
- 10 Bronche intermédiaire

- 11 Scissure horizontale
- 12 Segment latéral du lobe moyen
- 13 Veine brachio-céphalique gauche
- 14 Artère carotide commune gauche
- 15 Bronche lobaire inférieure gauche
- 16 Bronche principale gauche
- 17 Artère subclavière gauche
- 18 Bronche lobaire supérieure gauche
- 19 Veine pulmonaire supérieure gauche
- 20 Bronche segmentaire linguale



- 21 Manubrium sternal
- 22 Segment médial du lobe moyen
- 23 Scissure oblique
- 24 Œsophage
- 25 Segment postérieur du lobe supérieur
- 26 Bronche segmentaire postérieure
- 27 Artère pulmonaire
- 28 Veine brachio-céphalique droite

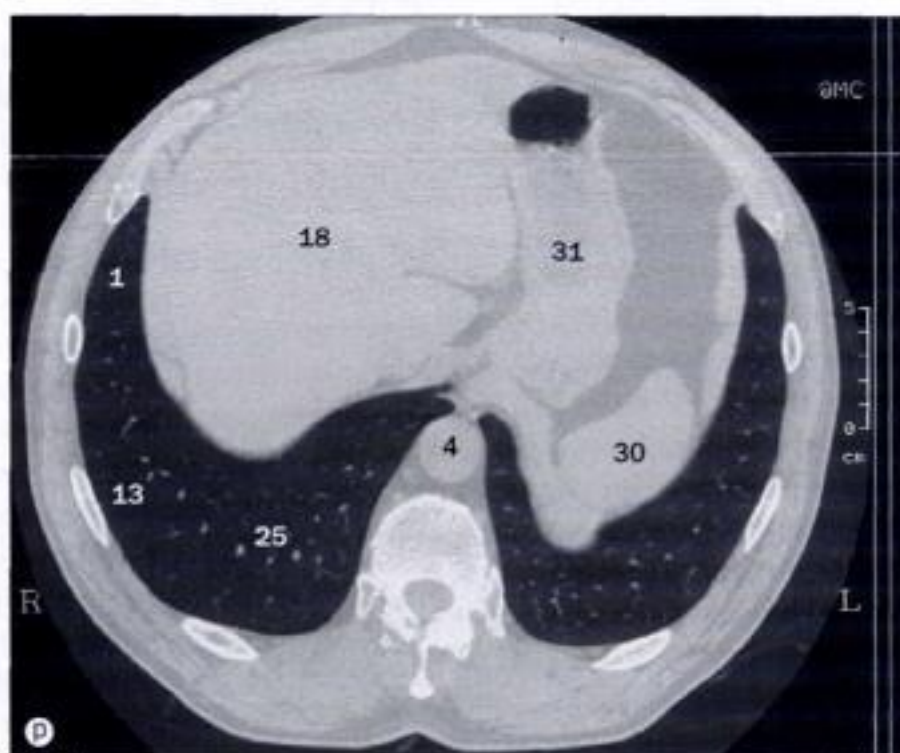
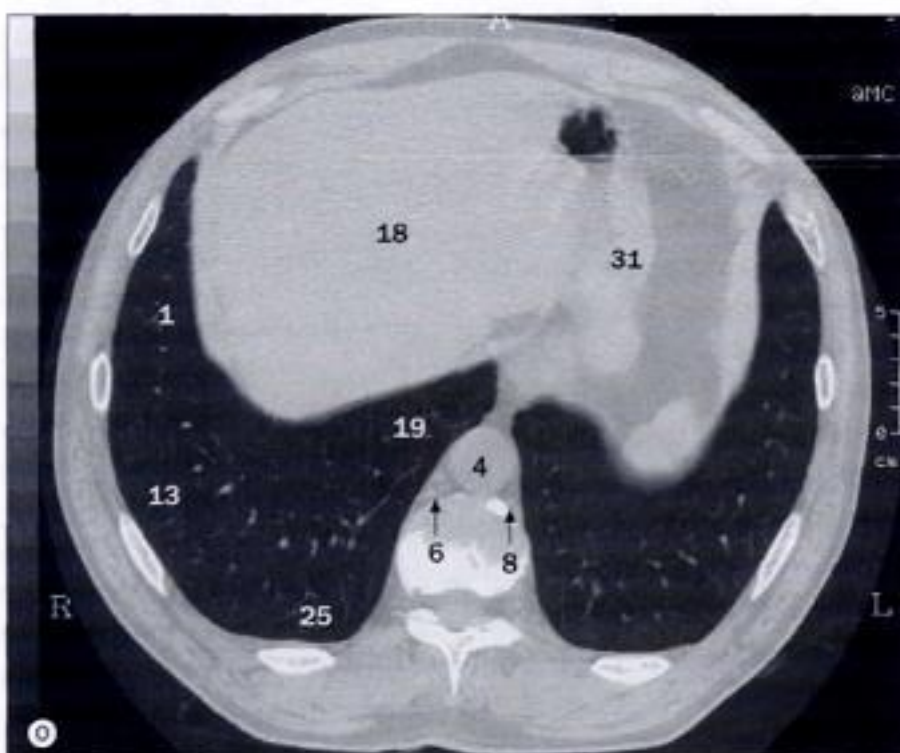
- 29 Bronche principale droite
- 30 Bronche lobaire supérieure droite
- 31 Sternum
- 32 Segment linguale supérieur
- 33 Récessus péricardique supérieur
- 34 Veine cave supérieure
- 35 Trachée



(I) - (P) TDM des poumons, coupes axiales à haute résolution.

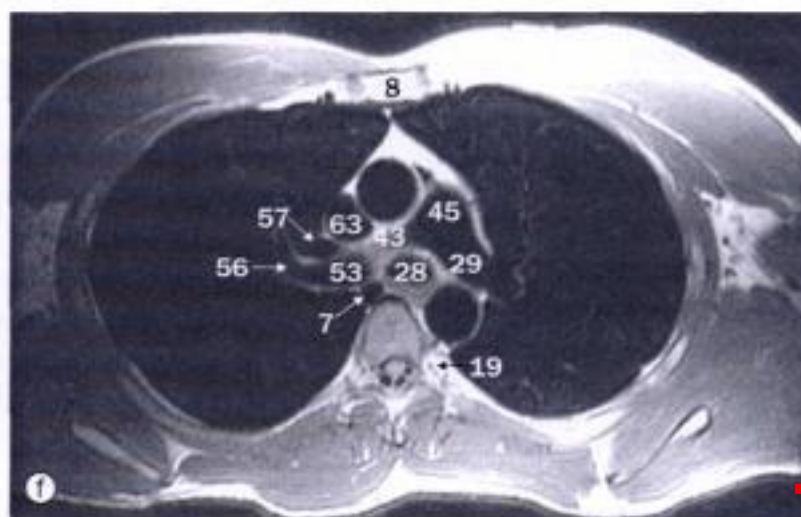
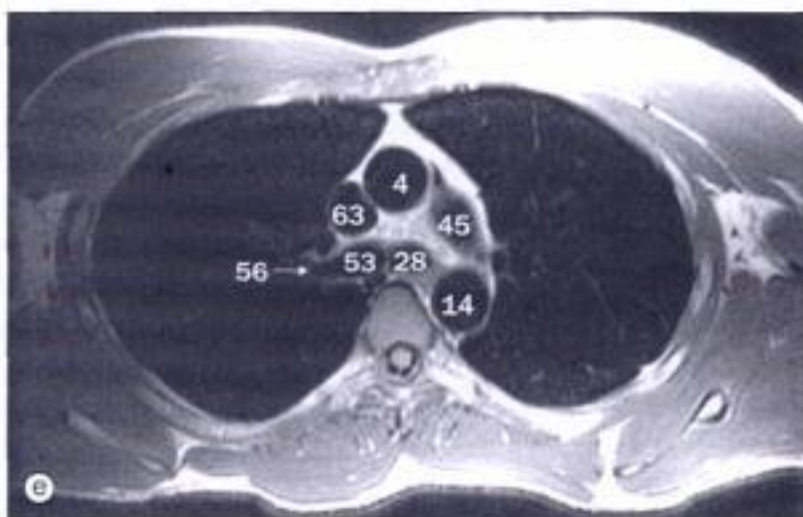
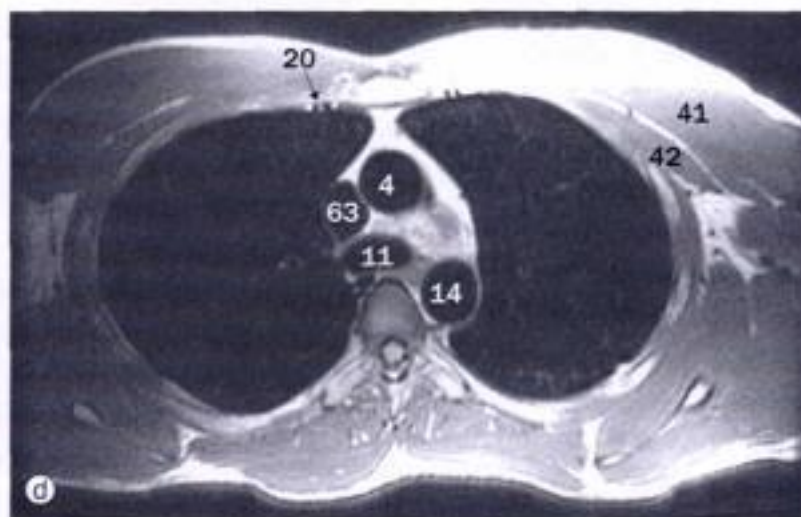
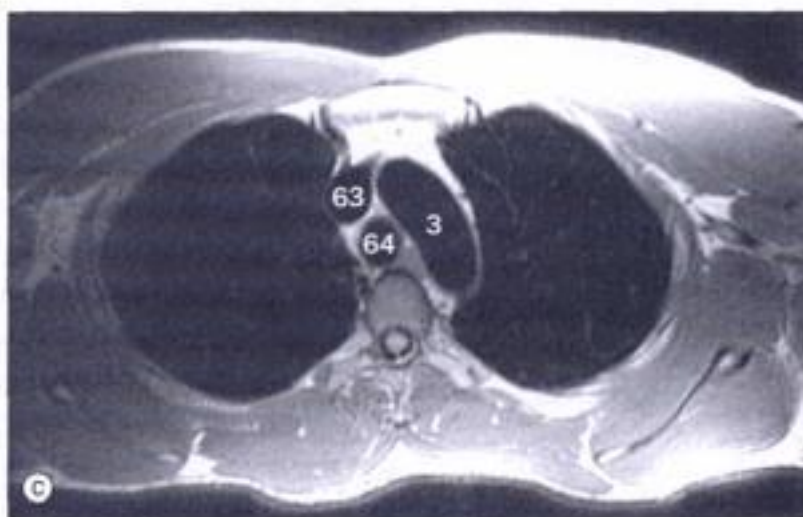
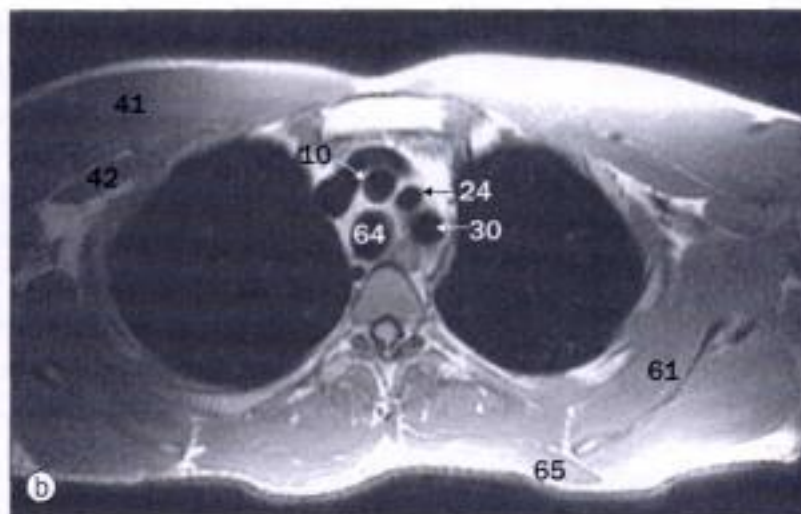
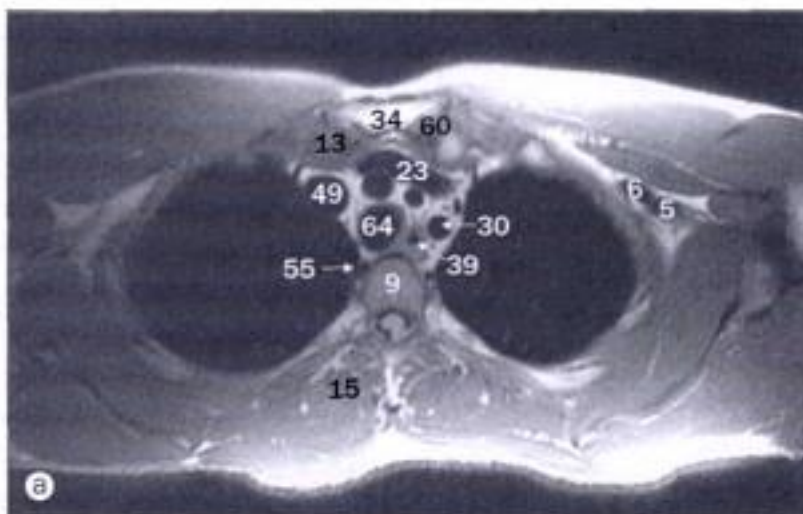
- 1 Segment basal antérieur du lobe inférieur
- 2 Bronche segmentaire basale antérieure
- 3 Segment antérieur du lobe supérieur
- 4 Aorte
- 5 Bronche segmentaire apicale du lobe inférieur
- 6 Veine azygos
- 7 Cœur
- 8 Veine hémiazygos
- 9 Scissure horizontale

- 10 Segment linguale inférieur
- 11 Bronche segmentaire finguale inférieure
- 12 Veine cave inférieure
- 13 Segment basal latéral du lobe inférieur
- 14 Bronche segmentaire basale latérale
- 15 Segment latéral du lobe moyen
- 16 Bronche segmentaire latérale du lobe moyen
- 17 Bronche lobaire inférieure gauche



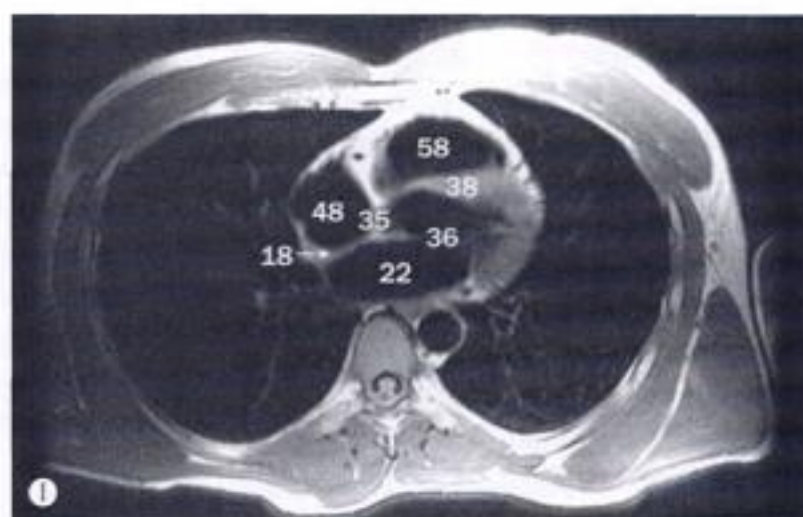
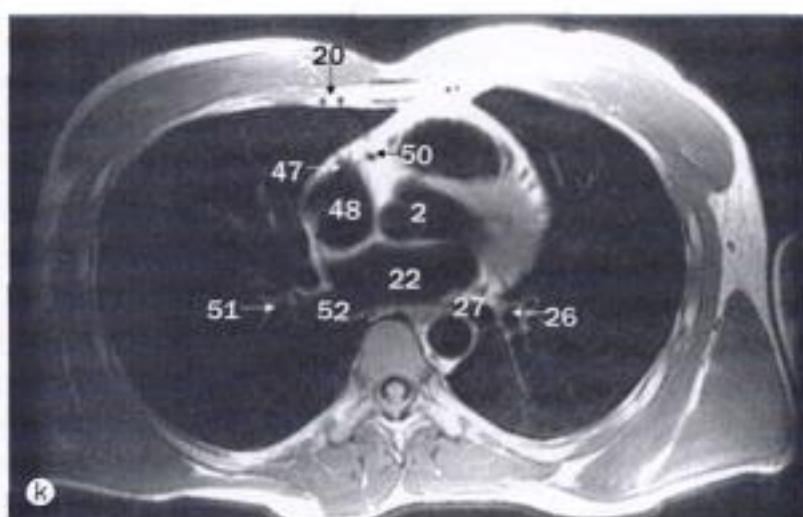
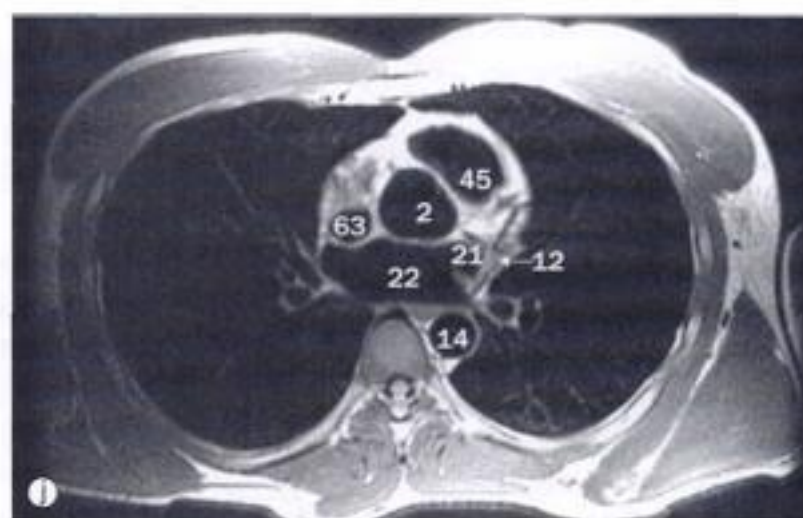
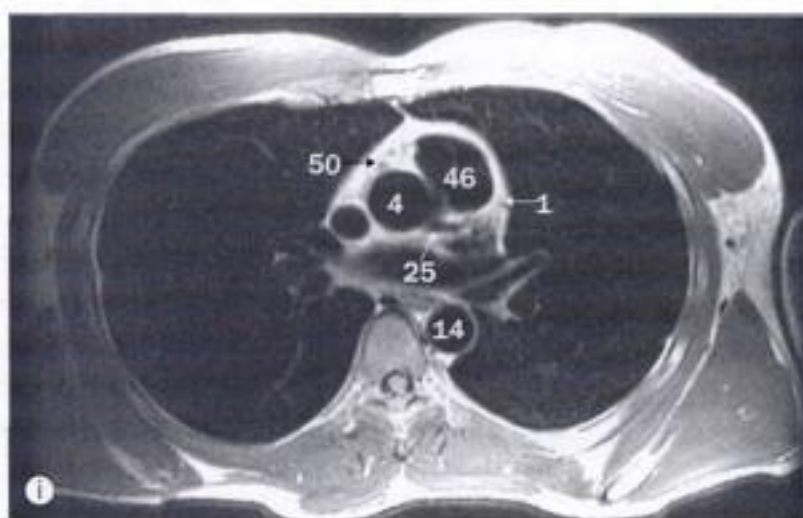
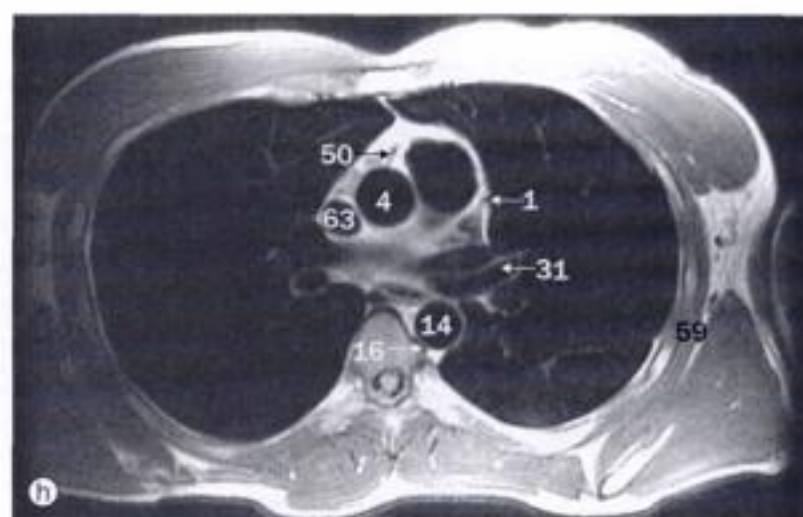
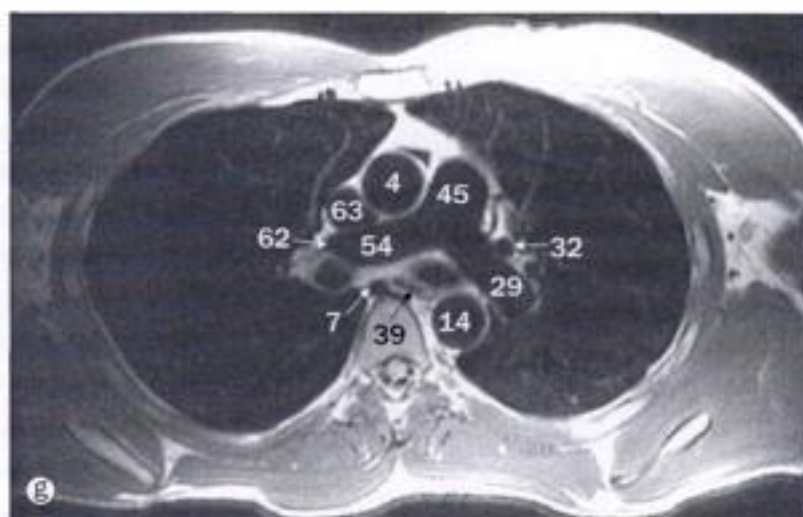
- 18 Foie
- 19 Segment basal médial du lobe inférieur
- 20 Bronche segmentaire basale médiale
- 21 Segment médial du lobe moyen
- 22 Bronche segmentaire médiale du lobe moyen
- 23 Bronche lobaire moyenne
- 24 Scissure oblique
- 25 Segment basal postérieur du lobe inférieur

- 26 Bronche segmentaire basale postérieure
- 27 Bronche lobaire inférieure droite
- 28 Veine pulmonaire inférieure droite
- 29 Artère pulmonaire du lobe inférieur droit
- 30 Rate
- 31 Estomac
- 32 Segment lingulaire supérieur
- 33 Bronche segmentaire lingulaire supérieure

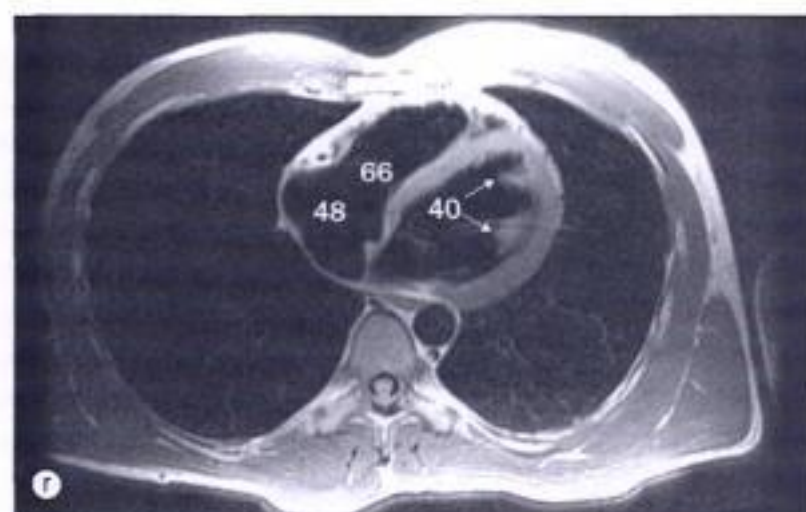
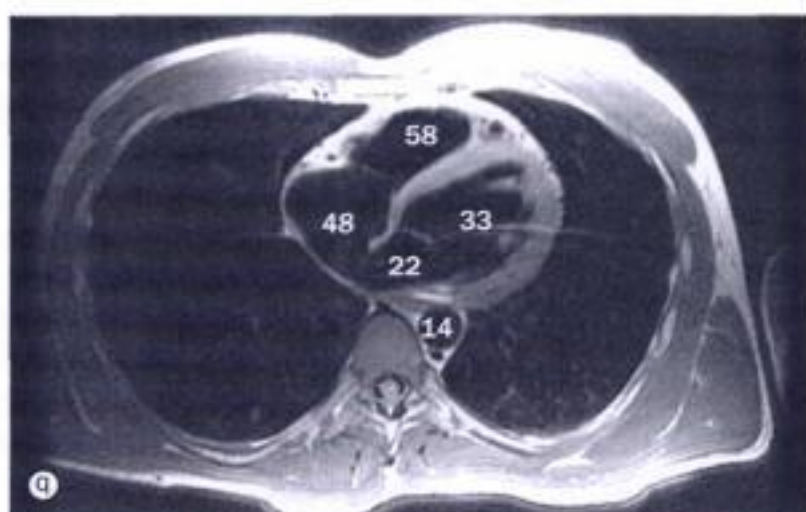
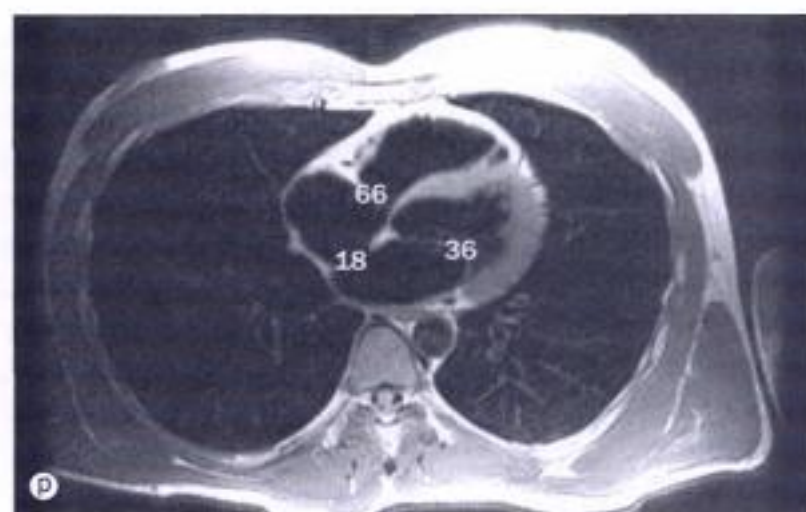
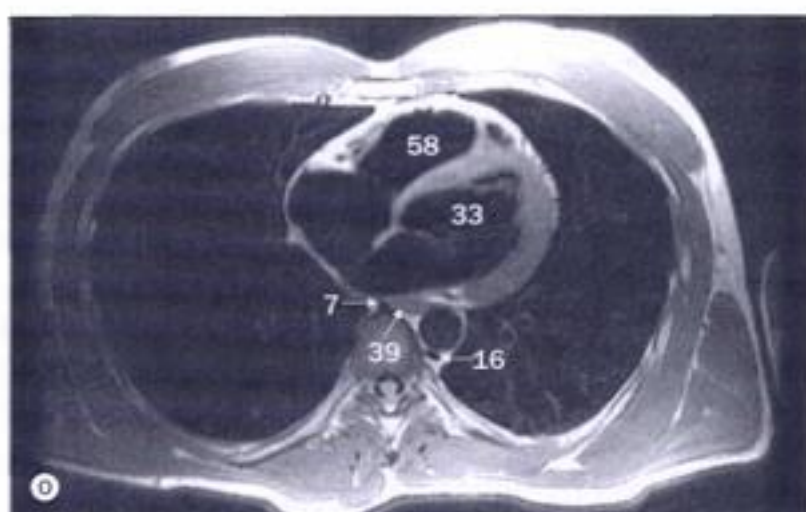
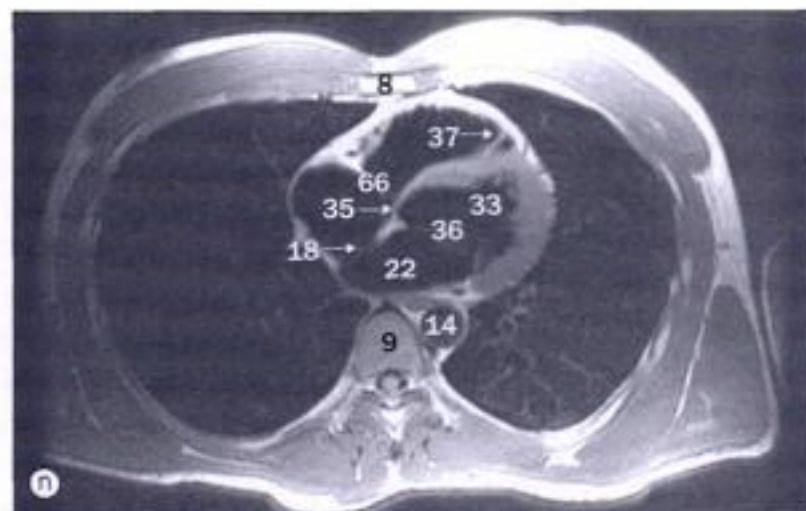
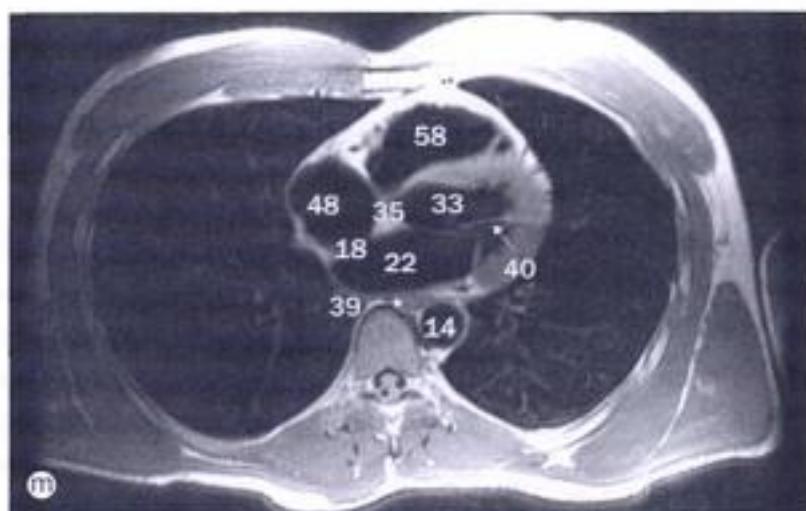


(a) - (x) IRM du thorax en coupes axiales.

- | | | |
|--|---|---|
| 1 Branche interventriculaire antérieure de l'artère coronaire gauche | 12 Branche circonflexe de l'artère coronaire gauche | 24 Artère carotide commune gauche |
| 2 Valve aortique | 13 Clavicule | 25 Artère coronaire gauche |
| 3 Crosse (arc) de l'aorte | 14 Aorte descendante | 26 Bronche lobaire inférieure gauche |
| 4 Aorte ascendante | 15 Muscle érecteur du rachis | 27 Veine pulmonaire inférieure gauche |
| 5 Artère axillaire | 16 Veine hémiazygos | 28 Bronche principale gauche |
| 6 Veine axillaire | 17 Veine cave inférieure | 29 Artère pulmonaire gauche |
| 7 Veine azygos | 18 Septum interatrial | 30 Artère subclavière gauche |
| 8 Corps du sternum | 19 Artère intercostale | 31 Bronche lobaire supérieure gauche |
| 9 Corps vertébral | 20 Artère et veine thoraciques internes | 32 Veine pulmonaire supérieure gauche |
| 10 Tronc brachio-céphalique | 21 Auricule gauche | 33 Cavité du ventricule gauche |
| 11 Carina (bifurcation trachéale) | 22 Oreillette gauche | 34 Manubrium sternal |
| | 23 Veine brachio-céphalique gauche | 35 Septum interventriculaire membraneux |



- | | | |
|---|---|---|
| 36 Valve mitrale | 47 Auricule droite | 58 Cavité ventriculaire droite |
| 37 Faisceau modérateur | 48 Oreillette droite | 59 Muscle dentelé antérieur |
| 38 Septum interventriculaire musculaire | 49 Veine brachio-céphalique droite | 60 Articulation sterno-claviculaire |
| 39 Œsophage | 50 Artère coronaire droite | 61 Muscle subscapulaire |
| 40 Muscles papillaires | 51 Bronche lobaire inférieure droite | 62 Branche lobaire supérieure de l'artère pulmonaire droite |
| 41 Muscle grand pectoral | 52 Veine pulmonaire inférieure droite | 63 Veine cave supérieure |
| 42 Muscle petit pectoral | 53 Bronche principale droite | 64 Trachée |
| 43 Récessus du péricarde | 54 Artère pulmonaire droite | 65 Muscle trapèze |
| 44 Péricarde | 55 Veine intercostale supérieure droite | 66 Valve tricuspide |
| 45 Tronc pulmonaire | 56 Bronche lobaire supérieure droite | |
| 46 Valve pulmonaire | 57 Veine pulmonaire supérieure droite | |

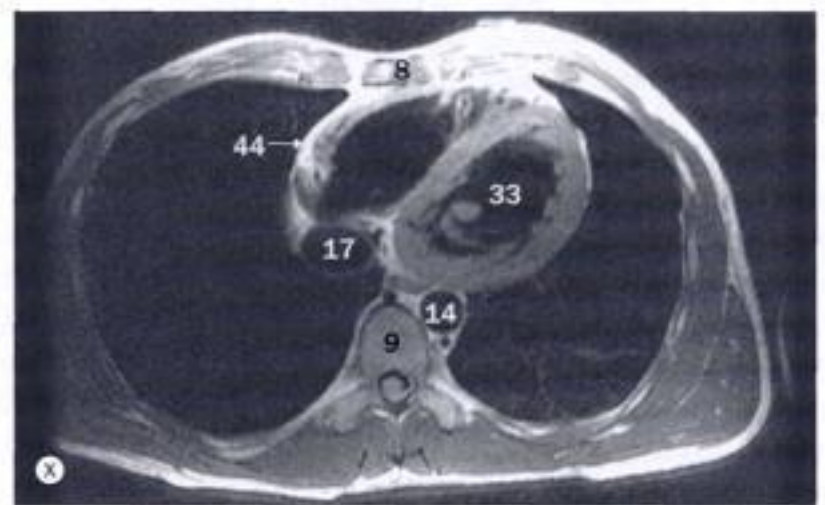
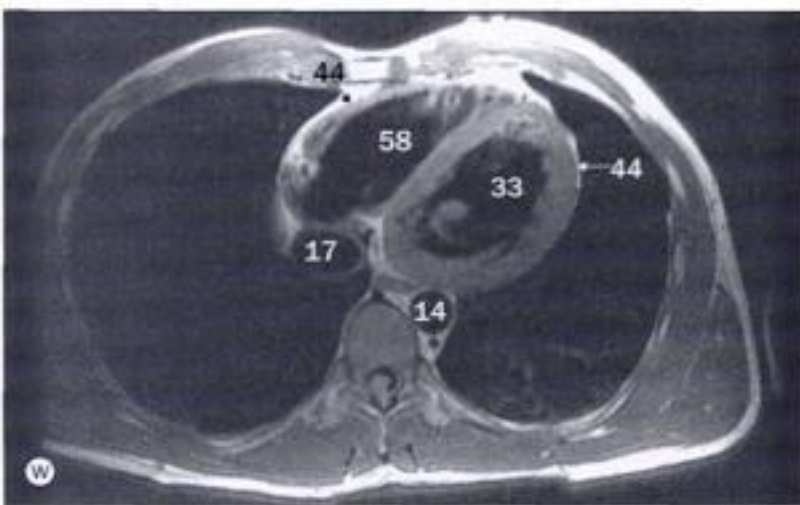
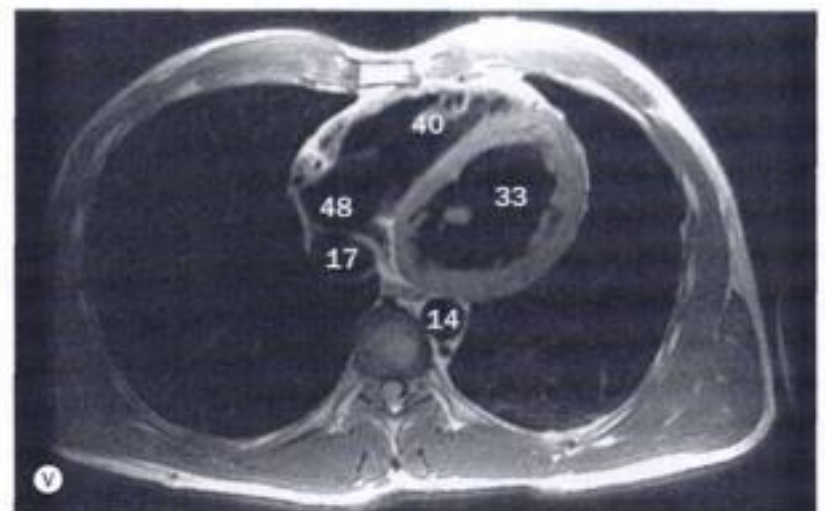
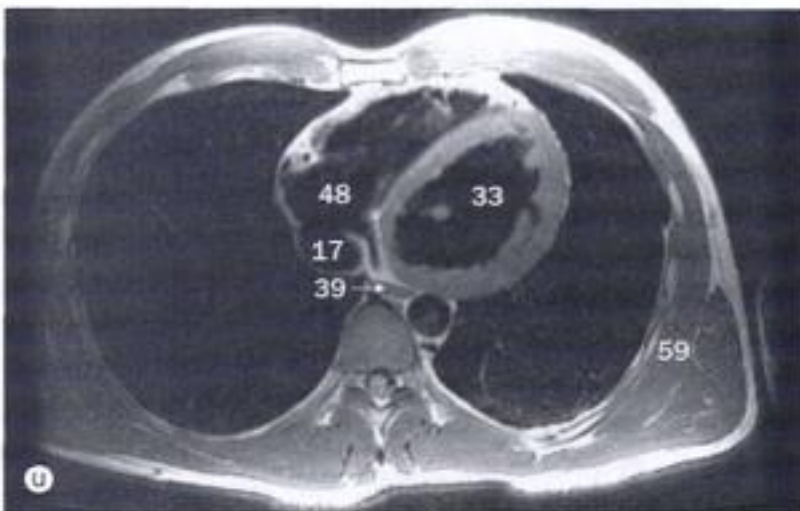
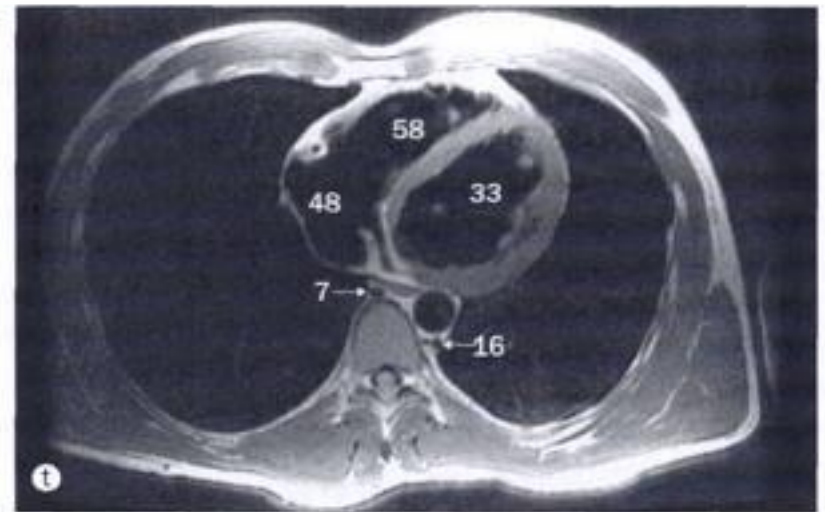
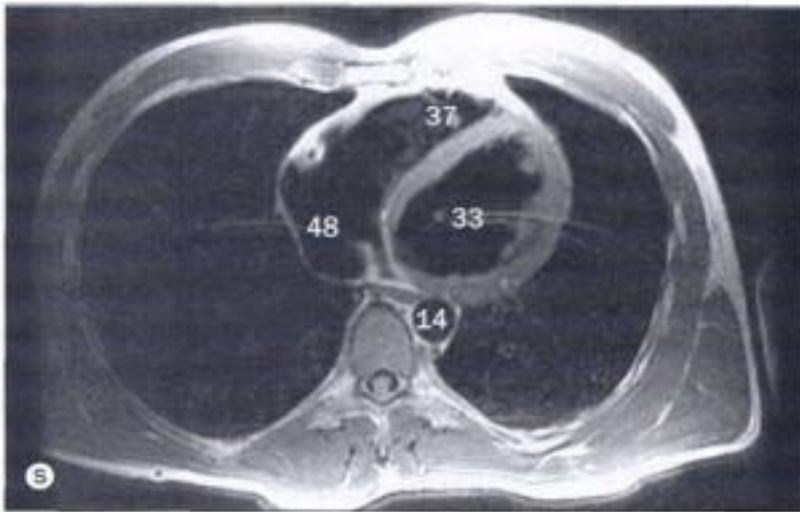


(m) - (x) IRM du thorax en coupes axiales

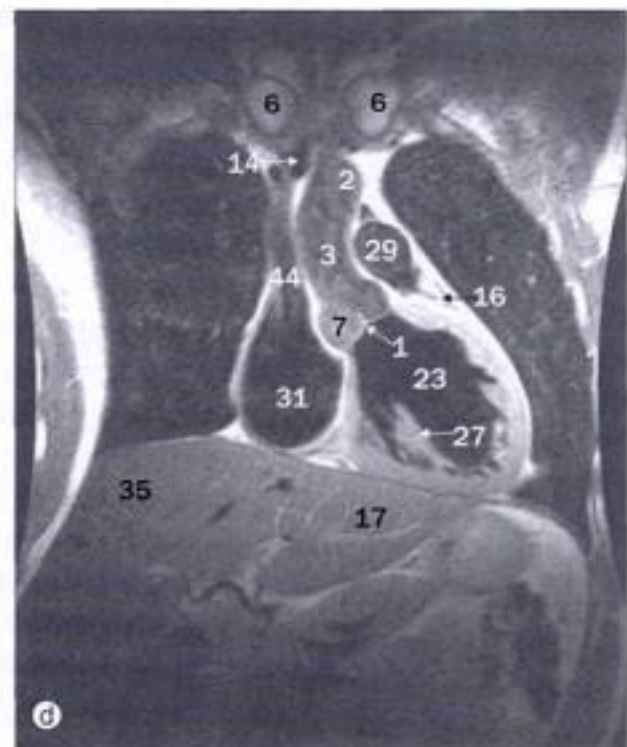
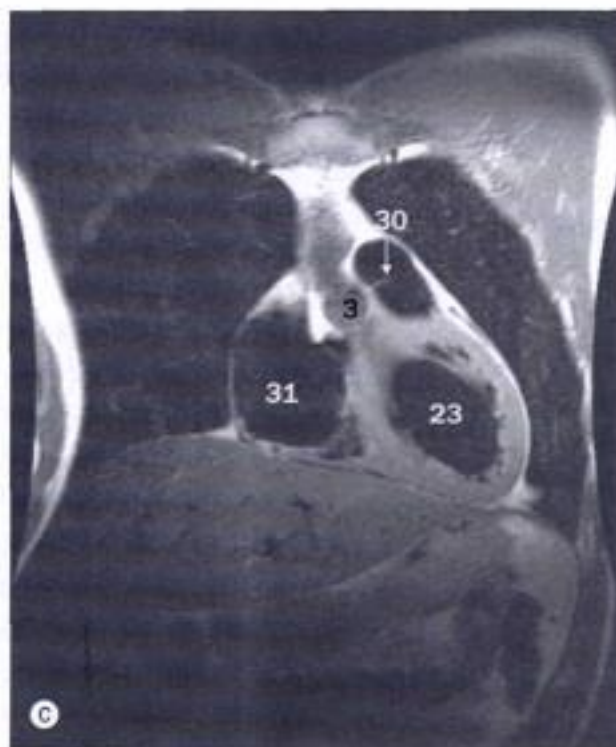
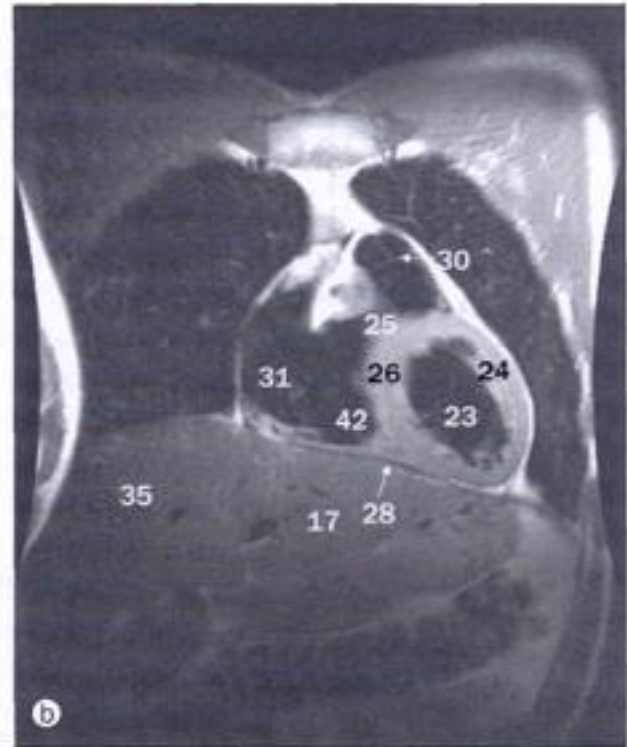
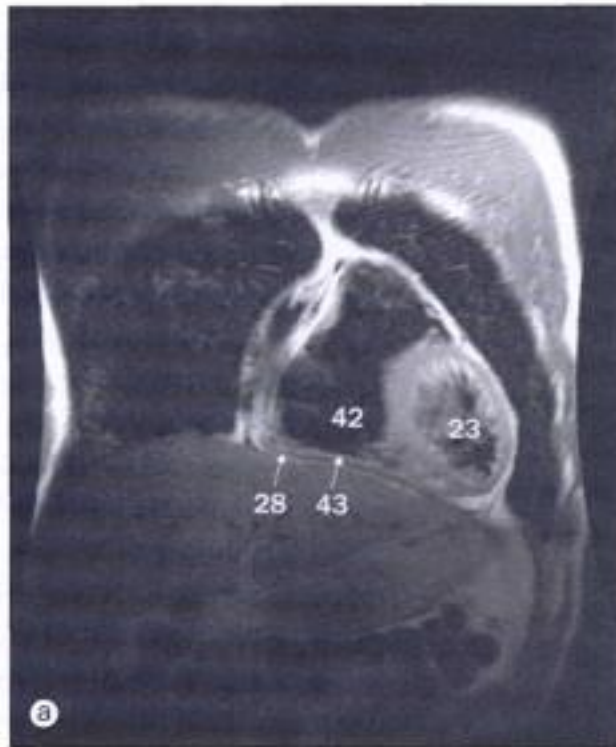
- 1 Branche interventriculaire antérieure de l'artère coronaire gauche
- 2 Valve aortique
- 3 Arc (crosse) de l'aorte
- 4 Aorte ascendante
- 5 Artère axillaire
- 6 Veine axillaire
- 7 Veine azygos
- 8 Corps du sternum
- 9 Corps vertébral
- 10 Tronc brachio-céphalique
- 11 Carina (bifurcation trachéale)

- 12 Rameau circonflexe de l'artère coronaire gauche
- 13 Clavicule
- 14 Aorte descendante
- 15 Muscle érecteur du rachis
- 16 Veine héli-azygos
- 17 Veine cave inférieure
- 18 Septum interatrial
- 19 Artère intercostale
- 20 Artère et veine thoraciques internes
- 21 Auricule gauche
- 22 Oreillette gauche
- 23 Veine brachio-céphalique gauche

- 24 Artère carotide commune gauche
- 25 Artère coronaire gauche
- 26 Bronche lobaire inférieure gauche
- 27 Veine pulmonaire inférieure gauche
- 28 Bronche principale gauche
- 29 Artère pulmonaire gauche
- 30 Artère subclavière gauche
- 31 Bronche lobaire supérieure gauche
- 32 Veine pulmonaire supérieure gauche
- 33 Cavité du ventricule gauche
- 34 Manubrium sternal
- 35 Septum interventriculaire membraneux



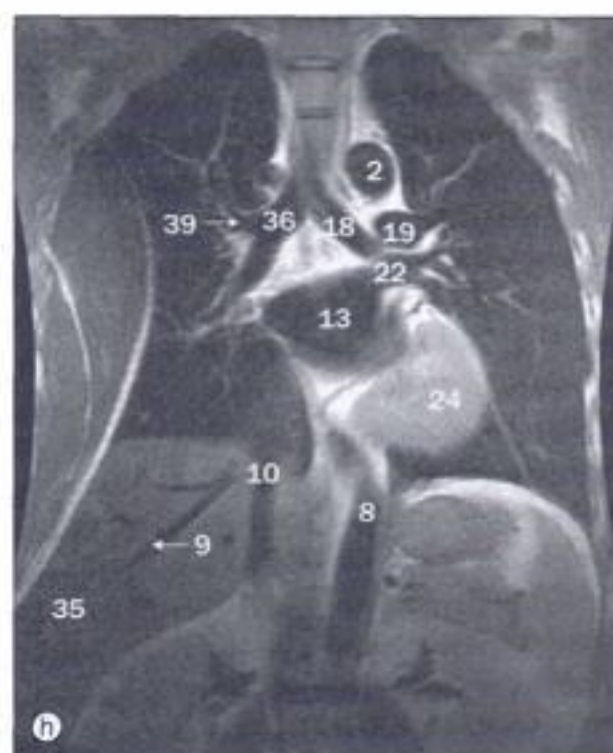
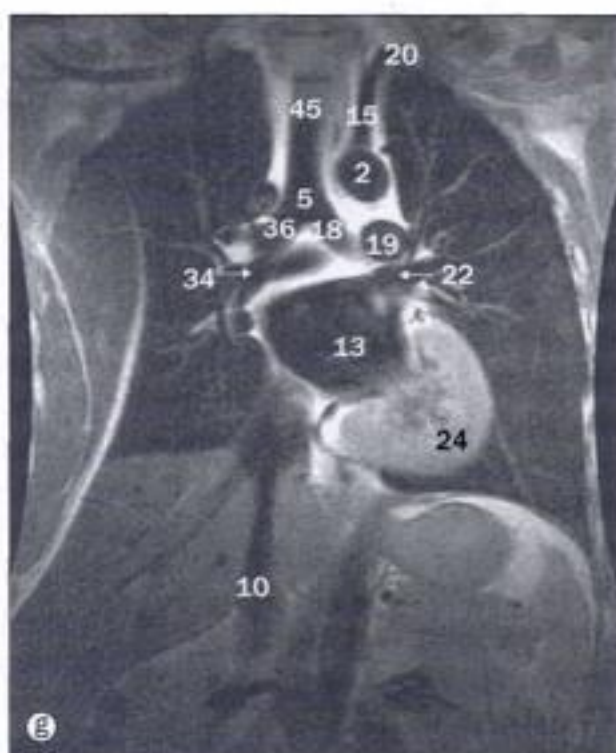
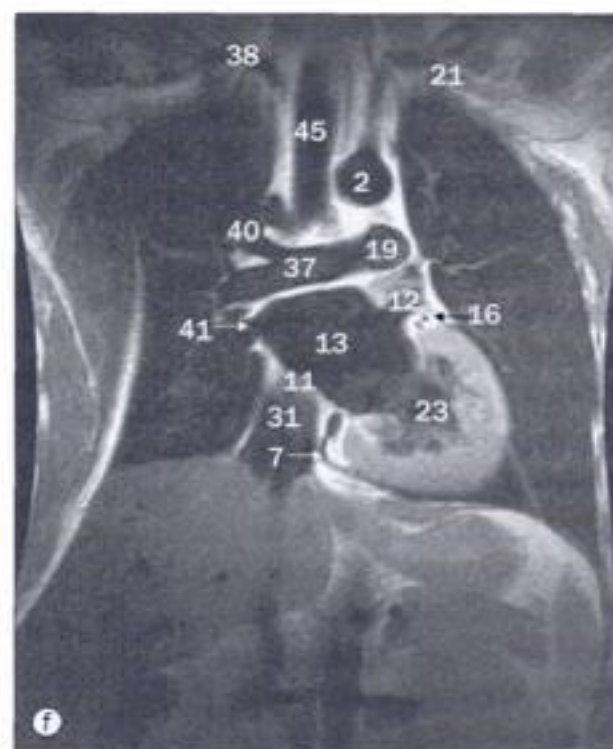
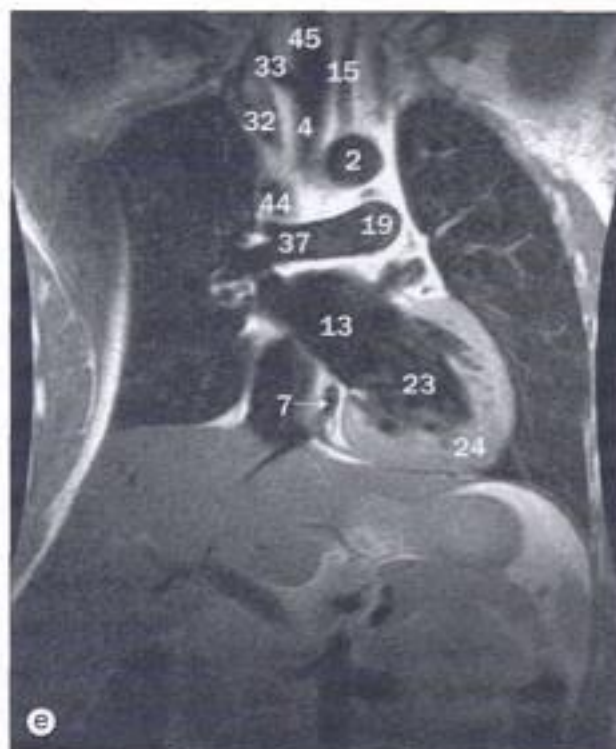
- | | | |
|---|---|---|
| 36 Valve mitrale | 47 Auricule droite | 58 Cavité du ventricule droit |
| 37 Faisceau modérateur | 48 Oreillette droite | 59 Muscle dentelé antérieur |
| 38 Septum interventriculaire musculaire | 49 Veine brachio-céphalique droite | 60 Articulation sterno-claviculaire |
| 39 Œsophage | 50 Artère coronaire droite | 61 Muscle subscapulaire |
| 40 Muscles papillaires | 51 Bronche lobaire inférieure droite | 62 Bronche lobaire supérieure de l'artère pulmonaire droite |
| 41 Muscle grand pectoral | 52 Veine pulmonaire inférieure droite | 63 Veine cave supérieure |
| 42 Muscle petit pectoral | 53 Bronche principale droite | 64 Trachée |
| 43 Récessus du péricarde | 54 Artère pulmonaire droite | 65 Muscle trapèze |
| 44 Péricarde | 55 Veine intercostale supérieure droite | 66 Valve tricuspide |
| 45 Tronc pulmonaire | 56 Bronche lobaire supérieure droite | |
| 46 Valve pulmonaire | 57 Veine pulmonaire supérieure droite | |



(a) - (h) IRM du thorax, coupes coronales (frontales), d'antérieur à postérieur.

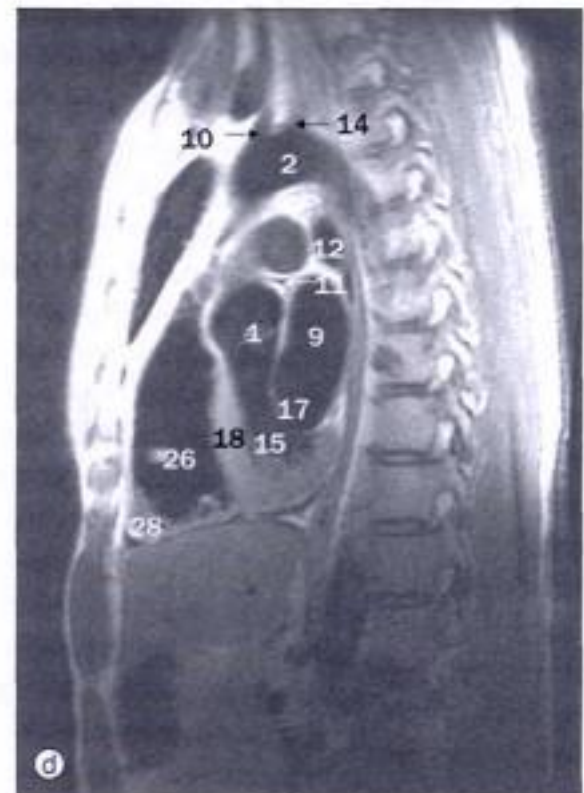
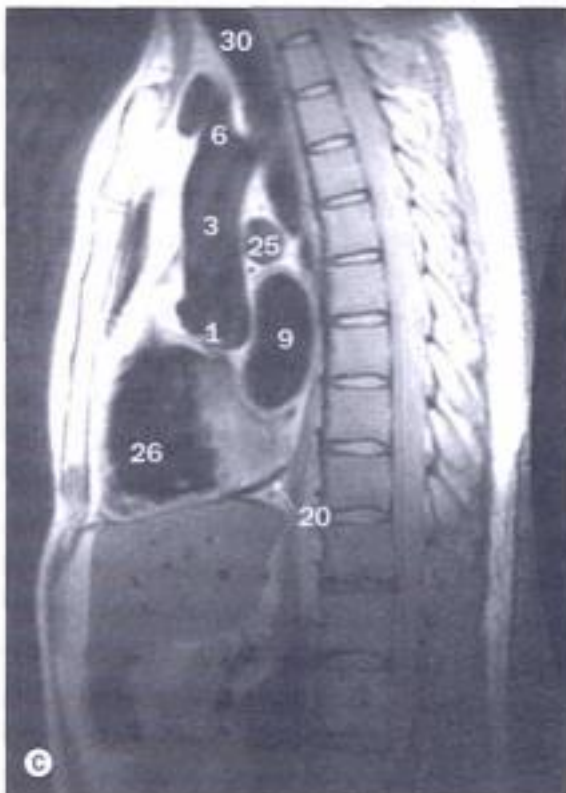
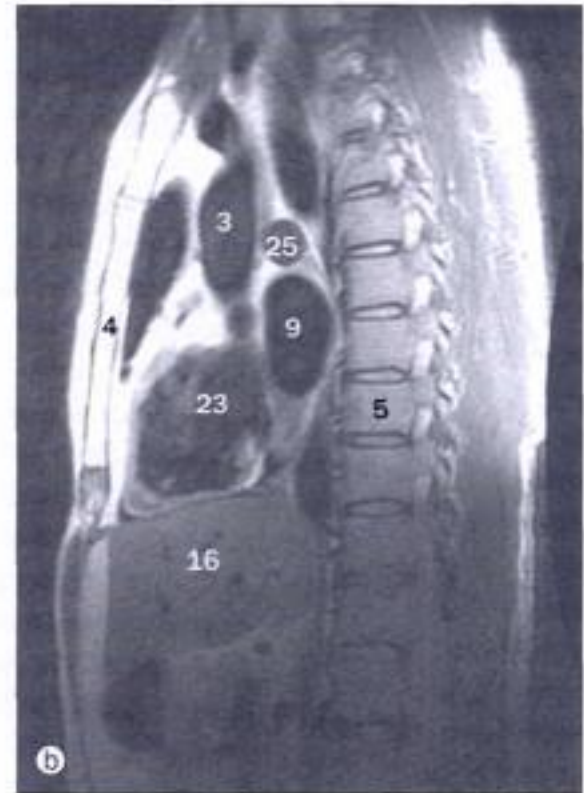
- 1 Valve aortique
- 2 Arc (crosse) de l'aorte
- 3 Aorte ascendante
- 4 Tronc brachio-céphalique
- 5 Carina (bifurcation trachéale)
- 6 Clavicule
- 7 Sinus coronaire
- 8 Aorte descendante
- 9 Veines hépatiques
- 10 Veine cave inférieure
- 11 Septum interatrial
- 12 Auricule gauche

- 13 Oreillette gauche
- 14 Veine brachio-céphalique gauche
- 15 Artère carotide commune gauche
- 16 Artère coronaire gauche
- 17 Lobe gauche du foie
- 18 Bronche principale gauche
- 19 Artère pulmonaire gauche
- 20 Artère subclavière gauche
- 21 Artère subclavière gauche
- 22 Veine pulmonaire supérieure gauche
- 23 Cavité du ventricule gauche
- 24 Paroi du ventricule gauche



- 25 Septum interventriculaire membraneux
- 26 Septum interventriculaire musculaire
- 27 Muscles papillaires
- 28 Péricarde
- 29 Tronc pulmonaire
- 30 Valve pulmonaire
- 31 Oreillette droite
- 32 Veine brachio-céphalique droite
- 33 Artère carotide commune droite
- 34 Bronche lobaire inférieure droite
- 35 Lobe droit du foie

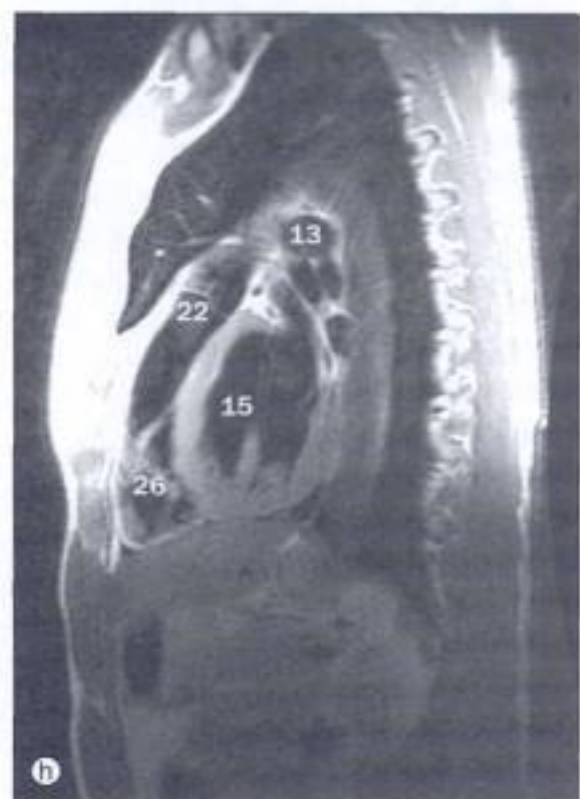
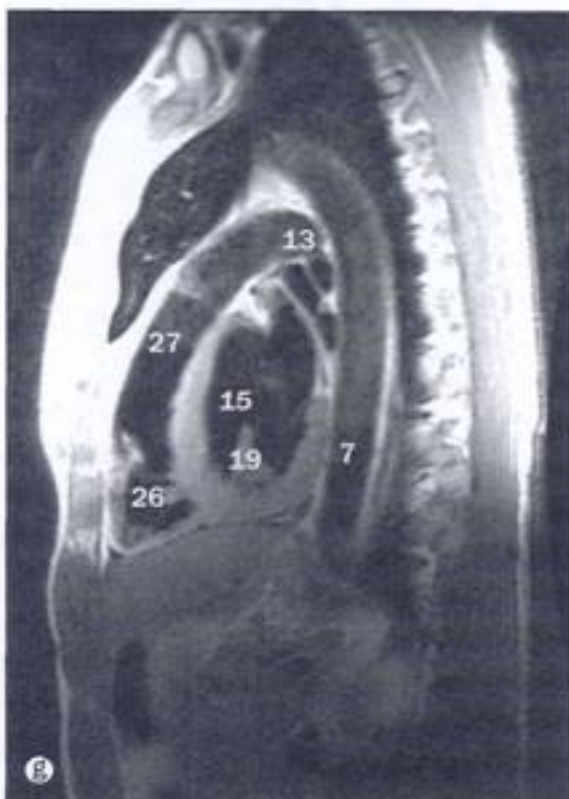
- 36 Bronche principale droite
- 37 Artère pulmonaire droite
- 38 Artère subclavière droite
- 39 Bronche lobaire supérieure droite
- 40 Artère pulmonaire du lobe supérieur droit
- 41 Veine pulmonaire supérieure droite
- 42 Cavité du ventricule droit
- 43 Paroi du ventricule droit
- 44 Veine cave supérieure
- 45 Trachée



(a) - (h) IRM du thorax, coupes sagittales.

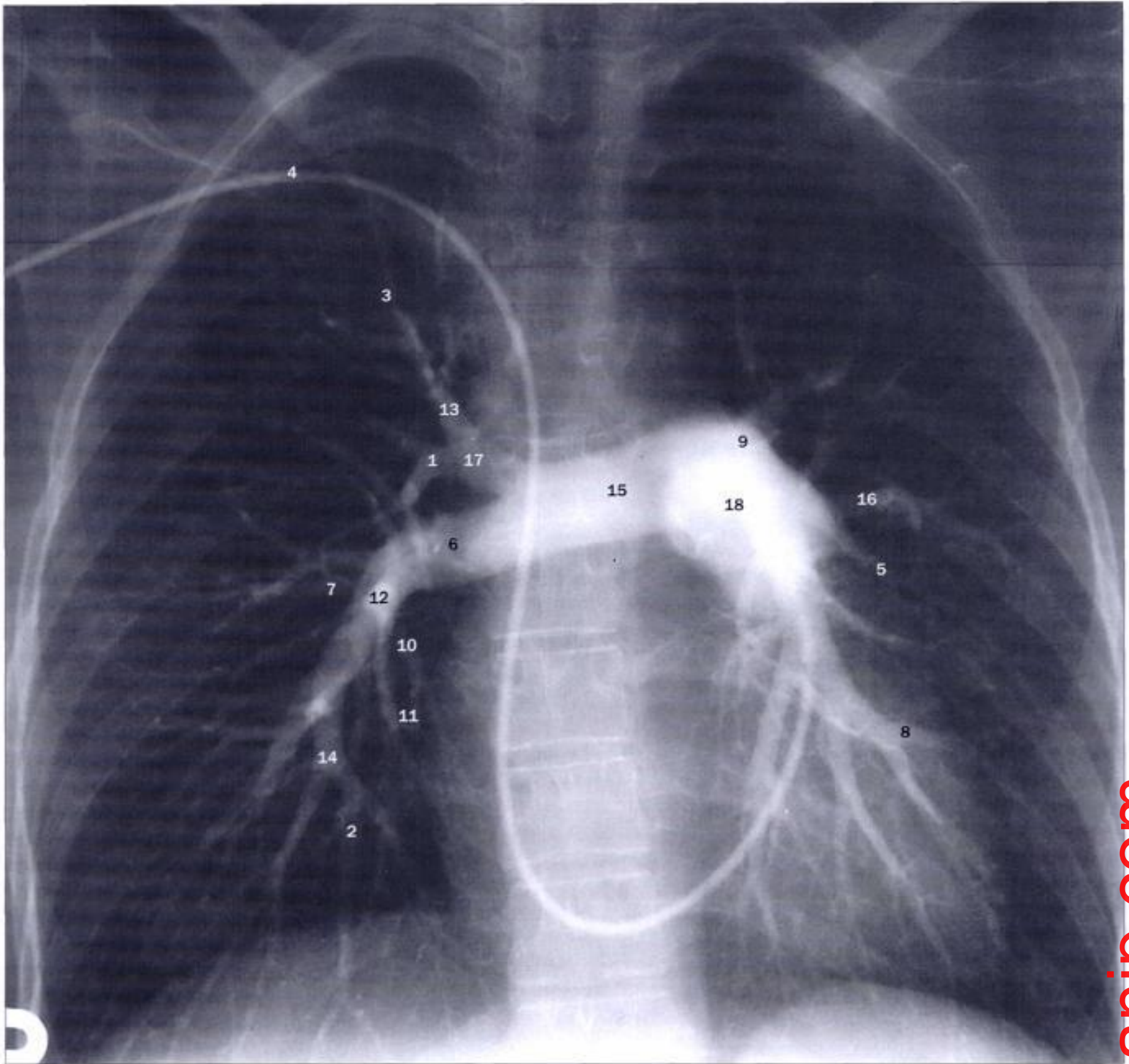
- 1 Valve aortique
- 2 Arc (crosse) de l'aorte
- 3 Aorte ascendante
- 4 Corps du sternum
- 5 Corps vertébral
- 6 Tronc brachio-céphalique
- 7 Aorte descendante
- 8 Veine cave inférieure

- 9 Oreillette gauche
- 10 Artère carotide commune gauche
- 11 Artère coronaire gauche
- 12 Bronche principale gauche
- 13 Artère pulmonaire gauche
- 14 Artère subclavière gauche
- 15 Cavité du ventricule gauche
- 16 Foie



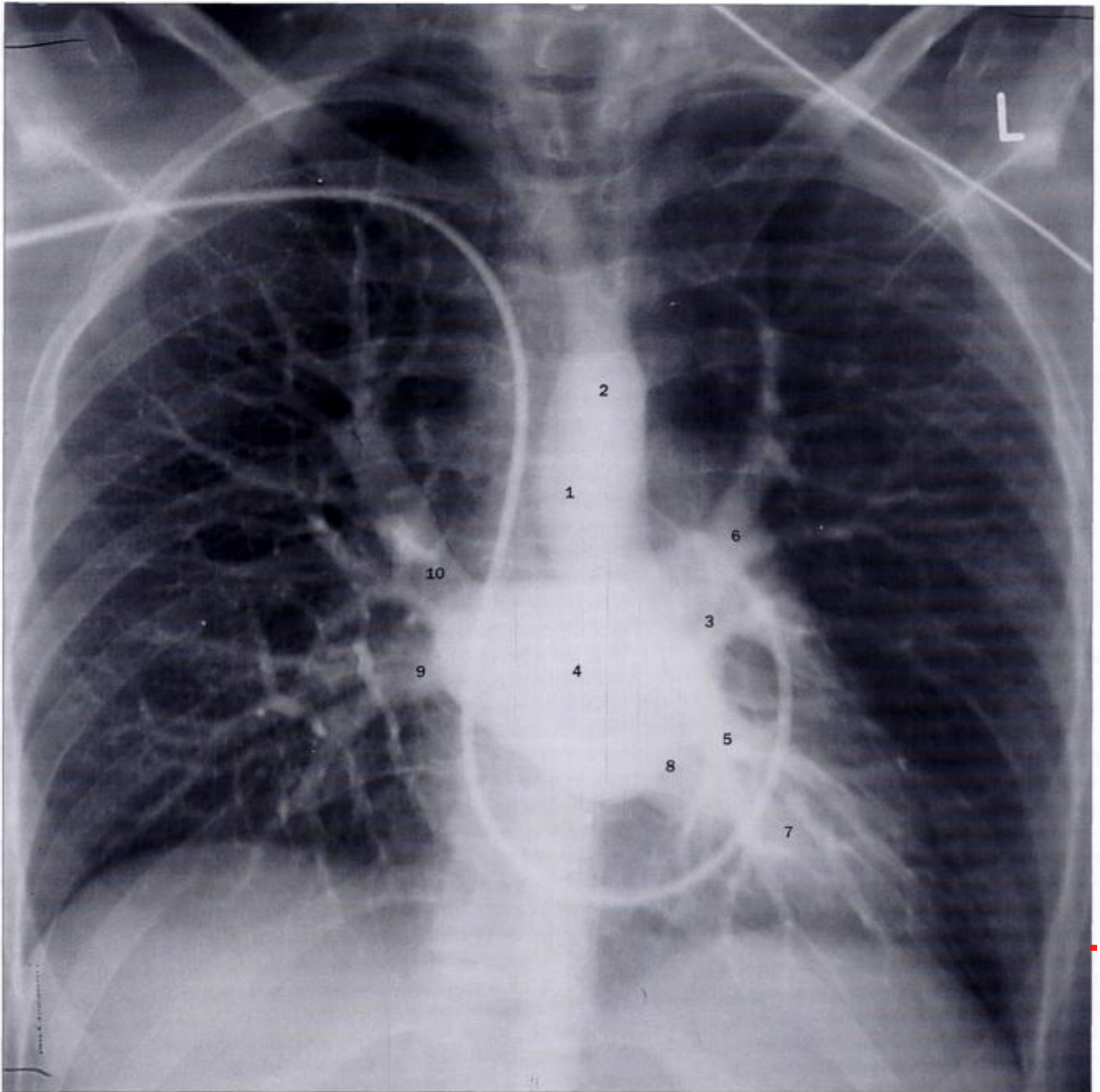
- 17** Valve mitrale
- 18** Septum interventriculaire musculaire
- 19** Muscles papillaires
- 20** Péricarde
- 21** Tronc pulmonaire
- 22** Valve pulmonaire
- 23** Oreillette droite

- 24** Bronche principale droite
- 25** Artère pulmonaire droite
- 26** Cavité du ventricule droit
- 27** Tractus d'évacuation du ventricule droit
- 28** Paroi du ventricule droit
- 29** Veine cave supérieure
- 30** Trachée



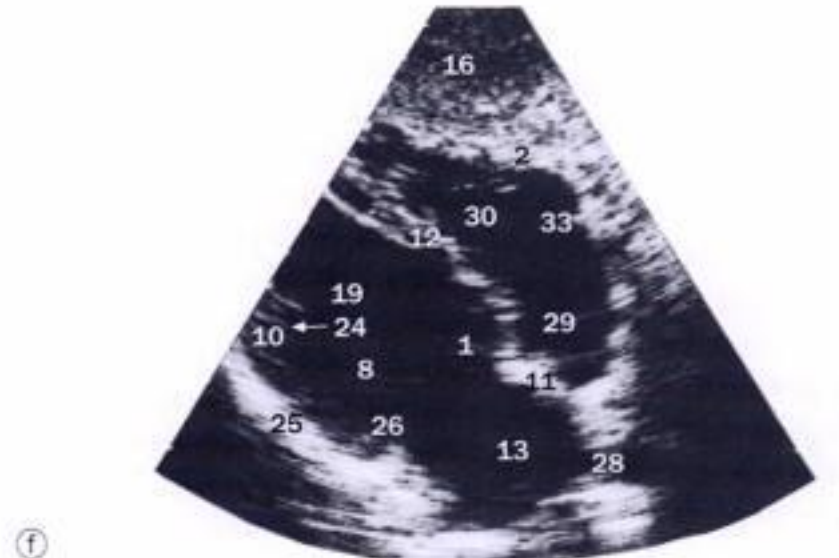
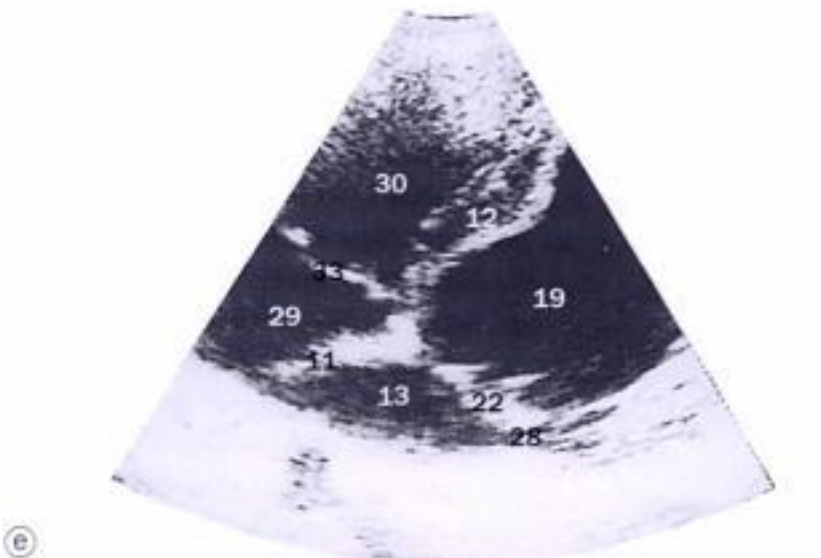
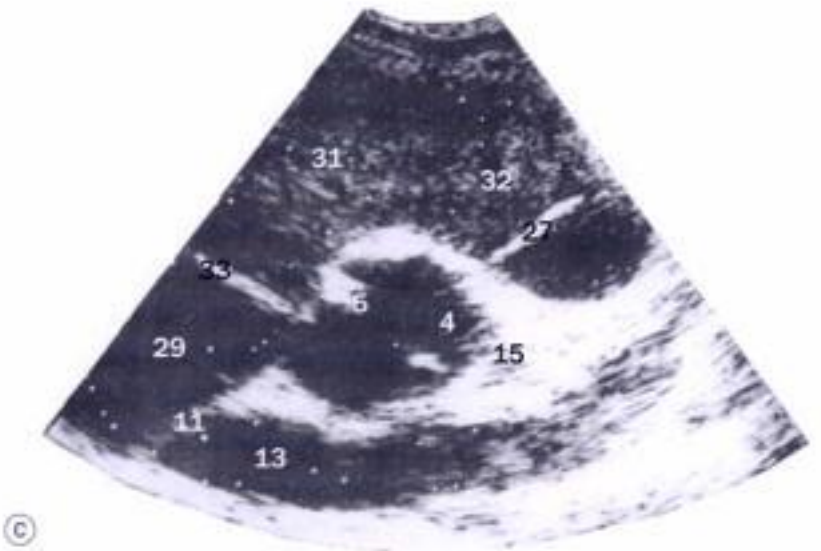
Artériographie pulmonaire, phase artérielle.

- | | |
|--|--|
| 1 Artère antérieure (lobe supérieur) | 10 Artère médiale (lobe moyen) |
| 2 Artère basale antérieure | 11 Artère basale médiale |
| 3 Artère apicale (lobe supérieur) | 12 Artère pulmonaire du lobe moyen |
| 4 Cathéter introduit par la veine brachiale droite | 13 Artère postérieure (lobe supérieur) |
| 5 Artère linguale inférieure | 14 Artère basale postérieure |
| 6 Artère pulmonaire du lobe inférieur | 15 Artère pulmonaire droite |
| 7 Artère latérale (lobe moyen) | 16 Artère linguale supérieure |
| 8 Artère basale latérale | 17 Artère pulmonaire du lobe supérieur |
| 9 Artère pulmonaire gauche | 18 Bout du cathéter dans le tronc pulmonaire |



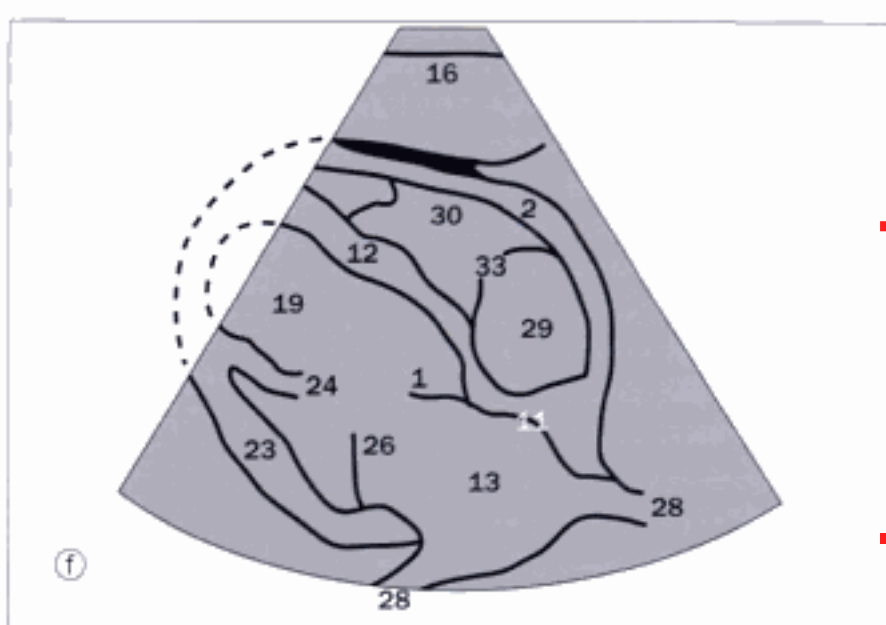
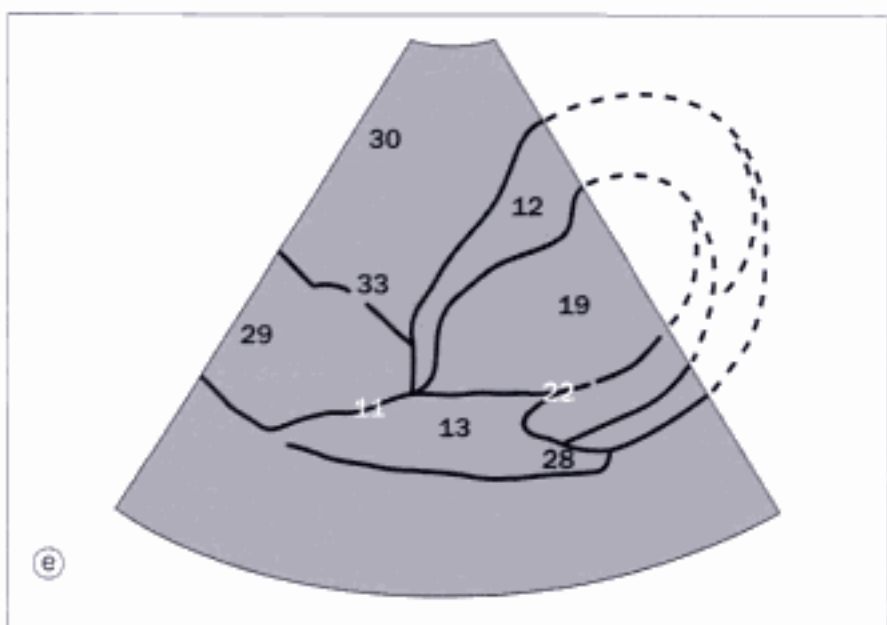
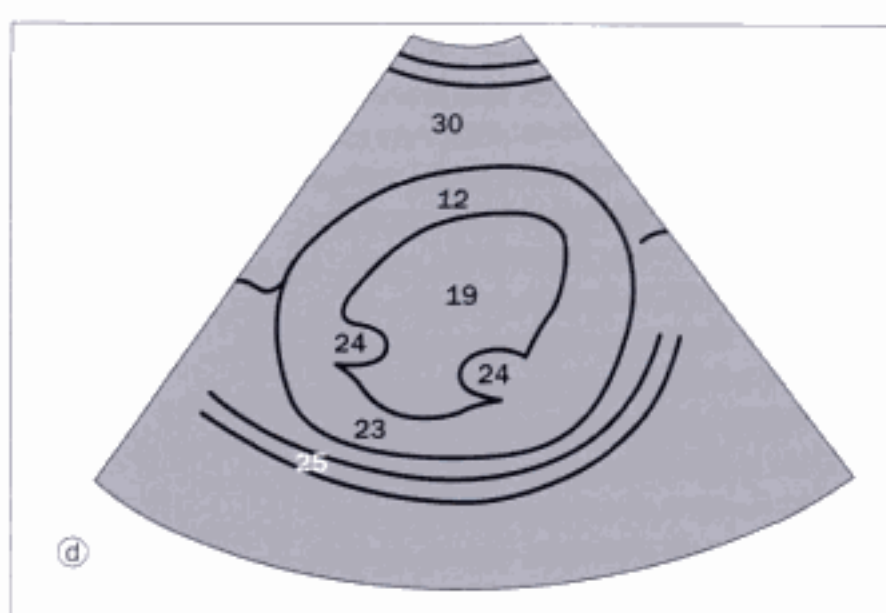
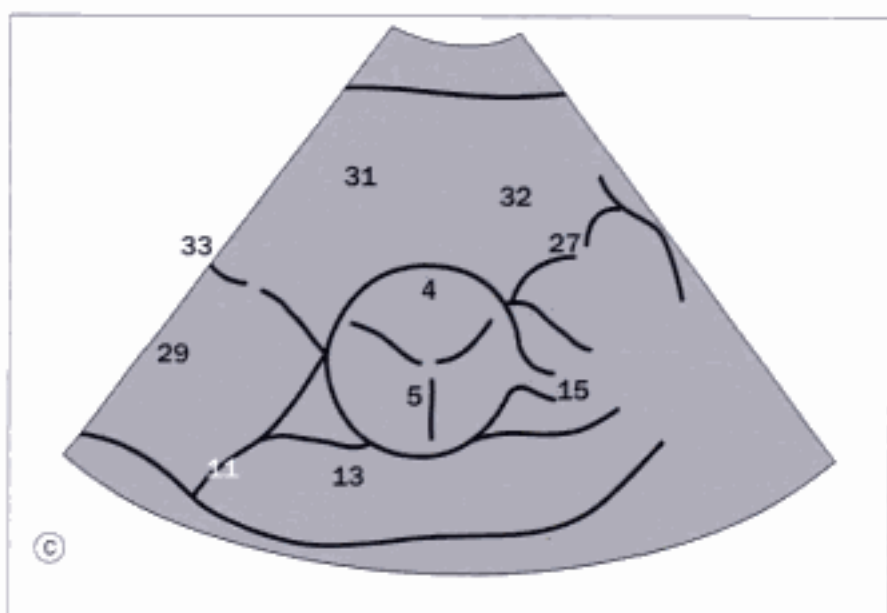
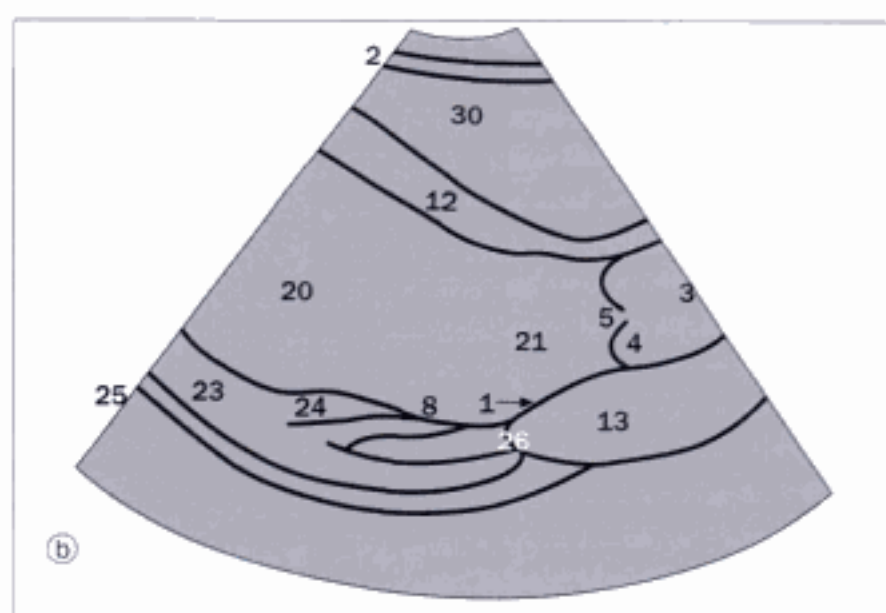
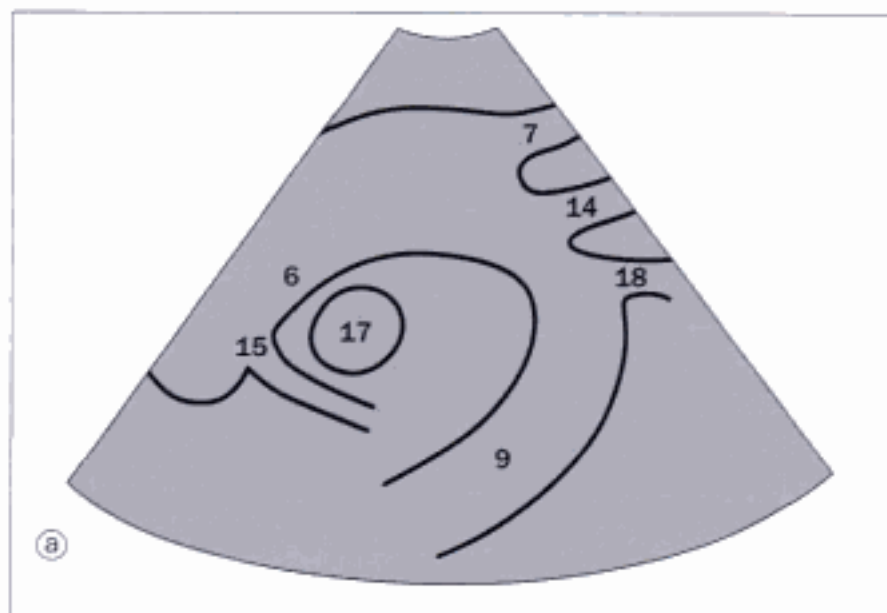
Artériographie pulmonaire, phase veineuse.

- | | |
|--------------------------------------|---------------------------------------|
| 1 Aorte | 6 Veine pulmonaire supérieure gauche |
| 2 Crosse (arc) de l'aorte | 7 Ventricule gauche |
| 3 Auricule gauche | 8 Valve mitrale |
| 4 Oreillette gauche | 9 Veine pulmonaire inférieure droite |
| 5 Veine pulmonaire inférieure gauche | 10 Veine pulmonaire supérieure droite |

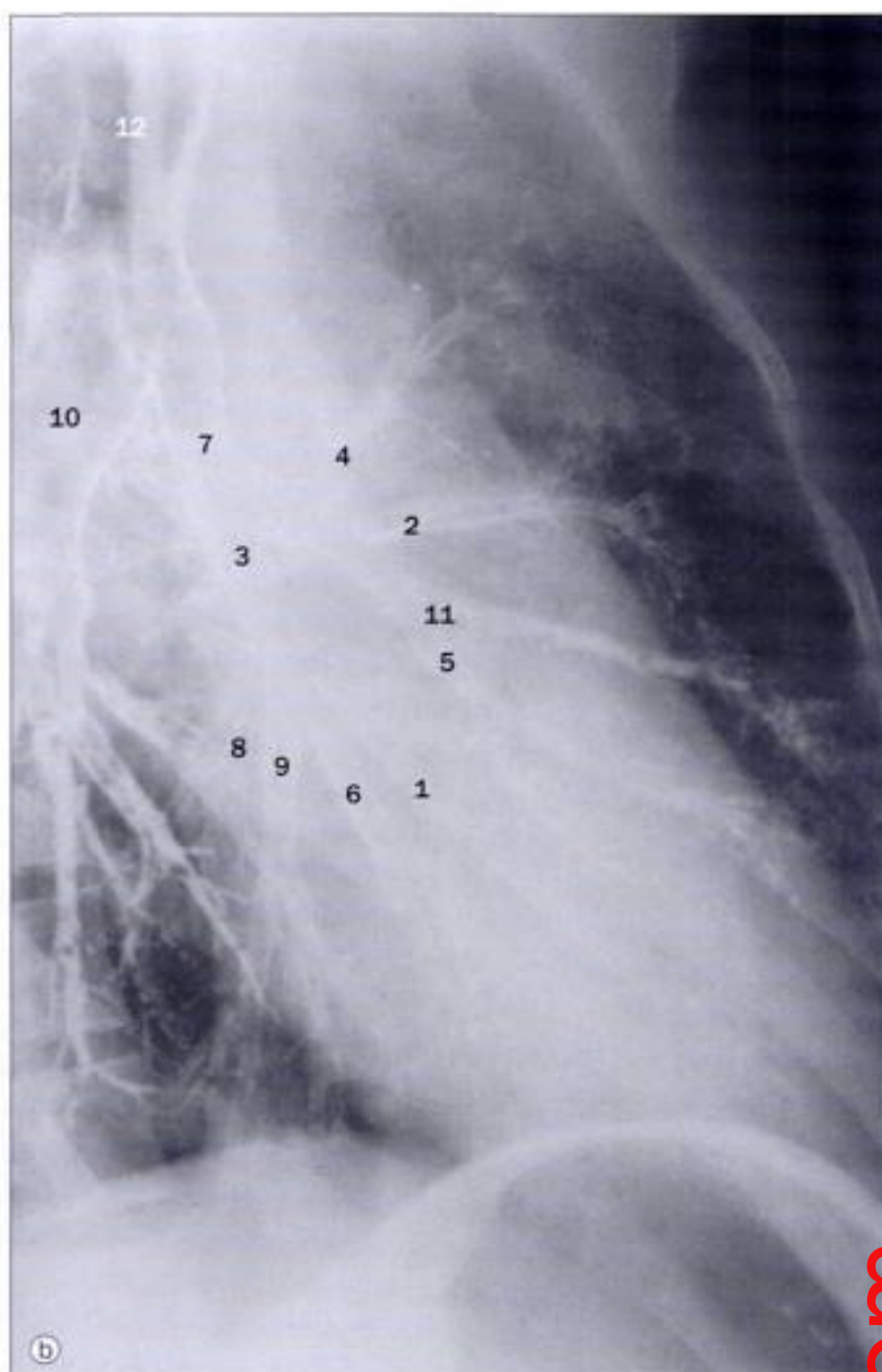
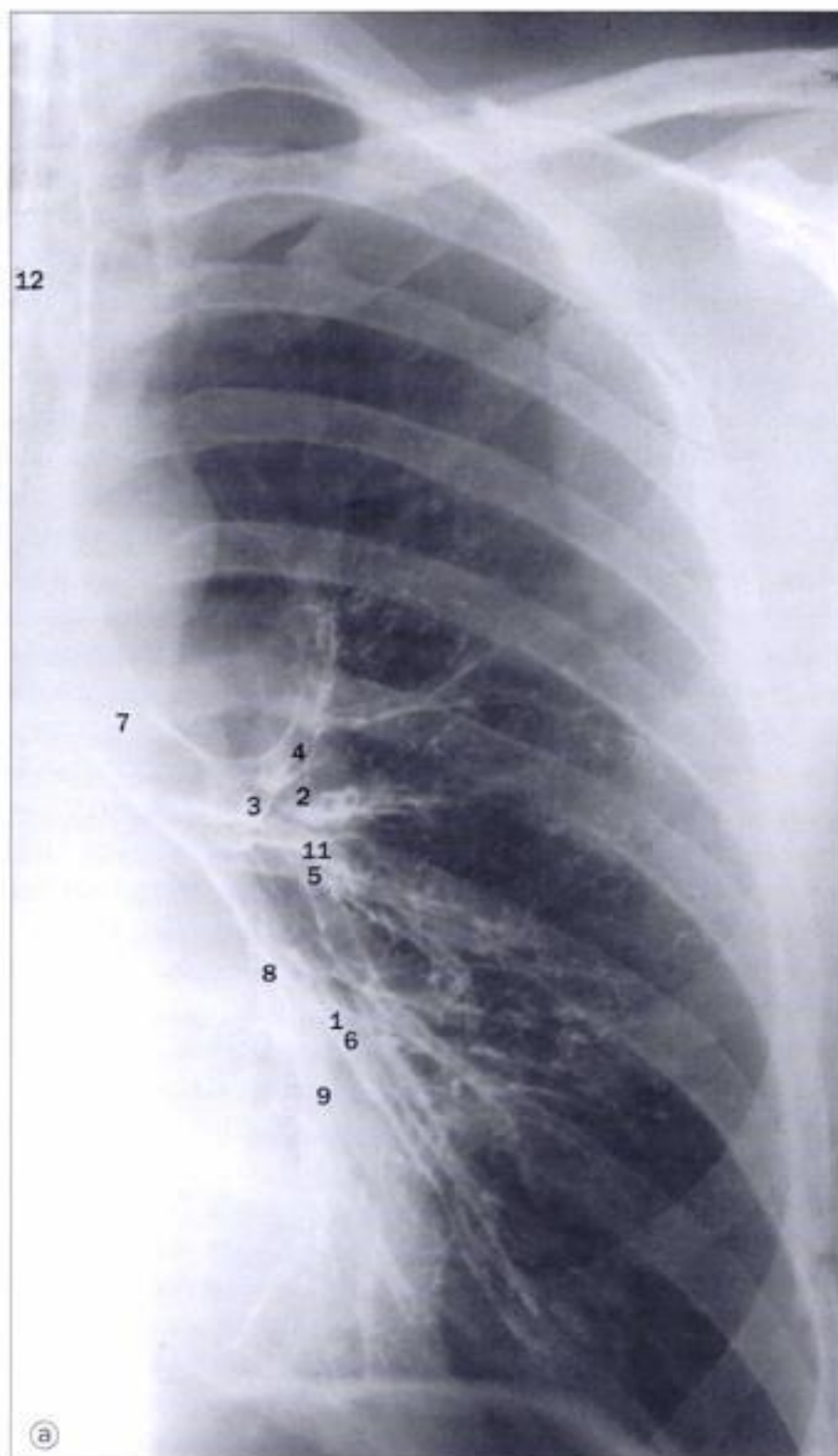


Échotomographies du cœur, (a) vue suprasternale de la crosse (arc) de l'aorte, (b) vue parasternale gauche du ventricule gauche dans son long axe, (c) coupe axiale (court axe) parasternale gauche au niveau de la valve aortique, (d) coupe axiale (court axe) parasternale gauche au niveau des muscles papillaires, (e) incidence apicale des quatre cavités, (f) incidence sous-costale des quatre cavités.

- | | | | |
|--|--|---|--|
| 1 Cuspide antérieure de la valve mitrale | 9 Aorte descendante | 17 Artère pulmonaire gauche | 26 Cuspide postérieure de la valve mitrale |
| 2 Paroi antérieure du ventricule droit | 10 Paroi inférieure du ventricule gauche | 18 Artère subclavière gauche | 27 Valve pulmonaire |
| 3 Aorte | 11 Septum interatrial | 19 Ventricule gauche | 28 Veine pulmonaire |
| 4 Sinus de l'aorte | 12 Septum interventriculaire | 20 Cavité ventriculaire gauche | 29 Oreillette droite |
| 5 Valve aortique | 13 Oreillette gauche | 21 Volume d'éjection du ventricule gauche | 30 Ventricule droit |
| 6 Aorte ascendante | 14 Artère carotide commune gauche | 22 Valve mitrale | 31 Cavité ventriculaire droite |
| 7 Tronc brachio-céphalique | 15 Artère coronaire gauche | 23 Myocarde | 32 Volume d'éjection du ventricule |
| 8 Cardiaque tendineux | 16 Lobe gauche du foie | 24 Muscles papillaires | 33 Valve tricuspidale |
| | | 25 Diaphragme | |

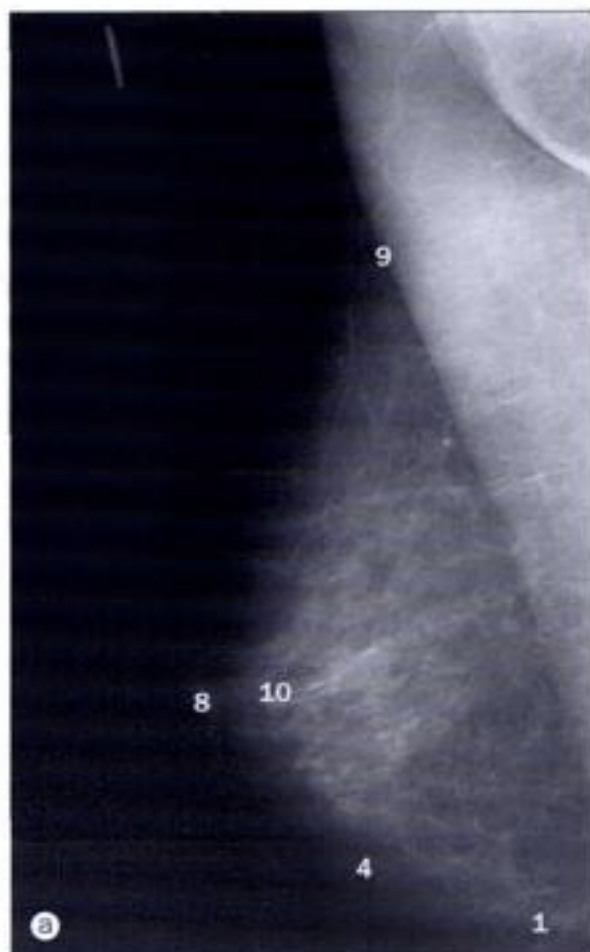


Dessin au trait correspondant aux décalques des illustrations de la page ci-contre. Pour les légendes, voir le bas de la page 112.

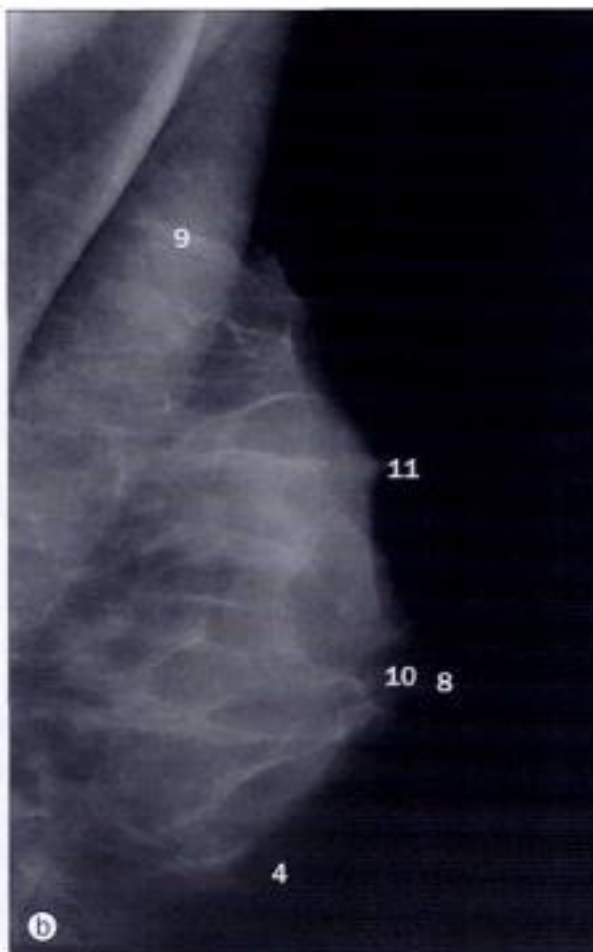


Bronchographie du poumon gauche, **(a)** vue antéro-postérieure, **(b)** projection oblique.

- 1 Bronche segmentaire basale antérieure
- 2 Bronche segmentaire antérieure
- 3 Bronche segmentaire apicale (supérieure)
- 4 Bronche segmentaire apico-postérieure
- 5 Bronche segmentaire lingulaire inférieure
- 6 Bronche segmentaire basale latérale
- 7 Bronche principale gauche
- 8 Bronche segmentaire basale médiale
- 9 Bronche segmentaire basale postérieure
- 10 Bronche principale droite
- 11 Bronche segmentaire lingulaire supérieure
- 12 Trachée

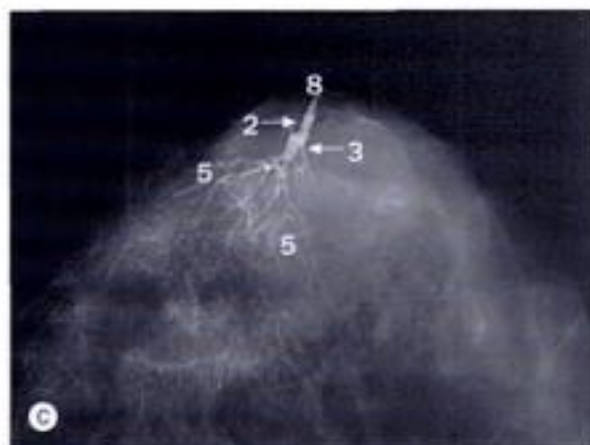


(a) Sein droit postménopausique, mammographie en projection latérale oblique.

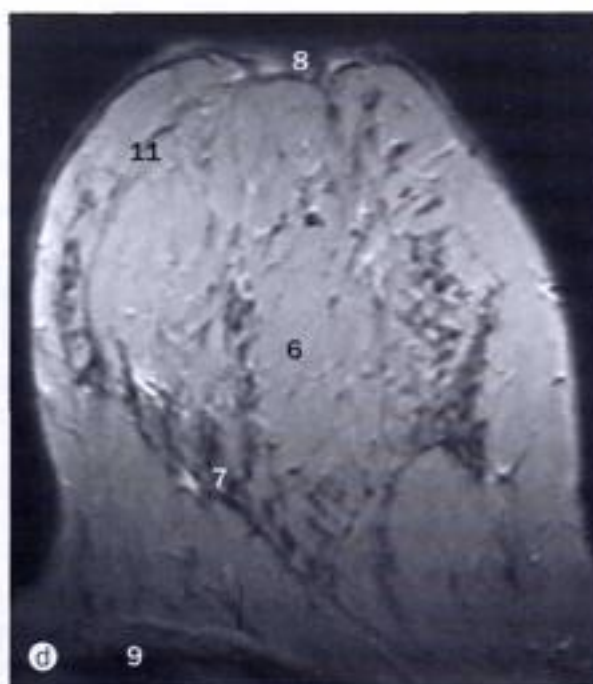


(b) Sein gauche préménopausique, mammographie en projection latérale oblique.

- 1 Pli inframammaire
- 2 Conduit lactifère
- 3 Sinus lactifère
- 4 Ligne de la peau
- 5 Exemple de conduit lobaire (comprenant des conduits (intra)lobaires et des unités lobulaires terminales)
- 6 Tissu adipeux mammaire
- 7 Tissu mammaire fibro-glandulaire
- 8 Mamelon
- 9 Muscle pectoral
- 10 Région subaréolaire
- 11 Ligament suspanseur (Cooper)



(c) Sein droit préménopausique, image crânio-caudale d'une galactographie.



(d) IRM d'un sein.

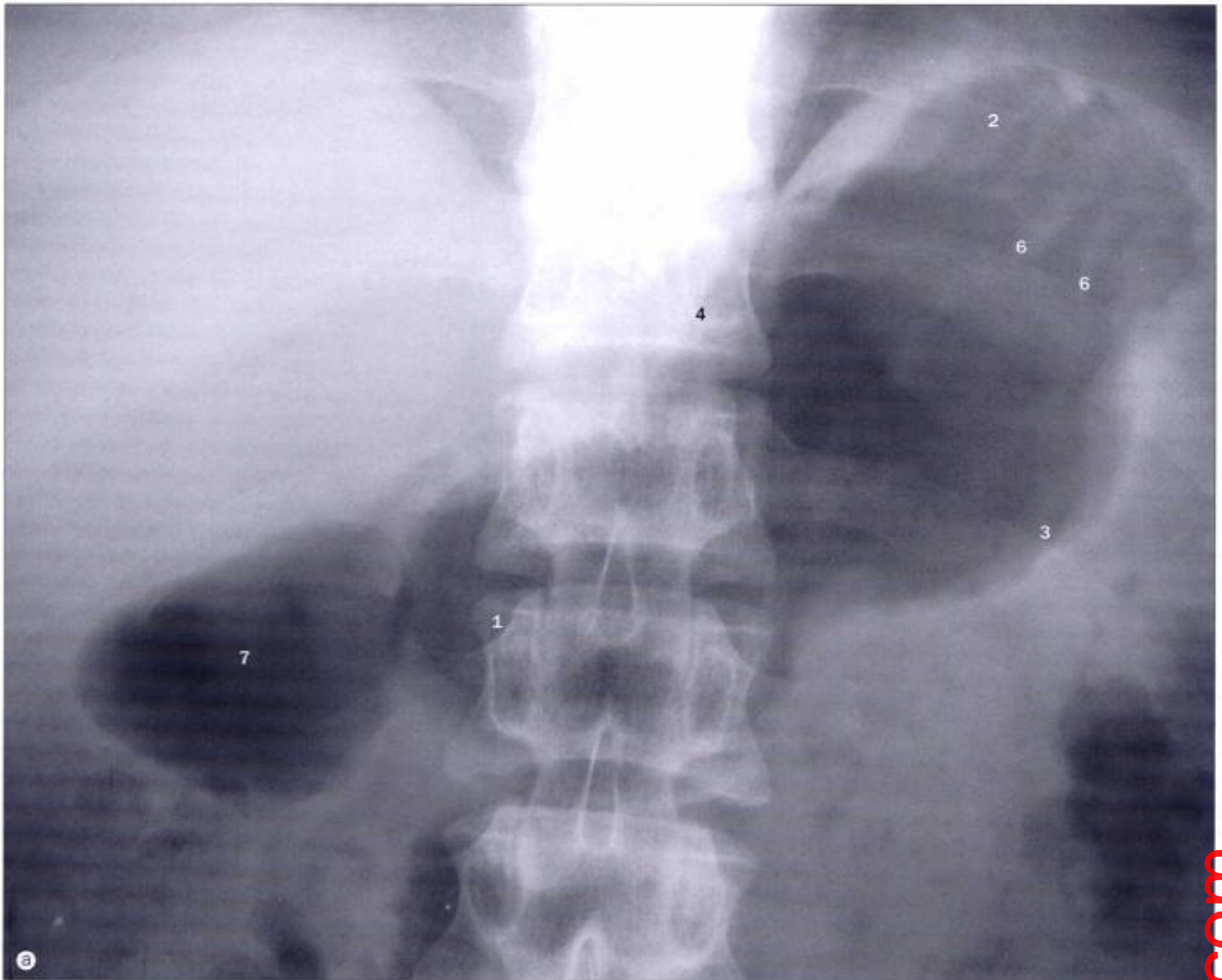
5

Abdomen

Abdomen, projection en décubitus dorsal.

- 1 Gaz dans le cæcum et dans le côlon ascendant
- 2 Gaz dans le côlon descendant
- 3 Gaz dans l'estomac
- 4 Rein gauche
- 5 Muscle psoas gauche
- 6 Rein droit
- 7 Muscle psoas droit
- 8 Douzième côte

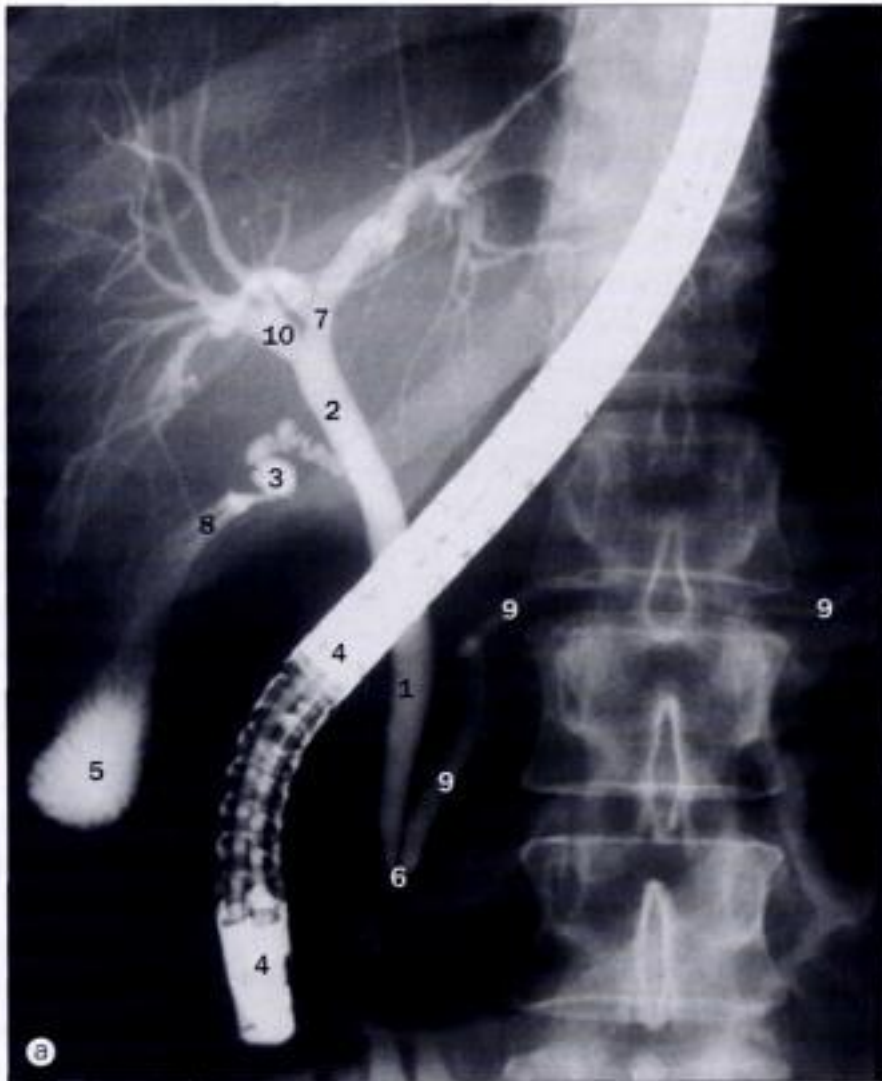




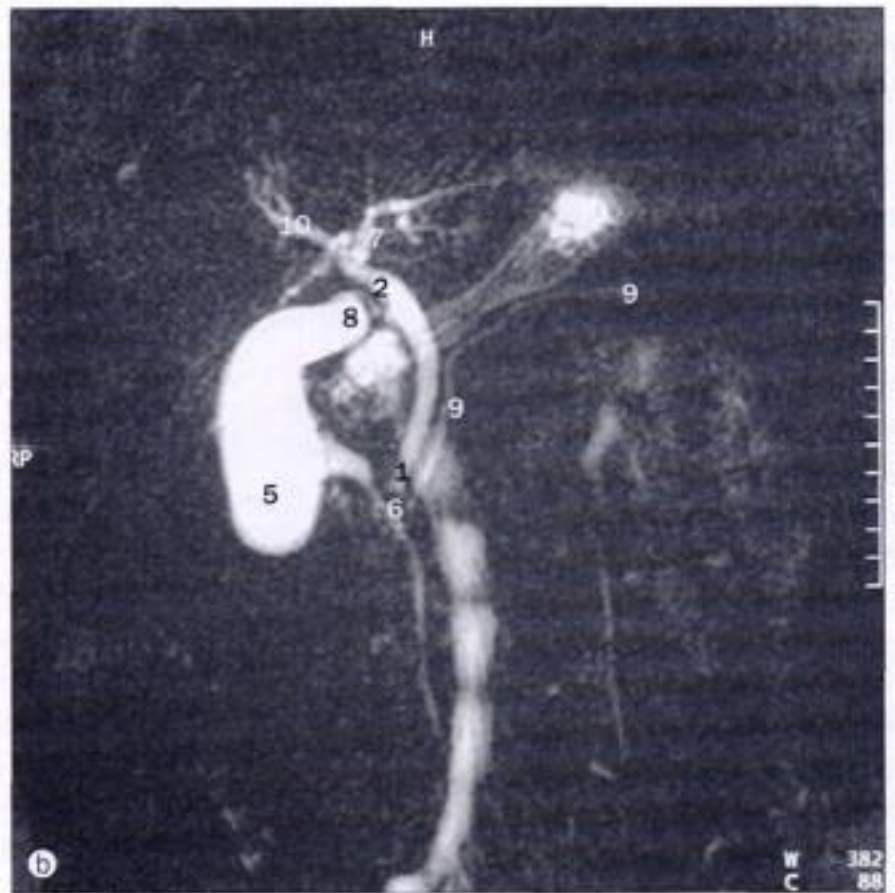
Abdomen, **(a)** avec air dans l'estomac et dans la première partie du duodénum, **(b)** avec mise en évidence d'un nœud lymphatique calcifié, **(c)** avec calcifications veineuses (phlébolithes) pelviennes, projections en décubitus dorsal.



- 1 Antre de l'estomac
- 2 Fundus
- 3 Grande courbure de l'estomac
- 4 Petite courbure de l'estomac
- 5 Phlébolithe
- 6 Plis de l'estomac
- 7 Partie supérieure (première partie) du duodénum (bulbe)
- 8 Nœud lymphatique calcifié



(a) Cholangio-pancréatographie endoscopique rétrograde (ERCP).

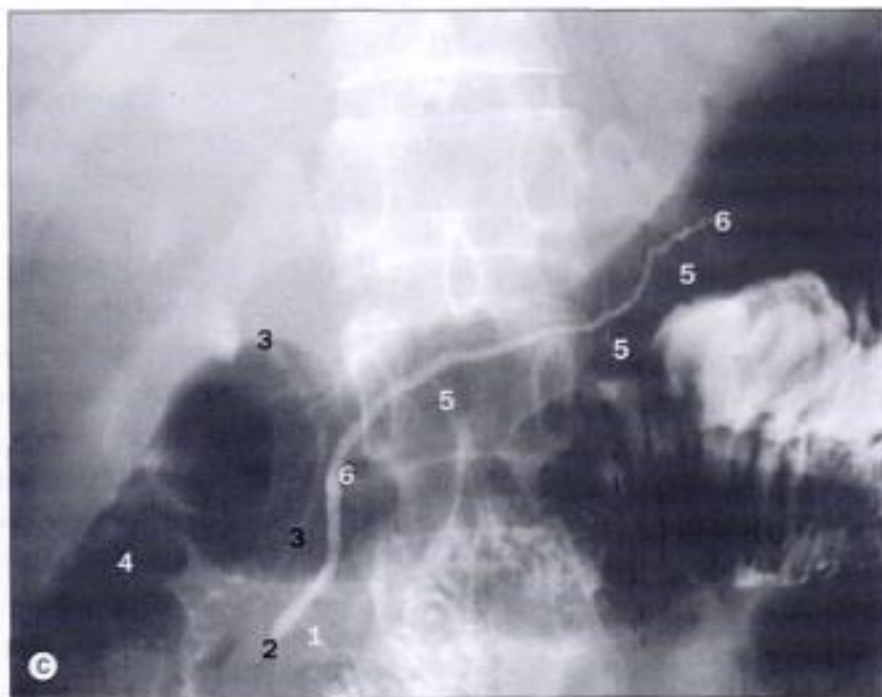


(b) Cholangio-pancréatographie magnétique (MRCP).

- 1 Conduit cholédoque
- 2 Conduit hépatique commun
- 3 Conduit cystique
- 4 Endoscope dans le duodénum

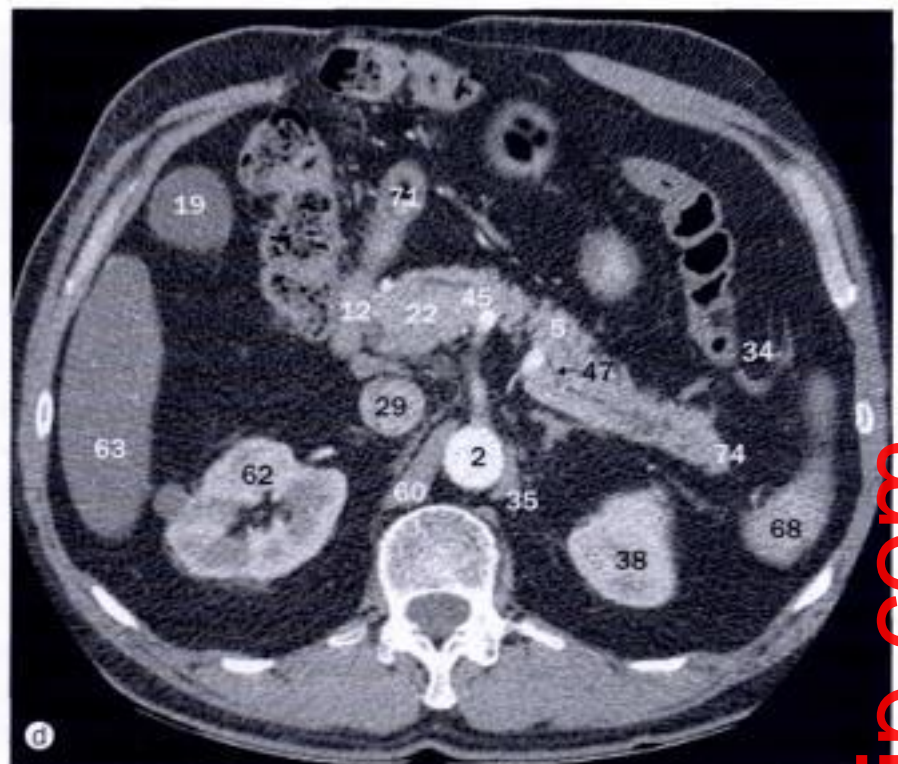
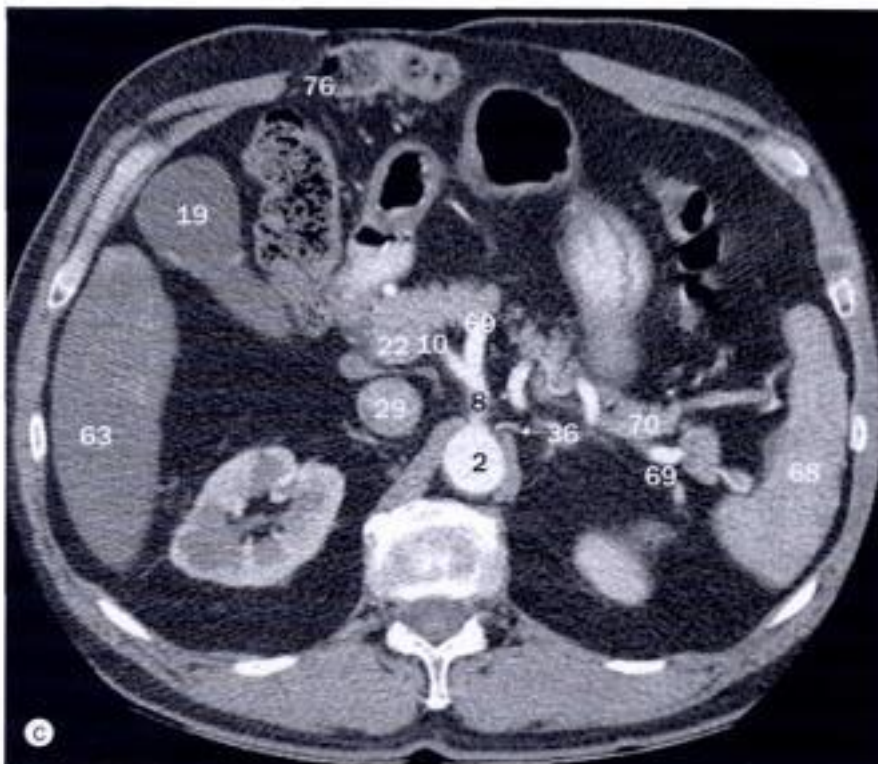
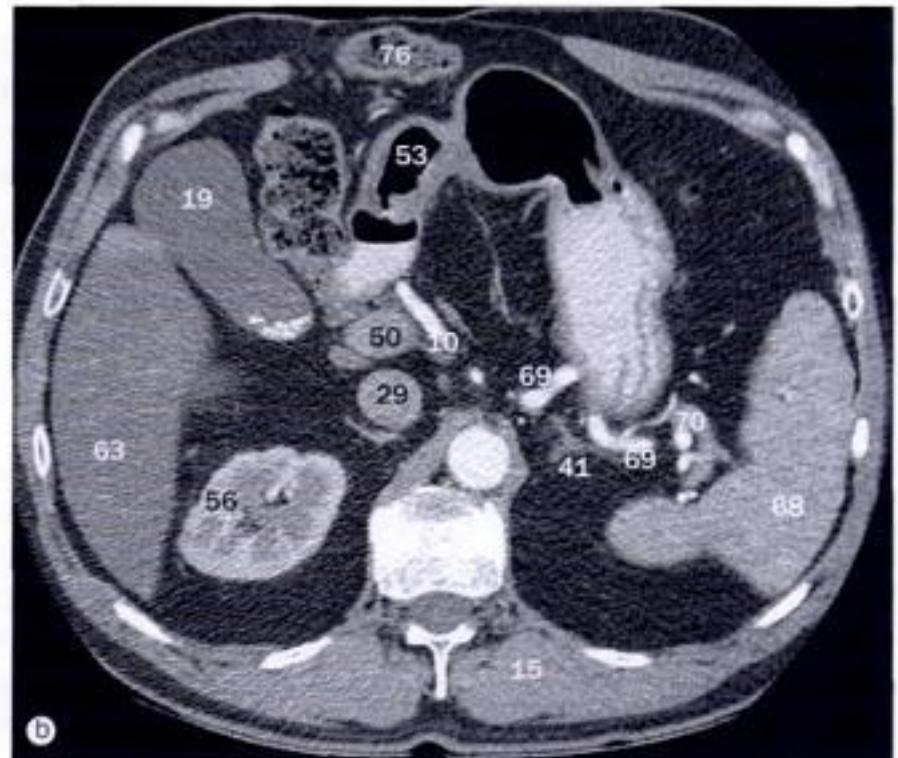
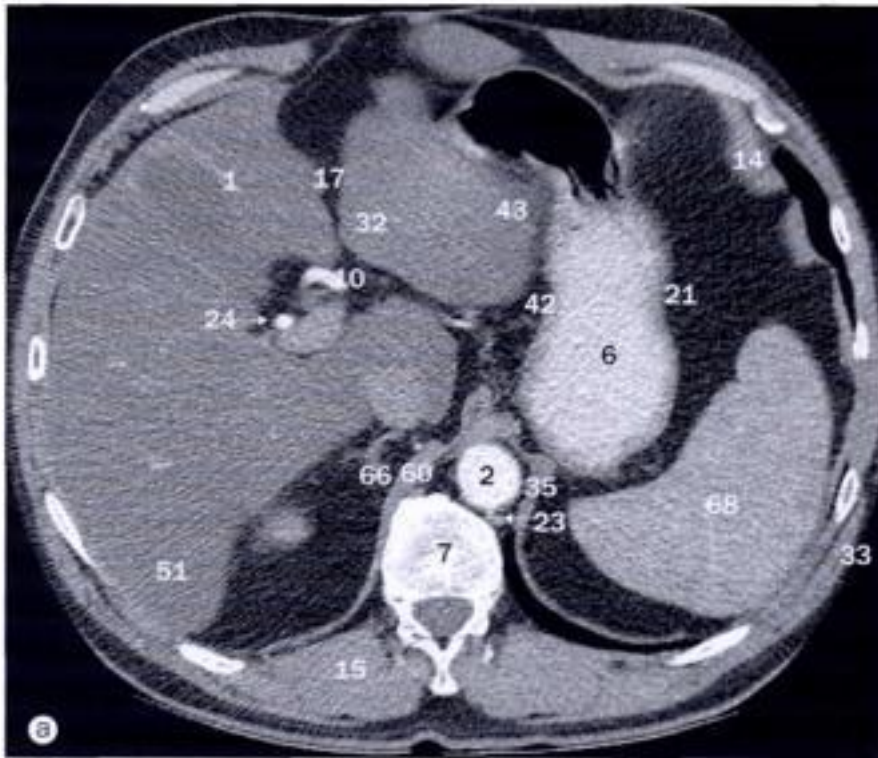
- 5 Vésicule biliaire
- 6 Ampoule hépato-pancréatique (Vater)
- 7 Conduit hépatique gauche

- 8 Col de la vésicule biliaire
- 9 Conduit pancréatique droit
- 10 Conduit hépatique



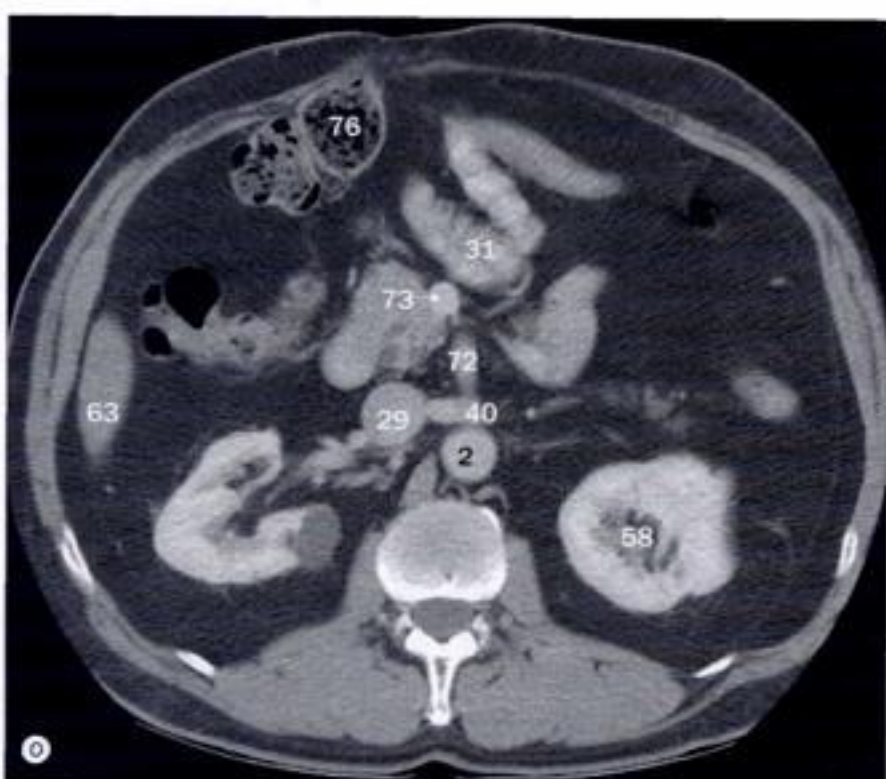
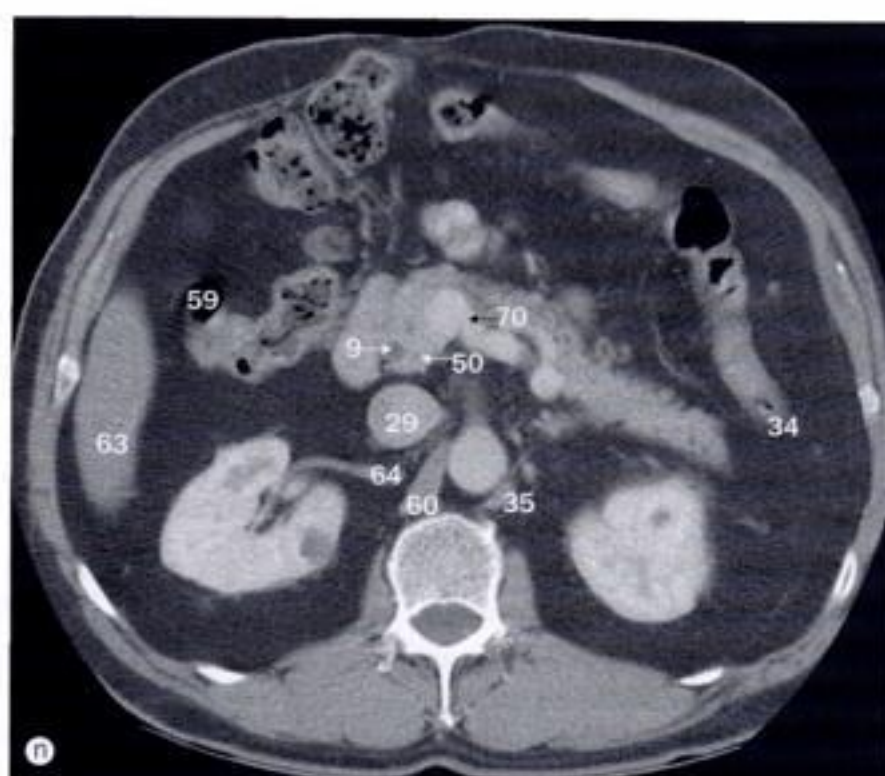
(c) ERCP

- 1 Conduit pancréatique accessoire (Santorini)
- 2 Partie ampullaire du conduit pancréatique
- 3 Produit de contraste et gaz dans la partie descendante (deuxième) du duodénum
- 4 Conduits intralobulaires
- 5 Conduit pancréatique principal



Les huit images suivantes sont des coupes axiales en TDM (a - h) de l'abdomen supérieur au cours de la phase artérielle d'une injection d'un produit de contraste pour mettre le système artériel en évidence. L'anatomie veineuse du même patient est présentée immédiatement après, grâce aux images suivantes (i - t).

- | | | |
|--|---|---|
| 1 Segment antérieur du lobe droit du foie | 14 Diaphragme | 27 Ilium |
| 2 Aorte | 15 Muscle érecteur du rachis | 28 Artère mésentérique inférieure |
| 3 Côlon ascendant | 16 Muscle oblique externe | 29 Veine cave inférieure |
| 4 Veine azygos | 17 Fissure du ligament veineux | 30 Muscle oblique interne |
| 5 Corps du pancréas | 18 Fundus gastrique | 31 Jéjunum |
| 6 Corps de l'estomac | 19 Vésicule biliaire | 32 Segment latéral du lobe gauche du foie |
| 7 Corps de la vertèbre | 20 Muscle moyen fessier | 33 Muscle grand dorsal |
| 8 Tronc coeliaque | 21 Grande courbure de l'estomac | 34 Angle colique gauche (splénique) |
| 9 Conduit cholédoque | 22 Tête du pancréas | 35 Pilier gauche du diaphragme |
| 10 Artère hépatique commune | 23 Veine hémi-azygos | 36 Artère gastrique gauche |
| 11 Artère iliaque commune | 24 Artère hépatique | 37 Veine hépatique gauche |
| 12 Partie descendante (deuxième) du duodénum | 25 Partie horizontale (troisième) du duodénum | 38 Rein gauche |
| 13 Côlon descendant | 26 Iléon | 39 Artère rénale gauche |

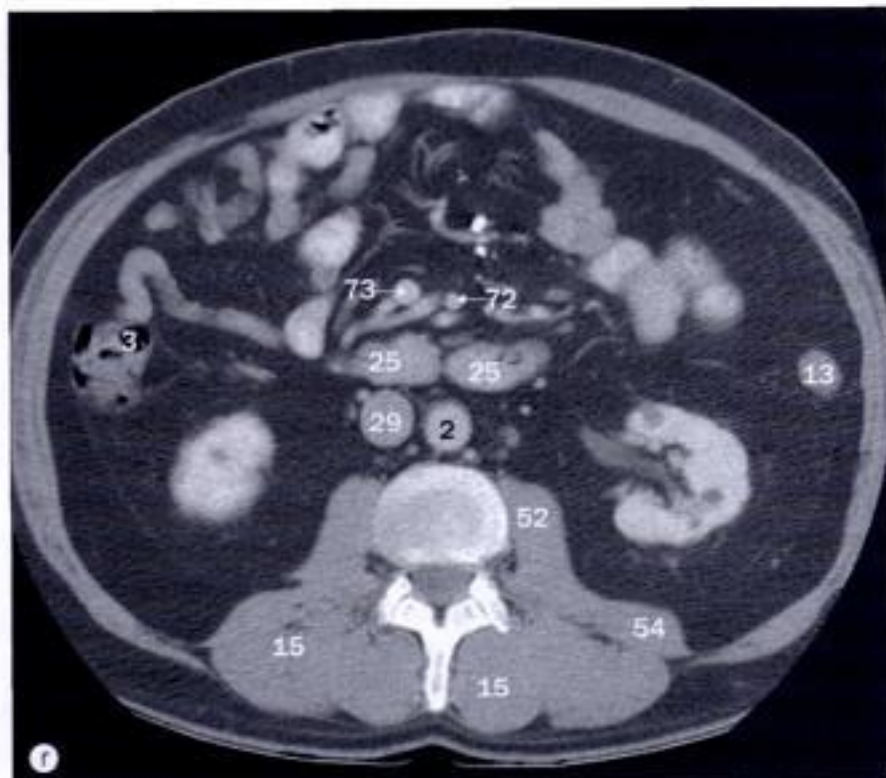
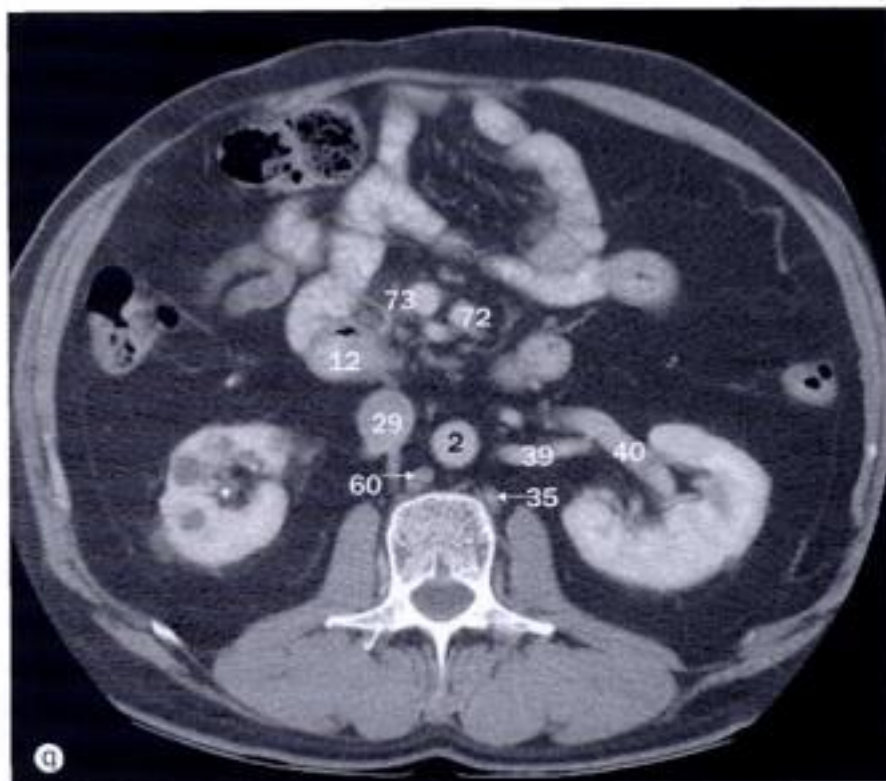


(m) - (p) TDM dans l'abdomen ; coupes axiales pendant la phase veineuse d'une injection d'un produit de contraste.

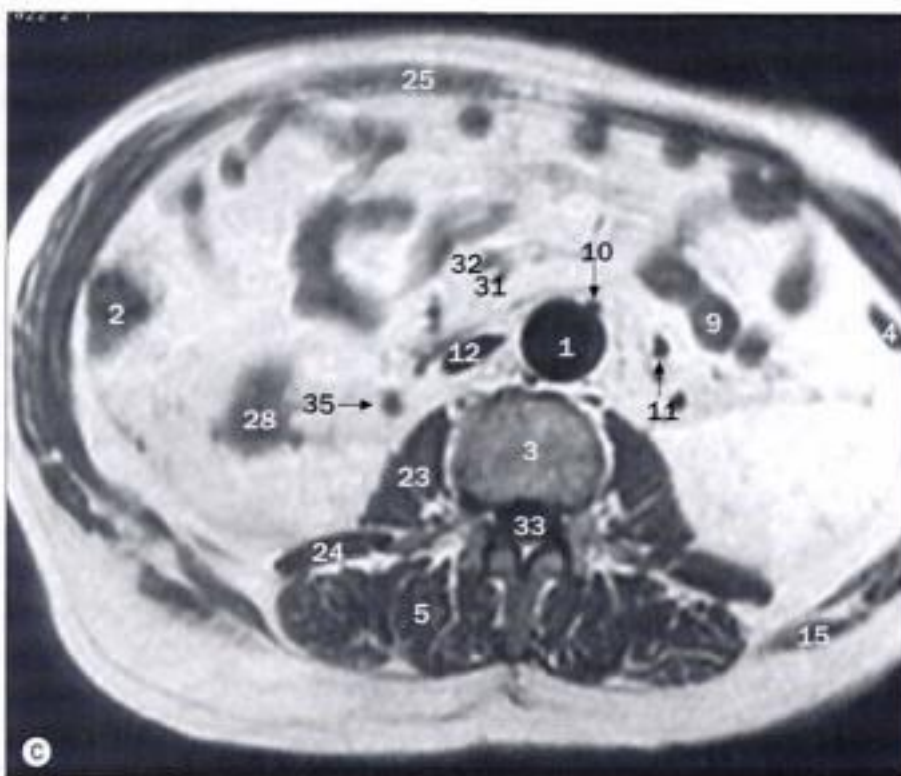
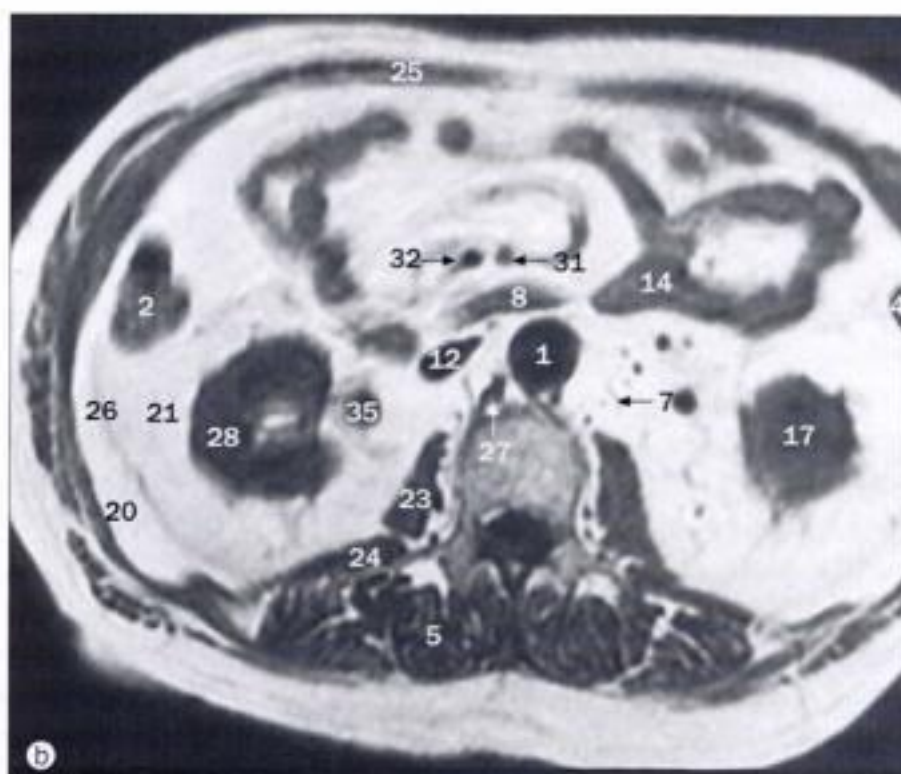
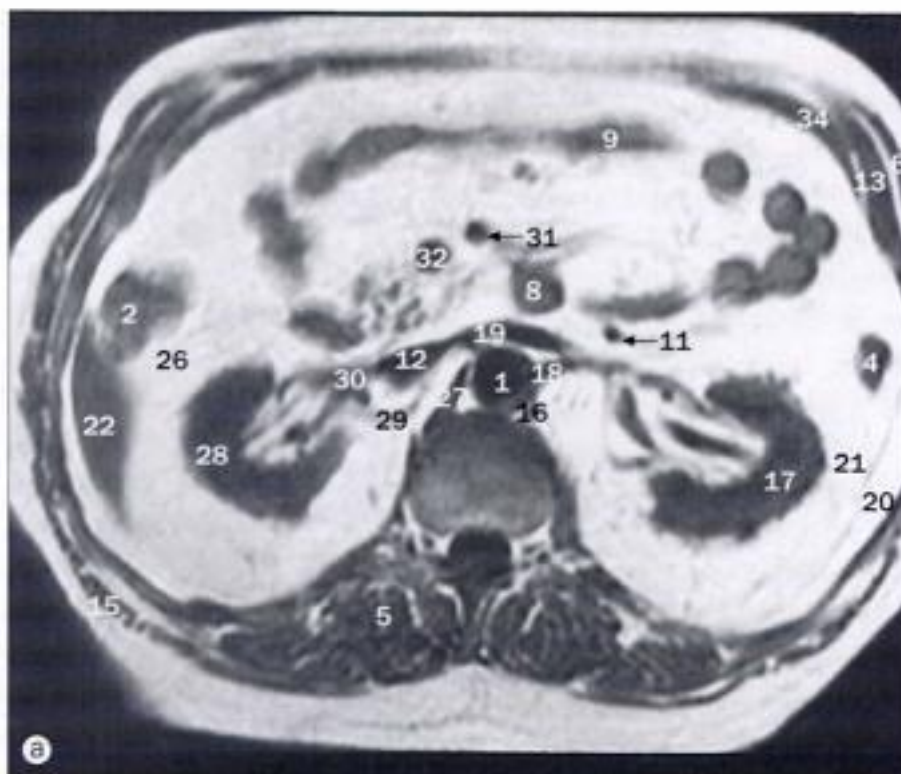
43 Segment médial du lobe gauche du foie
 44 Veine hépatique moyenne
 45 Isthme du pancréas
 46 Œsophage
 47 Conduit pancréatique
 48 Tissu adipeux pararénal
 49 Tissu adipeux périrénal
 50 Veine porte
 51 Segment postérieur du lobe droit du foie
 52 Muscle grand psoas
 53 Partie pylorique de l'estomac
 54 Muscle carré des lombes

55 Muscle droit de l'abdomen
 56 Cortex rénal
 57 Fascia rénal
 58 Bassinet du rein
 59 Angle colique droit (hépatique)
 60 Pilier droit du diaphragme
 61 Veine hépatique droite
 62 Rein droit
 63 Lobe droit du foie
 64 Artère rénale droite
 65 Veine rénale droite
 66 Glande surrénale droite

67 Muscle dentelé antérieur
 68 Rate
 69 Artère splénique
 70 Veine splénique
 71 Partie supérieure (première) du duodénum
 72 Artère mésentérique supérieure
 73 Veine mésentérique supérieure
 74 Queue du pancréas
 75 Sac dural
 76 Côlon transverse

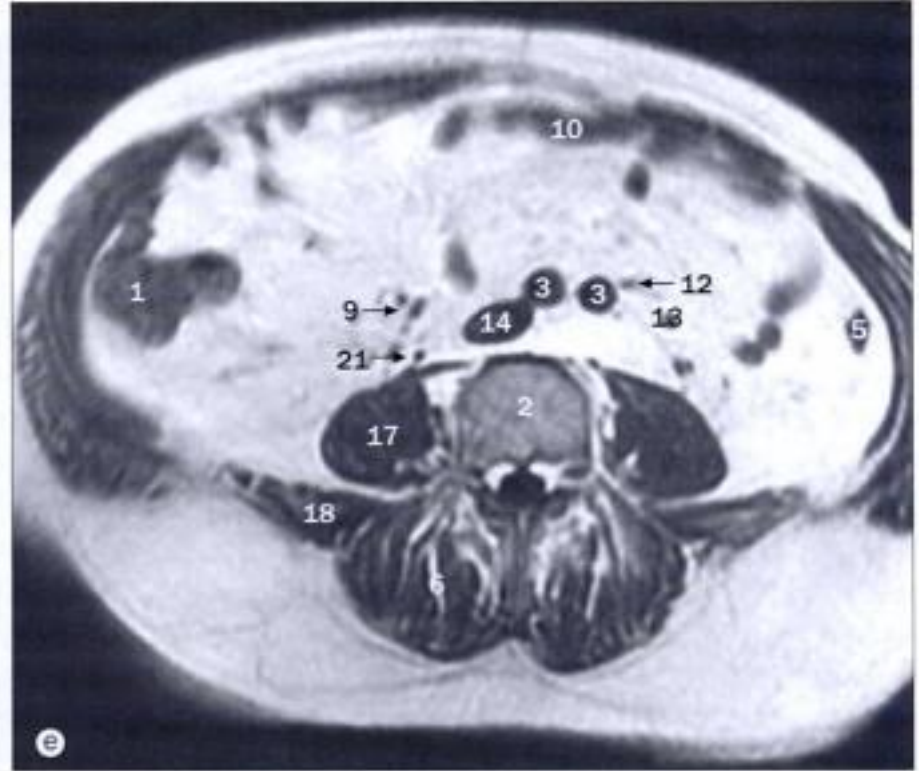
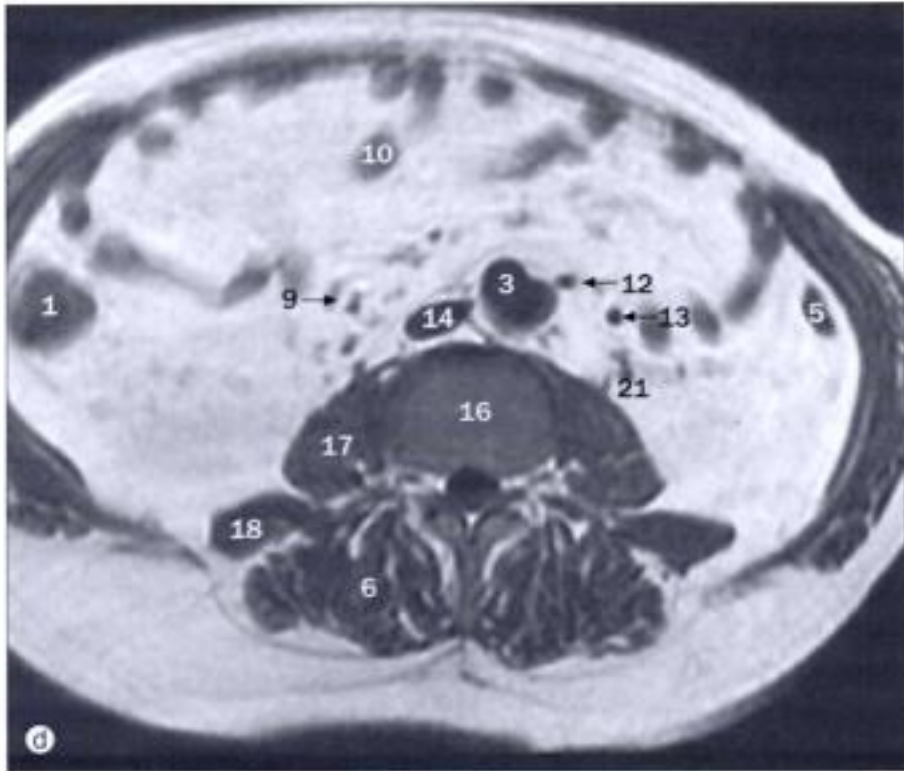


(q) - (t) TDM de l'abdomen ; coupes axiales pendant la phase veineuse d'une injection de produit de contraste.



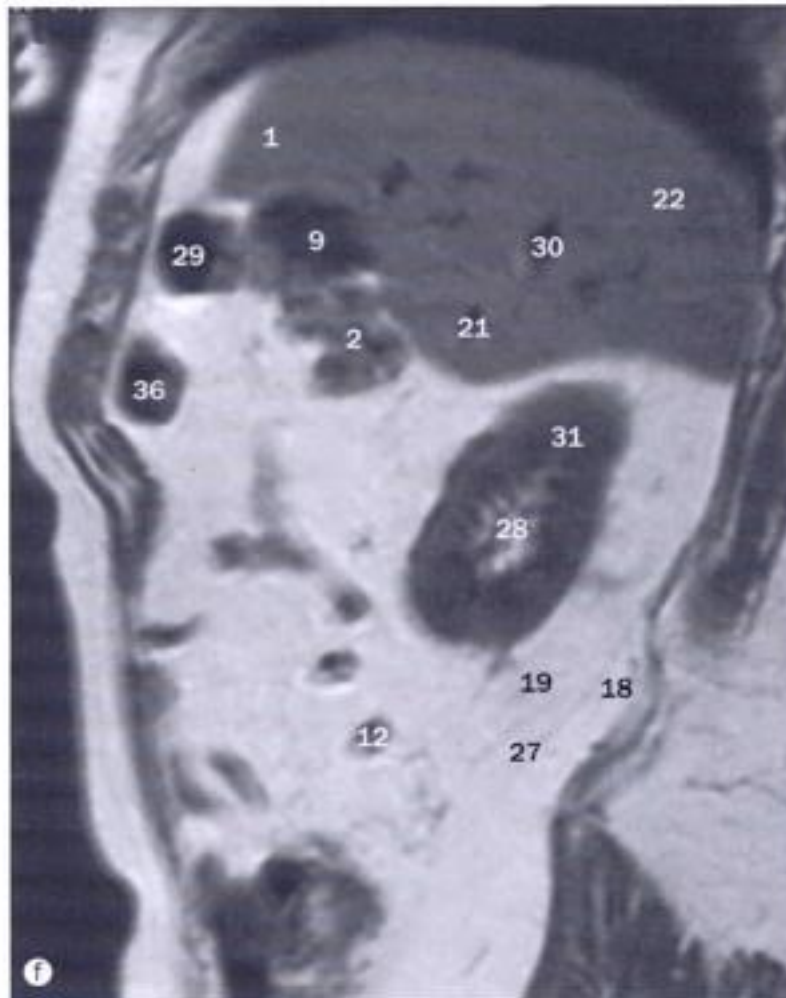
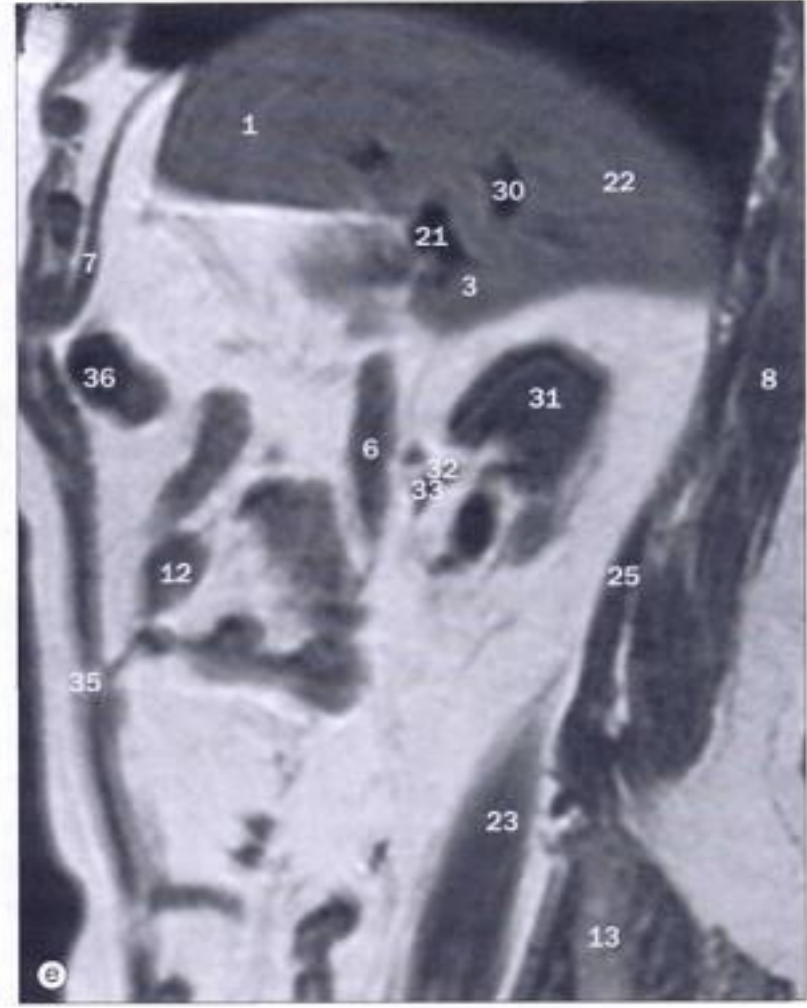
(a) - (f) Abdomen ; coupes axiales en IRM.

- | | |
|--|---|
| 1 Aorte | 19 Veine rénale gauche |
| 2 Côlon ascendant | 20 Tissu adipeux pararénal |
| 3 Corps vertébral | 21 Tissu adipeux périrénal |
| 4 Côlon descendant | 22 Segment postérieur du lobe droit du foie |
| 5 Muscle érecteur du rachis | 23 Muscle grand psoas |
| 6 Muscle oblique externe | 24 Muscle carré des lombes |
| 7 Artère et veine gonadiques | 25 Muscle droit de l'abdomen |
| 8 Partie horizontale (troisième) du duodénum | 26 Fascia rénal |
| 9 Iléon | 27 Pilier droit du diaphragme |
| 10 Artère mésentérique inférieure | 28 Rein droit |
| 11 Veine mésentérique inférieure | 29 Artère rénale droite |
| 12 Veine cave inférieure | 30 Veine rénale droite |
| 13 Muscle oblique interne | 31 Artère mésentérique supérieure |
| 14 Jéjunum | 32 Veine mésentérique supérieure |
| 15 Muscle grand dorsal | 33 Sac dural |
| 16 Pilier gauche du diaphragme | 34 Muscle transverse de l'abdomen |
| 17 Rein gauche | 35 Urètre |
| 18 Artère rénale gauche | |



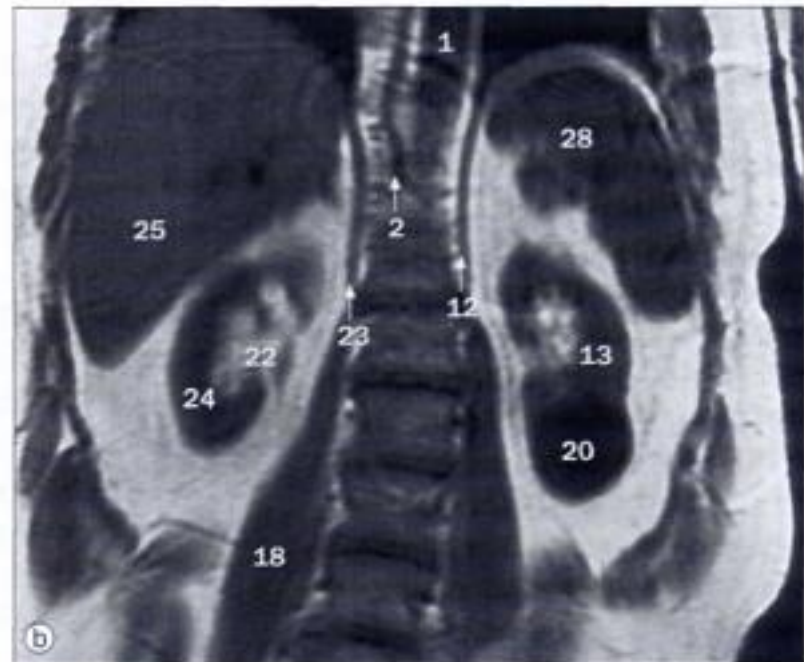
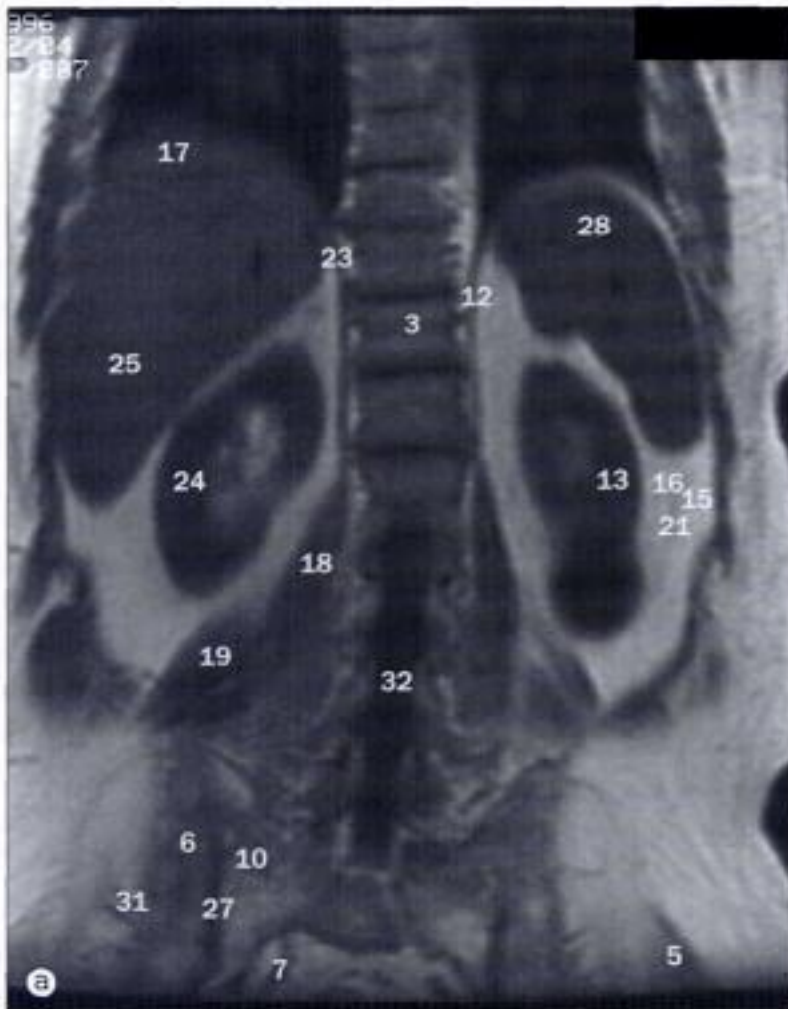
(d) - (f) IRM de l'abdomen, coupes axiales.

- | | |
|------------------------------|-----------------------------------|
| 1 Côlon ascendant | 12 Artère mésentérique inférieure |
| 2 Corps vertébral | 13 Veine mésentérique inférieure |
| 3 Artère iliaque commune | 14 Veine cave inférieure |
| 4 Veine iliaque commune | 15 Muscle oblique interne |
| 5 Côlon descendant | 16 Disque intervertébral |
| 6 Muscle érecteur du rachis | 17 Muscle grand psoas |
| 7 Muscle oblique externe | 18 Muscle carré des lombes |
| 8 Muscle moyen fessier | 19 Muscle droit de l'abdomen |
| 9 Artère et veine gonadiques | 20 Muscle transverse de l'abdomen |
| 10 Iléon | 21 Urètre |
| 11 Ilium | |

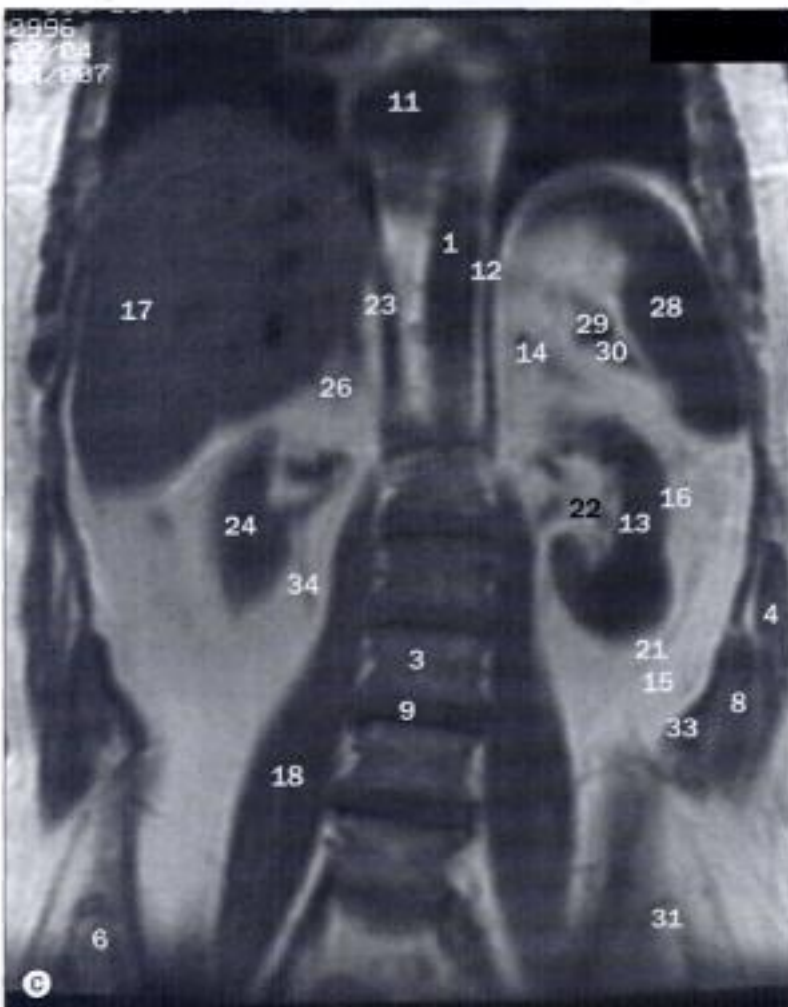


(d) - (f) IRM de l'abdomen, coupes sagittales.

- | | |
|--|--|
| 1 Segment antérieur du lobe droit du foie | 19 Tissu adipeux périrénal |
| 2 Côlon ascendant | 20 Hile du foie |
| 3 Lobe caudé du foie | 21 Veine porte |
| 4 Artère iliaque commune | 22 Segment postérieur du lobe du foie |
| 5 Veine iliaque commune | 23 Muscle grand psoas |
| 6 Partie descendante (deuxième partie) du duodénum | 24 Partie pylorique de l'estomac |
| 7 Diaphragme | 25 Muscle carré des lombes |
| 8 Muscle érecteur du rachis | 26 Muscle droit de l'abdomen |
| 9 Vésicule biliaire | 27 Fascia rénal |
| 10 Tête du pancréas | 28 Bassinet du rein |
| 11 Partie horizontale (troisième partie) du duodénum | 29 Angle colique droit (hépatique) |
| 12 Iléon | 30 Veine hépatique droite |
| 13 Ilium | 31 Rein droit |
| 14 Veine cave inférieure | 32 Artère rénale droite |
| 15 Segment latéral du lobe gauche du foie | 33 Veine rénale droite |
| 16 Veine hépatique gauche | 34 Partie supérieure (première partie) du duodénum |
| 17 Veine hépatique moyenne | 35 Intersection tendineuse |
| 18 Tissu adipeux pararénal | 36 Côlon transverse |
| | 37 Processus uncinatus de la tête du pancréas |



(a) - (t) IRM de l'abdomen, coupes frontales (coronales).
 • Remarquez la présence d'un petit kyste dans le rein gauche.

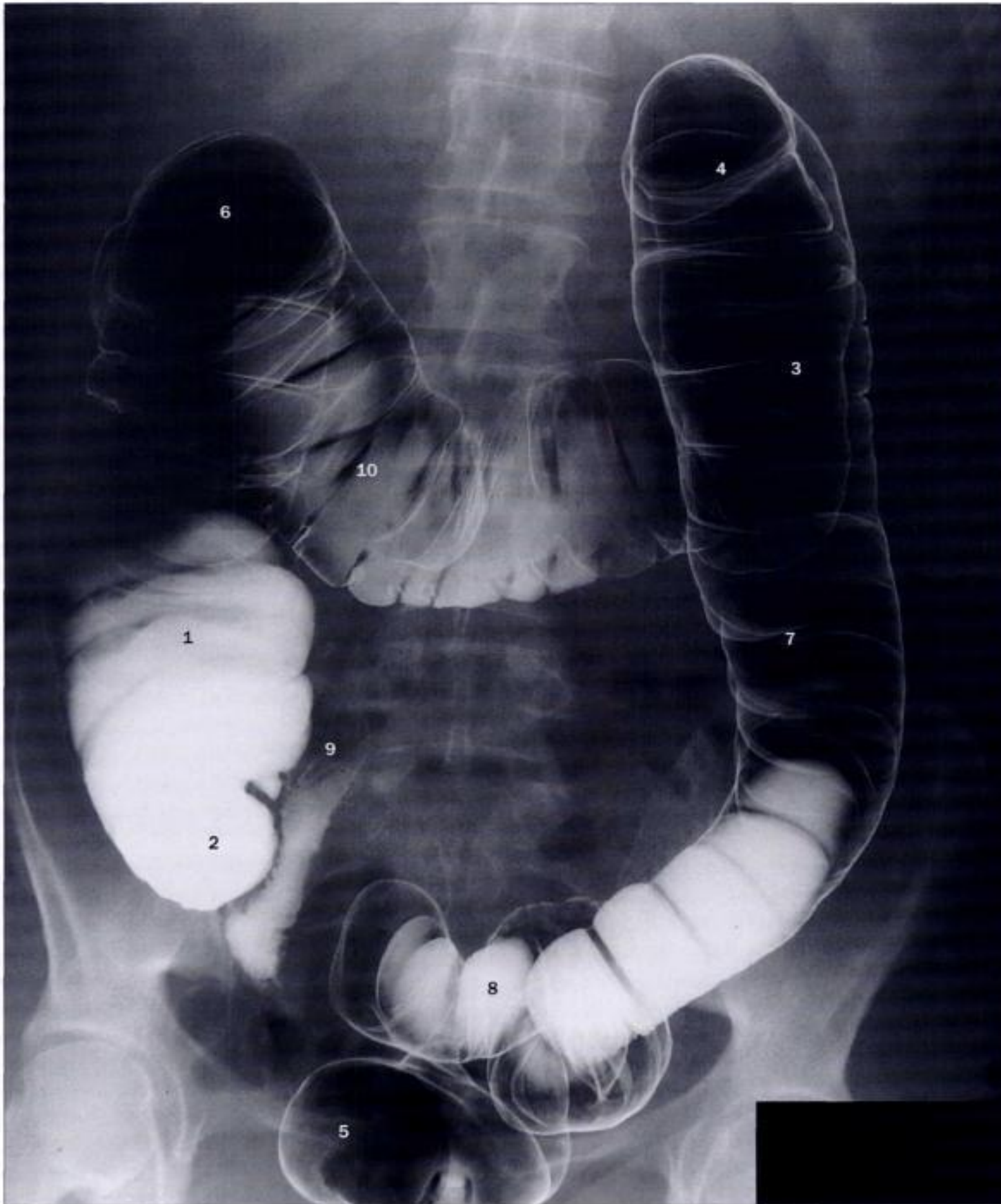


- | | |
|---|-----------------------------------|
| 1 Aorte | 18 Muscle grand psoas |
| 2 Veine azygos | 19 Muscle carré des lombes |
| 3 Corps vertébral | 20 Kyste rénal |
| 4 Muscle oblique externe | 21 Fascia rénal |
| 5 Muscle grand fessier | 22 Bassinet du rein |
| 6 Ilium | 23 Pilier droit du diaphragme |
| 7 Artère iliaque interne | 24 Rein droit |
| 8 Muscle oblique interne | 25 Lobe droit du foie |
| 9 Disque intervertébral | 26 Glande surrénale droite |
| 10 Partie latérale (aile) du sacrum | 27 Articulation sacro-iliaque |
| 11 Oreillette gauche | 28 Rate |
| 12 Pilier gauche du diaphragme | 29 Artère splénique |
| 13 Rein gauche | 30 Veine splénique |
| 14 Glande surrénale gauche | 31 Artère glutéale supérieure |
| 15 Tissu adipeux pararénel | 32 Sac dural |
| 16 Tissu adipeux périrénal | 33 Muscle transverse de l'abdomen |
| 17 Segment postérieur du lobe droit du foie | 34 Urètre |



Abdomen, transit intestinal, (a) patient en décubitus dorsal, (b) vue localisée sur l'iléon terminal, radiographies en incidence antéro-postérieure.

- | | |
|---|--|
| 1 Cæcum | 6 Articulation sacro-iliaque droite |
| 2 Dispositif assurant la compression | 7 Estomac |
| 3 Partie descendante (deuxième) du duodénum | 8 Iléon terminal |
| 4 Iléon proximal | 9 Valvules conniventes (plis circulaires) du jéjunum |
| 5 Jéjunum proximal | |



Abdomen, lavement baryté en double contraste du gros intestin (côlon).

- | | |
|------------------------------------|--------------------------------------|
| 1 Côlon ascendant | 6 Angle colique droit (hépatique) |
| 2 Cæcum | 7 Bosselures (haustrations) du côlon |
| 3 Côlon descendant | 8 Côlon sigmoïde |
| 4 Angle colique gauche (splénique) | 9 Iléon terminal |
| 5 Rectum | 10 Côlon transverse |

Gratuittement

www.lemanip.com

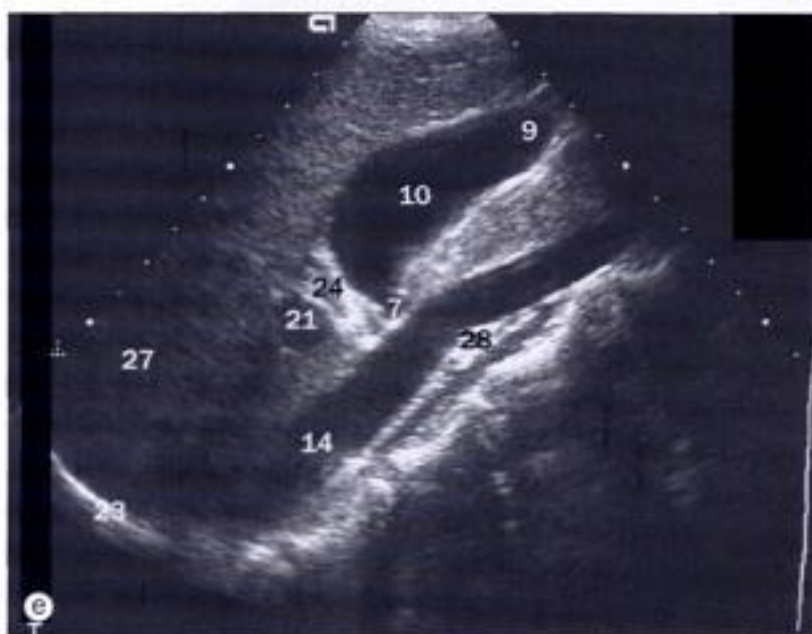
Radiologie et imagerie medicale



Livres, memoires, rapport de stage, courses, radiologie conventionnelle, Scanner, TDM, IRM, Scintigraphie, Medecine nucleaire, Radiotherapie, Radiologie Interventionnelle, Oncologie, Clichees, Cas interpretes, exposes, medecine

<https://www.lemanip.com/>

www.lemanip.com

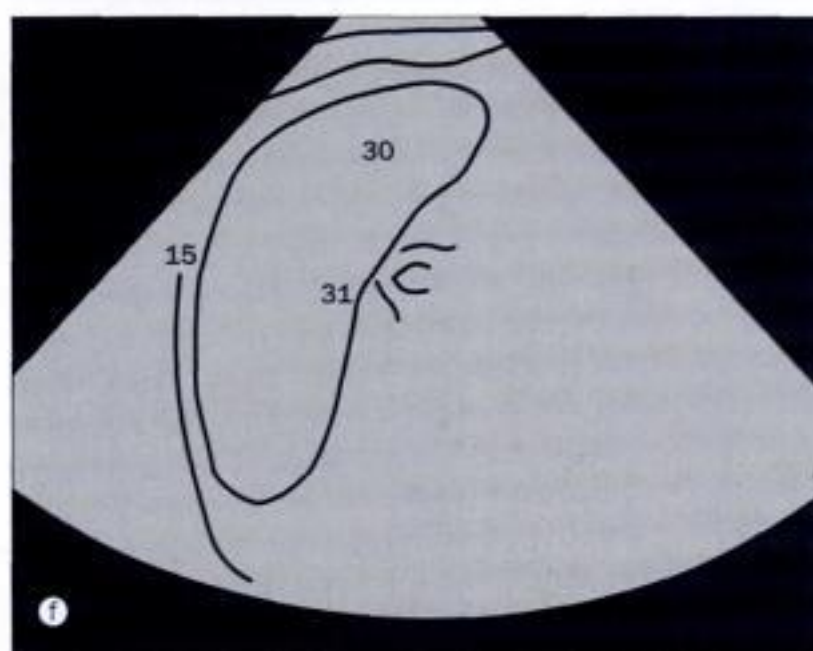
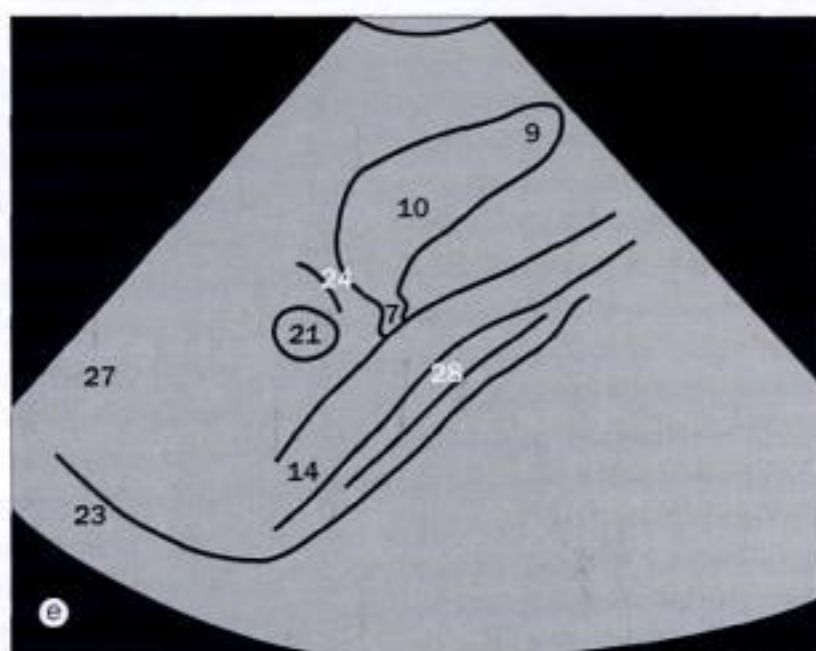
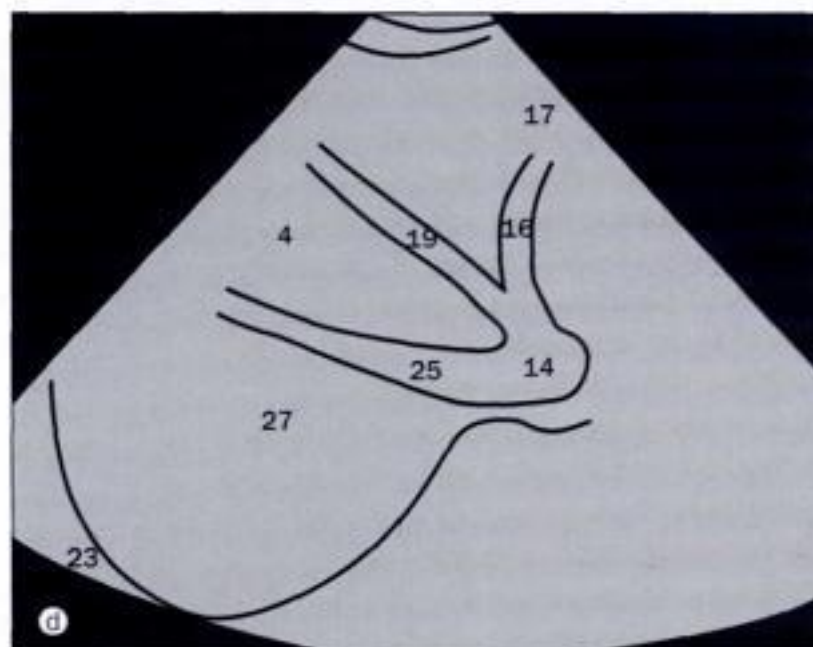
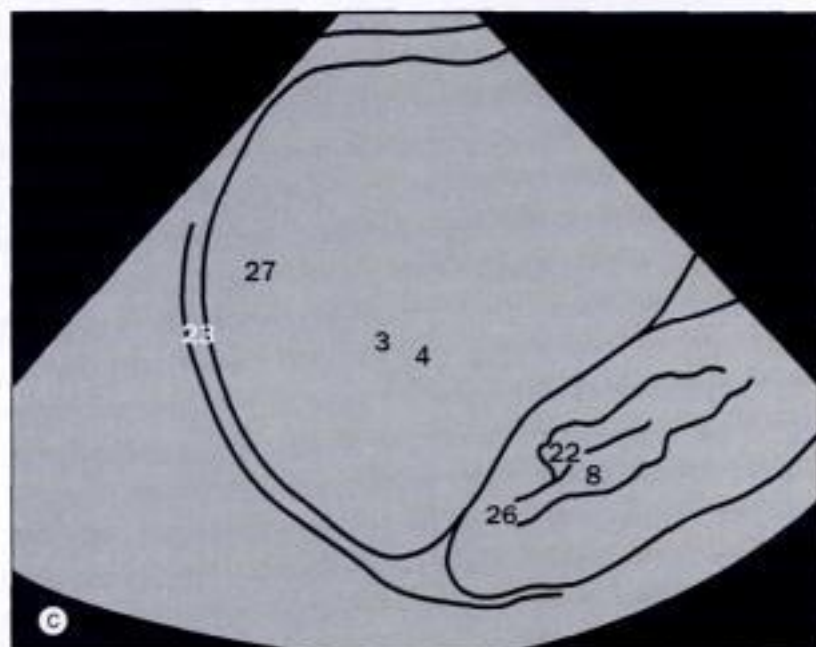
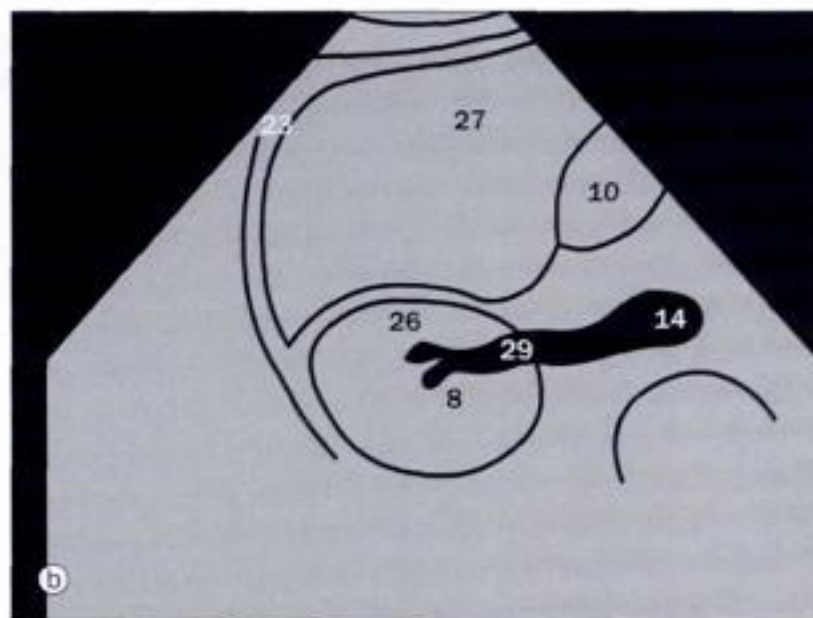
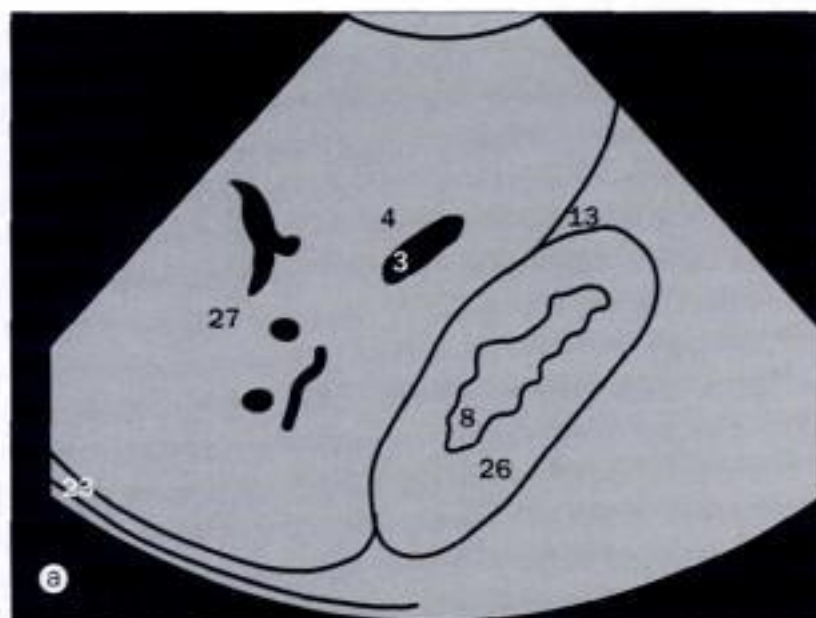


Échographie de l'abdomen, (a) - (f) vue sagittale et parasagittale.

- 1 Aorte abdominale
- 2 Corps du pancréas
- 3 Branche de la veine hépatique
- 4 Branche de la veine porte
- 5 Tronc cœliac

- 6 Conduit cholédoque
- 7 Conduit cystique
- 8 Tissu adipeux dans le sinus rénal
- 9 Fond de la vésicule biliaire
- 10 Vésicule biliaire

- 11 Tête du pancréas
- 12 Artère hépatique
- 13 Recessus hépatorénal
- 14 Veine cave inférieure
- 15 Grosse artère du diaphragme

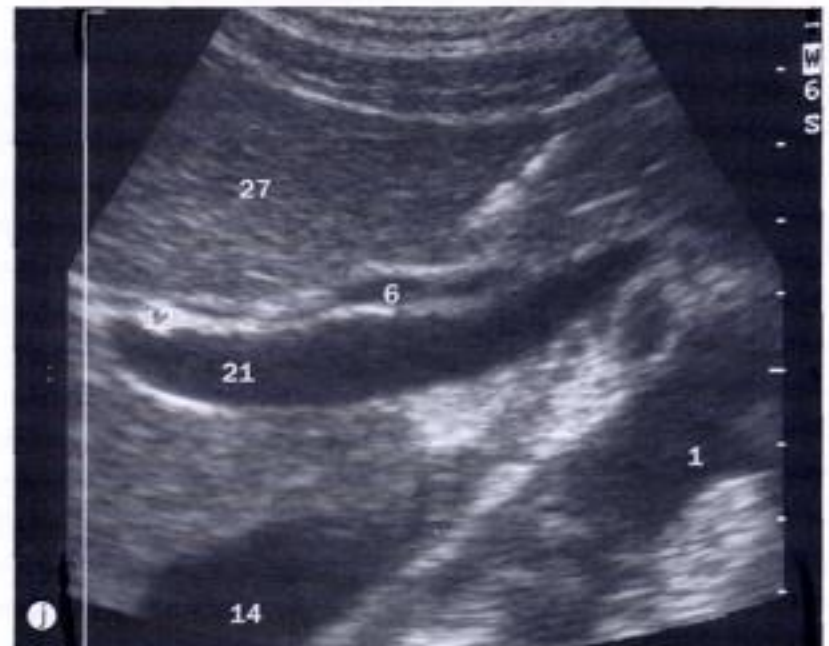
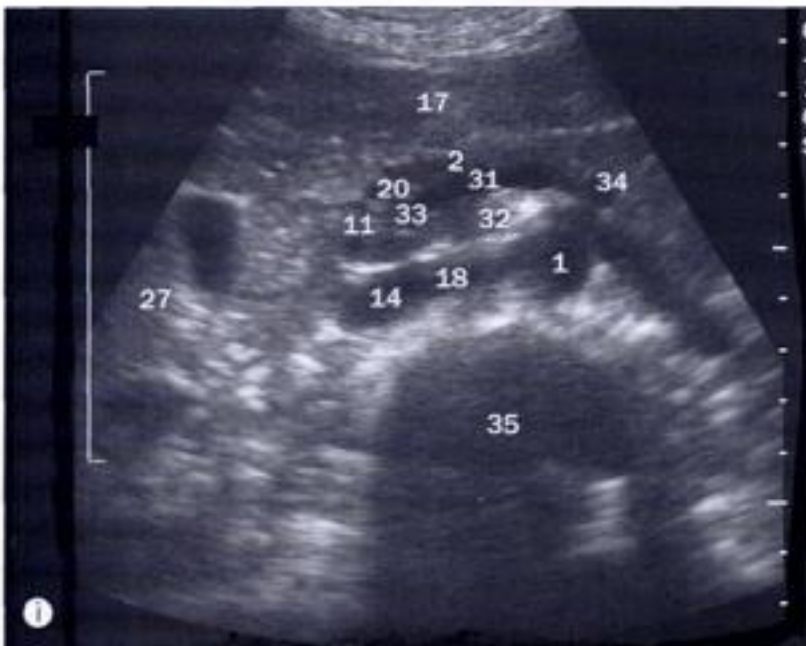


Dessin au trait des images échographiques présentées sur la page en regard.

16 Veine hépatique gauche
17 Lobe gauche du foie
18 Veine rénale gauche
19 Veine hépatique moyenne
20 Isthme du pancréas
21 Veine porte
22 Artère hépatique droite

23 Coupole droite du diaphragme
24 Artère hépatique droite
25 Veine hépatique droite
26 Rein droit
27 Lobe droit du foie
28 Artère rénale droite
29 Veine rénale droite

30 Rate
31 Veine splénique
32 Artère mésentérique supérieure
33 Veine mésentérique supérieure
34 Queue du pancréas
35 Corps vertébral

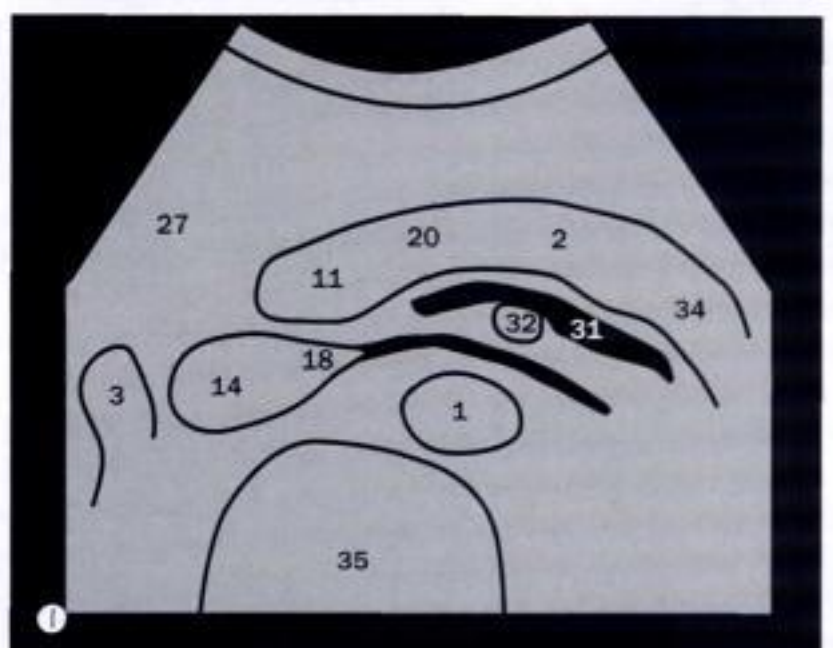
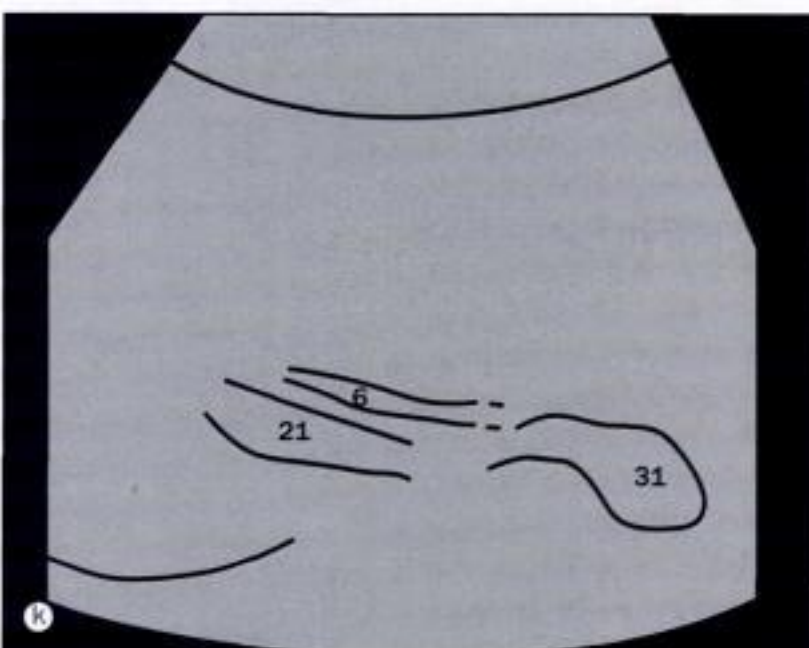
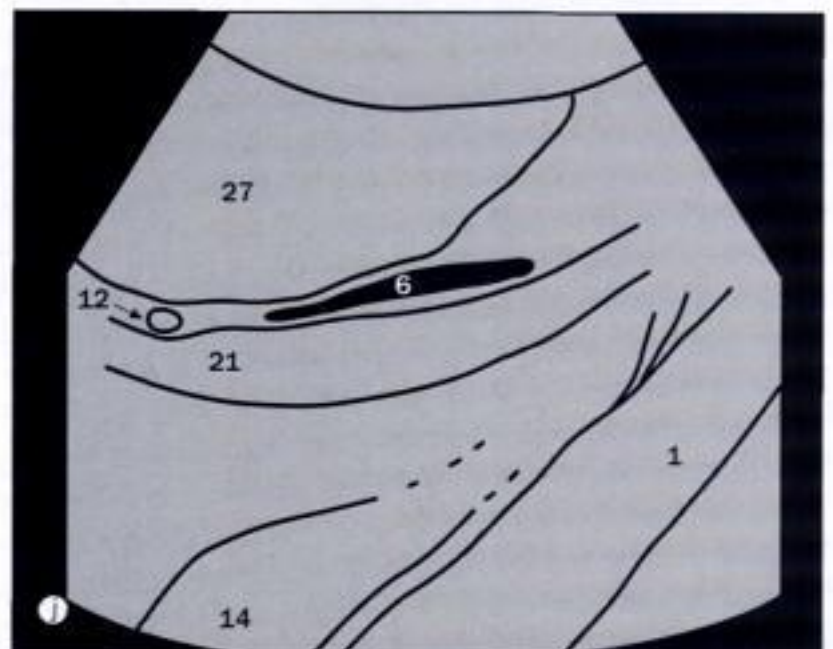
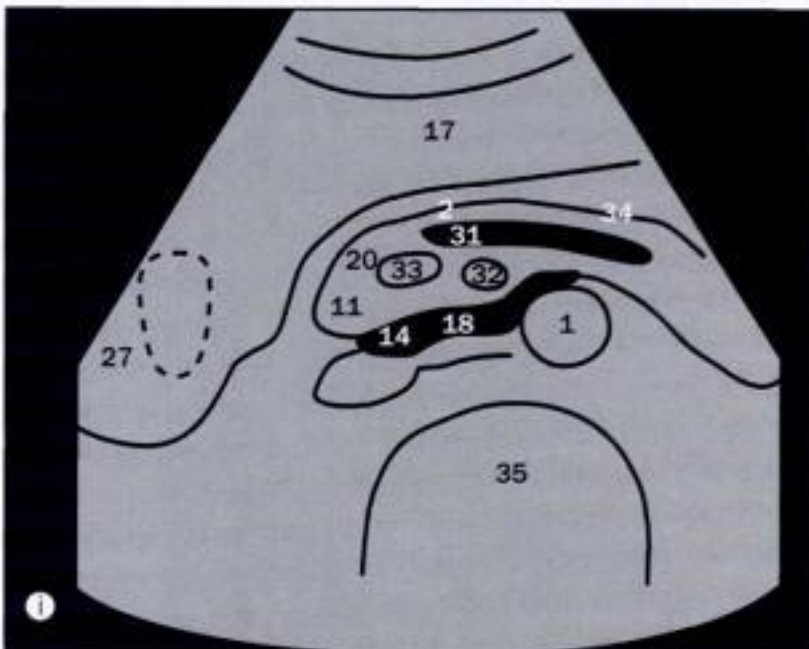
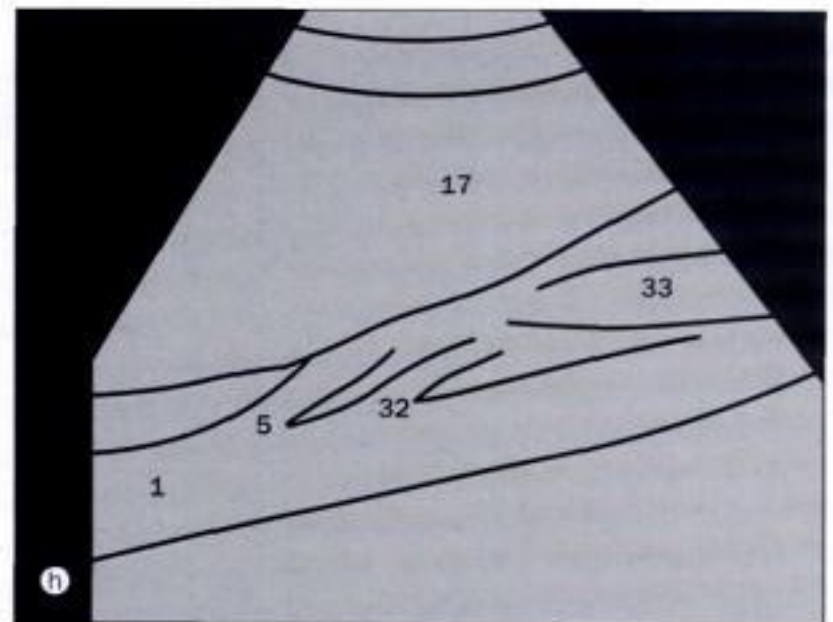
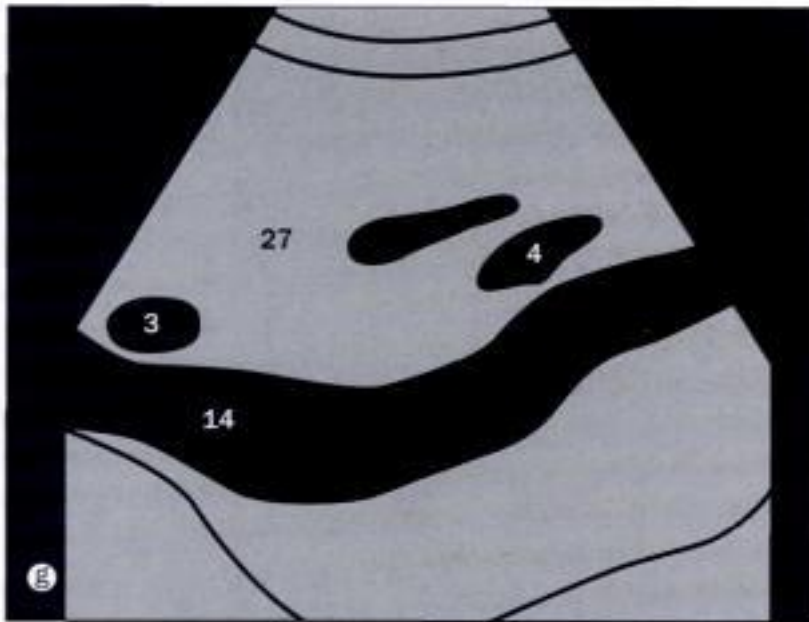


Échotomographies de l'abdomen, (g) - (h) coupes sagittales, (i) - (l) coupes transversales et obliques.

- 1 Aorte abdominale
- 2 Corps du pancréas
- 3 Branche de la veine hépatique
- 4 Branche de la veine porte
- 5 Tronc cœliac

- 6 Conduit cholédoque
- 7 Conduit cystique
- 8 Graisse dans le sinus rénal
- 9 Fond de la vésicule biliaire
- 10 Vésicule biliaire

- 11 Tête du pancréas
- 12 Artère hépatique
- 13 Récessus hépato-rénal
- 14 Veine cave inférieure
- 15 Vessie

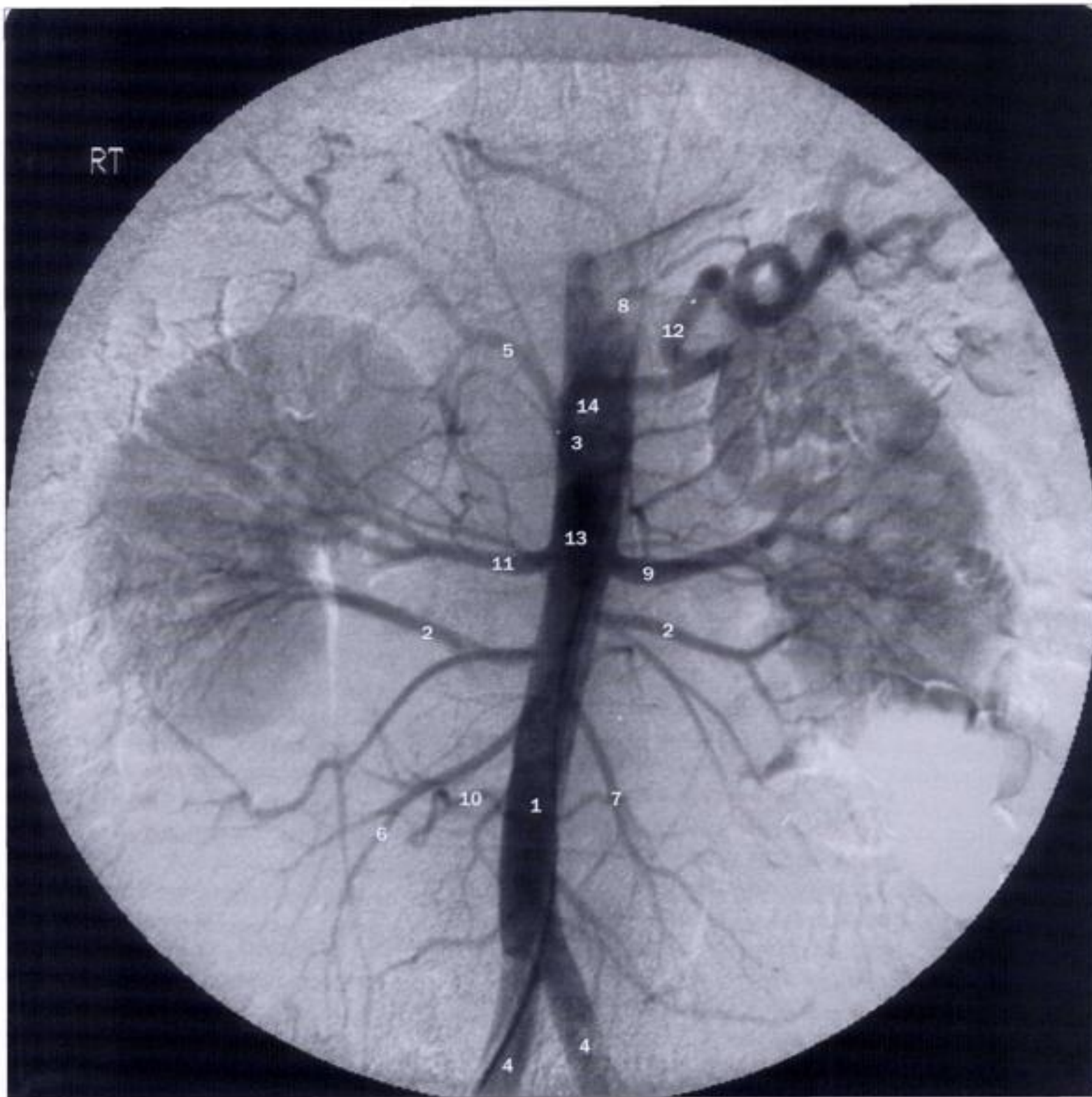


Dessins aux traits des images échographiques présentées sur la page en regard.

16 Veine hépatique gauche
17 Lobe gauche du foie
18 Veine rénale gauche
19 Veine hépatique moyenne
20 Isthme du pancréas
21 Veine porte

23 Coupole droite du diaphragme
24 Artère hépatique droite
25 Veine hépatique droite
26 Rein droit
27 Lobe droit du foie
28 Artère rénale droite

30 Rate
31 Veine splénique
32 Artère mésentérique supérieure
33 Veine mésentérique supérieure
34 Queue du pancréas
35 Corps vertébral

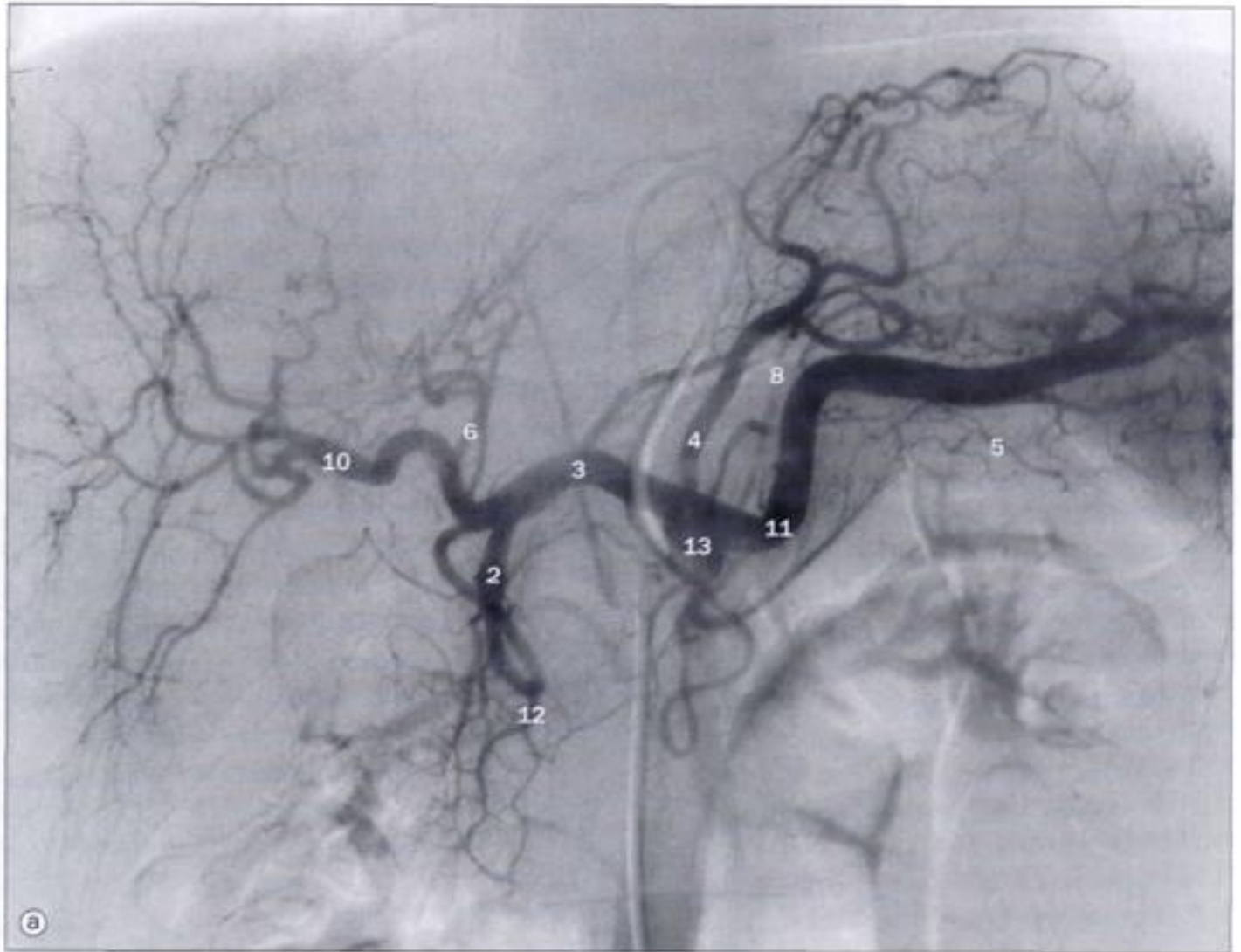


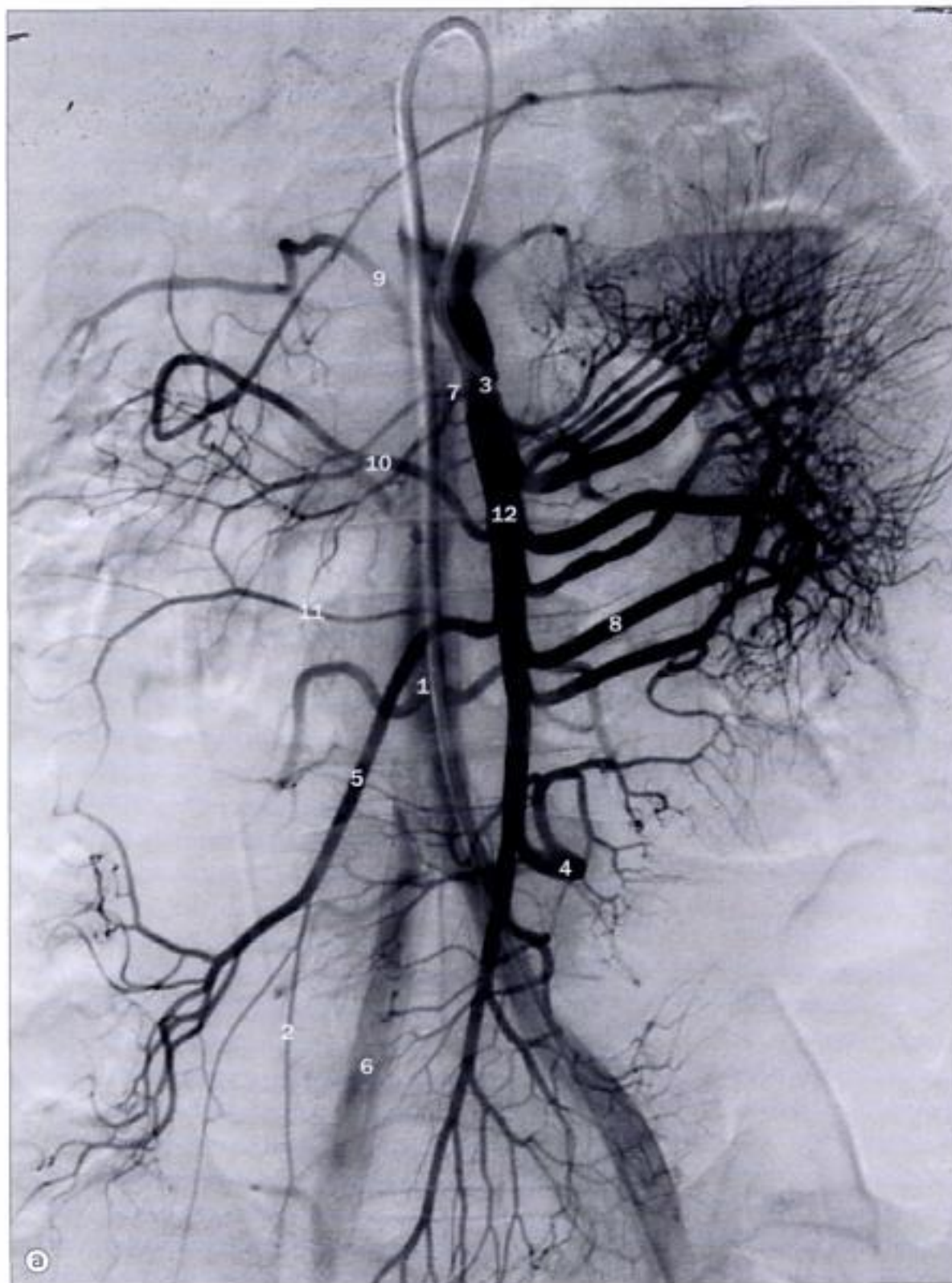
Artériographie de l'aorte abdominale.

- 1 Aorte abdominale
- 2 Artères rénales accessoires
- 3 Tronc cœliaque
- 4 Artères iliaques communes
- 5 Artère hépatique
- 6 Artère iléo-colique
- 7 Branches jéjunales de l'artère mésentérique supérieure
- 8 Artère gastrique gauche
- 9 Artère rénale gauche
- 10 Artères lombaires
- 11 Artère rénale droite
- 12 Artère splénique
- 13 Artère mésentérique supérieure
- 14 Bout du cathéter dans l'aorte abdominale

(a) et (b) Tronc cœliaque, artériographie par soustraction.

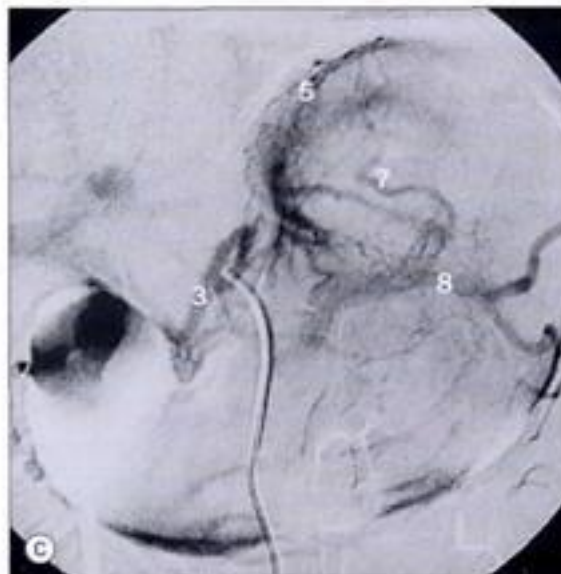
- 1 Artère pancréatique dorsale
- 2 Artère gastro-duodénale
- 3 Artère hépatique
- 4 Artère gastrique gauche
- 5 Artère gastro-épiploïque gauche
- 6 Artère hépatique gauche
- 7 Artère grande pancréatique
- 8 Artère phrénique
- 9 Artère gastro-épiploïque droite
- 10 Artère hépatique droite
- 11 Artère splénique
- 12 Artère pancréatico-duodénale supérieure
- 13 Bout du cathéter dans le tronc cœliaque
- 14 Artère pancréatique transverse





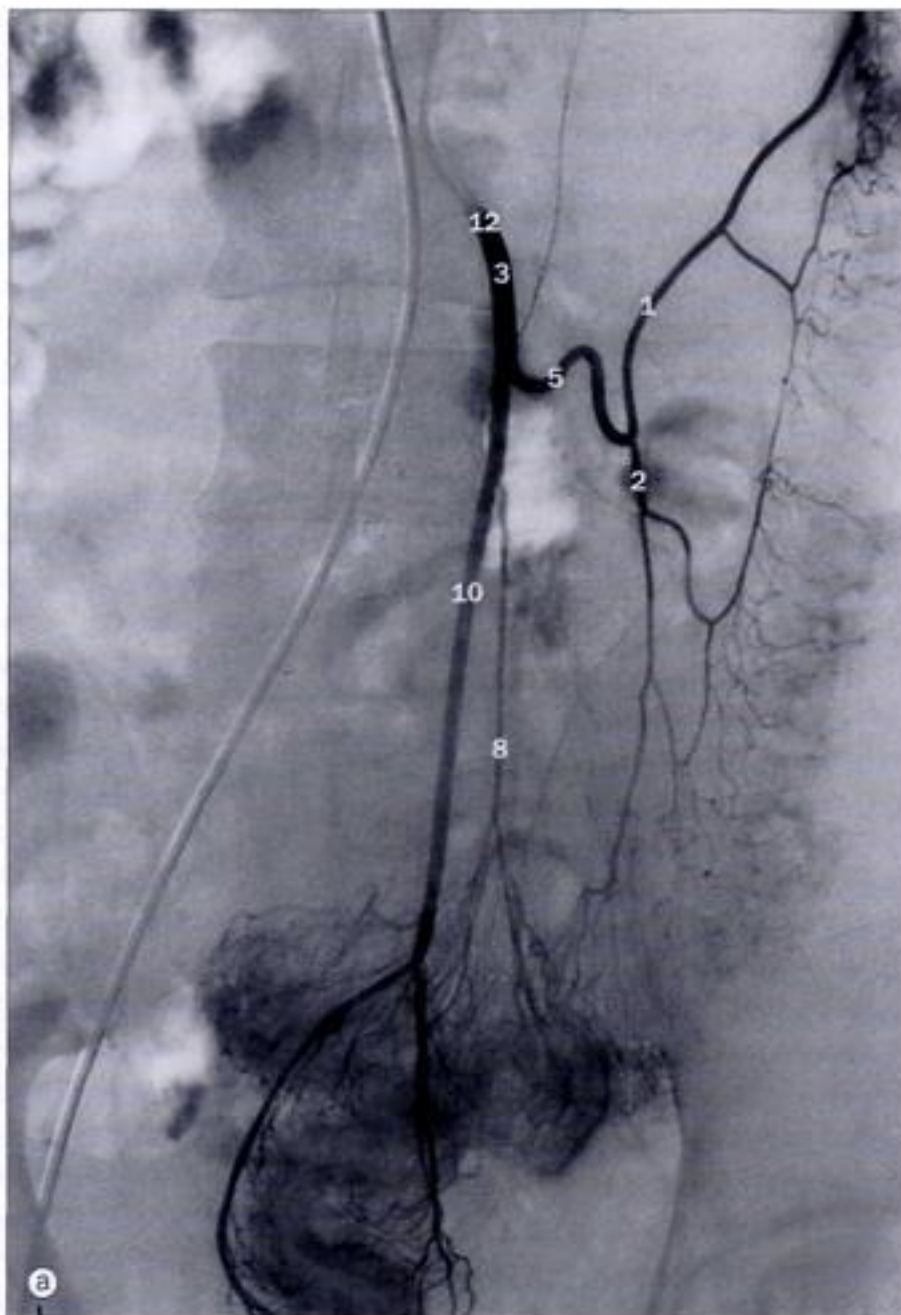
(a) Artère mésentérique supérieure, artériographie par soustraction.

- 1 Aorte
- 2 Artère appendiculaire
- 3 Cathéter dont le bout est introduit dans l'artère mésentérique supérieure
- 4 Branches iléales de l'artère mésentérique supérieure
- 5 Artère iléocolique
- 6 Artère iliaque
- 7 Artère pancréatico-duodénale inférieure
- 8 Branches jéjunales de l'artère mésentérique supérieure
- 9 Artères lombaires provenant de l'aorte abdominale
- 10 Artère colique moyenne
- 11 Artère colique droite
- 12 Artère mésentérique supérieure

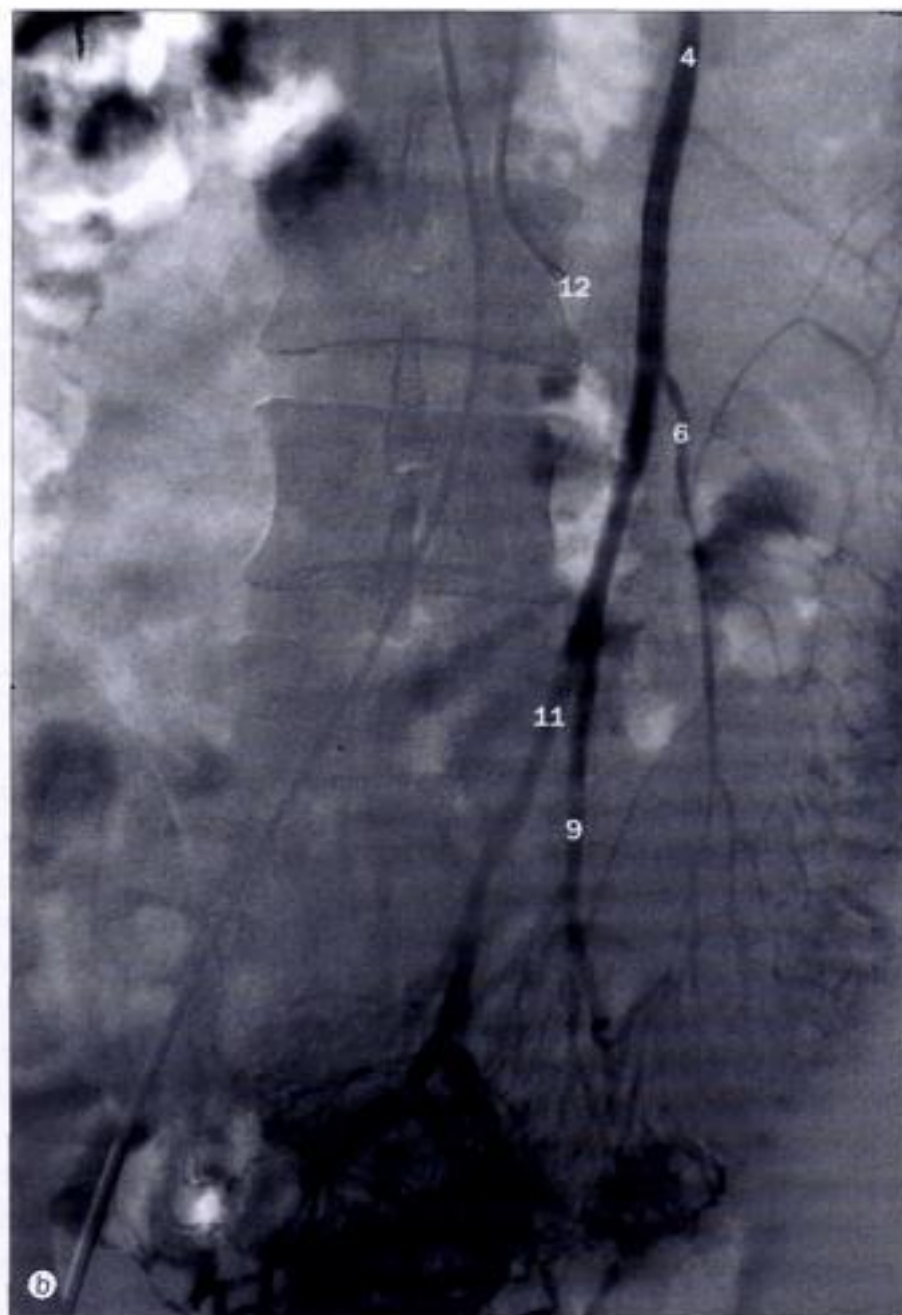


(b) Artères gastriques, **(c)** veines gastriques.

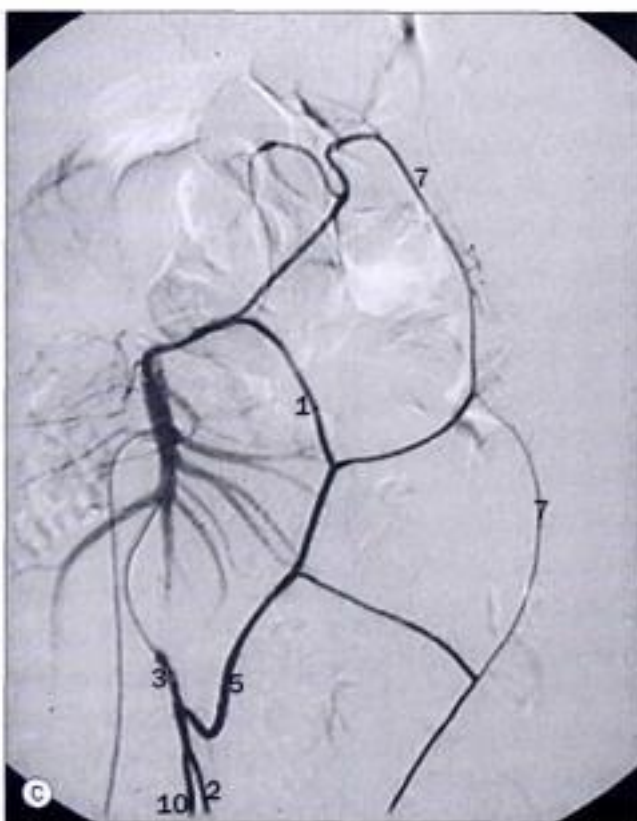
- 1 Cathéter dans l'origine de l'artère gastrique gauche
- 2 Artère gastrique gauche
- 3 Veine gastrique gauche
- 4 Branche œsophagienne de l'artère gastrique gauche
- 5 Branches œsophagiennes de la veine gastrique gauche
- 6 Artère gastrique droite
- 7 Veines gastriques courtes
- 8 Veine splénique



(a) Artère mésentérique inférieure, artériographie par soustraction.

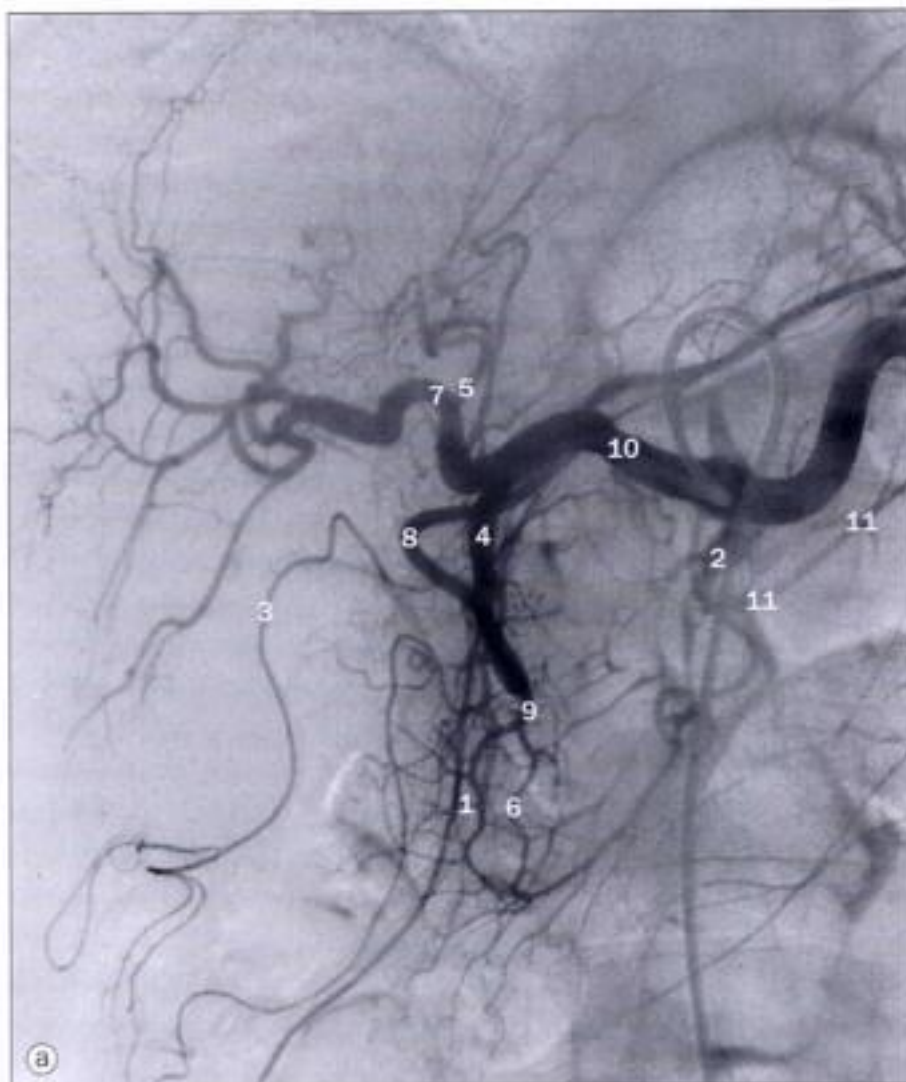


(b) Artère mésentérique inférieure, artériographie par soustraction, phase veineuse.



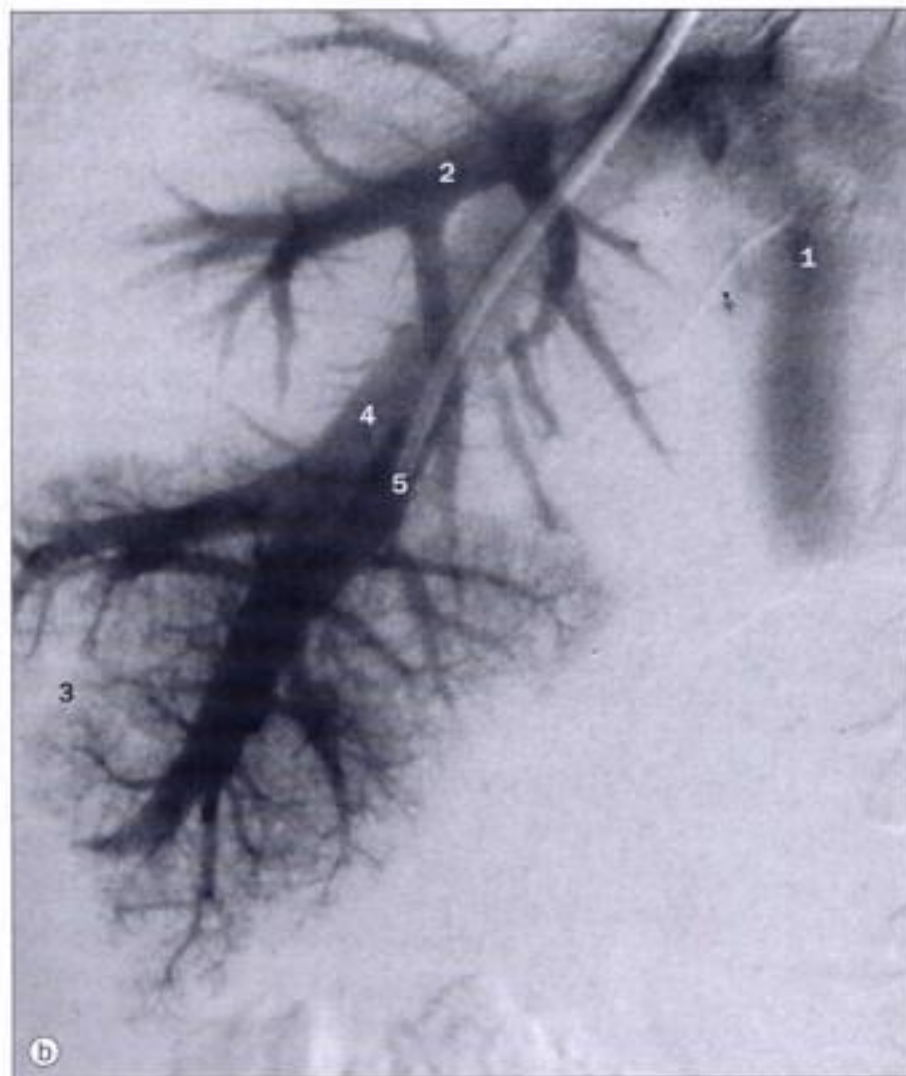
(c) Artériographie mésentérique inférieure.

- 1 Branche ascendante de l'artère colique gauche
- 2 Branche descendante de l'artère colique gauche
- 3 Artère mésentérique inférieure
- 4 Veine mésentérique inférieure
- 5 Artère colique gauche
- 6 Veine colique gauche
- 7 Artère marginale de Drummond
- 8 Artères sigmoïdiennes
- 9 Veine sigmoïdienne
- 10 Artère rectale supérieure
- 11 Veine rectale supérieure
- 12 Bout du cathéter dans l'artère mésentérique inférieure



(a) Artériographie hépatique par soustraction.

- 1 Branche antérieure de l'artère pancréatico-duodénale supérieure
- 2 Artère pancréatique dorsale
- 3 Artères épiploïques
- 4 Artère gastro-duodénale
- 5 Branche gauche de l'artère hépatique
- 6 Branche postérieure de l'artère pancréatico-duodénale supérieure
- 7 Branche droite de l'artère hépatique
- 8 Artère gastro-épiploïque droite
- 9 Artère pancréatico-duodénale supérieure
- 10 Bout du cathéter dans l'artère hépatique
- 11 Artère pancréatique transverse



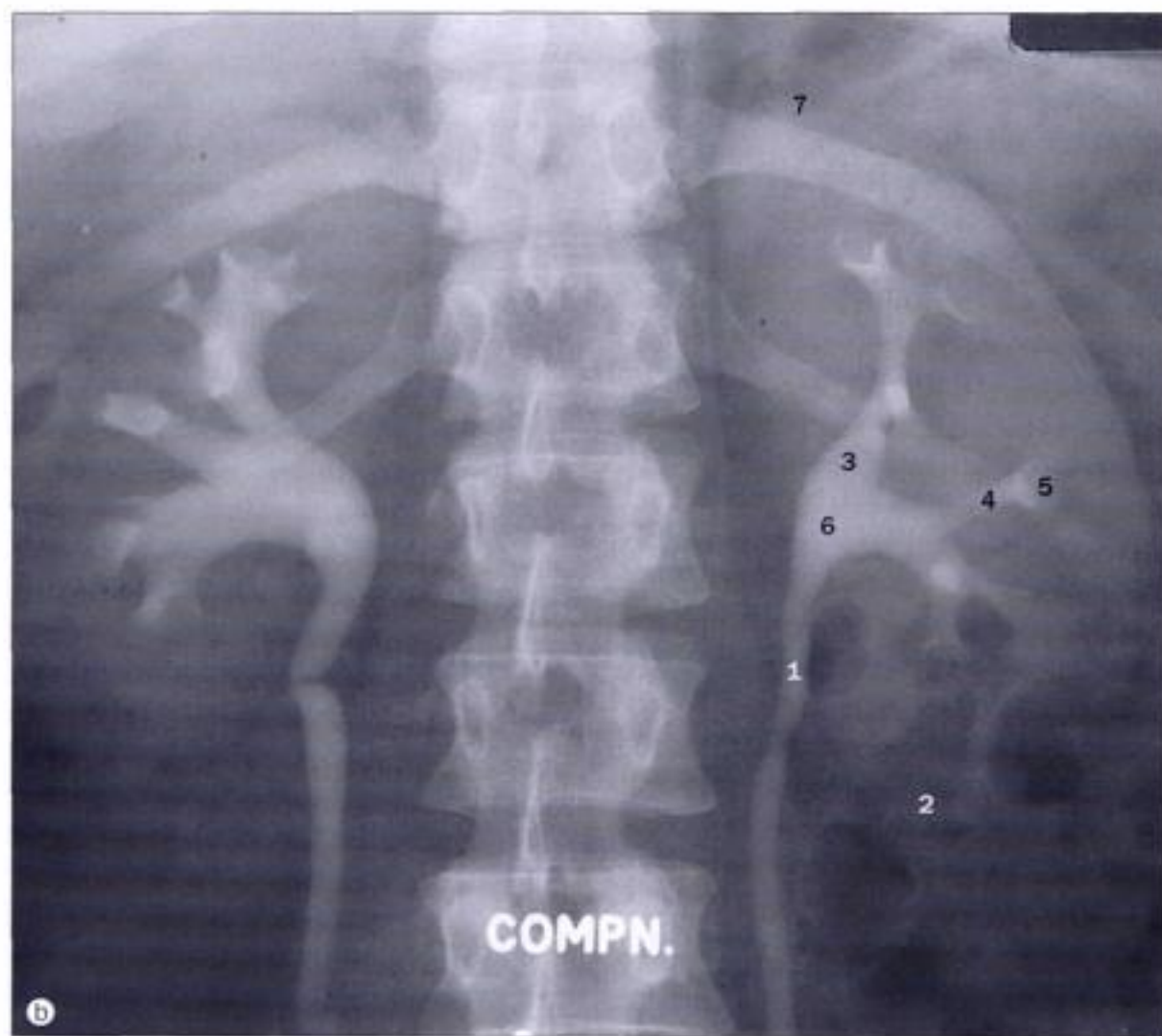
(b) Phlébographie hépatique par soustraction.

- 1 Veine cave inférieure
- 2 Veine hépatique moyenne
- 3 Parenchyme hépatique
- 4 Veine hépatique droite
- 5 Bout du cathéter dans la veine hépatique



(a) Phase néphrographique d'une urographie intraveineuse.

- 1 Gaz dans l'estomac
- 2 Gaz dans le côlon transverse
- 3 Bord latéral du rein droit
- 4 Bord latéral du rein gauche
- 5 Muscle psoas gauche
- 6 Pôle inférieur du rein gauche
- 7 Pôle inférieur du rein droit
- 8 Muscle psoas droit
- 9 Pôle supérieur du rein gauche
- 10 Pôle supérieur du rein droit

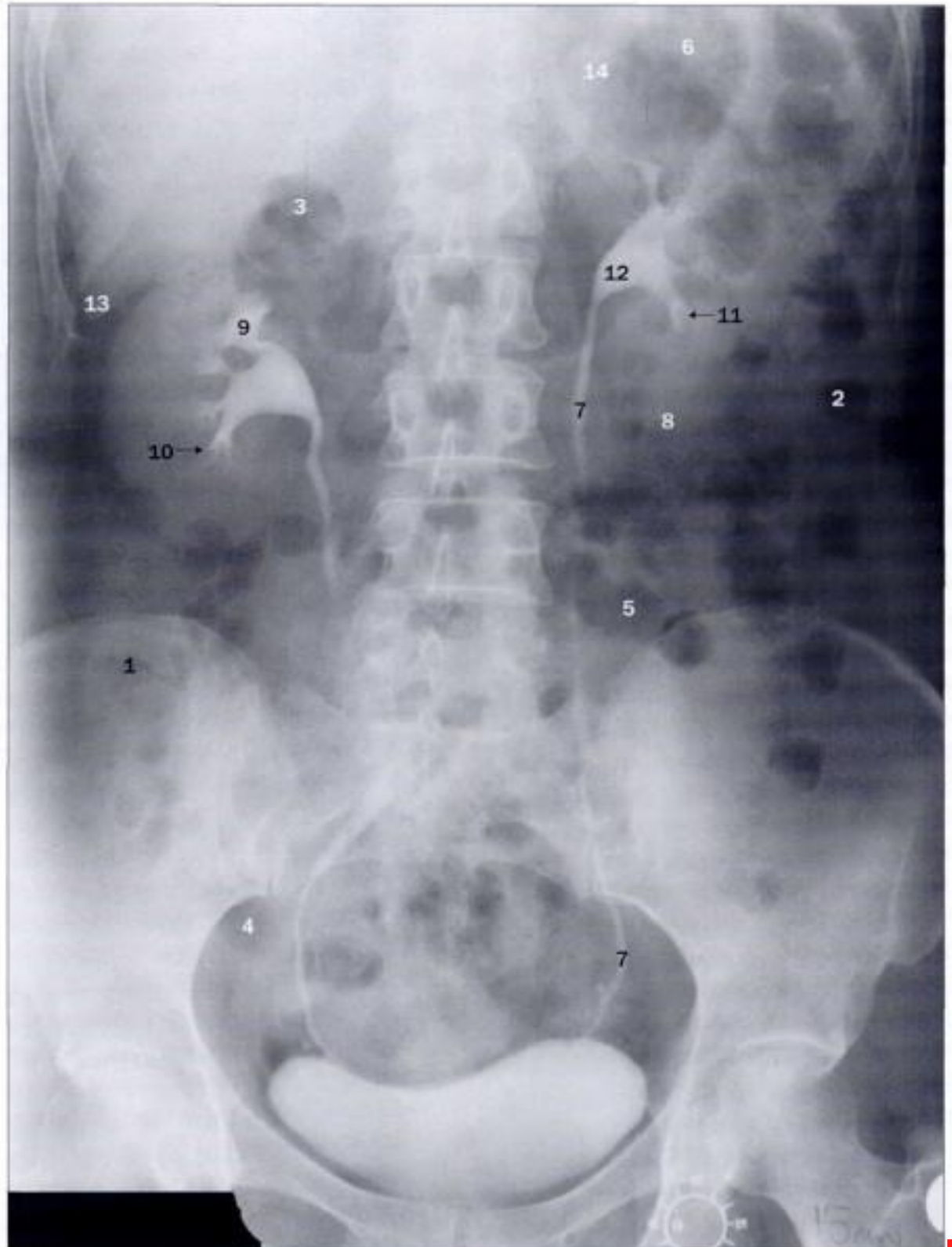


(b) Phase pyélographique d'une urographie intraveineuse.

- 1 Urètre gauche
- 2 Pôle inférieur du rein gauche
- 3 Calice rénal majeur
- 4 Calice rénal mineur
- 5 Papille rénale
- 6 Bassinet du rein
- 7 Pôle supérieur du rein gauche

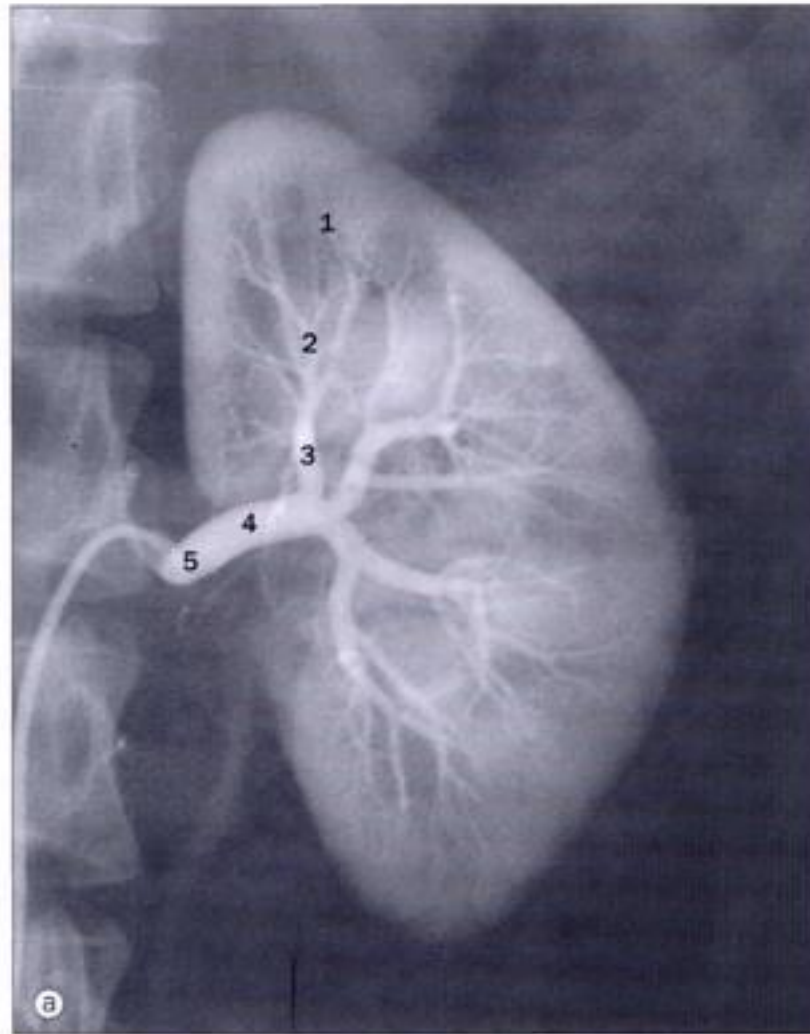
Urographie intraveineuse ; aspect après 15 minutes.

- 1 Gaz dans le côlon ascendant
- 2 Gaz dans le côlon descendant
- 3 Gaz dans le bulbe duodénal (première partie du duodénum)
- 4 Gaz dans l'iléon
- 5 Gaz dans le jéjunum
- 6 Gaz dans l'estomac
- 7 Urètre gauche
- 8 Pôle inférieur du rein gauche
- 9 Calice rénal majeur
- 10 Calice rénal mineur
- 11 Papille rénale
- 12 Bassinet du rein
- 13 Extrémité du lobe droit du foie
- 14 Pôle supérieur du rein gauche

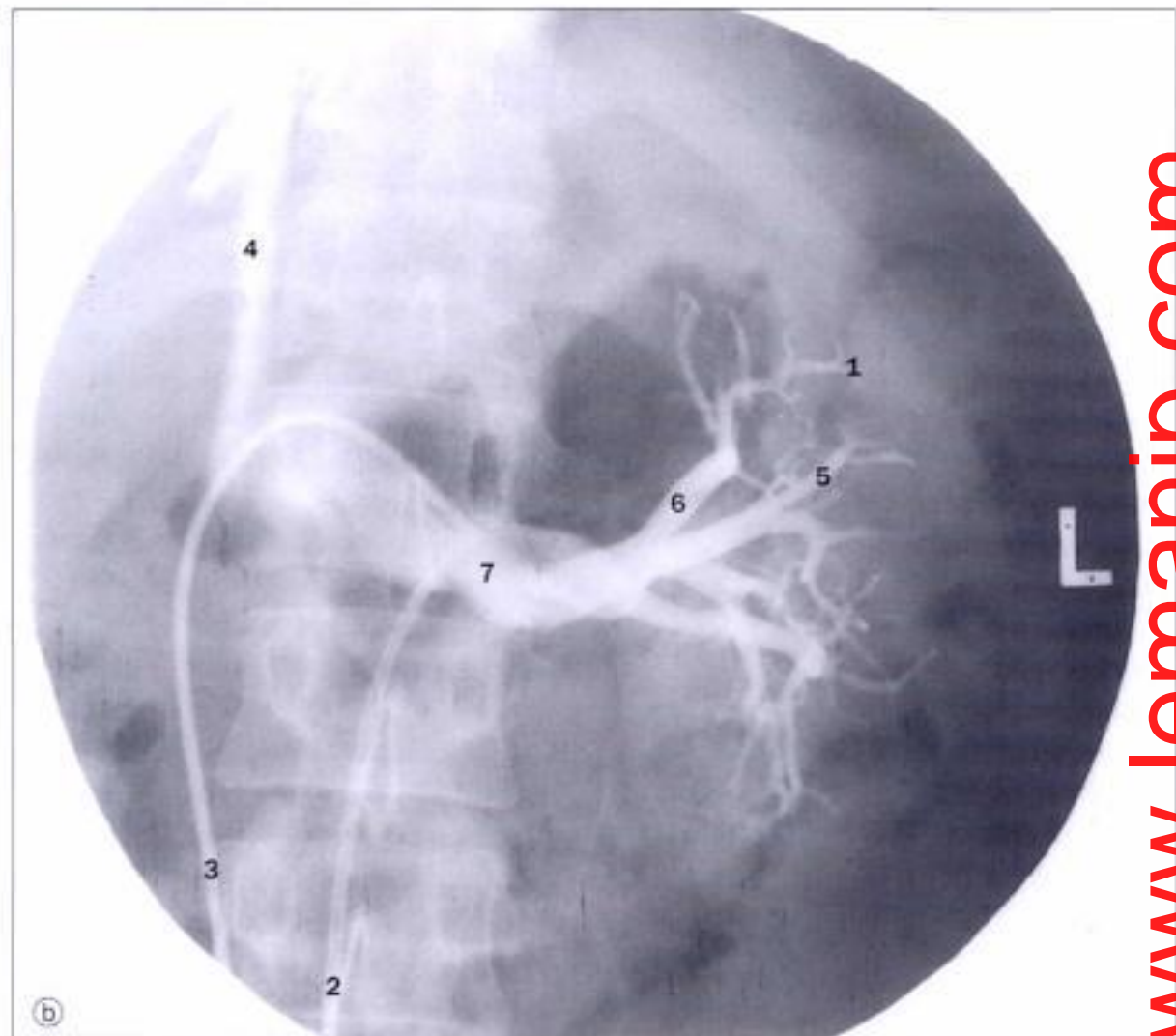


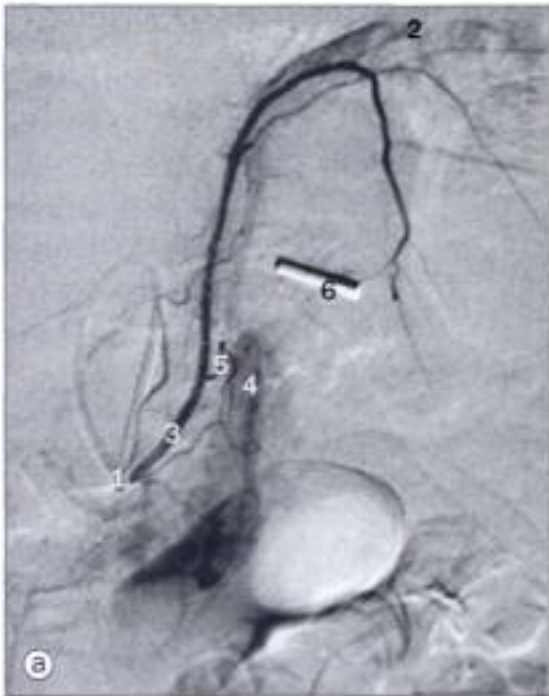
(a) Artériographie rénale.

- 1 Artères arquées
- 2 Artères interlobaires
- 3 Artères lobaires
- 4 Artère rénale principale
- 5 Bout du cathéter dans l'artère rénale

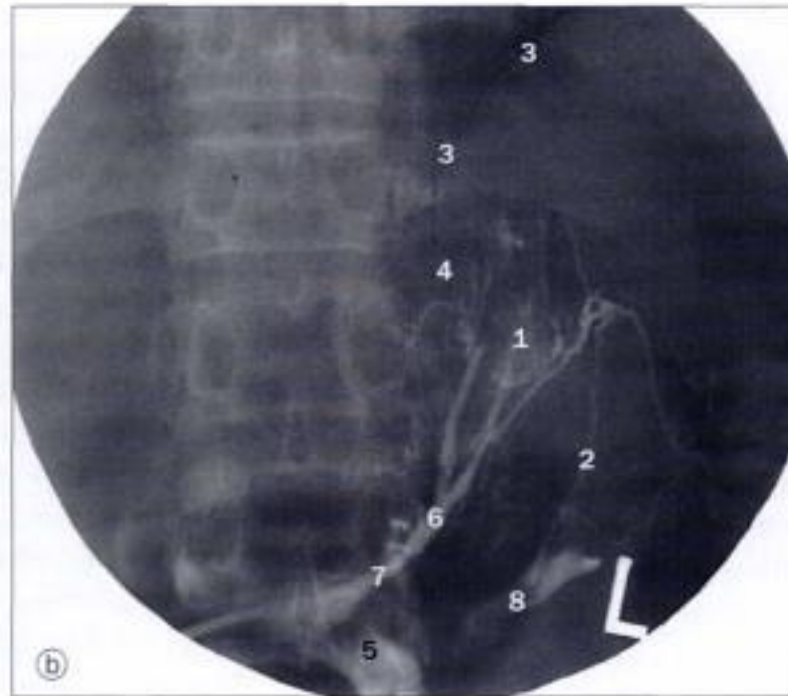
**(b) Phlébographie rénale gauche.**

- 1 Veines arquées
- 2 Cathéter dans l'artère rénale gauche
- 3 Cathéter dans la veine rénale gauche
- 4 Veine cave inférieure
- 5 Veines interlobaires
- 6 Veines lobaires
- 7 Veine rénale principale





(a) Artériographie surrénale gauche.

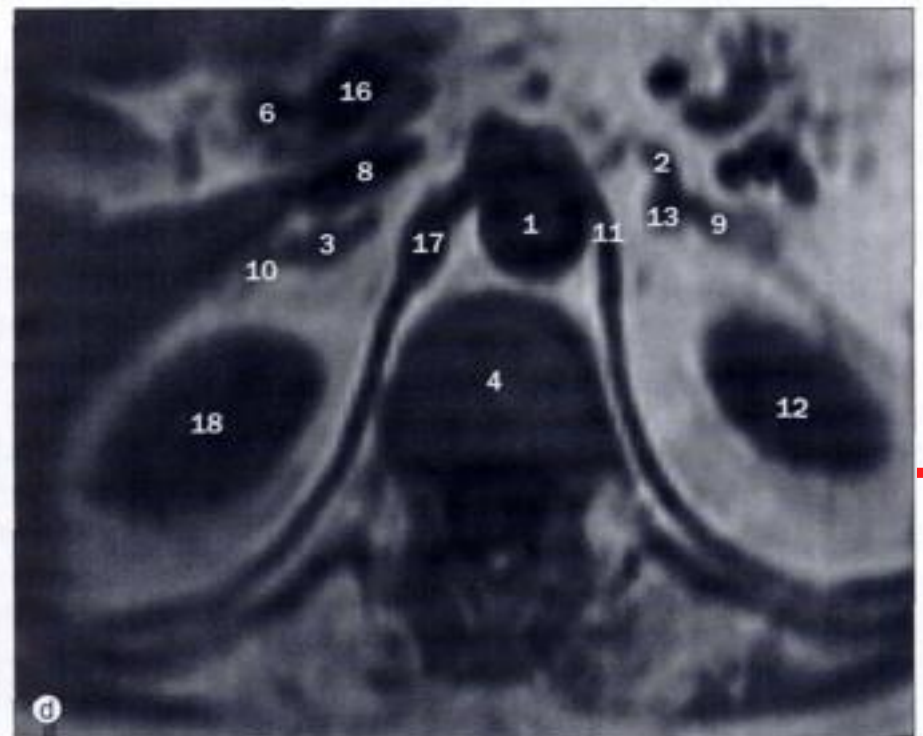
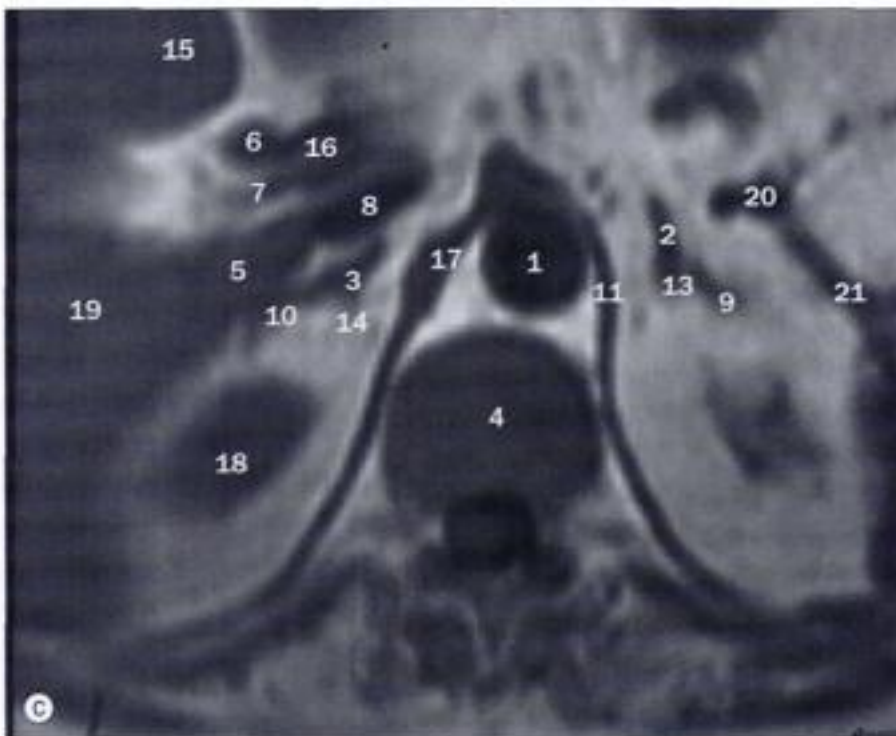


(b) Phlébographie surrénale gauche.

L'angiographie des glandes surrénales a été remplacée par d'autres techniques d'imagerie. Bien qu'il existe de grandes variations, le sang artériel destiné aux glandes surrénales provient de trois artères principales : l'artère surrénale inférieure, qui se détache de l'artère rénale, l'artère surrénale moyenne, issue directement de l'aorte, et l'artère surrénale supérieure, branche collatérale de l'artère phrénique inférieure. La prise d'un échantillon de sang veineux surrénal est encore pratiquée dans certains centres en vue de localiser des tumeurs hormono-sécrétantes.

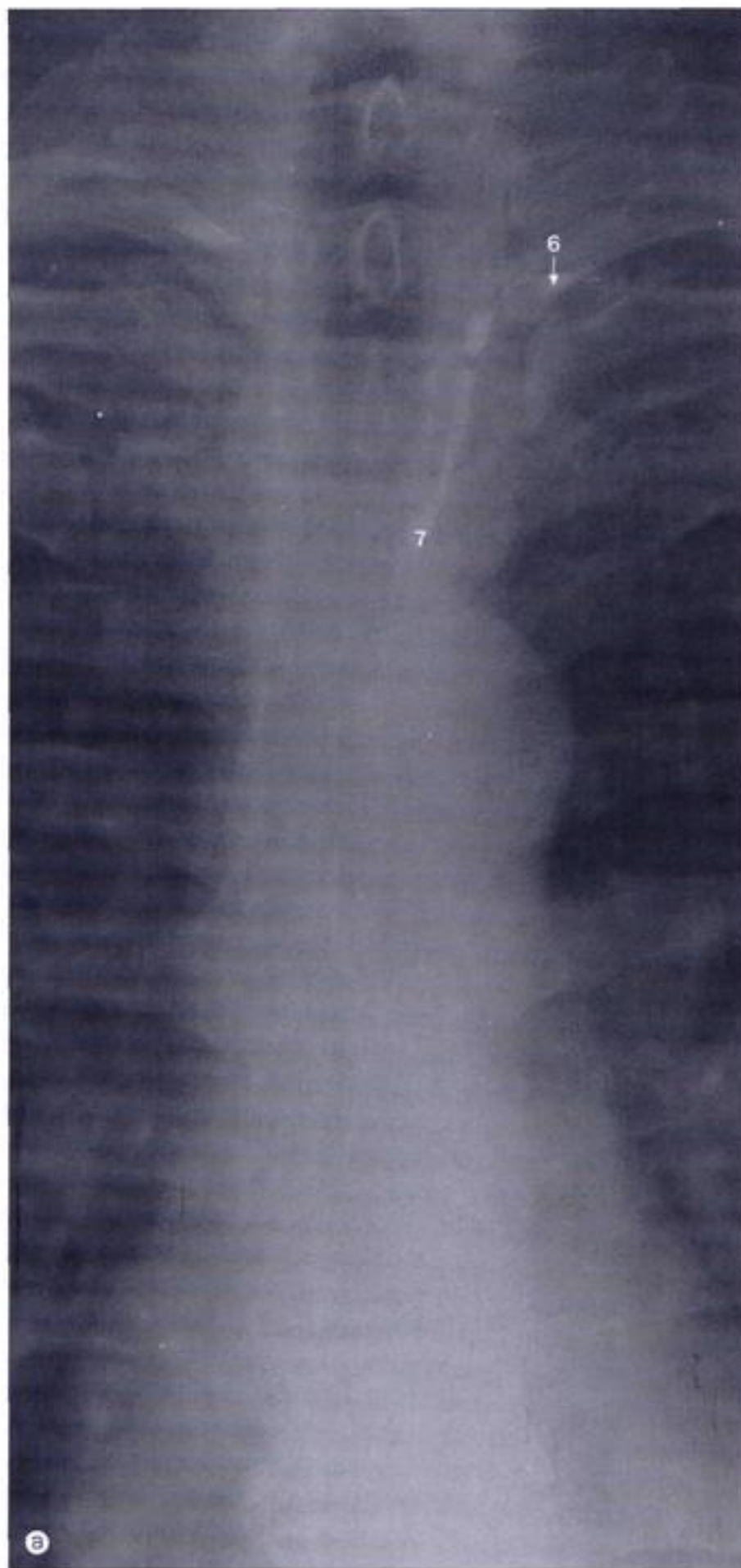
- 1 Cathéter dans l'origine de l'artère phrénique inférieure
- 2 Diaphragme
- 3 Artère phrénique inférieure
- 4 Glande surrénale gauche
- 5 Artères surrénales supérieures
- 6 Bout de la sonde naso-gastrique

- 1 Adénomes dans la glande surrénale
- 2 Veines capsulaires
- 3 Diaphragme
- 4 Veine phrénique inférieure
- 5 Veine rénale gauche
- 6 Veine surrénale gauche
- 7 Bout du cathéter dans la veine surrénale gauche
- 8 Calice rénal du pôle supérieur



(c) et (d) IRM des glandes surrénales, coupes axiales.

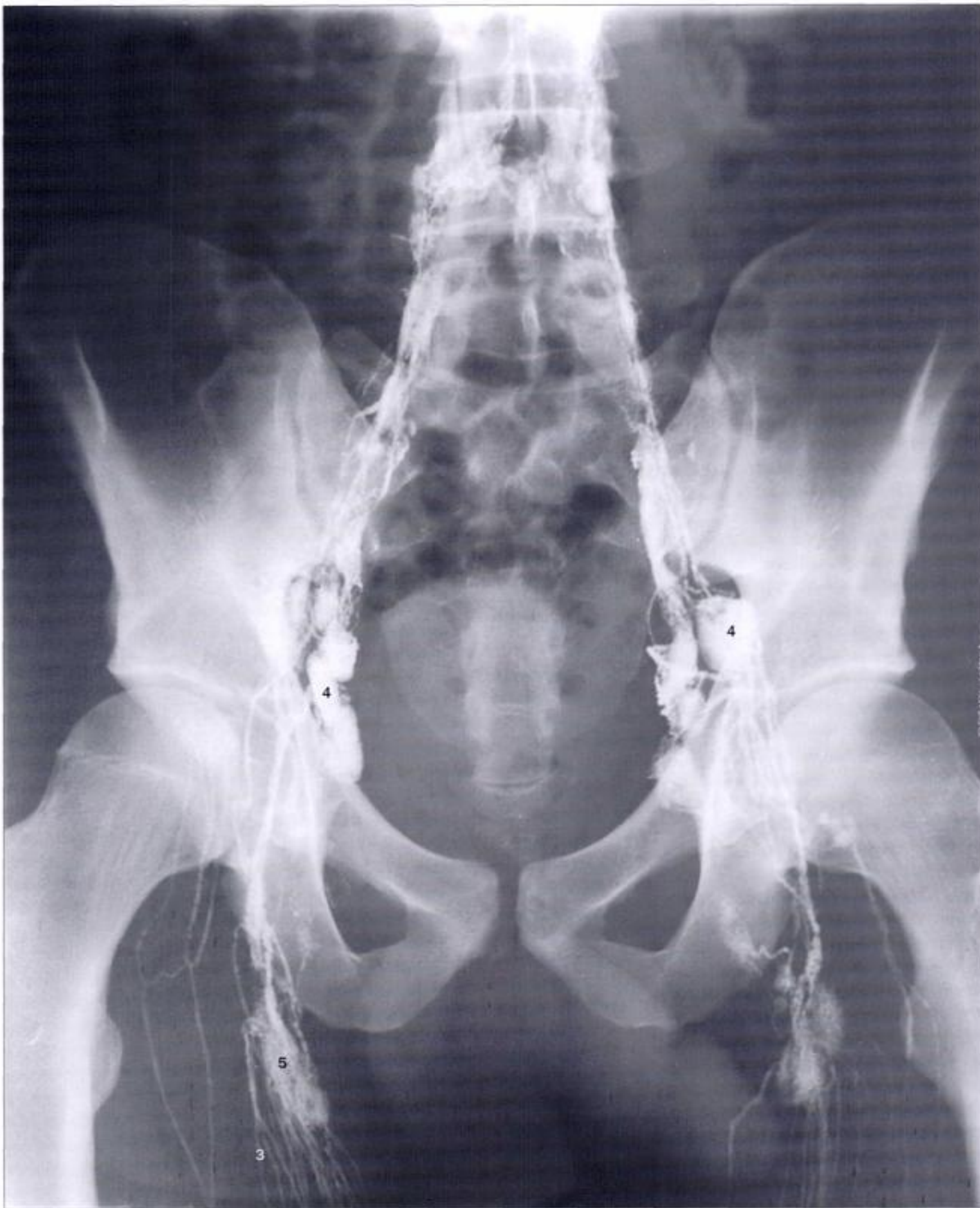
- 1 Aorte
- 2 Corps de la glande surrénale gauche
- 3 Corps de la glande surrénale droite
- 4 Corps vertébral
- 5 Lobe caudé du foie
- 6 Conduit cholédoque
- 7 Artère hépatique
- 8 Veine cave inférieure
- 9 Partie latérale de la glande surrénale gauche
- 10 Partie latérale de la glande surrénale droite
- 11 Pilier gauche du diaphragme
- 12 Rein gauche
- 13 Partie médiale de la glande surrénale gauche
- 14 Partie médiale de la glande surrénale droite
- 15 Segment médial du lobe gauche du foie
- 16 Veine porte
- 17 Pilier droit du diaphragme
- 18 Rein droit
- 19 Lobe droit du foie
- 20 Artère splénique
- 21 Veine splénique



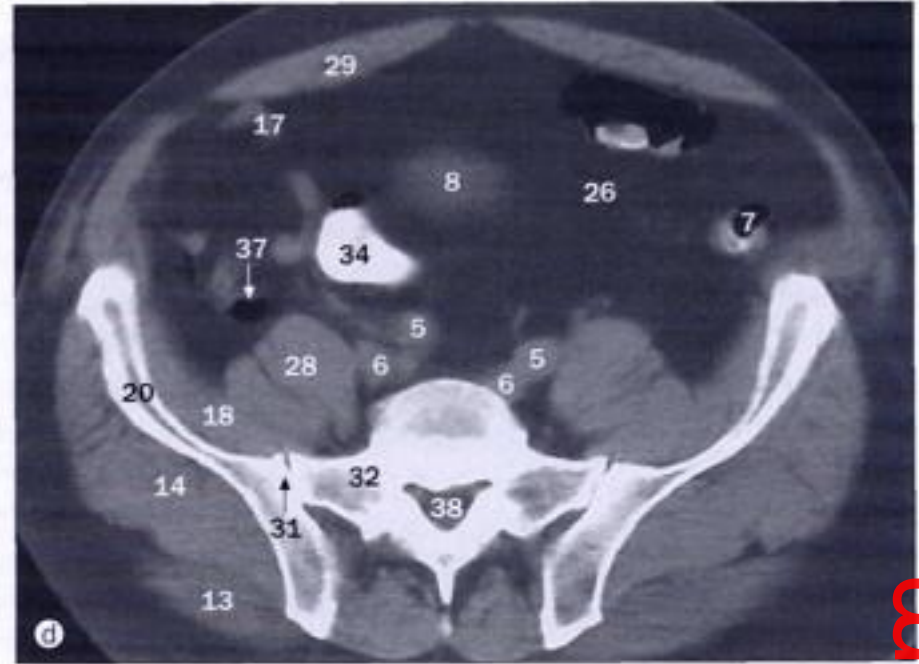
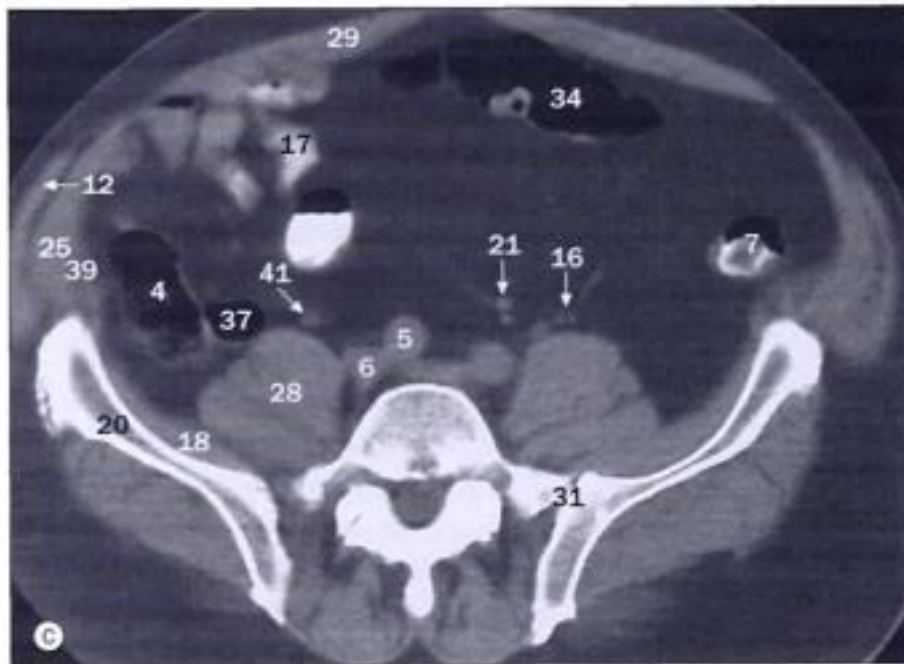
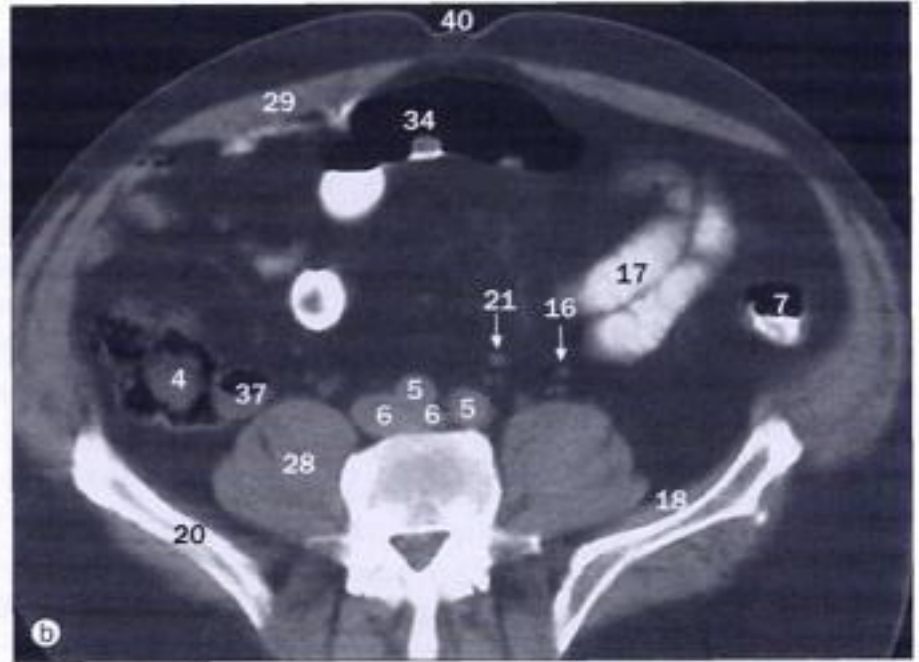
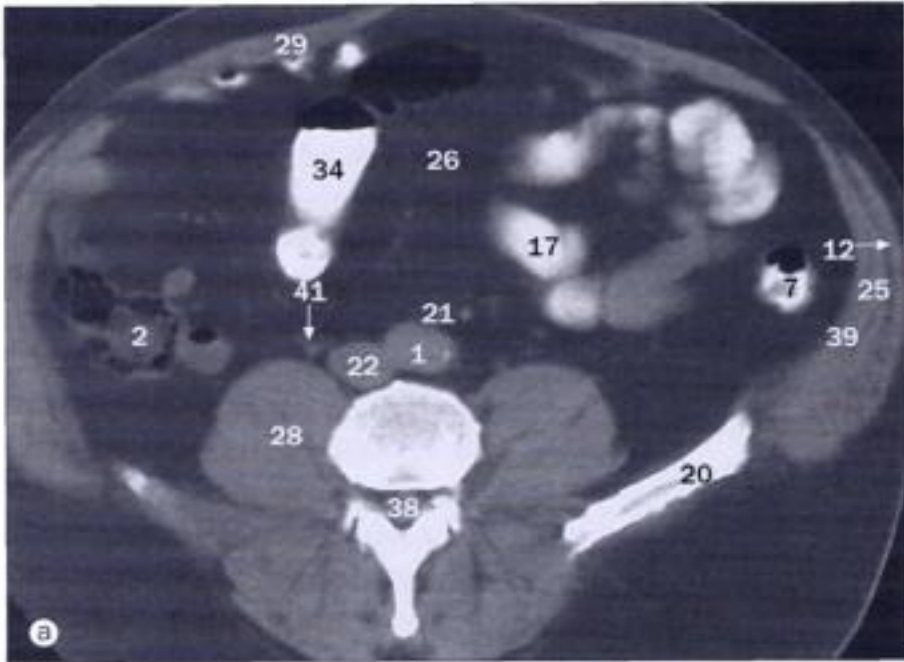
Lymphangiographies, **(a)** du thorax et de l'abdomen supérieur, **(b)** de la région paralombaire.



- 1 Chaîne lombaire ascendante
- 2 Citerne du chyle
- 3 Lymphatiques efférents inguinaux
- 4 Nœuds lymphatiques iliaques externes (remplissage précoce)
- 5 Nœuds inguinaux (remplissage précoce)
- 6 Ampoule terminale
- 7 Conduit thoracique

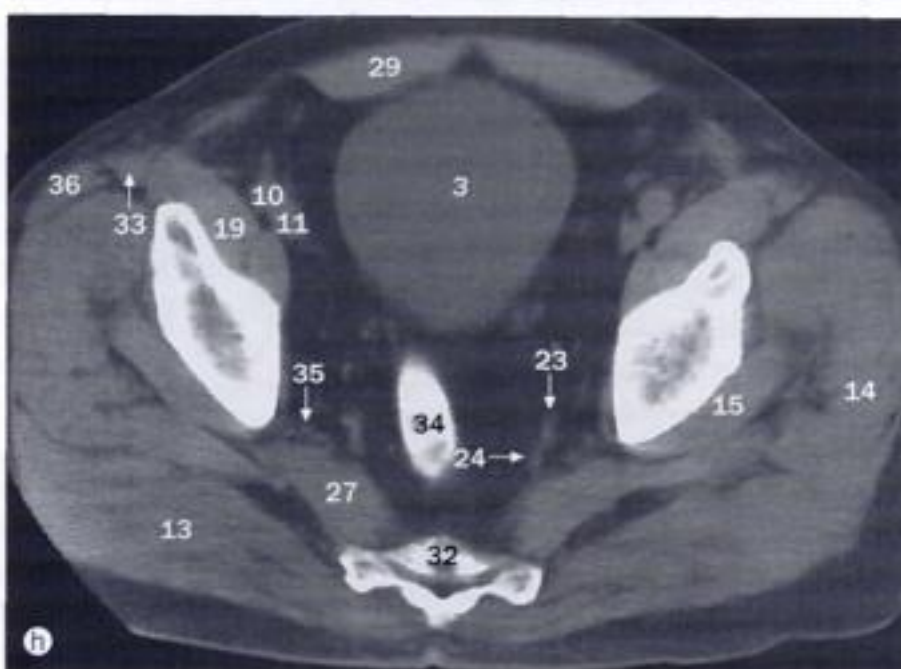
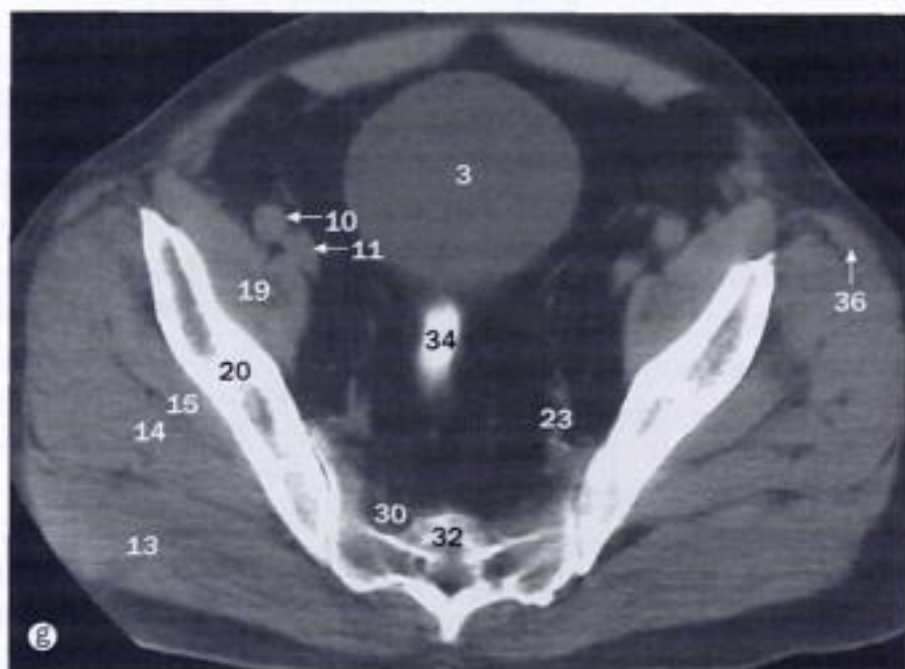
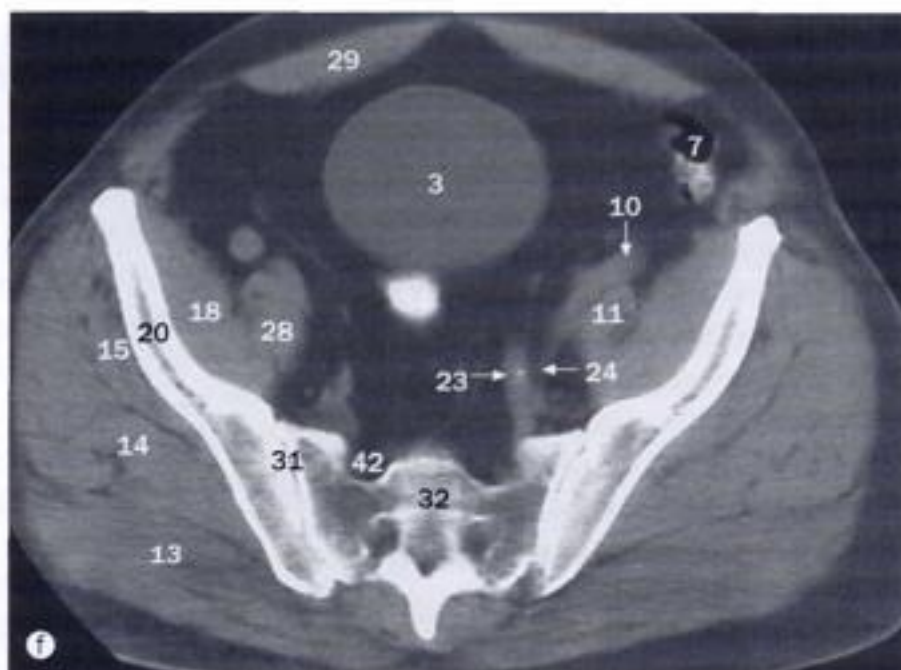
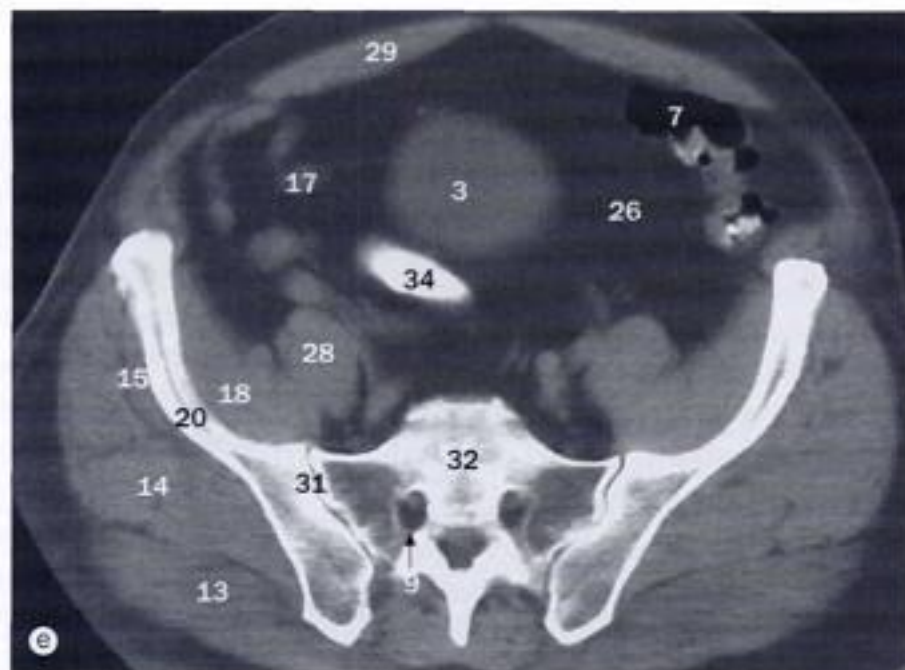


Lymphographie de la région pelvienne.
Pour les légendes, voir la page 152.



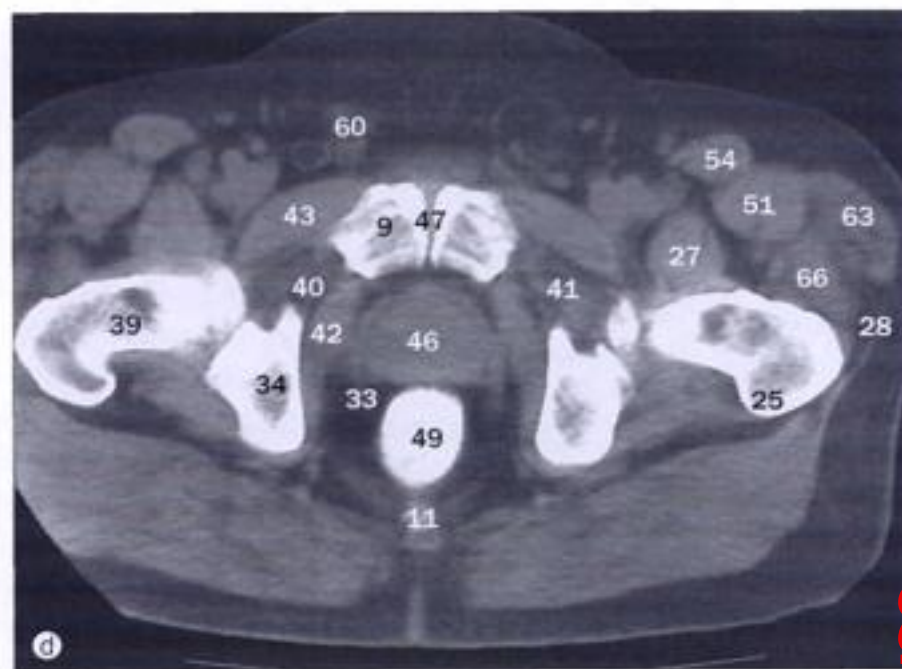
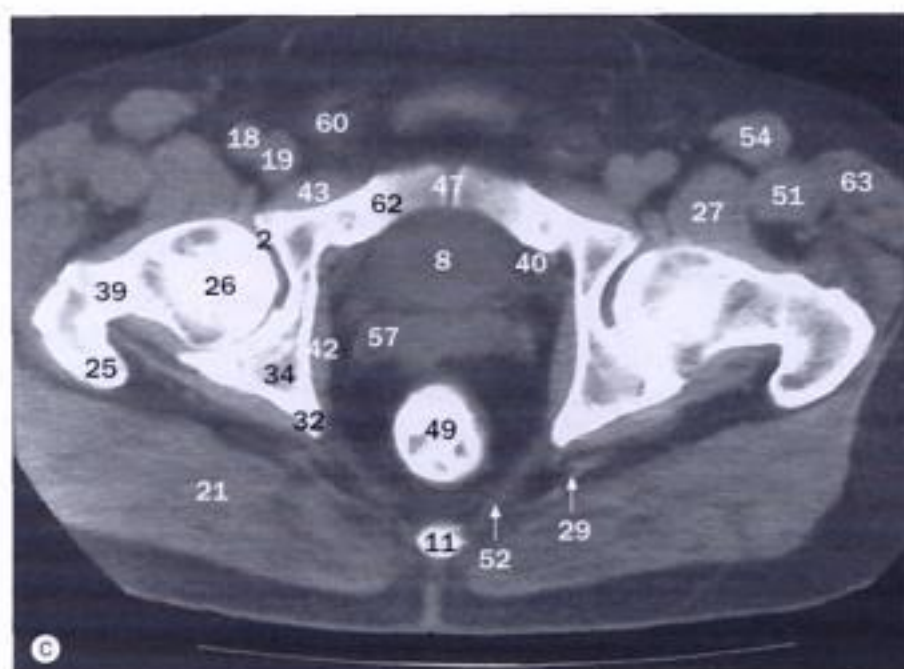
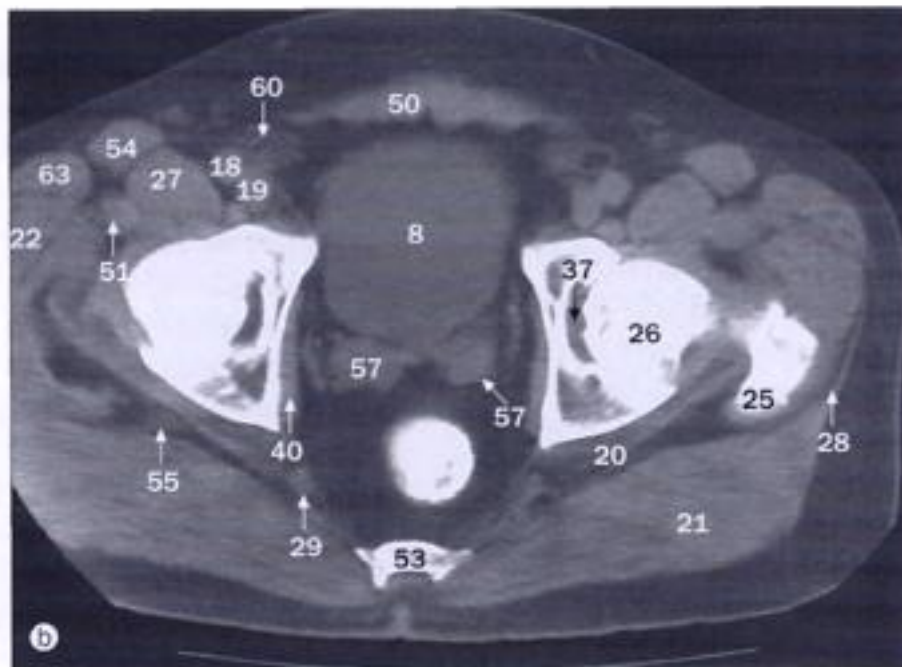
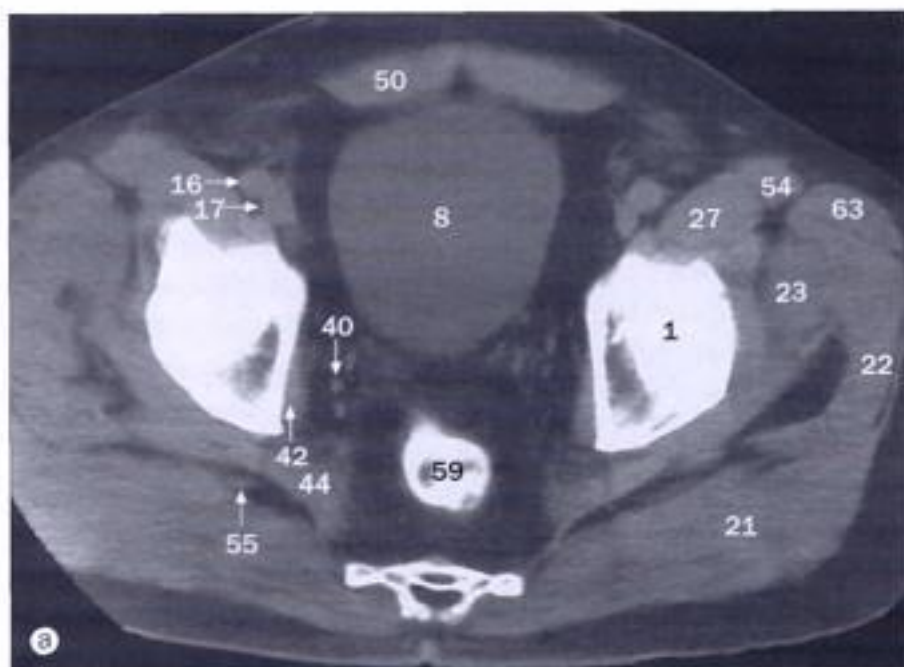
(a) - (h) TDM du bassin masculin, coupes axiales.

- | | |
|---------------------------|-------------------------------|
| 1 Aorte | 11 Veine iliaque externe |
| 2 Cæcum | 12 Muscle oblique externe |
| 3 Vessie urinaire | 13 Muscle grand fessier |
| 4 Cæcum | 14 Muscle moyen fessier |
| 5 Artère iliaque commune | 15 Muscle petit fessier |
| 6 Veine iliaque commune | 16 Artère et veine gonadiques |
| 7 Côlon descendant | 17 Anse iléale |
| 8 Dôme vésical | 18 Muscle iliaque |
| 9 Foramen sacral dorsal | 19 Muscle ilio-psoas |
| 10 Artère iliaque externe | 20 Ilium |



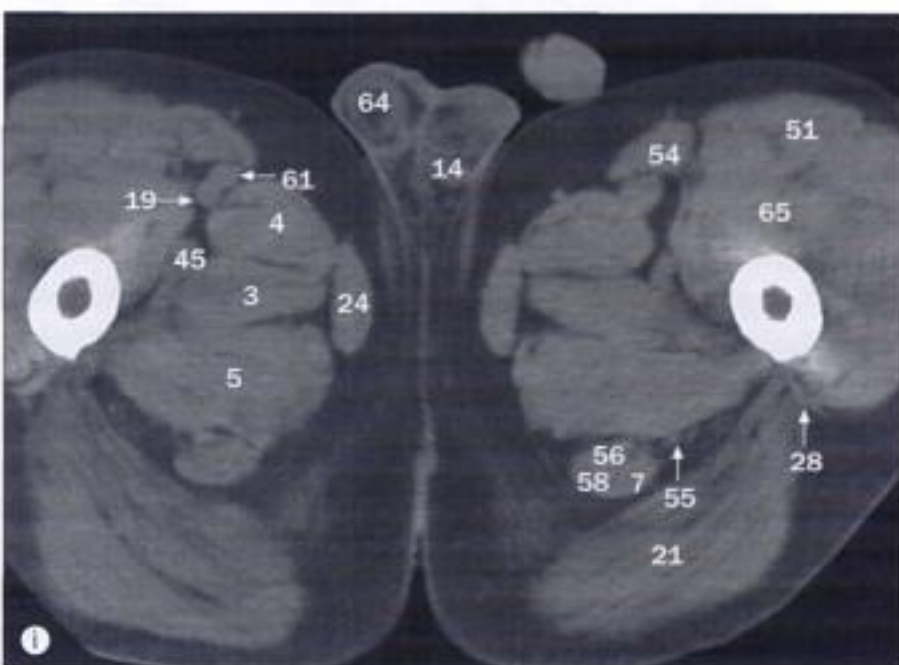
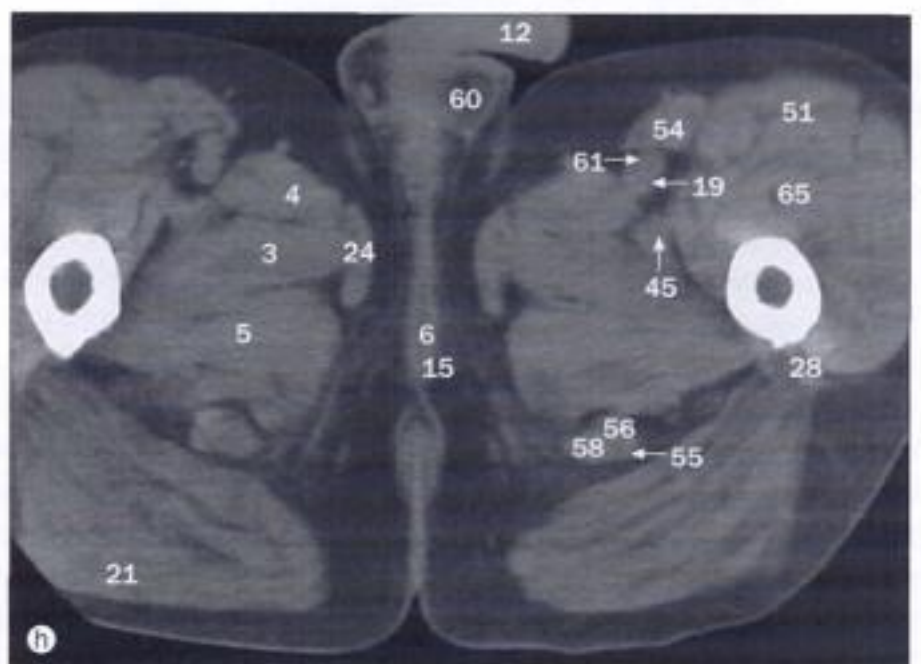
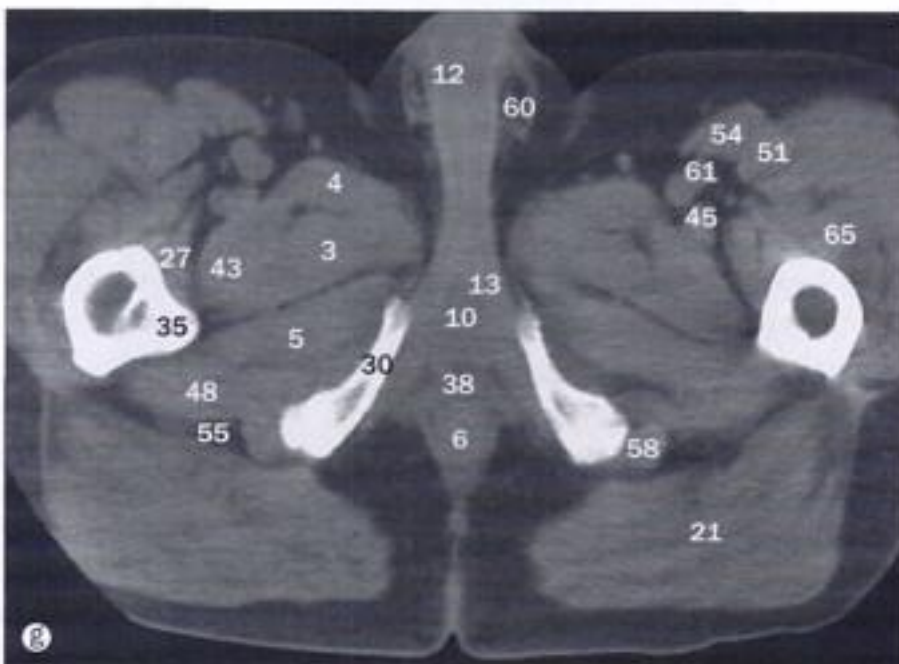
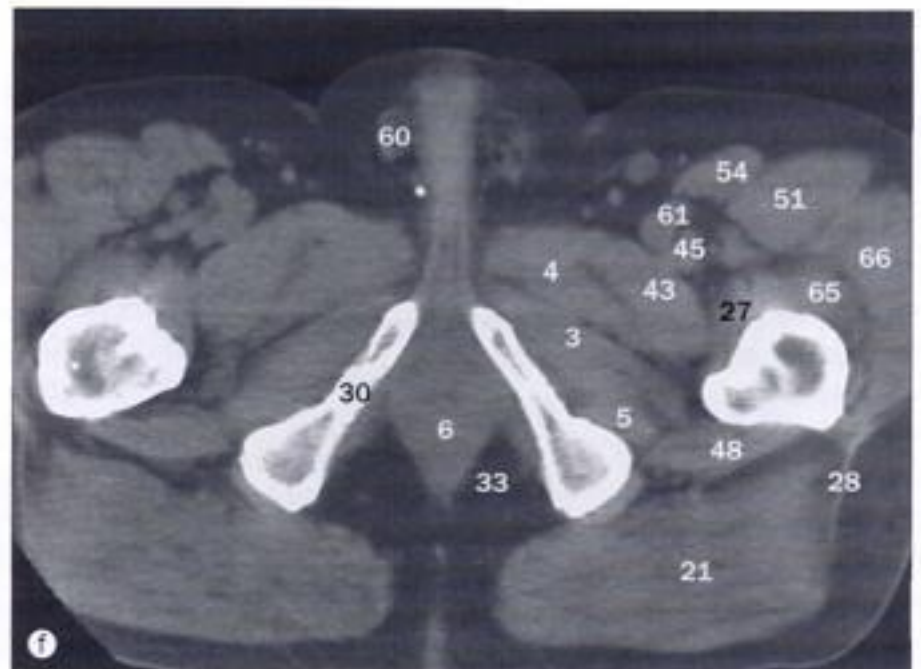
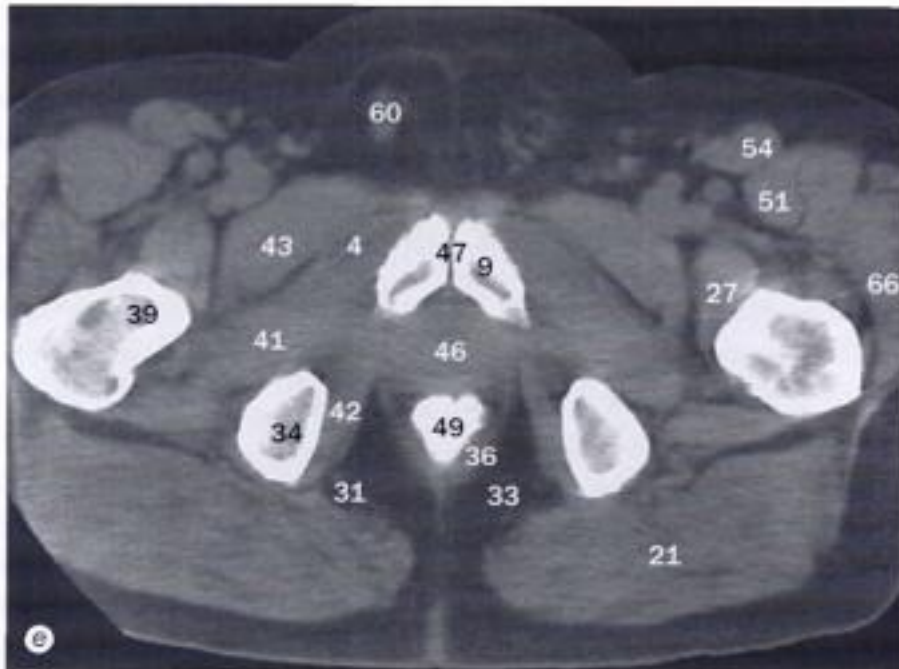
- 21 Artère mésentérique inférieure
- 22 Veine cave inférieure
- 23 Artère iliaque interne
- 24 Veine iliaque interne
- 25 Muscle oblique interne
- 26 Tissu adipeux mésentérique
- 27 Muscle piriforme
- 28 Muscle psoas
- 29 Muscle droit de l'abdomen
- 30 Plexus sacral
- 31 Articulation sacro-iliaque

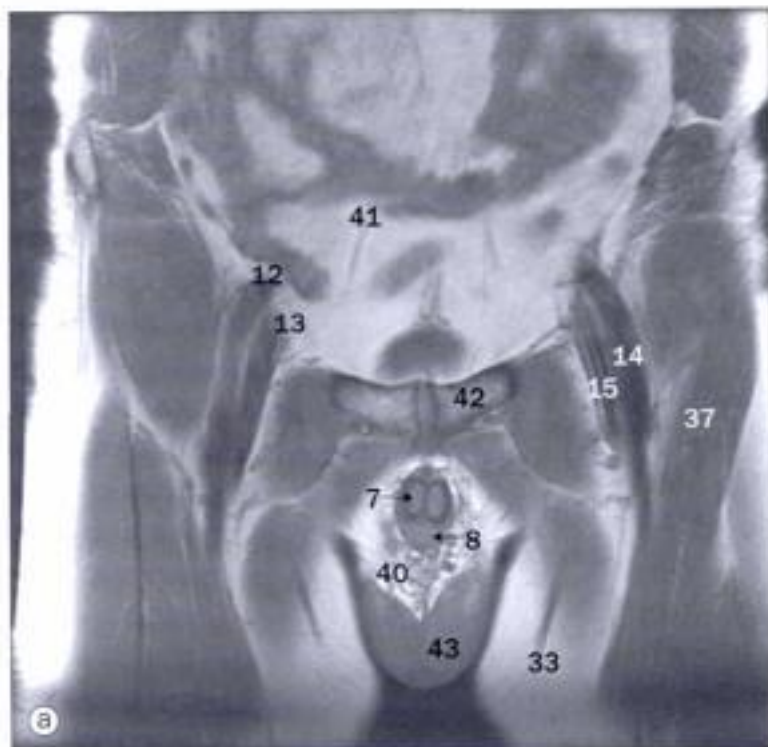
- 32 Sacrum
- 33 Muscle sartorius
- 34 Côlon sigmoïde
- 35 Artère et veine glutéales supérieures
- 36 Muscle tenseur du fascia lata
- 37 Iléon terminal
- 38 Sac dural
- 39 Muscle transverse de l'abdomen
- 40 Omblilic
- 41 Urètre
- 42 Foramen sacral antérieur



(a) - (i) TDM du bassin masculin, coupes axiales.

- | | | |
|--------------------------------|--|----------------------------------|
| 1 Auvent acétabulaire | 23 Muscle petit fessier | 45 Artère fémorale profonde |
| 2 Acetabulum | 24 Muscle gracile | 46 Prostate |
| 3 Muscle court adducteur | 25 Grand trochanter du fémur | 47 Symphyse pubienne |
| 4 Muscle long adducteur | 26 Tête du fémur | 48 Muscle carré fémoral |
| 5 Muscle grand adducteur | 27 Muscle ilio-psoas | 49 Rectum |
| 6 Canal anal | 28 Tractus ilio-tibial | 50 Muscle droit de l'abdomen |
| 7 Muscle biceps fémoral | 29 Artère et veine glutéales inférieures | 51 Muscle droit de la cuisse |
| 8 Vessie urinaire | 30 Branche inférieure du pubis | 52 Ligament sacro-épineux |
| 9 Corps du pubis | 31 Artère et veine honteuses internes | 53 Sacrum |
| 10 Bulbe du pénis | 32 Épine sciatique | 54 Muscle sartorius |
| 11 Coccyx | 33 Fosse ischio-anale | 55 Nerf sciatique |
| 12 Corps caverneux | 34 Ischium | 56 Muscle semi-membraneux |
| 13 Pilier du corps caverneux | 35 Petit trochanter du fémur | 57 Vésicule séminale |
| 14 Épididyme | 36 Muscle élévateur de l'anus | 58 Muscle semi-tendineux |
| 15 Sphincter externe de l'anus | 37 Ligament de la tête fémorale | 59 Côlon sigmoïde |
| 16 Artère iliaque externe | 38 Partie membranacée de l'urètre | 60 Cordon spermatique |
| 17 Veine iliaque externe | 39 Col du fémur | 61 Artère fémorale superficielle |
| 18 Artère fémorale | 40 Artère et veine obturatrices | 62 Branche supérieure du pubis |
| 19 Veine fémorale | 41 Muscle obturateur externe | 63 Muscle tenseur du fascia lata |
| 20 Muscle jumeau | 42 Muscle obturateur interne | 64 Testicule |
| 21 Muscle grand fessier | 43 Muscle pectiné | 65 Muscle vaste intermédiaire |
| 22 Muscle moyen fessier | 44 Muscle piriforme | 66 Muscle vaste latéral |

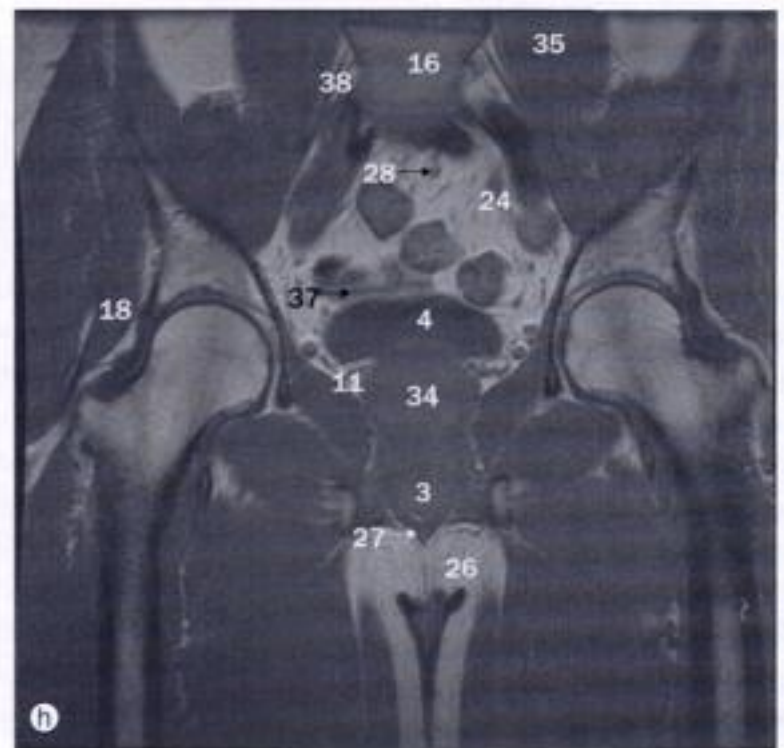
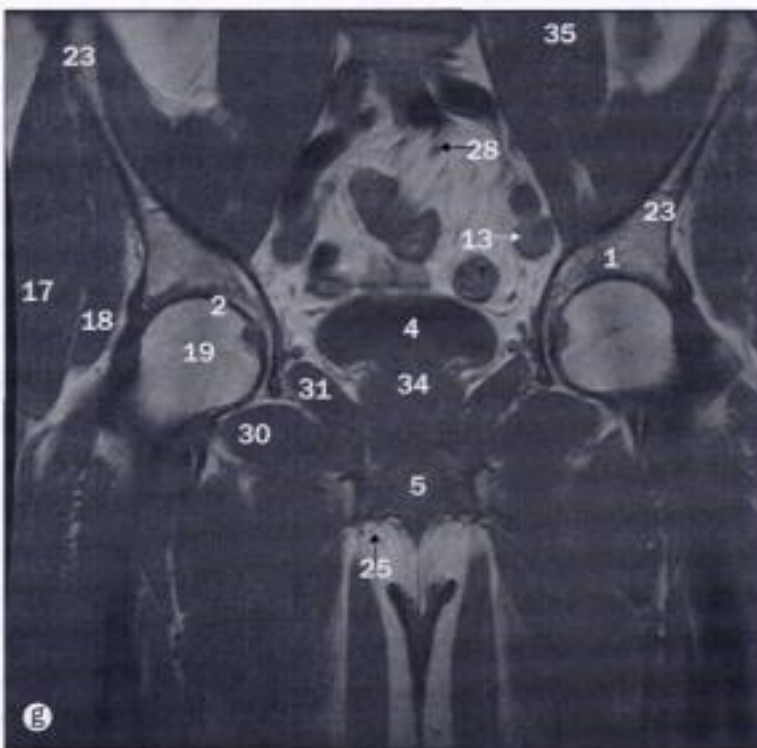
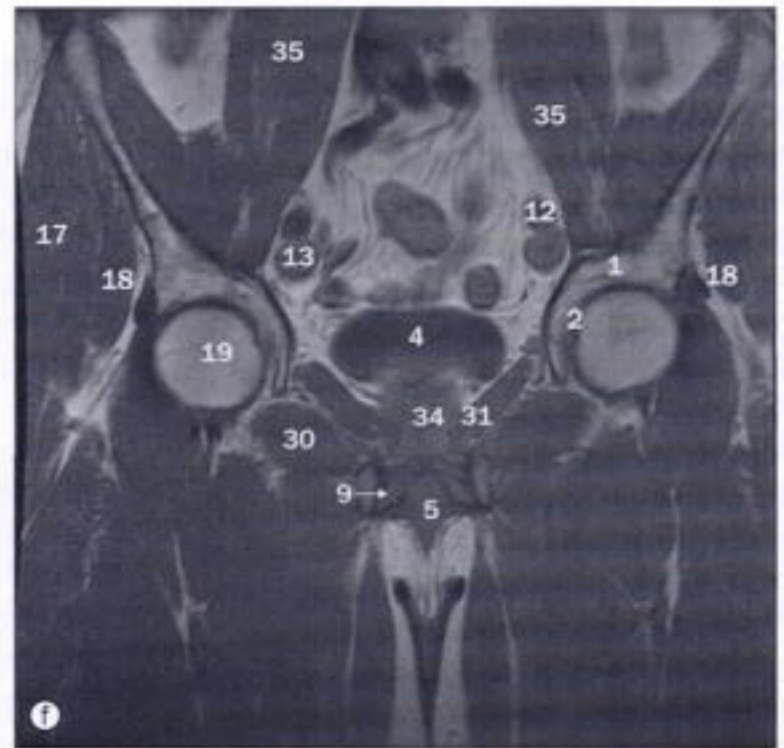
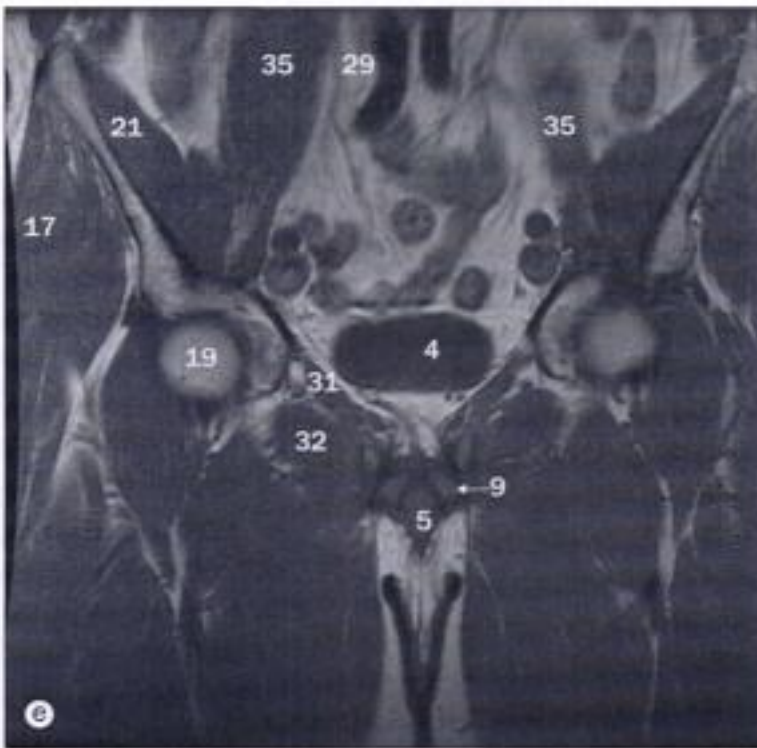




(a) - (h) IRM du bassin masculin ; coupes frontales (coronales).

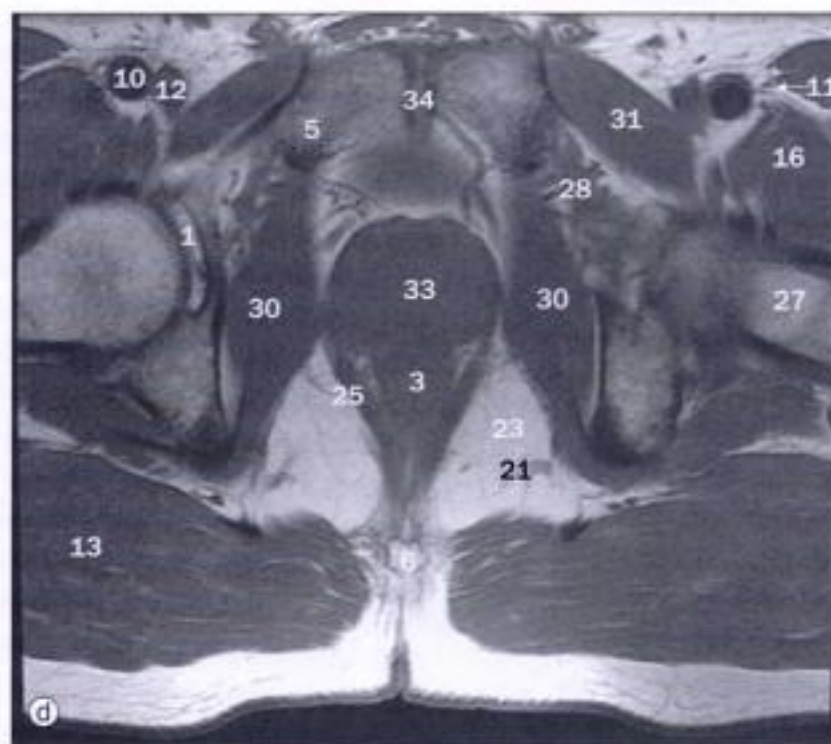
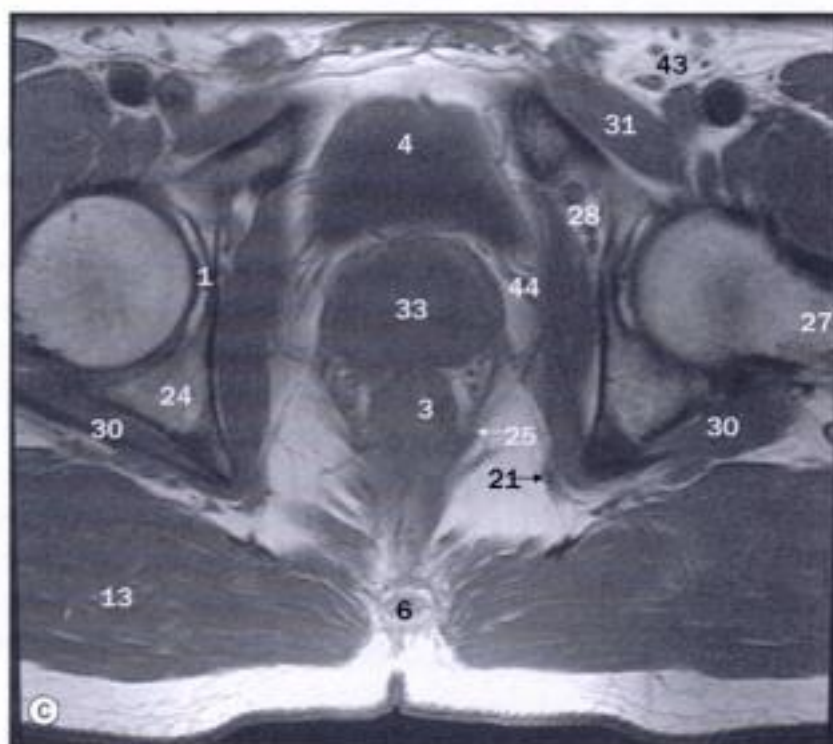
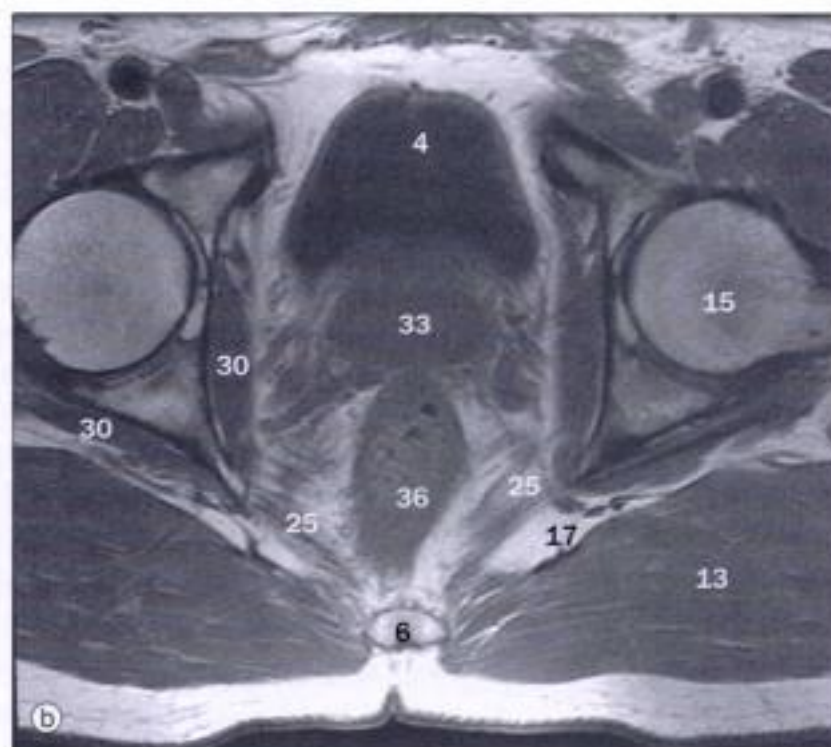
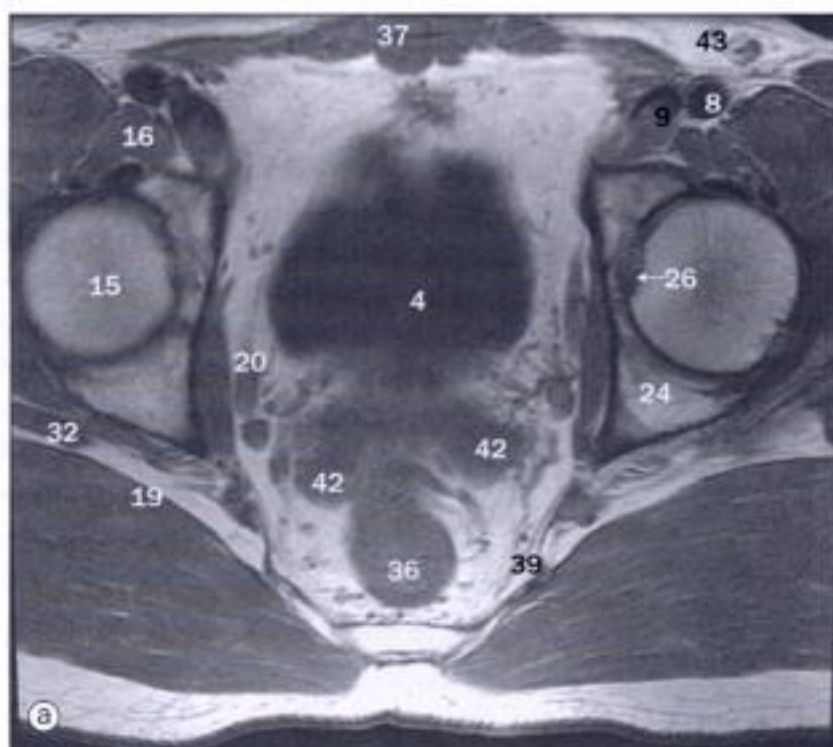
- 1 Auvent acétabulaire
- 2 Acetabulum
- 3 Canal anal
- 4 Vessie urinaire
- 5 Bulbe du pénis
- 6 Cæcum
- 7 Corps caverneux
- 8 Corps spongieux
- 9 Pilier du corps caverneux
- 10 Côlon descendant
- 11 Conduit déférent

- 12 Artère iliaque externe
- 13 Veine iliaque externe
- 14 Artère fémorale
- 15 Veine fémorale
- 16 Cinquième vertèbre lombaire
- 17 Muscle moyen fessier
- 18 Muscle petit fessier
- 19 Tête du fémur
- 20 Anse iléale
- 21 Muscle iliaque
- 22 Muscle ilio-psoas



- 23 Ilium
- 24 Artère et veine glutéales inférieures
- 25 Artère et veine honteuses internes
- 26 Fosse ischio-anale
- 27 Muscle élévateur de l'anus
- 28 Artère sacrale médiane
- 29 Tissu adipeux mésentérique
- 30 Muscle obturateur externe
- 31 Muscle obturateur interne
- 32 Muscle pectiné
- 33 Artère fémorale profonde

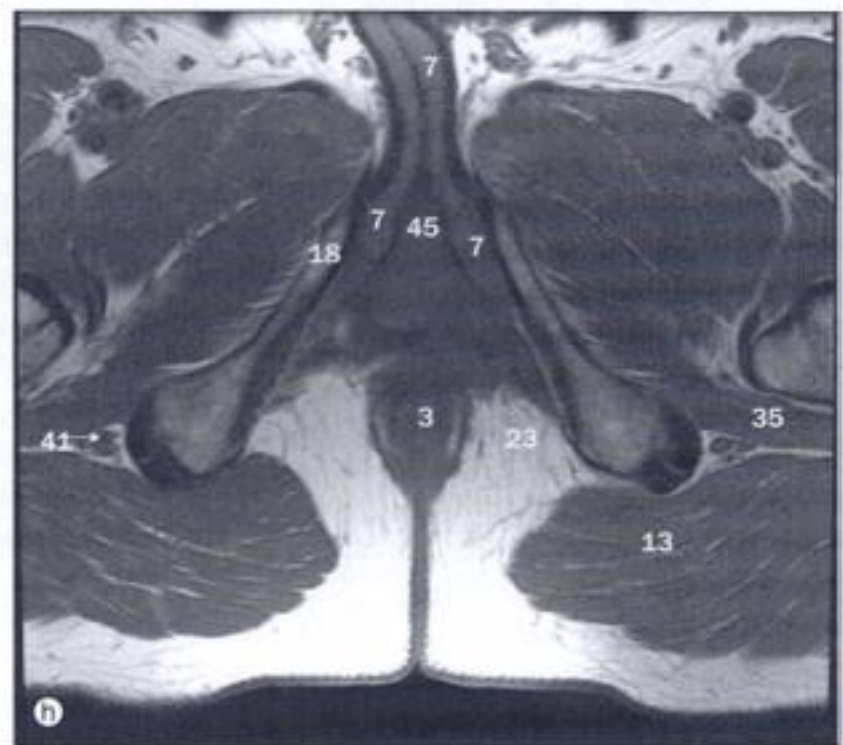
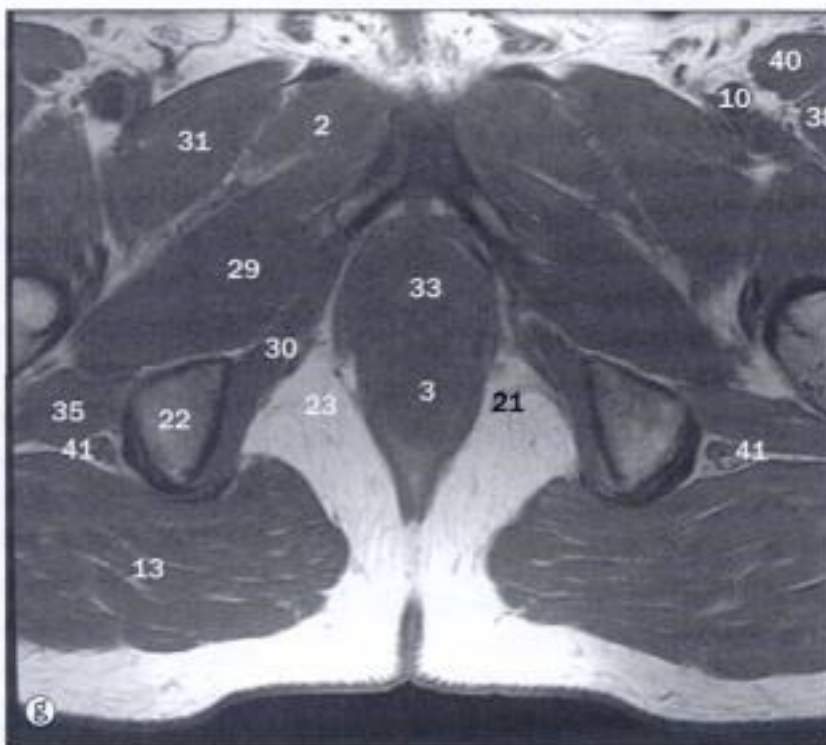
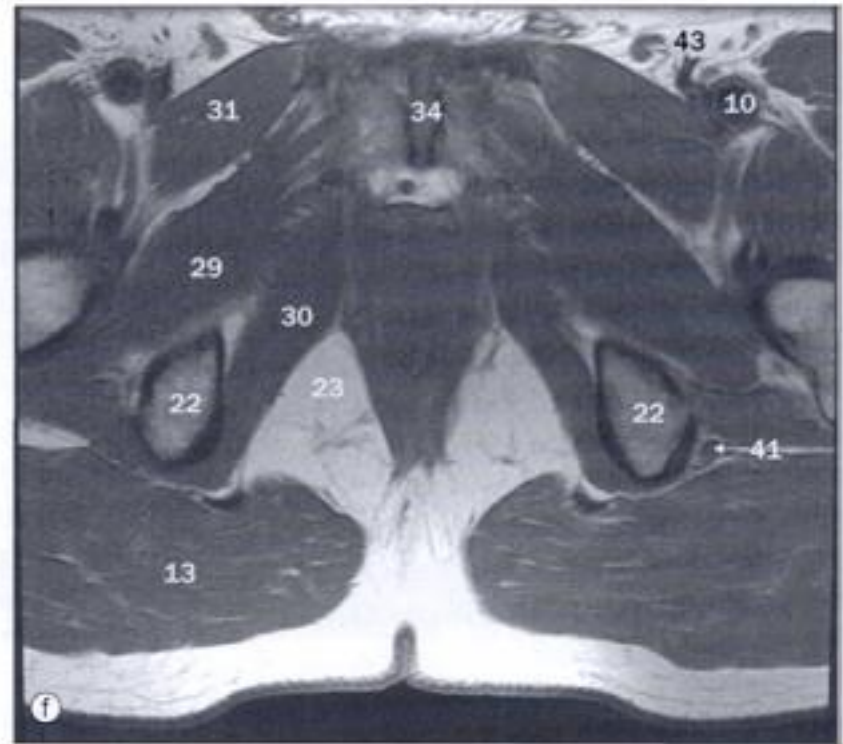
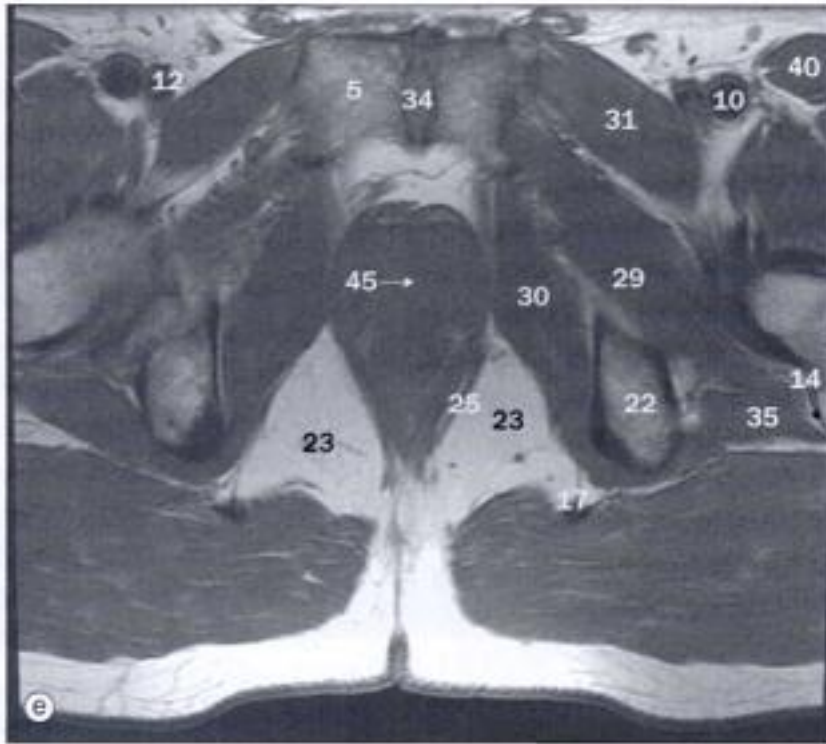
- 34 Prostate
- 35 Muscle psoas
- 36 Rectum
- 37 Muscle sartorius
- 38 Racine du nerf sciatique
- 39 Côlon sigmoïde
- 40 Cordon spermatique
- 41 Artère épigastrique superficielle
- 42 Branche supérieure du pubis
- 43 Testicule



(a) - (d) IRM du bassin masculin ; coupes axiales.

- 1 Acetabulum
- 2 Muscle long adducteur
- 3 Canal anal
- 4 Vessie urinaire
- 5 Corps du pubis
- 6 Coccyx
- 7 Corps caverneux
- 8 Artère iliaque externe
- 9 Veine iliaque externe
- 10 Artère fémorale
- 11 Nerf fémoral

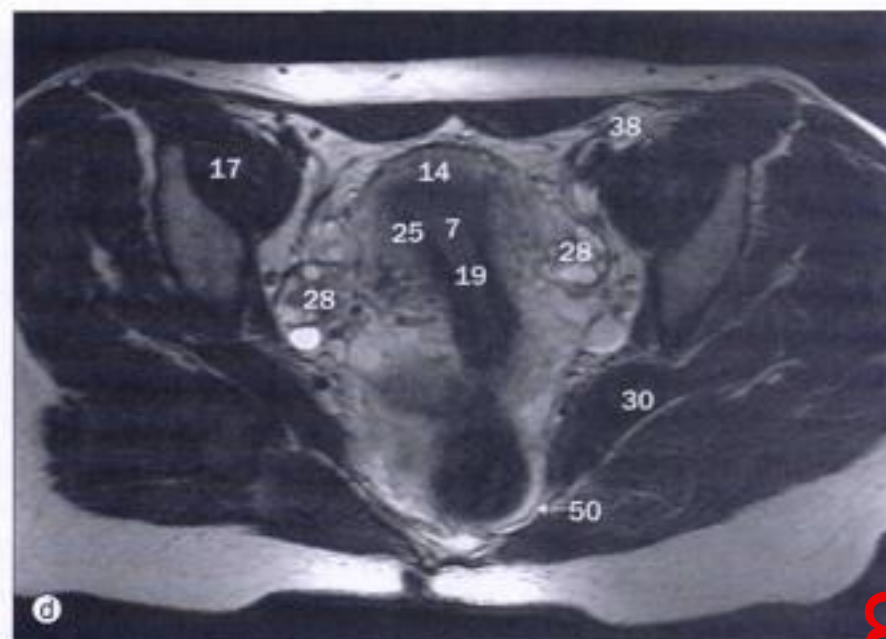
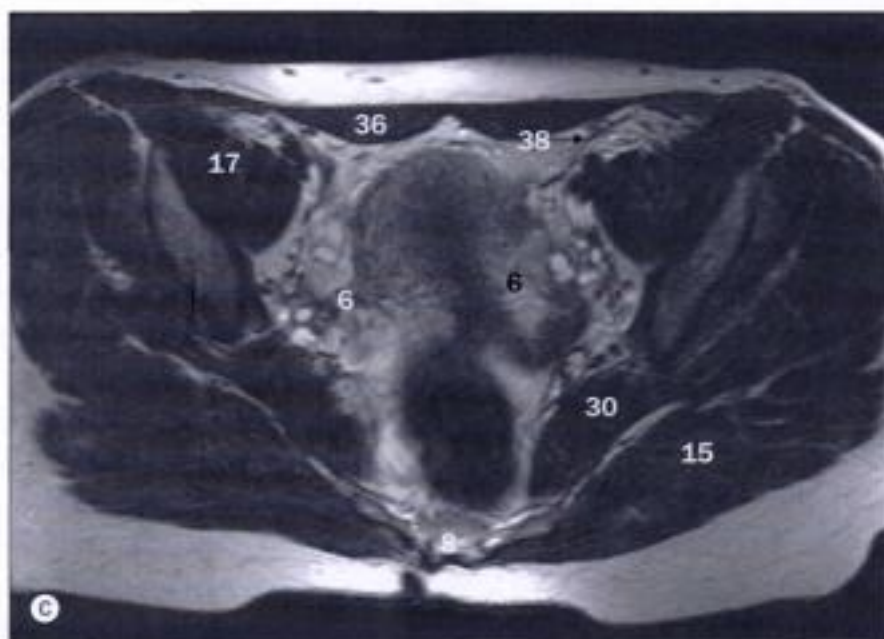
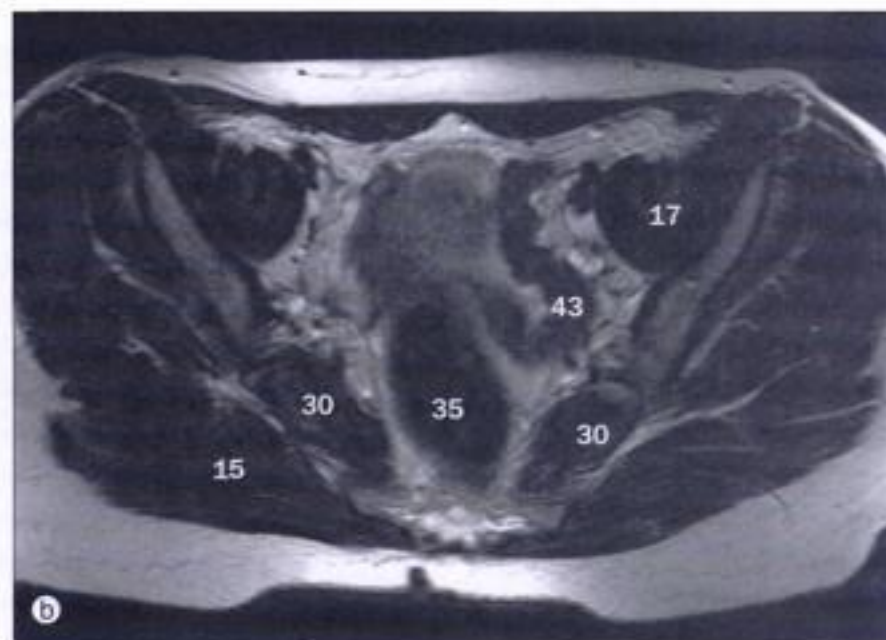
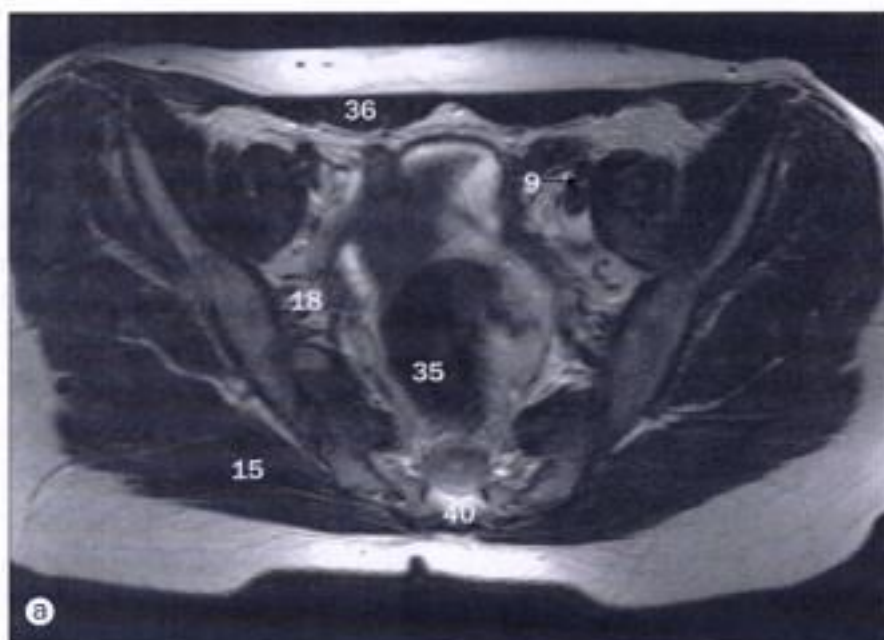
- 12 Veine fémorale
- 13 Muscle grand fessier
- 14 Grand trochanter du fémur
- 15 Tête du fémur
- 16 Muscle ilio-psoas
- 17 Artère et veine glutéales inférieures
- 18 Branche inférieure du pubis
- 19 Artère iliaque interne
- 20 Veine iliaque interne
- 21 Artère et veine honteuses internes
- 22 Tubérosité ischiatique



(e) - (h) IRM du bassin masculin ; coupes axiales.

23 Fosse ischio-anale
 24 Ischium
 25 Muscle élévateur de l'anus
 26 Ligament de la tête fémorale
 27 Col du fémur
 28 Artère et veine obturatrices
 29 Muscle obturateur externe
 30 Muscle obturateur interne
 31 Muscle pectiné
 32 Muscle piriforme
 33 Prostate
 34 Symphyse pubienne

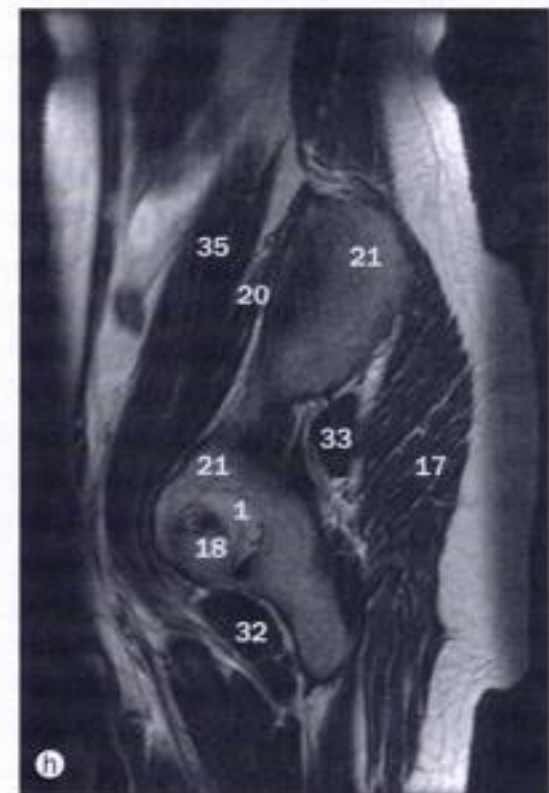
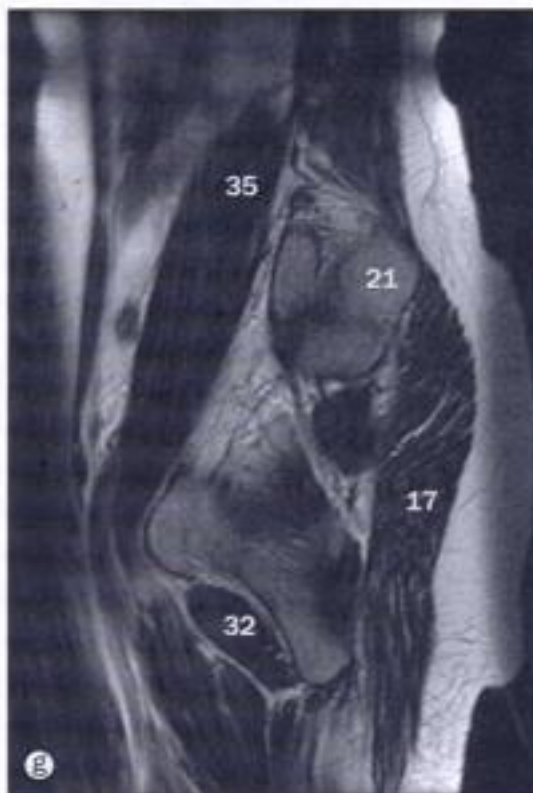
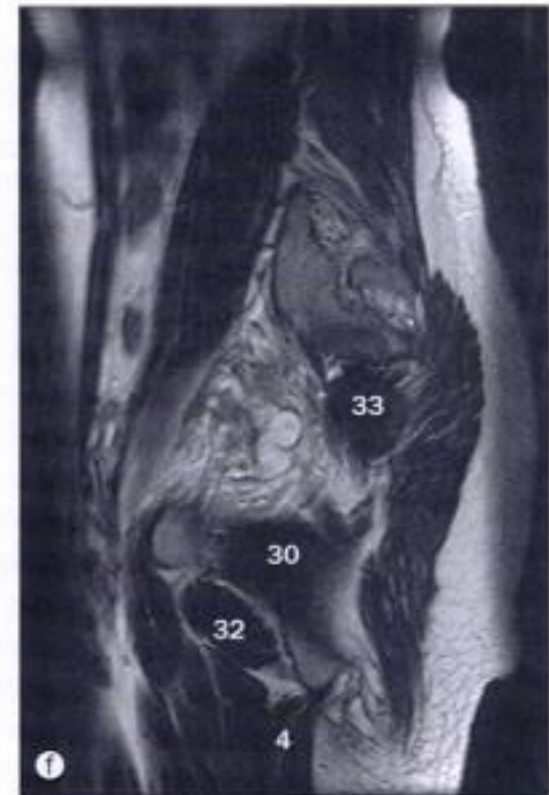
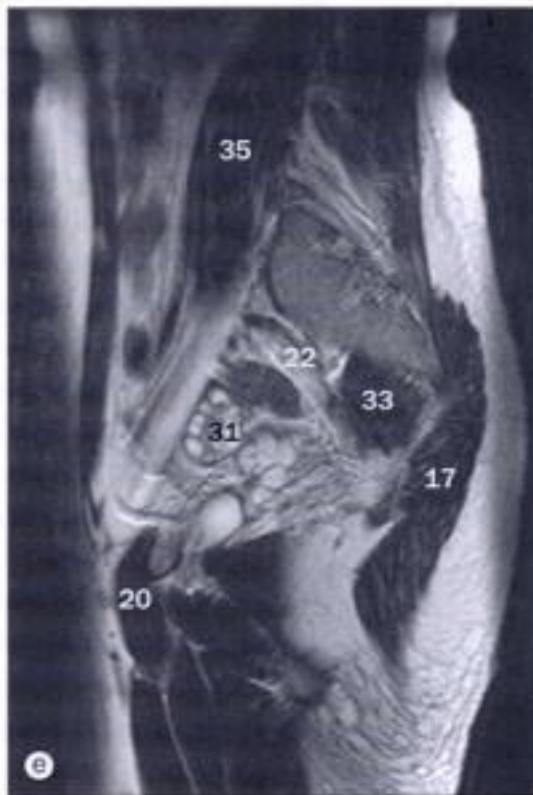
35 Muscle carré fémoral
 36 Rectum
 37 Muscle droit de l'abdomen
 38 Muscle droit de la cuisse
 39 Ligament sacro-épineux
 40 Muscle sartorius
 41 Nerf sciatique
 42 Vésicule séminale
 43 Cordon spermatique
 44 Uretere
 45 Urètre



(a) - (d) IRM du bassin féminin ; coupes axiales.

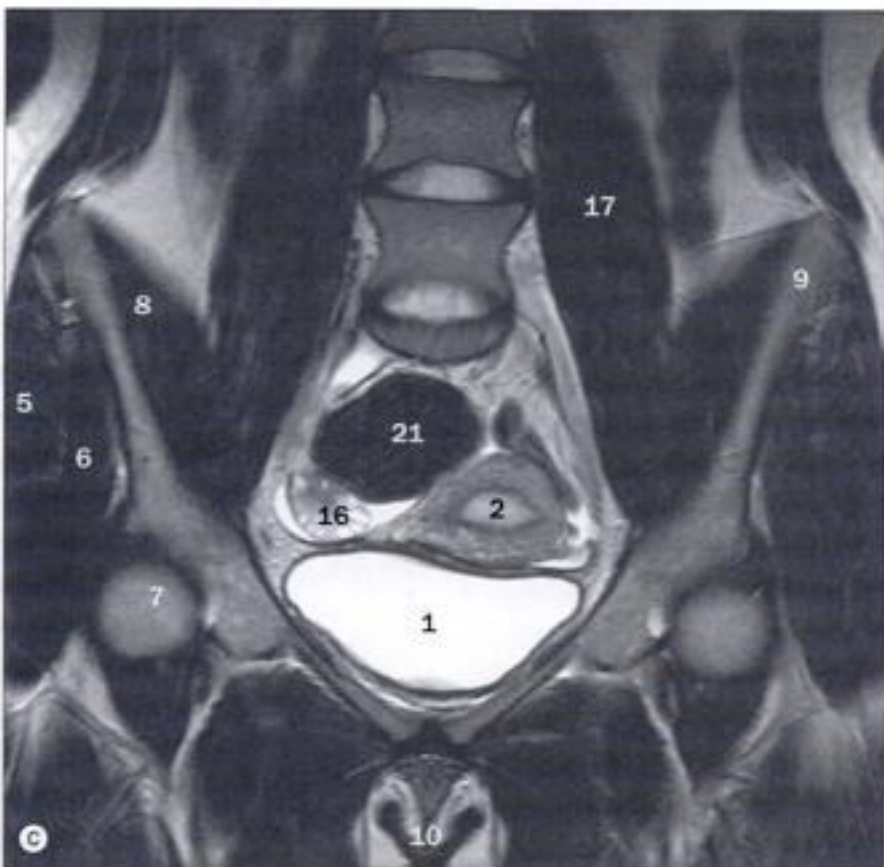
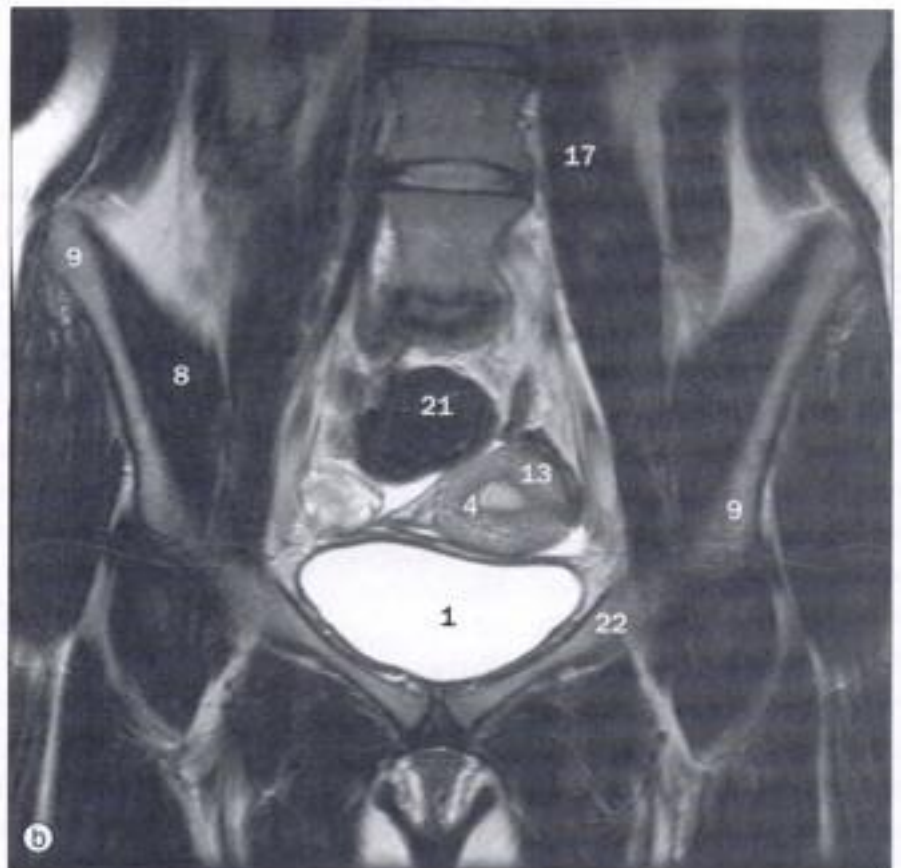
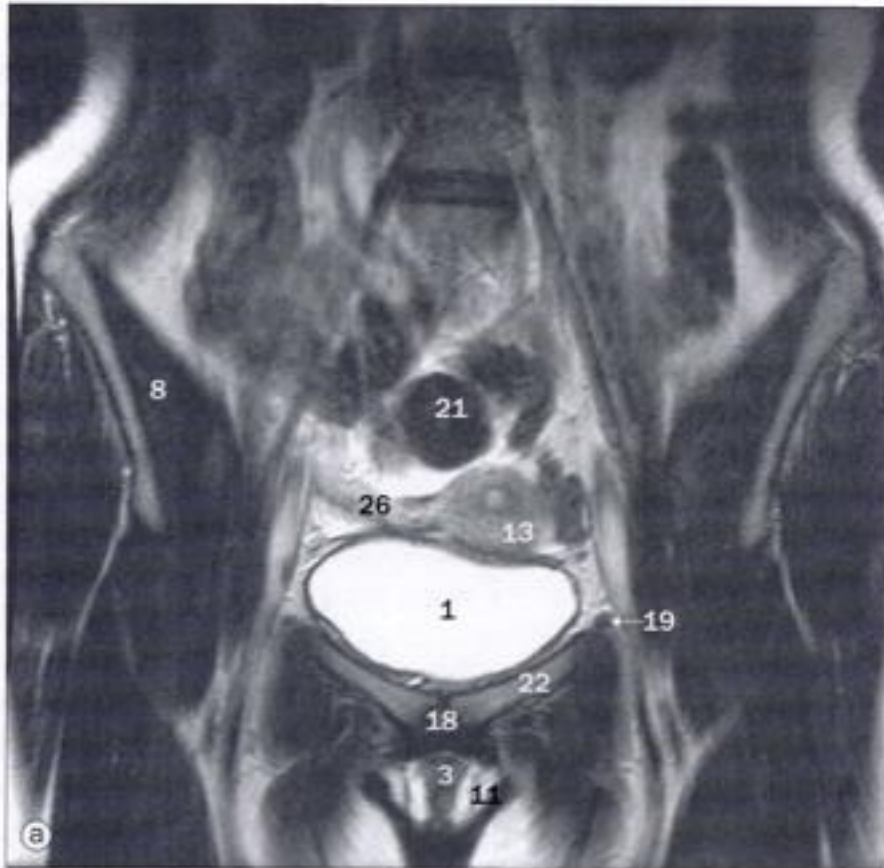
- 1 Auvent acétabulaire
- 2 Acetabulum
- 3 Canal anal
- 4 Vessie urinaire
- 5 Corps du pubis
- 6 Ligament large
- 7 Cavité de l'utérus
- 8 Coccyx
- 9 Artère et veine iliaques externes
- 10 Ostium externe du col utérin
- 11 Artère fémorale
- 12 Nerf fémoral
- 13 Veine fémorale

- 14 Fond de l'utérus
- 15 Muscle grand fessier
- 16 Tête du fémur
- 17 Muscle ilio-psoas
- 18 Artère et veine iliaques internes
- 19 Ostium interne du col utérin
- 20 Artère et veine honteuses internes
- 21 Épine sciatique
- 22 Fosse ischio-anale
- 23 Ischium
- 24 Muscle élévateur de l'anus
- 25 Myomètre de l'utérus
- 26 Muscle obturateur externe



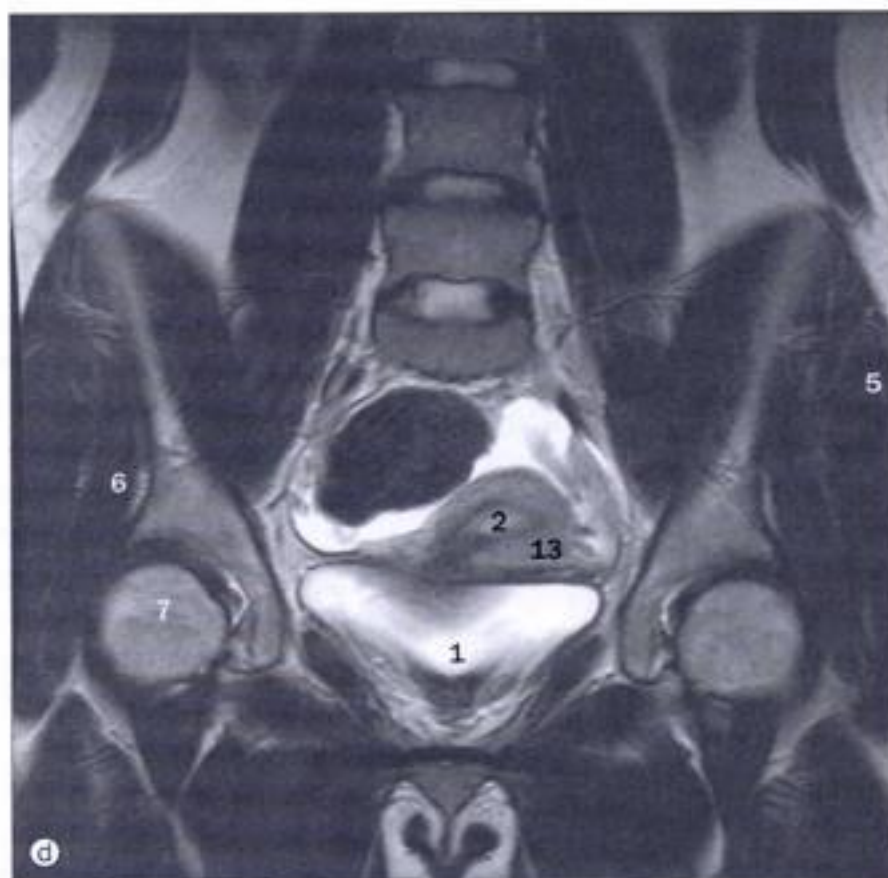
(e) - (h) IRM du bassin féminin ; coupes sagittales.

- | | | | |
|-----------------------------|--------------------------------------|-------------------------------|------------------------------|
| 1 Fosse acétabulaire | 13 Canal endocervical du col utérin | 24 Disque intervertébral | 36 Symphyse pubienne |
| 2 Muscle court adducteur | 14 Endomètre | 25 Fosse ischio-anale | 37 Cul-de-sac recto-utérin |
| 3 Muscle long adducteur | 15 Ostium externe du col utérin | 26 Grande lèvre | 38 Rectum |
| 4 Muscle grand adducteur | 16 Fond de l'utérus | 27 Muscle élévateur de l'anus | 39 Muscle droit de l'abdomen |
| 5 Canal anal | 17 Muscle grand fessier | 28 Artère sacrale médiane | 40 Sacrum |
| 6 Fornix antérieur du vagin | 18 Tête du fémur | 29 Myomètre de l'utérus | 41 Côlon sigmoïde |
| 7 Vessie urinaire | 19 Iléon | 30 Muscle obturateur interne | 42 Sac dural |
| 8 Corps du pubis | 20 Muscle iliaque | 31 Ovaire | 43 Urètre |
| 9 Corps de l'utérus | 21 Ilium | 32 Muscle pectiné | 44 Trompe utérine |
| 10 Cavité utérine | 22 Artère et veine iliaques internes | 33 Muscle piriforme | 45 Vagin |
| 11 Canal cervical | 23 Ostium interne du col utérin | 34 Fornix postérieur du vagin | 46 Cul-de-sac vésico-utérin |
| 12 Coccyx | | 35 Muscle psoas | 47 Paroi du col utérin |



(a) - (c) IRM du bassin féminin ; coupes frontales (coronales).

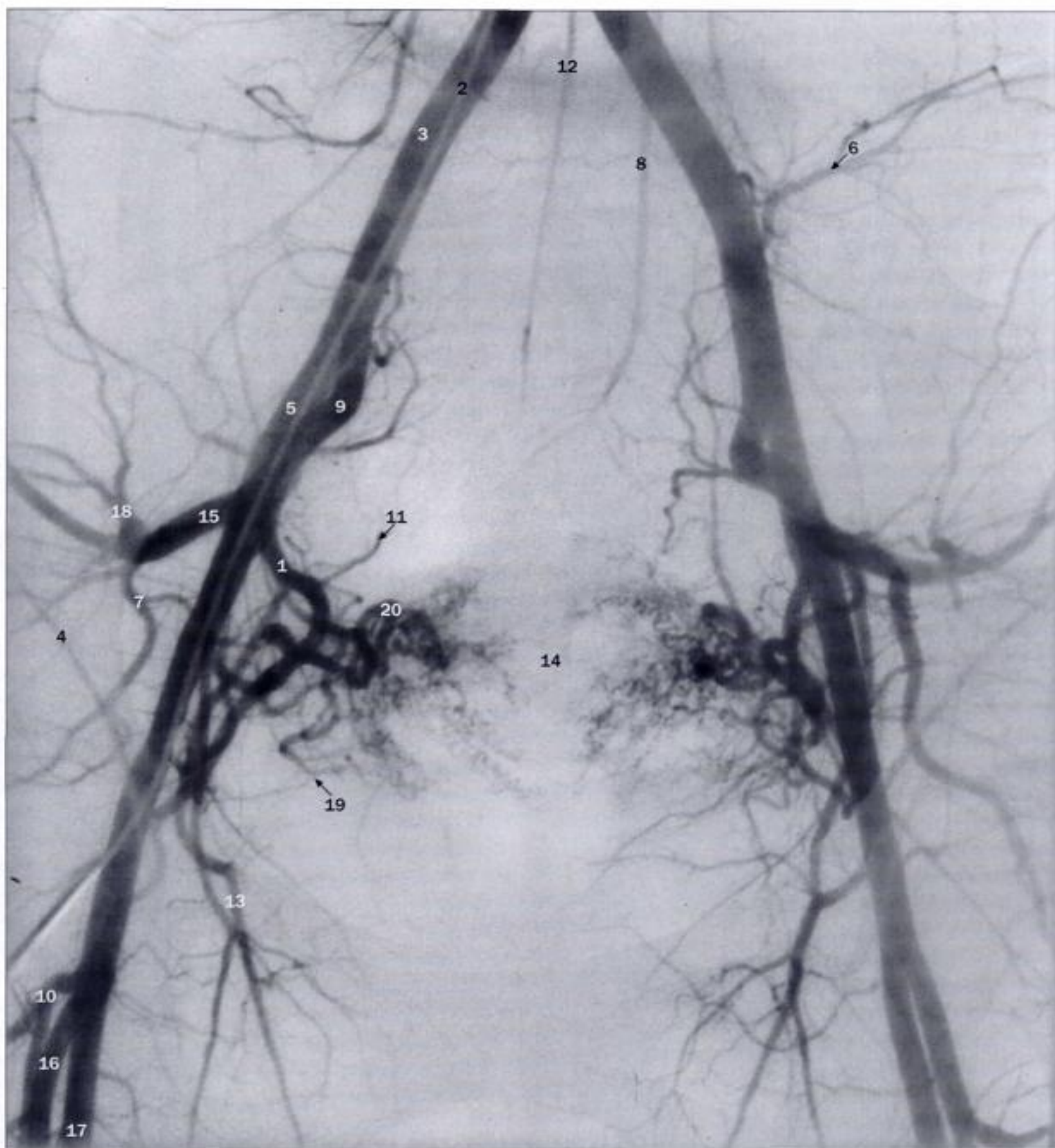
- | | |
|-------------------------------|--------------------------------|
| 1 Vessie urinaire | 15 Muscle obturateur interne |
| 2 Cavité de l'utérus | 16 Ovaire |
| 3 Clitoris | 17 Muscle psoas |
| 4 Endomètre | 18 Symphyse pubienne |
| 5 Muscle moyen fessier | 19 Ligament rond de l'utérus |
| 6 Muscle petit fessier | 20 Sacrum |
| 7 Tête du fémur | 21 Côlon sigmoïde |
| 8 Muscle iliaque | 22 Branche supérieure du pubis |
| 9 Ilium | 23 Sac dural |
| 10 Petites lèvres | 24 Urètre |
| 11 Grande lèvre | 25 Diaphragme urogénital |
| 12 Muscle élévateur de l'anus | 26 Trompe utérine |
| 13 Myomètre de l'utérus | 27 Vagin |
| 14 Muscle obturateur externe | |



(d) - (e) IRM du bassin féminin ; coupes frontales (coronales).

- 1 Vessie urinaire
- 2 Cavité utérine
- 3 Clitoris
- 4 Endomètre
- 5 Muscle moyen fessier
- 6 Muscle petit fessier
- 7 Tête du fémur
- 8 Muscle iliaque
- 9 Ilium
- 10 Petites lèvres
- 11 Grande lèvre
- 12 Muscle élévateur de l'anus
- 13 Myomètre de l'utérus
- 14 Muscle obturateur externe

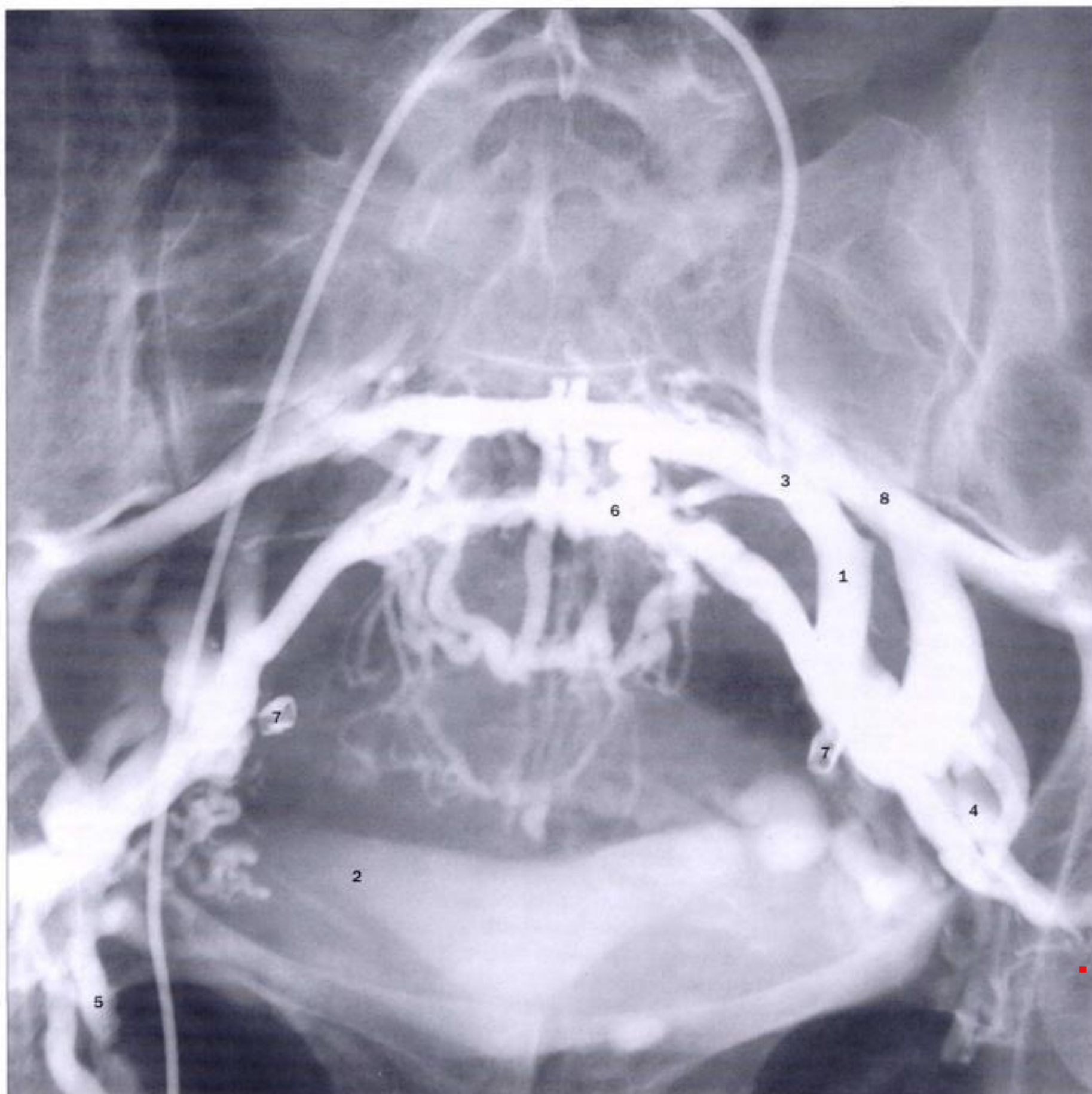
- 15 Muscle obturateur interne
- 16 Ovaire
- 17 Muscle psoas
- 18 Symphyse pubienne
- 19 Ligament de l'utérus
- 20 Sacrum
- 21 Côlon sigmoïde
- 22 Branche supérieure du pubis
- 23 Sac dural
- 24 Urètre
- 25 Diaphragme urogénital
- 26 Trompe utérine
- 27 Vagin



Artériographie pelvienne par soustraction.

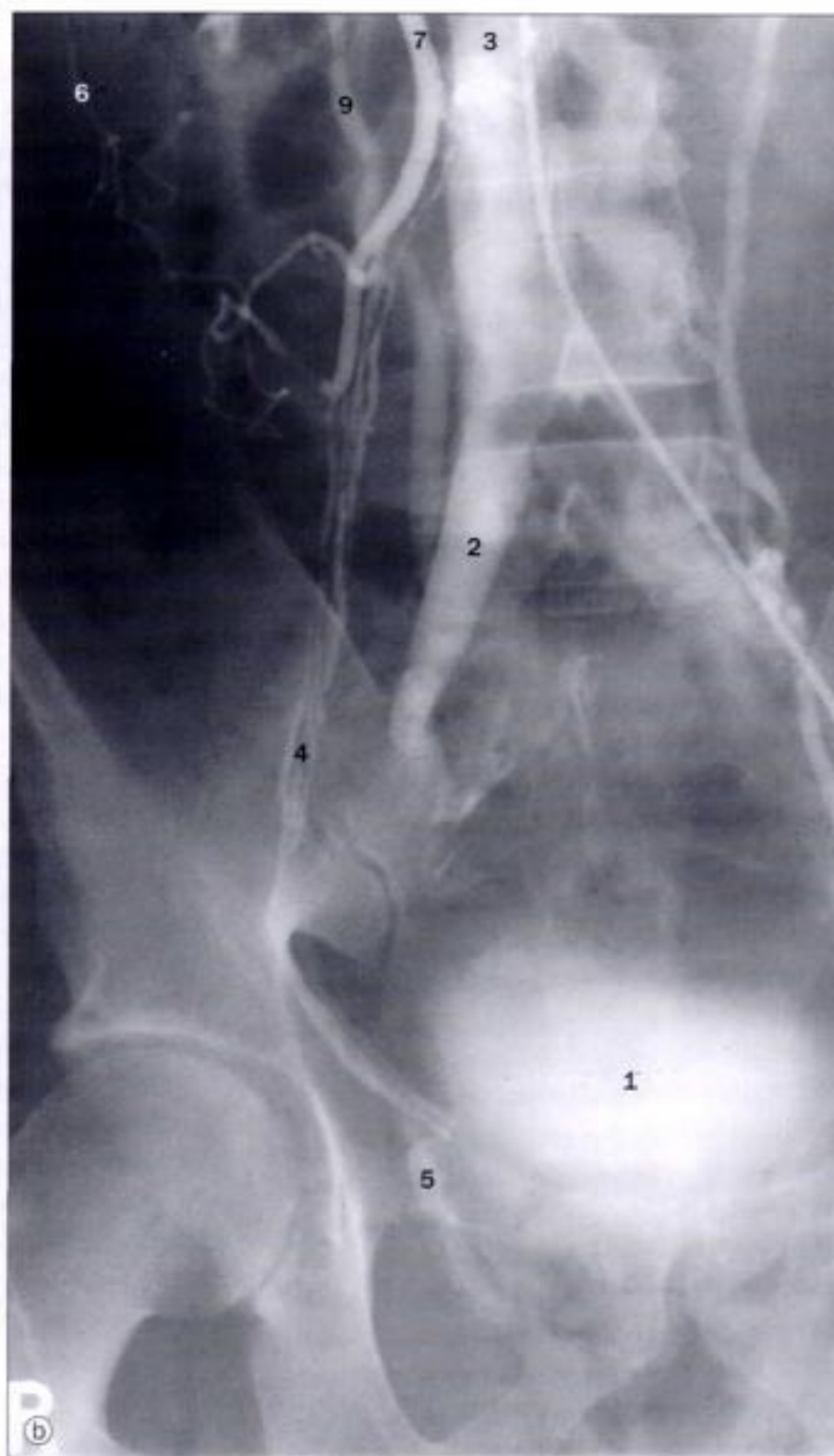
Cette radiographie antéro-postérieure du bassin fait voir, à la fois, les artères iliaques interne et externe ainsi que leurs branches. Beaucoup de ces vaisseaux sont superposés. Pour mieux les voir, des projections obliques seraient nécessaires. Le produit de contraste injecté dans les artères est excrété par les reins et une vessie urinaire remplie peut masquer les branches. Un cathétérisme sélectif des artères iliaques interne ou externe donne plus de détails, sans superposition des vaisseaux.

- | | |
|--|---|
| 1 Tronc antérieur de l'artère iliaque interne | 10 Artère circonflexe latérale de la cuisse |
| 2 Cathéter introduit dans la partie distale de l'aorte abdominale par l'artère fémorale droite | 11 Artère sacrale latérale |
| 3 Artère iliaque commune | 12 Artère sacrale médiane |
| 4 Artère circonflexe iliaque profonde | 13 Artère obturatrice |
| 5 Artère iliaque externe | 14 Situation de l'utérus |
| 6 Artère ilio-lombaire | 15 Tronc postérieur de l'artère iliaque interne |
| 7 Artère glutéale inférieure | 16 Artère fémorale profonde |
| 8 Artère mésentérique inférieure | 17 Artère fémorale superficielle |
| 9 Artère iliaque interne | 18 Artère glutéale supérieure |
| | 19 Artère vésicale supérieure |
| | 20 Artère utérine |



Phlébographie du bassin féminin.

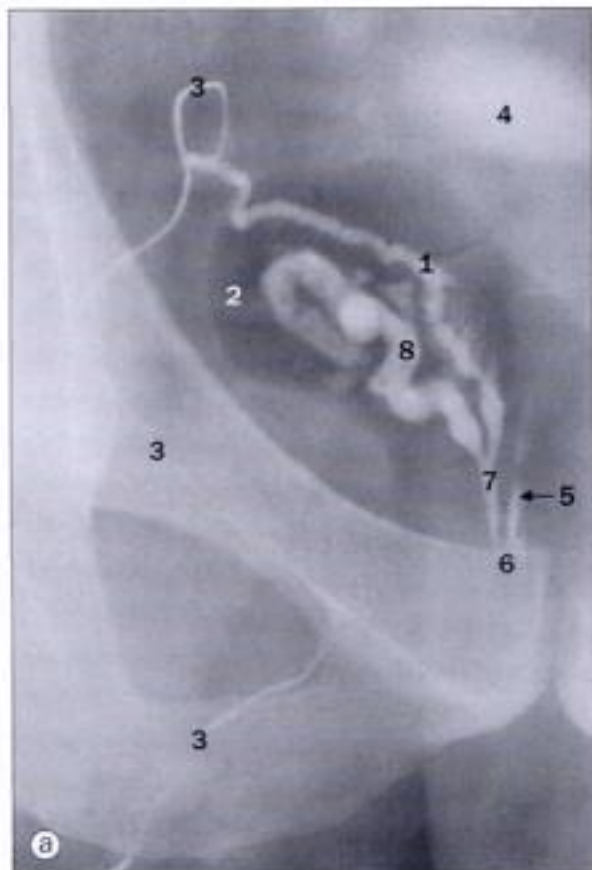
- 1 Division antérieure de la veine iliaque interne
- 2 Vessie urinaire contenant du produit de contraste
- 3 Cathéter introduit par la veine fémorale droite, avec bout dans la veine iliaque interne gauche
- 4 Veines glutéales inférieures
- 5 Veines obturatrices
- 6 Plexus des veines sacrales
- 7 Agrafes de stérilisation
- 8 Veines glutéales supérieures



(a) et (b) Phlébographies testiculaires droites.

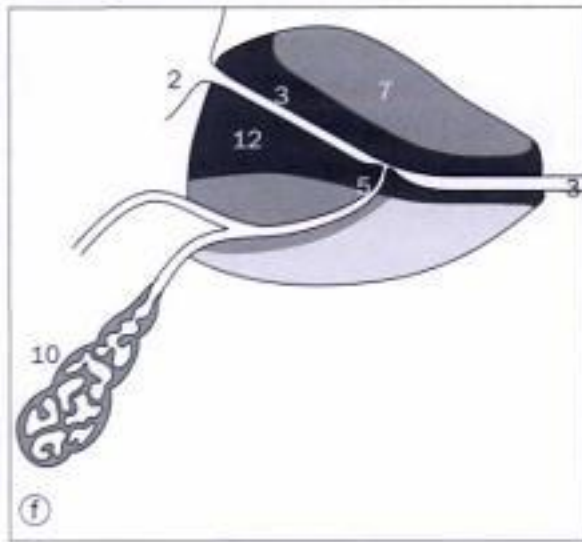
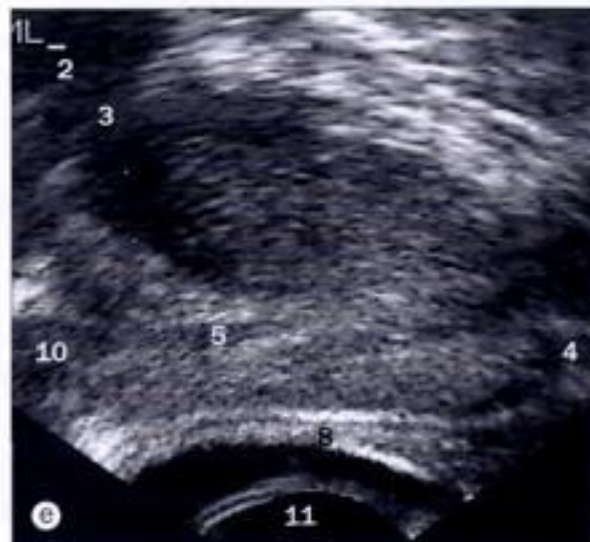
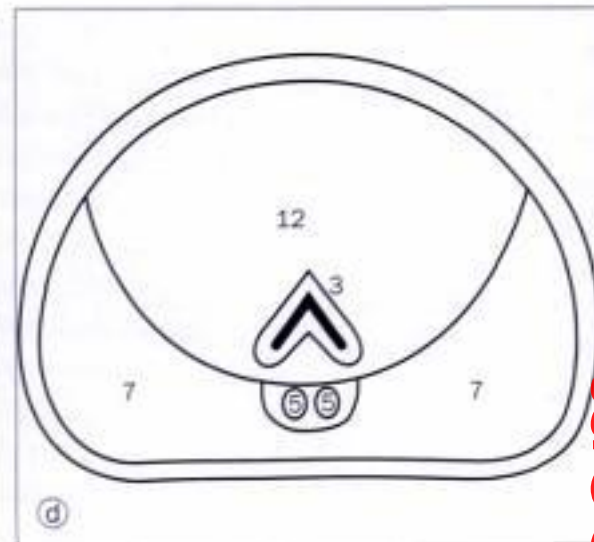
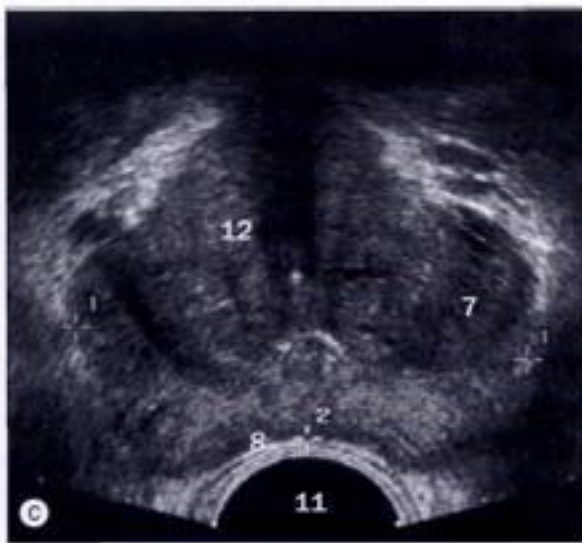
Les veines gonadiques se rassemblent en un ou deux troncs par l'intermédiaire d'un plexus. À gauche, la veine principale se jette dans la veine rénale gauche. Elle peut, occasionnellement, communiquer avec la veine mésentérique inférieure et se drainer ainsi par le système porte. À droite, elle rejoint directement la veine cave inférieure (comme dans le cas illustré) mais elle peut également déboucher dans la veine rénale droite.

- 1 Vessie urinaire
- 2 Veines iliaques communes
- 3 Veine cave inférieure
- 4 Plexus veineux pampiniforme
- 5 Plexus veineux pampiniforme (testicule non descendu, dans le canal inguinal)
- 6 Veines de la capsule du rein
- 7 Veine testiculaire droite
- 8 Cathéter introduit par la veine fémorale gauche avec bout dans la veine testiculaire droite
- 9 Urètre



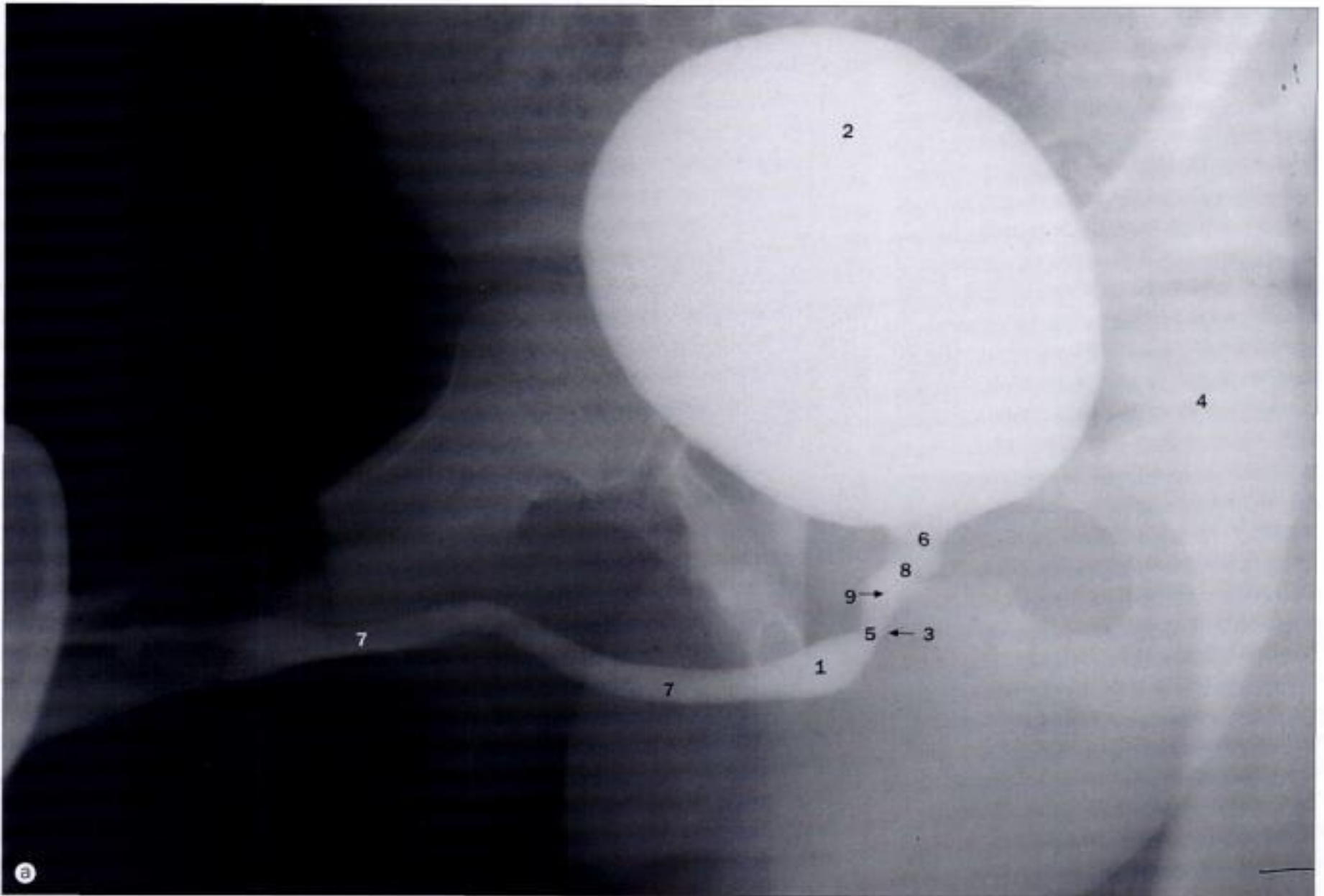
(a) Vésiculographie séminale.

- 1 Ampoule du conduit déférent
- 2 Gaz dans le côlon
- 3 Conduit déférent
- 4 Vessie urinaire remplie
- 5 Conduit éjaculateur gauche
- 6 Situation du collicule séminal (verumontanum)
- 7 Conduit éjaculateur droit
- 8 Vésicule séminale



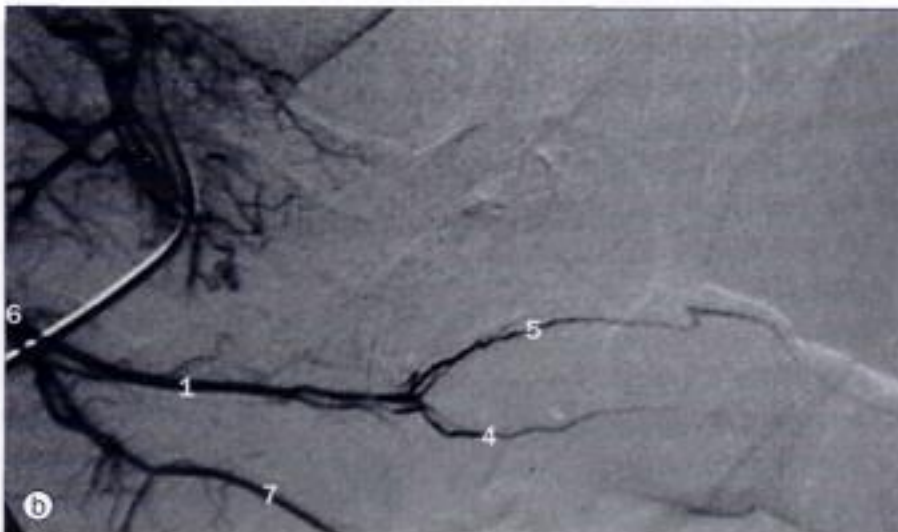
- 1 Ampoule du conduit déférent
- 2 Vessie urinaire
- 3 Trajet de l'urètre
- 4 Urètre distal
- 5 Conduit éjaculateur
- 6 Vésicule séminale gauche
- 7 Zone périphérique de la prostate
- 8 Paroi rectale
- 9 Vésicule séminale droite
- 10 Vésicule séminale
- 11 Transducteur
- 12 Zone de transition de la prostate

Échographie rectale de la prostate : (b) coupe axiale à travers la base de la vessie urinaire, (c) coupe axiale par la partie moyenne de la prostate, (d) dessin au trait de la coupe axiale par la prostate, (e) coupe sagittale médiane, (f) dessin au trait de la coupe sagittale médiane.

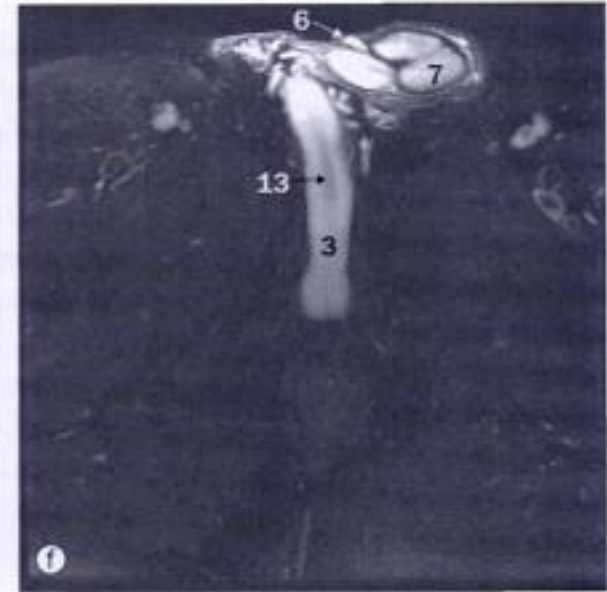
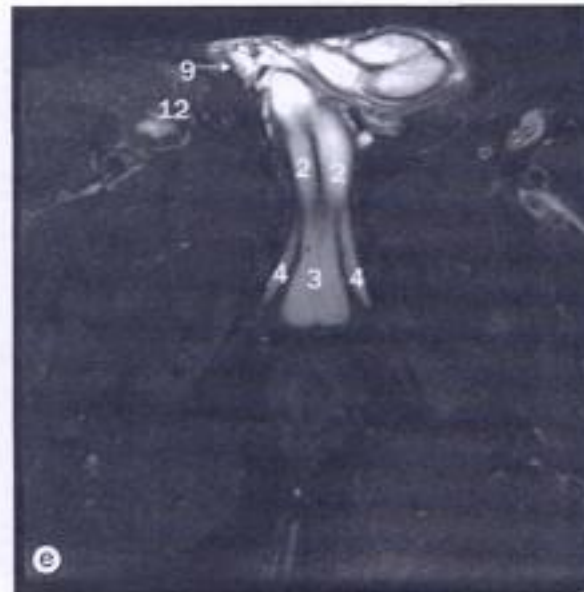
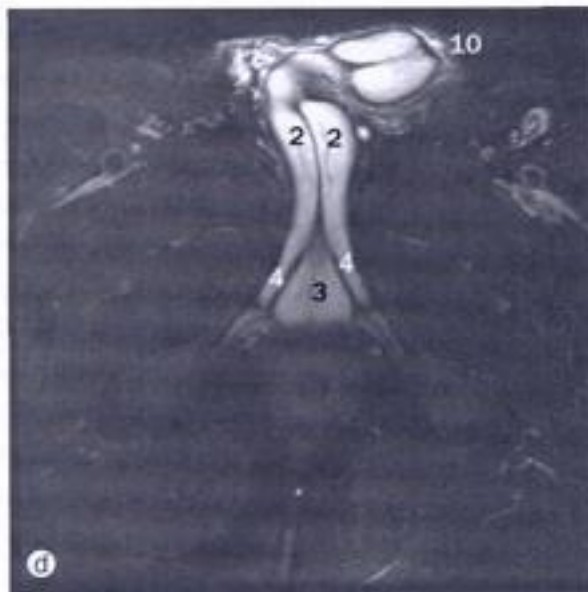
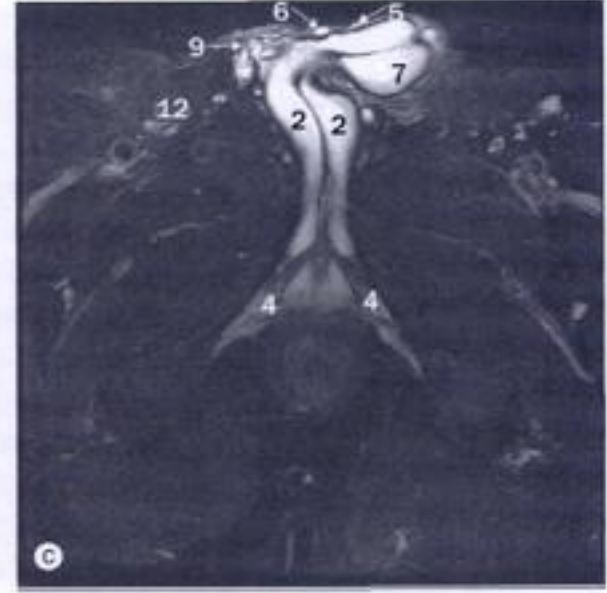


(a) Urèthrographie chez l'homme, vue oblique.
(b) Artériographie pénienne.
(c) Cavernosographie.

- | | |
|--|------------------------------------|
| 1 Butte de l'urètre | 5 Partie membranacée de l'urètre |
| 2 Produit de contraste dans la vessie urinaire | 6 Col de la vessie urinaire |
| 3 Sphincter externe (sphincter de l'urètre) | 7 Urètre pénien |
| 4 Tête du fémur | 8 Partie prostatique de l'urètre |
| | 9 Collicule séminal (verumontanum) |

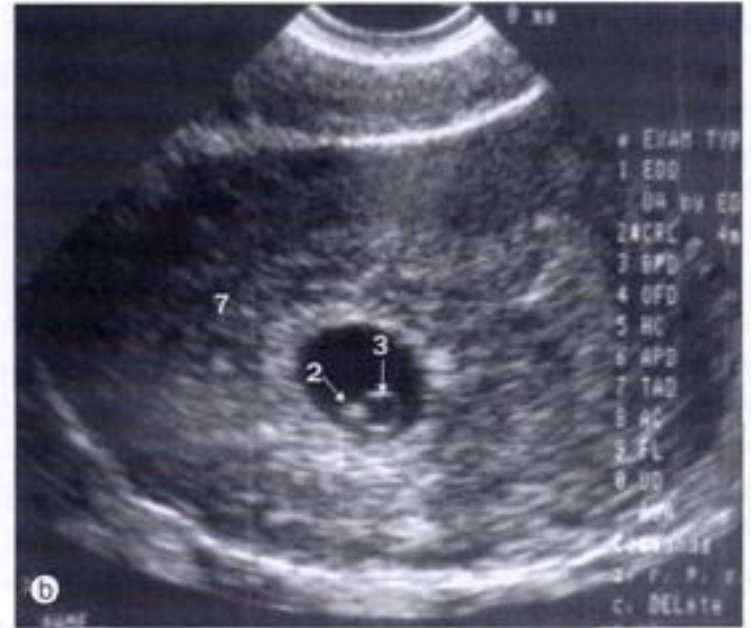


- | | |
|------------------------------|---------------------------|
| 1 Artère du pénis | 5 Artère dorsale du pénis |
| 2 Corps caverneux | 6 Artère honteuse interne |
| 3 Piliers du corps caverneux | 7 Artère périnéale |
| 4 Artère profonde du pénis | |



IRM, (a) - (b) coupes frontales (coronales), (c) - (f) coupes axiales.

- 1 Vessie urinaire
- 2 Corps caverneux
- 3 Corps spongieux
- 4 Pilier du corps caverneux
- 5 Artère dorsale du pénis
- 6 Veine dorsale du pénis
- 7 Gland du pénis
- 8 Muscle élévateur de l'anus
- 9 Veines du plexus pampiniforme
- 10 Pénis
- 11 Prostate
- 12 Cordon spermatique
- 13 Urètre



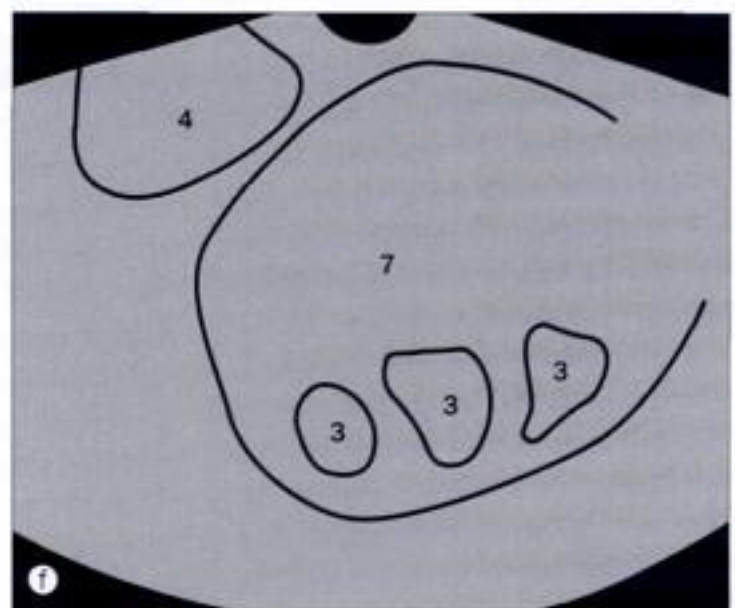
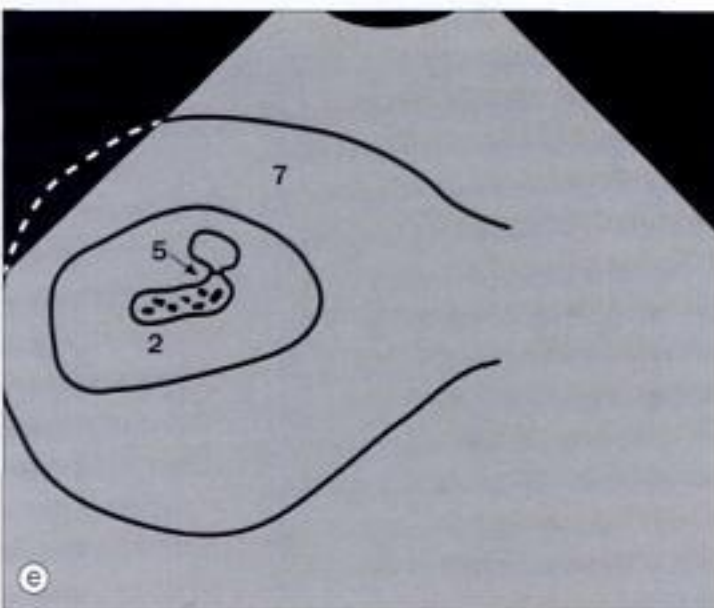
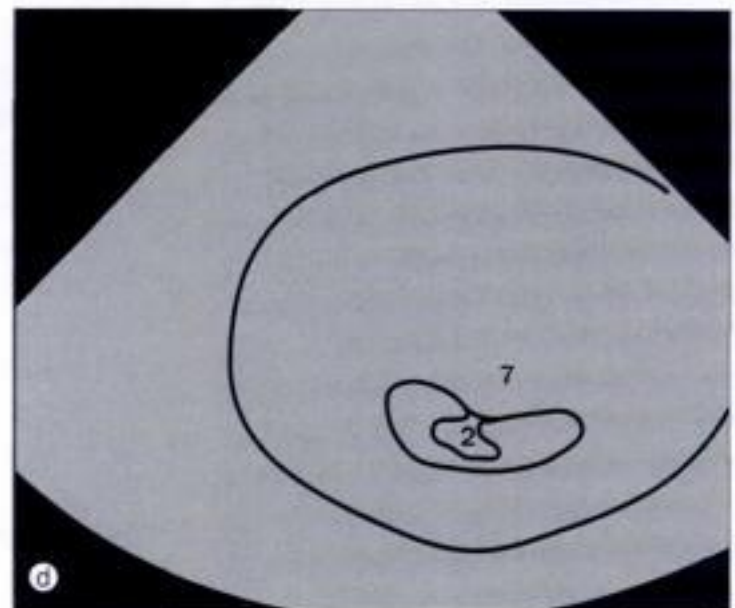
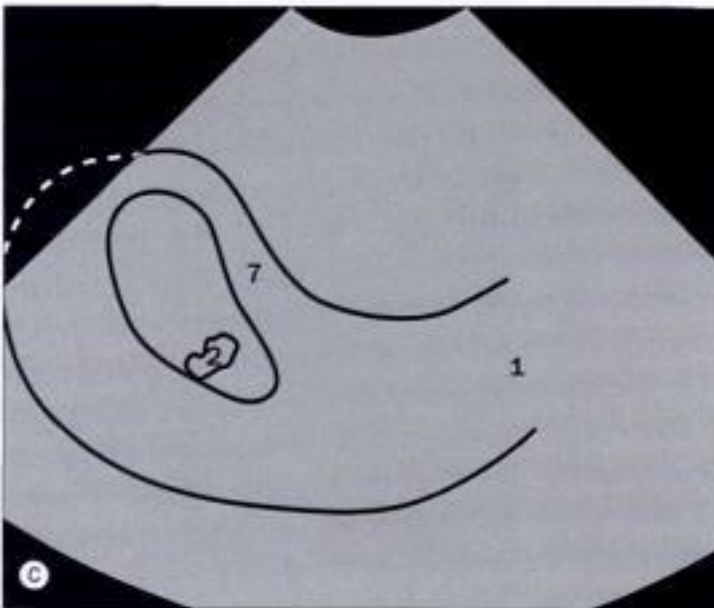
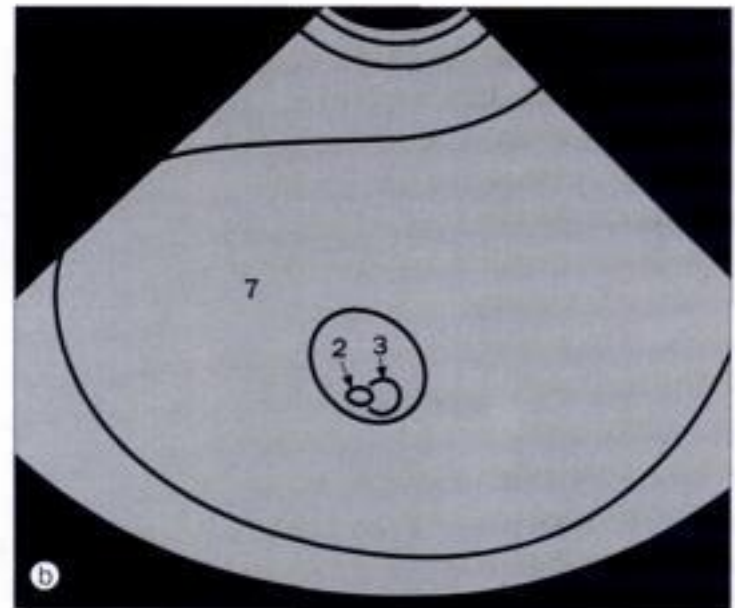
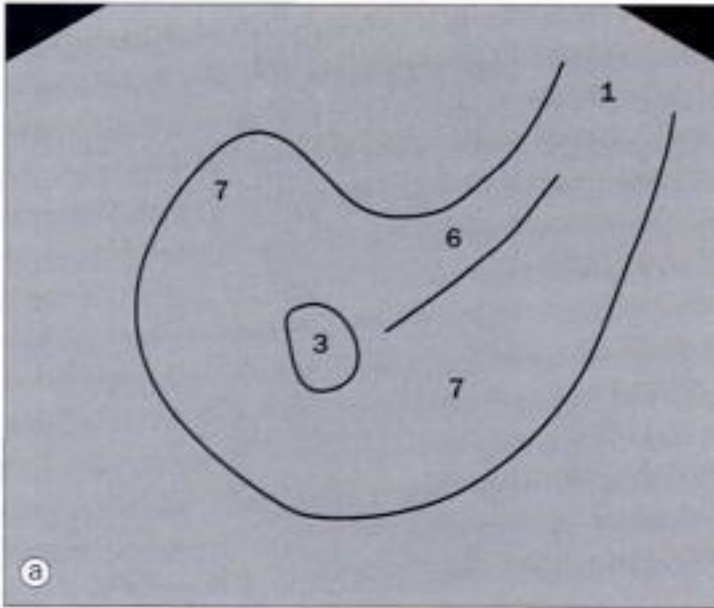
(a) Sac gestationnel de 8 mm = âge gestationnel de 5 semaines + 3 jours, (b) longueur vertex - coccyx = 4 mm = âge gestationnel de 6 semaines, (c) longueur vertex - coccyx = 6 mm = âge gestationnel de 6 semaines + 3 jours, (d) longueur vertex - coccyx = 8 mm = âge gestationnel de 6 semaines + 5 jours, (e) longueur vertex - coccyx = 10 mm = âge gestationnel de 7 semaines + 2 jours, (f) triplés dans trois sacs gestationnels séparés.

1 Col utérin
2 Fœtus

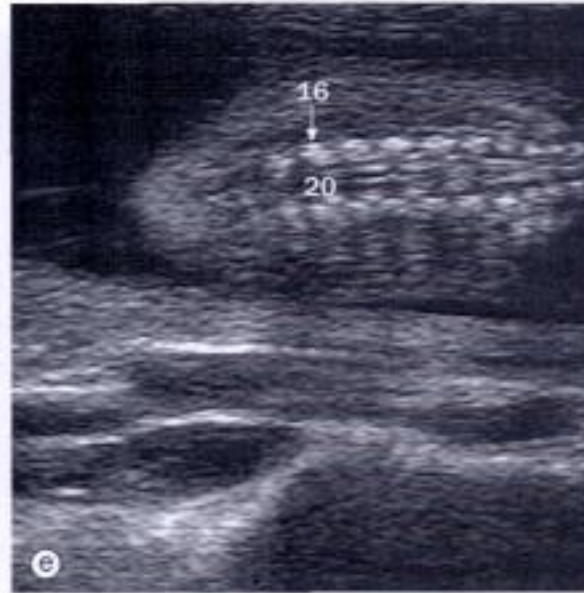
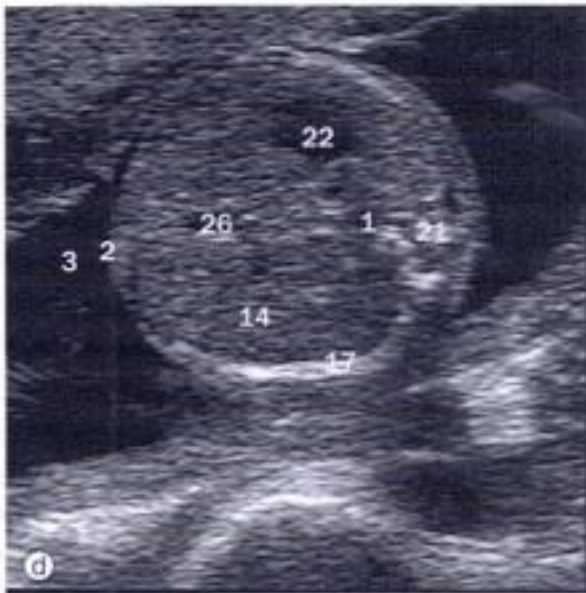
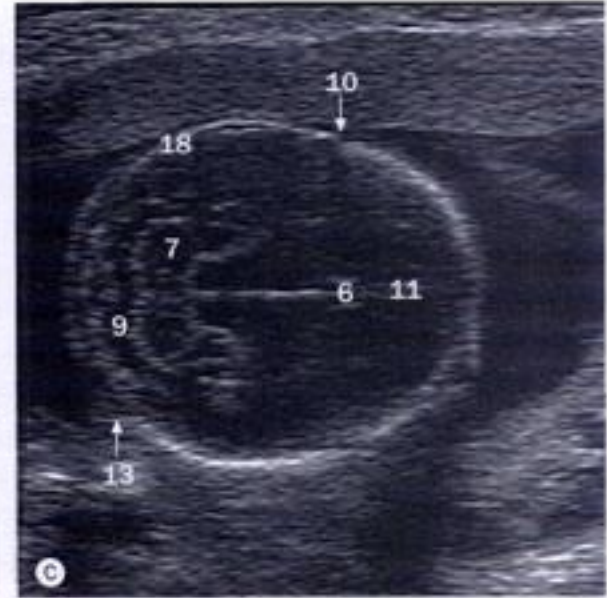
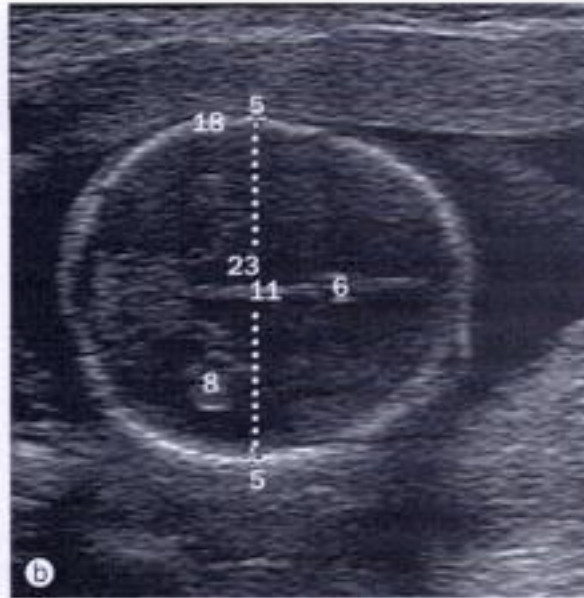
3 Sac gestationnel
4 Vessie urinaire

5 Situation du cœur fœtal
6 Cavité utérine maternelle

7 Utérus



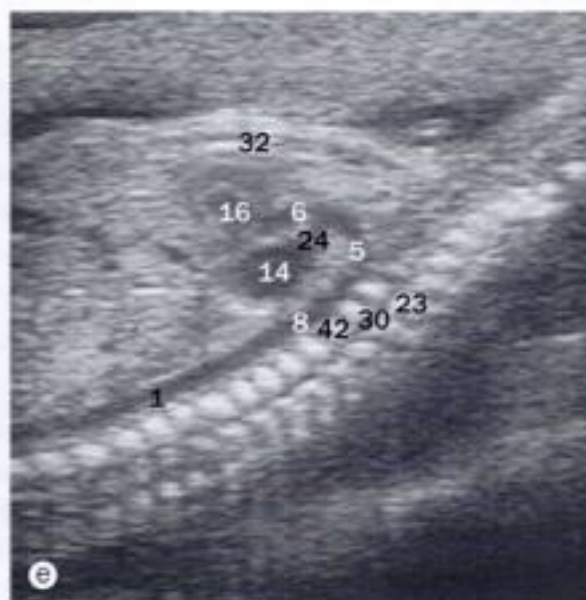
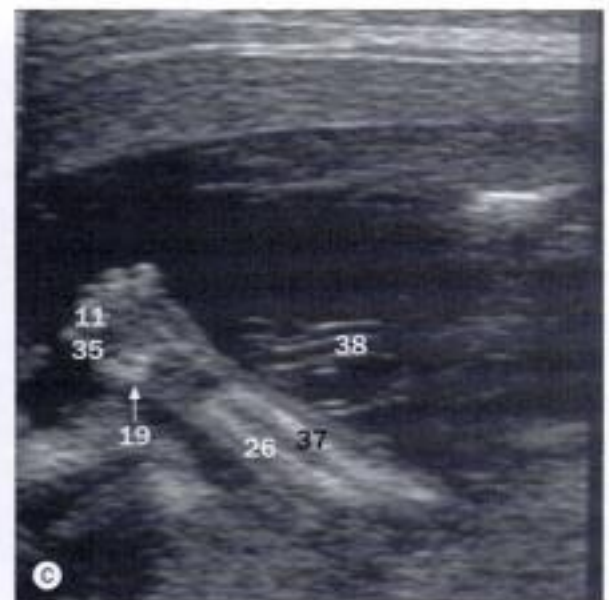
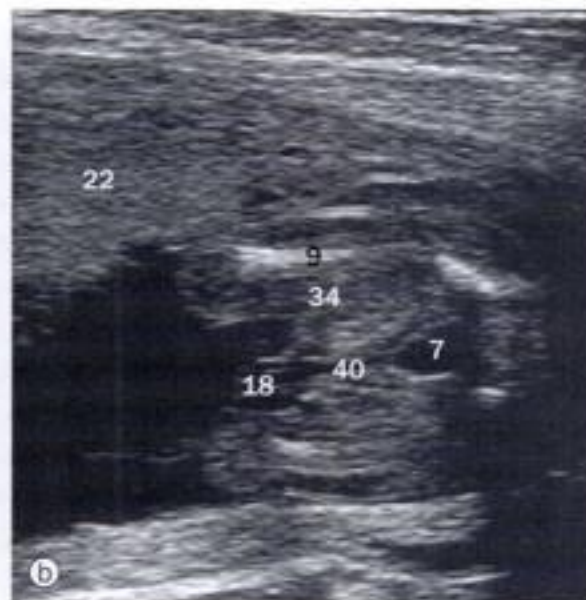
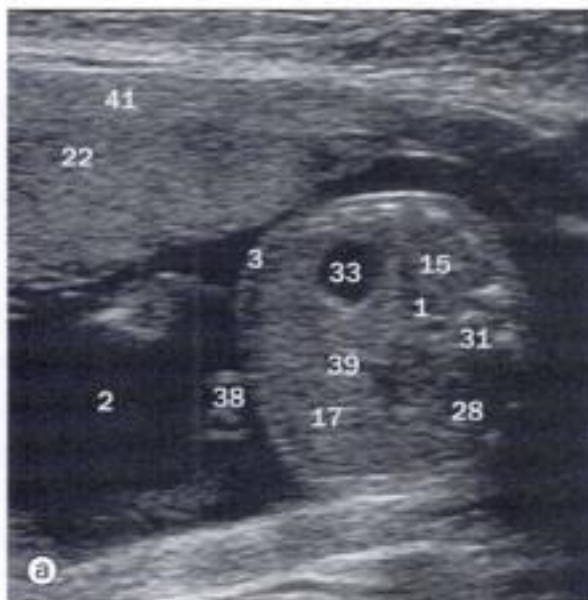
(a) - (f) Dessins au trait correspondant aux images présentées sur la page en regard.



Échographie fœtale, au cours du second trimestre. (a) Insertion du cordon ; (b) et (c) crâne ; (d) abdomen ; (e) et (f) colonne vertébrale.

- 1 Aorte abdominale
- 2 Mesure de la circonférence abdominale
- 3 Liquide amniotique
- 4 Paroi abdominale antérieure
- 5 Mesure du diamètre bipariétal
- 6 Cavité du septum pellucidum
- 7 Cervelet
- 8 Plexus choroïde
- 9 Grande citerne (citerne cérébello-médullaire)
- 10 Suture coronale
- 11 Faux du cerveau
- 12 Fémur
- 13 Suture lambdoïde
- 14 Foie

- 15 Placenta
- 16 Éléments postérieurs des vertèbres
- 17 Côtes
- 18 Crâne
- 19 Canal vertébral
- 20 Moelle épinière
- 21 Colonne vertébrale
- 22 Estomac
- 23 Thalamus
- 24 Cuisse
- 25 Cordon ombilical
- 26 Veine ombilicale
- 27 Ombrilic
- 28 Paroi utérine
- 29 Corps vertébral

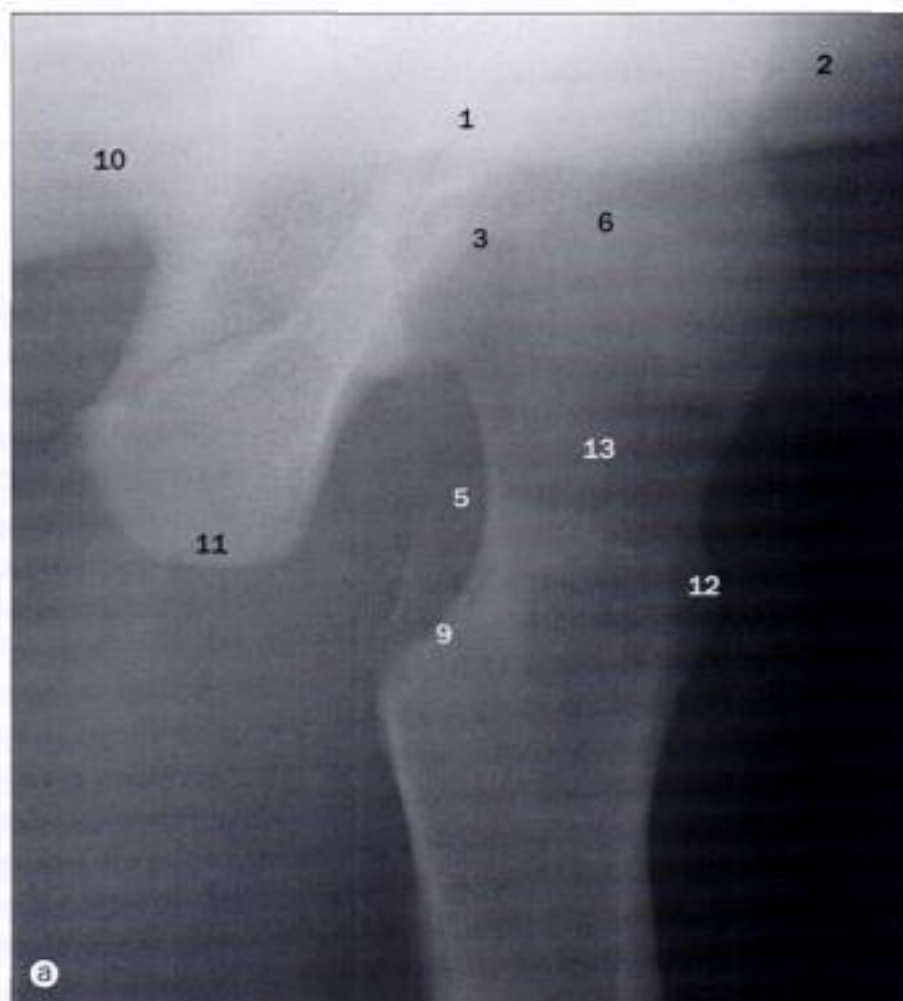


Échographie fœtale, au cours du deuxième trimestre. **(a)** Abdomen ; **(b)** bassin ; **(c)** avant-bras ; **(d)** fémur ; **(e)** cœur et aorte ; **(f)** vue sur les quatre cavités du cœur.

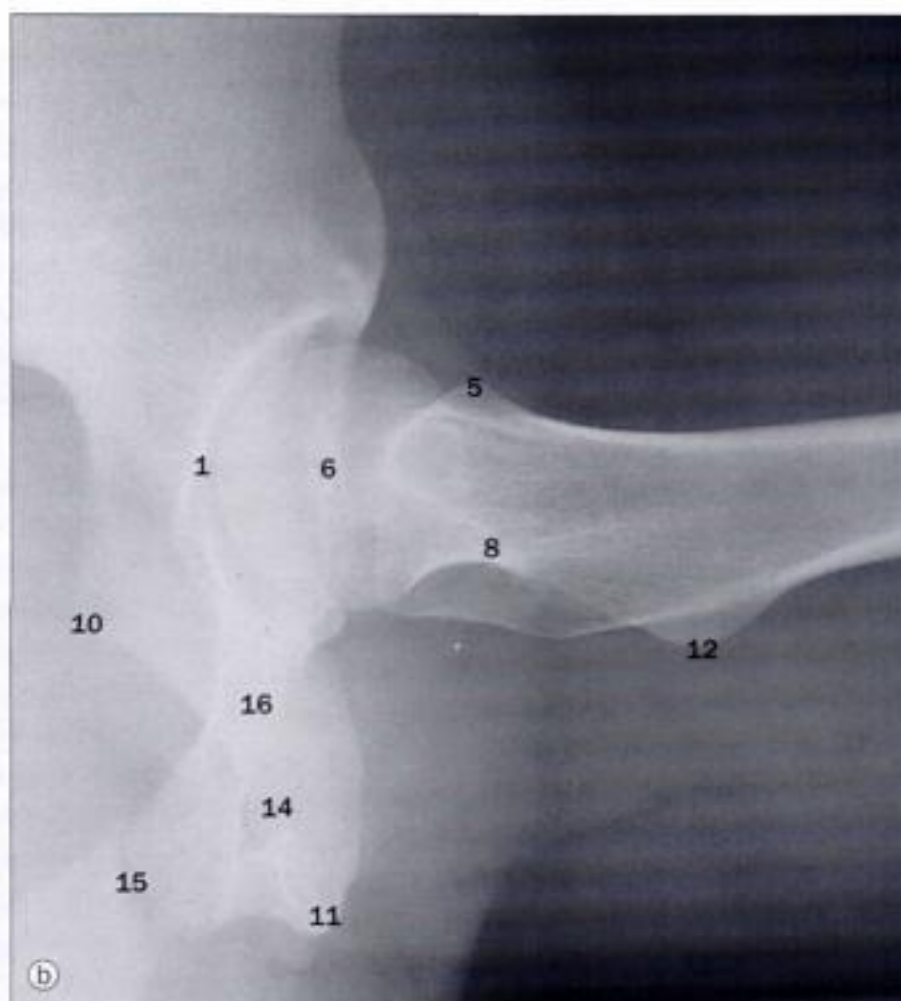
- | | |
|---|---------------------------------------|
| 1 Aorte abdominale | 22 Placenta |
| 2 Liquide amniotique | 23 Éléments postérieurs des vertèbres |
| 3 Paroi abdominale antérieure | 24 Artère pulmonaire |
| 4 Paroi antérieure du thorax | 25 Veine pulmonaire |
| 5 Crosse de l'aorte | 26 Radius |
| 6 Aorte ascendante | 27 Oreillette droite |
| 7 Vessie urinaire | 28 Rein droit |
| 8 Aorte descendante | 29 Ventricule droit |
| 9 Fémur | 30 Canal vertébral |
| 10 Fémur ; pour la mesure de la longueur du fémur | 31 Colonne vertébrale |
| 11 Doigt | 32 Sternum |
| 12 Septum interatrial | 33 Estomac |
| 13 Septum interventriculaire | 34 Cuisse |
| 14 Oreillette gauche | 35 Pouce |
| 15 Rein gauche | 36 Valve tricuspide |
| 16 Ventricule gauche | 37 Ulna |
| 17 Foie | 38 Cordon ombilical |
| 18 Organes génitaux externes mâles | 39 Veine ombilicale |
| 19 Corps d'un métacarpien | 40 Urètre |
| 20 Valve mitrale | 41 Paroi utérine |
| 21 Faisceau modérateur | 42 Corps vertébral |

7

Membre inférieur



(a) Hanche (pour le col du fémur) ; projection latérale.

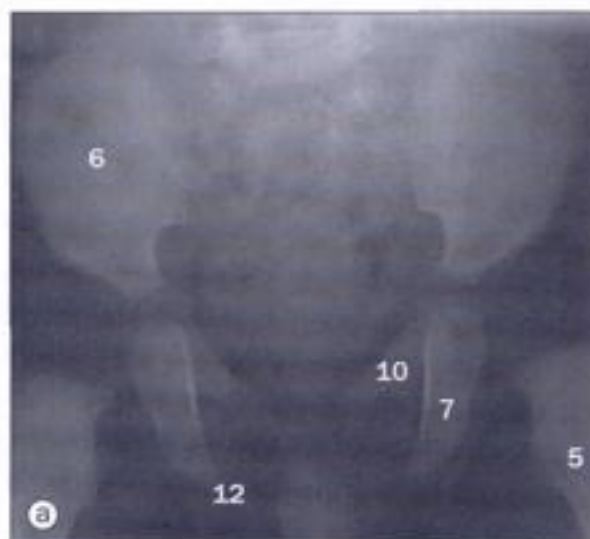


(b) Hanche ; projection latérale.



(c) Hanche ; projection antéro-postérieure.

- 1 Acetabulum
- 2 Épine iliaque antérieure et inférieure
- 3 Ligne épiphysaire
- 4 Fovea
- 5 Grand trochanter du fémur
- 6 Tête du fémur
- 7 Branche inférieure du pubis
- 8 Crête intertrochantérique du fémur
- 9 Ligne intertrochantérique
- 10 Épine sciatique
- 11 Tubérosité ischiatique
- 12 Petit trochanter du fémur
- 13 Col du fémur
- 14 Foramen obturé
- 15 Symphyse pubienne
- 16 Branche supérieure du pubis

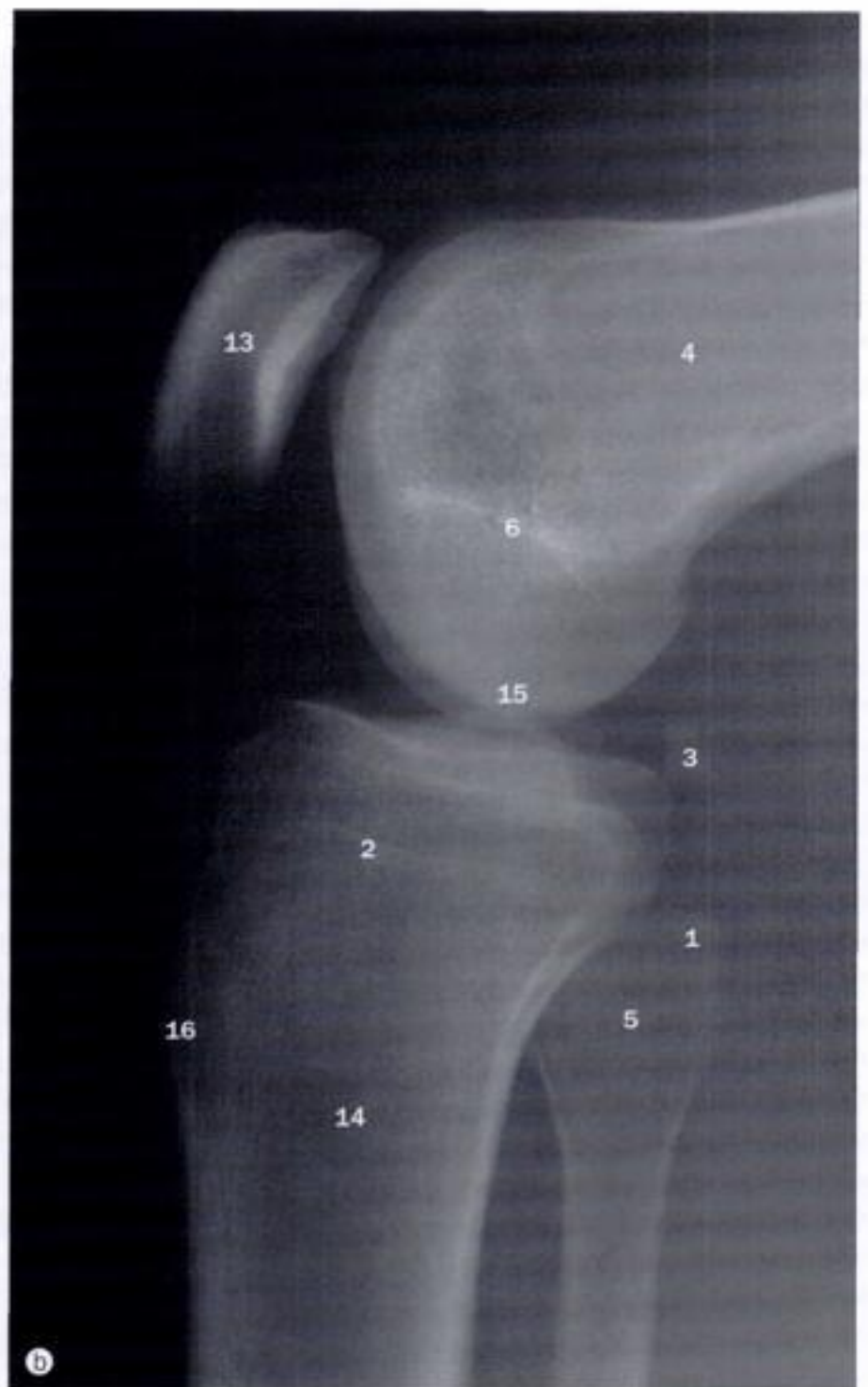
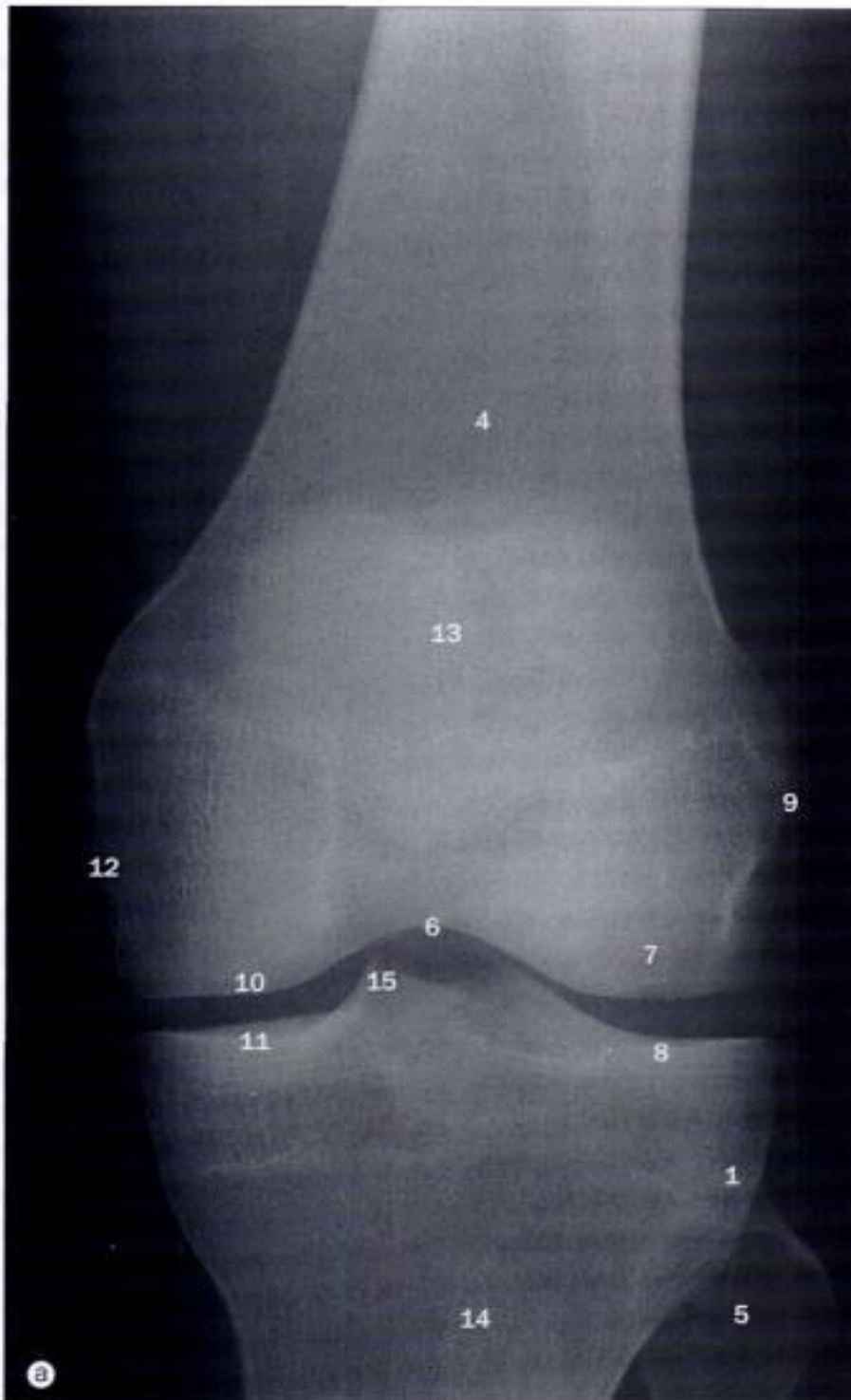


Radiographies du bassin, **(a)** chez un garçon de 2 mois ; **(b)** chez un garçon d'un an ; **(c)** chez un garçon de 11 ans. Projections antéro-postérieures.



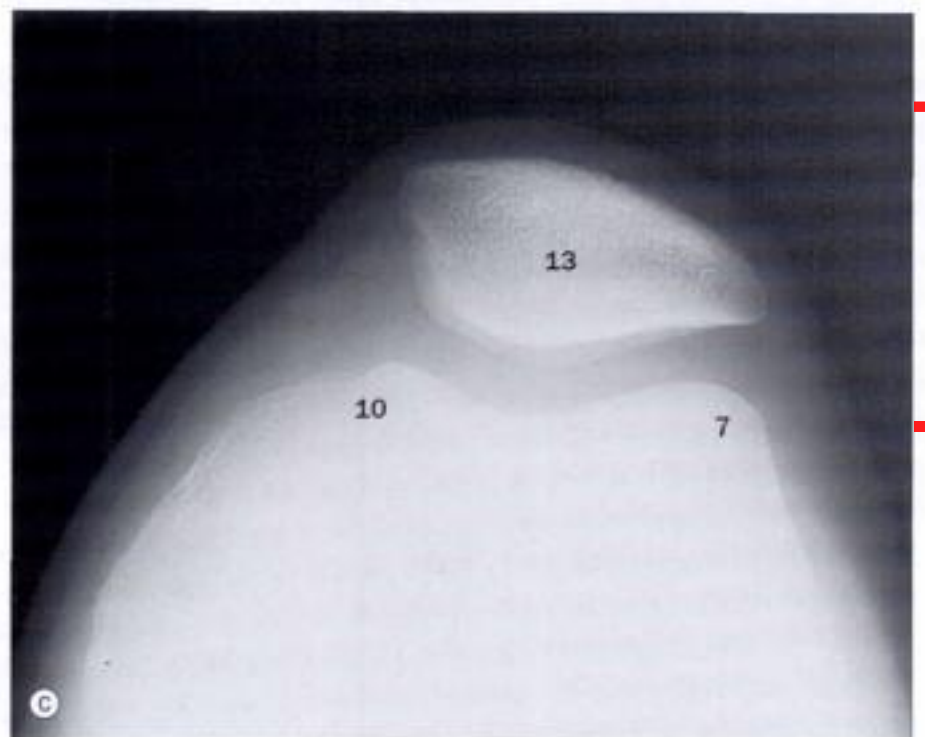
- 1 Centre pour le grand trochanter
- 2 Centre pour la tête du fémur (épiphyse)
- 3 Centre pour le petit trochanter
- 4 Ligne épiphysaire
- 5 Fémur
- 6 Ilium
- 7 Ischium
- 8 Col du fémur
- 9 Symphyse pubienne
- 10 Pubis
- 11 Cartilage triradié
- 12 Jonction non ossifiée entre l'ischium et le pubis

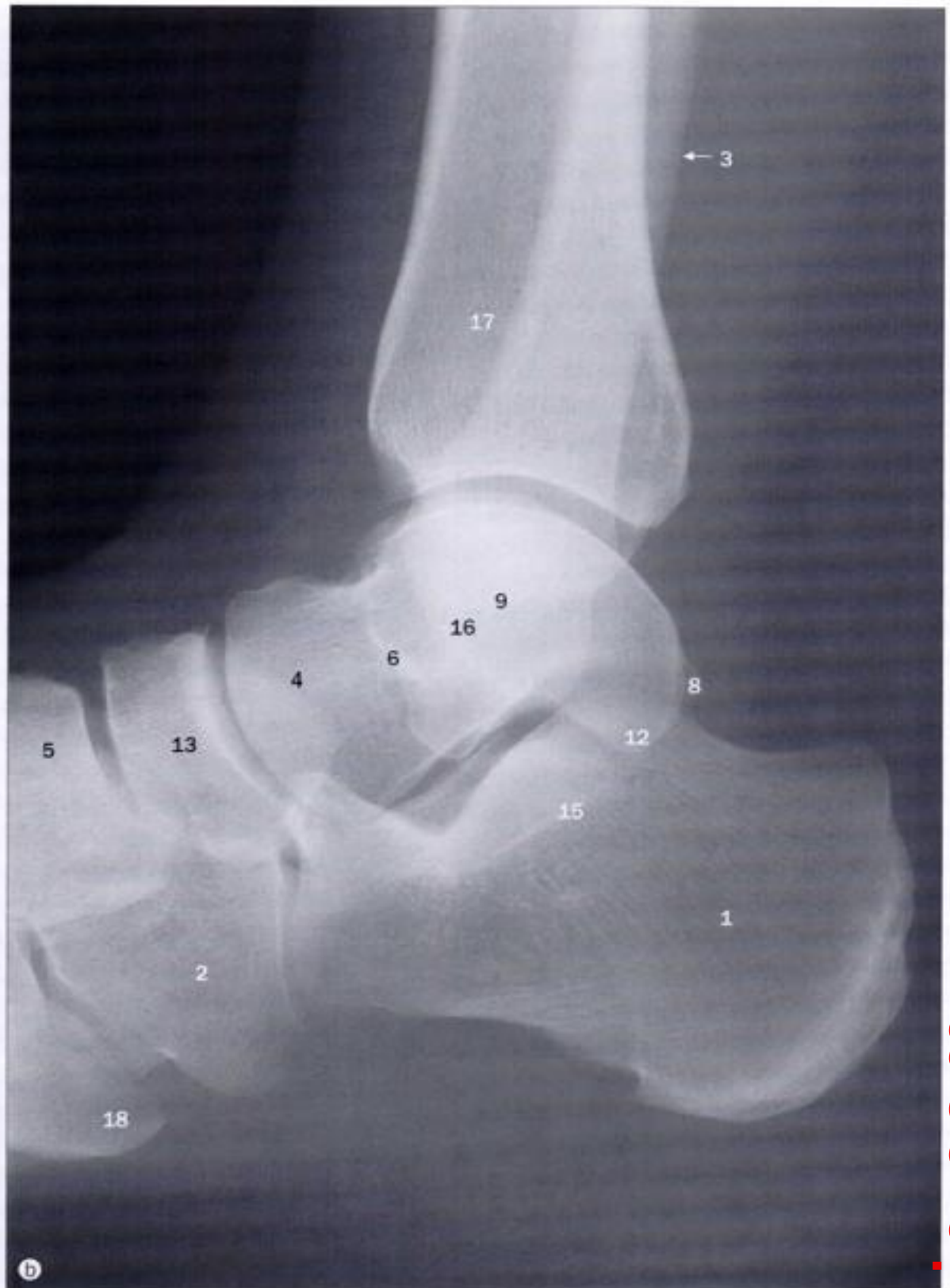
OS COXAL (HANCHE)	Apparition	Fusion
Ilium	2-3 m i u	7 - 9 a
Ischium	4 m i u	7 - 9 a
Pubis	4 m i u	7 - 9 a
Acetabulum	11 - 14 a	15 - 25 a
Épine iliaque ant. et sup.	Puberté	15 - 25 a
Crête iliaque/épine sup.	Puberté	15 - 25 a
Tubérosité ischiatique	Puberté +	15 - 25 a
FÉMUR (c)		
Diaphyse	7 s i u	
Tête	4 - 6 m	14 - 18 a
Grand trochanter	2 - 4 a	14 - 18 a
Petit trochanter	10 - 12 a	14 - 18 a
Extrémité distale	9 m i u	17 - 19 a



Genou, (a) projection antéro-postérieure, (b) projection latérale, (c) rotule, projection inféro-supérieure (ligne du ciel).

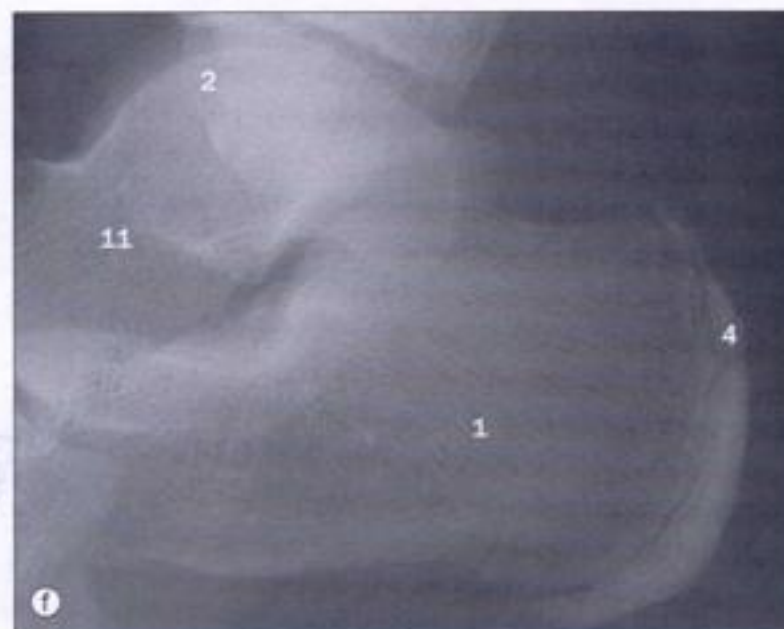
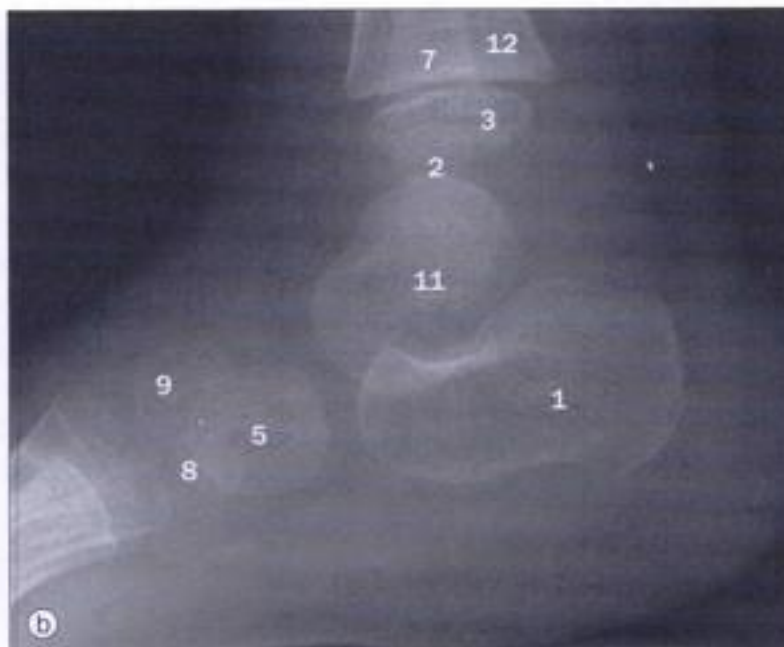
- 1 Apex (processus styloïde) de la fibula
- 2 Ligne épiphysaire
- 3 Fabella
- 4 Fémur
- 5 Tête de la fibula
- 6 Fosse intercondyalaire
- 7 Condyle latéral du fémur
- 8 Condyle latéral du tibia
- 9 Épicondyle latéral du fémur
- 10 Condyle médial du fémur
- 11 Condyle médial du tibia
- 12 Épicondyle médial du fémur
- 13 Rotule
- 14 Tibia
- 15 Tubercules de léminence intercondyalaire
- 16 Tubérosité du tibia





Cou-de-pied, **(a)** projection antéro-postérieure, **(b)** projection latérale. **(c)** Calcanéus projection axiale.

- | | |
|---|--|
| 1 Calcanéus | 10 Malléole médiale du tibia |
| 2 Os cuboïde | 11 Processus médial du calcanéus |
| 3 Fibula | 12 Tubercule médial du talus |
| 4 Tête du talus | 13 Os naviculaire |
| 5 Os cunéiforme latéral | 14 Région de l'articulation tibio-fibulaire distale |
| 6 Malléole latérale de la fibula | 15 Sustentaculum tali du calcanéus |
| 7 Processus latéral du calcanéus | 16 Talus |
| 8 Tubercule latéral du talus | 17 Tibia |
| 9 Malléole médiale | 18 Tubérosité de la base du cinquième métatarsien |



Cou-de-pied, (a) et (b) d'un garçon de 3 ans, (c) et (d) d'un garçon de 5 ans, (e) et (f) d'un garçon de 13 ans.

OS DU TARSE (c)

	Apparition	Fusion
Calcaneus	3 m / u	14 - 16 a
Talus	6 m / u	
Os naviculaire	3 a	
Os cunéiforme latéral	6 m - 1 a	
Os cunéiforme intermédiaire	2 - 3 a	
Os cunéiforme médial	1 - 2 a	
Os cuboïde	9 m / u	

1 Calcaneus

2 Centre distal de la fibula

3 Centre distal du tibia

4 Centre de la face postérieure du calcaneus

5 Os cuboïde

6 Ligne épiphysaire

7 Fibula

8 Os cunéiforme intermédiaire

9 Os cunéiforme latéral

10 Os naviculaire

11 Talus

12 Tibia



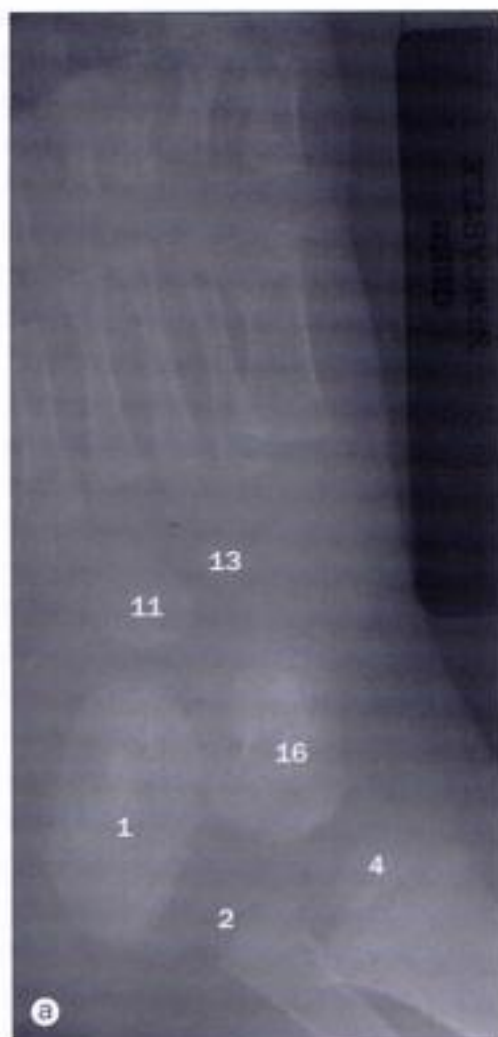
(a)

- 1 Calcaneus
- 2 Os cuboïde
- 3 Phalange distale du deuxième orteil
- 4 Premier métatarsien
- 5 Os cunéiforme intermédiaire
- 6 Os cunéiforme latéral
- 7 Os cunéiforme médial
- 8 Phalange moyenne du deuxième orteil
- 9 Os naviculaire
- 10 Phalange proximale du deuxième orteil
- 11 Os sésamoïdes du muscle court fléchisseur de l'hallux
- 12 Talus
- 13 Tubérosité de la base du cinquième métatarsien



(b)

Pied, (a) projection dorso-plantaire, (b) projection dorso-plantaire oblique.



Pied, (a) d'un garçon âgé d'un an, (b) d'un garçon de 3 ans, (c) d'un garçon de 5 ans, (d) d'un garçon de 14 ans.

- 1 Calcaneus
- 2 Centre distal de la fibula
- 3 Centre pour la phalange distale du deuxième orteil
- 4 Centre distal du tibia
- 5 Centre du premier métatarsien
- 6 Centre de la phalange moyenne du deuxième orteil
- 7 Centre de la face postérieure du calcaneus
- 8 Centre de la phalange proximale du deuxième orteil
- 9 Centre du deuxième métatarsien (identique pour les métatarsiens 2 à 5)
- 10 Centre de la tubérosité de la base du cinquième métatarsien
- 11 Os cuboïde
- 12 Os cunéiforme intermédiaire
- 13 Os cunéiforme latéral
- 14 Os cunéiforme médial
- 15 Os naviculaire
- 16 Talus

MÉTATARSINIENS (c)	Apparition	Fusion
Diaphyses	9 s i u	
Têtes (2 - 5) ou base (1)	3 - 4 a	17 - 20 a
Tubérosité du cinquième	10 - 12 a	13 - 15 a
PHALANGES (c)		
Diaphyse	9 - 12 s i u	
Bases (variables)	1 - 6 a	14 - 18 a

(a) Artériographie fémorale.

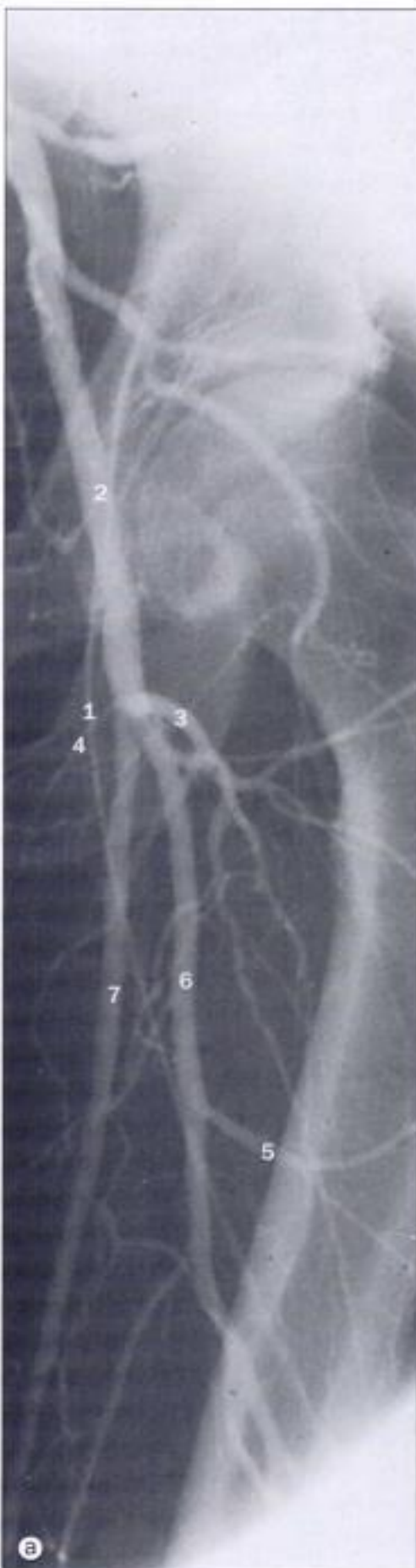
Les artères fémoro-poplitée et tibiale sont mises en évidence par cathétérisme de la partie distale de l'aorte abdominale et injection d'un produit de contraste. Celui-ci est ensuite suivi lorsqu'il pénètre dans les membres. S'il y a lieu de ne mettre en évidence que la vascularisation d'un seul membre, une injection dans l'artère ipsilatérale suffit. En passant en dessous de l'anneau inguinal, l'artère iliaque externe prend le nom d'artère fémorale commune ; celle-ci se partage en artères fémorales profonde et superficielle. Une vue oblique est souvent utile pour faire voir la bifurcation fémorale et mettre en évidence un athérome à l'origine de ces vaisseaux.

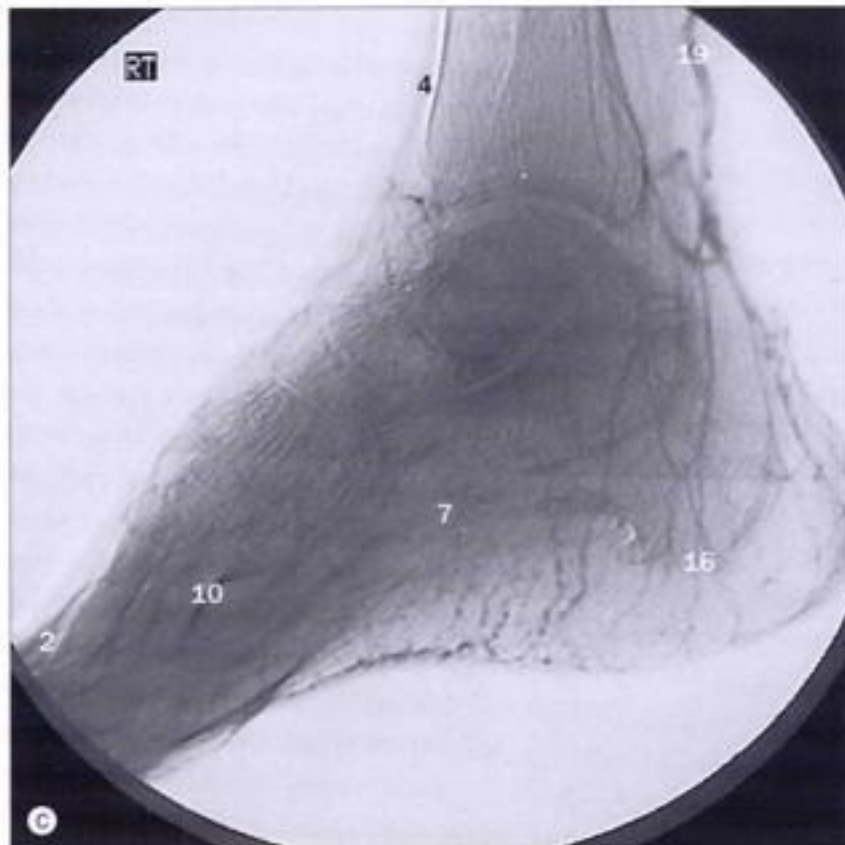
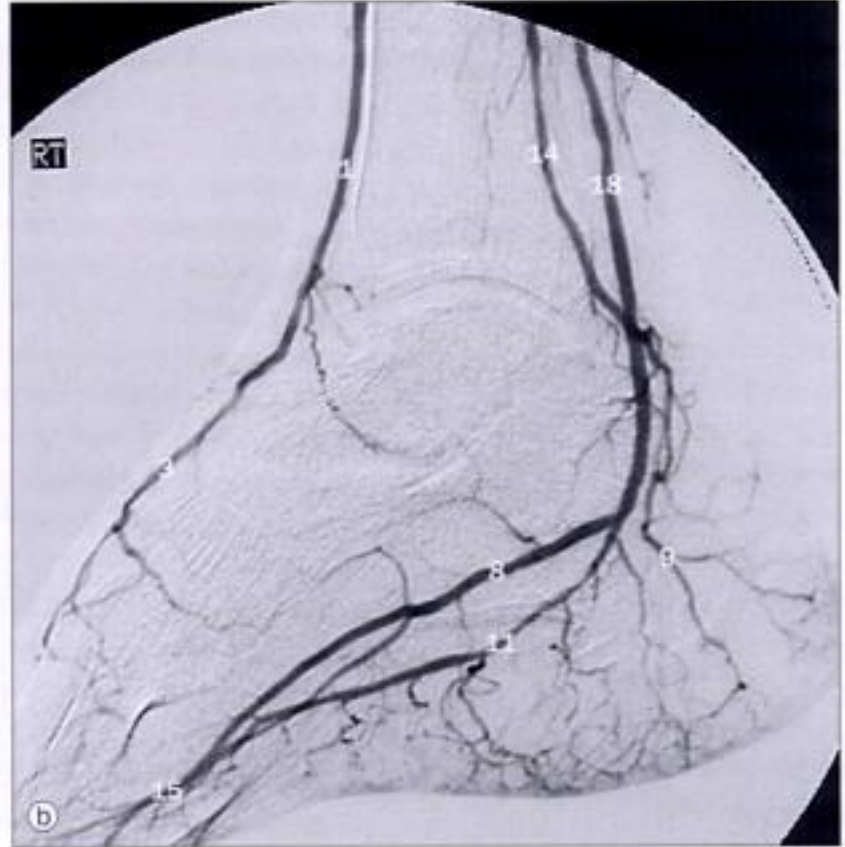
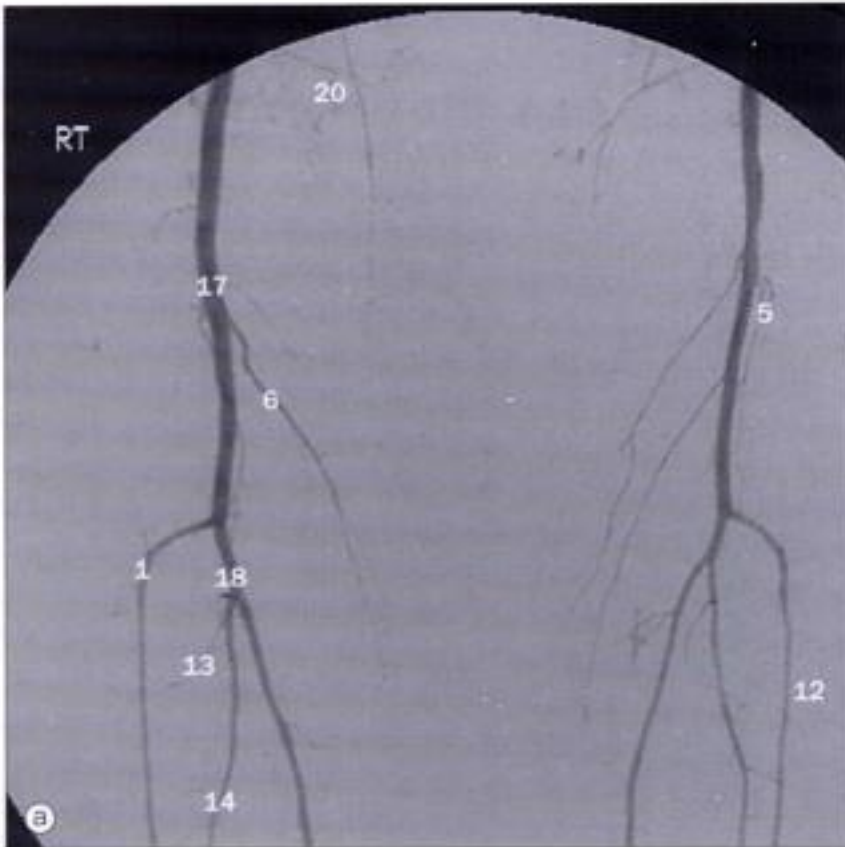
- 1 Cathéter introduit dans la partie distale de l'aorte abdominale par l'artère fémorale gauche
- 2 Artère fémorale commune
- 3 Artère circonflexe latérale de la cuisse
- 4 Artère circonflexe médiale de la cuisse
- 5 Artère perforante
- 6 Artère fémorale profonde
- 7 Artère fémorale superficielle

(b) Artériographie poplitée.

L'artère fémorale superficielle devient l'artère poplitée en franchissant l'hiatus tendineux de l'adducteur. L'artère poplitée se termine, au niveau du bord distal du muscle poplité, en se divisant en artères tibiales antérieure et postérieure.

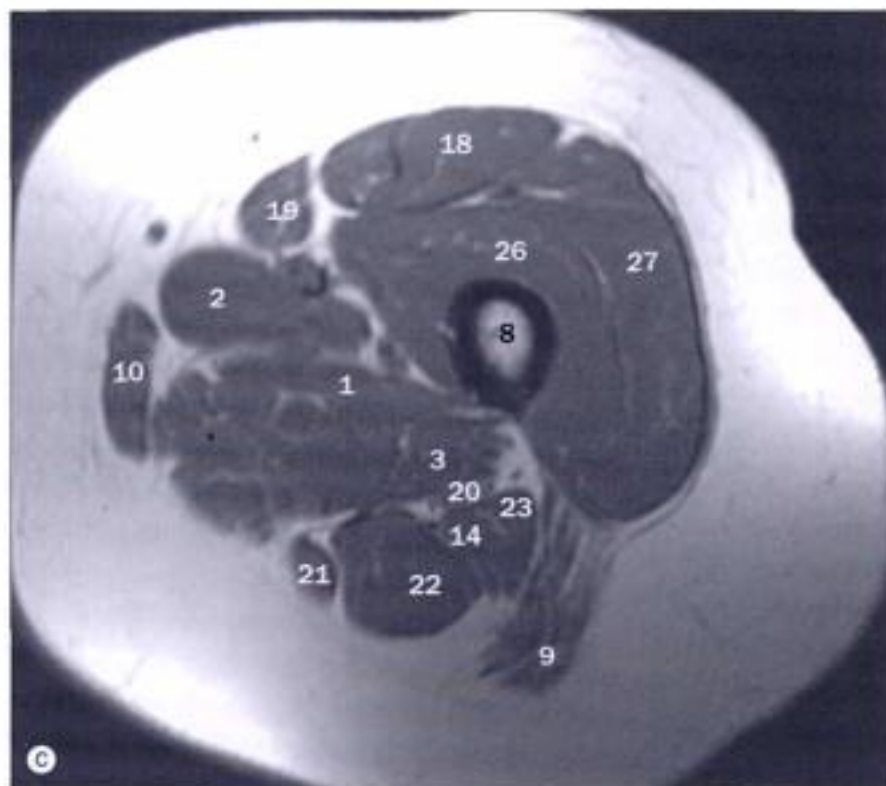
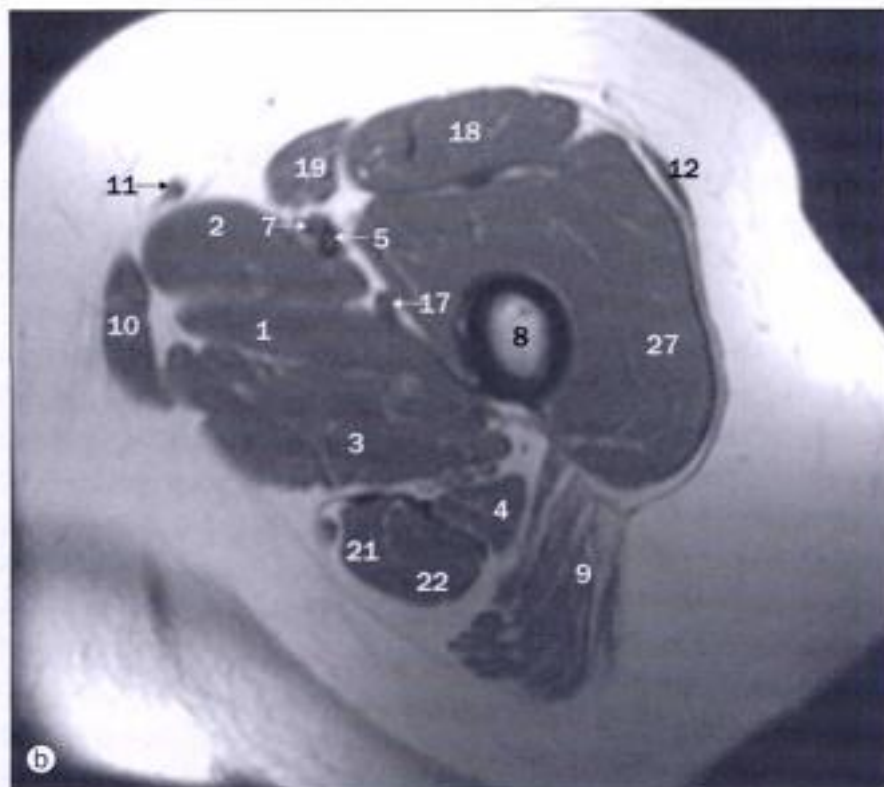
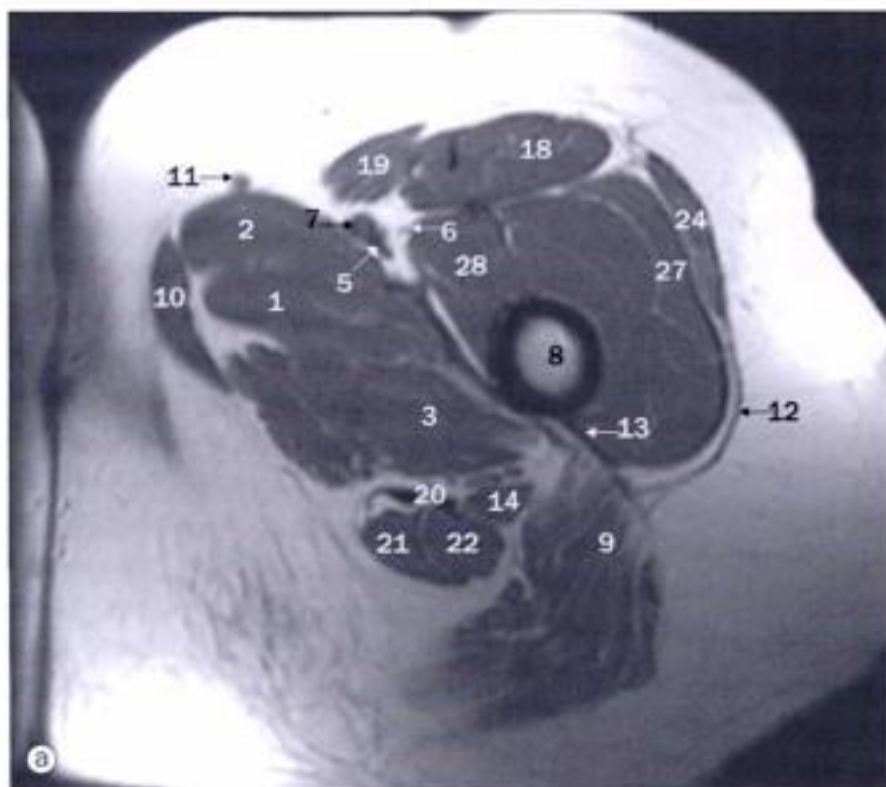
- 1 Artère tibiale antérieure
- 2 Artère inféro-latérale du genou
- 3 Artère inféro-médiale du genou
- 4 Branches musculaires de l'artère tibiale antérieure
- 5 Branches musculaires de l'artère tibiale postérieure
- 6 Artère fibulaire
- 7 Artère poplitée
- 8 Artère tibiale postérieure
- 9 Artère supéro-latérale du genou
- 10 Artère supéro-médiale du genou





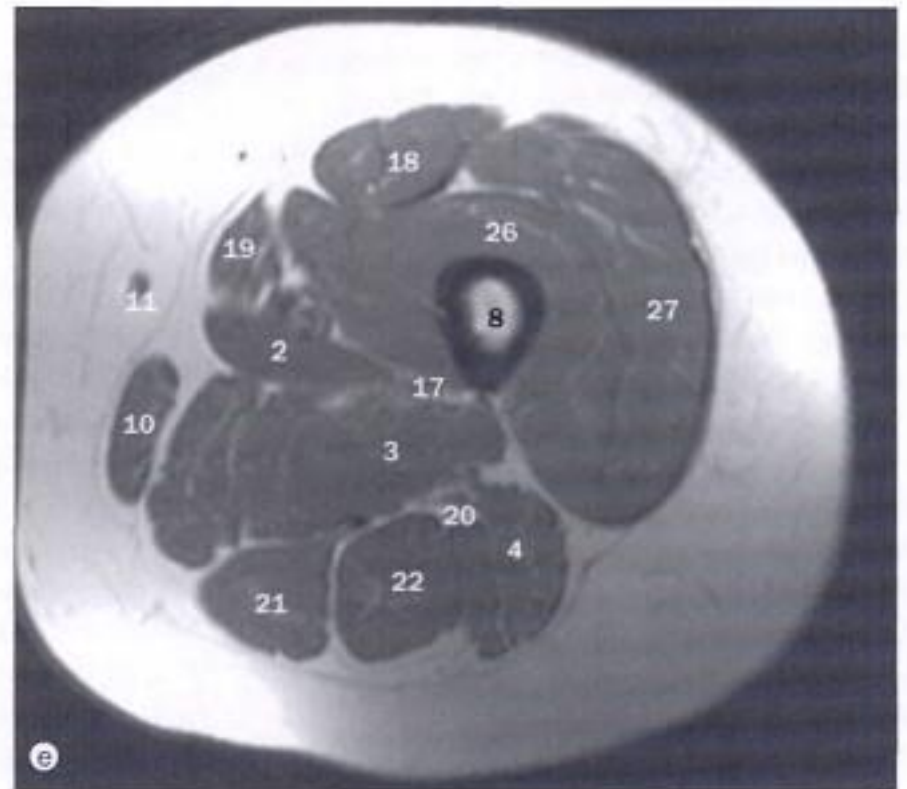
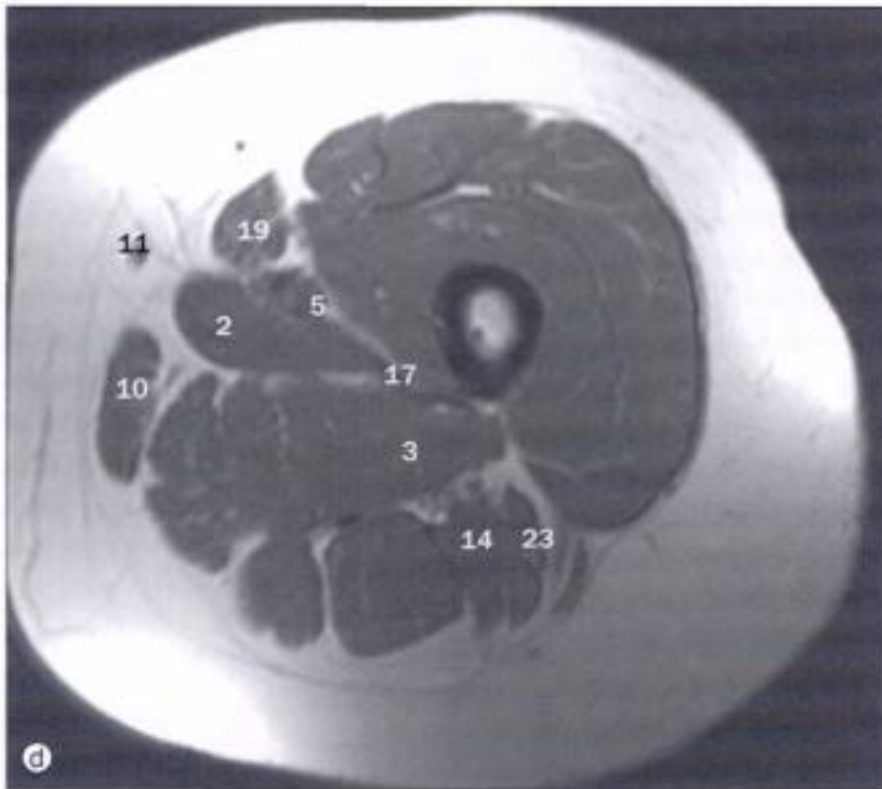
(a) Artériographie poplitée. (b) Artériographie du pied, vue latérale. (c) Phlébographie du pied.

- 1 Artère tibiale antérieure
- 2 Arcade veineuse dorsale
- 3 Artère dorsale du pied
- 4 Grande veine saphène
- 5 Artère inféro-latérale du genou
- 6 Artère inféro-médiale du genou
- 7 Veine marginale latérale
- 8 Artère plantaire latérale
- 9 Artère calcanéenne médiale
- 10 Veine marginale médiale
- 11 Artère plantaire médiale
- 12 Branches musculaires de l'artère tibiale antérieure
- 13 Branches musculaires de l'artère tibiale postérieure
- 14 Artère fibulaire
- 15 Arcade plantaire
- 16 Plexus veineux cutané plantaire
- 17 Artère poplitée
- 18 Artère tibiale postérieure
- 19 Petite veine saphène
- 20 Artère supéro-médiale du genou

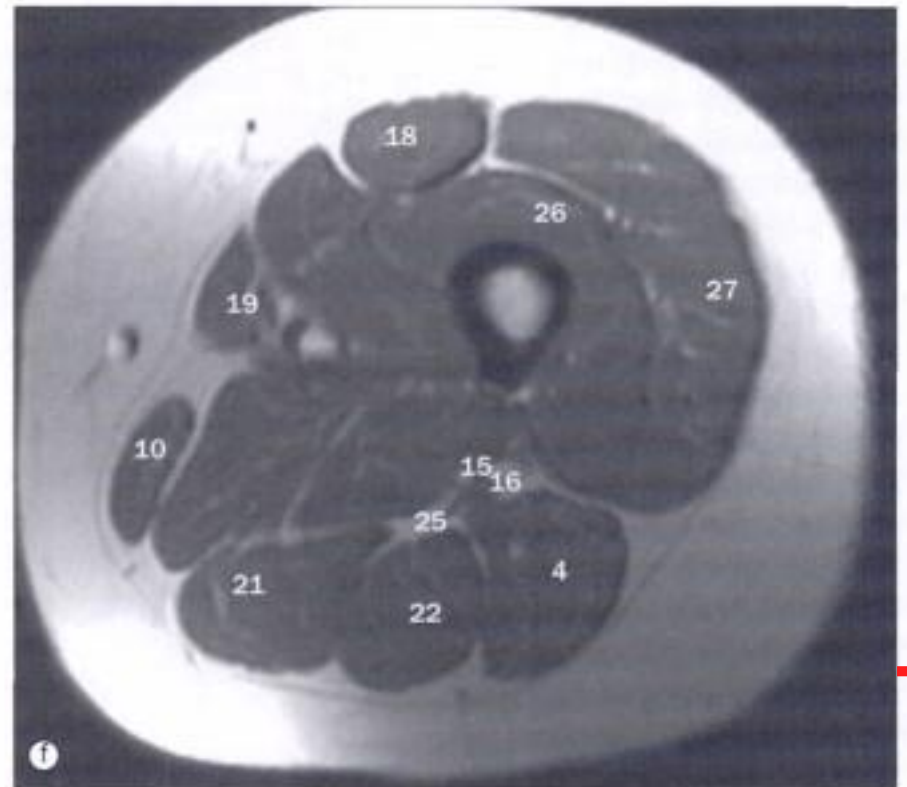


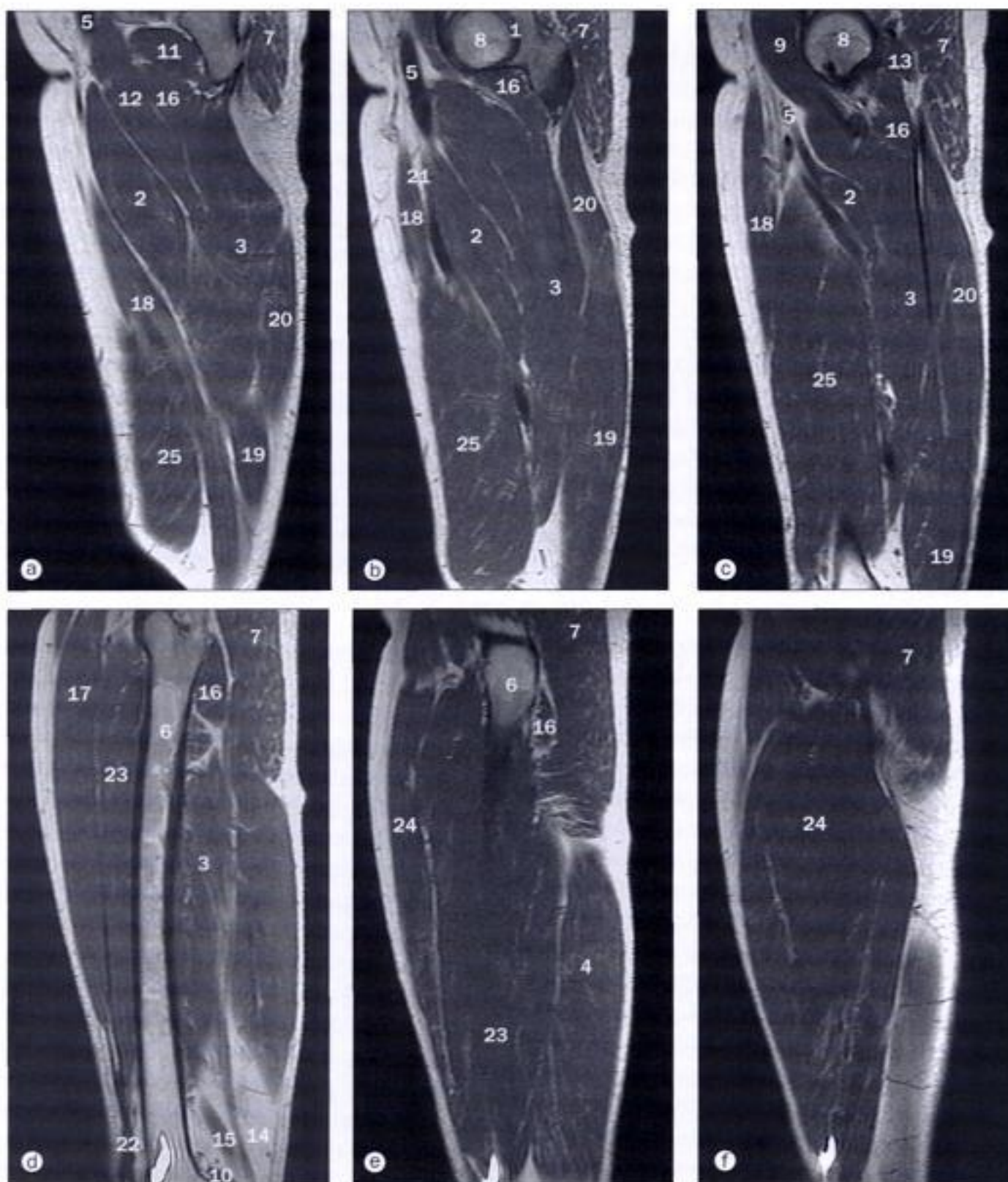
(a) - (f) IRM de la cuisse ; coupes axiales.

- | | |
|--------------------------|---------------------------------------|
| 1 Muscle court adducteur | 10 Muscle gracile |
| 2 Muscle long adducteur | 11 Veine grande (longue) saphène |
| 3 Muscle grand adducteur | 12 Tractus illo-tibial |
| 4 Muscle biceps fémoral | 13 Septum intermusculaire latéral |
| 5 Artère fémorale | 14 Chef long du muscle biceps fémoral |
| 6 Nerf fémoral | |
| 7 Veine fémorale | |
| 8 Fémur | |
| 9 Muscle grand fessier | |



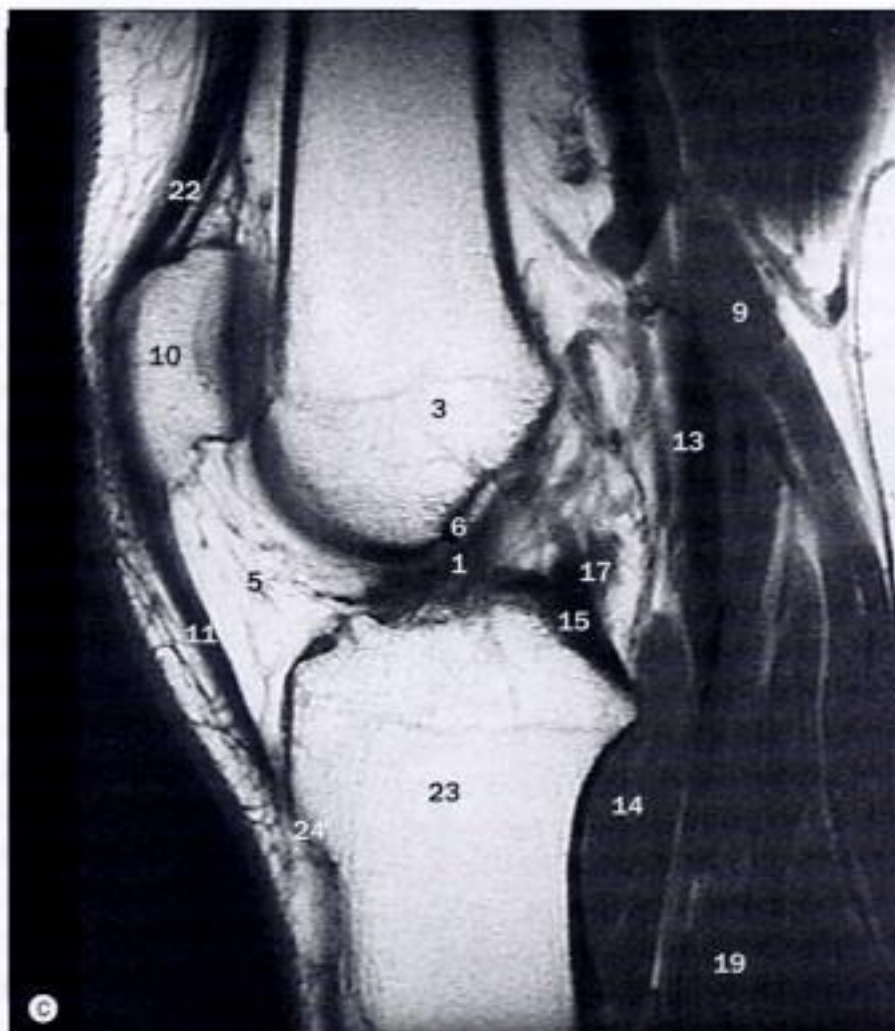
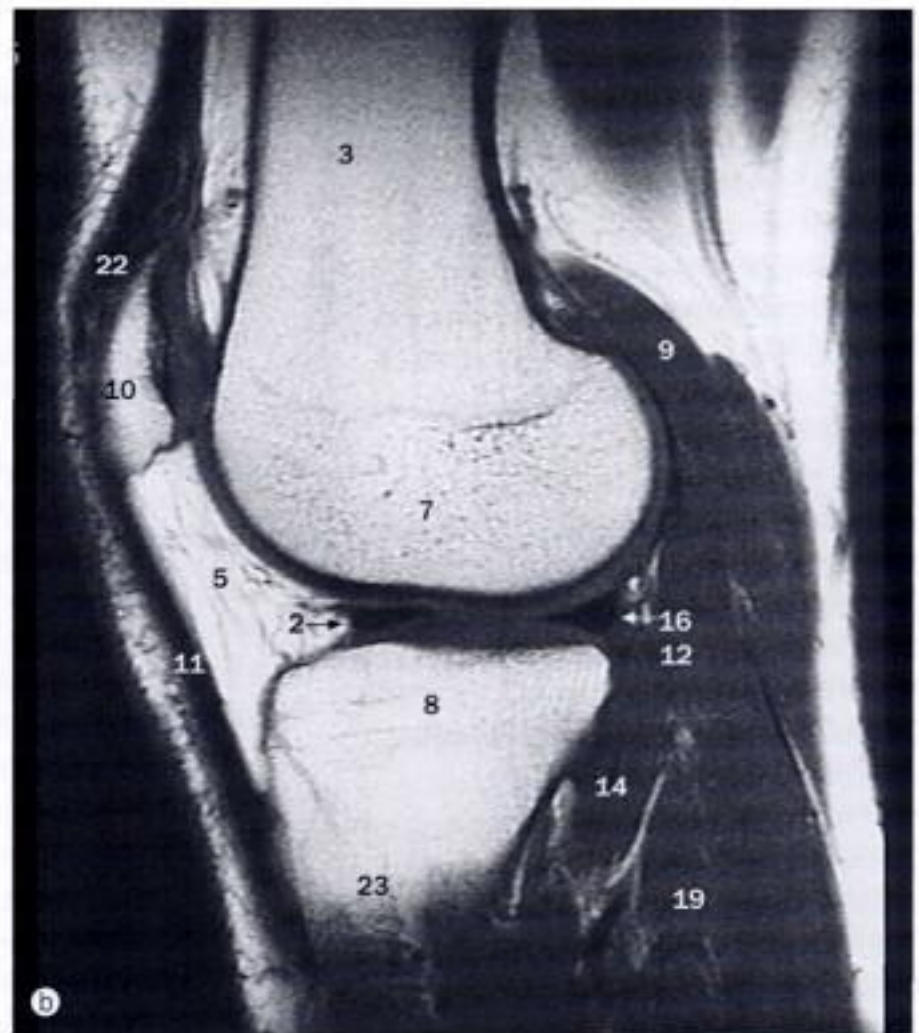
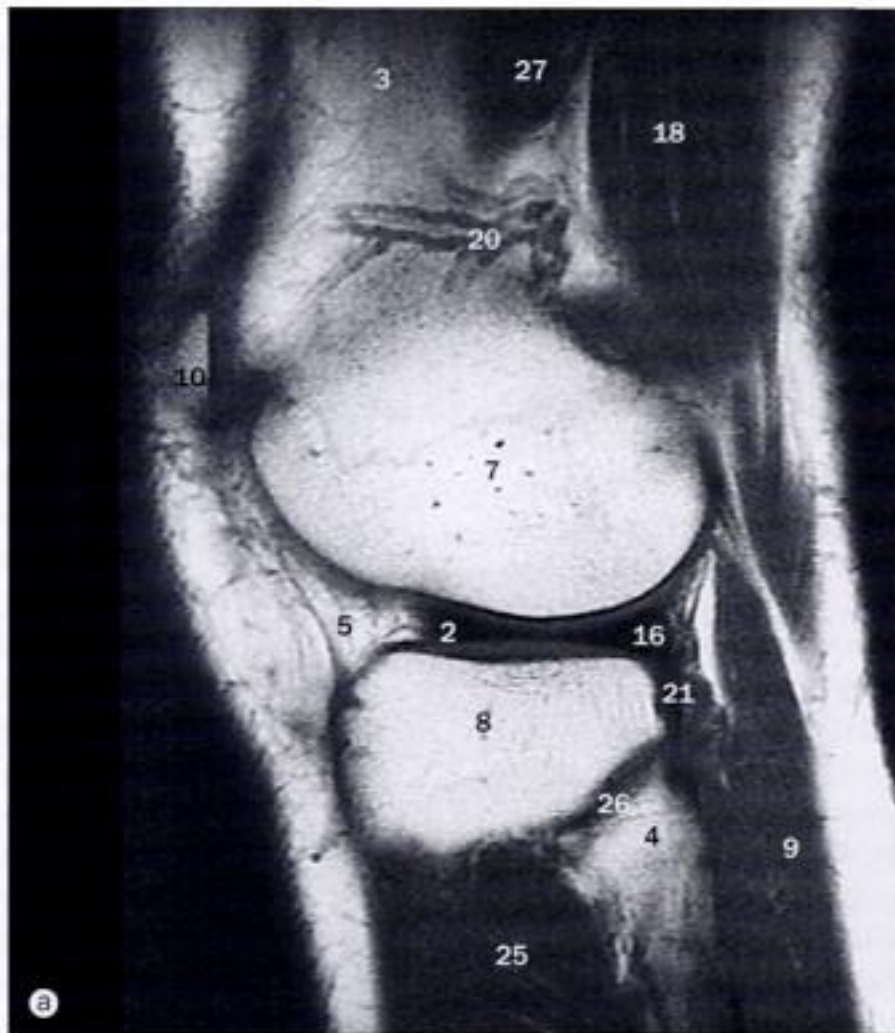
- | | |
|------------------------------------|---|
| 15 Artère poplitée | 23 Chef court du muscle biceps fémoral |
| 16 Veine poplitée | 24 Muscle tenseur du fascia lata |
| 17 Artère fémorale profonde | 25 Nerf tibial |
| 18 Muscle droit fémoral | 26 Muscle vaste intermédiaire |
| 19 Muscle sartorius | 27 Muscle vaste latéral |
| 20 Nerf sciatique | 28 Muscle vaste médial |
| 21 Muscle semi-membraneux | |
| 22 Muscle semi-tendineux | |





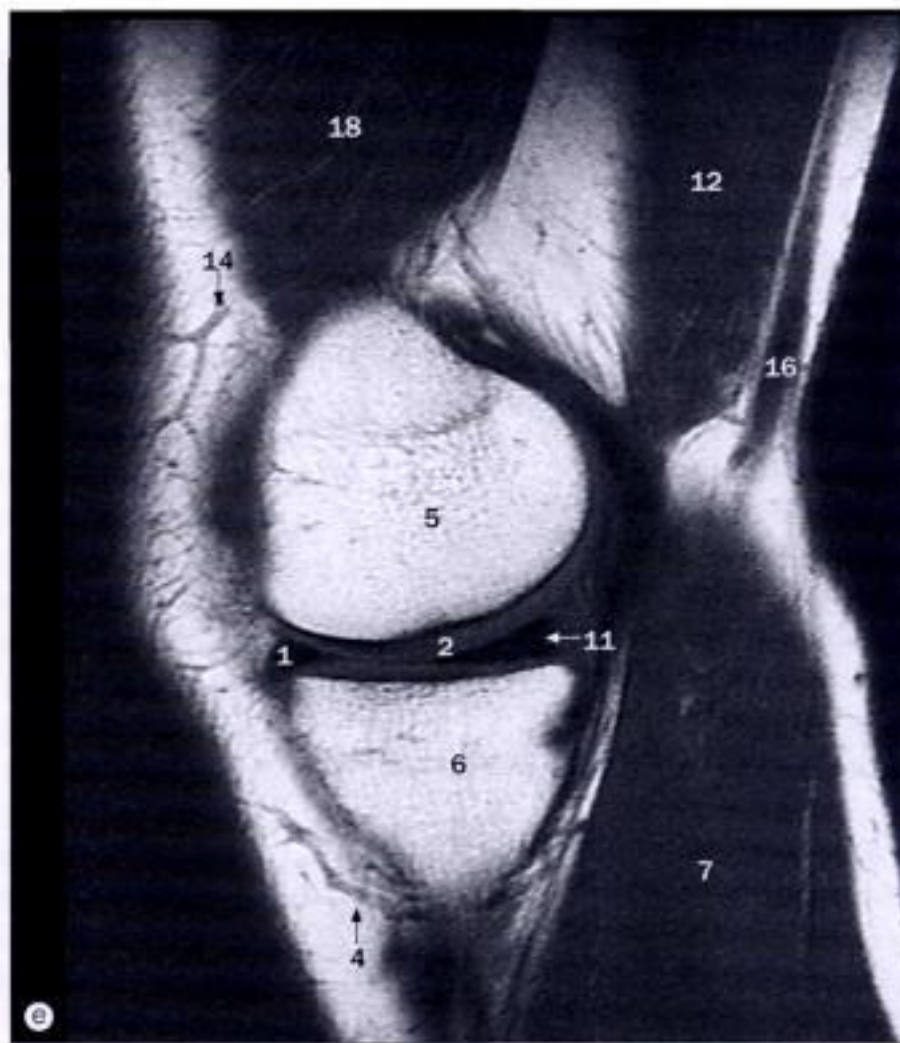
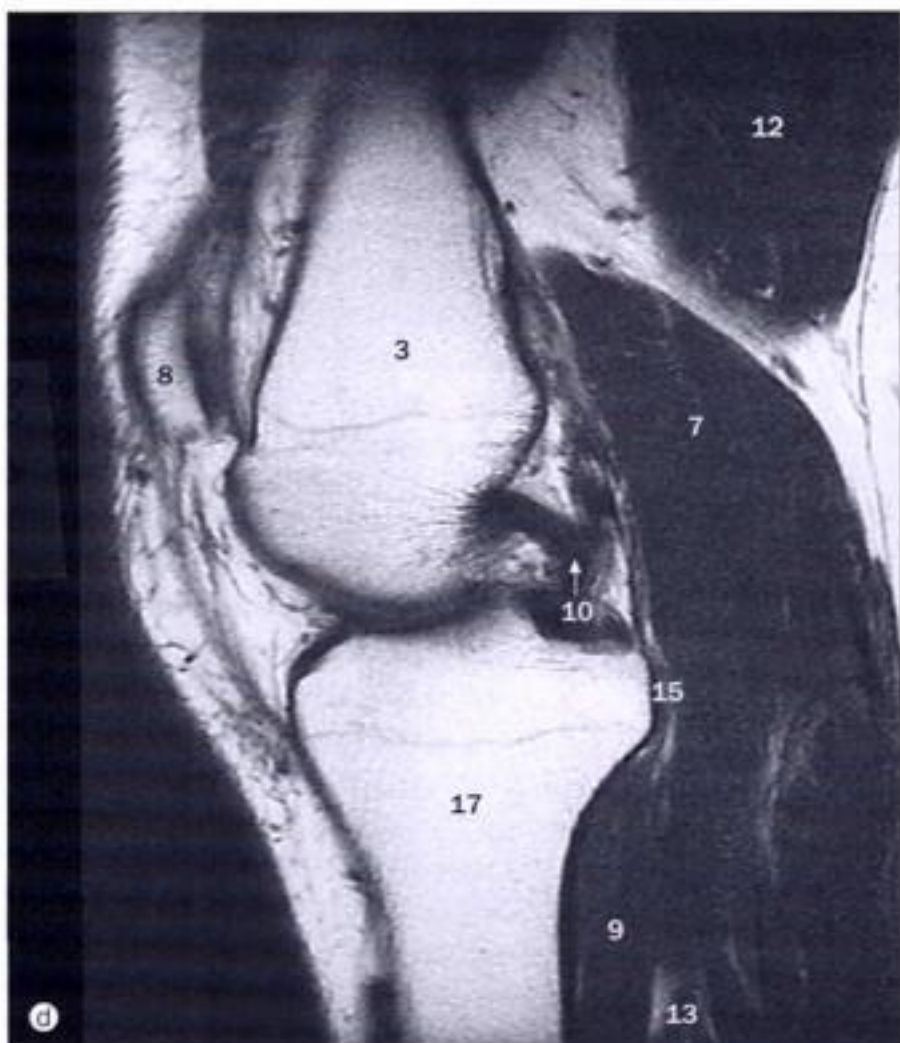
(a) - (f) IRM de la cuisse, coupes sagittales.

- | | |
|---|---|
| 1 Acetabulum | 14 Artère poplitée |
| 2 Muscle long adducteur | 15 Veine poplitée |
| 3 Muscle grand adducteur | 16 Muscle carré fémoral |
| 4 Muscle biceps fémoral | 17 Muscle droit fémoral |
| 5 Artère fémorale | 18 Muscle sartorius |
| 6 Fémur | 19 Muscle semi-membraneux |
| 7 Muscle grand fessier | 20 Muscle semi-tendineux |
| 8 Tête du fémur | 21 Canal des adducteurs (canal de Hunter) |
| 9 Muscle iliopectineux | 22 Tendon du muscle quadriceps fémoral |
| 10 Chef latéral du muscle gastrocnémien | 23 Muscle vaste intermédiaire |
| 11 Muscle obturateur externe | 24 Muscle vaste latéral |
| 12 Muscle pectiné | 25 Muscle vaste médial |
| 13 Muscle piriforme | |

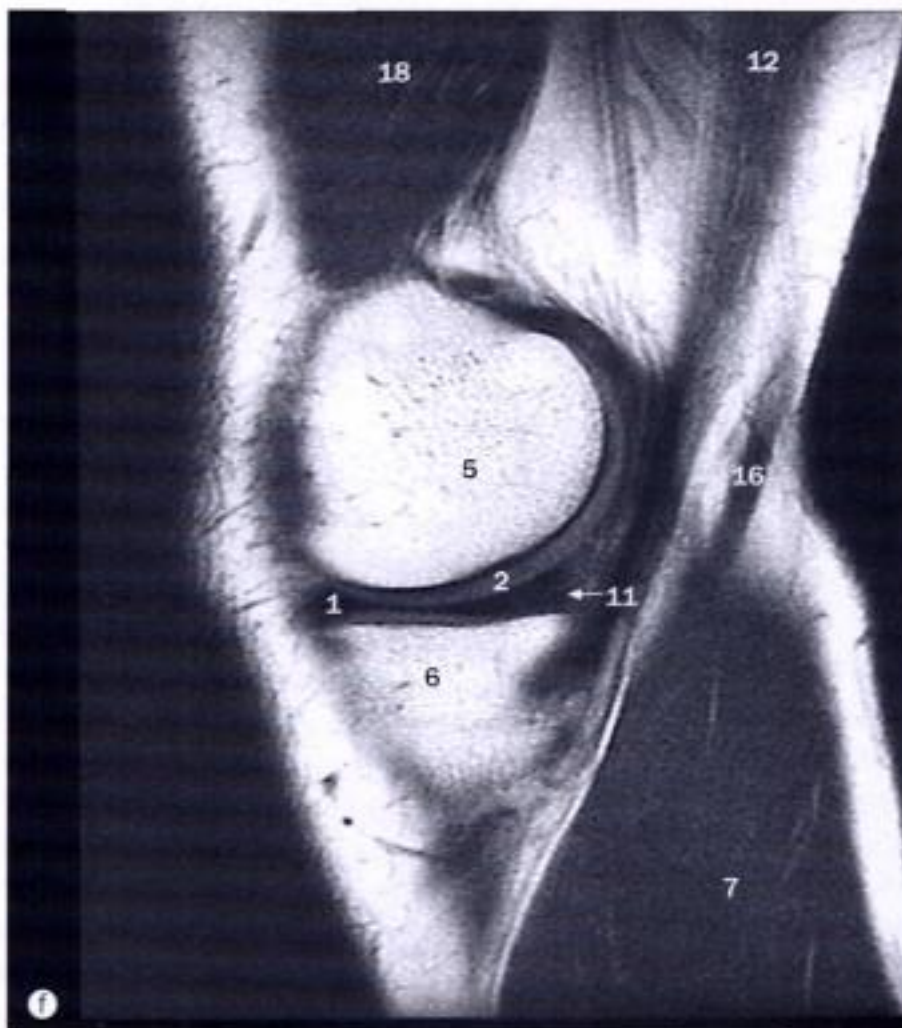


(a) - (c) IRM du genou, coupes sagittales.

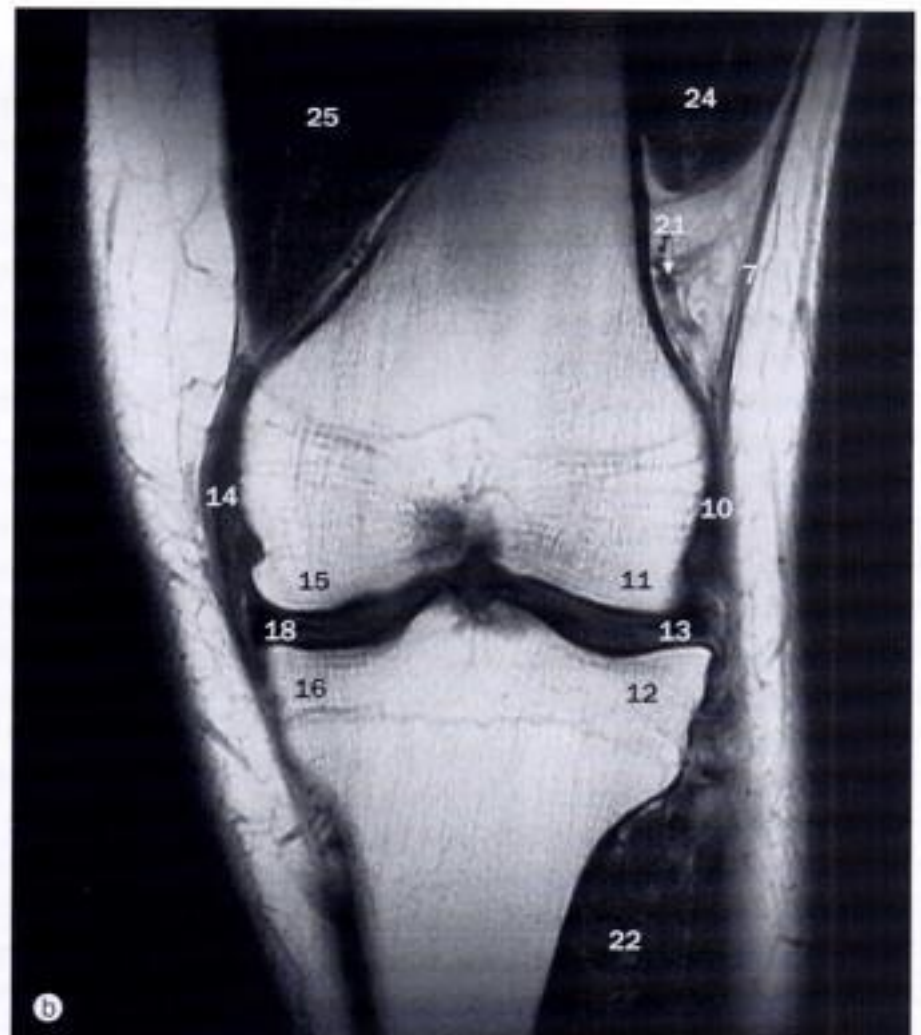
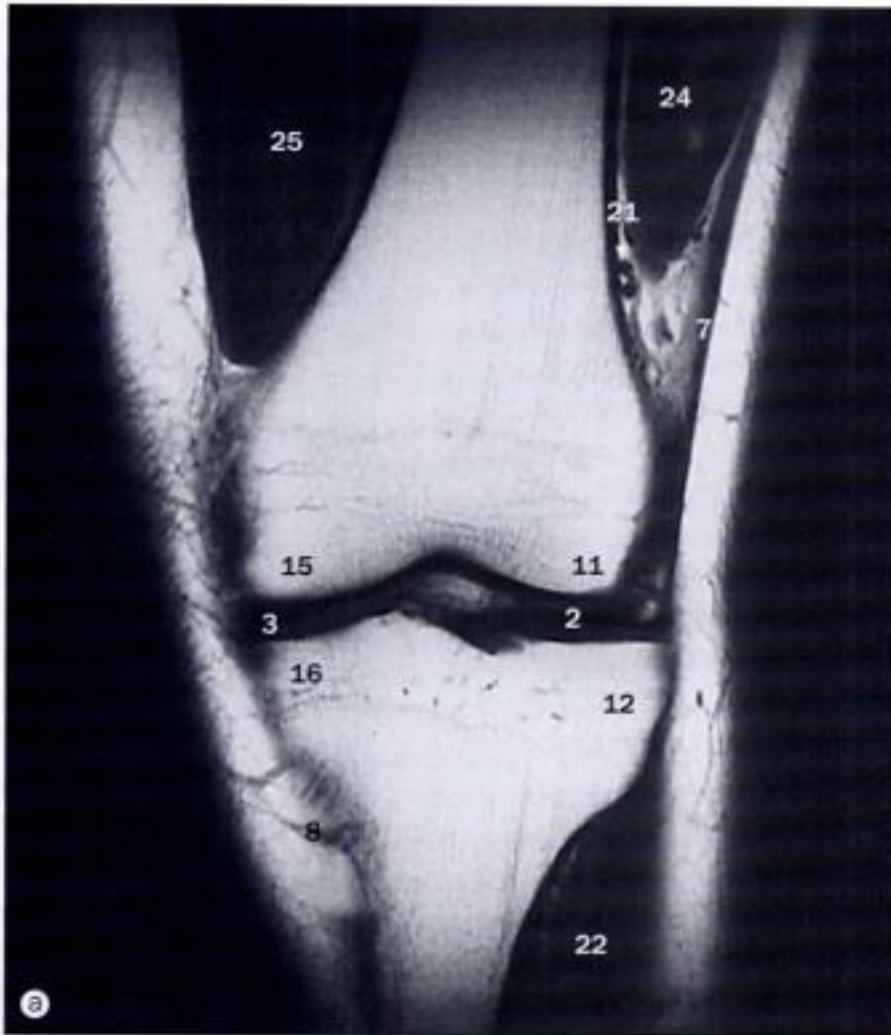
- 1 Ligament croisé antérieur
- 2 Corne antérieure du ménisque latéral
- 3 Fémur
- 4 Tête de la fibula
- 5 Paquet adipeux infrapatellaire
- 6 Fosse intercondyalaire
- 7 Condyle latéral du fémur
- 8 Condyle latéral du tibia
- 9 Chef latéral du muscle gastrocnémien
- 10 Rotule
- 11 Ligament patellaire
- 12 Muscle plantaire
- 13 Artère et veine poplitées
- 14 Muscle poplité
- 15 Ligament croisé postérieur
- 16 Corne postérieure du ménisque latéral
- 17 Ligament ménisco-fémoral postérieur
- 18 Chef court du muscle biceps fémoral
- 19 Muscle soléaire
- 20 Artère supéro-latérale du genou
- 21 Tendon du muscle poplité
- 22 Tendon du muscle quadriceps fémoral
- 23 Tibia
- 24 Tubérosité du tibia
- 25 Muscle tibial antérieur
- 26 Articulation tibio-fibulaire
- 27 Muscle vaste latéral



(d) - (f) IRM du genou, coupes sagittales.

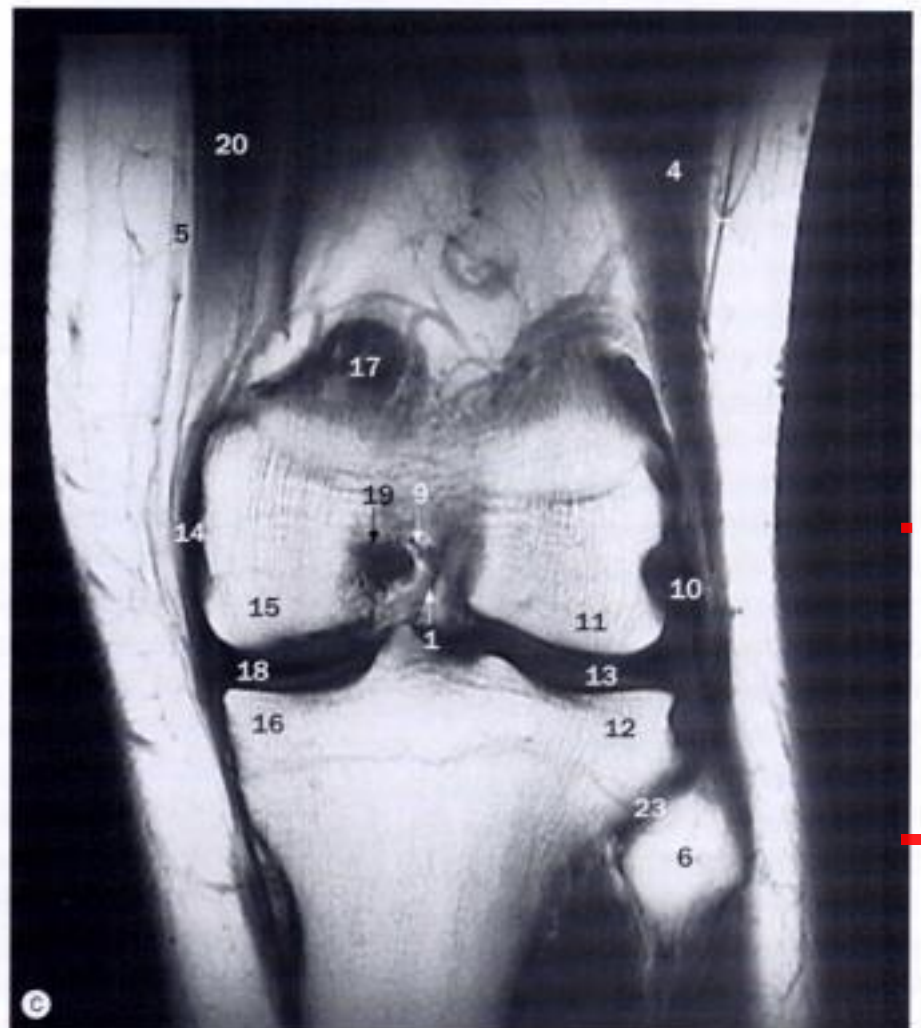


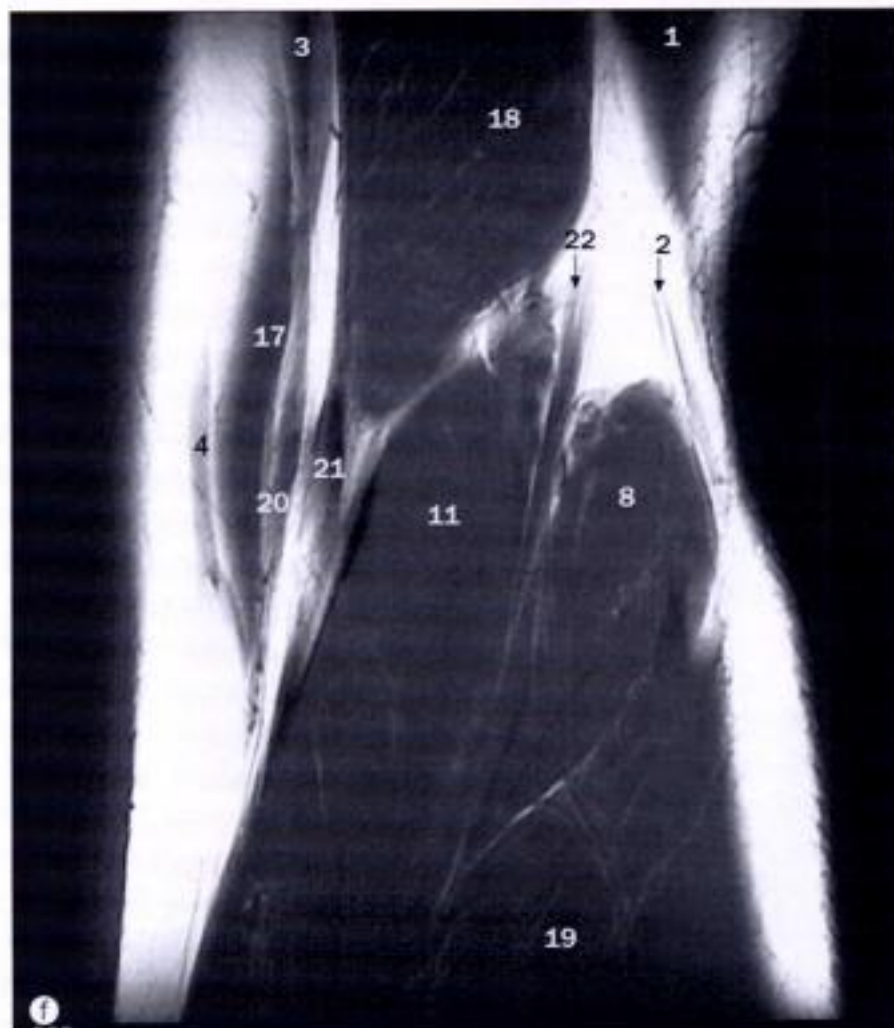
- 1 Corne antérieure du ménisque médial
- 2 Cartilage articulaire
- 3 Fémur
- 4 Artère inféro-médiale du genou
- 5 Condyle médial du fémur
- 6 Condyle médial du tibia
- 7 Chef médial du muscle gastrocnémien
- 8 Rotule
- 9 Muscle poplité
- 10 Ligament croisé postérieur
- 11 Corne postérieure du ménisque médial
- 12 Muscle semi-membraneux
- 13 Muscle soléaire
- 14 Artère supéro-médiale du genou
- 15 Tendon du muscle poplité
- 16 Tendon du muscle semi-tendineux
- 17 Tibia
- 18 Muscle vaste médial



(a) - (f) IRM du genou, coupes frontales (coronales).

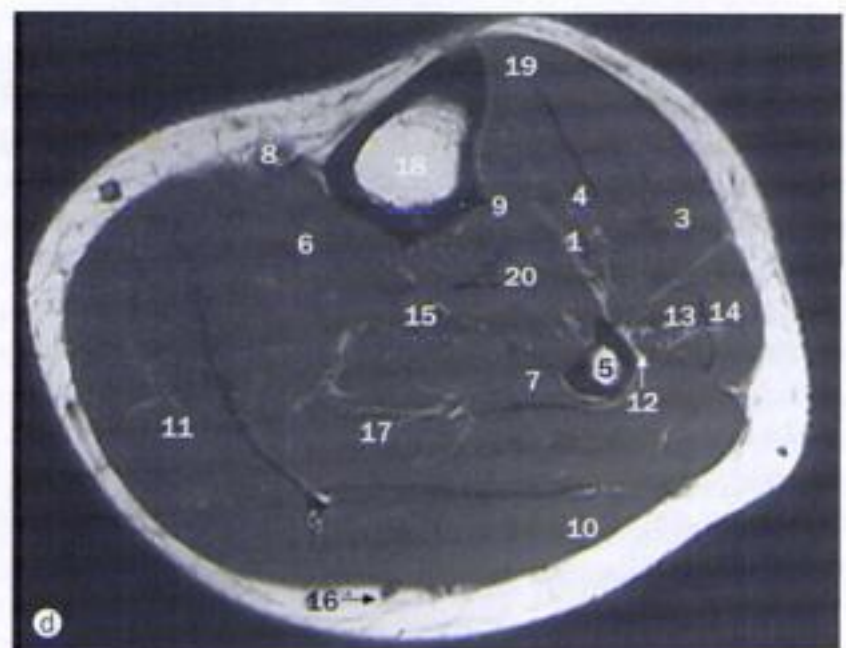
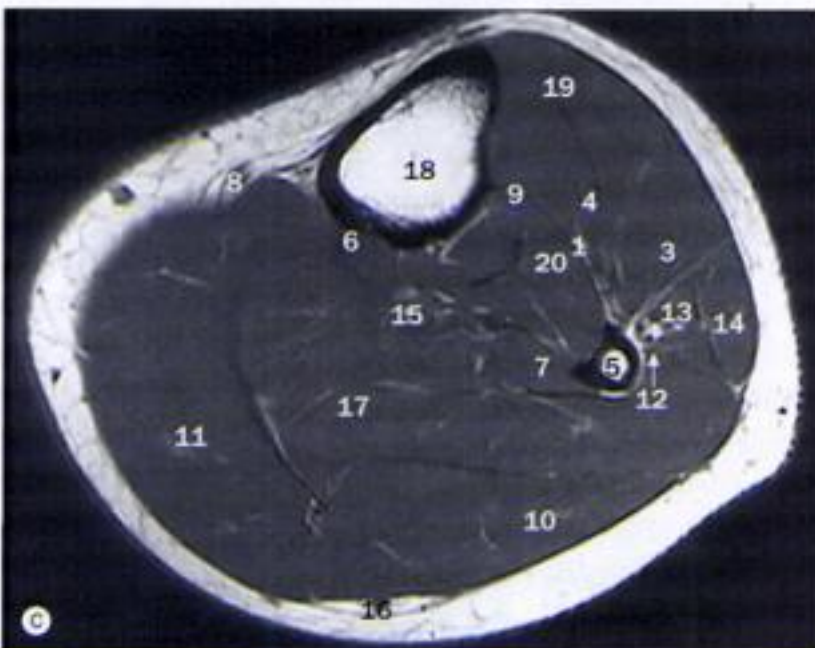
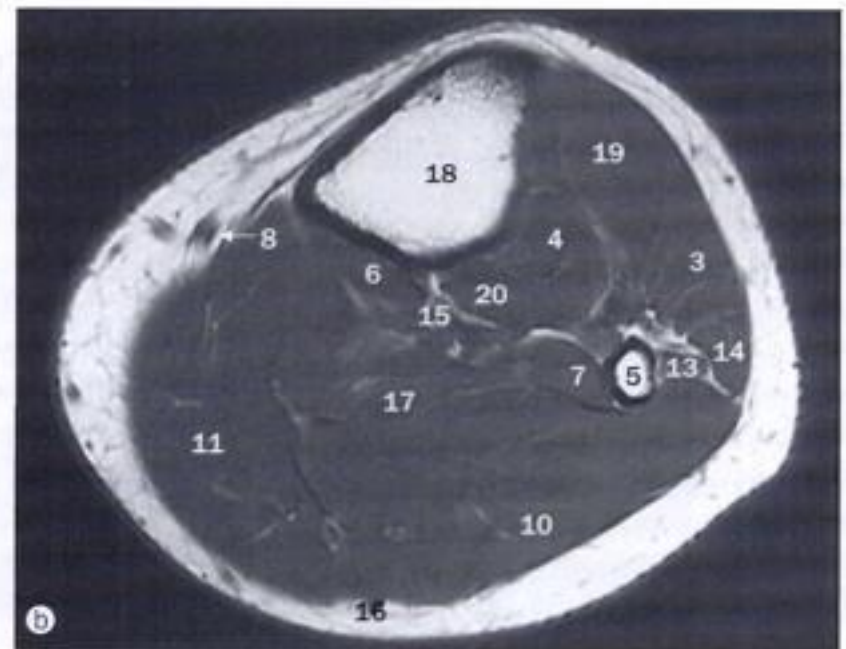
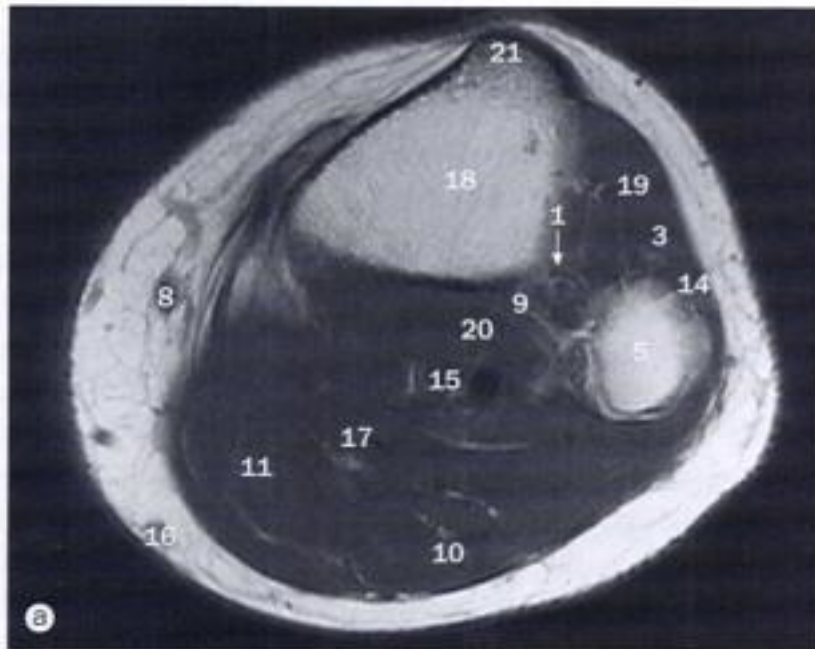
- 1 Ligament croisé antérieur
- 2 Corne antérieure du ménisque latéral
- 3 Corne antérieure du ménisque médial
- 4 Muscle biceps fémoral
- 5 Grande veine saphène
- 6 Tête de la fibula
- 7 Tractus ilio-tibial
- 8 Artère inféro-médiale du genou
- 9 Fosse intercondylaire
- 10 Ligament collatéral latéral
- 11 Condyle latéral du fémur
- 12 Condyle latéral du tibia
- 13 Ménisque latéral
- 14 Ligament collatéral médial
- 15 Condyle médial du fémur
- 16 Condyle médial du tibia
- 17 Chef médial du muscle gastrocnémien
- 18 Ménisque médial
- 19 Ligament croisé postérieur
- 20 Muscle sartorius
- 21 Artère supéro-latérale du genou
- 22 Muscle tibial antérieur
- 23 Articulation tibio-fibulaire
- 24 Muscle vaste latéral
- 25 Muscle vaste médial





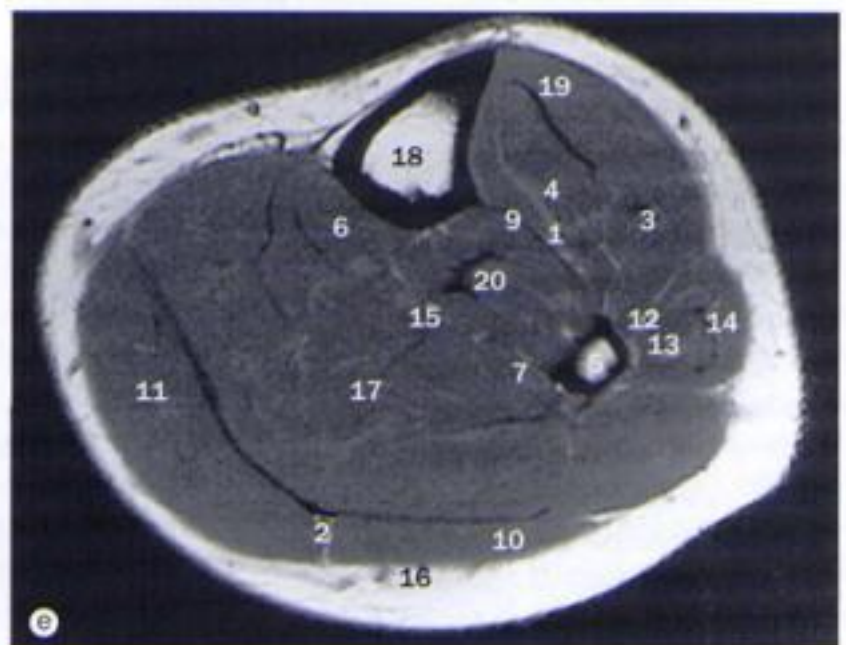
(d) - (f) IRM du genou, coupes frontales (coronales).

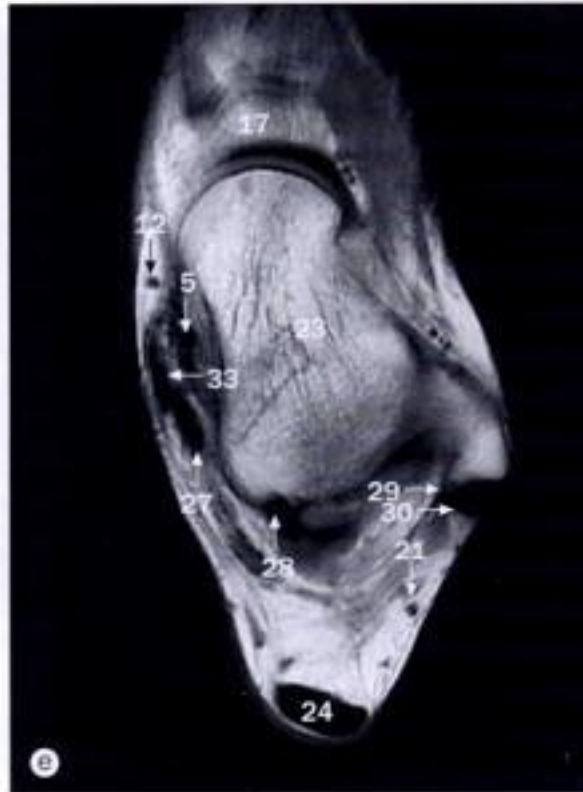
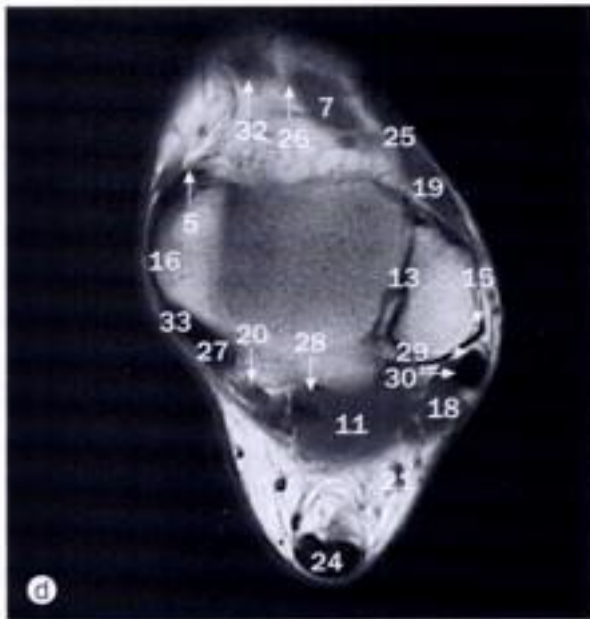
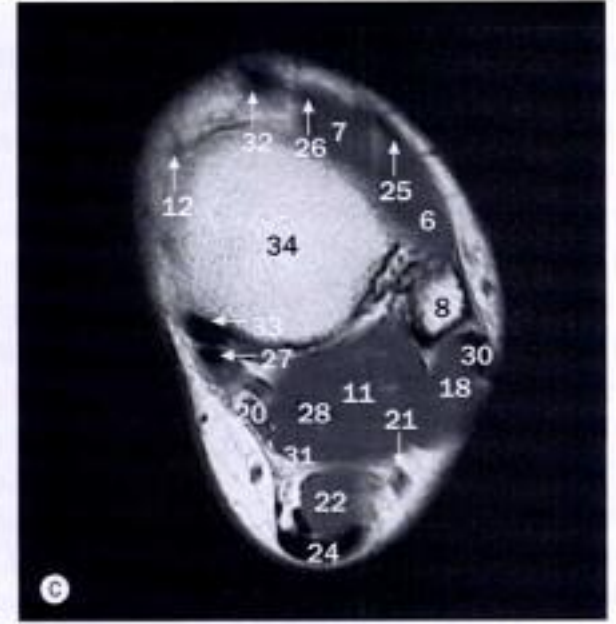
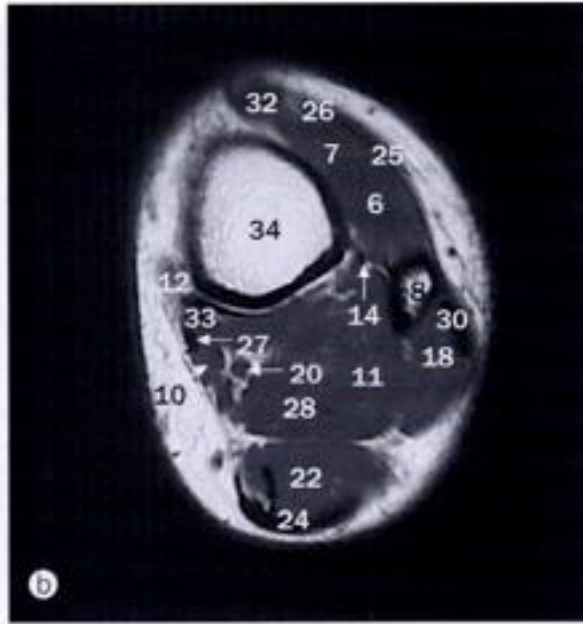
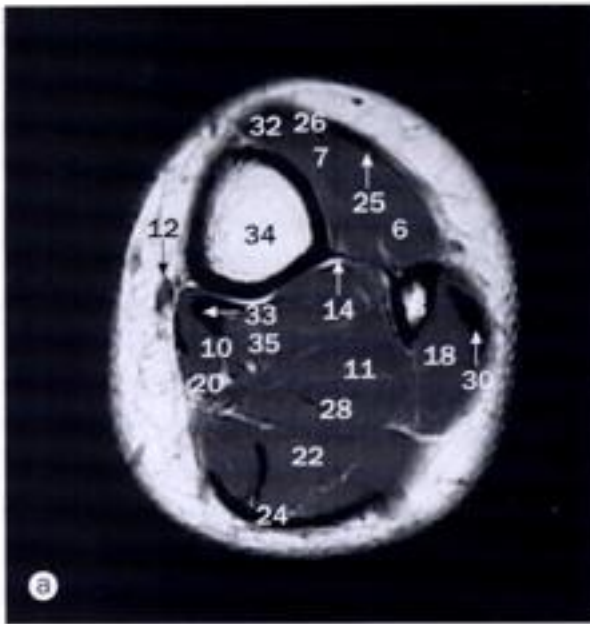
- 1 Muscle biceps fémoral
- 2 Nerf fibulaire commun
- 3 Muscle gracile
- 4 Grande veine saphène
- 5 Tête de la fibula
- 6 Condyle latéral du fémur
- 7 Condyle latéral du tibia
- 8 Chef latéral du muscle gastrocnémien
- 9 Condyle médial du fémur
- 10 Condyle médial du tibia
- 11 Chef médial du muscle gastrocnémien
- 12 Artère et veine poplitée
- 13 Muscle poplité
- 14 Corne postérieure du ménisque latéral
- 15 Corne postérieure du ménisque médial
- 16 Ligament ménisco-fémoral postérieur
- 17 Muscle sartorius
- 18 Muscle semi-membraneux
- 19 Muscle soléaire
- 20 Tendon du muscle gracile
- 21 Tendon du muscle semi-tendineux
- 22 Nerf tibial
- 23 Articulation tibio-fibulaire



(a) - (e) IRM de la jambe, coupes axiales.

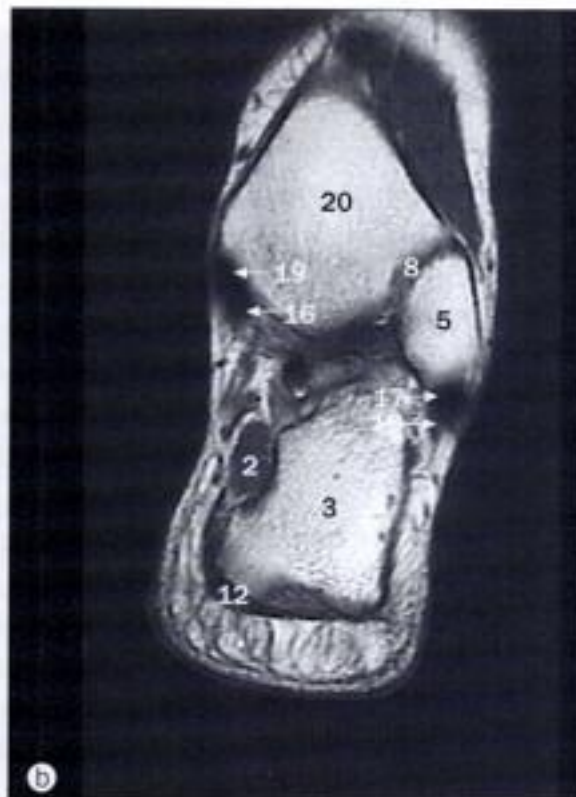
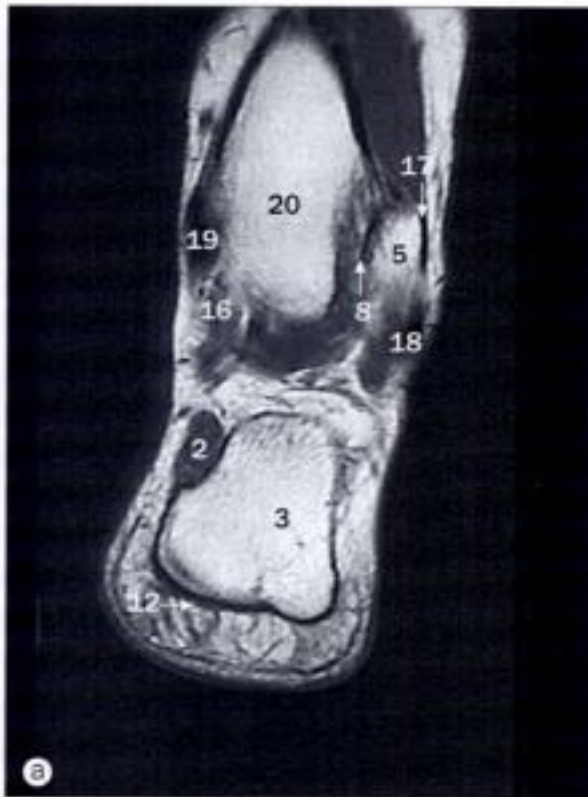
- | | |
|---|--|
| 1 Artère tibiale antérieure | 11 Chef médial du muscle gastrocnémien |
| 2 Aponévrose du muscle gastrocnémien | 12 Artère fibulaire |
| 3 Long extenseur des orteils | 13 Muscle court fibulaire |
| 4 Muscle long extenseur de l'hallux | 14 Muscle long fibulaire |
| 5 Fibula | 15 Artère tibiale postérieure |
| 6 Muscle long fléchisseur des orteils | 16 Petite veine saphène |
| 7 Muscle long fléchisseur de l'hallux | 17 Muscle soléaire |
| 8 Grande veine saphène | 18 Tibia |
| 9 Membrane interosseuse | 19 Muscle tibial antérieur |
| 10 Chef latéral du muscle gastrocnémien | 20 Muscle tibial postérieur |
| | 21 Tubérosité du tibia |





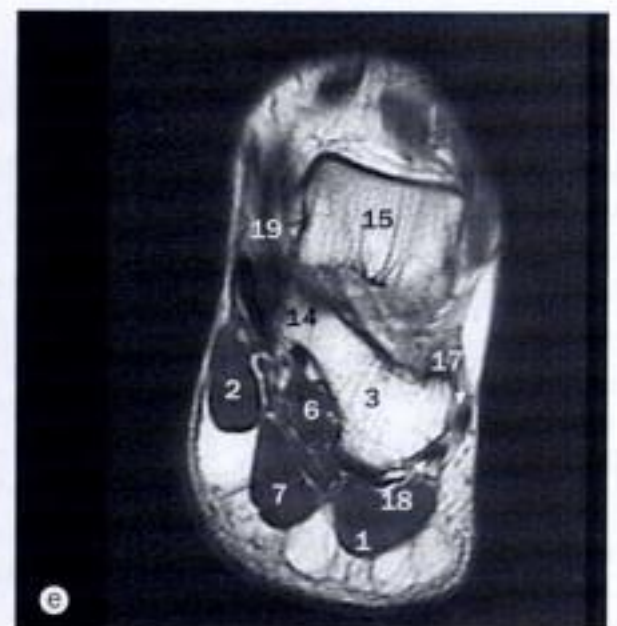
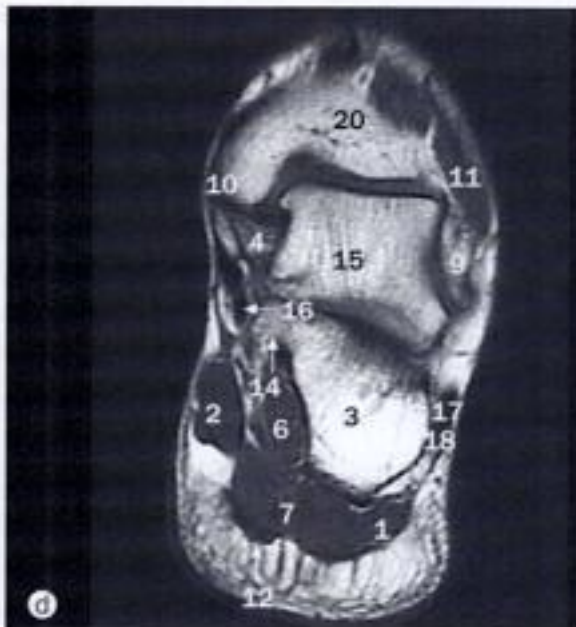
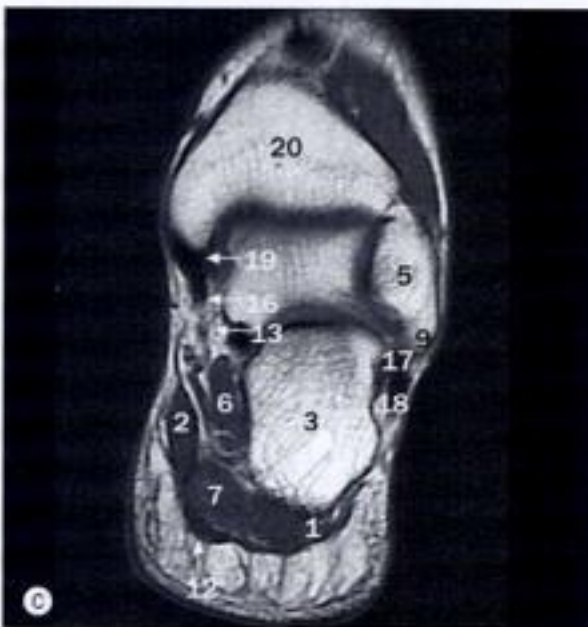
(a) - (f) IRM de la partie distale de la jambe et cou-de-pied, coupes axiales.

- | | |
|---|--|
| 1 Muscle abducteur de l'hallux | 19 Muscle troisième fibulaire |
| 2 Tubérosité du calcaneus | 20 Artère et veine tibiales postérieures |
| 3 Calcaneus | 21 Petite veine saphène |
| 4 Os cuboïde | 22 Muscle soléaire |
| 5 Ligament deltoïde | 23 Talus |
| 6 Muscle extenseur des orteils | 24 Tendon calcanéen (tendon d'Achille) |
| 7 Muscle long extenseur de l'hallux | 25 Tendon du muscle extenseur des orteils |
| 8 Fibula | 26 Tendon du muscle long extenseur de l'hallux |
| 9 Muscle fléchisseur accessoire | 27 Tendon du muscle long fléchisseur des orteils |
| 10 Muscle long fléchisseur des orteils | 28 Tendon du muscle long fléchisseur de l'hallux |
| 11 Muscle long fléchisseur de l'hallux | 29 Tendon du muscle court fibulaire |
| 12 Grande veine saphène | 30 Tendon du muscle long fibulaire |
| 13 Articulation tibio-fibulaire distale | 31 Tendon du muscle plantaire |
| 14 Membrane interosseuse | 32 Tendon du muscle tibial antérieur |
| 15 Malléole latérale | 33 Tendon du muscle tibial postérieur |
| 16 Malléole médiale | 34 Tibia |
| 17 Os naviculaire | 35 Muscle tibial postérieur |
| 18 Muscle court fibulaire | |



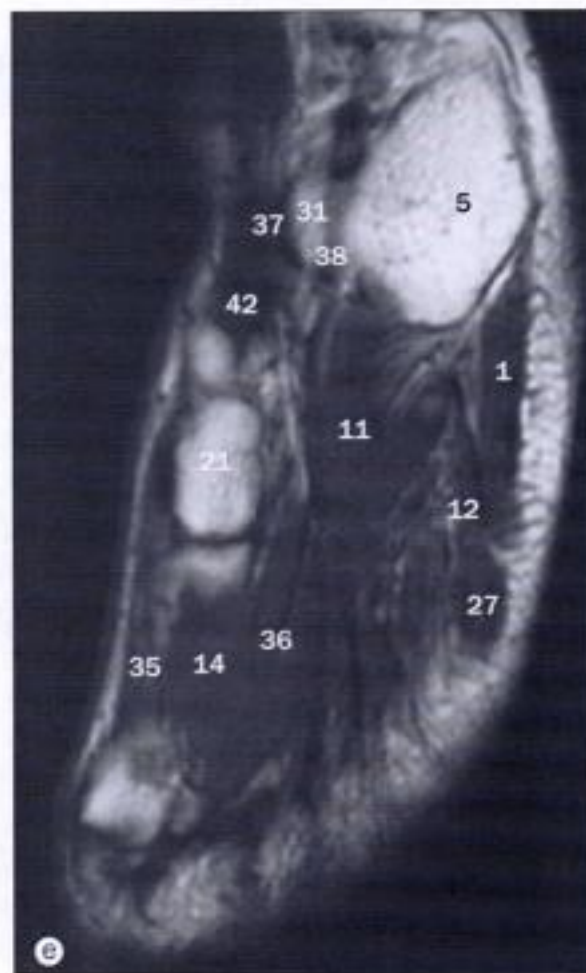
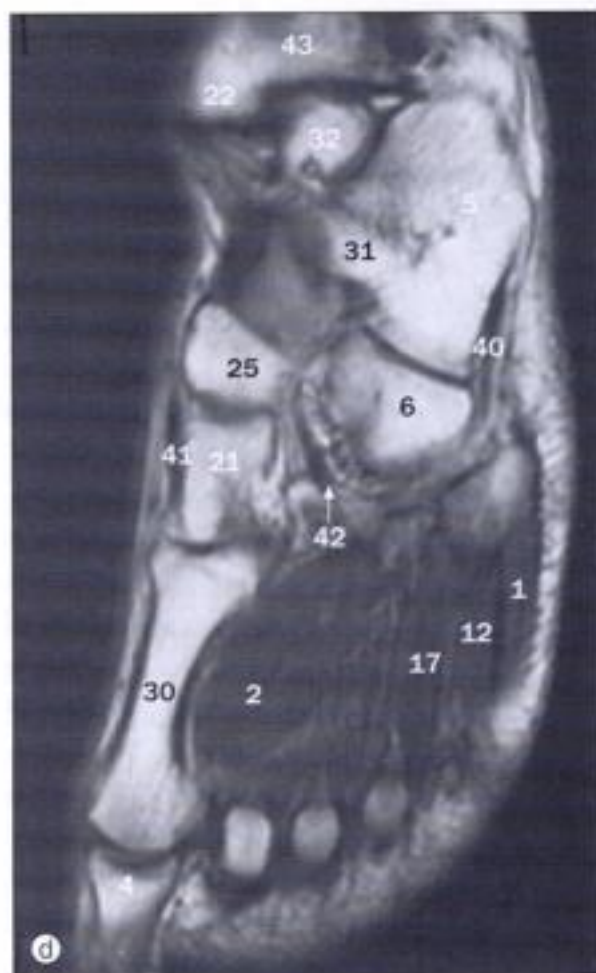
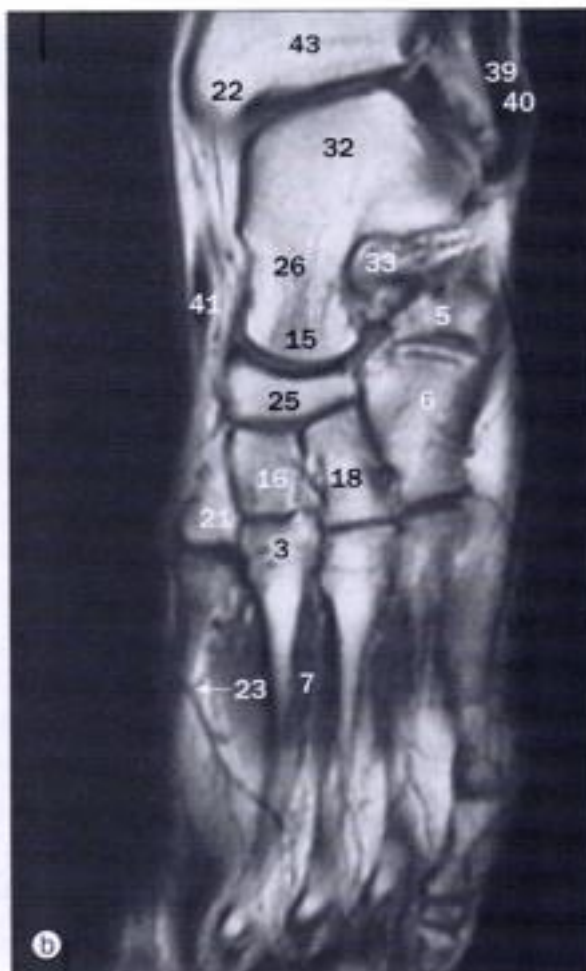
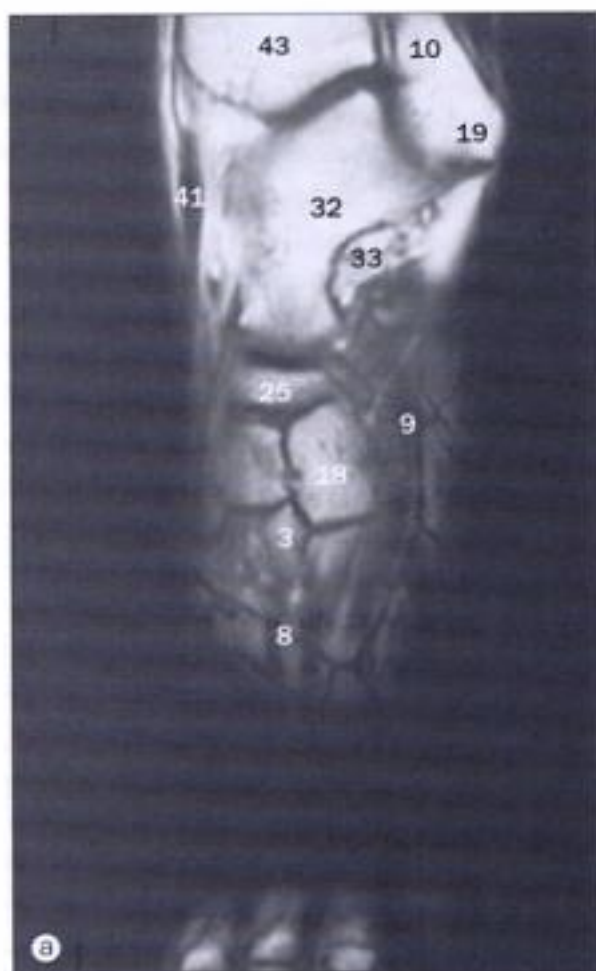
(a) - (e) IRM du pied, coupes axiales.

- 1 Muscle abducteur du petit orteil
- 2 Muscle abducteur de l'hallux
- 3 Calcanéus
- 4 Ligament deltoïde
- 5 Fibula
- 6 Muscle fléchisseur accessoire
- 7 Muscle court fléchisseur des orteils
- 8 Articulation tibio-fibulaire distale
- 9 Malléole latérale
- 10 Malléole médiale
- 11 Muscle troisième fibulaire
- 12 Aponévrose plantaire
- 13 Artère tibiale postérieure
- 14 Sustentaculum tali
- 15 Talus
- 16 Tendon du muscle long fléchisseur des orteils
- 17 Tendon du muscle court fibulaire
- 18 Tendon du muscle long fibulaire
- 19 Tendon du muscle tibial postérieur
- 20 Tibia

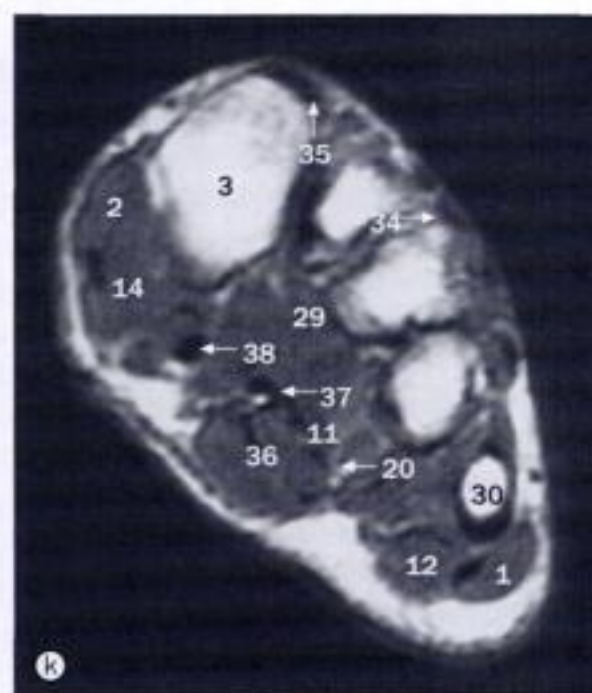
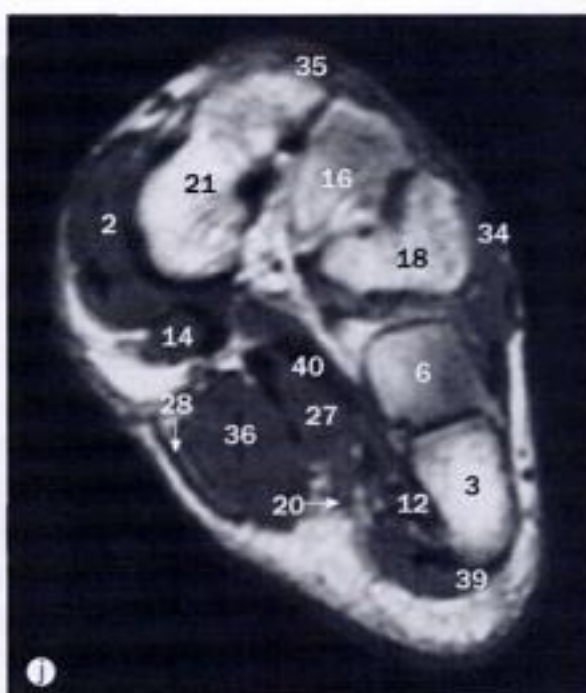
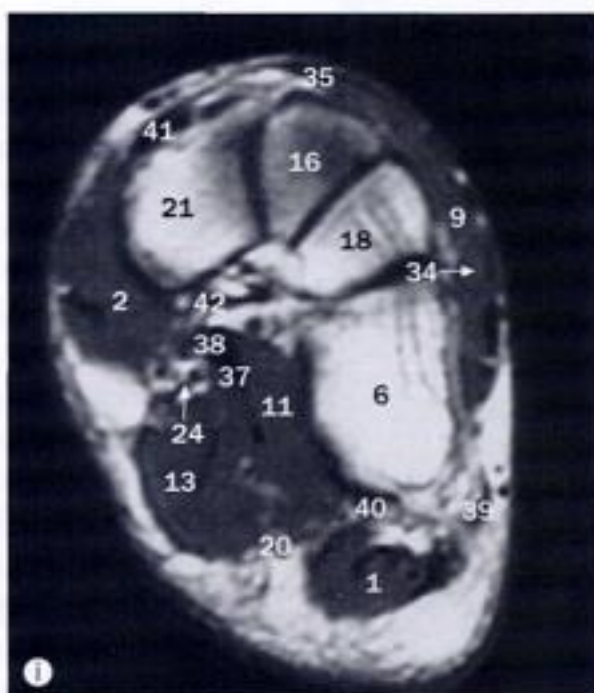
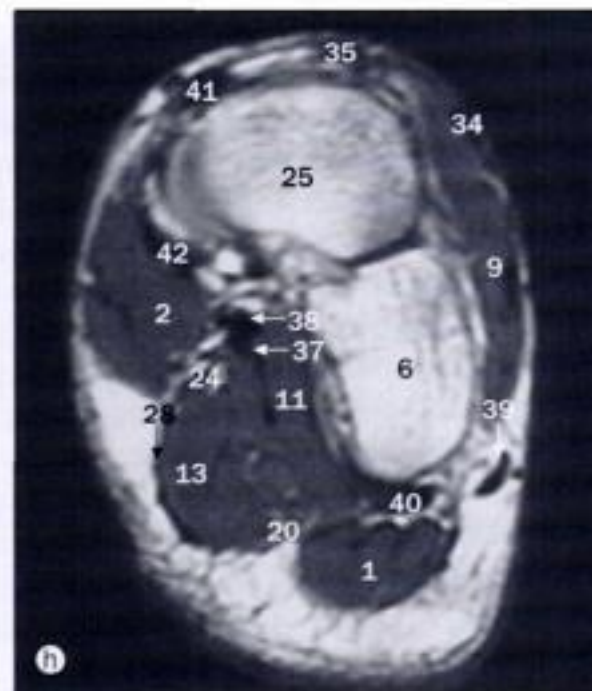
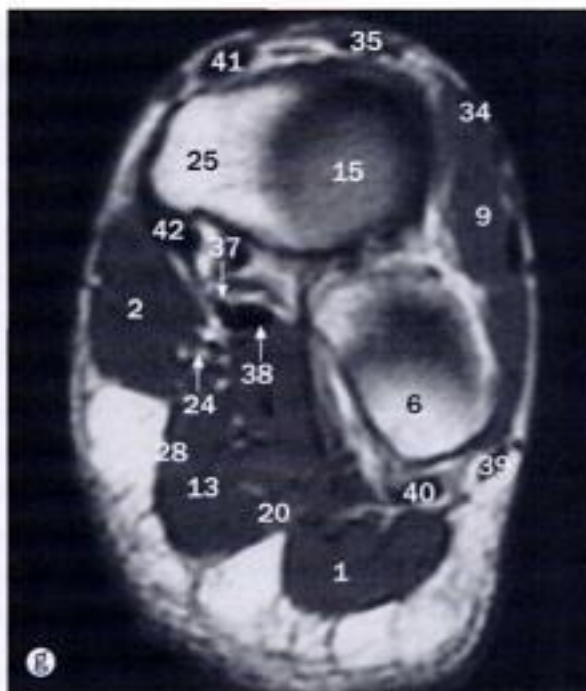
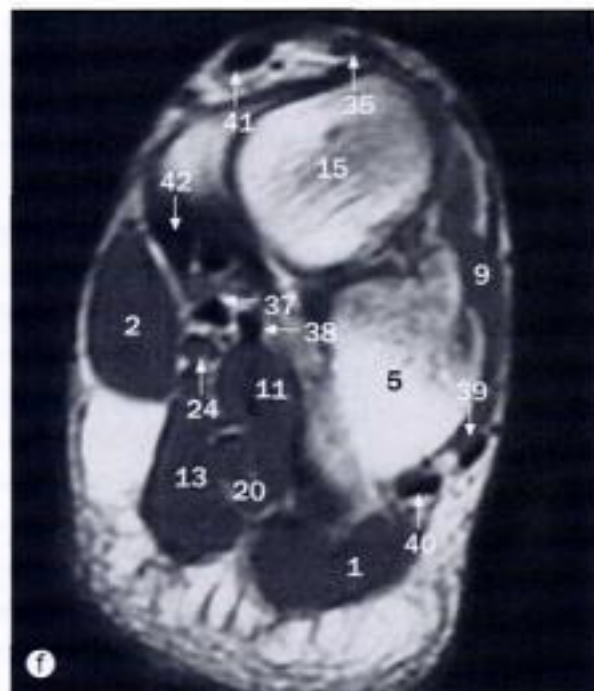




(a) - (f) IRM du cou-de-pied, coupes sagittales.



(a) - (e) IRM du pied, coupes axiales obliques, (f) - (k) coupes frontales (coronales).



- | | |
|---|---|
| 1 Muscle abducteur du petit orteil | 23 Veine marginale médiale |
| 2 Muscle adducteur de l'hallux | 24 Artère et nerf plantaires médiaux |
| 3 Base du métatarsien | 25 Os naviculaire |
| 4 Base de la phalange proximale | 26 Col du talus |
| 5 Calcanéus | 27 Muscle opposant du petit orteil |
| 6 Os cuboïde | 28 Aponévrose plantaire |
| 7 Muscle interosseux dorsal | 29 Muscle interosseux plantaire |
| 8 Arcade veineuse dorsale | 30 Diaphyse de métatarsien |
| 9 Muscle court extenseur des orteils | 31 Sustentaculum tali |
| 10 Fibula | 32 Talus |
| 11 Muscle fléchisseur accessoire | 33 Sinus du tarse |
| 12 Muscle fléchisseur du petit orteil | 34 Tendon du muscle long extenseur des orteils |
| 13 Muscle court fléchisseur des orteils | 35 Tendon du muscle long extenseur de l'hallux |
| 14 Muscle court fléchisseur de l'hallux | 36 Tendon du muscle court fléchisseur des orteils |
| 15 Tête du talus | 37 Tendon du muscle long fléchisseur des orteils |
| 16 Os cunéiforme intermédiaire | 38 Tendon du muscle long fléchisseur de l'hallux |
| 17 Muscles interosseux | 39 Tendon du muscle court fibulaire |
| 18 Os cunéiforme latéral | 40 Tendon du muscle long fibulaire |
| 19 Malléole latérale | 41 Tendon du muscle tibial antérieur |
| 20 Nerf plantaire latéral | 42 Tendon du muscle tibial postérieur |
| 21 Os cunéiforme médial | 43 Tibia |
| 22 Malléole médiale | |

Index

REMARQUE

Les entrées de l'index sont groupées en fonction des appellations des principales structures anatomiques (par ex., les os, les muscles, les nerfs, les articulations)

Sauf indication contraire, les références concernent l'adulte.

ERCP : Cholangio-pancréatographie endoscopique rétrograde
IRM : Imagerie par résonance magnétique
TDM : Tomodensitométrie

A

Abdomen, 119-153
artériographie, 140
échographies, 136-139
IRM, coupes
frontales, [131](#)
sagittales, 129-130
lymphographie, 152
nœuds lymphatiques, calcification, 120
paroi antérieure, 182, 183
radiographie en décubitus dorsal, 119-120
récessus hépato-rénal
échographies, sagittales / parasagittales, 136-137
transversales / obliques, 138-139
TDM, coupes
axiales
phase artérielle d'une angiographie, 122-123
veineuse d'une artériographie, 124-126
transit intestinal baryté, 134
Aile du nez, [18](#)
Ampoule
de Vater, 121
hépato-pancréatique, 121
Anatomie des reins, voir à Reins
Angiographies
cou, [24](#)
ventricule droit, 110
Angle
cardio-phrénique, 88-89
colique
droit (hépatique), 135
gauche (splénique), 135
costo-diaphragmatique, 88-89
Antre, mastoïdien
aditus, [10](#)
TDM, coupes
axiales, [12](#)
sagittales, [13](#)
tomographie, [11](#)
Aponévrose bicipitale, 81
Arcade
palmaire, profonde
artériographie, 72
IRM
coupes
frontales (coronales), 85-86
veineuse
dorsale, 194
IRM
coupe(s)
axiale(s), 83
oblique, 210
frontales (coronales), 211
palmaire superficielle, 73
IRM
coupes axiales, 83
zygomatique, [5](#), [10](#)
IRM
coupes axiales, [16-17](#)
projection
de Townes, [3](#)
latérale, [2](#)
submento-verticale, [4](#)
TDM
coupes axiales, [6-7](#)
Artère(s)

alvéolaire, supérieure et postérieure, [24](#)
angulaire, [28](#)
aorte
abdominale
artères lombaires, 142
artériographie, 140
échographie(s)
fœtale, 182-183
sagittales / parasagittales, 136-137
transversales / obliques, 138-139
angiographie, 111
arc (crosse), [87](#), 88-89, 90-91
aortographies, 105
artériographies, 109, 142
échographie suprasternale, 112-113
fœtus, 183
IRM
coupes
axiales, 100-103
sagittales, 106-107
TDM, 92-95
coupes
axiales,
phase artérielle d'une artériographie, 122-123
veineuse d'une artériographie, 124-126
sagittales, 160-161
ascendante, 90-91
artériographies de la crosse de l'aorte, 105
échographies, 112-113
fœtus, 103
IRM, 104-105
coupes
axiales, [60](#), 100-103, 127, [151](#)
frontales (coronales), [131](#), [132](#)
sagittales, 106-107
TDM, 92-95
coupes axiales, [56](#), 96-97, 98-99, 156-157
descendante, 88-89
artériographies de la crosse (arc), 105
échographie, 112-113
fœtus, 183
IRM, 104-105
coupes axiales, 100-103
TDM, 92-95
basale postérieure, 108
carotide
commune
droite
artériographies de la crosse de l'aorte, 105
IRM, coupes frontales (coronales), [21](#)
gauche,
artériographies de la crosse de l'aorte, 105
échographie, 112-113
IRM, 104-105
coupes
axiales, 100-103
sagittales, 106-107
TDM, 92-95
coupes axiales, 96-97
IRM, coupes axiales, [22-23](#)
phlébographie, [24](#)
TDM, coupes axiales, [53](#)
externe
IRM, coupes axiales, [16-17](#), [22-23](#)
phlébographie, [24](#)
interne
angiographie IRM, [32-33](#)
bifurcation, [45](#)
IRM
coupes
axiales, [16-17](#), [22-23](#), [34-37](#)
frontales (coronales), [19](#), [45](#)

sagittales, [18](#), [38](#), [47](#)
phlébographie, [15](#), [24](#)
portion caverneuse, artériographie, [28](#)
cervicale, [28](#)
intercaverneuse, 40-41
intracrânienne (supracallosale)
angiographie IRM, [32](#)
artériographie, [28](#)
pétreuse
angiographie IRM, [32](#)
artériographie, [28](#)
supracallosale, [45](#)
IRM, coupes frontales (coronales), 40-41
TDM, coupes frontales (coronales), [44](#)
sillon, [2](#)
partie caverneuse, [44](#)
cercle de Willis, [32-33](#)
cérébelleuse
inférieure et antérieure
artériographie
antéro-postérieure, [30](#)
latérale, [30](#)
inférieure et postérieure
angiographie IRM, [32](#)
artériographie
antéro-postérieure, [30](#)
branches hémisphériques, [30](#)
origine, [30](#)
segment
médullaire, [30](#)
antérieur, [30](#)
latéral, [30](#)
postérieur, [30](#)
rétrotonsillaire, [30](#)
supratonsillaire, [30](#)
vermien inférieur, [30](#)
supérieure
artériographie
antéro-postérieure, [30](#)
latérale, [30](#)
branche(s)
hémisphérique, [30](#)
thalamo-perforantes, [30](#)
vermiennes, [30](#)
cérébrale
antérieure
angiographie IRM, [32](#)
artériographie, [28](#)
branche frontale interne, [28](#)
IRM, coupe(s)
axiales, [34-37](#)
frontales (coronales), [45](#)
sagittale(s), [38](#)
médiane, [30](#)
TDM, coupes frontales (coronales), [44](#)
moyenne
angiographie IRM? [32](#)
artériographie, [28](#)
branche(s)
angulaires, [28](#)
dans l'insula
angiographie IRM, [32](#)
artériographie, [28](#)
pariétales postérieures, [28](#)
temporales antérieures, [28](#)
genou
angiographie IRM, [32](#)
artériographie, [28](#)
IRM, coupe(s)
axiales, [34-37](#)
sagittales, [28](#)
TDM, coupe(s)
frontales (coronales), [44](#)
postérieure
angiographie IRM, [32](#)
artériographie, [28](#)
antéro-postérieure, [30](#)
latérale, [30](#)
branche(s)
choroïdiennes postérieures, [30](#)

spléniales, [30](#)
thalamo-perforantes, [30](#)
IRM, coupes
axiales, [34-37](#)
portion quadrigémale, [30](#)
cervicale
ascendante, [24](#), 105
postéro-inférieure, [62](#)
transverse, [24](#)
choroïdienne, antérieure, [28](#)
ciliaire postérieure longue
TDM, coupes
axiales, [26](#)
frontales (coronales), [27](#)
circonflexe, 111
de l'humérus, 71
iliaque, 173
latérale de la cuisse, 173, 193
médiale de la cuisse, 193
postérieure de l'humérus, 71
colique
droite, 142
gauche, 143, 153
moyenne, 142
communicante
antérieure
angiographie IRM, [32](#)
artériographie, [28](#)
postérieure
angiographie IRM, [32](#)
artériographie, [28](#)
point de jonction, [30](#)
coronaire,
gauche
angiographie, 111
branche
circonflexe, 100-103
interventriculaire antérieure, 100-103
échographie, 112-113
IRM, coupe(s)
axiales, 100-103
sagittales, 106-107
TDM, 92-95
tronc principal, 111
droite, 111
d'Adamkiewicz, 64
diagonale, 111
digitale palmaire,
commune
artériographie, 73
IRM, coupes frontales (coronales), [85-86](#)
propre
artériographie, 73
IRM, coupes frontales (coronales), [85-86](#)
dorsale
du pénis
artériographie, 177
IRM, 178
du pied, 194
du cône artériel, 111
du nœud sinu-atrial, 111
du pénis
artériographie, 177
profonde, 177
du sillon, central, [28](#)
épigastrique, superficielle, 162-163
épiplœique, 146
faciale, [24](#)
IRM, coupes frontales (coronales), [19](#)
fémorale
IRM, coupes
axiales, [196-197](#)
frontales (coronales), 199
sagittales, 198
TDM, coupes
axiales, 158-159, 164-165, 166-168
sagittales, 160-161
commune, 193
superficielle
artériographie, 173, 193

- TDM, coupes
axiales, 158-159, 166-168
- fibulaire
artériographie, 193-194
IRM, coupes axiales, 205
- fronto-polaire, [28](#)
- gastrique, 142
droite, 142
gauche
artériographie, 141, 142
abdominale, 140
branche œsophagienne, 142
TDM
coupes axiales
phase artérielle d'une artériographie, 122-123
veineuse d'une artériographie, 124-126
- gastro-duodénale, 141, 146-147
- gastro-épiploïque
droite, 141, 146-147
gauche, 141, 147
- géniculée
latérale, inférieure, 193-194
supérieure
artériographie, 193
IRM, coupes
frontales (coronales), 203
sagittales, 201
- médiale, inférieure
artériographie, 193, 194
IRM, coupes
frontales (coronales), 203
sagittales, 202
- médiale, supérieure
artériographie, 193-194
IRM, coupes sagittales, 202
- glutéale, inférieure
TDM, coupes
axiales, 158-159
frontales (coronales), 162-163
- interne, 164-165
supérieure
artériographie, 173
IRM, coupes frontales (coronales), [131](#)
TDM, coupes
axiales, 156-157
sagittales, 160-161
- gonadique
IRM, coupes axiales, 127-128
TDM, coupes axiales, 156-157
- grande pancréatique, 141
- hépatique
artériographie, 141
abdominale, 140
échographie, coupes
sagittales / parasagittales, 136-137
transversales / obliques, 138-139
- IRM, coupes
axiales, [151](#)
frontales (coronales), [132](#)
- hépatique, commune
TDM, phase artérielle d'une artériographie, 122-123
veineuse d'une artériographie, 124-126
- droite
artériographie, 141, 146
échographie, coupes
sagittales / parasagittales, 136-137
transversales / obliques, 138-139
- gauche, 141, 146
- honteuse, interne, 164-165, 166-168, 177
- iléocolique
artériographie, 142
abdominale, 140
IRM, coupes frontales (coronales), [132](#)
- iliaque, 142
commune
artériographie, 173
abdominale, 140
IRM, coupes
axiales, 128, 130
frontales (coronales), [132](#)
TDM, coupes axiales, 156-157, 166-168
de la phase artérielle, 122-123
- droite, 58
IRM, coupes
sagittales, 129
TDM, coupes axiales, phase veineuse d'une artériographie, 124-126
- gauche, 58
externe
artériographie, 173
TDM, coupes
axiales, 156-157, 158-159, 164-165, 166-168
frontales (coronales), 162-163
sagittales, 160-161
- interne
artériographie, 173
IRM, coupes
frontales (coronales), [131](#)
sagittales, 169-170
TDM, coupes
axiales, 156-157, 164-165, 166-168
sagittales, 160-161
- tronc
antérieur, 173
postérieur, 173
- ilio-lombaire, 173
- infra-orbitaire, [24](#)
- intercostale
artériographie(s), 114
de la crosse de l'aorte, 105
IRM, coupes
axiales, 100-103
- interlobaire, 150
- interosseuse
antérieure, 72, [82](#)
commune, 72
postérieure, 72
- interventriculaire, antérieure gauche, 111
- latérale, 108
basale, 108
lenticulo-striée, [28](#)
- linguale
artériographie, [24](#)
inférieure, 108
IRM, coupes frontales (coronales), [19](#)
supérieure, 108
- lobaire, 150
- lombaire, 140
- marginale, de Drummond, 143
droite, 111
- maxillaire
artériographie, [24](#), [28](#)
IRM, coupes frontales (coronales), [19](#)
- médiale
artériographie, 108
basale, 108
- méningée, moyenne, [24](#)
- mésentérique, inférieure
artériographie, 143, 173
IRM, coupes
axiales, 127-128
frontales (coronales), [132](#)
- lymphographique, 153
- TDM, coupes
axiales, 156-157
phase artérielle d'une artériographie, 122-123
veineuse d'une artériographie, 124-126
- supérieure
artériographie 142, 147
abdominale, 140
- branches
iléales, 140, 142
jéjunales, 140, 142
- échographie, coupes
sagittales / parasagittales 136-137
transversales / obliques 138-139
- IRM, coupes
axiales, 127
sagittales, 129
TDM, coupes axiales
phase artérielle d'une artériographie, 122-123
- veineuse d'une artériographie, 124-126
- métacarpienne palmaire, 73
- obturatrice
artériographie, 173
TDM, coupes axiales, 158-159, 164-165
- occipitale, [24](#), [28](#)
- operculo-frontale, [28](#)
- ophtalmique
angiographie IRM, [32](#)
artériographie, [28](#)
IRM, coupes axiales, [15](#)
portion ethmoïdale, [28](#)
TDM, coupes
axiales, [26](#)
frontales (coronales), [27](#)
- orbito-frontale, [28](#)
- palatine, [19](#)
- pancréatique
dorsale, 141, 146
transverse, 141, 146-147
- pancréatico-duodénale
inférieure
artériographie, 142
branche
antérieure, 147
postérieure, 147
supérieure
artériographie, 141, 146
branche
antérieure, 147
postérieure, 146-147
- paracentrale, [28](#)
- pariétale
inférieure interne, [28](#)
postérieure, [28](#)
- pariété-occipitale
artériographie
antéro-postérieure, [30](#)
latérale, [30](#)
- perforante, 193
- péricallieuse
artériographie, [28](#)
autour du corps calleux, [28](#)
branches orbito-frontales, [28](#)
- périnéale, 177
- pharyngienne, ascendante
artériographie, [24](#)
IRM, coupes axiales, [16-17](#)
- phrénique
artériographie, 141
inférieure, [151](#)
- plantaire
arcade, 194
latérale, 194
médiale, 194, 210-211
plexus cutané, 194
- poplitée
artériographie, 193-194
IRM, coupes
axiales, 196-197, 200
frontales (coronales), 204
sagittales, 198, 200
postérieure, artériographie, 108
- principale du pouce, 73
- profonde
de la cuisse
artériographie, 173, 193
IRM, coupes
axiales, 196-197
frontales (coronales), 199
TDM, coupes
axiales, 158-159, 166-168
frontales (coronales), 162-163
- du bras
artériographie, 71
IRM, coupes axiales, 81
- pulmonaire, artériographie, 110
- droite
angiographie, 110
artériographie, 88-89, 90-91, 108
branche lobaire supérieure, 92-95
IRM, coupes sagittales, 106-107
TDM, 92-95
- du lobe
inférieur, 108
droit, 98-99
moyen, 108
- supérieur 108
- fœtus, 183
- gauche
angiographie, 110
artériographie, 88-89, 90-91, 108
IRM, 104-105
coupes
axiales, 100-103
sagittales, 106-107
TDM, 92-95
- radiale
artériographie, 72-73
IRM, coupes axiales, 81, [82](#), 83
pour la face radiale du pouce, 72
récurrenente, 72
- rectale, supérieure, 143
- récurrenente de Heubner, [28](#)
- rénale, accessoire, 140
- droite
artériographie abdominale, 140
échographie, coupes
sagittales / parasagittales, [136-137](#)
transversales / oblique, 138-139
- IRM, coupes
axiales, 127, 130
frontales (coronales), [132](#)
TDM, coupes axiales
phase artérielle, 122-123
veineuse, 124-126
- gauche
artériographie abdominale, 140
IRM, coupes
axiales, 127
frontales (coronales), [132](#)
sagittales, 129
TDM, coupes axiales
phase artérielle, 122-123
veineuse, 124-126
- principale, 150
- sacrée, latérale, 173
- médiane
artériographie, 173
IRM, coupes sagittales, 169-170
TDM, coupes
frontales (coronales), 162-163
sagittales, 169-170
- septale
angiographie, 111
postérieure, interventriculaire, 111
- sigmoïdienne, 143
- spinale, antérieure
artériographie, 64
antéro-postérieure, [30](#)
- myélographie cervicale, [62](#)
- splénique
artériographie, 141
abdominale, 140
IRM, coupes
axiales, [151](#)
frontales (coronales), [131-132](#)
sagittales, 129
TDM, coupes axiales
phase artérielle, 122-123
veineuse, 124-126
- subclavière, artériographie, [24](#)
- droite, aortographies de la crosse (arc), 105
- gauche
artériographies de l'aorte, 105
échographie, 112-113
IRM, 104-105
coupes
axiales, 100-103
sagittales, 106-107
TDM, 92-95
coupes axiales, 96-97
- submentale, [24](#)
- subscapulaire, 71
- surrénale, supérieure, [151](#)
- suprascapulaire
artériographie(s), [24](#)
de la crosse de l'aorte, 105
- temporale
antérieure, [28](#)
inférieure, [30](#)
postérieure, [30](#)

- artériographie, [28](#)
superficielle
artériographie, [24](#)
IRM, coupes axiales, [34-37](#)
- thoracique
interne
artériographies de la crosse de l'aorte, [105](#)
IRM, coupes axiales, [100-103](#)
TDM, [92-95](#)
latérale, [71](#)
supérieure
artériographie(s), [71](#)
de la crosse de l'aorte, [105](#)
- thoraco-acromiale
artériographie, [71](#)
branche deltoïdienne, [105](#)
- tronc coeliaque
échographie, coupe(s)
sagittale / parasagittale, [136-137](#)
transverse / oblique, [138-139](#)
IRM, coupes
frontales (coronales), [132](#)
sagittales, [129](#)
TDM, coupes axiales
au cours de la phase artérielle, [122-123](#)
de la phase veineuse, [124-126](#)
- thyroïdienne
inférieure
artériographie(s), [24](#)
de la crosse de l'aorte, [105](#)
branches thyroïdiennes, [24](#)
supérieure, [24](#)
- tibiale
antérieure, [194](#)
artériographie, [193](#)
branches musculaires, [193-194](#)
IRM, coupes axiales, [205](#)
postérieure
artériographie, [193-194](#)
branches musculaires, [193-194](#)
IRM, coupes
axiales, [205](#), [206](#), [207](#)
sagittales, [208-209](#)
- ulnaire
artériographie, [72-73](#)
branche
carpienne palmaire, [73](#)
palmaire profonde, [73](#)
récurrenne, [72](#)
- utérine, [173](#)
IRM, coupes axiales, [166-168](#)
- vertébrale
angiographie IRM, [32](#)
artériographie(s)
antéro-postérieure, [30](#)
de la crosse de l'aorte, [105](#)
latérale, [30](#)
branche méningée, [30](#)
gauche, [21](#)
IRM, coupes
axiales, [16-17](#), [22-23](#), [34-37](#)
sagittales, [38](#)
myélographie cervicale, [62](#)
phlébographie, [24](#)
sillon, [53](#)
TDM, coupes axiales, [53](#)
vésicale, supérieure, [173](#)
- Artériographie
axillaire, [71](#)
bronchique droite, [112](#)
de l'abdomen, [140](#)
de la carotide, [28](#)
de la main, [73](#)
du bras, [72](#)
du cou, [24](#)
du pénis, [177](#)
du pied, [194](#)
du tronc coeliaque, [141](#)
fémorale, [193](#)
hépatique, [146](#)
mésentérique
inférieure, [143](#)
supérieure, [142](#), [145](#)
pancréatique, [147](#)
pelvienne, [173](#)
poplitée, [193-194](#)
rénale, [150](#)
scapale, [64](#)
surénale, [151](#)
thoracique, [108-109](#)
thyroïdienne, [24](#)
- Articulation
acetabulum
IRM, coupes sagittales, [198](#)
projection
antéro-postérieure, [185](#)
latérale, [185](#)
voir également à Os
acromio-claviculaire
IRM
après gadolinium, [77-78](#)
coupe(s)
axiales, [74-75](#)
frontale oblique, [76](#)
- atlanto-axiale, [50](#)
TDM, coupes
axiales, [12](#)
frontales (coronales), [14](#)
- atlanto-occipitale, [14](#)
atlanto-sagittale, [13](#)
calcanéo-cuboïdienne, [208-209](#)
costo-transversaire
TDM, [92-95](#)
coupes axiales, [56](#)
- costo-vertébrale
TDM, [92-95](#)
coupes axiales, [56](#)
- cunéo-naviculaire, [208-209](#)
- de la hanche
projection
antéro-postérieure, [185-186](#)
latérale, [185-186](#)
voir aussi à Fémur, Os, Acetabulum
- de l'épaule
bourrelet glénoïdal
antérieur
IRM
après gadolinium, [77-78](#)
coupe(s)
axiales, [74-75](#)
frontale (coronale) oblique, [76](#)
- inférieur
IRM,
après gadolinium, [77-78](#)
coupe(s)
axiales, [74-75](#)
frontale (coronale) oblique, [76](#)
- postérieur
IRM,
après gadolinium, [77-78](#)
coupe(s)
axiales, [74-75](#)
frontale (coronale) oblique, [76](#)
- supérieur
IRM,
après gadolinium, [77-78](#)
coupe(s)
axiales, [74-75](#)
frontale (coronale) oblique, [76](#)
- capsule
antérieure,
IRM,
après gadolinium, [77-78](#)
coupe(s)
axiales, [74-75](#)
frontale (coronale) oblique, [76](#)
- postérieure
IRM,
après gadolinium, [77-78](#)
coupe(s)
axiales, [74-75](#)
frontale (coronale) oblique, [76](#)
- cavité glénoïdale
IRM,
après gadolinium, [77-78](#)
coupe(s)
axiales, [74-75](#)
frontale (coronale) oblique, [76](#)
- centres d'ossification, [68](#)
coiffe des rotateurs
IRM
après gadolinium, [77-78](#)
coupe(s)
axiales, [74-75](#)
frontale (coronale) oblique, [76](#)
- coupe(s)
axiales, [74-75](#)
frontale (coronale) oblique, [76](#)
- IRM, [76-78](#)
coupes axiales, [74-75](#), [78](#)
radiographies, [65](#)
à [1](#) an, [66](#)
à [6](#) ans, [66](#)
à [14](#) ans, [66](#)
- du coude
centres d'ossification, [66](#)
IRM, coupes
axiales, [81](#)
frontales (coronales), [80](#)
sagittales, [79](#)
radiographies, [67](#)
aux âges compris entre [1](#) ans et [14](#) ans, [68](#)
- du cou-de-pied, [189-190](#)
à [3](#) ans, [190](#)
à [5](#) ans, [190](#)
à [13](#) ans, [190](#)
cartilage articulaire, [208-209](#)
centres d'ossification, [190](#)
coussinet adipeux, [208-209](#)
- IRM
coupes
axiales, [206](#)
sagittales, [208-209](#)
tibio-talaire, [208-209](#)
- du genou, [187-188](#)
cartilage articulaire, [202](#)
centres d'ossification, [188](#)
fosse intercondylaire, [203](#)
- IRM
coupes
axiales, [200](#)
frontales (coronales), [203-204](#)
sagittales, [201-202](#)
- ménisques
IRM
coupes
axiales, [203-204](#)
sagittales, [201-202](#)
paquet adipeux infrapatellaire
- IRM
coupes
axiales, [200](#)
sagittales, [201](#)
- du poignet, [69](#)
IRM, coupes axiales, [83](#)
radiographies, [68](#)
- incudo-malléaire
IRM, coupes axiales, [11](#)
TDM, [11](#)
coupes
axiales, [12](#)
sagittales, [13](#)
- sacro-iliaque, [155](#)
droite, [134](#)
IRM, coupes frontales (coronales), [131](#)
TDM, [59](#), [156-157](#)
- sous-talienne
médiale, [208-209](#)
postérieure, [208-209](#)
sterno-claviculaire, [92-95](#)
talo-naviculaire, [208-209](#)
temporo-mandibulaire, [10](#)
gyrus temporal inférieur, [10](#)
tubercule articulaire, [2](#)
- IRM
coupes
frontales (coronales), [19](#)
sagittales, [10](#)
orthopantomographie, [25](#)
- TDM
coupes
axiales, [12](#)
sagittales, [13](#)
- tibio-fibulaire
distale, [189](#)
- IRM
coupes
axiales, [206-207](#)
frontales (coronales), [203-204](#)
sagittales, [201](#), [208-209](#)
zygapophysiales, [55](#), [60](#)
- Atlas
médiante, [39](#)
- arc,
antérieur, [49-50](#)
IRM, coupe(s)
axiales, [16-17](#)
sagittale, [18](#), [20](#), [38](#), [57](#)
médiante, [39](#)
myélographie cervicale, [62](#)
projection
de Townes, [3](#)
latérale, [2](#)
submento-verticale, [4](#)
TDM, coupes
axiales, [6-7](#), [53](#)
projection antéro-postérieure, [50](#)
tubercule antérieur, [53](#)
postérieur, [49](#)
IRM, coupe(s)
axiales, [16-17](#)
sagittale(s), [39](#)
médiante, [20](#), [38](#), [57](#)
TDM, coupes axiales, [39](#)
- colonne articulaire, [53](#)
espace épidual, [53](#)
foramen transversaire, [53](#)
IRM, coupes frontales (coronales), [40-41](#)
lamé, [53](#)
- masse latérale, [50](#)
IRM, coupes
axiales, [16-17](#)
frontales (coronales), [21](#)
myélographie cervicale, [62](#)
projection occipito-frontale, [1](#)
TDM, coupes
axiales, [12](#), [53](#)
frontales, [14](#)
sagittales, [13](#)
- pédicule, [53](#)
- processus
articulaire (facette)
inférieur, [50](#)
TDM, coupes axiales, [53](#)
supérieur, [50](#)
TDM, coupes axiales, [53](#)
- épineux, [49](#)
transverse, [50](#)
TDM, coupes
axiales, [53](#)
frontales (coronales), [14](#)
projection latérale, [49](#)
tubercule postérieur, [49](#)
myélographie cervicale, [62](#)
TDM, coupes axiales, [53](#)
- Auricule
droite, [71](#)
angiographie, [110](#)
bord, [88-89](#)
échographie, [112-113](#)
fœtale, [183](#)
IRM, [102-103](#)
coupes frontales (coronales), [132](#)
TDM, [92-95](#)
- gauche
artériographie, [109](#)
IRM, [104-105](#)
coupes axiales, [100-103](#)
TDM, [92-95](#)
- Avant-bras, IRM, [82](#)
- Axis
articulation atlanto-axiale, [50](#)
TDM, coupes
axiales, [12](#)
frontales (coronales), [14](#)
- corps, [49-50](#)
IRM, coupes
axiales, [16-17](#)
sagittales, [57](#)
TDM, coupes
axiales, [53](#)
frontales (coronales), [14](#)
- processus
épineux, [49](#)
bifide, [50](#)
IRM, coupes sagittales, [20](#)
TDM, coupes axiales, [53](#)
odontoïde (dent), [49-50](#)
IRM, coupe(s)
axiales, [16-17](#), [57](#)
frontales (coronales), [21](#), [40-41](#)
sagittale(s), [18](#), [20](#), [38](#)
médiante, [39](#)

- myélographie cervicale, [62](#)
 projection
 de Townes, [3](#)
 latérale, [2](#)
 occipito-frontale, [1](#)
 submento-verticale, [4](#)
 TDM, coupes
 axiales, [6-7](#), [12](#), [53](#)
 frontales (coronales), [14](#)
 sagittales, [13](#)
 processus
 articulaire supérieur, [50](#)
 transverse, [50](#)
 projection
 antéro-postérieure, [50](#)
 latérale, [49](#)
- B**
 Baiser, [20](#)
 Basi-occiput, [1](#)
 Basi-sphénoïde
 du nouveau-né, [43](#)
 IRM, coupes
 axiales, [48](#)
 frontales (coronales), [19](#)
 sagittales, [18](#), [20](#)
 moelle
 IRM, coupes
 axiales, [16-17](#)
 frontales (coronales), [40-41](#)
 sagittale(s), [46](#)
 médiane, [39](#)
 myélographie cervicale, [62](#)
 projection latérale, [2](#)
 TDM, coupes
 axiales, [6-7](#), [12](#), [14](#)
 sagittales, [13](#)
 Bassin
 à [2](#) mois, [186](#)
 à [1](#) an, [186](#)
 à [11](#) ans, [186](#)
 centres d'ossification, [186](#)
 féminin
 cul-de-sac
 recto-utérin
 échographie transvaginale, [179](#)
 IRM, coupes sagittales, [169-170](#)
 vésico-utérin
 échographie transvaginale, [179](#)
 IRM, coupes sagittales, [169-170](#)
 échographie transvaginale, [179](#)
 hystérosalpingographies, [179](#)
 IRM
 coupes
 axiales, [166-168](#)
 frontales (coronales), [171-172](#)
 sagittales, [179](#)
 projection antéro-postérieure, [155](#)
 vaisseaux, [174](#)
 foramina, voir à Foramina
 lymphographies, [153](#)
 masculin, [177](#)
 projection antéro-postérieure, [155](#)
 TDM
 coupes
 axiales, [158-157](#), [158-159](#), [164-165](#)
 frontales (coronales), [162-163](#)
 sagittales, [160-161](#)
 vaisseaux, [175](#)
 os, voir à Os
 symphyse pubienne, [155](#), [186](#)
 échographie transvaginale, [179](#)
 IRM
 coupes sagittales, [169-170](#)
 projection
 antéro-postérieure, [185](#)
 latérale, [185](#)
 TDM, coupes
 axiales, [158-159](#), [164-165](#), [166-168](#)
 frontales (coronales), [171-172](#)
 tissu adipeux mésentérique
 TDM
 coupes
 axiales, [156-157](#)
 frontales (coronales), [162-163](#)
 vaisseaux, [173-175](#)
 Bronche(s)
 intermédiaire
 bronchographies, [116-117](#)
 TDM, coupes axiales, [96-97](#)
 lobaire
 inférieure
 droite
 TDM, [92-95](#)
 coupes axiales, [98-99](#)
 gauche
 IRM, coupes axiales, [100-103](#)
 TDM, [92-95](#)
 coupes axiales, [96-97](#), [98-99](#)
 segmentaire
 apicale, [98-99](#)
 bronchographies, [116-117](#)
 moyenne
 bronchographies, [116-117](#)
 TDM, coupes axiales, [98-99](#)
 supérieure
 droite
 bronchographies, [116-117](#)
 TDM, [92-95](#)
 gauche
 IRM, coupes axiales, [100-103](#)
 TDM, [92-95](#)
 coupes axiales, [96-97](#)
 principale
 droite, [51](#), [90-91](#)
 bronchographies, [116-117](#)
 IRM, [102-103](#)
 TDM, [92-95](#)
 gauche, [51](#), [90-91](#)
 bronchographies, [116](#)
 IRM, [102-103](#), [104-105](#)
 coupes axiales, [100-103](#)
 TDM, [92-95](#)
 coupes axiales, [96-97](#)
 segmentaire
 antérieure
 bronchographies, [116-117](#)
 TDM, coupes axiales, [96-97](#)
 apicale, [116](#)
 bronchographies, [116-117](#)
 apico-postérieure, [116](#)
 latérale
 basale, [98-99](#), [116-117](#)
 bronchographies, [116](#), [117](#)
 linguale
 inférieure, [98-99](#), [116](#)
 supérieure, [98-99](#), [116](#)
 TDM, coupes axiales, [96-97](#)
 médiale
 basale, [98-99](#), [116-117](#)
 bronchographies, [116](#)
 TDM, coupes axiales, [98-99](#)
 postérieure
 basale, [98-99](#), [116-117](#)
 bronchographies, [116-117](#)
 Bulbe de la veine jugulaire
 artériographie
 antéro-postérieure, [29](#), [31](#)
 latérale, [31](#)
- C**
 Cæcum
 gaz, [119](#)
 repas baryté, [135](#)
 TDM, coupes
 axiales, [156-157](#)
 frontales (coronales), [162-163](#)
 transit intestinal, [134](#)
 Calcanéus, [189](#), [191](#)
 centres d'ossification, [190-191](#)
 IRM, coupes
 axiales, [206-207](#)
 obliques, [210](#)
 frontales (coronales), [211](#)
 sagittales, [208-209](#)
 processus
 latéral, [189](#)
 médial, [189](#)
 tubérosité [206](#), [208-209](#)
 antérieure, [208-209](#)
 Canal(-aux)
 alvéolaire, inférieur, [25](#)
 anal
 échographie transvaginale, [179](#)
 IRM
 coupes
 axiales, [156-157](#)
 frontales (coronales), [162-163](#)
 sagittales, [160-161](#)
 frontales (coronales), [162-163](#)
 sagittales, [160-161](#)
 carotidien
 projection submento-verticale, [4](#)
 TDM
 coupes
 axiales, [12](#), [14](#)
 sagittales, [13](#)
 tomographie, [11](#)
 de Guyon, [83](#)
 de Hunter, [198](#)
 de l'oreille voir à Oreille
 du nerf facial
 TDM
 coupes
 axiales, [12](#), [14](#)
 frontales (coronales), [14](#)
 sagittales, [13](#)
 grand palatin, [6-7](#)
 hypoglosse
 TDM
 coupes
 axiales, [12](#)
 frontales (coronales), [14](#)
 sagittales, [13](#)
 incisif, [6-7](#)
 infra-orbitaire
 TDM
 coupes
 axiales, [26](#)
 frontales (coronales), [8-9](#), [27](#)
 optique
 TDM
 coupes
 axiales, [6-7](#), [26](#)
 frontales (coronales), [8-9](#), [27](#)
 ptérygoïde (vidien)
 TDM
 coupes
 axiales, [14](#)
 frontales (coronales), [14](#)
 spinal, [6-7](#), [92-95](#)
 subsartorial, [198](#)
 Capitulum, [69](#)
 IRM
 coupes
 axiales, [83](#)
 frontales (coronales), [85-86](#)
 Cartilage
 articulaire
 cou-de-pied, [208-209](#)
 genou, [202](#)
 aryénoïde, [20](#), [22-23](#)
 IRM, coupes axiales, [22-23](#)
 cricoïde, [20](#)
 bord antérieur, [22-23](#)
 lame, [22-23](#)
 TDM, coupes axiales, [54](#)
 cunéiforme, [20](#)
 thyroïde, [21](#)
 corne
 inférieure, [22-23](#)
 supérieure, [20](#)
 IRM, coupes axiales, [22-23](#)
 Cavité glénoïdale, [65-66](#)
 IRM
 après gadolinium, [77-78](#)
 coupe(s)
 axiales, [74-75](#)
 frontale oblique, [76](#)
 Cavum de Meckel
 IRM, coupes frontales (coronales), [40-41](#)
 TDM, coupes frontales, [44](#)
 Cellules
 ethmoïdales, [5](#)
 antérieures, [8-9](#)
 IRM, coupes axiales, [15](#), [34-37](#)
 sagittales, [18](#)
 moyennes, [6-7](#), [8-9](#)
 postérieures, [6-7](#), [8-9](#), [26-27](#)
 projection latérale, [2](#)
 occipito-frontale, [1](#)
 TDM
 coupes
 axiales, [6-7](#), [12](#), [14](#)
 coronales (frontales), [27](#)
 sagittales, [13](#)
 mastoïdiennes, [10](#)
 IRM, coupes axiales, [11](#), [34-37](#)
 projection latérale, [2](#)
 TDM, [11](#)
 coupes
 axiales, [6-7](#), [12](#), [14](#)
 frontales (coronales), [14](#)
 sagittales, [13](#)
 Centres d'ossification
 bassin, [186](#)
 calcanéus, [190](#), [191](#)
 coude, [66](#)
 cou-de-pied, [190](#)
 fémur, [186](#), [188](#)
 fibula, [188](#), [190](#), [191](#)
 genou, [188](#)
 grand trochanter, [186](#)
 humérus, [67](#), [68](#)
 main, [70](#)
 métacarpiens, [70](#)
 métatarsiens, [191](#)
 petit trochanter, [186](#)
 phalanges, [191](#)
 pied, [192](#)
 radius, [68](#), [70](#)
 rotule, [188](#)
 scapula, [66](#)
 tibia, [188](#), [190](#), [191](#)
 ulna, [68](#), [70](#)
 Cerveau
 aqueduc du mésencéphale (Sylvius)
 IRM
 coupe(s)
 axiales, [34-37](#)
 frontales (coronales), [40-41](#)
 sagittale(s), [47](#)
 médiane, [39](#)
 capsule
 externe
 IRM
 coupes
 axiales, [34-37](#)
 frontales, [40-41](#)
 interne
 bras
 antérieur, [34-37](#)
 postérieur, [34-37](#)
 IRM, coupes frontales (coronales)
 40-41
 cavité
 du septum pellucidum
 du nouveau-né, [42-43](#)
 échographie foetale, [182](#)
 IRM, coupes frontales (coronales)
 40-41
 centre semi-ovale, [34-37](#)
 citerne
 ambiante
 IRM
 coupes
 axiales, [34-37](#)
 frontales (coronales), [40-41](#)
 cérébello-pontique, [34-37](#)
 interhémisphérique, [40-41](#)
 interpedunculaire
 IRM
 coupes
 axiales, [34-37](#)
 frontales (coronales), [40-41](#)
 sagittales, [47](#)
 prépondique
 IRM
 coupe(s)
 axiales, [34-37](#)
 frontales (coronales), [40-41](#)
 sagittale(s), [38](#), [46-47](#)
 médiane, [39](#)
 quadrigémale
 IRM
 coupe(s)
 axiales, [34-37](#)
 frontales (coronales), [40-41](#)
 sagittale(s), [46](#)
 médiane, [39](#)
 suprasellaire, [34-37](#)
 claustrum
 IRM
 coupes
 axiales, [156-157](#)
 frontales (coronales), [162-163](#)
 sagittales, [160-161](#)

- coupes
 - axiales, [34-37](#)
 - frontales (coronales), 40-41
- collicule
 - inférieur
 - IRM
 - coupes
 - axiales, [34-37](#)
 - frontales (coronales), 40-41
 - sagittales, [38](#)
 - supérieur
 - IRM
 - coupes
 - axiales, [34-37](#)
 - frontales (coronales), 40-41
 - sagittales, [38](#)
 - commissure antérieure
 - IRM
 - coupe(s)
 - axiales, [22-23](#)
 - sagittale médiane, [39](#)
 - postérieure, [39](#)
 - corona radiata
 - IRM
 - coupes
 - axiales, [34-37](#)
 - sagittales, [38](#)
 - corps calleux
 - corps
 - du nouveau-né, [43](#)
 - IRM
 - coupe(s)
 - frontales (coronales), 40-41
 - sagittale(s), [38](#), [46](#)
 - médiane, [39](#)
 - du nouveau-né, [42](#)
 - genou
 - du nouveau-né, [43](#)
 - IRM
 - coupe(s)
 - axiales, [34-37](#)
 - sagittale(s), [38](#), [46](#)
 - médiane, [39](#)
 - splénium
 - du nouveau-né, [43](#)
 - IRM
 - coupe(s)
 - axiales, [34-37](#)
 - frontales (coronales), 40-41
 - sagittale(s), [38](#), [46](#)
 - médiane, [39](#)
 - IRM, coupes frontales (coronales), [45](#)
 - mamillaire
 - IRM
 - coupe(s)
 - sagittale(s), 46-47
 - médiane, [39](#)
 - pinéal
 - IRM
 - coupe(s)
 - frontales (coronales), 40-41
 - sagittale, médiane, [39](#)
 - dure-mère, [34-37](#)
 - espace subarachnoïdien
 - IRM, coupes axiales, [55](#)
 - liquide cérébro-spinal, [16-17](#), [57](#)
 - TDM, coupes axiales, [53](#)
 - faux du cerveau
 - du nouveau-né, [42](#)
 - IRM, coupes axiales, [34-37](#)
 - fissure interhémisphérique, [45](#)
 - foramen interventriculaire de Monro
 - IRM
 - coupe(s)
 - axiales, [34-37](#)
 - sagittale(s), [38](#)
 - médiane, [39](#)
 - forceps
 - major, [34-37](#)
 - minor, [34-37](#)
 - fornix
 - corps, [44](#)
 - IRM
 - coupe(s)
 - axiales, [34-37](#)
 - frontales, 40-41
 - sagittale médiane, [39](#)
 - globus pallidus, [34-37](#)
 - fosse pituitaire, voir à Fosse pituitaire
 - glande pituitaire, voir à Glande pituitaire
 - grande citerne
 - chez le fœtus, 182
 - IRM
 - coupe(s)
 - frontales (coronales), 40-41
 - sagittale(s), [38](#), [47](#)
 - médiane, [39](#)
 - myélographie cervicale, [62](#)
 - gyrus
 - du cingulum
 - IRM
 - coupe(s)
 - axiales, [34-37](#)
 - frontales (coronales), [45](#)
 - sagittale(s), [38](#)
 - médiane, [39](#)
 - frontal, supérieur, [34-37](#)
 - parahippocampal, [34-37](#)
 - postcentral, [34-37](#)
 - hémisphère
 - cérébral, [14](#)
 - hippocampe, 40-41
 - insula
 - gyri, [34-37](#)
 - IRM
 - coupes
 - axiales, 34-37
 - frontales (coronales), 40-41, [45](#)
 - IRM
 - coupe(s)
 - frontales (coronales), 40-41
 - sagittale(s), [38](#)
 - médiane, [39](#)
 - lamme terminale, [39](#)
 - lobe
 - frontal
 - cortex orbitaire, [38](#)
 - du nouveau-né, [43](#)
 - IRM
 - coupes
 - axiales, 34-37
 - sagittales, [18](#)
 - occipital
 - du nouveau-né, [43](#)
 - IRM, coupes axiales, 34-37
 - pariétal
 - du nouveau-né, 42-43
 - IRM, coupes frontales (coronales), [45](#)
 - temporal
 - du nouveau-né, 42-43
 - IRM
 - coupes
 - axiales, [11](#), 34-37
 - frontales (coronales), 40-41, [45](#)
 - sagittales, [18](#), [38](#)
 - TDM, [11](#)
 - coupes
 - axiales, [6-7](#), [12](#), [26](#)
 - frontales (coronales), [8-9](#), [27](#), [44](#)
 - sagittales, [13](#)
 - mésencéphale
 - IRM, coupes axiales, 34-37
 - lamme quadrijumelle, [39](#), [46](#)
 - pédoncules cérébraux, [39](#)
 - moelle
 - allongée
 - IRM
 - coupe(s)
 - axiales, [16-17](#), 34-37
 - frontales (coronales), 40-41
 - sagittale(s), [18](#), [20](#), [38](#), [46](#)
 - médiane, [39](#)
 - pyramide, 34-37
 - nouveau-né
 - échographie
 - frontale (coronale), [42](#)
 - sagittale, [43](#)
 - noyau
 - caudé,
 - corps, 40-41
 - du nouveau-né, [42-43](#)
 - IRM, coupes axiales, 34-37
 - tête
 - du nouveau-né, 42-43
 - IRM
 - coupes
 - axiales, 34-37
 - sagittales, [38](#)
 - frontales (coronales), 40-41
 - denté, 34-37
 - lenticulaire
 - IRM
 - coupes
 - frontales (coronales), 40-41
 - sagittales, [38](#)
 - pédoncule cérébral
 - IRM
 - coupes
 - axiales, 34-37
 - frontales (coronales), 40-41
 - sagittales, [38](#)
 - plexus choroïde
 - du nouveau-né, [42-43](#)
 - fœtal, 182
 - IRM, coupes frontales (coronales), 40-41
 - TDM, coupes frontales (coronales), [44](#)
 - pont
 - IRM
 - coupe(s)
 - axiales, [11](#), 34-37, [48](#)
 - frontales (coronales), 40-41
 - sagittale(s), [18](#), [38](#), [46](#)
 - médiane, [39](#)
 - tegmen, [38-39](#)
 - TDM, [11](#)
 - putamen, 34-37
 - scissure de Sylvius
 - du nouveau-né, [42](#)
 - IRM
 - coupes
 - axiales, 34-37
 - frontales (coronales), 40-41, [45](#)
 - sagittales, [38](#)
 - TDM, coupes frontales (coronales), [44](#)
 - selle turque voir à Fosse pituitaire
 - (selle turque)
 - septum pellucidum
 - IRM
 - coupes
 - axiales, 34-37
 - frontales (coronales), [45](#)
 - sillon
 - central de Rolando, 34-37, [38](#)
 - du cingulum, [38](#)
 - latéral, 34-37
 - substance
 - blanche, 34-37
 - grise, 34-37
 - noire, 34-37
 - tente du cervelet
 - IRM
 - coupe(s)
 - frontales (coronales), 40-41
 - sagittale(s), [38](#)
 - médiane, [39](#)
 - TDM, coupes frontales (coronales), [14](#)
 - thalamus
 - du fœtus, 182
 - du nouveau-né, 42-43
 - IRM
 - coupes
 - axiales, 34-37
 - frontales (coronales), 40-41
 - sagittales, 46-47
 - tonsille cérébelleuse, [57](#)
 - troisième ventricule
 - du nouveau-né, 42-43
 - IRM
 - coupe(s)
 - axiales, 34-37
 - frontales (coronales), 40-41, [45](#)
 - sagittale(s), [38](#)
 - médiane, [39](#)
 - récessus suprasellaire, 40-41
 - TDM, coupes frontales (coronales), [44](#)
 - ventricule, latéral
 - corne
 - antérieure, [45](#)
 - frontale, 34-37
 - inférieure (temporale), 34-37, 40-41
 - postérieure (occipitale), 34-37
 - corps, [34-37](#), [38](#), 40-41
 - du nouveau-né, 42-43
 - IRM
 - coupe(s)
 - frontales (coronales), 40-41
 - sagittale(s), [38](#), [46](#)
 - médiane, [39](#)
 - plexus choroïde
 - du nouveau-né, [42-43](#)
 - fœtal, 182
 - IRM, coupes frontales (coronales), 40-41
 - TDM, coupes frontales (coronales), [44](#)
 - pont
 - IRM
 - coupe(s)
 - axiales, [11](#), 48
 - frontales (coronales), 40-41
 - sagittale(s), [18](#), [38](#)
 - médiane, [39](#)
 - TDM, [11](#)
 - coupes
 - axiales, [14](#)
 - IRM, coupes sagittales, [38](#)
 - nodule
 - IRM
 - coupes
 - axiales, 34-37
 - frontales (coronales), 40-41
 - pédoncule
 - inférieur
 - IRM
 - coupes
 - axiales, 34-37
 - sagittales, [38](#)
 - moyen
 - IRM
 - coupes
 - axiales, 48
 - frontales (coronales), 40-41
 - sagittales, [38](#)
 - supérieur
 - IRM
 - coupes
 - axiales, 34-37
 - sagittales, [38](#)
 - TDM
 - coupes
 - axiales, [12](#)
 - sagittales, [13](#)
 - tonsilles
 - IRM
 - coupe(s)
 - axiales, [16-17](#), 34-37
 - sagittale(s), [20](#)
 - médiane, [39](#)
 - vermis
 - inférieur, [16-17](#), 34-37
 - supérieur, 34-37
 - Clavicule, [51](#), [65-66](#), [88-89](#)
 - IRM, 104-105
 - après gadolinium, 77-78
 - coupes
 - axiales, 74-75, 100-103
 - frontales (coronales) obliques, 76
 - TDM, 92-95
 - Clitoris, 171-172
 - Clivus
 - du nouveau-né, [43](#)
 - IRM
 - coupes
 - axiales, 48
 - frontales (coronales), [19](#)
 - sagittales, [18](#), [20](#)
 - moelle
 - IRM
 - coupes
 - axiales, [16-17](#)
 - frontales (coronales), 40-41
 - sagittale(s), [46](#)
 - médiane, [39](#)
 - myélographie cervicale, [62](#)

- projection latérale, [2](#)
TDM
- coupes
 - axiales, [6-7](#), [12](#), [14](#)
 - sagittales, [13](#)
- Coccyx, [155](#)
échographie transvaginale, [179](#)
IRM, coupes sagittales, [169-170](#)
TDM
- coupes
 - axiales, [158-159](#), [164-165](#), [166-168](#)
 - sagittales, [160-161](#)
- Cœur
- angiographies, [110-111](#)
 - échographie, [112-113](#)
 - myocarde, [112-113](#)
 - oreillettes, voir à Oreillette(s)
 - péricarde, voir à Péricarde
 - récessus péricardique supérieur, [92-95](#)
 - TDM, coupes axiales, [98-99](#)
 - valves
 - aortique, [88-89](#), [90-91](#)
 - angiographie, [111](#)
 - aortographies de la crosse de l'aorte, [105](#)
 - échographie, [112-113](#)
 - IRM, [104-105](#)
 - coupes
 - axiales, [100-103](#)
 - sagittales, [106-107](#)
 - TDM, [92-95](#)
 - mitrale, [88-89](#), [90-91](#)
 - artériographie, [111](#)
 - du fœtus, [183](#)
 - échographie, [112-113](#)
 - IRM, [102-103](#)
 - TDM, [92-95](#)
 - pulmonaire, [88-89](#), [90-91](#)
 - angiographie, [110](#)
 - échographie, [112-113](#)
 - IRM, [102-103](#)
 - tricuspide, [88-89](#), [90-91](#)
 - angiographie, [110](#)
 - du fœtus, [183](#)
 - échographie, [183](#)
 - TDM, [92-95](#)
 - ventricules voir à Ventricule(s)
- Col
- canal
 - cervical
 - ostium
 - externe, [169-170](#)
 - interne, [169-170](#)
 - IRM, coupes sagittales, [169-170](#)
 - endocervical, [169-170](#)
 - échographie
 - foetale, [180-181](#)
 - transvaginale, [179](#)
 - hystérosalpingographie, [179](#)
 - ostium
 - externe, [166-168](#)
 - interne, [166-168](#)
 - paroi
 - échographie transvaginale, [179](#)
 - IRM, coupes sagittales, [169-170](#)
 - TDM, coupes axiales, [166-168](#)
 - Collicule séminal (verumontanum)
 - urétrographie, [177](#)
 - vésiculographie séminale, [176](#)
- Côlon
- ascendant
 - IRM, coupes axiales, [127](#), [128](#), [130](#)
 - lavement baryté, [135](#)
 - TDM, coupes
 - axiales, [156-157](#)
 - phase artérielle d'une angiographie, [122-123](#)
 - veineuse d'une angiographie, [124-126](#)
 - urographie, [149](#)
 - bosseilles (haustrations), [135](#)
 - descendant
 - IRM
 - coupes
 - axiales, [127](#), [128](#)
 - frontales (coronales), [132](#)
 - lavement baryté, [135](#)
 - TDM
 - coupes
 - axiales, [156-157](#), [158-159](#), [166-168](#)
 - frontales (coronales), [162-163](#)
 - sagittales, [160-161](#)
 - transverse
 - IRM
 - coupes
 - axiales, [130](#)
 - frontales (coronales), [132](#)
 - sagittales, [129](#)
 - lavement baryté, [135](#)
 - TDM, coupes axiales
 - phase artérielle d'une angiographie, [122-123](#)
 - veineuse d'une angiographie, [124-126](#)
- Colonne vertébrale, [49-64](#)
canal, [6-7](#), [92-95](#)
cervicale, [49](#)
branche
 - dorsale, [54](#)
 - ventrale, [54](#)
ganglion de la racine dorsale, [55](#)
IRM, coupes axiales, [55](#)
myélographie, [62](#)
projection oblique, [50](#)
sinus piriforme, [54](#)
TDM, coupes axiales, [53-54](#)
disques intervertébraux, [51](#), [54](#)
anneau fibreux, [58](#), [60](#), [61](#)
IRM
 - coupes
 - axiales, [60](#), [128](#)
 - frontales (coronales), [21](#), [131](#)
 - sagittales, [20](#), [129](#), [169-170](#)
 - nucélus pulposus, [57](#), [58](#), [61](#)- TDM
 - coupes
 - axiales, [59](#)
 - sagittales, [160-161](#)
- du fœtus, [182](#), [183](#)
- graisse sous-occipitale, [57](#)
- IRM, coupes sagittales, [57](#)
- lombaire
 - dure-mère, [60](#)
 - espace
 - épidural, [61](#)
 - subarachnoïdien, [63](#)
 - fissure
 - internucléaire, [61](#)
 - médiane antérieure, [63](#)
 - graisse durale, [59](#)
 - projection
 - antéro-postérieure, [52](#)
 - latérale, [52](#)
 - oblique, [52](#)
 - IRM, coupes axiales, [60](#)
 - liquide cérébro-spinal, [61](#)
 - partie interarticulaire, [52](#)
 - queue de cheval, [61](#)
 - sac dural, [58](#), [61](#)
 - TDM, coupes axiales, [58-59](#)
 - tissu adipeux rétropéritonéal, [60](#)
 - vaisseaux radiculaires, [61](#)
- lombo-sacrée
 - IRM
 - coupes
 - frontales (coronales), [61](#)
 - parasagittales, [61](#)
- sagittales, [61](#)
- thoracique
 - espace épidural, [56](#)
 - projection
 - antéro-postérieure, [51](#)
 - latérale, [51](#)
 - TDM, coupes axiales, [56](#)
 - tissu mou prévertébral, [53](#)
 - voir également à Moelle épinière
- Conduit(s)
 - cholédoque, [121](#)
 - échographies
 - sagittales / parasagittales, [136-137](#)
 - transversales / obliques, [138-139](#)
 - IRM
 - coupes
 - axiales, [151](#)
 - frontales (coronales), [132](#)
 - TDM, coupes axiales
 - phase artérielle d'une angiographie, [122-123](#)
 - veineuse d'une angiographie, [124-126](#)
 - cystique, [121](#)
 - échographies
 - sagittales / parasagittales, [136-137](#)
 - transversales / obliques, [138-139](#)
 - déférent
 - ampoule, [176](#)
 - échographie, [176](#)
 - TDM, coupes frontales (coronales), [162-163](#)
 - vésiculographie séminale, [176](#)
 - de Santorini, [121](#)
 - de Stensen, [25](#)
 - de Wharton, [25](#)
 - éjaculateur
 - échographie, [176](#)
 - TDM, coupes sagittales, [160-161](#)
 - vésiculographie séminale, [176](#)
 - hépatique, [121](#)
 - commun, [121](#)
 - droit, [121](#)
 - gauche, [121](#)
 - lacrymo-nasal
 - TDM
 - coupes
 - axiales, [6-7](#), [26](#)
 - frontales (coronales), [8-9](#), [27](#), [44](#)
 - lactifères, [118](#)
 - lobaires, [118](#)
 - pancréatique
 - accessoire, [147](#)
 - intra-lobulaire, [147](#)
 - principal, [121](#)
 - ERCP [147](#)
 - TDM, coupes axiales
 - phase artérielle d'une artériographie, [122-123](#)
 - veineuse d'une artériographie, [124-126](#)
 - parotidien
 - IRM, coupes axiales, [16-17](#)
 - sialographie, [25](#)
 - thoracique, [152](#)
 - Condyle articulaire, [14](#)
 - Confluent des sinus
 - angiographie IRM, [33](#)
 - artériographie latérale, [29](#)
 - IRM, coupes axiales, [34-37](#)
 - Cordon
 - ombilical
 - échographie, [182](#), [183](#)
 - spermatique
 - IRM, [178](#)
 - TDM
 - coupes
 - axiales, [158-159](#), [164-165](#)
 - frontales (coronales), [162-163](#)
 - sagittales, [160-161](#)
 - Cordes vocales
 - IRM, coupes axiales, [22-23](#)
 - plis vestibulaires (fausses cordes vocales), [20](#), [21](#)
 - IRM, coupes axiales, [22-23](#)
 - Cornet nasal
 - inférieur, [1](#)
 - IRM
 - coupes
 - axiales, [16-17](#)
 - sagittales, [18](#)
 - TDM
 - coupes
 - axiales, [6-7](#), [26](#)
 - frontales (coronales), [8-9](#), [27](#)
 - moyen
 - IRM, coupes sagittales, [18](#)
 - Projection occipito-frontale, [1](#)
 - TDM
 - coupes
 - axiales, [6-7](#), [26](#)
 - frontales (coronales), [8-9](#), [27](#)
 - supérieur
 - IRM, coupes sagittales, [18](#)
 - TDM
 - coupes
 - axiales, [26](#)
 - frontales (coronales), [27](#)
 - Côte(s), [51](#)
cervicale, [87](#)
col, [56](#)
douzième, [52](#), [63](#), [119](#)
foetale, [182](#)
première, [50](#), [51](#), [62](#), [88-89](#)
tête, [56](#), [92-95](#)
tubercule, [56](#)
 - Cou
 - angiographie, [24](#)
 - tissus mous, [20](#)
 - vaisseaux, [24](#)
 - Crâne
 - base, [14](#)
 - TDM, coupes axiales, [6-7](#)
 - du fœtus, [182](#)
 - occiput, [62](#)
 - os, voir aux Os
 - projection
 - de Townes, [3](#)
 - latérale, [2](#)
 - occipito-frontale, [1](#)
 - submento-verticale, [4](#)
 - voir aussi à Sutures du crâne
 - sutures, voir à Sutures du crâne
 - synchondrose basi-sphénoïde
 - projection latérale, [2](#)
 - TDM, coupes axiales, [14](#)
 - TDM, coupes frontales (coronales), [14](#)
 - Crête
 - falciforme, [12](#), [13](#)
 - iliaque, [155](#)
 - Crista galli
 - projection fronto-occipitale, [1](#)
 - TDM
 - coupes
 - axiales, [6-7](#), [26](#)
 - frontales (coronales), [8-9](#), [27](#)

D

Dent(s)

 - canines, [25](#)
 - chambre pulpaire, [25](#)
 - incisive(s)
 - latérale, [25](#)
 - IRM, coupes sagittales, [18](#)
 - orthopantomographie, [25](#)
 - lamina propria, [25](#)
 - molaires
 - orthopantomographie, [25](#)
 - racines, [16-17](#)
 - supérieures, [18](#)
 - prémolaires, [25](#)

Diaphragme

 - artériographie, [151](#)
 - IRM
 - coupes
 - axiales, [130](#)
 - frontales (coronales), [132](#)
 - pilier (coupole), droit, [88-89](#), [90-91](#)
 - échographies
 - sagittales / parasagittales, [136-137](#)
 - transversales / obliques, [138-139](#)
 - IRM
 - coupes
 - axiales, [127](#), [151](#)
 - frontales (coronales), [131-132](#)
 - sagittales, [129](#)
 - TDM, [92-95](#)

- coupes axiales
phase artérielle d'une angiographie, 122-123
veineuse d'une angiographie, 124-126
- gauche, 88-89, 90-91
- échographies
sagittales / parasagittales, 136-137
- transversales / obliques, 138-139
- IRM
coupes
axiales, 127, 151
frontales (coronales), 131-132
sagittales, 129
- TDM, 92-95
coupes axiales
phase artérielle d'une angiographie, 122-123
veineuse d'une angiographie, 124-126
- TDM, coupes axiales, phase artérielle d'une angiographie, 122-123
urogénéral, 171-172
- Diploé
IRM, coupes axiales, 34-37
projection latérale, 2
- TDM, coupes frontales (coronales), 8-9
- Disque articulaire, 10
- IRM, coupes sagittales, 10
- Dos de la selle
IRM, coupes axiales, 34-37
projection latérale, 2
- TDM
coupes
axiales, 6-7, 12, 26
frontales (coronales), 8-9, 27, 44
sagittales, 13
- Duodénum
bulbe
repas barytés, 133
urographie, 149
- descendant
IRM
coupes
axiales, 130
frontales, 132
repas barytés, 133
à double contraste, 133
- TDM, coupe axiale
phase artérielle d'une artériographie, 122-123
veineuse d'une artériographie, 124-126
- horizontal
IRM
coupes
axiales, 127, 130
sagittales, 129
repas barytés, 133
- TDM, coupe axiale
phase artérielle d'une artériographie, 122-123
veineuse d'une artériographie, 124-126
- partie supérieure, 120
- supérieur
TDM, coupe axiale
phase artérielle d'une artériographie, 122-123
veineuse d'une artériographie, 124-126
- E**
- Échographie
de l'abdomen, 136-139
fœtale, 180-183
transvaginale, 179
- Éminence pyramidale
TDM
coupes
axiales, 12
sagittales, 13
- Enclume, 10
- IRM, coupes axiales, 11
- TDM, 11
coupes
axiales, 12
sagittales, 13
- tomodensitométrie, 11
- Endomètre voir Utérus
- Épididyme
TDM
coupes
axiales, 158-159
sagittales, 160-161
- Épiglotte, 20
- espace pré-épiglottique, 22-23
- IRM
coupes
axiales, 22-23
frontales (coronales), 19
sagittales, 18, 20
vallécules, 22-23
- Épine
carotico-jugulaire, 14
iliaque, antérieure et inférieure, 155
projection
antéro-postérieure, 185
latérale, 185
- nasale antérieure, orthopantomographie, 25
- ERCP (endoscopie cholangio pancréatographique endoscopie rétrograde), 147
- Espace
épidural
atlas, 53
lominaire, 61
thoracique, 56
glottique, 22
subglottique, 22-23
prévertébral, 22-23
- Estomac
antre
radiographie en décubitus dorsal, 120
repas barytés, 133
canal pylorique, 133
- corps
IRM, coupes sagittales, 129
repas barytés, 133
- TDM, coupes axiales
phase artérielle d'une artériographie, 122-123
veineuse, d'une artériographie, 124-126
- du fœtus, 182, 183
- fundus
IRM, coupes sagittales, 129
radiographie en décubitus dorsal, 120
repas barytés, 133
- TDM, coupes axiales
phase artérielle d'une artériographie, 122-123
veineuse, d'une artériographie, 124-126
- grande courbure
radiographie en décubitus dorsal, 120
repas barytés, 133
- TDM, coupes axiales
phase artérielle d'une artériographie, 122-123
veineuse, d'une artériographie, 124-126
- partie pylorique
IRM, coupes axiales, 130
- TDM, coupes axiales
phase artérielle d'une artériographie, 122-123
veineuse, d'une artériographie, 124-126
- petite courbure
radiographie en décubitus dorsal, 120
repas barytés, 133
- TDM, coupes axiales
phase artérielle d'une artériographie, 122-123
veineuse, d'une artériographie, 124-126
- plis
radiographie en décubitus dorsal, 120
repas barytés, 133
- repas barytés avec double contraste, 133
- TDM, coupes axiales, 98-99
- transit baryté, 134
- urographie, 149
- Étrier
TDM
coupes
axiales, 12
- sagittales, 13
- F
- Faux du cerveau, fœtus, 182
- Fémur, 186, 188
- centres d'ossification, 186, 188
- col, 186
- IRM, coupes frontales (coronales), 199
- projection
antéro-postérieure, 185
latérale, 185
- TDM, coupes axiales, 158-159, 164-165
- condyle
latéral, 187
- IRM
coupes
axiales, 200
frontales (coronales), 203, 204
sagittales, 201
- médial, 187
- IRM
coupes
axiales, 200
frontales (coronales), 203, 204
sagittales, 202
- crête intertrochantérique, 185
- épicondyle
latéral, 187
médial, 187
- extrémité distale, 187
- foetal, 185
- fosse intercondyloire, 187
- grand trochanter
centre d'ossification, 186
- IRM
coupes
axiales, 158-159, 164-165
frontales, 199
- projection
antéro-postérieure, 185
latérale, 185
- IRM
coupes
axiales, 196-197, 200
sagittales, 198, 201, 202
- ligne
épiphysaire, 186, 188
- projection
antéro-postérieure, 185
latérale, 185
- intertrochantérique, 185
- petit trochanter
centre d'ossification, 186
- projection
antéro-postérieure, 185
latérale, 185
- TDM, coupes axiales, 158-159
- tête
IRM
coupes
frontales (coronales), 171-172, 199
sagittales, 169-170, 198
- projection
antéro-postérieure, 185
latérale, 185
- TDM
coupes
axiales, 164-165, 166-168
frontales, 162-163
- urétrographie, 177
- Fibula, 188, 189, 190
- apex, 187
- centres d'ossification, 188, 190, 191
- IRM
coupes
axiales, 205, 206, 207
frontales (coronales), 211
sagittales, 208-209
- ligne épiphysaire, 187
- tête, 187
- IRM
coupe(s)
axiales, 200
frontales (coronales), 203, 204
oblique axiale, 210
sagittales, 201
- Fissure
- azygos, 87
- de Sylvius, voir Cerveau
- du ligament veineux
TDM, coupes axiales
phase artérielle d'une artériographie, 122-123
veineuse d'une artériographie, 124-126
- interhémisphérique, voir Cerveau
- oblique gauche, 90-91
- orbitaire
inférieure
TDM
coupes
axiales, 6-7, 14, 26
frontales (coronales), 8-9, 27
- supérieure
IRM, coupes axiales, 11
projection occipito-frontale, 1
- TDM, 11
coupes
axiales, 6-7, 12, 26
frontales (coronales), 8-9, 27
sagittales, 13
- panéto-occipitale, 39
- péto-occipitale
TDM
coupes
axiales, 12, 14
sagittales, 13
- ptérygo-maxillaire
IRM
coupes
axiales, 16-17
sagittales, 18
- TDM, coupes axiales, 6-7, 14
- Fœtus, 180-181
- Foie
conduits, voir a Conduits, hépatiques
- du fœtus, 182, 183
- lobe
caudé
IRM
coupes
axiales, 130, 151
frontales (coronales), 132
- droit
échographie(s), 112-113
sagittale / parasagittale, 136-137
transversale / oblique, 138-139
- IRM
coupes
axiales, 151
frontales (coronales), 131
- segment
antérieur
IRM
coupes
axiales, 130
frontales (coronales), 132
- postérieur
IRM
coupes
axiales, 127, 130
frontales (coronales), 131
- TDM, coupes axiales,
phase artérielle d'une artériographie, 122-123
veineuse d'une artériographie, 124-126
- TDM, 92-95
coupes axiales
phase artérielle d'une artériographie, 122-123
veineuse d'une artériographie, 124-126
- urographie, 149
- gauche
échographie(s), 112-113
sagittale / parasagittale, 136-137
transversale / oblique, 138-139
- segment
latéral
IRM, coupes axiales, 130
- TDM, coupes axiales
phase artérielle d'une artériographie, 122-123
veineuse d'une artériographie, 124-126

- médial
IRM
coupes
axiales, [151](#)
sagittales, [129](#)
TDM, coupes axiales
phase artérielle d'une artériographie, [122-123](#)
veineuse d'une artériographie, [124-126](#)
- IRM, [102-103](#)
parenchyme, [146](#)
porte hépatique, [132](#)
TDM, coupes axiales, [98-99](#)
vaisseaux, [146](#)
- Foramen (-ina)
déchiré
projection submento-verticale, [4](#)
TDM
coupes
axiales, [14](#)
frontales, [8-9](#), [44](#)
de Rosenmüller, [44](#)
épineux
projection submento-verticale, [4](#)
TDM, coupes axiales, [6-7](#), [14](#)
grand palatin, [4](#)
infra-orbitaire, [5](#)
intervertébral, [54](#)
IRM, [61](#)
coupes axiales, [55](#), [60](#)
TDM, coupes axiales, [54](#), [56](#), [58](#)
jugulaire
projection submento-verticale, [4](#)
TDM
coupes
axiales, [12](#), [14](#)
sagittales, [13](#)
- magnum
bord
antérieur, [62](#)
postérieur, [57](#)
IRM
coupe(s)
sagittale(s), [18](#), [38](#)
médiane, [39](#)
projection
de Townes, [3](#)
submento-verticale, [4](#)
mentonnier, orthopantomographie, [25](#)
obturateur, [155](#)
projection
antéro-postérieure, [185](#)
latérale, [185](#)
optique, [18](#)
ovale
projection submento-verticale, [4](#)
TDM
coupes
axiales, [6-7](#), [12](#), [14](#)
frontales (coronales), [8-9](#), [44](#)
sagittales, [13](#)
- rond, [1](#)
sacral
antérieur, [155](#)
dorsal, [156-157](#)
TDM, coupes axiales, [156-157](#)
ventral, [156-157](#)
stylo-mastoidien
TDM
coupes
axiales, [12](#)
frontales (coronales), [14](#)
sagittales, [14](#)
transversaire
myélographie cervicale, [62](#)
TDM, coupes axiales, [54](#)
- Fosse
acétabulaire, [169-170](#)
crânienne moyenne
TDM
coupes
axiales, [6-7](#)
frontales (coronales), [44](#)
infratemporelle
graisse dans, [16-17](#)
TDM
coupes
axiales, [6-7](#)
frontales (coronales), [8-9](#)
- ischio-anale
IRM
coupes
frontales (coronales), [199](#)
sagittales, [169-170](#)
TDM
coupes
axiales, [158-159](#), [164-165](#)
frontales (coronales), [199](#)
sagittales, [169-170](#)
jugulaire
TDM
coupes
axiales, [12](#)
frontales (coronales), [14](#)
sagittales, [13](#)
mandibulaire, [10](#)
IRM, coupes sagittales, [10](#)
TDM, coupes axiales, [14](#)
pituitaire (selle turque), [5](#)
à 7 ans, [2](#)
à 23 ans, [2](#)
cistère suprasellaire
IRM
coupes
frontales (coronales), [40-41](#), [45](#)
sagittales, [46-47](#)
TDM, coupes frontales (coronales), [44](#)
IRM
coupes
axiales, [48](#)
frontales (coronales), [45](#)
sagittales, [46-47](#)
plancher
IRM, coupes frontales (coronales), [44](#)
projection
latérale, [2](#)
occipito-frontale, [1](#)
projection occipito-frontale, [1](#)
TDM, coupes frontales (coronales), [44](#)
postérieure, [14](#)
ptérygoïde, [6-7](#)
ptérygo-palatine
IRM, coupes sagittales, [18](#)
TDM
coupes
axiales, [14](#)
frontales (coronales), [8-9](#)
- G**
Ganglion(s)
basaux
globus pallidus, [34-37](#)
noyau
caudé, voir à Cerveau
lenticulaire, [38](#), [40-41](#)
putamen, [34-37](#)
voir également à Cerveau, thalamus
géniculé
IRM, coupes axiales, [11](#)
TDM, [11](#)
coupes
axiales, [12](#)
sagittales, [13](#)
trigéminal (Gasser)
IRM, coupes frontales (coronales), [40-41](#)
TDM, coupes frontales (coronales), [44](#)
- Glande(s)
lacrymales
cathéters, [15](#)
punctum lacrymal, [15](#)
sac lacrymal, [15](#)
TDM
coupes
axiales, [26](#)
frontales (coronales), [27](#)
TDM
coupes
axiales, [26](#)
frontales (coronales), [27](#)
pinéale, [39](#), [40-41](#)
pituitaire
antérieure, [46](#)
IRM
coupe(s)
axiales, [34-37](#)
frontales (coronales), [40-41](#), [45](#)
sagittales, [38](#), [47](#)
médiane, [39](#)
postérieure, [46](#), [47](#)
tige
IRM
coupes
frontales (coronales), [19](#), [40-41](#), [45](#)
sagittales, [46](#), [47](#)
TDM, coupes frontales (coronales), [44](#)
TDM
coupes
axiales, [26](#)
frontales (coronales), [40-41](#), [45](#)
sagittales, [22-23](#)
parotide voir à Parotide
sublinguale, [22-23](#)
submandibulaire
conduit principal, [25](#)
gauche, [21](#)
IRM
coupes
axiales, [16-17](#), [22-23](#)
frontales (coronales), [19](#)
surrénale(s)
adénome, [151](#)
artériographie, [151](#)
droite
corps, [151](#)
IRM, coupes frontales (coronales), [131](#), [132](#)
partie
latérale, [151](#)
médiale, [151](#)
TDM, coupes axiales
phase artérielle d'une artériographie, [122-123](#)
veineuse, d'une artériographie, [124-126](#)
gauche
corps, [151](#)
IRM, coupes frontales (coronales), [131](#), [132](#)
partie
latérale, [151](#)
médiale, [151](#)
TDM, coupes axiales
phase artérielle d'une artériographie, [122-123](#)
veineuse, d'une artériographie, [124-126](#)
IRM, coupes axiales, [151](#)
thyroïde
échographie axiale, [20](#)
lobe
droit, [22-23](#)
gauche
IRM
coupes
axiales, [22-23](#)
frontales (coronales), [21](#)
TDM, coupes axiales, [53](#)
- H**
Hypopharynx
IRM
coupes
axiales, [22-23](#)
sagittales, [18](#), [20](#)
- I**
Iléon
anse intestinale
TDM
coupes
axiales, [156-156](#)
frontales (coronales), [162-163](#)
IRM
coupes
axiales, [127](#), [128](#), [130](#)
sagittales, [129](#), [169-170](#)
proximal, [134](#)
TDM, coupes axiales
phase artérielle d'une artériographie, [122-123](#)
veineuse d'une angiographie, [124-126](#)
technique
- lavement baryté, [135](#)
TDM, coupes axiales, [156-157](#)
transit intestinal baryté, [134](#)
urographie, [149](#)
valvules conniventes, [134](#)
ilium, [155](#), [186](#)
IRM
coupes
axiales, [128](#), [130](#)
frontales (coronales), [131-132](#), [171-172](#)
sagittales, [169-170](#)
TDM
coupes
axiales, [59](#), [156-157](#)
phase artérielle d'une artériographie, [122-123](#)
veineuse d'une artériographie, [124-126](#)
frontales (coronales), [162-163](#)
sagittales, [160-161](#)
incisure thyroïdienne, [22-23](#)
Intestin
angle
colique
droit (hépatique)
IRM, coupes axiales, [130](#)
TDM, coupes axiales
phase artérielle d'une artériographie, [122-123](#)
veineuse d'une artériographie, [124-126](#)
gauche (splénique)
TDM, coupes axiales
phase artérielle d'une artériographie, [122-123](#)
veineuse d'une artériographie, [124-126](#)
côlon, voir à Côlon
grêle, voir à Duodénum, iléon; Jéjunum
gros voir à Côlon
jonction œsophago-gastrique, [132](#)
Intersection tendineuse, [129](#), [130](#)
ischium, [186](#)
branche, [155](#)
épine, [155](#)
projection
antéro-postérieure, [185](#)
latérale, [185](#)
TDM
coupes
axiales, [158-159](#), [166-168](#)
sagittales, [160-161](#)
IRM, coupes frontales (coronales), [199](#)
TDM
coupes
axiales, [158-159](#), [164-165](#), [166-168](#)
sagittales, [160-161](#)
tubérosité, [155](#)
IRM, coupes frontales (coronales), [199](#)
projection
antéro-postérieure, [185](#)
latérale, [185](#)
TDM
coupes
axiales, [164-165](#)
sagittales, [160-161](#)
- J**
Jambe, voir Membre inférieur
Jéjunum
IRM
coupes
axiales, [127](#)
sagittales, [129](#)
proximal, [134](#)
TDM, coupes axiales
phase artérielle d'une artériographie, [122-123](#)
veineuse d'une artériographie, [124-126](#)
urographie, [149](#)
Jonction œsophago-gastrique, [132](#)
- L**
Lame
interne, [34-37](#)
nasale

- TDM
coupes
axiales, 26
frontales (coronales), 8-9, 27
- Langue
base
IRM
coupes
axiales, 22-23
sagittales, 20
face postérieure, 20
IRM
coupes
frontales (coronales), 19, 21
sagittales, 18, 20
raphé médian, 19
- Larynx
entrée, 22-23
fascia cervical profond
IRM
coupes
axiales, 22-23
frontales (coronales), 21
IRM
coupes
axiales, 22-23
sagittales, 18
plexus brachial, 21
tomographie, 21
vestibule, 22-23
- Lavement baryté, 135
- Lèvre(s)
grande
échographie transvaginale, 179
IRM
coupes
frontales (coronales), 171-172
sagittales, 169-170
petites, 171-172
- Ligament(s)
collatéral
latéral
IRM
coupes
axiales, 200
frontales (coronales), 203
médial
IRM
coupes
axiales, 200
frontales (coronales), 203
coraco-claviculaire
IRM, après gadolinium, 77-78
coupe(s)
axiales, 74-75
frontale oblique, 76
coraco-huméral
IRM, après gadolinium, 77-78
coupe(s)
axiales, 74-75
frontale oblique, 76
croisé
antérieur
IRM
coupes
axiales, 200
frontales (coronales), 203
sagittales, 201
postérieur
IRM
coupes
axiales, 200
frontales (coronales), 203
sagittales, 201, 202
- de Cooper, 118
- de la tête du fémur, 158-159, 164-165
- deltioide, 206, 207
- gleno-huméral
inférieur
IRM, après gadolinium, 77-78
coupe(s)
axiales, 74-75
frontale oblique, 76
moyen
IRM, après gadolinium, 77-78
coupe(s)
axiales, 74-75
frontale oblique, 76
supérieur
IRM, après gadolinium, 77-78
- coupe(s)
axiales, 74-75
frontale oblique, 76
- jaune
IRM, 61
coupes
axiales, 55, 60
sagittales, 57
TDM, coupes axiales, 56, 58, 59
large, 166-168
longitudinal
antérieur
IRM, 61
coupes
axiales, 55, 60
sagittales, 20, 57
TDM, coupes axiales, 56, 58
postérieur
IRM, 61
coupes
axiales, 55, 60
sagittales, 20, 57
TDM, coupes axiales, 58
ménisco-fémoral
postérieur
coupes
frontales (coronales), 204
sagittales, 201
rond de l'utérus
échographie transversale, 179
IRM, coupes frontales (coronales), 171-172
TDM, coupes axiales, 166-168
sacro-épineux
TDM
coupes
axiales, 158-159, 164-165, 166-168
sagittales, 160-161
suspenseur du cristallin, 15
stylo-mandibulaire, 19
talo-calcaneen interosseux, 208-209
transverse de l'atlas, insertion, 53
utéro-sacral, 166-168
- Liquide
amniotique, échographie fœtale, 182-183
cérébro-spinal
colonne vertébrale lombaire, 61
espace subarachnoïdien, 16-17, 57
- Lymphographie(s)
de l'abdomen, 152
de la région paralombaire, 152
du bassin, 153
du thorax, 152
- Lymphatique(s)
chaînes lombaires ascendantes, 152
citerne du chyle, 152
conduit thoracique, 152
de l'ampoule terminale, 152
de la région paralombaire, 152
inguinaux efférents, 152
nœuds
iliaques externes, 152
inguinaux, 152
- M**
- Macrodacryocystographie, 15
- Main
artériographies, 73
IRM, 84-86
voir également aux Os
- Malléole
latérale, 189
IRM
coupe(s)
axiale(s), 206-207
oblique, 210
frontales (coronales), 211
médiale, 189
IRM
coupe(s)
axiale(s), 206
oblique, 210
frontales (coronales), 211
sagittales, 208-209
- Mamelon, 118
- Mammographies, 118
- Mandibule, 50
branche
bord postérieur, 10
IRM
coupes
axiales, 16-17
frontales (coronales), 19
sagittales, 18, 20, 38
projection
latérale, 2
occipito-frontale, 1
sialographie, 25
TDM
coupes
axiales, 6-7
frontales (coronales), 8-9
col, 10
condyle, 5, 10
IRM, coupes sagittales, 10
orthopantomographie, 25
projection
de Townes, 3
latérale, 2
TDM, coupes axiales, 6-7, 14
corps
IRM
coupes
axiales, 16-17, 22-23
frontales (coronales), 21
projection submento-verticale, 4
fosse, 10
IRM, coupes sagittales, 10
TDM, coupes axiales, 14
processus coronoïde, 5
IRM
coupes
axiales, 16-17
frontales (coronales), 19
orthopantomographie, 25
projection latérale, 2
sialographie, 25
TDM, coupes axiales, 6-7
tête, 10
IRM
coupes
axiales, 16-17
frontales (coronales), 19
sagittales, 10
projection submento-verticale, 4
TDM, coupes axiales, 6-7
- Marteau, 10
IRM
coupes
axiales, 12
sagittales, 10
TDM, 11
coupes
axiales, 12
sagittales, 13
tomographie, 11
Masse intermédiaire, 39
- Mét acoustique
externe, 10
IRM
coupes
axiales, 12, 14
sagittales, 10
orthopantomographie, 25
projection latérale, 2
TDM
coupes
axiales, 12, 14
sagittales, 13
tomographie, 11
- Médiastin
IRM, coupes axiales, 100-107
TDM, 92-95
- Membre(s)
interosseuses, 82
Membre(s), voir aussi à Membre inférieur, Membre supérieur
inférieur
cuisse
fœtale, 182, 183
IRM
coupes
axiales, 196-197
frontales (coronales), 199
sagittales, 198
IRM, 196-211
mollet, 205
pied, 191-192
à 1 an, 192
à 3 ans, 192
à 5 ans, 192
à 14 ans, 192
centres d'ossification, 192
IRM
coupe(s)
axiale(s), 207
oblique, 210
frontales, 210, 211
phlébographies, 195
projection
antéro-postérieure, 185
latérale, 185
supérieur, 85-86
avant-bras, 82
main
à 3 mois, 70
à 3 ans, 70
à 6 ans, 70
à 11 ans, 70
centres d'ossification, 70
IRM
coupes
axiales, 84
frontales (coronales), 85-86
radiographies, 69
vaisseaux, 71-73
- Moelle épinière
cervicale
IRM
coupe(s)
axiales, 55
sagittale(s), 38
médiane 39
myélographie cervicale, 62
renflement, 57, 62
du fœtus, 182
IRM
coupes
axiales, 16-17, 22-23
sagittales, 18, 20, 57
TDM, coupes axiales, 56
thoracique
myélographie cervicale, 62
radiculographie lombaire, 63
voir aussi à Colonne vertébrale
- Muscle(s)
abducteur
de l'hallux
IRM
coupe(s)
axiale(s), 206, 207
oblique, 210
frontales (coronales), 211
sagittales, 208-209
du petit
doigt
IRM
coupes
axiales, 83-84
frontales (coronales), 85-86
orteil
IRM
coupe(s)
axiale(s), 207
oblique, 210
frontales (coronales), 211
sagittales, 208-209
du pouce
IRM
coupes
axiales, 82-84
frontales (coronales), 85-86
sagittales, 79
encodé, 81, 82

Gratuittement

www.lemanip.com

Radiologie et imagerie medicale



Livres, memoires, rapport de stage, courses, radiologie conventionnelle, Scanner, TDM, IRM, Scintigraphie, Medecine nucleaire, Radiotherapie, Radiologie Interventionnelle, Oncologie, Clichees, Cas interpretes, exposes, medecine

<https://www.lemanip.com/>

www.lemanip.com

biceps
 brachial
 IRM
 coupes
 axiales, 81
 frontales (coronales), [80](#)
 sagittales, 79
 fémoral
 chef
 court
 IRM
 coupes
 axiales, 196-197
 sagittales, 201
 long, 196-197
 IRM
 coupes
 axiales, 196-197, 200
 frontales (coronales), 199, 203, 204
 sagittales, 198
 TDM, coupes axiales, 158-159
 brachial
 IRM
 coupes
 axiales, 81
 frontales (coronales), [80](#)
 sagittales, 79
 trachio-radial
 IRM
 coupes
 axiales, 81-82
 frontales (coronales), [80](#)
 sagittales, 79
 buccinateur, 16-17
 carré
 des lombes
 IRM
 coupes
 axiales, 127, 128, 130
 frontales (coronales), [131](#)
 sagittales, 129
 TDM
 coupes axiales, [56](#), 58, 59
 phase artérielle d'une artériographie, 122-123
 veineuse d'une artériographie, 124-126
 fémoral
 IRM
 coupes
 frontales (coronales), 199
 sagittales, 198
 TDM
 coupes axiales, 158-159, 164-165, 166-168
 constricteur
 du palais, [19](#)
 du pharynx, 16-17
 interne, [21](#)
 coraco-brachial
 IRM, après gadolinium, 77-78
 coupe(s)
 axiales, 74-75
 frontale oblique, 76
 court
 abducteur du pouce
 IRM
 coupes
 axiales, 83, 84
 frontales (coronales), 85-86
 adducteur
 IRM
 coupes
 axiales, 196-197
 frontales (coronales), 199
 sagittales, 169-170
 TDM
 coupes
 axiales, 158-159
 sagittales, 160-161
 extenseur
 des orteils
 IRM
 coupes
 axiales, 210
 frontales (coronales), 211
 sagittales, 208-209
 radial du carpe
 IRM
 coupes
 axiales, 81, [82](#)
 frontales (coronales), [80](#)
 sagittales, 79
 fibulaire
 IRM
 coupes
 axiales, 205, 206
 sagittales, 208-209
 fléchisseur
 de l'hallux, 191
 IRM
 coupe(s)
 frontales (coronales), 211
 oblique axiale, 210
 des orteils
 IRM
 coupe(s)
 axiale(s), 207
 oblique, 210
 frontales (coronales), 211
 sagittales, 208-209
 du pouce
 IRM
 coupes
 axiales, 84
 frontales (coronales), 85-86
 de la déglutition, 6-7
 deltroïde
 IRM, après gadolinium, 77-78
 coupe(s)
 axiales, 74-75
 frontale oblique, 76
 dentelé antérieur
 TDM
 coupes
 axiales,
 phase artérielle d'une artériographie, 122-123
 veineuse d'une artériographie, 124-126
 frontales (coronales), 92-95
 digastrique
 ventre
 antérieur, [19](#), [22-23](#)
 postérieur, 16-17, [22-23](#)
 droit
 antérieur de la tête
 IRM, coupes axiales, 16-17
 TDM, coupes axiales, [53](#)
 de l'abdomen
 IRM
 coupes
 axiales, 127, 128, 130
 frontales (coronales), [131](#)
 sagittales, 129, 169-170
 TDM
 coupes
 axiales, 156-157, 158-159, 164-165, 166-168
 phase artérielle d'une artériographie, 122-123
 veineuse d'une artériographie, 124-126
 sagittales, 160-161
 de la cuisse
 IRM
 coupes
 axiales, 196-197
 frontales (coronales), 199
 sagittales, 198
 TDM
 coupes axiales, 158-159, 164-165, 166-168
 inférieur
 IRM, coupes sagittales, [18](#), 38
 TDM
 coupes
 axiales, 26
 frontales (coronales), 27
 latéral
 IRM
 coupes
 axiales, 15, [34-37](#)
 sagittales, [18](#), 38
 TDM
 coupes
 axiales, 26
 frontales (coronales), 27
 médial
 IRM
 coupes
 axiales, 15, [34-37](#)
 sagittales, [18](#)
 TDM
 coupes
 axiales, 26-27
 frontales (coronales), 27
 supérieur
 TDM
 coupes
 axiales, 26
 frontales (coronales), 27
 élevateur, [20](#)
 de l'anus
 IRM, 178
 coupes
 frontales (coronales), 171-172, 199
 sagittales, 169-170
 TDM
 coupes
 axiales, 158-159, 164-165, 166-168
 frontales (coronales), 162-163
 sagittales, 160-161
 de la scapula, [22-23](#), [55](#)
 du voile du palais
 IRM
 coupes
 axiales, 16-17
 frontales (coronales), [19](#)
 érecteur du rachis
 IRM
 coupes
 axiales, [80](#), 100-103, 127, 128, 130
 sagittales, 129
 TDM, 92-95
 coupes axiales, [56](#), 58, 59
 phase artérielle d'une artériographie, 122-123
 veineuse d'une artériographie, 124-126
 extenseur
 commun
 IRM
 coupes
 axiales, 81
 frontales (coronales), [80](#)
 des doigts
 IRM, coupes axiales, [82](#)
 des orteils
 IRM
 coupes
 axiales, 206
 sagittales, 208-209
 fléchisseur
 accessoire
 IRM
 coupe(s)
 axiales, 206-207
 frontale(s) (coronales), 211
 oblique, 210
 commun
 IRM
 coupes
 axiales, 81
 frontales (coronales), [80](#)
 du petit
 doigt
 IRM
 coupes
 axiales, 84
 frontales, 85, 86
 orteil
 IRM
 coupe(s)
 frontale(s) (coronales), 211
 oblique, 210
 profond des doigts
 IRM
 coupes
 axiales, 81, [82](#)
 frontales (coronales), [80](#)
 sagittales, 79
 radial du carpe
 IRM
 coupes
 axiales, 81, [82](#)
 frontales (coronales), [80](#)
 sagittales, 79
 superficiel des doigts
 IRM
 coupes
 axiales, 81, [82](#), 83
 frontales (coronales), [80](#)
 sagittales, 79
 ulnaire du carpe
 IRM
 coupes
 axiales, 81, [82](#)
 frontales (coronales), [80](#)
 sagittales, 79
 gastrocnémien
 aponévrose, 205
 chef
 latéral
 IRM
 coupes
 axiales, 200, 205
 frontales (coronales), 204
 sagittales, 201
 médial
 IRM
 coupes
 axiales, 200, 205
 frontales (coronales), 203, 204
 sagittales, 202
 IRM, coupes sagittales, 198
 génio-glosse
 IRM
 coupes
 axiales, 16-17, [22-23](#)
 frontales (coronales), [19](#)
 sagittales, [18](#)
 génio-hyoldien
 IRM
 coupes
 axiales, [22-23](#)
 frontales (coronales), [19](#)
 sagittales, [18](#)
 gracile
 IRM
 coupes
 axiales, 196-197, 200
 frontales (coronales), 199, 204
 TDM, coupes axiales, 158-159
 grand
 adducteur
 IRM
 coupes
 axiales, 196-197
 frontales (coronales), 199
 sagittales, 169-170, 198
 TDM
 coupes
 axiales, 158-159
 sagittales, 160-161
 dorsal
 IRM, coupes axiales, 127
 TDM, 92-95
 coupes axiales
 phase artérielle d'une artériographie, 122-123
 veineuse d'une artériographie, 124-126
 fessier
 IRM
 coupes
 axiales, 196, 197
 frontales (coronales), [131](#), 199
 sagittales, 169-170, 198
 TDM
 coupes
 axiales, 156-157, 158-159, 164-165, 166-168
 sagittales, 160-161
 psoas
 IRM
 coupes
 axiales, 127, 128, 130
 frontales (coronales), [131](#), [132](#)
 sagittales, 129
 TDM
 coupes axiales
 phase artérielle d'une artériographie, 122-123
 veineuse d'une artériographie, 124-126

- hyoglosse, 16-17, [22-23](#)
- iliaque
IRM
coupes
axiales, 196-197, 200
frontales (coronales), 171-172
sagittales, 169-170
- TDM
coupes
axiales, 156-157
frontales (coronales), 162-163
sagittales, 160-161
- ilio-psoas
IRM
coupes
frontales (coronales), 199
sagittales, 198
- TDM
coupes
axiales, 156-157, 158-159, 164-165, 166-168
frontales (coronales), 162-163
sagittales, 160-161
- infra-épineux, 92-95
IRM, après gadolinium, 77-78
- coupe(s)
axiales, 74-75
frontale (coronales) oblique, 76
- infra-hyoïdiens, [22-23](#)
- interosseux
dorsaux
IRM
coupe(s)
axiales, 84
frontales (coronales), 85-86
- du pied
IRM
coupe(s)
frontales (coronales), 211
oblique axiale, 210
- palmaires
IRM
coupes
axiales, 84
frontales (coronales), 85-86
- plantaires
IRM
coupe(s)
frontales (coronales), 211
oblique axiale, 210
- intrinsèques de la langue, 16-17, [22-23](#)
- jumeau
IRM
coupes
axiales, 158-159
frontales (coronales), 199
sagittales, 160-161
- lombricaux
IRM
coupes
axiales, 84
frontales (coronales), 85-86
- long
adducteur
IRM
coupes
axiales, 196-197
frontales (coronales), 199
sagittales, 169-170, 198
- TDM
coupes
axiales, 158-159, 164-165
sagittales, 160-161
- de la tête
IRM
coupes
axiales, 16-17, [22-23](#)
frontales (coronales), [19](#)
sagittales, [18](#)
- du cou, [22-23](#), [55](#)
- extenseur
de l'hallux, 205, 206
des orteils, 205
du pouce, [82](#)
radial du carpe
IRM
coupes
axiales, 81-82
frontales (coronales), [80](#)
- fléchisseur
de l'hallux
IRM
coupes
axiales, 205, 206
sagittales, 208-209
- des orteils
IRM
coupes
axiales, 205, 206
sagittales, 208-209
- palmaire, 81, [82](#)
- masséter
IRM
coupes
axiales, 16-17
frontales (coronales), [19](#), [21](#)
- TDM, coupes axiales, 16-17
- moyen fessier
IRM
coupes
axiales, 128
frontales (coronales), 171-172, 199
- TDM, coupes
axiales, 156-157, 158-159
phase artérielle d'une artériographie, 122-123
veineuse d'une artériographie, 124-126
frontales (coronales), 162-163
- multifide
IRM, coupes axiales, [22-23](#), [55](#), [60](#)
TDM, coupes axiales, [54](#), 58, 59
- mylo-hyoïdien
IRM, coupes axiales, 16-17, [22-23](#)
TDM, coupes frontales (coronales), [19](#)
- oblique
externe
IRM
coupes
axiales, 127, 128
frontales (coronales), [131-132](#)
- TDM, coupes axiales, 156-157
phase artérielle d'une artériographie, 122-123
veineuse d'une artériographie, 124-126
- inférieur
IRM, coupes axiales, 16-17, [22-23](#)
- TDM
coupes
axiales, 26, [53](#)
frontales (coronales), 27
- interne
IRM
coupes
axiales, 127, 128
frontales (coronales), [131-132](#)
- TDM, coupes
axiales, 156-157
phase artérielle d'une artériographie, 122-123
veineuse d'une artériographie, 124-126
frontales (coronales), 162-163
- supérieur
TDM
coupes
axiales, 26
frontales (coronales), 27
- trochlée, 26, 27
- obturateur
externe
IRM, coupes frontales (coronales), 171-172, 199
- TDM
coupes
axiales, 158-159, 164-165, 166-168
frontales (coronales), 162-163
sagittales, 169-170, 198
- interne
IRM, coupes frontales (coronales), 171-172, 199
- TDM
coupes
axiales, 158-159, 164-165, 166-168
frontales (coronales), 162-163
- sagittales, 160-161
- opposant
du petit
doigt
IRM
coupes
axiales, 84
frontales (coronales), 85-86
- orteil
IRM
coupe(s)
axiale oblique, 210
frontale (coronale), 211
- du pouce
IRM
coupes
axiales, 84
frontales (coronales), 85-86
- orbiculaire
TDM
coupes
axiales, 26
frontales (coronales), 27
- de la bouche, [20](#)
- palato-pharyngien, 16-17
- papillaire
échographie, 112-113
IRM, 102-103
TDM, 92-95
- pectiné, 198
IRM
coupes
frontales (coronales), 199
sagittales, 169-170
- TDM
coupes
axiales, 158-159, 164-165, 166-168
frontales (coronales), 162-163
- pectoral, 118
grand, 92-95
IRM, après gadolinium, 77-78
- coupe(s)
axiales, 74-75
frontale oblique, 76
- TDM, 92-95
- petit
fessier
IRM, coupes frontales (coronales), 199
- TDM
coupes
axiales, 156-157, 158-159
frontales (coronales), 162-163
- rond
IRM, après gadolinium, 77-78
- coupe(s)
axiales, 74-75
frontale oblique, 76
- piriforme
IRM, coupes sagittales, 169-170, 198
- TDM, coupes axiales, 156-157, 158-159, 164-165, 166-168
- plantaire
IRM
coupes
axiales, 200
sagittales, 201
- platysma
IRM
coupes
axiales, [22-23](#)
frontales (coronales), [19](#), [21](#)
- poplité
IRM
coupes
axiales, 200
frontales (coronales), 204
sagittales, 201, 202
- psoas
droit
en décubitus dorsal, 119
urographie, 148
- gauche
en décubitus dorsal, 119
urographie, 148
- IRM, [51](#)
coupes
axiales, [60](#)
frontales (coronales), 171-172
- sagittales, 169-170
- TDM
coupes
axiales, 58, 156-157
frontales (coronales), 162-163
- ptérygoidien
latéral
IRM
coupes
axiales, 16-17
frontales (coronales), [19](#), [21](#), [45](#)
sagittales, [18](#)
- TDM
coupes
axiales, 6-7
frontales (coronales), [44](#)
- médial
IRM
coupes
axiales, 16-17
frontales (coronales), [19](#), [21](#), [45](#)
- TDM
coupes
axiales, 6-7
frontales (coronales), [44](#)
- releveur
de la paupière supérieure
TDM
coupes
axiales, 26
frontales (coronales), 27
- naso-labial, 16-17
- rond pronateur
IRM
coupes
axiales, 81, [82](#)
frontales (coronales), [80](#)
sagittales, 79
- sartorius
IRM
coupes
axiales, 196-197, 200
frontales (coronales), 199, 203-204
sagittales, 198
- TDM
coupes
axiales, 156-157, 158-159, 164-165, 166-168
frontales (coronales), 162-163
- scalène
antérieur, [22-23](#)
- moyen
IRM
coupes
axiales, [22-23](#)
frontales (coronales), [21](#)
- postérieur, [22-23](#)
- semi-membraneux
IRM
coupes
axiales, 196-197, 200
frontales (coronales), 199, 204
sagittales, 198, 202
- TDM, coupes axiales, 158-159
- semi-épineux, [22-23](#)
- de la tête
IRM, coupes axiales, 16-17, [22-23](#), [55](#)
TDM, coupes axiales, [53](#), [54](#)
- du cou
IRM, coupes axiales, [22-23](#)
TDM, coupes axiales, [54](#)
- semi-tendineux
IRM
coupes
axiales, 196-197
frontales (coronales), 199
sagittales, 198
- TDM, coupes axiales, 158-159
- soléaire
IRM
coupes
axiales, 205-206
frontales (coronales), 204
sagittales, 201-202, 208-209
- spénius de la tête
IRM, coupes axiales, 16-17, 22-23

- TDM, coupes axiales, [53](#)
sterno-cléido-mastoldien
IRM
coupes
axiales, 16-17, [22-23](#)
frontales (coronales), [21](#)
TDM, coupes axiales, [53](#)
stylo-pharyngien, IRM, coupes axiales, 16-17
subscapulaire
IRM, après gadolinium, 77-78
coupes axiales, 74-75
TDM, 92-95
coupe(s) frontale oblique, 76
supinateur
IRM
coupes
axiales, 81, [82](#)
frontales (coronales), [80](#)
sagittales, 79
supra-épineux
IRM, après gadolinium, 77-78
coupe(s)
axiales, 74-75
frontale oblique, 76
TDM, 92-95
supra-hyoidiens, [22-23](#)
temporal
IRM
coupes
axiales, 15, 16-17
frontales (coronales), [45](#)
TDM
coupes
axiales, 6-7, 14, 26
frontales (coronales), 27
tendons voir à Tendons
tenseur
du fascia lata
IRM, coupes axiales, 196-197
TDM, coupes axiales, 156-157, 158-159, 166-168
du tympan
TDM
coupes
axiales, 12
sagittales, 13
du voile du palais
IRM
coupes
axiales, 16-17
frontales (coronales), [19](#)
tibial
antérieur
IRM
coupes
axiales, 205
frontales (coronales), 203
sagittales, 201
postérieur, 205, 206
transverse de l'abdomen
IRM
coupes
axiales, 127-128
frontales (coronales), [131-132](#)
TDM, coupes axiales, 156-157
trapèze
IRM, après gadolinium, 77-78
coupes
axiales, 16-17, [22-23](#), 74-75
frontale(s) (coronale(s))
oblique, 76
TDM, 92-95
coupes axiales, [53](#), [56](#)
triceps
chef
latéral, 79, [80](#)
long, [80](#), 81
médial, 79, 81
tendon, 79
troisième fibulaire, 206, 207
vaste
intermédiaire
IRM
coupes
axiales, 196-197
frontales (coronales), 199
sagittales, 198
TDM, coupes axiales, 158-159
IRM
coupes
axiales, 196-197, 200
frontales (coronales), 203
sagittales, 198, 202
zygomatique, 16-17
Myélographie, [62](#)
Myocarde, 112-113
- N**
Nasopharynx, [20](#)
IRM
coupe(s)
axiales, 16-17
frontales (coronales), [19](#), [45](#)
sagittale(s), [18](#), [20](#), 38
médiane, 39
TDM
coupes
axiales, 6-7, 12
sagittales, 13
Nerf(s)
abducens, 11
auditif, 48
de la queue de cheval
IRM, coupes axiales, [60](#)
racines, 58, 59
fibulaire
commun
IRM
coupes
axiales, 200
frontales (coronales), 204
facial
canaux
TDM, 11
coupes
axiales, 12, 14
frontales (coronales), 14
sagittales, 13
IRM, coupes axiales, 11, [34-37](#), 48
première partie, 11, 12, 13
segment descendant, 12, 13
fémoral
IRM, coupes axiales, 196-197
TDM, coupes axiales, 164-165, 166-168
grand pétreux
TDM
coupes
axiales, 12
sagittales, 13
médian, 81, [82](#), 83
oculomoteur, [44](#)
optique
chiasma
IRM
coupes
axiales, [34-37](#)
frontales (coronales), [19](#), 40-41, 45
sagittales, [18](#), 38, 46, 47
TDM, coupes coronales, [44](#)
IRM
coupes
axiales, 15, [34-37](#)
frontales, 40-41
sagittales, [18](#), 38
TDM, 27
coupes axiales, 6-7, 26
tractus
IRM
coupes
axiales, [34-37](#)
frontales (coronales), 40-41, [45](#)
sagittales, 46, 47
plantaire
latéral
IRM
coupe(s)
frontales (coronales), 211
oblique axiale, 210
- médial
IRM
coupe(s)
frontales (coronales), 211
oblique axiale, [21](#)
radial, 81, [82](#)
sacral, premier, 59
sciatique
IRM, coupes axiales, 196-197
racine, 162-163
TDM, coupes
axiales, 158-159, 164-165, 166-168
sagittales, 160-161
spinal
cervical, [82](#)
huitième, [62](#)
cinquième lombaire, 59, 63
cône médullaire, [61](#), 63
quatrième lombaire, 58, 63
racine, [60](#), [61](#)
dorsale, [62](#)
ventrale, [62](#)
radiculographie lombaire, 63
tibial
IRM
coupes
axiales, 196-197, 200
frontales (coronales), 204
trijumeau
IRM, coupes frontales (coronales), 40-41
TDM, coupes frontales (coronales), [44](#)
ulnaire, 81, [82](#), 83
vague, [34-37](#)
vestibulo-cochléaire
IRM, coupes axiales, 11, [34-37](#)
TDM, 11
Nez
cavité
TDM
coupes
axiales, 6-7, 26
frontales (coronales), 27
columelle, [18](#)
IRM, coupes sagittales, [20](#)
méat nasal moyen
IRM, coupes sagittales, [18](#)
TDM, coupes frontales, 8-9
septum, 5
cartilage
IRM
coupes
axiales, 16-17
sagittales, [18](#)
TDM, coupes frontales, 8-9
IRM
coupes
axiales, [34-37](#)
sagittales, [18](#)
projection occipito-frontale, 1
TDM
coupes
axiales, 14, 26
frontales (coronales), 27
- O**
Œsophage
cervical, [22-23](#)
IRM
coupes
frontales (coronales), [132](#)
sagittales, [57](#), 129
TDM, 92-95
coupes
axiales, [53](#), [56](#)
phase artérielle d'une artériographie, 122-123
veineuse d'une artériographie, 124-126
Œil, 15
canalicule
commun, 15
inférieur, 15
supérieur, 15
chambre antérieure, 15, 26-27
choroïde
IRM, coupes axiales, 15
vaisseaux, [34-37](#)
conduit lacrymo-nasal, 15
cornée, 15
cristallin
IRM, coupes axiales, 15
ligament suspenseur, 15
TDM
coupes
axiales, 6-7, 14, 26
frontales (coronales), 27
globe oculaire
IRM
coupes
axiales, 15
sagittales, [18](#)
TDM
coupes
axiales, 6-7, 14
frontales (coronales), 8-9
humeur
aqueuse, 15
vitrée
IRM, coupes axiales, 15
TDM
coupes
axiales, 26
frontales (coronales), 27
IRM, coupes axiales, 15
orbite, 15
bord postérieur, 4
paupière
IRM, coupes axiales, 15
TDM
coupes
axiales, 26
frontales (coronales), 27
radiations optiques, IRM, coupes axiales, [34-37](#)
rebord
infra-orbitaire
TDM
coupes
axiales, 26
frontales (coronales), 27
supra-orbitaire, 26-27
rétine, 15
TDM
coupes
axiales, 26
frontales (coronales), 27
tissu adipeux rétrobulbaire
IRM
coupes
axiales, 15, [34-37](#)
sagittales, [18](#)
TDM
coupes
axiales, 26
frontales (coronales), 27
sclère
IRM, coupes axiales, 15
TDM
coupes
axiales, 26
frontales (coronales), 27
Ombilic, 156-157
Oreille
aditus ad antrum
IRM, coupes axiales, 12
TDM, 11
coupes
axiales, 12
sagittales, 13
caisse du tympan
TDM
coupes
axiales, 6-7, 12
sagittales, 13
canal (-aux)
acoustique,
externe
IRM, coupes axiales, 16-17
TDM, 11
coupes
axiales, 12
sagittales, 13
interne
IRM, coupes axiales, 11
TDM, 11
coupes
axiales, 12

- sagittales, 13
semi-circulaire(s),
IRM, coupes axiales, 48
latéral
IRM, coupes axiales, 11
TDM, 11
coupes
axiales, 12
sagittales, 13
postérieur
IRM, coupes axiales, 11
TDM, 11
coupes
axiales, 12
sagittales, 13
supérieur, 10
projection de Townes, 3
TDM, 11
coupes
axiales, 12
sagittales, 13
tomographie, 11
fenêtre ovale
TDM
coupes
axiales, 12
sagittales, 13
interne
cochlée
aqueduc, 12-13
IRM, coupes axiales, 11, 34-37, 48
tomographie, 11
TDM, 11
coupes
axiales, 12
sagittales, 13
osselets voir à Osselets
pavillon, 10
hélix, 10
IRM
coupes
axiales, 12, 14
sagittales, 10
TDM
coupes
axiales, 12, 14
frontales (coronales), 14
sagittales, 13
récessus épitympanique
espace, 12-13
IRM, coupes axiales, 11
TDM, 11
TDM, coupes sagittales, 13
tegmen tympani, 10
IRM, coupes sagittales, 10
TDM
coupes
axiales, 12
sagittales, 13
trompe auditive (Eustache)
extrémité pharyngienne, 16-17
IRM, coupes axiales, 16-17
orifice, 44
ostium, 19
projection submento-verticale, 4
TDM
coupes
axiales, 12, 14
sagittales, 13
vestibule, 10, 48
IRM, coupes axiales, 34-37
Oreille
gauche, 88-89, 90-91
artériographie, 109
bord, 90-91
échographie, 112-113
fœtale, 183
IRM, 102-103, 104-105
coupes
axiales, 100-103
frontales (coronales), 131-132
TDM, 92-95
septum interatrial
échographie, 112-113
fœtal, 183
IRM, 104-105
coupes axiales, 100-103
TDM, 92-93
Organes
génitaux,
masculins
conduit déférent voir à Conduit déférent
fœtaux, 183
IRM, 178
Oropharynx
IRM
coupes
axiales, 16-17
frontales (coronales), 19
sagittales, 18, 20
TDM, coupes axiales, 6-7
Orthopantomographie, 25
Os
acetabulum, 185
auvent
TDM
coupes
axiales, 158-159, 166-168
frontales, 162-163
fosse, 169-170
IRM, coupes sagittales, 198
projection
antéro-postérieure, 185
latérale, 185
TDM
coupes
axiales, 158-159, 164-165, 166-168
frontales (coronales), 162-163
alvéolaire
bord, 6-7, 8-9
rebord, 38
récessus, 6-7
cortical, 55, 57
cuboïde, 189, 190, 191
IRM
coupes
axiale(s), 206
oblique, 210
frontales (coronales), 211
sagittales, 208-209
cunéiforme
intermédiaire, 190, 191
IRM
coupes
axiale(s) oblique, 210
frontales (coronales), 211
sagittale, 208-209
latéral, 189, 190, 191
IRM
coupes
axiale(s) oblique, 210
frontales (coronales), 211
sagittales, 208-209
médial, 191
IRM
coupes
axiale(s) oblique, 210
frontales (coronales), 211
sagittales, 208-209
de la face
lame criblée, 8-9
projection
latérale, 5
occipito-frontale, 5
occipito-mentonnière, 5
TDM
coupes
axiales, 6-7
frontales (coronales), 8-9
ethmoïde, lame perpendiculaire
IRM, coupes sagittales, 18
projection submento-verticale, 4
TDM
coupes
axiales, 6-7
frontales (coronales), 8-9
fabella, 187
frontal
TDM, coupes axiales, 6-7
hyoïde, 50
corps, 20
grande corne, 20
IRM, coupes axiales, 22-23
orthopantomographie, 25
sialographie, 25
lacrymal, 6-7
lunatum, 69-70
IRM, coupes axiales, 83
maxillaire
processus
alvéolaire, 18, 25
antérieur, 16-17
malair, 5
palatin, 2, 5
tubérosité, 16-17
métacarpiens
centres d'ossification, 70
cinquième, 69, 84, 85-86
diaphyse, fœtus, 183
quatrième, 84
premier, 83, 84, 85-86
second, 69, 84
troisième, 84
métatarsiens
centres d'ossification, 191
cinquième, 189, 191
diaphyse, 210, 211
IRM
coupe(s)
axiale oblique, 210
coronales, 211
premier, 191, 208-209
deuxième, 208-209
troisième, 208-209
nasal
IRM, coupes sagittales, 18
TDM
coupes
axiales, 6-7, 26
frontales (coronales), 8-9, 27
naviculaire, 188, 190, 191
IRM
coupe(s)
axiale(s), 206
oblique, 210
frontales (coronales), 211
sagittales, 208-209
tubérosité, 208-209
occipital, 50
condyle
IRM, coupes axiales, 16-17
projection submento-verticale, 4
TDM
coupes
axiales, 16-17
frontales (coronales), 14
sagittales, 13
IRM, coupes sagittales, 57
partie basilaire, 2
protubérance occipitale interne
IRM, coupes axiales, 11
TDM, 11
coupes
axiales, 12
sagittales, 13
TDM
coupes
axiales, 12, 14
sagittales, 13
pisiforme, 69, 83
radius, 67, 69, 70
centres d'ossification, 68, 70
col, 67
fœtal, 183
incisure ulnaire, 69
IRM
coupes
axiales, 81, 82, 83
frontales (coronales), 80
sagittales, 79
pré-adulte, 68
processus styloïde, 69
tête, 67
IRM
coupes
axiales, 81
frontales (coronales), 80
sagittales, 79
tubercule dorsal, 83
tubérosité, 67
IRM, coupes frontales (coronales), 80
sésamoïde, 69, 191
sphénoïde
corps, 1
grande aile, 5, 10
face temporale, 1
IRM, coupes sagittales, 10
neuveau, 43
projection
latérale, 2
occipito-frontale, 1
submento-verticale, 4
TDM
coupes
axiales, 6-7, 12, 14, 26
frontales (coronales), 8-9, 27
sagittales, 13
petite aile, 5
projection occipito-frontale, 1
TDM
coupes
axiales, 26
frontales (coronales), 8-9, 27
planum
projection latérale, 2
TDM
coupes
axiales, 26
frontales (coronales), 8-9, 27
processus ptérygoïde, IRM, coupes
frontales (coronales), 19
sternum, 88-89
corps
IRM
coupes
axiales, 100-103
sagittales, 106-107
TDM, 92-95
fœtal, 183
manubrium
IRM, coupes axiales, 100-103
TDM, 92-95
processus xiphoïde
IRM, coupes sagittales, 129
TDM, 92-95
temporal
éminence arquée, 10
IRM, coupes axiales, 11
partie
pétreuse, 10
apex pneumatisé, 11
IRM, coupes axiales, 16-17, 34-37
projection
antéro-postérieure, 10
occipito-frontale, 1
TDM
coupes
axiales, 12
sagittales, 13
tomographie, 11
squameuse
TDM
coupes
axiales, 12
sagittales, 13
tympanique, 10
processus
styloïde, 11
zygomatique, 5, 10
IRM, coupes sagittales, 10
projection submento-verticale, 4
projection de Townes, 3
TDM, 11
coupes
axiales, 12
frontales (coronales), 13
sagittales, 13
tomographie, 11
tubercule articulaire, 10
trapèze, 69, 70
IRM
coupes
axiales, 83
frontales (coronales), 85-86
trapézoïde, 70
IRM
coupes
axiales, 83
frontales (coronales), 85-86
triquetrum, 69, 70, 83
zygomatique
processus
frontal, 2, 5
temporal, 4-5
projection submento-verticale, 4
TDM
coupes

- axiales, 6-7, 26
 frontales (coronales), [8-9](#), 27
 Osselets, [10](#)
 Ostium de l'antré, [8-9](#)
 Ovaire(s)
 échographie transvaginale, 179
 follicules, 179
 IRM
 coupes
 axiales, 166-168
 frontales (coronales), 171-172
 sagittales, 169-170
- P**
 Palais dur
 IRM
 coupes
 axiales, 16-17
 frontales (coronales), [19](#)
 sagittales, [18](#)
 macrodacryocystographie, 15
 orthopantomographie, 25
 TDM
 coupes
 axiales, 12
 frontales (coronales), [8-9](#)
 mou
 IRM
 coupes
 axiales, 16-17
 frontales (coronales), [19](#)
 sagittales, [18](#), [20](#)
- Pancréas
 conduits pancréatiques, voir à Conduits
 corps
 échographie
 sagittale / parasagittale, 136-137
 transversale / oblique, 138-139
 IRM, coupes sagittales, 129
 TDM, coupes axiales
 phase artérielle d'une artériographie, 122-123
 veineuse d'une artériographie, 124-126
 isthme
 échographie(s)
 sagittale / parasagittale, 136-137
 transversale / oblique, 138-139
 IRM, coupes sagittales, 129
 TDM, coupes axiales
 phase artérielle d'une artériographie, 122-123
 veineuse d'une artériographie, 124-126
- queue
 échographie(s)
 sagittale / parasagittale, 136-137
 transversale / oblique, 138-139
 IRM
 coupes
 frontales (coronales), [132](#)
 sagittales, 129
 TDM, coupes axiales
 phase artérielle d'une artériographie, 122-123
 veineuse d'une artériographie, 124-126
- tête
 échographie(s)
 sagittale / parasagittale, 136-137
 transversale / oblique, 138-139
 IRM, coupes axiales, 130
 processus unciné, 130, [132](#)
 TDM, coupes axiales
 phase artérielle d'une artériographie, 122-123
 veineuse d'une artériographie, 124-126
- Parotide
 conduit
 IRM, coupes axiales, 16-17
 gauche, [21](#)
 IRM, coupes axiales, 16-17
 lobe
 profond
 IRM
 coupes
- axiales, 16-17
 frontales (coronales), [19](#)
 superficiel, [19](#)
 sialographie, 25
 Partie interarticulaire, 58
 Pénis
 bulbe
 TDM
 coupes
 axiales, 158-159
 frontales (coronales), 162-163
 sagittales, 160-161
 corps
 caveux
 cavernosographie, 177
 IRM, 178
 TDM
 coupes
 axiales, 158-159, 164-165
 frontales (coronales), 162-163
 sagittales, 160-161
 spongieux
 IRM, 178
 TDM
 coupes
 frontales (coronales), 162-163
 sagittales, 160-161
 gland, 178
 IRM, 178
 pilier du corps caveux
 cavernosographie, 177
 IRM, 178
 TDM
 coupes
 axiales, 158-159
 frontales (coronales), 162-163
- Péricarde
 échographie, 112-113
 IRM, coupes axiales, 102-103
 TDM, 92-95
 Phalanges, 69, 191
 centres d'ossification, 191
 du pouce, 84, 85-86
 IRM
 coupe(s)
 axiale oblique, 210
 frontales (coronales), 85-86, 211
- Pharynx
 constricteur, [22-23](#)
 espace
 glottique, [22-23](#)
 parapharyngien
 graisse, [19](#)
 IRM, coupes axiales, 16-17
 TDM, coupes axiales, 6-7
 fascia pharyngobasilaire, 16-17
 IRM, coupes axiales, 16-17
 paroi postérieure
 IRM
 coupes
 axiales, 16-17
 sagittales, [18](#)
 récessus
 latéral, 16-17
 TDM, coupes frontales (coronales), [44](#)
- Phlébographie(s)
 azygos, 112
 de la veine cave
 inférieure, 144
 supérieure, 71
 de l'orbite, 15
 du bassin féminin, 174
 du cou, 24
 du membre inférieur, 195
 hépatique, 148
 lombaire, 64
 rénale gauche, 150
 testiculaire, 175
 Pied, aponévrose plantaire
 IRM
 coupes
 axiale(s), 207
 oblique, 210
 frontales (coronales), 211
 sagittales, 208-209
- Placenta
 échographie, 182
 fœtale, 183
- Plexus
 pampiniforme
 IRM, 178
 phlébographie, 176
 sacral, 174
 veineux
 sacral, 64
 vertébraux longitudinaux, 64
- Pl
 ary-épiglottique, [22-23](#), 114
 axillaire antérieur, 88-89
 inframammaire, 118
 vocal, [20](#), [21](#)
 Point sylvien, 28
 Poumon(s)
 apex, [21](#)
 bronchographies, 116-117
 droit, [56](#)
 gauche, [56](#)
 lobe
 inférieur
 segment
 apical, 96-97
 basal
 antérieur, 98-99
 latéral, 98-99
 médial, 98-99
 postérieur, 98-99
 linguale, 98-99
 moyen
 segment
 latéral, 96-97, 98-99
 médial, 98-99
 supérieur
 segment
 antérieur, 96-97, 98-99
 apical, 96-97
 apicopostérieur gauche, 96-97
 scissure
 horizontale, 96-97, 98-99
 oblique, 98-99
 TDM, coupes axiales, 96-99
- Pouce voir aux Os
 Processus
 clinioïde
 antérieur
 projection latérale, 2
 TDM
 coupes
 axiales, 6-7, 26
 frontales (coronales), [8-9](#), 27, [44](#)
 moyen, 2
 postérieur
 IRM
 coupes
 frontales (coronales), [45](#)
 sagittales, 46-47
 projection latérale, 2
- mastoïde, [10](#)
 IRM, coupes axiales, 16-17
 pointe, [10](#), 12, 13
 projection
 latérale oblique, [10](#)
 occipito-frontale, 1
 sialographie, 25
 TDM, coupes axiales, 6-7
 voir aussi à cellules mastoïdiennes
- ptérygoïde,
 lame
 latérale
 IRM
 coupes
 axiales, 16-17
 frontales (coronales), [19](#)
 TDM
 coupes
 axiales, 6-7
 frontales, [44](#)
 médiale
 IRM, coupes axiales, 16-17
 TDM
 coupes
 axiales, 6-7
 frontales (coronales), [44](#)
- styloïde, [10](#)
 TDM
 coupes
- axiales, 6-7, 12
 frontales (coronales), 14
 sagittales, 13
- Prostate
 échographie
 axiale, 176
 sagittale, 176
 zone
 de transition, 176
 périphérique, 176
 IRM, 178
 TDM
 coupes
 axiales, 158-159, 164-165
 frontales (coronales), 162-163
 sagittales, 160-161
- Pubis, 186
 corps, 155
 IRM, coupes sagittales, 169-170
 TDM
 coupes
 axiales, 158-159, 164-165, 166-168
 sagittales, 160-161
- branche
 inférieure
 projection
 antéro-postérieure, 185
 latérale, 185
 TDM, coupes axiales, 158-159, 164-165
 supérieure, 155
 IRM, coupes frontales (coronales), 171-172
 projection
 antéro-postérieure, 185
 latérale, 185
 TDM
 coupes
 axiales, 158-159
 frontales (coronales), 162-163
 sagittales, 160-161
 tubercule, 155
- Q**
 Quatrième ventricule
 du nouveau-né, [43](#)
 IRM
 coupe(s)
 axiales, 16-17, [34-37](#), 48
 frontales (coronales), 40-41
 sagittale(s), 38, 46-47
 médiane, 39
- Queue de cheval, [61](#)
 nerfs, 58, 59, [60](#)
- R**
 Radiculographie, lombaire, 63
 Rate
 artériographie, 145
 échographie(s)
 sagittale / parasagittale, 136-137
 transversale / oblique, 138-139
 IRM
 coupes
 frontales (coronales), [131](#), [132](#)
 sagittales, 129
 TDM
 coupes
 axiales, 98-98
 phase artérielle d'une artériographie, 122-123
 phase veineuse, d'une artériographie, 124-126
- Rétinaculum
 des fléchisseurs, 83
 patellaire
 latéral, 200
 médial, 200
- Récessus
 facial
 TDM
 coupes
 axiales, 12
 sagittales, 13
 hépato-rénal
 échographie(s)
 sagittale / parasagittale, 136-137

- transversale / oblique, 138-139
 inféro-latéral, 6-7
 piriforme, [21](#)
- Rectum
 échographie transvaginale, 179
 IRM
 coupes
 frontales (coronales), 199
 sagittales, 169-170
 lavement baryté, 135
 paroi, 176
 TDM
 coupes
 axiales, 158-159, 164-165, 166-168
 frontales (coronales), 162-163
 sagittales, 160-161
- Rein(s), 148-150
 bassinot
 IRM
 coupes
 axiales, 130
 frontales (coronales), [131](#), [132](#)
 sagittales, 129
 TDM, coupes axiales
 phase artérielle d'une artériographie, 122-123
 veineuse, d'une artériographie, 124-126
 urographie, 148-149
- calice
 majeur, 148-149
 mineur, 148-149
- cortex
 TDM, coupes axiales
 phase artérielle d'une artériographie, 122-123
 veineuse d'une artériographie, 124-126
- droit
 bord latéral, 148
 du fœtus, 183
 échographie(s)
 sagittale / parasagittale, 136-137
 transversale / oblique, 138-139
 IRM, [61](#)
 coupes
 axiales, 127, 130, [154](#)
 frontales (coronales), [131](#)
 sagittales, 129
 pôle
 inférieur, 148
 supérieur, 148
 TDM, coupes axiales
 phase artérielle d'une artériographie, 122-123
 veineuse d'une artériographie, 124-126
- fascia
 IRM
 coupes
 axiales, 127, 130
 frontales (coronales), [131](#)
 TDM, coupes axiales
 phase artérielle d'une artériographie, 122-123
 veineuse d'une artériographie, 124-126
- gauche
 bord latéral, 148
 du fœtus, 183
 IRM, [61](#)
 coupes
 axiales, 127, [151](#)
 sagittales, 129
 pôle
 inférieur, 148-149
 supérieur, 148-149
 TDM, coupes axiales
 phase artérielle d'une artériographie, 122-123
 veineuse d'une artériographie, 124-126
- kyste, [131](#)
- papille
 échographie(s)
 sagittale / parasagittale, 136-137
 transversale / oblique, 138-139
- urographie, 148-149
 radiographie en décubitus dorsal, 119
 tissu adipeux
 pararénal
 IRM
 coupes
 axiales, 127, 130
 frontales (coronales), [131](#)
 TDM, coupes axiales
 phase artérielle d'une artériographie, 122-123
 veineuse, d'une artériographie, 124-126
- périrénal
 IRM
 coupes
 axiales, 127, 130
 frontales (coronales), [131](#)
 sagittales, 129
 TDM, coupes axiales
 phase artérielle d'une artériographie, 122-123
 veineuse, d'une artériographie, 124-126
- Repas barytés, double contraste, 133
- Rétinaculum
 patellaire
 latéral, 200
 médial, 200
- ## S
- Sac
 dural
 IRM
 coupes
 axiales, 127
 frontales (coronales), [131](#)
 TDM
 coupes axiales
 phase artérielle d'une artériographie, 122-123
 veineuse d'une artériographie, 124-126
 gestationnel, 180-181
- Sacrum
 corps, 59
 crête, 155
 médiane, 59
 échographie transvaginale, 179
 IRM
 coupes
 frontales (coronales), 171-172
 sagittales, 169-170
 partie latérale (aile), 59, [131](#)
 plexus, 156-157
 premier segment, 160-161
 promontoire, [52](#), [61](#), 63
 TDM coupes axiales, 156-157, 158-159, 166-168
- Scaphoïde, 69, 70
 IRM, coupes axiales, 83
- Scapula, 65, 90-91
 acromion, 65, 66
 IRM,
 après gadolinium, 77-78
 coupe(s)
 axiales, 74-75
 frontale (coronale) oblique, 76
 bord latéral, 66
 centres d'ossification, 66
 épine, 66, 88-89
 IRM, après gadolinium, 77-78
 coupe(s)
 axiales, 74-75
 frontale (coronale) oblique, 76
 IRM
 après gadolinium, 77-78
 coupes axiales 74-75
 processus coracoïde, 65-66
 IRM,
 après gadolinium, 77-78
 coupe(s)
 axiales, 74-75
 frontale (coronale) oblique, 76
- Scutum
 IRM, coupes axiales, 11
 TDM, 11
- coupes
 axiales, 12-13
 sagittales, 13
- Sein, 90-91, 118
 mammographies, 118
 Selle turcique voir à Cerveau
 Septum lingual, 16-17, [22-23](#)
- Sialographies
 parotide, 25
 submandibulaire, 25
- Sillon du sinus veineux sigmoïde
 TDM
 coupes
 axiales, 12, 14
 sagittales, 13
- Sinus
 caverneux
 angiographie IRM, [33](#)
 artériographie latérale, 29
 IRM, coupes sagittales, [18](#), 47
 phlébographies, 15
 TDM
 coupes
 axiales, 26
 frontales (coronales), 27, [44](#)
 coronaire
 IRM, 104-105
 TDM, 92-95
 de l'aorte
 angiographie, 111
 échographie, 112-113
 droit
 angiographie IRM axiale, [33](#)
 artériographie latérale, 29, 31
 IRM, [34-37](#)
 du larynx, [20](#), [21](#)
 frontal, 5
 IRM
 coupes
 axiales, [34-37](#)
 sagittales, [18](#), 38
 projection
 latérale, 2
 occipito-frontale, 1
 TDM
 coupes
 axiales, 6-7, 26
 frontales (coronales), 8-9, 27
 lactifère, 118
 latéral, 10
 maxillaire (antre)
 gauche, 5
 IRM
 coupes
 axiales, 16-17, [34-37](#)
 sagittales, [18](#), 38
 orthopantomographie, 25
 paroi
 antérieure, 5
 latérale, 6-7
 médiale, 6-7
 postérieure, 4, 5
 plancher, 1
 TDM, coupes axiales, 6-7, 26
 périnasal (-aux)
 projection
 latérale, 5
 occipito-frontale, 5
 occipito-mentonnière, 5
 TDM, coupes axiales, 6-7
 pétreux
 inférieur
 angiographie IRM, [33](#)
 IRM, coupes axiales, 11
 TDM, 11
 supérieur
 angiographie IRM, [33](#)
 artériographie antéro-postérieure, 31
 TDM, 11
 piriforme, [22-23](#)
 rénal
 échographie(s)
 sagittale / parasagittale, 136-137
 transversale / oblique, 138-139
 sagittal
 inférieur
- angiographie IRM, [33](#)
 artériographie
 antéro-postérieure, 29
 latérale, 29
 IRM, coupes axiales, [34-37](#)
 supérieur
 angiographie IRM, [33](#)
 artériographie
 antéro-postérieure, 29
 latérale, 29
 IRM
 coupes
 axiales, [34-37](#)
 frontales (coronales), 40-41
 sigmoïde
 artériographie latérale, 29, 31
 IRM
 coupes
 axiales, [34-37](#)
 frontales (coronales), 40-41
 sphénoïdal, 5
 IRM
 coupe(s)
 axiales, 11, [34-37](#)
 frontales (coronales), [19](#), 40-41, [45](#)
 sagittale(s), [18](#), 38, 46
 médiane, 39
 projection
 latérale, 2
 occipito-frontale, 1
 submento-verticale, 4
 TDM, 11
 coupes
 axiales, 6-7, 12, 14, 26
 frontales (coronales), 8-9, 27, [44](#)
 sagittales, 13
 sphéno-pariétal
 angiographie IRM, [33](#)
 artériographie latérale, 29
 transverse, 10
 artériographie latérale, 29, 31
 droit
 angiographie IRM, [33](#)
 artériographie antéro-postérieure, 31
 gauche
 angiographie IRM, [33](#)
 artériographie antéro-postérieure, 31
 IRM, coupes sagittales, 10
 tympani
 TDM
 coupes
 axiales, 12
 sagittales, 13
 Sphincter anal, externe, TDM, coupes axiales, 158-159
 Splénoportographie, 145
 Sustentaculum tali, 189
 IRM
 coupe(s)
 axiale(s), 207
 oblique, 210
 frontales (coronales), 211
- Suture
 coronaire
 du fœtus, 182
 projection
 de Townes, 3
 latérale, 2
 fronto-zygomatique, 5
 TDM, coupes frontales (coronales), 8-9
 lambdoïde
 du fœtus, 182
 IRM, coupes axiales, 11
 projection
 de Townes, 3
 latérale, 2
 occipito-frontale, 3
 TDM, 11
 coupes axiales, 12
 sagittale
 projection
 de Townes, 3
 occipito-frontale, 1

Symphise pubienne voir Bassin

T

Talus, 189, 190, 191

col

IRM

coupe(s)

axiale oblique, 210

frontales (coronales), 211

sagittales, 208-209

face supérieure, 208-209

IRM

coupes

axiales, 208-209

frontales (coronales), 211

sagittales, 208-209

sinus

IRM

coupe(s)

axiale oblique, 210

frontales (coronales), 211

sagittales, 208-209

tête, 189

IRM

coupe(s)

axiale oblique, 210

sagittales, 208-209

tubercule

latéral, 189

médial, 189

Tendon(s)

calcaneen

IRM

coupes

axiales, 206

sagittales, 208-209

d'Achille

IRM

coupes

axiales, 206

sagittales, 208-209

de l'oblique supérieur

TDM

coupes

axiales, 26

frontales (coronales), 27

du biceps brachial

IRM

coupe(s)

après gadolinium, 77-78

axiales, 74-75, 81

frontale(s) oblique, 76

(coronales), 80

sagittales, 79

du brachial, 81

du chef long du muscle biceps brachial

IRM

coupe(s)

après gadolinium, 77-78

axiales, 74-75

frontale(s) oblique, 76

(coronales), 80

du deltoïde

IRM

coupe(s)

après gadolinium, 77-78

axiales, 74-75

frontale(s) (coronales) oblique, 76

du muscle

court

extenseur

du pouce, 83, 84

radial du carpe, 83

fibulaire

IRM

coupe(s)

axiale(s), 206, 207

oblique, 210

frontales (coronales), 211

sagittales, 208-209

fléchisseur de l'hallux, 208-209

extenseur

des doigts

IRM, coupes axiales, 83-84

des orteils

IRM

coupes

axiales, 206

sagittales, 208-209

du petit doigt, 83, 84

ulnaire du carpe, 83

fléchisseur

profond des doigts

IRM

coupes

axiales, 83, 84

frontales (coronales), 85-86

radial du carpe, 83

superficiel des doigts

IRM

coupes

axiales, 83, 84

frontales (coronales), 85-86

ulnaire du carpe, 83

gracile, 200

IRM

coupe(s)

axiale(s), 200

frontales (coronales), 204

infra-épineux

IRM

coupe(s)

après gadolinium, 77-78

axiale(s), 74-75

frontale(s) (coronale(s)), 76

long

abducteur du pouce, 83

extenseur

de l'hallux,

IRM

coupe(s)

axiale oblique, 210

frontales (coronales), 211

sagittales, 208-209

des orteils, 211

IRM, coupe axiale oblique, 210

du pouce

IRM

coupes

axiales, 83, 84

frontales (coronales), 85-

86

radial du carpe, 82, 83

fibulaire

IRM

coupe(s)

axiale(s), 206, 207

oblique, 210

frontales (coronales), 211

sagittales, 208-209

fléchisseur

de l'hallux

IRM

coupe(s)

axiale(s), 206

oblique, 210

frontales (coronales), 211

des orteils

IRM

coupe(s)

axiale(s), 206, 207

oblique, 210

frontales (coronales), 211

sagittales, 208-209

du pouce

IRM

coupe(s)

axiale(s), 83, 84

frontales (coronales), 85-

86

palmaire, 83

plantaire, 206

poplité, 201, 202

quadriceps, 198, 201

sartorius, 200

semi-membraneux, 200

semi-tendineux

IRM

coupes

axiales, 200

frontales (coronales), 204

sagittales, 202

tibial

antérieur

IRM

coupe(s)

axiale(s), 206

oblique, 210

frontales (coronales), 211

sagittales, 208-209

postérieur

IRM

coupe(s)

axiale(s), 206, 207

oblique, 210

frontales (coronales), 211

sagittales, 208-209

triceps, 79

du subscapulaire

IRM

coupe(s)

après gadolinium, 77-78

axiales, 74-75

frontale (coronale) oblique, 76

du supra-épineux

IRM

coupe(s)

après gadolinium, 77-78

axiales, 74-75

frontale (coronale) oblique, 76

patellaire

IRM

coupes

axiales, 200

sagittales, 201

Testicule

TDM

coupes

axiales, 158-159

frontales (coronales), 162-163

Thorax, 87-118

à 4 mois, 87

IRM

coupes

axiales, 100-103

sagittales, 106-107

latéral, 89-90

lymphographies, 152

médiastin, 92-95

postéro-antérieur, 87-88

Thymus, 87

Tibia, 187, 188, 189, 190

centres d'ossification, 188, 190, 191

condyle

latéral, 187

IRM

coupes

frontales (coronales), 203, 204

sagittales, 201

médial, 187

IRM

coupes

frontales (coronales), 203, 204

sagittales, 202

IRM

coupe(s)

axiale(s), 200, 205, 206, 207

oblique, 210

frontales (coronales), 211

sagittales, 201, 202, 208-209

ligne épiphysaire, 190

plateau,

latéral, 200

médial, 200

tubercule, 187

IRM

coupes

axiales, 200, 205

sagittales, 201

centres d'ossification, 188

Tissu adipeux

épidural, 55, 57

IRM, 61

coupes axiales, 60

TDM, coupes axiales, 58-59

rétroépéronéal, 60

Tonsille(s)

linguale, 22-23

palatine, 16-17

Torcular d'Hérophile

angiographie IRM, 33

artériographie latérale, 29

IRM, coupes axiales, 29

Torus tubaire

IRM

coupes

frontales (coronales), 19

sagittales, 18

TDM, coupes frontales (coronales), 44

Trachée, 20, 21, 50, 51, 88-89, 90-91

anneau, 102-103

bifurcation

IRM, 104-105

coupes

axiales, 100-103

frontales (coronales), 21

TDM, 92-95

bronchographies, 116-117

carina

IRM, 104-105

coupes axiales,

Partager Le Site

www.lemanip.com

Tout Est Gratuit

- pré-adulte, [68](#)
processus
 coronoïde, [67](#)
 IRM, coupes sagittales, [79](#)
 olécranien, [67](#)
 IRM
 coupes
 axiales, [81](#)
 frontales (coronales), [80](#)
 sagittales, [79](#)
 styloïde, [69](#)
 IRM, coupes axiales, [83](#)
tête, [69](#)
Uretère
 gauche, [149](#)
 IRM
 coupes
 axiales, [127](#), [128](#)
 frontales (coronales), [131](#), [132](#)
 sagittales, [129](#)
 phlébographie, [176](#)
 TDM, coupes axiales, [156-157](#), [164-165](#)
 urographie, [148](#)
Urètre
 bulbe, [177](#)
 distal, [176](#)
 échographie foetale, [183](#)
 IRM, [178](#)
 coupes frontales (coronales), [171-172](#)
 membraneux
 TDM
 coupes
 axiales, [158-159](#)
 sagittales, [160-161](#)
 urétrographie, [177](#)
pénien
 TDM, coupes sagittales, [160-161](#)
 urétrographie, [177](#)
prostatique
 échographie transvaginale, [179](#)
 IRM, coupes sagittales, [169-170](#)
 TDM, coupes sagittales, [160-161](#)
 urétrographie, [177](#)
sphincter externe, [177](#)
TDM
 coupes axiales, [164-165](#), [166-168](#)
Utérus
 cavité
 échographie
 foetale, [180-181](#)
 transvaginale, [179](#)
 IRM
 coupes
 frontales (coronales), [171-172](#)
 sagittales, [169-170](#)
 TDM, coupes axiales, [166-168](#)
corne, [179](#)
corps
 hystérosalpingographie, [179](#)
 IRM, coupes sagittales, [169-170](#)
échographie foetale, [180-181](#)
endomètre
 échographie
 transvaginale, [179](#)
 IRM
 coupes
 frontales (coronales), [171-172](#)
 sagittales, [169-170](#)
fond
 échographie transvaginale, [179](#)
 hystérosalpingographie, [179](#)
 IRM
 coupes
 axiales, [166-168](#)
 sagittales, [169-170](#)
myomètre
 échographie transvaginale, [179](#)
 IRM
 coupes
 axiales, [166-168](#)
 frontales (coronales), [171-172](#)
 sagittales, [169-170](#)
paroi
 échographie, [182](#)
 foetale, [183](#)
Ovule
 IRM
 coupes
 axiales, [16-17](#)
 frontales (coronales), [19](#)
 sagittales, [18](#)
V
Vagin
 échographie transvaginale, [179](#)
 fornix
 antérieur, [169-170](#)
 postérieur, [166-168](#), [169-170](#)
 IRM
 coupes
 frontales (coronales), [171-172](#)
 sagittales, [169-170](#)
 TDM, coupes axiales, [166-168](#)
Vallécule, [20](#)
 IRM
 coupes
 frontales (coronales), [19](#)
 sagittales, [18](#)
Valves
 du cœur, voir à Cœur
 veineuses, [195](#)
Veine(s)
 anastomotique, superficielle, [15](#)
 angulaire
 phlébographie, [15](#)
 TDM
 coupes
 axiales, [26](#)
 frontales (coronales), [27](#)
 antérieure du noyau caudé, [29](#)
 arquée, [150](#)
 axillaire, [71](#)
 IRM
 après gadolinium, [77-78](#)
 coupe(s)
 axiales, [74-75](#), [100-103](#)
 frontale (coronale) oblique, [76](#)
azygos
 crosse, [114](#)
 IRM
 coupe(s)
 axiales, [100-103](#)
 frontales (coronales), [131](#)
 phlébographie, [114](#)
 TDM, [92-95](#)
 coupes axiales, [96-97](#), [98-99](#)
 phase artérielle d'une artériographie, [122-123](#)
 veineuse d'une artériographie, [124-126](#)
basale de Rosenthal
 angiographie IRM, [33](#)
 artériographie
 antéro-postérieure, [29](#)
 latérale, [29](#)
basillaire, [71](#), [73](#)
 IRM
 coupes
 axiales, [81](#), [82](#), [83](#)
 frontales (coronales), [80](#)
basivertébrale
 IRM, [61](#)
 coupes
 sagittales, [57](#)
 phlébographie, [64](#)
 TDM, coupes axiales, [56](#), [58](#)
brachio-céphalique, gauche
 IRM, [104-105](#)
 coupes axiales, [100-103](#)
 TDM, [92-95](#)
 coupes axiales, [96-97](#)
capsulaire, [151](#)
cave
 inférieure, [88-89](#), [90-91](#)
 artériographie, [150](#)
 échographie
 sagittale / parasagittale, [136-137](#)
 transversale / oblique, [138-139](#)
 IRM, [104-105](#)
 coupe(s)
 axiales, [60](#), [100-103](#), [127](#), [128](#),
 [130](#), [151](#)
 frontales (coronales), [132](#)
 sagittales, [106-107](#)
 phlébographie, [146](#), [176](#)
 de la veine cave inférieure, [144](#)
TDM, [92-95](#)
 coupes axiales, [58](#), [98-99](#), [156-157](#)
 phase artérielle d'une artériographie, [122-123](#)
 veineuse d'une artériographie, [124-126](#)
 supérieure, [71](#), [88-89](#)
 IRM, coupes sagittales, [106-107](#)
 TDM, [92-95](#)
céphalique, [71](#), [73](#)
 IRM
 coupes
 axiales, [81](#), [82](#), [83](#)
 frontales (coronales), [80](#)
 sagittales, [79](#)
 cérébelleuse, précentrale, [31](#)
 cérébrale
 interne
 angiographie IRM, [33](#)
 artériographie
 antéro-postérieure, [29](#)
 latérale, [29](#)
 IRM
 coupe(s)
 axiales, [34-37](#)
 sagittales, [38](#)
 médiane, [39](#)
 superficielle
 angiographie IRM, [33](#)
 artériographie latérale, [29](#)
 choroïdienne, supérieure, [31](#)
 circonflexe, latérale, [195](#)
 colique, gauche, [143](#)
 collatérale, [15](#)
 corticale
 IRM
 coupes
 axiales, [34-37](#)
 sagittales, [38](#)
 superficielle, [29](#)
de Labbé, [29](#)
de la grande fissure horizontale, [31](#)
de Trolard, [29](#)
diploïque, [39](#)
dorsale du pénis, [178](#)
épidurale, [60](#)
faciale, antérieure
 IRM
 coupes
 axiales, [16-17](#)
 frontales (coronales), [19](#)
fémorale
 affluents musculaires, [195](#)
 IRM, coupes axiales, [196-196](#)
 phlébographies, [195](#)
 superficielle, [166-168](#)
 TDM
 coupes
 axiales, [158-159](#), [164-165](#), [166-168](#)
 frontales, [162-163](#)
frontale, [15](#)
gastrique
 artériographie, [142](#)
 branches œsophagiennes, [142](#)
 courte, [142](#)
glutéeale
 inférieure
 phlébographie, [174](#)
 TDM
 coupes
 axiales, [158-159](#)
 frontales (coronales), [162-163](#)
 interne, [164-165](#)
 supérieure
 phlébographie, [174](#)
 TDM
 coupes
 axiales, [156-157](#)
 sagittales, [160-161](#)
gonadique
 IRM, coupes axiales, [127](#), [128](#)
 TDM, coupes axiales, [156-157](#)
grande
 cérébrale de Galien
 angiographie IRM, [33](#)
 artériographie latérale, [39](#), [31](#)
 IRM
 coupe(s) sagittale(s), [38](#), [47](#)
 médiane, [39](#)
saphène
 artériographie, [194](#)
 IRM
 coupes
 axiales, [196-197](#), [200](#), [205](#),
 [206](#)
 frontales (coronales), [203](#), [204](#)
 phlébographies, [195](#)
hémi-azygos
 IRM, coupe(s) axiales, [100-103](#)
 phlébographie, [114](#)
 TDM, [92-95](#)
 coupes axiales, [98-99](#)
 phase artérielle d'une artériographie, [122-123](#)
 veineuse d'une artériographie, [124-126](#)
hémisphérique, [31](#)
hépatique
 abouchement, [144](#)
droite
 échographie(s)
 sagittale / parasagittale, [136-137](#)
 transversale / oblique, [138-139](#)
 IRM
 coupes
 axiales, [130](#)
 frontales (coronales), [132](#)
 phlébographie, [146](#)
 TDM
 coupes axiales
 phase artérielle d'une artériographie, [122-123](#)
 veineuse d'une artériographie, [124-126](#)
échographie(s)
 sagittale / parasagittale, [136-137](#)
 transversale / oblique, [138-139](#)
gauche
 échographie(s)
 sagittale / parasagittale, [136-137](#)
 transversale / oblique, [138-139](#)
 IRM, coupes axiales, [130](#)
 TDM
 coupes axiales
 phase artérielle d'une artériographie, [122-123](#)
 veineuse d'une artériographie, [124-126](#)
IRM, [104-105](#)
moyenne
 échographie(s)
 sagittale / parasagittale, [136-137](#)
 transversale / oblique, [138-139](#)
 IRM
 coupes
 axiales, [130](#)
 frontales (coronales), [132](#)
 phlébographie, [146](#)
 TDM, coupes axiales
 phase artérielle d'une artériographie, [122-123](#)
 veineuse d'une artériographie, [124-126](#)
honteuse interne, [158-159](#), [164-165](#),
 [166-168](#)
iléocolique, [145](#)
iliaque
 commune
 IRM
 coupes
 axiales, [128](#), [130](#)
 frontales (coronales), [132](#)
 phlébographie, [176](#)
 de la veine cave inférieure, [144](#)
 TDM
 coupes
 axiales, [156-157](#)
 sagittales, [160-161](#)
externe
 phlébographie
 de la veine cave inférieure, [144](#)
 TDM
 coupes
 axiales, [156-157](#), [158-159](#),
 [164-165](#), [166-168](#)

- frontales (coronales), 162-163
sagittales, 160-161
- interne
division antérieure
IRM, coupes sagittales, 169-170
phlébographie
de la veine cave inférieure, 144
TDM
coupes
axiales, 156-157, 164-165, 166-168
sagittales, 160-161
- ilio-lombaire, 144
intercostale, 114
interlobaire, 150
intervertébrale, 64
jéjunale, 145
jugulaire
antérieure, 22-23
externe, 22-23
interne
artériographie
antéro-postérieure, 29, 31
latérale, 29, 31
IRM
coupes
axiales, 16-17, 22-23
frontales (coronales), 21
phlébographie, 24
TDM, coupes axiales, 53
- lacrymale
TDM
coupes
axiales, 26
frontales (coronales), 27
- linguale
lobaire, 150
lobaire, ascendante
phlébographie, 64
de la veine cave inférieure, 144
- marginal
latérale, 194
médiale
artériographie, 194
IRM
coupe(s)
axiale oblique, 210
frontales (coronales), 211
- mésencéphalique, 31
mésentérique
inférieure
artériographie, 143
IRM
coupes
axiales, 127, 128
frontales (coronales), 132
supérieure
artériographie, 145
échographie(s)
sagittale / parasagittale, 136-137
transversale / oblique, 138-139
IRM, coupes axiales, 127
TDM, coupes axiales
phase artérielle d'une artériographie, 122-123
veineuse d'une artériographie, 124-126
- obturatrice
phlébographie, 174
TDM, coupes axiales, 158-159, 164-165
- ombilicale, 182
ophtalmique
inférieure, 15
médiale
TDM
coupes
axiales, 26
frontales (coronales), 27
supérieure
IRM, coupes axiales, 34-37
phlébographie, 15
TDM
coupes
axiales, 26
frontales (coronales), 27
- palmaire digitale, 73
perforante, 195
- petite saphène
artériographie, 194
IRM
coupes
axiales, 205, 206
sagittales, 208-209
- pétreuse, 31
phrénique inférieure, 151
pontomésencéphalique antérieure, 31
poplitée
IRM
coupes
axiales, 196-197, 200
frontales (coronales), 204
sagittales, 198, 201
phlébographies, 195
- porte
artériographie, 145
branche
droite, 145
gauche, 145
échographie(s)
sagittale / parasagittale, 136-137
transversale / oblique, 138-139
IRM
coupes
axiales, 130, 151
frontales (coronales), 132
TDM, coupes axiales
phase artérielle d'une artériographie, 122-123
veineuse d'une artériographie, 124-126
- principale du pouce, 73
pulmonaire
du fœtus, 183
échographie, 112-113
inférieure
droite
artériographie, 109
TDM, 92-95
coupes axiales, 98-99
gauche
artériographie, 109
IRM, coupes axiales, 100-103
TDM, 92-95
supérieure
droite
artériographie, 109
TDM, 92-95
gauche
artériographie, 109
IRM, coupes axiales, 100-103
TDM, 92-95
coupes axiales, 96-97
- radiale de l'index, 73
rectale supérieure, 143
rénale
capsulaire, 176
droite
échographie(s)
sagittale / parasagittale, 136-137
transversale / oblique, 138-139
IRM, coupes axiales, 127, 130
TDM, coupes axiales
phase artérielle d'une artériographie, 122-123
veineuse d'une artériographie, 124-126
gauche
artériographie, 151
échographie(s)
sagittale / parasagittale, 136-137
transversale / oblique, 138-139
IRM
coupes
axiales, 127
frontales (coronales), 132
sagittales, 129
TDM, coupes axiales
phase artérielle d'une artériographie, 122-123
veineuse d'une artériographie, 124-126
- principale
abouchement, 144
artériographie, 150
- rétromandibulaire
IRM
coupes
axiales, 16-17
frontales, 19
- sacrale latérale, 64
saphène courte
IRM
coupes
axiales, 200
sagittales, 208-209
- sigmoïde, 143
splénique
abouchement, 145
artériographie, 142, 145
échographie(s)
sagittale / parasagittale, 136-137
transversale / oblique, 138-139
IRM
coupes
axiales, 151
frontales (coronales), 131, 132
sagittales, 129
- subclavière, 71
supra-orbitaire, 15
surrénale, gauche, 151
testiculaire, droite, 176
- thalamo-striée
artériographie
antéro-postérieure, 29
latérale, 29
- thoracique interne
IRM, coupes axiales, 100-103
TDM, 92-95
- thyroïdienne, 24
tibiale
antérieure, 195
postérieure
IRM
coupes
axiales, 206
sagittales, 208-209
phlébographies, 195
- tonsillaire, 31
vermienne, 31
vertébrale interne, 59
- Ventricules du cerveau, voir à Cerveau
- du cœur
droit, 88-89, 90-91
angiographie, 110
bord, 90-91
cavité
échographie, 112-113
IRM, 102-103
TDM, 92-95
cordages tendineux, 112-113
du fœtus, 183
échographie, 112-113
infundibulum, 90-91
paroi
échographie, 112-113
IRM, 102-103
trabécules, 110
volume d'éjection
angiographie, 110
échographie, 112-113
IRM, 102-103
- gauche, 88-89
apex, 111
artériographie, 109
de la crosse de l'aorte, 115
cavité
artériographie, 111
échographie, 112-113
IRM, 102-103, 104-105
coupes axiales, 100-103
TDM, 92-95
- du fœtus, 183
échographie, 112-113
long axe, 112-113
paroi
artériographie, 111
échographie, 112-113
IRM, 104-105
septum interventriculaire
du fœtus, 183
échographie, 112-113
membraneux, 100-103
- musculaire, 92-95, 102-103
TDM, 92-95
volume d'éjection
artériographie, 111
échographie, 112-113
- Vermis supérieur
IRM
coupes
axiales, 34-37
frontales (coronales), 40-41
- Vertèbre(s)
articulation zygapophysaire, 55, 60
cervicale, 49
cinquième, 22-23, 54
quatrième, 49, 54
septième, 20, 57, 62
sixième, 54
colonne articulaire, 54
corps, 49, 50, 51, 52, 54
IRM
coupes
axiales, 22-23, 55, 100-103, 127, 128, 151
frontales (coronales), 131
TDM, 92-95
coupes axiales, 56, 58, 59
phase artérielle d'une artériographie, 122-123
veineuse d'une artériographie, 124-126
- disque annulaire épiphysaire inférieur, 51
supérieur, 51
échographie(s), coupes
sagittales / parasagittales, 136-137
transversales / obliques, 138-139
- éléments postérieurs, 182, 183
encoche néonatale, 51
incisure
articulaire, inférieure, 52
vertébrale inférieure, 51, 52
- IRM, 61
coupes sagittales, 57, 106-107, 129
- lame, 50, 54, 55, 56
IRM, coupes axiales, 60
TDM, coupes axiales, 58, 59
- lèvre postéro-latérale (uncus), 49, 50
- lobaire
cinquième, 52, 58, 59, 160-161, 162-163
deuxième, 52, 63
première, 52
quatrième, 58, 59
troisième, 61, 63
- pédicule, 51, 52, 54
IRM, 61
coupes axiales, 60
TDM, coupes axiales, 56, 58
- processus
articulaire
inférieur, 49, 51, 55
IRM, coupes axiales, 57, 60
TDM, coupes axiales, 56, 58, 59
supérieur, 49, 51, 52, 55
IRM, coupes axiales, 60
TDM, coupes axiales, 56, 58, 59
- épineux, 49, 51, 52, 54, 55
IRM, coupes axiales, 57, 60
TDM, coupes axiales, 56, 58, 59
- mamillaire, 52
transverse, 50, 51, 52
tubercule
antérieur, 49
postérieur, 49, 50
IRM, coupes
axiales, 60
frontales (coronales), 21
- lamelle intertuberculaire, 49
myélographie cervicale, 62
TDM, coupes axiales, 56, 58
- uncinatus, 54
projection
antéro-postérieure, 51, 52
latérale, 51, 52
- racine
dorsale, 55
ventrale, 55
- radiculographie lombaire, 63

Partager Le Site

www.lemanip.com

Tout Est Gratuit

- thoracique, [51](#)
 - deuxième, [21](#)
 - douzième, [52](#)
 - première, [21](#), [51](#)
 - septième, [57](#)
 - sixième, [56](#)
 - tubercule
 - antérieur, [54](#)
 - postérieur, [54](#)
 - Vésicule
 - biliaire, 121
 - col, 121
 - échographie(s)
 - sagittale / parasagittale, 136-137
 - transversale / oblique, 138-139
 - fond
 - échographie(s)
 - sagittale / parasagittale, 136-137
 - transversale / oblique, 138-139
 - IRM
 - coupes
 - axiales, 130
 - frontales (coronales), [132](#)
 - TDM, coupes axiales, phase artérielle d'une artériographie, 122-123
 - veineuse d'une artériographie, 124-126
 - séminales
 - échographie, 176
 - TDM
 - coupes
 - axiales, 158-159, 164-165
 - sagittales, 160-161
 - vésiculographie séminale, 176
 - Vessie (urinaire)
 - col
 - échographie, 176
 - IRM, coupes sagittales, 169-170
 - phlébographie, 176
 - TDM, coupes sagittales, 160-161
 - urétrographie, 177
 - vésiculographie séminale, 176
 - dôme, 156-157
 - foetale, 183
 - IRM, 178
 - coupes frontales (coronales), 171-172
 - maternelle, 180-181
 - TDM
 - coupes
 - axiales, 156-157, 158-159, 164-165, 166-168
 - frontales (coronales), 162-163
 - Vestibule, [21](#)
 - aqueduc
 - TDM
 - coupes
 - axiales, 12
 - sagittales, 13
 - IRM, coupes axiales, 11
 - TDM, 11
 - coupes
 - axiales, 12
 - sagittales, 13
 - Voies biliaires, voir à Conduits, bile
 - Vomer
 - IRM, coupes
 - axiales, 16-17
 - sagittales, [18](#)
 - projection submento-verticale, 4
 - TDM, coupes
 - axiales, 6-7
 - frontales (coronales), 8-9
- W**
- Wharton, conduit de, 25

l'aide de la série complète des procédés d'imagerie :

- radiographie
- angiographie
- tomodensitométrie
- imagerie par résonance magnétique
- ultrasonographie

Partager Le Site

www.lemanip.com

Tout Est Gratuit

Le livre fournit une source idéale pour l'étude et l'interprétation des images radiologiques, essentielles à l'entraînement clinique radiologique et aux autres disciplines associées. Les illustrations offrent au lecteur un guide sûr et compréhensible de l'anatomie humaine normale.

Imagerie du corps humain – Atlas d'anatomie est aussi bien un outil inestimable en anatomie qu'un guide de référence pour l'interprétation de l'imagerie clinique.

La troisième édition a été mise à jour en vue de refléter les progrès en technologie d'imagerie, particulièrement en tomographie de TDM, d'IRM et d'échographie. 200 nouvelles images de diagnostic et 25 nouveaux dessins au trait ont été ajoutés pour aider à l'interprétation de certaines images clefs. Le livre contient désormais plus de 700 illustrations, d'une qualité exceptionnelle, ainsi que 35 documents interprétatifs.

Destiné aux étudiants en médecine et aux praticiens, *Imagerie du corps humain – Atlas d'anatomie* permet d'étudier l'anatomie radiologique des structures du corps humain, qu'il s'agisse de revoir ses connaissances avant un examen ou d'aider le clinicien dans sa pratique.

www.lemanip.com

